Physikalische Berichte

als Fortsetzung der "Fortschritte der Physik" und des "Halbmonatlichen Literaturverzeichnisses" sowie der "Beiblätter zu den Annalen der Physik"

gemeinsam herausgegeben von der

Deutschen Physikalischen Gesellschaft und der Deutschen Gesellschaft für technische Physik

unter der Redaktion von Karl Scheel

5. Jahrgang

15. Dezember 1924

Nr. 24

1. Allgemeines.

Ergebnisse der exakten Naturwissenschaften. Herausgegeben von der Schriftleitung der "Naturwissenschaften". Dritter Band. Mit 100 Abbildungen. III u. 404 S. Berlin, Verlag von Julius Springer, 1924. Inhalt:

A. Brill, Die Strahlung der Sterne.

R. Hess, Die Statistik der Leuchtkräfte der Sterne.

Hans Kienle, Die astronomischen Prüfungen der allgemeinen Relativitätstheorie.

R. Minkowski und H. Sponer, Über den Durchgang von Elektronen durch

G. Laski, Ultrarotforschung.

Bernhard Gudden, Elektrizitätsleitung in kristallisierten Stoffen unter Ausschluß der Metalle.

Lise Meitner, Der Zusammenhang zwischen β - und γ -Strahlen.

Walther Gerlach, Atomstrahlen.

E. Hückel. Zur Theorie der Elektrolyte.

Günther-Schulze, Elektrische Ventile und Gleichrichter.

I. R. Katz, Quellung. I. Teil.

SCHEEL.

Robert Pohl. Hans Geitel. Göttinger Nachr. Gesch. Mitt. 1923/24, S. 69-74. SCHEEL.

David Baxandall. The circular dividing engine of Edward Troughton 1793. Trans. Opt. Soc. 25, 135—140, 1924, Nr. 3. Die Arbeit bringt eine Reihe von historischen Angaben über die Entwicklung des Baues von Kreisteilmaschinen in England, und beschreibt in Kürze die Troughton-Simms-Maschine mit einer Reihe allmählich an ihr angebrachter Verbesserungen. Einige Abbildungen der Maschine sind in der Arbeit enthalten.

J. Boussinesq. Cours de physique mathématique de la faculté des sciences. XLVII u. 217 S. Compléments au tome III conciliation du véritable déterminisme mécanique avec l'existence de la vie et de la liberté morale. Paris, Gauthier-Villars & Cie., 1922. Der Band enthält eine außerordentlich große Mannigfaltigkeit von Stoffgebieten, die nach dem gegenwärtigen Wissensstande nur erst skizziert werden können. — Die erste Arbeit behandelt die wahrscheinliche Existenz sehr weicher Körper, welche kleinen Gleitungen ihrer Schichten mehr Widerstand zu leisten

scheinen als kleinen Annäherungen. — Der folgende Abschnitt handelt von der Oberflächenspannung, Tropfenbildung und verwandten Problemen. - Fast der gesamte übrige Inhalt bezieht sich auf Fragen der Mechanik lebender Organismen. "Wenn das Leben in seinen mannigfachen Stadien der Ausdruck eines besonderen Leitprinzips ist, wie es der gesunde Verstand versichert und Männer wie Berzelius, Claude Bernard, Cournot zugestehen, wie vermag dann dieses Prinzip die Formgebung der Organe zu leiten und ihre Bewegungen zu beeinflussen, ohne daß es selbst mit irgend einer mechanischen oder chemischen Kraft schaltet...?" "Die Analysis kann im einzelnen nur sehr einfache Systeme untersuchen, die unendlich weniger kompliziert sind als die bekannten Organismen; indessen weist sie schon nach wenigen Schritten auf dem neuen Wege die praktische Unmöglichkeit der spontanen Erzeugung auf ihre Art nach." Aus dem Inhalt seien die folgenden Kapitel genannt: Analogie zwischen dem Mechanismus des Lebens und dem einer Wellenbewegung; Bedeutung und Berechtigung der geometrischen Anschauung; Anwendung der Empfindungsschwelle auf eine mögliche Theorie der Quanten. — Kap. II. Betrachtungen über die analytische Darstellung der Erscheinungen und über ihre Scheidung in zwei Klassen. - Kap. III. Beispiele für singuläre Lösungen in der Mechanik: sie stellen sich nur bei gewissen Arten des Anfangszustandes dar, die künstlich nicht realisierbar sind. Kap. IV. Über das Bestehen einer höheren Dynamik oder einer Dynamik von Leitprinzipien. Schwerdt.

Arthur Haas. Vektoranalysis in ihren Grundzügen und wichtigsten physikalischen Anwendungen. Mit 37 Abbildungen im Text. VI und 149 S. Berlin und Leipzig, Vereinigung Wissenschaftlicher Verleger Walter de Gruyter & Co., 1922. Das Buch gibt nicht eine mathematische Darstellung der Vektoranalysis, sondern entwickelt die Grundlagen der Mechanik der Massenpunkte, der starren und deformierbaren Körper sowie die Maxwellsche Theorie und die Relativitätstheorie nach einheitlicher vektorieller Methode. Dennoch werden die rein mathematischen Abschnitte von den physikalischen Auswertungen streng geschieden. Besonders für den Lernenden dürfte es wesentlich sein, daß an allen Stellen des Buches klar betont wird, in welcher Weise die Zuhilfenahme von Erfahrungstatsachen sich dem Aufbau der physikalischen Theoreme eingliedert. — Die als Lehrbuch anzusprechende Darstellung ist aus Wiener Vorlesungen des Verf. erwachsen. Aus dem Inhalte: L. Vektoren, II. Tensoren, III. Vektorfelder, IV. Potentiale, V. Vektorwellen, VI. Weltvektoren. Die im Anhang gegebene Zusammenfassung der wesentlichen Sätze und Ergebnisse vermittelt rasche Orientierung. SCHWERDT.

Heinrich Kafka. Ein Beitrag zur Richtungsbezeichnung in Vektordiagrammen. Elektrot. u. Maschinenb. 42, 329—333, 1924, Nr. 21. Die Frage der Richtungsbezeichnung im Vektordiagramm kann nur dahingehend beantwortet werden, daß an sich keine Vorzeichenbestimmung "falsch" ist, wenn nur die Pfeile im Schaltbild, im Diagramm und in den Gleichungen zusammenstimmen. Der Vorschlag für eine einheitliche Regelung wird an einem Beispiel ausgeführt, das als charakteristische Anschlüsse einen Synchrongenerator, einen Asynchrongenerator, einen induktiven und einen kapazitiven Wirkstromverbraucher enthält. Die Wirkachse wird vertikal, die Blindachse horizontal gestellt. Spannungs- und Strompfeile gehen von demselben Anschlußpunkt aus. Für Erzeuger und Verbraucher sollen dieselben Festsetzungen gelten.

A. Speiser. Theorie der Gruppen von endlicher Ordnung. VIII u. 1948. Berlin, Verlag von Julius Springer, 1923. (Die Grundlehren der mathematischen Wissenschaften in Einzeldarstellungen, Bd. V.) Inhalt: 1. Grundlagen, 2. Normalteiler und Faktorgruppen, 3. Abelsche Gruppen, 4. Konjugierte Untergruppen, 5. Sylow-gruppen, 6. Kristallographische Gruppen, 7. Permutationsgruppen, 8. Automorphismen, 9. Monomiale Gruppen, 10. Lineare homogene Substitutionen, 11. Gruppencharaktere, 12. Anwendungen, 13. Substitutionsgruppen, 14. Gruppen von gegebenem Grade, 15. Gleichungstheorie. — Für den Physiker kommen besonders die auf Kristallographie bezüglichen Untersuchungen in Betracht. Es werden im Raumgitter die Drehachsen der Ordnung 2, 3, 4 und 6 (Digyren, Trigyren usw.) bestimmt; dabei ergeben sich sieben Achsenkonfigurationen, die den sieben Kristallsystemen entsprechen. Die Untergruppen führen auf die Kristallklassen. Das Problem, die ganzzahligen Gruppen gegebenen Grades n zu finden, führt auf die Bestimmung aller Gitter des n-dimensionalen Raumes mit besonderen Symmetrien.

Émile Borel. Méthodes et problèmes de théorie des fonctions. IX u. 148 S. Paris, Gauthier-Villars & Cie., 1922. (Coll. de monographies sur la théorie des fonctions. Publiée sous la dir. de Émile Borel.) Aus dem Inhalt: Kap. I. Mengenlehre. Kap. II. Reihenentwicklungen. Funktionen von zwei reellen Veränderlichen. Integrationen nicht beschränkter Funktionen. Kap. III. Theorie des Zuwachses und Bedeutung der willkürlichen Konstanten. Die arithmetische Natur der Zahl e. Ganze Funktionen. Partielle Differentialgleichungen mit konstanten Koeffizienten, nichtanalytische Funktionen. Perioden Abelscher Integrale. Die wechselseitige Approximation von Zahlen einer abzählbaren, Menge. Annäherung durch rationale Zahlen. Kap. IV. Funktionen einer komplexen Veränderlichen. Interpolation. Singularitäten einer durch eine Taylorsche Reihe definierten Funktion. Singuläre Klassen Taylorscher Reihen. Differentialgleichungen, deren allgemeines Integral eine ganze Funktion ist. Bestimmung analytischer Funktionen in der Umgebung einer wesentlich singulären Stelle. - Die Aufgabe des Buches besteht darin, die Probleme und Methoden unter einheitlichem Gesichtspunkt zusammenzufassen, die in einzelnen Publikationen bei Spezialuntersuchungen auftreten.

- E. Dittrich. Zu Einsteins hydromechanischer Ableitung des Theorems von Jacobi. Astron. Nachr. 218, 113—120, 1923, Nr. 5216. Schwerdt.
- J. J. Smith. The solution of differential equations by a method similar to Heaviside's. Journ. Franklin Inst. 195, 815-850, 1923, Nr. 6.
- Sir G. Greenhill. Orbits in the Field of a Doublet, and generally of Two Centres of Force. Phil. Mag. (6) 46, 364-385, 1923, Nr. 273.
- E. L. Harrington. The laboratory and demonstration problem of modern physics. Science (N. S.) 59, 281—282, 1924, Nr. 1525. Zusammenfassender Bericht über die Antworten, welche auf eine Umfrage an einer Anzahl von größeren Universitäten Amerikas über die Art und Weise, wie die Probleme der modernen Physik in den Vorlesungen und praktischen Übungen behandelt werden, eingelaufen sind. Böttger.
- H. G. Becker. A constant pressure blowpipe. Journ. Opt. Soc. 7, 907—912, 1923, Nr. 10. Es wird ein Gebläse beschrieben, bei dem die Luftzufuhr nicht durch einen Blasebalg, sondern durch Maschinenbetrieb erfolgt, und welches aus einer Anzahl radial um einen Zylinder angeordneter kleiner Gaskammern besteht, denen durch Einströmungsöffnungen passender Größe die zur Verbrennung des in jeder Kammer enthaltenen Gases erforderliche Luftmenge zugeführt wird. Der Zylinder ist um eine horizontale Achse drehbar, und jede Gaskammer mit der dazugehörenden Einströmungsöffnung für die Luft erzeugt eine Gebläseflamme von bestimmter Größe und Gestalt, so daß jede Regulierung des Gas- oder Luftstromes entbehrlich ist.

Huguenard, Magnan et A. Planiol. Sur un appareil donnant la direction instantanée du vent. C. R. 176, 663-666, 1923, Nr. 10. Es wird erst eine unzureichende Lösung des Problems gegeben. Ein Batteriestrom wird durch zwei parallel geschaltete gleiche Heizdrähte geleitet, die an den entgegengesetzten Breitseiten eines Brettes angebracht sind. Ein im Nebenschluß angebrachtes Galvanometer wird keinen Ausschlag geben, wenn beide Drähte auf gleicher Temperatur sind und gleichen Widerstand aufweisen. Das ist der Fall, wenn die Drähte in der Strömungslinie der Luft liegen. Ist das aber nicht der Fall, so wird der im Luv befindliche mehr abgekühlt, die Widerstände werden ungleich, das Galvanometer wird ausschlagen. Mangel der Lösung: Bei konstanter Windrichtung und variabler Windgeschwindigkeit wird die Differenz i_1-i_2 , die den Galvanometerausschlag erzeugt, sich ändern. Letzterer wird also von der Geschwindigkeit mitbeeinflußt. Ihre Wirkung muß eleminiert werden. Definitive Lösung: Es wird ein Differentialgalvanometer verwendet, das außer der in entgegengesetztem Sinne durchflossenen Doppeldrahtspule an der gleichen Drehachse noch eine trägt, die im gleichen Sinne vom Strom passiert wird, in der dann die Summe i_1+i_2 zur Wirkung kommt. Auf diese Art werden die Geschwindigkeitsvariationen, die von i_1+i_2 abhängig sind, kompensiert. Die Abhandlung enthält auch eine Reproduktion der Richtungsregistrierung (optisch). Die Registriergeschwindigkeit beträgt 2 cm pro Sekunde. CONRAD-Wien.

Frederick Kraissl. A compact distillation apparatus. Journ. Opt. Soc. Amer. 9, 81, 1924, Nr. 1. Kleiner Wasserdestillationsapparat aus Pyrexglas.

L. Bieberbach. Über die mathematischen Grundlagen der Nomographie. ZS. d. Ver. d. Ing. 68, 495-498, 1924, Nr. 20. Einleitend führt Verf. einige durch das Buch von Lacmann bekannter gewordene Beispiele aus. Die Näherungsformel für Grundwehre $Q = B(\sqrt{H_1^3} + C.H_2\sqrt{H_1})$, in der B und C konstant, H_1 , H_2 und Qvariabel sind, gehört dem Typus der kubischen Gleichungen an und kann daher auf einem parallelen Trägersystem mit regelmäßigen Teilungen Q und H_2 dargestellt werden. Der Träger (H_1) ist krummlinig und von der dritten Ordnung. Für die Bazinsche Formel $k = \frac{87}{1 + \frac{c}{\sqrt{R}}}$ wird eine Leitertafel mit kreisförmigen Trägern (c)

und (R) und geradem Träger (k) angegeben. Die Produktform $f(\alpha) \cdot g(\beta) = h(\gamma)$ kann allgemein in Tafeln dieser Art Darstellung finden, da in einer Tafel für die quadratische Gleichung die Wurzeln auf einer Kreisteilung, das absolute Glied auf einem Durchmesser des Kreises erscheinen. Eine Fluchtlinientafel mit hyperbolischem Träger wird für die quadratische Gleichung entworfen und mit der Lalanneschen Netztafeldarstellung in Vergleich gezogen. Nicht ohne Interesse dürfte die geschichtlich bemerkenswerte Tafel von Kutter und Gauguillet sein, in der sich zum ersten Male (1869) die Methode der Fluchtlinien technisch ausgewertet findet. Am Ende wird das Clarksche Verfahren, die Reduzibilität einer Funktion zu untersuchen, kurz erörtert. SCHWERDT.

Paul Schreiber. Über polytropische Zustandsänderungen der Gase. Maschinenbau 3, 599-601, 1924, Nr. 17. Die Bilder der Funktionen $T=\alpha \cdot p^{\beta}$ und $p=\mu, T^{\gamma}, \lambda, \beta=1$ werden im doppelt logarithmischen Funktionsnetz entworfen. Die polytropische Konstante $K=c_p-A$. R. λ bestimmt sich für Luft: K=0.30 -0.07λ . Demnach kann die Strahlenschar $\log p = \lambda . \log T + \log \mu$ unmittelbar nach K beziffert werden. - Ref. gestattet sich zu bemerken, daß das kürzlich entwickelte Prinzip der Dualität ohne weiteres erlaubt, den Schreiberschen Entwurf in die handliche Fluchtliniendarstellung zu übersetzen. SCHWERDT.

M. Seiliger. Geradlinige Fluchttafeln für Gase und Dampf-Luftgemische. Maschinenbau 3, 601-603, 1924, Nr. 17. Es handelt sich um die Darstellung der

Funktionen pv=R. $T,\ m$. $J=a\left(k+rac{\xi}{2}
ight)$. $T,\ m$. $U=a\left(1+rac{\xi}{2}
ight)T, m$ AL_{isotherm}

 $= m\,A\,R\,T.\ln\frac{p_1}{p_2}$ in einem Gefüge von Fluchtlinientafeln mit geraden Leitern. Bemerkenswert und in nomographischer Beziehung neu dürfte das Verfahren sein, eine veränderliche Zapfenlinie zu benutzen und damit die Variation einer weiteren Größe in die Rechentafel einzuführen. Für Dampf-Luftgemische wird eine besondere Tafel

entworfen.

P. Luckey. Grundlagen der Nomographie. Wie bringt man eine Gleichung auf die Determinantenform? Maschinenbau 3, 603, 1924, Nr. 17. Verf. weist auf die in der ZS. f. angew. Math. u. Mech. 4, 66, 1924 angegebene Eliminationsregel hin. Die projektiven Umformungen der Determinante werden mit den projektiven Verzerrungen der Tafeln in Beziehung gesetzt.

Paul Schreiber. Die Anwendbarkeit der Flächennomographie. Maschinenbau 3, 604—605, 1924, Nr. 17. Darstellung von $log y = z \cdot x$ im einfach logarithmischen Netz und von $z = \sqrt[3]{u} \cdot \sqrt[3]{v}$ im doppelt logarithmischen Netz. Schwerdt.

M. Alliaume. Sur la résolution nomographique des systèmes d'équations. C. R. 176, 232—234, 1923, Nr. 4. Bei der Eichung von Meßinstrumenten handelt es sich um die Ermittlung der Apparatekonstanten aus mehreren Ablesungen. Verf. behandelt die Konstruktion von Nomogrammen für eine Gruppe gleichartiger Instrumente. Dabei ist die Eichung gleichbedeutend mit der Lösung eines Systems:

$$\varphi(x, y; z'_1, z'_2, z'_3, z'_4) = 0,$$

$$\varphi(x, y; z''_1, z''_2, z''_3, z''_4) = 0...,$$

wenn zwei gleiche Konstanten (x und y) vorhanden sind. In einem Nomogramm, das eine Fluchtlinientafel mit Kurvennetz darstellt (vereinigte Netz- und Leitertafel), ist dabei die Konstruktion des Netzes (x,y) nicht im einzelnen notwendig. Verf. untersucht des weiteren die Nomogramme für den Fall, daß es sich um zwei verschiedene Eichungsfunktionen φ und ψ handelt.

W. Margoulis. Sur la théorie générale de la représentation de équations au moyen d'éléments mobiles. C. R. 176, 824—826, 1923, Nr. 12. Die Funktion $\Phi(z_1, \ldots, z_n) = 0$ ist darstellbar, wenn sie in die Form $F(M, N; z_n) = 0$ gebracht werden kann, wobei M und N Funktionen der Variablen $z_1 \ldots z_{n-1}$ und der Parameter sind. Für den Fall zweier Ebenen mit drei Freiheitsgraden gilt:

$$\begin{split} M &= f_{12} - (f_{34} + f_{56}) \cdot \sin{(f_7 + f_8)} + (g_{34} + g_{56}) \cdot \cos{(f_7 + f_8)}, \\ N &= g_{12} + (f_{34} + f_{56}) \cdot \cos{(f_7 + f_8)} + (g_{34} + g_{56}) \cdot \sin{(f_7 + f_8)}. \end{split}$$

Funktionen dieser Art sind ohne Zerlegung, d. h. Einführung von Hilfsveränderlichen, darstellbar. Entsprechende Funktionstypen bestehen für Nomogramme, in denen die Berührung von Kurvenelementen ausgewertet wird.

Maurice L. Huggins. A graphical method for the utilization of rotation spectra in crystal structure determination. Berichtigung. Phys. Rev. (2) 24, 96, 1924, Nr. 1. Die in diesen Ber. S. 1252 wiedergegebene Gleichung für x mußlauten:

 $x = \frac{\sin\lambda \cdot \sqrt{(h^2/a^2 + k^2/b^2) - \frac{1}{4} n^2 \lambda^2 (h^2/a^2 + k^2/b^2 + l^2/c^2)}}{1 - \frac{1}{2} n^2 \lambda^2 (h^2/a^2 + k^2/b^2 + l^2/c^2)} \cdot \text{Schwerdt}$

W. H. Martin. The Transmission Unit and Telephone Transmission Reference Systems. Journ. Amer. Inst. Electr. Eng. 43, 504-507, 1924, Nr. 6. Bell System Techn. Journ. 3, 400-408, 1924, Nr. 3. [S. 1774.]

C. W. Smith. Practical application of the recently adopted transmission unit. Bell System Techn. Journ. 3, 409-413, 1924, Nr. 3. [S. 1774.] Salinger.

A. Blondel. Abaque pour le calcul des constantes caractéristiques des lignes de transmission aérienne à haute tension. C. R. 178, 1239—1244, 1924, Nr. 15. Die Gleichungen für die charakteristische Impedanz und der Ausdruck für die Konstante der Ausbreitung werden umgeformt:

$$\overline{m} = \sqrt{\frac{l}{c}} \cdot \frac{A}{B}, \quad n = w \cdot \sqrt{l \cdot c} \cdot A \cdot B;$$

$$A = \sqrt{1 - \frac{i r}{w l}}, \quad B = \sqrt{1 - \frac{i g}{w \cdot c}}; \quad w \cdot c = \frac{2 \cdot f}{10 \cdot ln \frac{d}{a}} \cdot 10^{-6} \frac{\text{Ohm}}{\text{km}}.$$

Als unabhängige Variable der logarithmischen Netztafel wird $\frac{d}{a}$ gewählt. Verf. hat die Tafel für die Perioden 50 und 5000 entworfen.

A. E. Conrady. A Study of the Balance. Proc. Roy. Soc. London (A) 101, 211-224, 1922, Nr. 10.

Norman Campbell. The Measurement of time and other Magnitudes. Phil. Mag. (6) 38, 652-654, 1919. Nr. 227.

2. Allgemeine Grundlagen der Physik.

Arthur Haas. Vektoranalysis in ihren Grundzügen und wichtigsten physikalischen Anwendungen. Mit 37 Abbildungen im Text. VI u. 149 S. Berlin und Leipzig, Vereinigung Wissenschaftlicher Verleger Walter de Gruyter & Co., 1922.
[S. 1706.] SCHWERDT.

Hans Kienle. Die astronomischen Prüfungen der allgemeinen Relativitätstheorie. Ergebnisse der exakten Naturwissenschaften. Herausgegeben von der Schriftleitung der "Naturwissenschaften". Dritter Band, S. 55—66. Berlin, Verlag von Julius Springer, 1924.

G. Darmois. Éléments de géométrie des espaces. Introduction aux théories de la relativité genérale. Ann. de phys. (10) 1, 5-88, 1924, Jan./Febr. Grundzüge der mehrdimensionalen Differentialgeometrie und des Tensorkalküls, daran anschließend kurze mathematische Darlegung der Einsteinschen Gravitationstheorie. Inhaltlich nichts Neues.

Th. de Donder. Sur la fonction caractéristique de la gravifique. Bull. de Belg. (5) 10, 77—82, 1924, Nr. 1/3. Die Feldgleichungen der allgemeinen Relativitätstheorie für das mechanische und elektromagnetische Feld werden in bekannter Weise aus einem Wirkungsprinzip abgeleitet.

Th. de Donder. Sur les effets physiques produits par le mouvement et la répartition des ultra-électrons. Bull. de Belg. (5) 10, 118-125, 1924, Nr. 1/3.

Die Beziehungen zwischen den Koordinaten eines ruhenden und eines irgendwie bewegten Systems werden abgeleitet aus der Transformation des Minkowskischen Linienelements.

Ch. de la Vallée Poussin. Le temps et la relativité restreinte. Bull de Belg. (5) 9, 569—611, 1923, Nr. 12. In diesem klar und übersichtlich gehaltenen Vortrag unterscheidet Verf. eine psychologische, physikalische und mathematische Zeit und beleuchtet danach ausführlich das Wesen des relativistischen Zeitbegriffs samt seinen bekannten Paradoxien. Er betont den physikalischen Charakter der Lehre und überläßt die Entscheidung ihrer Richtigkeit dem experimentierenden Physiker. Metaphysische Spekulationen werden abgelehnt.

E. Brylinski. L'expérience de Michelson et la contraction de Lorentz. C. R. 177, 1023—1025, 1923, Nr. 21. Verf. entwickelt Formeln, aus denen hervorgehen soll, daß die übliche Erklärung des negativen Ausfalles des Michelsonschen Versuches durch eine Kontraktion der Materie nicht richtig sein kann. An Stelle des Lorentzschen Ausdruckes für die Kontraktion erhält er nämlich eine Reihenentwicklung, in der auch die ungeraden Potenzen von β vorkommen, was zu unmöglichen Konsequenzen führen würde.

A. Metz. Au sujet de l'interprétation de l'expérience de Michelson. C. R. 178, 1265—1266, 1924, Nr. 15. Verf. weist auch diesmal (vgl. diese Ber. S. 1122, 1123) die Fehlerhaftigkeit und Unhaltbarkeit der Brylinskischen Berechnungen nach. Lanczos.

Arthur Bramley. Condition that an electron describe a geodesic. Proc Nat. Acad. Amer. 10, 103-107, 1924, Nr. 3. Verf. schreibt die Gleichung an:

$$S_i^k = T_i^k + \Delta_i^k,$$

wobei S_i^k den elektromagnetischen Spannungs-Energietensor, T_i^k den Materietensor bedeuten soll, Δ_i^k die Wirkung der am Elektron angreifenden nicht-Maxwellschen Kräfte. Er kommt zum Resultat, daß die notwendige und hinreichende Bedingung dafür, daß das Elektron in einem Riemannschen Raume eine geodätische Linie beschreiben soll, darin besteht, daß die Hauptachsen von Δ_i^k unbestimmt werden. Lanczos.

G. Lemaître. The Motion of a Rigid Solid according to the Relativity Principle. Phil. Mag. (6) 48, 164—176, 1924, Nr. 283. Die Gleichzeitigkeit wird in der speziellen Relativitätstheorie nur für eine gleichmäßige Translationsbewegung definiert. Es wird die Frage gestellt, was unter Gleichzeitigkeit zu verstehen ist, wenn ein starrer Körper im Minkowskischen Raum sich irgendwie bewegt. Bereits Herglotz hat die hier möglichen Bewegungstypen festgestellt (s. Ann. d. Phys. (4) 31, 393—415, 1910) und zwei Klassen A und B unterschieden. Bei der Klasse A gibt es Flächen (es sind Ebenen), die sämtliche Weltlinien des Körpers orthogonal schneiden. Hier existiert eine universelle, für alle Punkte des starren Körpers geltende Gleichzeitigkeit. Bei den Bewegungsformen, die zur Klasse B gehören, kann hingegen die Gleichzeitigkeit nur für unendlich benachbarte Punkte eindeutig definiert werden, während sie für endliche Entfernungen von der gewählten Verbindungslinie der beiden Punkte abhängt. Für beide Bewegungsklassen werden die Formen des sich ergebenden Linienelementes hingeschrieben und der Unterschied zwischen der Eigenzeit und der durch Gleichzeitigkeit definierten Zeitkoordinate berechnet.

L. Silberstein. Determination of the Curvature Invariant of Space-Time. Phil. Mag. (6) 47, 907—918, 1924, Nr. 281. Inhaltlich übereinstimmend mit einer hier bereits referierten (dem Referenten als recht wenig glaubwürdig erscheinenden) Arbeit des Verf. in Nature 113, 350—351, 1924 (siehe diese Ber. S. 1121).

Ludvik Silberstein. The Curvature of de Sitter's Space-Time derived from Globular Clusters. Month. Not. 84, 363—366, 1924, Nr. 5. Im Anschluß an seine Untersuchung in bezug auf die de Sittersche Welt (siehe vorstehenden Hinweis) berechnet Verf. hier die kritische Entfernung r^* , in welcher die de Sittersche "Abstoßung" mit der gravitationalen Anziehung eines Himmelskörpers das Gleichgewicht halten soll. Er findet hierfür die Formel: $\left(\frac{r^*}{R}\right)^3 = \frac{L}{R}$, wo L den Gravitationsradius der betreffenden anziehenden Masse bedeutet. Unter Zugrundelegung des vom Verf. berechneten Wertes für den Weltkrümmungsradius R folgt in Anwendung auf die Sonne eine Entfernung von $r^* = 7.1 \cdot 10^5$ astron. Einheiten, was einer Parallaxe von

der betreffenden anziehenden Masse bedeutet. Unter Zugrunderegung des vom Vertsberechneten Wertes für den Weltkrümmungsradius R folgt in Anwendung auf die Sonne eine Entfernung von $r^* = 7,1\cdot 10^5$ astron. Einheiten, was einer Parallaxe von 0,29" entspricht. Die Untersuchung der Entfernung von den 19 sonnennächsten Sternen zeigt bei 11 Sternen eine Parallaxe zwischen 0,26" und 0,33" liegend, während bei einer gleichmäßigen Verteilung nur 4,4 Sterne in diese Kugelschale zu fallen hätten.

- P. A. M. Dirac. Note on the Relativity Dynamics of a Particle. Phil. Mag. (6) 47, 1158—1159, 1924, Nr. 282. Die "kinematische Geschwindigkeit" eines Weltpunktes wird durch die Tangente an seine Weltlinie bestimmt. Andererseits kann durch den Impuls-Energietensor der Materie eine "dynamische Geschwindigkeit" eingeführt werden. Die Gleichheit dieser beiden Vektoren ist nicht ohne weiteres ersichtlich. Verf. zeigt, wie man für ein isoliertes Partikelchen aus der Grenzbedingung, die für den Materietensor infolge der Divergenzgleichung an der freien Grenze zwischen Materie und Vakuum bestehen muß, auf die Gleichgerichtetheit der beiden Geschwindigkeiten schließen kann.
- H. Zanstra. A study of relative motion in connection with classical mechanics. Phys. Rev. (2) 23, 528-545, 1924, Nr. 4. Um die Schwierigkeit des absoluten Bezugssystems zu überwinden, wurden drei Wege eingeschlagen. Man definiert das System auf relativer Basis, oder man gebraucht in den Bewegungsgleichungen ausschließlich nur relative Koordinaten oder man fordert Invarianz der Gleichungen für alle Bezugssysteme. Verf. findet den zweiten Weg als den für den Physiker befriedigendsten und entwickelt dementsprechend die Gleichungen der Newtonschen Mechanik in einer Form, daß in ihnen nur die relativen Lagekoordinaten der sich bewegenden Massenpunkte in bezug aufeinander vorkommen. Er setzt dabei die "Föpplsche Hypothese" voraus, daß nämlich für ein "Hauptbezugssystem" (in dem also $\Sigma m\dot{x}_i=0$) auch das Drehmoment des Universums verschwindet $[\Sigma m(x_i\dot{x}_k-x_k\dot{x}_i)=0]$. Auch für die Einsteinsche Theorie hält er es für möglich, die Bewegungsgleichungen auf relative Koordinaten zu beziehen, wenn eine der Föpplschen ähnliche Annahme eingeführt wird.
- L. Courvoisier. Bemerkungen zu dem Artikel von Hans Kienle: "Kosmische Refraktion" (Phys. ZS. 25, 1-6, 1924). Phys. ZS. 25, 187-188, 1924, Nr. 8. H. Kienle. (Erwiderung.) Kosmische Refraktion. Phys. ZS. 25, 306-307, 1924, Nr. 12.
- L. Courvoisier. Noch einmal "Kosmische Refraktion". Phys. ZS. 25, 391, 1924, Nr. 15. Als Erwiderung auf den Artikel von Kienle (siehe diese Ber. S. 591) verwahrt sich der an erster Stelle genannte Verf. dagegen, aus der großen Masse von Beobachtungen einzelne, vielleicht gerade besonders unsichere Beobachtungsreihen herauszugreifen, "um an ihnen gewissermaßen die geringe Vertrauenswürdigkeit des ganzen Materials nachzuweisen". Was die Heidelberger α-Beobachtungen der Venus anbelangt, so sind dieselben so einwandfrei wie möglich angelegt, und der Uhrstand

nicht, wie Kienle meint, aus Nachtbeobachtungen ermittelt. Die Anwendung eines von dem seinen verschiedenen Rechenverfahrens kann schwerlich etwas gegen den Charakter der abgeleiteten Erscheinung aussagen. — Kienle erwidert in der an zweiter Stelle angeführten Arbeit, daß es ihm hauptsächlich darauf ankam, "an einigen Stichproben die Anfechtbarkeit des von Courvoisier angewandten Reduktionsverfahrens zu demonstrieren, durch das eine Genauigkeit vorgetäuscht wird, die in dem Material a priori gar nicht enthalten ist". Er macht das an zwei beigegebenen Figuren graphisch deutlich. — In der zweiten Erwiderung bemerkt Courvoisier, daß das von Kienle beanstandete Reduktionsverfahren nicht allgemein, sondern allein bei den Deklinationsbestimmungen von im ganzen sechs Sternen benutzt wurde.

M. v. Laue und Nikhilranjan Sen. Die de Sittersche Welt. Ann. d. Phys. (4) 74, 252—254, 1924, Nr. 11. Für die kosmologischen Gleichungen wird das Feld innerhalb und außerhalb einer mit Materie belegten Hohlkugel berechnet. Die de Sittersche Welt kann aufgefaßt werden als Grenzfall des Schwerefeldes im Innern einer Kugelschale mit einem Halbmesser von der Größe √3/λ. Die Massendichte bleibt dabei unbestimmt, so daß dem "Massenhorizont" keine bestimmte Gesamtmasse zugeschrieben werden kann. Lanczos.

Kornel Lanczos. Flächenhafte Verteilung der Materie in der Einsteinschen Gravitationstheorie. Ann. d. Phys. (4) 74, 518—540, 1924, Nr. 14. Wenn an gewissen Flächen in den Ableitungen des Maßtensors nach den Koordinaten Unstetigkeiten auftreten, so bedeutet das physikalisch, daß die Fläche mit Materie belegt ist. Die Unstetigkeit in den Ableitungen läßt sich durch einen Tensor zweiter Ordnung $G_{i\,k}$ charakterisieren, den wir erhalten, wenn wir die Ableitung nach den zwei einander entgegengesetzt gerichteten Normalen ν' und ν'' auf beiden Seiten der Fläche bilden und das arithmetische Mittel nehmen:

Dieser Tensor wird "metrische Belegung" genannt. Eine metrische Belegung von der Form $G_{i\;k} = V_i \nu_k + V_k \nu_i$, wobei V_i einen beliebigen Vektor bedeutet, erzeugt keine Materie, sie kann vielmehr immer durch eine entsprechende Transformation der Koordinaten hervorgerufen und auch wieder aufgehoben werden. Durch Hinzufügung einer solchen "scheinbaren Belegung" ist es immer möglich, der Belegung eine "Normalform" vorzuschreiben. Darunter wird das Bestehen folgender Vektorgleichung verstanden:

$$\left(G_{is} - \frac{1}{2}g_{is}G\right)\nu^{s} = 0 \dots \dots \dots \dots \dots (II)$$

In diesem Fall ist der Zusammenhang zwischen dem Tensor der flächenhaft verteilten Materie, der "materiellen Belegung" $\mathfrak{T}_{i\;k}$, und der metrischen Belegung besonders einfach, nämlich

 $\mathfrak{T}_{i\,k} = G_{i\,k} - \frac{1}{2} g_{i\,k} G \dots \dots \dots \dots (I\,a)$

Es wird gezeigt, wie sich die Divergenzgleichung der räumlichen Materieverteilung auf den Fall der flächenhaften Verteilung überträgt. Hier besteht aber noch eine andere Bedingung für den Materietensor, nämlich seine Orthogonalität auf die Normale:

Bei räumlicher Materie tritt diese Beziehung ebenfalls auf als Grenzbedingung an der Oberfläche zwischen freiem Raum und Materie. Als Beispiel für die Anwendung der erhaltenen Resultate wird der auch von N. Sen (s. diese Ber. S. 1119) behandelte Fall des Gravitationsfeldes einer mit Materie gleichmäßig belegten Kugel durchgerechnet.

LANCZOS.

- G. von Gleich. Die relativistische Perihelstörung. S.-A. Astron. Nachr. 222, 49—58, 1924, Nr. 5308. Verf. entwickelt Formeln, aus denen hervorgeht, daß aus einem statischen, kugelsymmetrischen Linienelement jede beliebige Perihelstörung herausgeholt werden kann (die Feldgleichungen $R_{i\,k}=0$ werden dabei allerdings nicht berücksichtigt). Lanczos.
- R. Minkowski und H. Sponer. Über den Durchgang von Elektronen durch Atome. Ergebnisse der exakten Naturwissenschaften. Herausgegeben von der Schriftleitung der "Naturwissenschaften". Dritter Band, S. 67—85. Berlin, Verlag von Julius Springer, 1924.
- A. M. Mosharrafa. Half-integral quantum numbers in the theory of the Stark effect and a general hypothesis of fractional quantum numbers. Proc. Roy. Soc. London (A) 105, 641-650, 1924, Nr. 734. [S. 1790.] KRATZER.
- G. E. M. Jauncey. Theory of the width of the modified lines in the Compton effect. Phys. Rev. (2) 24, 204—205, 1924, Nr. 2. (Kurzer Sitzungsbericht.) Die Quantentheorie der Streuung wurde auf den Fall der Streuung an gebundenen Elektronen erweitert, indem in Energie- und Impulsgleichung des üblichen Ansatzes die Ablösungsenergie und die kinetische Energie des Atoms bzw. dessen Impuls aufgenommen werden. Der Impuls des Atoms soll gleich, aber entgegengesetzt gerichtet sein dem des Elektrons, welchen es im Augenblick der Ablösung in seiner (kreisförmig gedachten) Bahn hat. Die Wellenlänge der unter einem Winkel θ gestreuten Strahlung λ_{θ} ändert sich dann mit der Stellung des Elektrons in seiner Bahn. Diese Änderung von $\lambda_{\theta} = \delta \lambda_{\theta}$ (= Breite der Linie) wird für MoK-Strahlung bei Streuung an C unter 90^0 : für K-Elektronen 0.064 Å.-E., für L-Elektronen 0.021 Ä.-E. Compton fand experimentell $\delta \lambda_{\theta} = 0.027$ Å.-E.
- Arthur H. Compton. A general quantum theory of the wave-length of scattered x-rays. Phys. Rev. (2) 24, 168-176, 1924, Nr. 2. Die bisherige Quantentheorie der Streuung (Compton, Debye) galt nur für die Streuung an freien Elektronen. Erweitert man sie auf gebundene Elektronen, so sind zunächst zwei Fälle zu unterscheiden: a) das vom Quant h, v getroffene Atomelektron ist so fest gebunden, daß die übertragene Energie zur Abtrennung nicht ausreicht; da die Energie des Atomsystems dann nicht geändert wird und das Atom als kinetische Energie nur einen zu vernachlässigenden Betrag aufnehmen kann, resultiert aus diesem Vorgang Streuung ohne Änderung der Wellenlänge; b) das getroffene Elektron wird abgelöst und erhält selbst Energie und Impuls. Der bekannte Ansatz der Theorie ist dann so abzuändern, daß in die Energiegleichung die Ablösungsenergie und die kinetische Energie des Atoms, in die Impulsgleichung der Impuls P des Atoms aufgenommen werden. - Die Rechnung ergibt für die resultierende Wellenlängenänderung $\delta \lambda$ einen komplizierten Ausdruck, der als unbestimmte Größe den Impuls P (nach Größe und Richtung) enthält. Zunächst wird nun festgestellt, daß $\delta\lambda$ dann ein Minimum erreicht, wenn das streuende Elektron selbst keine kinetische Energie bekommt. Es wird dann $\delta \lambda = \lambda^2/(\lambda_s - \lambda)$, mit $\lambda =$ Wellenlänge der

auffallenden Strahlung, $\lambda_s=$ Absorptions-Grenzwellenlänge des streuenden Elektrons. Dieser Ausdruck ist identisch mit dem für die kurzwellige Grenze der tertiären Banden in den Messungen von Clark und Duane; diese Autoren deuten diese Banden bekanntlich als kontinuierliche Röntgenstrahlung der aus dem Niveau s ausgelösten Photoelektronen. Andererseits kann die ganze Quantenenergie h c/λ vom Elektron aufgenommen werden (Photoeffekt), wobei $\delta \lambda = \infty$ wird. Zwischen diesen Grenzen ist also der Betrag der Wellenlängenänderung unbestimmt. — Es muß deshalb versucht werden, über P eine plausible Annahme zu machen: Der Ablösungsenergie h c/λ_s entspricht ein Impuls h/λ_s ; dieser soll = P, seine Richtung gleich der des Primärstrahls sein. Mit dieser Spezialisierung folgt (unter Berichtigung zweier Druckfehler des Originals) $\delta \lambda = \frac{\lambda^2}{\lambda_s - \lambda} + 0.0242 (1 - \cos \varphi)$ ($\varphi =$ Winkel zwischen einfallendem

und gestreutem Strahl). - Der Vergleich mit den Ergebnissen der Messungen von Clark, Duane und Stifler zeigt im allgemeinen gute Übereinstimmung zwischen der nach der letzten Formel berechneten "Wellenlängenänderung" und der Lage des Maximums der "tertiären Banden". Eine Abweichung ist zu bemerken bei Streuung an den K-Elektronen von Mo; Verf. führt sie zurück auf die sehr feste Bindung dieser Elektronen. - Da also die Quantentheorie der Streuung zum gleichen Resultat führt wie die Annahme einer tertiären Strahlung, sucht Verf. letztere durch besondere Einwände zu entkräften: 1. Es ist — an leichten Elementen — festgestellt, daß die unter 900 gestreute Strahlung nahezu vollständig polarisiert ist. Bei einem tertiären kontinuierlichen Spektrum wäre dies nicht verständlich. 2. Die Intensität der fraglichen Strahlung ist so groß, daß die Clark-Duanesche Deutung nicht verträglich ist mit unseren Kenntnissen über den Wirkungsgrad des Energieumsatzes: Kathodenstrahlen-kontinuierliche Röntgenstrahlung. 3. In Aufnahmen von Ross ist das K a-Dublett von Mo ($\Delta \lambda = 0.004$ Å.-E.) in der gestreuten Strahlung eben getrennt; solche Schärfe könnte bei einem breiten Kontinuum nicht erreicht werden. KULENKAMPFF.

J. Boussinesq. Cours de physique mathématique de la faculté des sciences. XLVII u. 217 S. Compléments au tome III conciliation du véritable déterminisme mécanique avec l'existence de la vie et de la liberté morale. Paris, Gauthier-Villars & Cie., 1922. [S. 1705.]

Norman R. Campbell. Physics and Relativity. Nature 113, 784, 1924, Nr. 2848. Verf. warnt vor einer übertriebenen Einschätzung der Relativitätstheorie für das Gesamtbild der Physik. Einstein selber wie auch Eddington haben eine große Anzahl bedeutender Schöpfungen auch auf Gebieten, die vom Relativitätsprinzip gänzlich unabhängig sind. Erst die Zukunft wird über die wahre Tragweite der Theorie entscheiden.

Bohuslav Brauner. Einstein and Mach. Nature 113, 927, 1924, Nr. 2852. Gegenüber einer gelegentlichen Bemerkung Einsteins, daß Mach seine ablehnende Haltung gegenüber dem Atomismus vielleicht, wenn er noch leben würde, geändert hätte, führt Verf. als alter Schüler und persönlicher Freund Machs aus, daß derselbe bis zu seinem Lebensende den Atomismus als eine sehr fruchtbare Arbeitshypothese, aber vom Standpunkt der Erkenntnistheorie aus gefährliche Theorie betrachtet hat, ohne sich von dieser Meinung durch die Fülle der damals schon bekannt gewesenen überzeugenden radioaktiven Erscheinungen abbringen zu lassen.

3. Mechanik.

Heinrich Zlamal. Das Verhältnis der Einsteinschen Relativitätstheorie zur exakten Naturforschung. 1. Heft. Die phänomenalistische und die sophistische Auffassung und Bedeutung der Relativitätstheorie. XIII und 49 S. Wien und Leipzig, Wilhelm Baumüller, 1924. Aus dem Vorwort: "Der Zweck der mathematischen Auseinandersetzungen in der vorliegenden Abhandlung besteht... insbesondere auch darin, den ... Zusammenhang dieser Gleichungen (Lorentztransformationen) und ihrer Größen mit den Grundbegriffen der klassischen Mechanik, insbesondere dem euklidischen Raum und der wahren Zeit, als den einzigen erkennbar zu machen."

Arthur Haas. Vektoranalysis in ihren Grundzügen und wichtigsten physikalischen Anwendungen. Mit 37 Abbildungen im Text. VI u. 149 S. Berlin und Leipzig, Vereinigung Wissenschaftlicher Verleger Walter de Gruyter & Co., 1922. [S. 1706.]

P. Lasareff. Sur des relations entre les anomalies de magnétisme terrestre et celles de gravité. Journ. de phys. et le Radium (6) 5, 191—192, 1924, Nr. 6. SCHEEL.

6. von Gleich. Die relativistische Perihelstörung. S.-A. Astron. Nachr. 222, 49-58, 1924, Nr. 5308. [S. 1714.]

P. A. M. Dirac. Note on the Relativity Dynamics of a Particle. Phil. Mag. (6) 47, 1158—1159, 1924, Nr. 282. [S. 1712.] LANCZOS.

Chas. H. Lees, Jas. P. Andrews and L. S. Shave. The variation of Young's modulus at high temperatures. Proc. Phys. Soc. London 36, 405-416, 1924, Nr. 5. Es wird der Elastizitätsmodul eines 5 cm langen Drahtes oder Stabes, dessen eines Ende festgeklemmt und dessen anderes Ende beschwert ist, durch Herabbiegen des freien Endes bestimmt. Der Draht (Stab) befindet sich in einem elektrischen Ofen und die Apparatur ermöglicht es, dem Draht (Stab) jeden beliebigen Neigungswinkel gegen die Horizontale zu geben. Die Senkung des freien Endes wird mittels Mikroskop gemessen. Bei Al, Ni, Pt nimmt der Elastizitätsmodul (Modul von Young) mit zunehmender Temperatur ab, und zwar bis zu einer absoluten Temperatur gleich der halben absoluten Schmelztemperatur langsam, von da ab schneller und nähert sich dem Werte Null beim Schmelzpunkt. Annähernd bei der gleichen Temperatur, bei der eine Änderung im Verhalten des Elastizitätsmoduls beobachtet wird, tritt ein zähes Fließen des Materials ein (Al $\sim 200^{\circ}$ C, Ni $\sim 430^{\circ}$ C, Pt $\sim 600^{\circ}$ C). Der Elastizitätsmodul des geschmolzenen Quarzes ändert sich nur geringfügig zwischen 0 und 800° C. Der Elastizitätsmodul scheint sich in den Fällen, wo der Ausdehnungskoeffizient groß ist, besonders stark zu ändern. A. GEHRTS.

W. Geiss. Die elastischen Konstanten des Wolframs als Abhängige der Temperatur. ZS. f. Metallkde. 16, 31—32, 1924, Nr. 1. An Einkristall-W-Drähten wurden folgende Werte gefunden:

a To	rsionsn	odul.			
Temperatur absol 300	1 000	1 500	2 000	2 500	2 850
$kg/mm^2 \dots 16800$	16 000	15 200	13 400	12 400	11 200
Elastizitätsmodul.					
Temperatur absol		1 300	2 000	2 550	
$ m kg/mm^2 \ldots \ldots$	39 600	36 500	32 400	29 500	

Der Verlauf mit der absoluten Temperatur T läßt sich durch die Formel $F_T = F_0 \cdot \left(\frac{T_S - T}{T_S}\right)^b$ darstellen, in welcher T_S den Schmelzpunkt, b eine für beide

Moduln gleiche Konstante (0,263) bedeutet und die Festwerte E_0 und F_0 40 000 bzw. 17 100 kg/mm² betragen. Die Poissonsche Konstante ergibt sich zu 0,17 unabhängig von der Temperatur. Bei Zimmertemperatur ist der Temperaturkoeffizient — 82.10—6 (nach Physica 3, 322, 1923).

P. Lieber. Die Belastungsdauer bei der Härteprüfung weicher Metalle (Lagermetalle). ZS. f. Metallkde. 16, 128—131, 1924, Nr. 4. Die Versuche wurden mit einer Kugel von 10 mm Durchmesser unter einem Druck von 500 kg an fünf verschiedenen Lagermetallen (Regel-, Einheits-, Lurgi-, Calcium-, CMA-Metall) durchgeführt. Um von den Schwankungen der Härte an verschiedenen Beobachtungsstellen unabhängig zu werden, wurde während der Belastungszeit die Eindrucktiefe mittels Martensschen Spiegelapparates bestimmt. Die Härte ist bei der Belastungsdauer 0 (Spitzenhärte) am größten und nimmt mit steigender Belastungsdauer zunächstrasch, dann immer langsamer ab; diese Abnahme setzt sich auch noch über die Beobachtungszeit von 20 Minuten fort; sie ist bei Regel- und Einheitsmetall größer als bei den drei anderen. Durch besondere Versuche soll festgestellt werden, ob ein konstanter Wert zu erreichen ist. Bei Fe und Cu klingt die überhaupt kleinere Abnahme wesentlich rascher mit der Zeit ab, so daß bereits nach kurzer Zeit eine genügende Konstanz vorhanden ist. Die aus dem Eindruckdurchmesser berechnete Härte ist bei den Lagermetallen niedriger, bei Cu und Fe dagegen höher, als wenn sie aus der Eindrucktiefe ermittelt wird. Dies liegt daran, daß sich bei den Lagermetallen ein Randwulst bildet, während beim Cu und Fe der Rand des Eindruckes in der Druckrichtung der Kugel eingezogen wird. BERNDT.

Georg Welter. Schlagelastizität von Metallen und Legierungen. ZS. f. Metallkde. 16, 6—11, 1924, Nr. 1. Die Schlagelastizitätsgrenze wird mittels des Pendelschlagwerkes ermittelt. Dabei wird der Probestab durch eine Feder stets gegen die Auflage gezogen, gegen die er sich mit zwei abgerundeten Schneiden stützt. Die Schlagarbeit wird allmählich gesteigert und die auftretende bleibende Durchbiegung mittels Spiegelablesung ermittelt. Auch wiederholte Beanspruchung unterhalb der Elastizitätsgrenze ruft keine bleibende Durchbiegung hervor, während jeder Schlag oberhalb jener Grenze eine neue Durchbiegung erzeugt. Weichgeglühte Metalle, wie Al und Cu, besitzen praktisch überhaupt keine Schlagelastizitätsgrenze, die aber deutlich bei Messing, gehärteten Al-Legierungen, hartem Cu und Fe zu beobachten ist. Bei gekerbten Proben sind die Werte um 20 bis 40 Proz. niedriger; bei diesen erfolgt der Bruch auch wesentlich früher als bei ungekerbten Proben.

Theodore William Richards. Compressibility, internal pressure and change of atomic volume. Journ. Franklin Inst. 198, 1—27, 1924, Nr. 1. Der Verf. versucht zu zeigen, daß die Volumenveränderungen bei der Bildung einer kondensierten chemischen Verbindung aus festen oder flüssigen Komponenten auf einen durch die chemische Verwandtschaft hervorgerufenen Binnen- (Kohäsions-) Druck zurückzuführen sind. Ein Maß für die Größe dieses Kohäsionsdrucks gibt die Reaktionswärme, denn es zeigt sich, daß Reaktionswärme und Kontraktion bei der Bildung fester Salze parallel gehen. Für den Grad der Kontraktion spielt auch die Kompressibilität eine Rolle. Bei der Bildung der Alkalihalogenide, bei denen die Bildungswärmen ungefähr gleich sind, ist die Volumenkontraktion der Kompressibilität der Bestandteile annähernd

proportional. Schließlich werden die inneren Kohäsionsdrucke der reinen Metalle aus dem Atomvolumen und dem thermischen Ausdehnungskoeffizienten berechnet; sie schwanken zwischen 4000 Atm. beim Cäsium bis zu 632 000 Atm. beim Wolfram.

- W. Oertel und F. Pölzguter. Beitrag zur Kenntnis des Einflusses von Kobalt und Vanadin auf die Eigenschaften von Schnellarbeitsstahl. Bericht Nr. 47 des Werkstoffausschusses des Vereins deutscher Eisenhüttenleute (Sitzung vom 17. Juli 1924). 7 S. Durch Co-Zusatz wird die Schmiedbarkeit verbessert; ferner wird die erniedrigte Umwandlung beim Abkühlen mehrfach geteilt. Einen Einfluß auf das Bruchaussehen und die Ausdehnung des Härtebereiches hat er dagegen bei Mo-Stählen nicht, während dieser durch V nach höheren Temperaturen hin vergrößert wird. V verringert ferner sehr das Auftreten von Härterissen und erzeugt große Zähigkeit im gehärteten Zustande, begünstigt aber andererseits die Oberflächenentkohlung, die indessen in den W-haltigen Stählen sehr gering ist. Bei Mo-Stählen bleibt die Härtesteigerung mit zunehmendem V-Gehalt immer mehr zurück und erreicht erst nach Härtung von etwa 12000 ab den Wert V-freier Stähle, dabei darf sein Gehalt nicht über 2 Proz. gesteigert werden. Geschmiedete Drehstähle geben die beste Schnittleistung bei polyedrischem Gefüge mit möglichst weitgehender Lösung der Carbide. Deshalb wurde das Optimum bei Härtung von 11500 aus für Mo- und von 1250 bis 1300° aus für W-Stähle erzielt. Zusatz von Co und V verbessert die Schnittleistung; während aber 9 Proz. Co bei einem Mo-Stahl die Wirkung nur um 30 Proz. steigern, setzt 1 Proz. V sie bereits auf über 100 Proz. herauf; im übrigen addieren sich die Wirkungen von Co und V. Der beste Erfolg ist anscheinend mit einem Zusatz von 1,5 Proz. V erzielt. Ähnliche Ergebnisse zeitigten auch Versuche mit Spiralbohrern. Mit steigender Anlaßtemperatur nimmt die Härte aller Stähle bis 450° zunächst ab, erreicht bei 550 bis 625° einen Höchstwert und fällt dann schnell auf einen Kleinstwert dicht unterhalb Ac, (850°), um bei 950 bis 10000 infolge Lufthärtung wieder anzusteigen. BERNDT.
- C. W. Oseen. Über ein hydrodynamisches Problem. I. Arkiv för Mat., Astron. och Fys. 17, Nr. 4, 37 S., 1922, Nr. 1/2.
- D. Eydoux. Sur la nécessité de l'existence du vecteur tourbillon dans les mouvements des liquides, lorsqu'il y a variation d'énergie le long des trajectoires des diverses particules. C. R. 173, 701-703, 1921, Nr. 17.
- D. Riabouchinski. Sur quelques cas de mouvements plans des fluides autour de solides avec tourbillons. C. R. 174, 1224—1227, 1922, Nr. 19.
- D. Riabouchinski. Sur les équations du mouvement à deux dimensions de solides dans un liquide avec tourbillons. C. R. 175, 442-445, 1922, Nr. 11.
- W. J. Harrison. The pressure in a viscous liquid moving through a channel with diverging boundaries. Proc. Cambr. Phil. Soc. 19, 307-312, 1920, Nr. 6.
- W. J. Harrison. On the Stability of the Steady Motion of viscous liquid contained between two rotating coaxal circular cylinders. Proc. Cambr. Phil. Soc. 20, 455-459, 1921, Nr. 4.
- T. H. Havelock. The Stability of Fluid Motion. Proc. Roy. Soc. London (A) 98, 428-437, 1921, Nr. 694.

- R. H. Fowler and C. N. H. Lock. The Origin of the Disturbances in the Initial Motion of a Shell. Proc. Cambr. Phil. Soc. 20, 311-319, 1921, Nr. 3.
- R. H. Fowler and C. N. H. Lock. The Aerodynamics of a Spinning Shell. Part II. Phil. Trans. (A) 222, 227-247, 1922, Nr. 600.
- G. I. Taylor. Experiments with Rotating Fluids. Proc. Roy. Soc. London (A) 100, 114—149, 1921, Nr. 703.
- Sudhansukumar Banerji. Note on Spherical Waves of Finite Amplitude. Bull. Calcutta Math. Soc. 12, 189-192, 1920/21, Nr. 3.
- J. M. Burgers. Stationary streaming caused by a body in a fluid with friction. Proc. Amsterdam 23, 1082-1107, 1922, Nr. 8,
- Orazio Lazzarino. Sulle equazioni del moto di rotazione attorno ad un punto fisso di un solido avente un numero qualunque di cavità riempite da liquidi viscosi a densità diverse e comunque variabili. Lincei Rend. (5) 30 [1], 13—16, 1921, Nr. 1.
- E. Pistolesi. Le equazioni differenziali del moto dei fluidi applicate al campo di velocità prodotto dall'elica. Lincei Rend. (5) 31 [2], 20-24, 1922, Nr. 1/2.
- Mario Pascal. Circuitazione superficiale. II. Sua espressione vettoriale e teoremi generali analoghi a quelli sulla ordinaria circuitazione. Lincei Rend. (5) 30 [1], 117—119, 1921, Nr. 4.
- Mario Pascal. Circuitazione superficiale. III. Il teorema della forza sostentatrice nel caso di una corrente fluida speziale. Lincei Rend (5) 30 [1], 249—251, 1921, Nr. 8.
- Henri Villat. Sur les mouvements plans tourbillonnaires dans un fluide simplement ou doublement connexe, contenant des parois solides. C. R. 175, 445-446, 1922, Nr. 11.
- H. Lamb. Waves of Permanent Type on the Interface of two Liquids. Proc. Cambridge Phil. Soc. 21, 136-139, 1922, Nr. 3.
- Tommaso Boggio. Sopro un erroneo calcolo numerico relativo alle figure ellissoidali d'equilibrio di masse fluide rotanti. Lincei Rend. (5) 31 [2], 15—16, 1922, Nr. 1/2.
- Riabouchinski. Équations du mouvement d'un fluide rapportées à des axes mobiles. C. R. 173, 698-701, 1921, Nr. 17.
- D. Riabouchinski. Quelques considérations sur la forme du solide et l'énergie cinétique du fluide qui l'entoure. C. R. 174, 212—215, 1922, Nr. 4.
- D. Brunt. The Dynamics of Revolving Fluid on a Rotating Earth. Proc. Roy. Soc. London (A) 99, 397-402, 1921, Nr. 700.

 Scheel.
- W. Hort. Entstehung von Schwingungen durch nichtperiodische Kräfte bei Pumpenventilen und Oszillatorsirenen. ZS. f. techn. Phys. 5, 384-387, 1924, Nr. 9. Die von F. Aigner (vgl. dessen Handbuch der Unterwasserschalltechnik, Berlin, M. Krayn, 1922) angegebenen Oszillatorsirenen bestehen im wesentlichen aus einer runden, federnden Platte, an der vermöge eines schmalen Spaltes Wasser mit großer Geschwindigkeit radial vorbeiströmt. Der Apparat (der ganz ins Wasser eingetaucht werden kann) tönt mit der Eigenfrequenz der Platte, unter Bedingungen,

die in der Arbeit durch Rechnung ermittelt werden. Die Untersuchung wird geführt durch Aufstellung der Schwingungsdifferentialgleichung der Sirene, deren Dämpfungsglied unter bestimmten Bedingungen, unter anderem bei genügend großer Strömungsgeschwindigkeit im Spalt, verschwindet. Ein entsprechendes Verhalten zeigen federbelastete Pumpenventile in Gestalt der sogenannten Flatterbewegung bei der Ventileröffnung. Die Rechnungsergebnisse werden an Hand der Literatur über die tatsächlichen Erscheinungen verifiziert.

Wilhelm Hort. Die Geschwindigkeitsverteilung im Innern rotieren der zäher Flüssigkeiten. ZS. f. techn. Phys. 1, 213—221, 1920, Nr. 10. Die Rotation zäher Flüssigkeiten in Zylindern hat ein technisches Interesse z. B. bei gewissen Tachometern, bei denen die Geschwindigkeitsmessung durch Übertragung eines Drehmoments auf einen drehend-federnden Zeiger vermöge der Flüssigkeitsreibung vermittelt wird. Die Untersuchung der Geschwindigkeitsverteilung wird rechnerisch vollzogen durch Integration der hydrodynamischen partiellen Bewegungsgleichungen in Zylinderkoordinaten. Zur Auswertung werden Besselsche Funktionen imaginären Arguments benutzt, für die eine Erweiterung der Tafeln von Lord Rayleigh, Lord Kelvin (Report. Brit. Soc. 1893) sowie St. Aldis (Proc. Roy. Soc. London 64, 219, 1899) mitgeteilt wird. Die errechnete Geschwindigkeitsverteilung wird für einen speziellen Fall in räumlicher Darstellung wiedergegeben. W. Hobt.

Winifred L. Rolton and R. Stanley Troop. The effect of a magnetic field on the surface tension of a liquid of high susceptibility. Proc. Phys. Soc. London 36, 205—209, 1924, Nr. 3. Bei starken Lösungen von Eisenchlorid und Manganchlorid kann man selbst bei Feldstärken von 16000 Gauß keine Änderung der Oberflächenspannung feststellen, was im übrigen auch nicht zu erwarten ist. H. R. Schulz.

Allan Ferguson. Studies in Capillarity. I. Some General Considerations and an Discussion of Methods for the Measurement of Interfacial Tensions. Manchester Mem. 65, Nr. IV, 16 S., 1921, Nr. 1. Es wird zunächst darauf hingewiesen, daß die verschiedenen Methoden zur Bestimmung der Kapillaritätskonstante (Oberflächenspannung) mit äußerster Vorsicht gehandhabt werden müssen, da für jede nur ein bestimmter Geltungsbereich vorhanden ist und dieser bei den Messungen häufig nicht ausreichend berücksichtigt worden ist. Dann wird durch ein einfaches Näherungsverfahren, das auf einer sukzessiven Integration beruht, indem zuerst ein Näherungswert eingesetzt wird, mit Hilfe dessen eine zweite Näherung erreicht wird, die Gleichung der Meridiankurve entwickelt. Dabei wird für die Beziehung zwischen Kapillaritätskonstante a^2 , Kapillarradius r und Steighöhe h gefunden:

$$2a^2 = rh\left(1 + \frac{1}{3}\frac{r}{h} - 0.1288\frac{r^2}{h^2} + 0.0429\frac{r^3}{h^3}\right),$$

also ein Ausdruck, der zwischen dem von Poisson gegebenen und dem Rayleighschen liegt. — Ebenso wird der Fall eines großen Tropfens behandelt, bei dem ein graphisches Auswertungsverfahren empfohlen wird. Bei zwei verschiedenen Versuchsanordnungen wurde für die Oberflächenspannung von Wasser 73,4 bzw. 73,7 Dyn/cm gefunden.

H. R. Schulz.

Allan Ferguson. Studies in Capillarity. II. On a Modification of the Capillary Tube Method for the Measurement of Surface Tensions. Manchester Mem. 65, Nr. V, 8 S., 1921, Nr. 1. Da die Steigmethode große Schwierigkeiten bietet, wird folgender Weg vorgeschlagen: Die Flüssigkeit wird in der Kapillare

bis zur unteren Öffnung gedrückt und der hierzu erforderliche Druck als Maß der Oberflächenspannung benutzt. Man vermeidet dadurch die Schwierigkeiten der Kalibrierung, der Reinigung und der Temperaturbestimmung, zumal die Eintauchtiefe durch eine am Kapillarrohr befestigte Nadel sicher gemessen werden kann. Ist die Dichte der Manometerflüssigkeit ϱ_1 , die Höhendifferenz am Manometer h_1 , und sind die entsprechenden Werte für die zu untersuchende Flüssigkeit ϱ und h, so gilt

$$T = A(\varrho_1 h_1 - \varrho h) + \frac{g \varrho r^2}{6},$$

wobei r der Kapillarradius und A eine Konstante ist. Für Benzol wird erhalten $T_{15}=29{,}65~{\rm Dyn/cm}$, für Toluol $T_{15}=29{,}29~{\rm Dyn/cm}$. Der Verf. bestätigt, daß Benzol als Normalflüssigkeit wenig geeignet erscheint, da der T-Wert stark vom Reinigungsverfahren abhängt. Der niedrigere Wert (29,6) ergibt sich nur bei Messung unmittelbar nach mehrfacher fraktionierter Kristallisation.

Allan Ferguson. A Note on Mr. Ablett's Paper on the Angle of Contact between Paraffin Wax and Water. Phil. Mag. (6) 47, 91—93, 1924, Nr. 277, Januar. Klarstellung des Unterschieds zwischen dem Verfahren des Verf., Oberflächenspannungen zu messen (vgl. diese Ber. 3, 929, 1922) und dem Abletts (vgl. diese Ber. 4, 1425, 1923). Während Ferguson die Kapillarität aus dem Druck bestimmt, der erforderlich ist, um den Meniskus bis zum unteren Ende des eingetauchten Kapillarrohrs zu drücken, ermittelt Ablett den Randwinkel zwischen Wasser und einem sich drehenden Paraffinzylinder. Es muß also beachtet werden, daß bei Ferguson statische, bei Ablett dynamische Verhältnisse vorliegen. R. Vieweg.

André Marcelin. Extension de l'application de la loi des gaz aux solutions superficielles. C. R. 179, 33—35, 1924, Nr. 1. Eine monomolekulare Schicht von Ölsäure, auf Wasser gebracht, breitet sich, wenn freie Oberfläche zur Verfügung steht, immer weiter aus. Bezeichnet S die Oberfläche der Fettschicht, ν die Ausbreitungsgeschwindigkeit des freien Randes, so findet man $\nu S = const.$ Da ν dem Druck in der Schicht proportional ist, kann man folgern, daß sich eine derartige Schicht wie ein ideales Gas verhält.

E. H. Barton and H. M. Browning. Viscosities of Liquids experimentally correlated to Pendulum Dampings. Phil. Mag. (6) 47, 495—500, 1924, Nr. 279. Apparat: Ein Pendel trägt an seiner Stange mit Hilfe von Klammern ein Paar von Ebenen, welche in die Flüssigkeit tauchen, deren Zähigkeit gemessen werden soll. Der Apparat kann für sehr zähflüssige Substanzen, aber auch für Wasser gebraucht werden. — Die Theorie leitet für das logarithmische Dekrement einer Halbschwingung die Beziehung ab: $\lambda = \frac{k\pi}{p} = \left\{ C \eta \pi / Lz \sqrt{GJ} \right\} + \lambda_0 \quad \text{oder} \quad \lambda - \lambda_0 = \text{ungefähr } \frac{\eta}{z} \\ (\lambda_0 = \text{Dämpfung für Luft}). \quad \text{Ist nach } n \text{ Halbschwingungen die Amplitude der Schwingungen auf die Hälfte verkleinert, so gilt } e^{-nk\pi/p} = \frac{1}{2} = e^{-n\lambda}. \quad \text{Daraus} \\ \lambda = \frac{1}{n} \log_e 2 = \frac{0.693 \, 15}{n}. \quad \text{Aus } n \text{ kann also } \lambda \text{ und daraus } \eta \text{ gefunden werden.} \quad \text{Stöckl.}$

Richard von Dallwitz-Wegner. Über die Messung der "Schmierfähigkeit" von Schmierölen. ZS. f. techn. Phys. 5, 378-384, 1924, Nr. 9. Im wesentlichen nach dem bereits früher (Petroleum 19, 1247-1253, 1923; diese Ber. S. 736) mitgeteilten Verfahren hat der Verf. Randwinkel zwischen Metallen (Eisen, Kupfer) und Flüssigkeiten (Wasser, Glycerin und einige Öle) bestimmt. Z. B. ist der Randwinkel Leitungswasser/Kupfer bei einer Meßtemperatur von 22°C zu 82°10′ angegeben;

Cottonöl/Eisen 44° 40′, Cottonöl/Kupfer 48° 0′; Rüböl/Eisen 49° 20′, Rüböl/Kupfer 41° 15′; Knochenöl/Eisen 52° 30′, Knochenöl/Kupfer 49° 55′. Die Werte sind Mittelwerte aus mehreren Messungen; über die Streuung ist nichts ausgesagt. Auch über die Reinigung der Oberflächen, auf die es hier wie bei allen Benetzungsuntersuchungen in erster Linie ankommt, sind definierte Angaben nicht gemacht.

R. Vieweg.

Chavastelon. Sur la diffusion de la vapeur de soufre, dans l'air, à la température ordinaire. C. R. 177, 1040-1041, 1923, Nr. 21. Um Schwefelstücke herum, welche durch gröbliches Zerkleinern einer Schwefelstange erhalten und auf eine Silber-, Kupfer- oder Bleiplatte gelegt sind, bräunt sich das Metall und wird in der unmittelbaren Umgebung des Schwefelstückes später schwarz, während sich der Durchmesser der braunen Stelle vergrößert und nach außen hin in eine regenbogenartig gefärbte Zone übergeht. Die Erscheinung läßt sich am besten beim Silber verfolgen. Nach sechs Monaten war beim Liegen in vollkommener Dunkelheit bei der nahezu konstanten Temperatur 120 und dem Durchmesser der Stücke 1,4 bis 3 mm das durchschnittliche Verhältnis: Durchmesser der Flecke/Durchmesser der Bruchstücke 2,2, beim Liegen am Licht und Temperaturen zwischen + 12 und 300 betrug es im Mittel 4.3 mm. Die Flecke entstehen durch Vereinigung des Metalls mit gasförmigem Schwefel, der sich bis zu geringen Entfernungen von dem festen Schwefel ausbreitet, und zu ihrer Entstehung ist die unmittelbare Berührung zwischen Metall und Schwefel nicht nötig, sie entstehen vielmehr auch, wenn man dem auf einer Glasplatte liegenden Schwefelstück von oben her die Metallplatte bis auf mindestens 1,5 mm nähert oder den Schwefel mittels Paraffin auf einer Glasplatte aufkittet und ihn von oben her auf die Metallplatte wirken läßt. In den beiden letzten Fällen war das Verhältnis des Durchmessers des in sechs Monaten auf einer Silberplatte erzeugten schwarzen Flecks zum Durchmesser des Schwefelstücks im Mittel 4. Bei höherer Temperatur und längerer Einwirkungsdauer wird das erwähnte Verhältnis größer. Aus der Gesamtheit der Versuche, bei denen die Temperatur bis + 50° betrug, geht hervor, daß die Diffusion der Schwefeldämpfe bis zu einer Entfernung von dem Schwefelstück erfolgt, die das 1,5- bis 4fache von seinem Durchmesser beträgt.

W. Herz. Über innere Reibung und freien Raum. ZS. f. anorg. Chem. 136, 325-328, 1924, Nr. 3/4. Es wird die Frage behandelt, ob zwischen der Viskosität und dem freien Raum, d. h. der Differenz des Molvolumens und dem wirklich von Materie erfüllten Flüssigkeitsraum, Zusammenhänge bestehen. Betrachtet wird der Ausdruck $J = \frac{M}{d} - \frac{M}{d_0}$ (M Molvolumen, d Dichte bei einer beliebigen Temperatur, do Nullpunktsdichte), der ein Maß des freien Raums darstellt. Aus den Berechnungen, die für einige Ester durchgeführt sind, ersieht man, daß die d-Werte, also die freien Räume mit wachsender Temperatur zunehmen und demnach die inneren Reibungen abnehmen. Es zeigt sich ferner, daß das Produkt aus \emph{A} und der absoluten Zähigkeit $\emph{\epsilon}$ sich einer Konstanz anzunähern scheint, oder mit anderen Worten, daß bei sehr großen Molekelzwischenräumen entsprechend sehr hohen Temperaturen innere Reibung und freier Raum im Gesamtvolumen wahrscheinlich genau umgekehrt proportional werden. Die Differenzen der Produkte Δ.ε pro 100 fallen um so größer aus, je weiter bei der Vergleichstemperatur der Stoff von seiner kritischen Temperatur entfernt ist. Genau so verhalten sich die Kohlenwasserstoffe und Alkohole, nur liegen bei den letzteren die Differenzen der A. E-Werte nahe den Siedepunkten weiter auseinander. Das scheint darauf hinzudeuten, daß die Gleichmäßigkeit in den Eigenschaften bei den Siedepunkten infolge der verschiedenen Assoziation geringer ist als bei den nicht assoziierten Flüssigkeiten. Отто.

J. Escher - Desrivières. Entraînement du polonium, en solution sodique, par divers corps. C. R. 178, 1713 - 1715, 1924, Nr. 21. Verf. bestimmt den Bruchteil Polonium, der aus einer Po-haltigen Sodalösung durch Eisen- oder Wismuthydroxyd oder durch Kohle mitgerissen wird. Er läßt sich durch eine Formel

$$X = \frac{a}{m^k} e^{\alpha n}$$

darstellen, wo m die Menge des mitreißenden Niederschlages, n die Konzentration der Sodalösung ist und a und k Konstanten sind; a hängt von der Natur des Niederschlages ab, und hat ober- und unterhalb einer gewissen Konzentration (n=9) einen bestimmten Wert, oberhalb derselben einen anderen, nur 0,4 von jenem betragenden Wert. Falls diese Diskontinuität reell ist, deutet sie auf eine Änderung in der Natur der Ionen oder des Komplexes, in dem sich das Po befindet. In schwach alkalischer Lösung (Soda $\frac{1}{10}$ norm.) wird das Po vollständig ausgefällt, in konzentrierter Sodalösung bleibt es vollständig in Lösung, was in Übereinstimmung mit anderen Forschern auf Kolloidbildung in der schwach alkalischen Lösung zurückgeführt wird. K. Przibram.

S. M. Levi. Löslichkeitskurven bei der Spaltung von Doppelsalzen. ZS. f. phys. Chem. 108, 411—430, 1924, Nr. 5/6. Bei der Spaltung von Doppelsalzen zeigen die Löslichkeitskurven einen größeren Zusammenhang, als man gewöhnlich annimmt. Mit der Temperatur der Spaltung sind noch drei Kreuzungspunkte verbunden, welche beim Auftragen aller Konzentrationen einerseits der Temperaturachse und bei der entsprechenden Verlängerung der Kurven zum Vorschein kommen. Es wird eine graphische Darstellung gegeben, bei welcher jeder festen Phase des Bodenkörpers eine charakteristische Löslichkeitskurve entspricht. Die plötzliche Löslichkeitsänderung bei einer Umwandlung zeigt sich für alle Salze des Bodenkörpers, was als Folge der Löslichkeitsbeeinflussung angesehen werden muß. Die Meyerhoffersche Regel muß aufgegeben werden. Es werden mehrere Beispiele der Spaltung [CdNa₂(SO₄)₂. 2 H₂O, Carnallit, Tachhydrit, Glauberit] betrachtet, ebenso die Löslichkeitsdaten des Doppelsalzes Na(NH₄)SO₄. 2 H₂O aus der unveröffentlicht gebliebenen Arbeit von A. Moser und dem Verf. mitgeteilt.

Otto Haehnel. Über die Löslichkeit der Carbonate des Strontiums, des Bariums und der Schwermetalle in Wasser unter hohen Kohlendioxyddrucken sowie über die Eigenschaften solcher Lösungen. Journ. f. prakt. Chem. (N. F.) 108, 187—193, 1924, Nr. 5/7. Die Löslichkeit der Carbonate der Erdalkalimetalle in kohlensäurehaltigem Wasser nimmt mit steigendem Kohlensäuredruck zu, wobei sich die Carbonate allmählich in Bicarbonate verwandeln. Die vollständige Umwandlung in Bicarbonat und damit die maximale Löslichkeit wird erreicht bei Sr(HCO₃)₂ oberhalb 35 Atm. und bei Ba(HCO₃)₂ oberhalb 25 Atm. Die gesättigten Lösungen enthalten 0,57 Proz. Sr(HCO₃)₂ bzw. 0,79 Proz. Ba(HCO₃)₂. Die Schwermetallcarbonate sind durchweg schwerer löslich, und zwar nimmt bei ihnen die Löslichkeit mit steigendem Kohlensäuredruck nur sehr langsam zu, so daß sich der Grenzwert nicht genau ermitteln läßt. Die direkten Löslichkeitsbestimmungen wurden durch Leitfähigkeitsmessungen kontrolliert.

Kia-Lok Yen. An absolute Determination of the Coefficients of Viscosity of Hydrogen, Nitrogen, and Oxygen. Phil. Mag. (6) 38, 582-596, 1919, Nr. 227.

Scheel.

Ernest Alfred Blench and William Edward Garner. The heat of adsorption of oxygen by charcoal. Journ. chem. soc. 125, 1288—1295, 1924, Juni. [S. 1798.]

C. V. Raman. On the Partial Tones of Bowed Stringed Instruments. Phil. Mag. (6) 38, 573-581, 1919, Nr. 227.

A. O. Rankine. General principles involved in the accurate reproduction of sound by means of a loud-speaker. Journ. Inst. Electr. Eng. 62, 265—268, 1924, Nr. 327. Proc. Phys. Soc. 36, 115—119, 1924, Nr. 2.

L. C. Pocock. Theory of loud-speaker design: some factors affecting faithful and efficient reproduction. Journ. Inst. Electr. Eng. 62, 268-270, 1924, Nr. 327. Proc. Phys. Soc. 36, 120-123, 1924, Nr. 2.

L. C. Fortescue. The sources of distortion in the amplifier. Journ. Inst. Electr. Eng. 62, 270-273, 1924, Nr. 327. Proc. Phys. Soc. 36, 124-128, 1924, Nr. 2. H. L. Porter. The acoustic problems of the gramophone. Journ. Inst. Electr. Eng. 62, 273-274, 1924, Nr. 327. Proc. Phys. Soc. 36, 129-131, 1924, Nr. 2.

E. K. Sandeman. The relative importance of each frequency region in the audible spectrum. Measurements on loud-speakers. Journ. Inst. Electr. Eng. 62, 275—278, 1924, Nr. 327. Proc. Phys. Soc. 36, 132—138, 1924, Nr. 2.

J. T. Mac Gregor-Morris and E. Mallett. The overtones of the diaphragm of a telephone receiver. Journ. Inst. Electr. Eng. 62, 278—280, 1924, Nr. 327. Proc. Phys. Soc. 36, 139—141, 1924, Nr. 2.

G. A. Sutherland. Auditorium acoustics and the loud-speaker. Journ. Inst. Electr. Eng. 62, 280—283, 1924, Nr. 327. Proc. Phys. Soc. 36, 142—148, 1924, Nr. 2. S. G. Brown. Some directions of improvement in the loud-speaking telephone. Journ. Inst. Electr. Eng. 62, 283—284, 1924, Nr. 327. Proc. Phys. Soc. 36, 149—150, 1924, Nr. 2.

P. P. Eckersley. The characteristics of a new type of loud-speaker. Journ. Inst. Electr. Eng. 62, 284, 1924, Nr. 327. Proc. Phys. Soc. 36, 151, 1924, Nr. 2. Diese Vorträge wurden im Rahmen einer Diskussion über das Problem der Lautsprecher gehalten und gehören zusammen. - Den Schalltrichter faßt Pocock als eine Verbindungsleitung zwischen der Membran und der Luft auf, die die Aufgabe hat. zwischen dem hohen Widerstand der Membran und dem geringen des Luftraumes einen möglichst reflexionsfreien Übergang zu vermitteln. Dies geschieht für die verschiedenen Frequenzen in verschiedenem Maße; doch zeigt der Versuch, daß der Eigenton der Membran eine weit größere Bedeutung hat als die Eigenfrequenzen des Trichters. Brown empfiehlt, Löcher bei ½, ¼ ... der Trichterlänge anzubringen, um die Bildung von Schwingungsbäuchen an dieser Stelle zu verhindern. Außerdem muß der Trichter aus dickem Material gebaut werden, damit er nicht selbst mitschwingt; aus dem gleichen Grunde soll er durch dämpfende Zwischenlagen vom Membrangehäuse isoliert werden. Bei Messungen an Lautsprechern ist nach Sandeman auf stehende Wellen, die sich zwischen dem Lautsprecher und der Meßeinrichtung oder im Empfangsraum ausbilden können, Rücksicht zu nehmen. Sutherland befaßt sich mit der Raumakustik. Nach einer von Jaeger (Wiener Ber. 1911) stammenden Formel geschieht der Anstieg bzw. Abfall der Dichte der Schallenergie in einem

parallelepipedischen Raum mit der Zeitkonstante $\frac{4 V}{a v S}$, wobei V der Inhalt, S die Wandflache, a deren Schallabsorptionskoeffizient und v die Schallgeschwindigkeit ist. Werte von a in Abhängigkeit von der Frequenz werden für einige Materialien nach Sabine mitgeteilt. — Aus der sehr eingehenden Diskussion, die im Journ. Inst.

Electr. Eng. abgedruckt ist, sei eine von mehreren Seiten vorgeschlagene Meßeinrichtung erwähnt, bei der eine Schwingung hörbarer Frequenz durch Überlagerung zweier Hochfrequenzschwingungen hergestellt wird, so daß bei Drehung eines Konden-

sators um 180° der ganze Bereich hörbarer Töne durchlaufen wird. Der Ausschlag einer schallanzeigenden Vorrichtung, die die Leistung des Lautsprechers mißt, kann dann als Funktion der Frequenz abgelesen oder auch bei passender Kopplung mit der Kondensatordrehung aufgezeichnet werden.

- W. H. Martin. The Transmission Unit and Telephone Transmission Reference Systems. Journ. Amer. Inst. Electr. Eng. 43, 504-507, 1924, Nr. 6. Bell System Techn. Journ. 3, 400-408, 1924, Nr. 3. [S. 1774.]
- C. W. Smith. Practical application of the recently adopted transmission unit. Bell System Techn. Journ. 3, 409-413, 1924, Nr. 3. [S. 1774.] SALINGER.
- E. Wiechert. Seismische Untersuchungen. I. Beobachtungen von Lufterschütterungen in Göttingen bei Sprengungen in Jüterbog. ZS. f. Geophysik 1, 14—21, 1924. Nr. 1/2. Lufterschütterungen durch Sprengungen in Jüterbog wurden in 215 km Entfernung in Göttingen gehört, durch zwei Luftdruckvariometer beobachtet und das $2^{1}/_{2}$ millionenfach vergrößernde Vertikalseismometer aufgezeichnet. Der Schall brauchte bei den drei Explosionen $734^{1}/_{2}$ bzw. $732^{1}/_{2}$ und 729 sec zum Durchlaufen der Strecke. Weitere starke Unruhe wurde beobachtet nach 795 bzw. 780 bis 810 sec (im dritten Falle). Vermutlich haben die Schallwellen einen Teil ihres Weges durch höhere Schichten der Stratosphäre zurückgelegt. Das Seismometer zeigte zwei Einsätze, deren erster etwa $1^{1}/_{2}$ sec nach der Variometerbeobachtung lag. Die Möglichkeit von Schallreflexionen an der Erdoberfläche wird erörtert.
- **B.** Gutenberg. Die seismische Bodenunruhe in Zi-ka-wei. ZS. f. Geophysik 1, 69-70, 1924, Nr. 1/2. Bemerkungen zu den Untersuchungen von Gherzi (diese Ber. S. 1319).

 GUTENBERG.
- B. Gutenberg. Brandung und Bodenunruhe. II. Mitteilung. Ann. d. Hydrogr. 51, 287—290, 1923, Nr. 12. Verf. deutet auf die Beziehung zwischen Seegang und Bodenunruhe insbesondere in Göttingen hin. In Kürze wird die Änderung der Perioden bei der Fortpflanzung der Bodenunruhe und die Möglichkeit der Bodenunruhe bei der Wettervorhersage berührt.
- E. Tams. Vereinheitlichung der Abschätzung von Erdbebenintensitäten. Petermanns Mitteil. 68, 1922, Dezember. Verf. gibt u. a. die seinerzeit von Mercalli und Cancani angegebene Skale nach einigen Änderungen wieder.
- C. Mainka. Physik der Erdbebenwellen. 157 S. Berlin, Verlag von Gebr. Borntraeger, 1923. (Sammlung geophysikalischer Schriften, Nr. 1.) Das erste Heft der Sammlung geophysikalischer Schriften behandelt in zusammenfassender Weise den physikalischen Teil der Erdbebenkunde. Nach kurzer Erklärung der seismischen Instrumente und deren Registrierungen an der Hand einiger typischer Beispiele mit bildlicher Wiedergabe geht Verf. auf die mathematische Behandlung der Seismogramme ein: Erklärung der einzelnen Erscheinungen, Feststellung der wahren Bodenbewegungen, Anwendung der Elastizitätstheorie, Aufstellung der Laufzeitkurven. die verschiedenen Methoden zur Festlegung des Weges der Erdbebenstrahlen, Ortsbestimmungen des Herdes, Herdtiefenberechnungen, Reflexionen der seismischen Wellen u. a. m. Um Umfang und Preis des Buches in mäßigen Grenzen zu halten, verzichtet Verf. auf ausführliche mathematische Ableitungen und gibt nur die notwendigen Entwicklungen. Ein sehr umfassendes Literaturverzeichnis erleichtert ein eingehenderes Studium.

F. Nölke. Geotektonische Hypothesen. Berlin, Verlag von Gebr. Borntraeger, 1924. (Sammlung geophysikalischer Schriften, Nr. 2.) Das zweite Heft der Sammlung geophysikalischer Schriften enthält eine kritische Zusammenstellung der verschiedenen Erklärungsversuche für die kausalen Zusammenhänge im geotektonischen Geschehen. Zur Erleichterung der Kritik werden im ersten Teil die vorhandenen geologischen Beobachtungstatsachen vorangestellt sowie theoretische Betrachtungen, wieweit die den geotektonischen Kräften zugewiesenen Funktionen physikalisch glaubhaft gemacht werden können. Der zweite Hauptteil bringt dann in kurzer klarer Form die Übersicht über die Hypothesen und die Argumente, die ihren wissenschaftlichen Wert beleuchten. Ohne der Prüfung auf empirischer Basis zu entsagen, legt Verf. auf die quantitative Nachprüfung besonders Gewicht. Nach kritischer Erörterung der einzelnen Hypothesen, besonders der Kontraktionshypothese, kommt Verf. zu dem bemerkenswerten Ergebnis, daß von allen Hypothesen nur die Kontraktionshypothese der Prüfung standhält.

L. Vegard. Sur la constitution des couches supérieures de l'atmosphère. C. R. 176, 1488-1491, 1923, Nr. 21. [S. 1788.] CONRADA

R. Hess. Die Statistik der Leuchtkräfte der Sterne. Ergebnisse der exakten Naturwissenschaften. Herausgegeben von der Schriftleitung der "Naturwissenschaften". Dritter Band, S. 38—54. Berlin, Verlag von Julius Springer, 1924.

P. ten Bruggencate. Über Reste einer Spiralstruktur in Sternhaufen. ZS. f. Phys. 24, 48-51, 1924, Nr. 1. Die zuerst von Shapley gefundene Tatsache, daß die Riesensterne in den Kugelhaufen um so heller sind, je röter ihre Farbe ist, verlangt, für die Sterne eines Kugellaufens einen gemeinsamen Ursprung anzunehmen. Es ist die gleiche Erscheinung wie bei einem Doppelstern, bei dem die beiden Komponenten gleichzeitig entstanden sind, die mit kleinerer Masse sich aber rascher entwickelt hat. Im Sternhaufen bleiben die großen Massen noch im frühen Riesenstadium; die kleinen Massen durchlaufen ihre Entwicklung rascher und haben deshalb schon die blaueren Spektralklassen erreicht. - Dieses Shapleysche Phänomen findet sich auch bei einigen offenen Haufen. Die Annahme eines gemeinsamen Ursprungs der Sterne eines Kugelhaufens und mancher offener Haufen weist auf das Studium der Vergangenheit der Haufen hin. In dieser Hinsicht ist es von Wichtigkeit, die Anordnung der Sterne verschiedener Helligkeit oder Spektren in den Haufen zu studieren. Freudlich und Heiskanen haben sogar auf Reste einer Spiralstruktur im Kugelhaufen Messier 13 hingewiesen. Verf. untersucht nach den auseinandergelegten Gesichtspunkten die Verteilung der hellen und schwachen Sterne in den Kugelhaufen Messier 13 und Messier 15 und die Reste einer Spiralstruktur im offenen Haufen Messier 37. Aus seinen quantitativen Resultaten zieht der Verf. den wichtigen dynamischen Schluß, daß in den Sternhaufen, auch im Zentrum, noch keine stationären Zustände erreicht sind.

W. W. Heinrich.
W. Hort. Die Prüfung von Geschwindigkeitsmessern. Feinmechanik 1, 135-138, 1922, Nr. 9. Bericht über die Methoden zur Prüfung von Tachometern auf Genauigkeit, Empfindlichkeit, Pünktlichkeit, Erschütterungsfestigkeit. Für die Pünktlichkeit wird eine neue Meßmethode (das Zeigerblatt des Instrumentes wird nach plötzlicher Einschaltung auf eine gegebene Geschwindigkeit kinematographiert) mitgeteilt.

W. Henrich.

P. Laffitte. Sur la propagation de l'onde explosive. C. R. 177, 178-180, 1923, Nr. 3. Verf. untersucht die Ausbreitung der Explosionswelle in einem explosiven

Gasgemisch, im vorliegenden Falle in einem Schwefelkohlenstoff-Luftgemisch (CS₂ + 2O₂), von dem Emissionszentrum nach allen Seiten hin, indem er nicht mehr die Lichterscheinung bei der Explosion des Gases in einem Rohr, sondern in einem Glasballon registriert. Zu diesem Zweck wird die Lichterscheinung im Glaskolben durch einen zwischen zwei T-förmigen Eisenschienen gebildeten Spalt von einem Objektiv auf den rotierenden Film abgebildet. Der größte Kreis des Kolbens, die Achse des Spaltes und die dazu senkrechte Achse des Objektivs liegen in einer Ebene. -Wenn bis zur Mitte des Kolbens ein 6 mm weites Rohr durch den Kolbenhals geführt wird, so erzeugt die das Rohr durcheilende Detonationswelle des Gases im Kolben nur eine explosive Verbrennung. Man sieht auf dem Film eine zu dessen Bewegungsrichtung fast senkrechte Begrenzungslinie der Lichterscheinung, welche der Detonationsgeschwindigkeit von 1800 m/sec im Rohr entspricht, an die sich eine viel stärker geneigte Begrenzungslinie anschließt, die der Explosionsgeschwindigkeit von nur 450 m sec entspricht, mit welcher sich die angeregte Explosion im Kolben ausbreitet. Man sieht dann noch eine größere Zahl von Reflexionswellen, die von den mehrfachen Reflexionen der Explosionswelle an den Wänden des Kolbens herrühren. - Erzeugt man dagegen im Mittelpunkt des Kolbens die Detonation des Gasgemisches durch Knallquecksilber, so besteht die hauptsächliche Lichterscheinung auf dem Film in einem gleichschenkligen Dreieck, dessen Schenkel durch ihre Neigung die Geschwindigkeit der vom Zentrum ausgehenden Detonation zu 1800 m/sec angeben. Die Ausbreitungsgeschwindigkeit einer Detonation vom Mittelpunkt des Kolbens nach allen Seiten ist also dieselbe wie die einseitig gerichtete Fortpflanzungsgeschwindigkeit der Detonation in einem Rohr. Bollé,

H. L. Curtis, W. H. Wadleigh and A. H. Sellmann. A camera for studying projectiles in flight. Techn. Pap. Bur. of Stand. 18, 189-202, 1924, Nr. 255. Die Kamera besteht aus einer mit Film bespannten Trommel, welche von einem mit mehreren Reihen von Schlitzen versehenen Hohlzylinder umgeben ist, der in eine dem Umlaufssinn der Trommel entgegengesetzte schnelle Rotation versetzt werden kann. Die Schlitzreihen folgen in Richtung der Trommelachse aufeinander und die Schlitze der einen Reihe sind gegen die der voraufgehenden im Umlaufssinne gegeneinander versetzt, die schmalen Schlitze verlaufen parallel zur Achse und jeder Schlitzreihe entspricht ein photographisches Objektiv, so daß die Kamera durch eine Reihe von Objektiven vervollständigt wird, die in einer senkrecht zur Umlaufsrichtung verlaufenden Richtung aufeinanderfolgen, so daß ihre einander parallelen Achsen in einer durch die Trommelachse gehenden Ebene liegen. Wenn die Tourenzahl der Filmtrommel so geregelt ist, daß das von einem entgegengesetzt zur Filmbewegung fliegenden Geschoß entworfene Bildchen sich ebenso schnell bewegt wie der Film, so werden von der Objektivreihe eine Reihe parallel zur Trommelachse und senkrecht zum Umlaufssinn nebeneinanderliegender Bildchen entworfen, wie eine vergrößerte Wiedergabe zeigt. (Auf dieser sind die Geschoßbildchen etwa 4 mm lang, es ist aber über die Entfernung der Kamera und die Art des Geschosses nichts mitgeteilt.) Die Bedingungen, um bei abweichender Geschwindigkeit von Film und Bild durch geeignete Wahl der in Betracht kommenden Tourenzahlen und Schlitzgrößen hinreichende Bildschärfe zu erhalten, werden entwickelt. Mit fünf Objektiven sind 250 Bilder pro Sekunde erhalten worden. Aus der Versetzung der Bildchen im Umlaufssinn können die Geschoßgeschwindigkeiten ermittelt werden, wenn Zeitmarken auf dem Film entworfen werden. Dies geschieht mit Hilfe einer Stimmgabel, deren Zinken je ein Blech mit einem Schlitz tragen. Die Schlitze fallen in der Ruhelage der Stimmgabel zusammen, so daß der Strahl einer Lichtquelle sie durchsetzt. Die Geschwindigkeiten

stimmen mit Le Boulengé-Messungen auf etwa 5 Prom. überein. Vergrößerte derartige Aufnahmen und Aufnahmen bezüglich der Relativbewegung von Geschoß und Pulvergasen werden mitgeteilt. Anwendungen der Kamera zur Bestimmung der Rotationsbewegung des Geschosses und des Verhaltens gegen Panzer werden erörtert. Doch scheint die Kleinheit der Bilder noch Schwierigkeiten zu machen.

H. B. Helmbold. Zur Aerodynamik der Treibschraube. ZS. f. Flugtechn. 15, 150-153, 170-173, 1924, Nr. 13/14, 15/16. Der Aufsatz schließt eng an die Prandtl-Betzsche Theorie des Schraubenpropellers an (Betz, Schraubenpropeller mit geringstem Energieverlust, Gött. Nachr. math.-phys. Kl. 1919, S. 193), leitet deren Ergebnisse mit Hilfe einer Näherungslösung für die ebene Gitterströmung in möglichst einfacher Weise ab und ergänzt sie durch Berücksichtigung der Energieverluste infolge der Luftreibung als Funktion der Profilgleitzahl ε (Verhältnis des Profilwiderstandes zum Auftrieb) des Flügels im ebenen Problem. Nach den einführenden Betrachtungen über die Anwendung der Prandtlschen Theorie der gebundenen Wirbel auf Gitter werden die Gesetze der schwach belasteten reibungslosen Schraube bei möglichst geringem Leistungsverlust abgeleitet. Hierauf werden unter Benutzung der Prandtlschen "gleichwertigen" Schraube mit unendlich großer Flügelzahl Formeln für die stark belastete Schraube, zunächst ohne und hierauf mit Reibung, abgeleitet. Zum Schluß folgen Angaben über Auswahl und Entwurf der Luftschrauben. Die Theorie wird auf Meßreihen ausgeführter Schrauben (amerikanische Versuche) angewandt und liefert selbst bei hohen Belastungsgraden so befriedigende Übereinstimmung mit der Praxis, daß sich eine Methode zur Bestimmung der Profilgleitzahlen & aus Propellerversuchen herausbilden läßt.

Georg König. Die Bedeutung systematischer Luftschraubenversuche (Dr. Schaffran) für die Praxis. ZS. f. Flugtechn. 14, 124-127, 1923, Nr. 15/16.

H. B. Helmbold. Die Sinkgeschwindigkeit der Segelflugzeuge. ZS. f. Flugtechn. 14, 121—122, 1923, Nr. 15/16.

Georg König. Zur Längsstabilität der Flugzeuge. ZS. f. Flugtechn. 14, 61-64, 1923, Nr. 7/8.

4. Aufbau der Materie.

Richard Lorenz und E. Bergheimer. Eine Bestimmung des Gewichtsverhältnisses von Chlor zu Silber. ZS. f. anorg. Chem. 138, 205—218, 1924, Nr. 2. Es wurde eine einfache Methode ausgearbeitet, welche die Bestimmung des Gewichtsverhältnisses von Chlor zu Silber durch Synthese des Chlorsilbers aus Silber und Salzsäure mit einem maximalen Fehler von \pm 0,003 Proz. erlaubt. Es ergab sich das Verhältnis Ag: Ag Cl = 100: (132,863 \pm 0,004), welches mit dem von Richards und Mitarbeitern gefundenen Wert 100: 132,867 befriedigend übereinstimmt. Zweck dieser Untersuchung waren Voruntersuchungen für eine im Gang befindliche Arbeit über die Trennung der Isotopen des Chlors.

Theodore William Richards. Compressibility, internal pressure and change of atomic volume. Journ. Franklin Inst. 198, 1-27, 1924, Nr. 1. [S. 1717.] ESTERMANN.

0. Maass. Molecular attraction and molecular combination. Journ. Franklin Inst. 198, 145-159, 1924, Nr. 2. Über die Größe der molekularen Anziehungskräfte kann man auf verschiedene Weisen Aufschluß gewinnen. Zunächst einmal bieten physikalische Daten, wie die Größe a in der van der Waalsschen Gleichung, die Oberflächenspannung sowie der Schmelzpunkt derartige Möglichkeiten für die Abschätzung der Größe der Kräfte zwischen Molekülen eines einheitlichen Stoffes. Um auch die Anziehungskräfte zwischen Molekülen verschiedener Stoffe abschätzen zu können, wurden zahlreiche Untersuchungen über die Kontraktion bzw. Druckverminderung beim Zusammentreten verschiedener organischer Dämpfe mit Halogenwasserstoffen ausgeführt, wobei sich zeigt, daß diese "Restvalenzkräfte" um so stärker sind, je stärker der polare Charakter der Gase ist. Sind die gegenseitigen Anziehungskräfte groß genug, so bilden sich Additionsverbindungen, die mit Hilfe von Schmelzpunktsdiagrammen nachgewiesen werden. Auch Messungen der Reaktionsgeschwindigkeiten bei tiefen Temperaturen wurden ausgeführt, und die aus ihnen gezogenen Schlüsse über die molekularen Anziehungskräfte lassen sich mit den nach den anderen Methoden gewonnenen vereinbaren.

Ludwig Moser und Rudolf Lessing. Die Bestimmung und die Trennung seltener Metalle von anderen Metallen. V. Mitteilung. Die Trennung des Zirkons und des Hafniums vom Titan, Cer und Thorium. Wien. Anz. 1924 S. 140-141, Nr. 17. Es wird ein neues Trennungsverfahren für die Elemente Titan, Zirkon mit Hafnium, Cer und Thorium mitgeteilt, das auf der verschiedenen Reaktion dieser Elemente zum Arsenat-Ion beruht.

Otto Feussner. Bohrsche Atomtheorie und elektrische Leitfähigkeit. ZS. f. Phys. 25, 215—219, 1924. Nr. 3. An der Stellen des periodischen Systems der Elemente, an denen nach der Bohrschen Atomtheorie jeweils nur ein Elektron auf einer Bahn kreisend anzunehmen ist, erreicht die atomare elektrische Leitfähigkeit (definiert nach Vegard) ein relatives Maximum. Eine Ausnahme scheinen zunächst die Elemente Cr. Mo und W zu bilden, jedoch lassen inzwischen erschienene Veröffentlichungen über die Elektronenanordnungen bei einzelnen von den dreien auch für diese Bestätigung der Regel erwarten.

Robert Bruce Lindsay. On the atomic models of the alkali metals. Journ. Math. and Phys. Massachusetts 3, 191—236, 1924, Nr. 4. Ausführliche Mitteilung der Berechnungen, über welche in diesen Ber. S. 1411 nach einem kurzen Sitzungsbericht in Phys. Rev. (2) 23, 552—553, 1924 bereits berichtet ist.

M. N. Saha and N. K. Sur. On an Active Modification of Nitrogen. Phil. Mag. (6) 48, 421-428, 1924, Nr. 285. [S. 1790.]

MINKOWSKI.

William D. Harkins. The stability of atom nuclei, the separation of isotopes, and the whole number rule. Journ. Franklin Inst. 195, 67—106, 1923, Nr. 1. Supplementary Note ebenda S. 553—573, Nr. 4. Siehe diese Ber. 1, 1313 f., 1481, 1920; 2, 90, 1207, 1309, 1345, 1921; 3, 370, 607, 1922; 4, 20, 75, 125, 641, 647, 865, 1000, 1923. Die Arbeit behandelt ausführlich und zusammenfassend die bekannten Methoden, welche Harkins mit seinen Schülern zur Trennung der Isotopen ausarbeitete. Die Theorie derselben wird entwickelt. — In verschiedenen Paragraphen werden Methoden zur Darstellung der Wegspur der «-Strahlen in Gasen entwickelt; viele lehrreiche Bilder solcher Wege sind abgedruckt und erörtert, namentlich die Gabelungen am Ende.

William D. Harkins and R. W. Ryan. A method for photographing the disintegration of an atom, and a new type of rays. Journ. Amer. Chem. Soc. 45, 2095-2107, 1923, Nr. 9. Mit einem abgeänderten Shimizu-Wilsonapparat, der erlaubte, die Wege der a-Teilchen und der allenfallsigen Bruchstücke der Atome in zwei aufeinander senkrechten Photographien festzuhalten, wurde eine sehr große Anzahl von Bildern über den Durchgang von hochgeschwinden a-Teilchen (Polonium oder Thorium C und C') durch Atome aufgenommen (21 000 Photographien der Spuren von «-Teilchen in Luft, ferner in Helium und in Äthylchlorid). Dabei wurden ungefähr 12 Billionen Atome durchflogen; aber nur in drei Fällen wurde der Kern eines Atoms des Gases so scharf getroffen, daß nach dem Zusammenstoß eine Bewegung des α-Teilchens nach rückwärts erfolgte. In einem dieser drei Fälle wurde das «-Teilchen nach dem Zusammenstoß um einen Winkel von 1550 aus seiner Bahn abgelenkt. - Ferner ist ein Bild wiedergegeben, das höchstwahrscheinlich die Zertrümmerung des getroffenen Kerns beim Zusammenstoß zeigt. (Am Treffpunkt zeigen sich nicht drei, sondern mehrere Wegspuren; die Spur des beim Stoß zurückgeworfenen a-Teilchens bildet mit der ursprünglichen Richtung den Winkel von 1650. Daß alle Spuren vom nämlichen Raumpunkt ausgehen, wird durch die zwei gleichzeitig erhaltenen Bilder bewiesen, deren Ebenen bei der Aufnahme senkrecht zueinander standen.) - Neue Strahlen: ζ-Strahlen. δ-Strahlen (nach Bumstead) konnten bei diesen Versuchen oft, besonders in Helium beobachtet werden; nahezu senkrecht zu den Spuren der erzeugenden α-Teilchen stehen die Spuren dieser Strahlen, die in Luft von gewöhnlichem Druck sehr kurz sind, etwa 0,5 mm lang. Dieselben rühren wahrscheinlich von langsamen Elektronen her, welche aus den Atomen losgelöst wurden, während ein α-Teilchen es durchquerte. — Neben diesen δ-Strahlen zeigten die aufgenommenen Bilder noch neue, 5-Strahlen genannt, deren Reichweite viele Male größer ist. Sie geben sehr feine, aber ganz deutliche Spuren, die stark gekrümmt sind, wahrscheinlich herrührend von Elektronen, die aus der K-Schale gerissen sind. Die Aussendung des ersten 5-Strahls ändert die Richtung des a-Strahls nicht wesentlich; sehr bald hinter der Spur des ersten ζ-Strahls folgt eine zweite, die in ihrer Krümmung der ersten parallel ist. Die Bahnen der Teilchen sind stark nach rückwärts gekrümmt; ihre Reichweite ist etwa 3 mm. Die zwei Spuren von zusammengehörigen ζ-Strahlen, welche das nämliche α-Teilchen erzeugte, liegen in nahezu parallelen Ebenen. Offenbar haben wir in diesen 5-Strahlen den Beweis, daß das nämliche α-Teilchen auf seiner Bahn aus zwei verschiedenen, weit voneinander entfernten Atomen Teilchen (Elektronen) unter gleichen Bedingungen herausschleudern kann. STÖCKL.

A. Miethe. Der Zerfall des Quecksilberatoms. Naturwissensch. 12, 597 —598, 1924, Nr. 29. Die Quecksilberlampen nach Jaenicke, bei denen die Elektroden mit der Luft kommunizieren, zeigen die Eigentümlichkeit, bei zu hoher Belastung bald schwarze Innenbeschläge zu bilden. Beim Abdestillieren des Quecksilbers aus derartigen gebrauchten Lampen wurde ein Rückstand erhalten — etwa 0,5 g aus 5 kg Quecksilber —, in dem außer zahlreichen anderen Verunreinigungen auch Gold gefunden wurde. Zur Prüfung der Möglichkeit, daß dieses Gold durch eine Art radioaktiver Umwandlung des Quecksilbers entstanden sein könnte, wurden von dem Verf. in Gemeinschaft mit Stammreich neue Versuche mit vorher sorgfältig analysiertem und als goldfrei befundenem Quecksilber ausgeführt. Die Lampen brannten bei den erfolgreichen Versuchen, bei denen Gold in Mengen von ½ 100 bis ½ 100 mg gefunden wurde, mit einer Elektrodenspannung von 170 Volt und 400 bis 2000 Watt. Die Versuchsdauer betrug 20 bis 200 Stunden. Nach Abschluß der Versuche wurde das

Quecksilber abdestilliert und der Rückstand mit Salpetersäure behandelt, wobei ein gelber Rest zurückblieb, der durch verschiedene Reaktionen als Gold nachgewiesen werden konnte. Eine Atomgewichtsbestimmung war noch nicht ausführbar; ebensowenig konnte Helium oder Wasserstoff oder eine β - oder α -Strahlung in der Lampe nachgewiesen werden. Die Goldbildung scheint ein gewisses Minimum von Spannung und Stromstärke zu erfordern. Damit hängt zusammen, daß in den gewöhnlichen Quecksilberlampen des Handels sowie bei einigen Versuchen mit geringeren Spannungen keine Spur Gold nachweisbar war.

F. Haber. Der Zerfall des Quecksilberatoms. Naturwissensch. 12, 635, 1924, Nr. 31. Der Verf. teilt mit, daß in seinem Institut 17 Quecksilberproben von Miethe auf Edelmetallgehalt untersucht worden sind, wovon sich ein Teil als goldhaltig erwies. Über den Ursprung und die Vorbehandlung dieser Proben hatte der Verf. keine Kenntnis und ist im übrigen an den Untersuchungen von Miethe und Stammreich unbeteiligt.

Louis A. Turner. A method for the estimation of the average life of excited mercury atoms. Phys. Rev. (2) 23, 553, 1924. Nr. 4. (Kurzer Sitzungsbericht.) Die Experimente von Franck und Cario über Dissoziation von H₂ beim Zusammenstoß mit durch Absorption der Resonanzlinie 2536,7 angeregten Hg-Atomen zeigen eine Abhängigkeit der Stärke der Dissoziation vom Druck. Die Wahrscheinlichkeit eines Zusammenstoßes während der Lebensdauer τ des angeregten Atoms ist $\tau/T + \tau$, wenn T die Zeit zwischen zwei Zusammenstößen ist. Nimmt man die Stärke der Dissoziation proportional dieser Wahrscheinlichkeit an, so erhält man eine lineare Beziehung zwischen reziprokem Druck und reziproker Stärke der Dissoziation. Aus den experimentellen Werten, die einer solchen Beziehung gehorchen, ergibt sich $\sigma^2 \tau = 7.4 \cdot 10^{-22}$, wo σ die Summe der Radien des H₂-Moleküls und des angeregten Hg-Atoms ist, also mit $\sigma = 10^{-7}\,\mathrm{cm}$ für die mittlere Lebensdauer τ 7,4 · 10⁻⁸ sec.

Gerhard Kirsch und Hans Pettersson. Über die Verwandlung der Elemente durch Atomzertrümmerung. I. Naturwissensch. 12, 495-500, 1924, Nr. 25. Nach kurzer Besprechung der Versuche von Rutherford über die Atomzertrümmerung berichten die Verff. zusammenfassend über entsprechende Versuche im Wiener Institut für Radiumforschung. Wie bei Rutherford werden Atome durch Bombardement mit den schnellen a-Strahlen vom Radium C, deren kinetische Energie der molekularen Bewegungsenergie eines auf mehr als 60 Milliarden Grad Celsius erhitzten Körpers entspricht, zertrümmert. Es tritt jedoch nur in den Fällen eine Atomzertrümmerung ein, in denen das α-Teilchen direkt mit dem Kern des fremden Atoms zusammentrifft, also nur in äußerst seltenen Fällen. - Um starke Präparate von Radium C, der als Strahlungsquelle benutzten Substanz, zu erhalten, wurde im Wiener Institut nach einer neuen Kondensationsmethode die vorrätige Emanationsmenge durch Kühlung mit flüssiger Luft qualitativ auf der Oberfläche einer Metallscheibe ausgefroren. Die im Laufe einiger Stunden durch radioaktiven Rückstoß in die Scheibe eingehämmerten Mengen der Zerfallsprodukte sind recht beträchtlich und haften sehr gut. Mittels eines neu konstruierten Atomzertrümmerungsapparats gelang es, aus Beryllium, Silicium und Magnesium, die Rutherford als unspaltbar bezeichnet hatte, H-Partikeln frei zu machen. Ihre maximale Reichweite beträgt beim Beryllium 18 cm, beim Silicium 12 cm und beim Magnesium 13 cm. Versuche mit Lithium ergaben noch kein absolut eindeutiges Resultat, doch glauben die Verff. annehmen zu dürfen, daß aus dem Lithium ebenfalls H-Teilchen mit einer Reichweite von 10 cm frei gemacht werden. — Eine Nachprüfung von Versuchen von Bates und Rogers (Proc. Roy. Soc. London (A) 105, 97, 1924), nach denen das Ra C drei Gruppen von α-Strahlen diskreter Geschwindigkeiten und außerdem H-Strahlen aussenden soll, ergab, daß, wenn solche Partikel wirklich erzeugt werden sollten, ihre Zahl nur einem geringen Bruchteil der von diesen Autoren angegebenen Werte gleichkommt. — Endlich wird über eine Methode zur Helligkeitsmessung an Szintillationen berichtet, die es gestattet, Helligkeitsunterschiede von α- und H-Teilchen exakt zu messen und damit den Unterschied zwischen diesen Partikeln einwandfrei festzustellen. Über eine neue Methode, welche Atomfragmente von kurzer Reichweite zu beobachten gestattet, soll in einem zweiten Artikel berichtet werden.

Gerhard Kirsch und Hans Pettersson. Mitteilungen aus dem Institut für Radiumforschung. Nr. 167. Über Atomzertrümmerung durch a-Strahlen. II. Eine Methode zur Beobachtung der Atomtrümmer von kurzer Reichweite. Wiener Anz. 1924, S. 130, Nr. 17. Um die Beobachtung von Fragmenten aus mit a-Partikeln zertrümmerten Atomen innerhalb des Sperrfeuers der Primärpartikeln zu ermöglichen, wird eine Methode beschrieben, nach welcher die senkrecht zur Primärstrahlung aussliegenden Teilchen gezählt werden. Ein weiterer Ausbau der Methode, um die beobachtbare Zahl der Fragmente durch ringförmiges Ausnutzen der Strahlungsquelle zu erhöhen, wird im Prinzip beschrieben. K. Przibram.

Hans Pettersson. Mitteilungen aus dem Institut für Radiumforschung. Nr. 168. ¡Über Atomzertrümmerung durch α-Strahlen. III. Die Zertrümmerung von Kohlenstoff. Wiener Anz. 1924, S. 130—131, Nr. 17. Eine Zusammenfassung des ersten Teils einer Untersuchung über die Zertrümmerbarkeit von Kohlenstoff zeigt, daß mittels α-Bestrahlung sowohl H- als α-Partikeln erhalten werden. Letztere haben nach vorwärts eine Reichweite von etwa 10,5 cm; die H-Partikeln werden sowohl nach vorwärts wie senkrecht gegen die Richtung der Primärstrahlung beobachtet, mit Reichweiten, bzw. 8 cm und 16 cm. Nach der senkrechten Methode sind Atomfragmente von nur 1,5 cm Reichweite beobachtbar, mit einer später zu beschreibenden modifizierten Versuchsanordnung sogar bis zu 0,01 cm Reichweite herab. Die Ergebnisse mit Kohlenstoff, sowie mit den vergleichsweise untersuchten Elementen Beryllium und Silicium, welche auch senkrecht austretende H-Partikeln geben, werden im Einklang mit der vom Verf. entwickelten Explosionshypothese für den Atomzerfall gefunden.

Mitteilungen aus dem Institut für Radiumforschung. Gerhard Kirsch. Nr. 169. Über die Atomzertrümmerung durch α-Strahlen. IV. Abbau von Stickstoff und Sauerstoff. - Helium als Abbauprodukt. Wiener Anz. 1924, S. 131, Nr. 17. Es wird der Nachweis erbracht, daß beim Durchgang von schnellen a-Strahlen durch N nicht nur H-Strahlen, sondern auch sekundäre α-Strahlen in ähnlicher Menge entstehen. Ebenso wurden a-Strahlen aus Sauerstoff erhalten. Abhängigkeit der Zahl und Reichweite dieser Strahlen von verschiedenen Versuchsbedingungen schließt eine Herkunft derselben aus der primären radioaktiven Substanz vollkommen aus und beweist, daß hei Zusammenstößen von schnellen α-Teilchen mit leichten Atomen nicht nur H, sondern auch He als Abbauprodukt erhalten wird. In die Energie der H-Strahlen geht die von der stoßenden α-Partikel übertragene Energie als Summand ein, während die sekundären «-Strahlen wahrscheinlich in allen Teilen der Bahn des Primärstrahls mit derselben Energie den explodierenden Kern verlassen. Die Absolutzahl der im ersten Wegzentimeter von Ra C-Strahlen zertrümmerten Stickstoffatome wird zu etwa 100 pro Million Primärstrahlen berechnet. K. Przibram. Gustav Ortner und Hans Pettersson. Mitteilungen aus dem Institut für Radiumforschung. Nr. 166. Zur Herstellung von Radium C. II. Wiener Anz. 1924, S. 130, Nr. 17. Es werden weitere Entwicklungsformen der früher beschriebenen Aktivierungsgefäße für die Herstellung von starken und möglichst kleinen Präparaten von Radium C mittels Kondensation der Radiumemanation durch flüssige Luft angegeben.

K. PRZIBRAM.

Dagmar Pettersson. Mitteilungen aus dem Institut für Radiumforschung. Nr. 163. Über die maximale Reichweite der von Radium C ausgeschleuderten Partikeln. Wiener Anz. 1924, S. 78—79, Nr. 10. Es werden Meßanordnungen beschrieben, mit denen eine Untersuchung der von L. F. Bates und J. St. Rogert gefundenen, nach ihrer Deutung aus Radium C stammenden H- und α-Partikeln übernormaler Reichweite ausgeführt worden ist. Unter Verwendung von entgasten Metallfolien unmittelbar vor der Strahlenquelle, zur Absorption der normalen α-Teilchen. erhält man eine Anzahl von Partikeln beider Gattungen, die höchstens einigen Prozenten von der nach den erwähnten Verif. zu erwartenden Zahl entspricht. Die Bedeutung dieses negativen Resultats für die weitere Arbeit auf dem Gebiete der Atomzertrümmerung sowie für die Gültigkeit wichtiger Erfahrungsgesetze auf dem Gebiete des radioaktiven Zerfalls wird hervorgehoben.

K. Przibram.

Elisabeth Kara-Michailova und Hans Pettersson. Mitteilungen aus dem Institut für Radiumforschung. Nr. 164. Über die Messung der relativen Helligkeit von Szintillationen. Wiener Anz. 1924, S. 88—89, Nr. 11. Es wird eine Methode für die Bestimmung der relativen Helligkeit von Szintillationen beschrieben. Nach dieser Methode ergaben Szintillationen, erzeugt durch "natürliche" H-Partikel, verglichen mit solchen von a-Partikeln aus Polonium, ein Helligkeitsverhältnis von 1:2,7. Ein damit übereinstimmender Wert wurde mit den aus Quarz unter intensiver a-Bestrahlung ausgesandten Partikeln erhalten. Die Identität der letzterwähnten Partikeln mit Wasserstoffkernen erscheint demnach als erwiesen. Ferner wurde die Helligkeitsabnahme von Ra C-Partikeln in dem letzten Zentimeter ihrer Flugbahn untersucht. Weitere Verwendungsmöglichkeiten der Methode werden angegeben. K. Preibram.

John Joly. The Radioactivity of the Rocks. Nature 114, 160-164, 1924, Nr. 2857. Übersetzung in Naturwissensch. 12, 693-699, 1924, Nr. 35. In einer Hugo Müller-Vorlesung vor der Chemical Society am 24. Februar 1924 behandelt der Verf. die Frage der Radioaktivität der Gesteine mit besonderer Berücksichtigung des Problems der radioaktiven Höfe. In den radioaktiven Höfen besitzt man ein Mittel zur Erkennung radioaktiver Stoffe in Gesteinen, das an Empfindlichkeit jede andere bekannte Methode übertrifft. Während mit dem Elektrometer noch 1 Billionstel Gramm nachgewiesen werden kann, vermag ein Kern, der einen Radiumgehalt von nur 3.10-18 g besitzt, noch einen vollkommen meßbaren und erkennbaren Ring zu bilden. Aus den Dimensionen des Ringes läßt sich erkennen, ob der Kern Uran oder Thorium enthält. Es werden Angaben über die Art der Ringbildung in den in Frage kommenden Fällen gegeben und es wird ausführlich auf die sogenannte Umkehrung der Höfe eingegangen und eine Erklärung gegeben. In einigen Abbildungen werden charakteristische Höfe gezeigt. In den Glimmern von Ytterby hat der Verf. Höfe gefunden, die nicht mit den bekannten radioaktiven Elementen in Übereinstimmung zu bringen sind. Diese und ähnliche Funde zwingen zu der Schlußfolgerung, daß hier entweder ein unbekanntes, durch radioaktiven Zerfall von der Erde verschwundenes Element oder ein noch nicht entdecktes radioaktives Element wirksam gewesen ist. Einzelheiten der inhaltsreichen Arbeit sind im Original nachzulesen. P. Ludewig.

- C. D. Ellis. The Interpretation of β -ray and γ -ray spectra. Proc. Cambr. Phil. Soc. 21, 121—128, 1923, Nr. 2. [S. 1766.]
- R. C. Williamson. Analysis of resonance curves observed in potassium vapor. Phys. Rev. (2) 24, 134-142, 1924, Nr. 2. [S. 1758.]
- K. T. Compton. Some Properties of Resonance Radiation and Excited Atoms. Phil. Mag. (6) 45, 750-760, 1923, Nr. 268, April. [S. 1789.]
- C. A. Macklay. Some new measurements of the ionization potentials of multiatomic gases. Phys. Rev. (2) 23, 553, 1924, Nr. 4. (Kurzer Sitzungsbericht.) [S. 1762.]
- O. S. Duffendack and K. T. Compton. Dissociation of hydrogen and nitrogen by excited mercury atoms. Phys. Rev. (2) 23, 583-592, 1924, Nr. 5. [S. 1758.]

 Minkowski.
- Robert S. Mulliken. The excitation of the spectra of the copper halides by active nitrogen, and the application of the isotope effect to the interpretation of band spectra. Phys. Rev. (2) 23, 767—768, 1924, Nr. 6. (Kurzer Sitzungsbericht.) Zusammenstöße zwischen angeregten Stickstoffmolekülen und einem Kupferhalidmolekül (CuCl, CuBr, CuJ) haben dreifache Wirkung. Anregung des CuX-Moleküls (erkennbar an der Emission des Bandenspektrums), Dissoziation des Moleküls in Halogen und angeregtes Kupferatom (Emission der Kupferbogenlinien), Bildung von Kupfernitrid (Nachweis chemisch). Die Untersuchung der CuX-Banden zeigt den zu erwartenden Isotopeneffekt für die Schwingung. Es wird die Kantenformel für Cu63 J und Cu65 J angegeben.

Yutaka Takahashi. Band Spectra and Molecular Structure. Jap. Journ. of Phys. 2, 95-110, 1923, Nr. 3/5. [S. 1788.]

George R. Harrison. The application of ultra-violet photographic photometry to problems of atomic structure. Phys. Rev. (2) 23, 770, 1924, Nr. 6. (Kurzer Sitzungsbericht.) [S. 1792.]

C. B. Bazzoni and J. T. Lay. The 23 volt arc in helium. Phys. Rev. (2) 23, 769, 1924, Nr. 6. (Kurzer Sitzungsbericht.) [S. 1757.]

Milton Marshall. Metastable states in low voltage mercury arcs. Phys. Rev. (2) 23, 777, 1924, Nr. 6. (Kurzer Sitzungsbricht.) [S. 1757.] MINKOWSKI.

- A. Smits. The Complexity of the Solid State. Nature 113, 855, 1924, Nr. 2850. [S. 1798.]
- R. Gross. Verfestigung und Rekristallisation. ZS. f. Metallkde. 16, 344—352, 1924, Nr. 9. In Fortsetzung der früheren Arbeit des Verf. über die atomistische Struktur deformierter Kristalle in ihrer Beziehung zu den Verfestigungsvorgängen (ZS. f. Metallkde. 16, 18; diese Ber. S. 670) wird die Beziehung zwischen Verfestigung und Rekristallisation an Wolfram und Steinsalz untersucht. Die röntgenographische Untersuchung dünner Wolframeinkristalldrähte, welche in mehreren Richtungen verschieden stark gebogen und dann nach einer beliebigen Richtung mittels des Laueverfahrens untersucht worden waren, ergaben, daß die Annahme kristallographisch bestimmter Verdrehungen um eine einzelne Drehungsachse als gesichert gelten kann und daß diese Erklärung in den meisten Fällen ausreicht. Dabei wurden sämtliche Versuche auf ein T-t-f-System bezogen, in welchem T die im Kristall

vorgebildete Gleitfläche, t die kristallographisch bestimmte Gleitrichtung und f eine Achse, um welche das Gitter verbogen wird, bedeuten. Die auf diese Weise nach dem Laueverfahren photographierten und mannigfaltigen Deformationen ausgesetzten Wolframkristalle ergaben dabei stets Bilder, die einer allgemeinen Gitterverdrehung um eine oder mehrere Achsen f, nicht aber einer allgemeinen unkristallographischen Verlagerung entsprachen. Weiter wurden vom Verf. Durchbiegungsversuche an Steinsalzstäben mit quadratischer Basis in ihrer Abhängigkeit von Last, Zeit und Stabquerschnitt unternommen. Die Messung der Biegefestigkeit bei verschiedenem Stabquerschnitt in Abhängigkeit von der Zeit und Bezug dieser Messungen auf ein dreidimensionales Koordinatensystem (Zeit-Querschnitt-Last) ergab, daß in längeren Zeiten auch eine geringere Last eine bestimmte Durchbiegung des Steinsalzstäbchens bei einem bestimmten Querschnitt erzielen kann, als unter denselben Bedingungen eine größere Last in einer kürzeren Zeit. Biegungsversuche unter Wasser, gesättigter NaCl-Lösung oder Öl ergaben, daß durch eine untersättigte Lösung (Ablösen der Oberfläche) keine spezifische Oberflächenwirkung ausgeübt wird. Die Biegefestigkeit war stets die gleiche, wenn das Stäbchen unter einer untersättigten Lösung oder in einer gesättigten Lösung oder unter Öl gebogen wurde. Die Wirkungsweise der Flüssigkeit scheint sich im wesentlichen auf eine Glättung zu beschränken. -- Versuche mit gewalztem Wolframblech hatten ergeben, daß die Schärfe der Interferenzstreifen des Lauebildes sich nach einer entsprechenden Wärmebehandlung geändert hatte, während gleichzeitig die durch das Walzen erzeugten mechanischen Eigenschaften gelegentlich weitgehend zurückgebildet worden waren, obwohl noch keinerlei Rekristallisation eingetreten war. Nach der früher vom Verf. vertretenen Anschauung über die Verfestigung als Ursache von Gitterverbiegung und Gleitflächenblockierung muß man daraus schließen, daß diese Gleitflächenblockierung schon weit unterhalb der Rekristallisationsgrenze aufgehoben wird. Für diese Annahme spricht weiterhin das Hervortreten von Gleitflächen beim Auflösen deformierter Kristalle. Ätzt man den Rand deformierter Einkristalle, dann läßt sich erkennen, daß die Gebiete der größten Auflösungsgeschwindigkeit mit denen der größten inneren Spannungen zusammenfallen. Bei der Auflösung erhält man eine Anzahl von Blätterstrukturen, welche man auch dazu benutzen kann, um eine Beziehung zwischen Gleitflächenhäufigkeit und Temperatur festzustellen. Es erscheint daher dieser Vorgang der Kristallvergütung einen Rekristallisationsakt besonderer Art darzustellen, der sich bei verhältnismäßig niederer Temperatur abspielt. Dies steht im Einklang mit den Czochralskischen Versuchen über Abhängigkeit der Verlagerung von der Temperatur. Ferner wurden Rekristallisationsversuche an Steinsalz unternommen, indem bei 3000 ein auf die 11/2 fache Lage gerecktes Steinsalzstäbehen bei der Rekristallisationstemperatur getempert wurde. Auch hier ergaben sich dieselben Rekristallisationserscheinungen wie bei Metallen. Bis zu einem gewissen Grade konnte man auch die Korngröße des rekristallisierten Materials einstellen. Bei starken, nach der Deformation noch im Gitter verbliebenen Spannungen (d. h. Spannungen, welche nicht durch die Kristallvergütung beseitigt worden waren) lag die Rekristallisationstemperatur besonders tief und es wurden an den beanspruchten Stellen zahlreiche Keime gebildet. Hier ging dann der Rekristallisationsvorgang in derselben Art vor sich, wie das von dem Verf. mit Möller (ZS. f. Phys. 19, 375, 1923) untersuchte Kristallwachstum in röhrchenförmigen Hohlräumen. Waren jedoch wenig Keime vorhanden, dann zeigte sich, daß Teile des deformierten Gitters unter Erhaltung ihrer Achsenlagen als Rekristallisationskorn dienen konnten. Bemerkenswert sind Dichteunterschiede bei Metallen und Steinsalz zwischen den Ausgangskristallen, dem gereckten Material und den rekristallisierten Kristallen. Gereckte Stücke hatten eine kleinere Dichte als das

Ausgangsmaterial, dessen Dichte aber wiederum kleiner war als jene der rekristallisierten Substanz. Bei Steinsalz kann man daraus schließen, daß die natürlich vorkommenden Steinsalzmassen noch Verlagerungsenergie besitzen (etwa durch Gebirgsdruck), welche erst durch Rekristallisation vollständig verschwindet. Der Dichteunterschied ist in der dritten Dezimalen deutlich nachweisbar.

Maurice L. Huggins. A graphical method for the utilization of rotation spectra in crystal structure determination. Berichtigung. Phys. Rev. (2) 24, 96, 1924, Nr. 1. [S. 1709.]

Walter Soller. A new presision x-ray spectrometer. Phys. Rev. (2) 24, 158—167, 1924, Nr. 2. [S. 1779.] Kulenkampff.

Karl Becker. Über die Entwicklung des Drehkristallverfahrens. ZS. f. Phys. 27, 394-395, 1924, Nr. 5/6. Der Verf. hält gegen die gleichnamige Arbeit von Polanyi, Schiebold und Weissenberg (ZS. f. Phys. 23, 337, 1924) seine frühere Notiz (ZS. f. Phys. 17, 352, 1923) aufrecht und weist auf deren Berechtigung hin. K. Becker.

Georg Eger. Das Gefüge elektrolytisch hergestellter Metallbleche. ZS. f. Metallkde. 16, 134-135, 1924, Nr. 4. Der Verf. beschreibt die elektrolytische Herstellung von Cu-Kathoden und von dünnen Blechen aus Fe-Ni-Legierungen. Bei der Herstellung technischer Metallkathoden empfiehlt es sich, das Mutterblech selbst erst auf einem mit Graphit und Schellack überzogenen Metallblech elektrolytisch niederzuschlagen und dann von diesem abzuziehen. Die Verwendung gewalzter Mutterbleche ist nicht ratsam, da in diesem stets Spannungen vorhanden sind, welche auch durch eine Wärmebehandlung nicht vollständig ausgeglichen werden. Im Gefüge der elektrolytisch niedergeschlagenen Metallkathode ist das Gefüge des Mutterblechs wieder zu erkennen. Das Loslösen des Elektrolytniederschlags von seiner Unterlage wird durch eine Walzstruktur derselben begünstigt, da in einem elektrolytisch abgeschiedenen Blech die Kristalle in der Stromrichtung weiterwachsen. Dünne Bleche aus Fe-Ni-Legierungen von bestimmter Zusammensetzung wurden hergestellt, indem durch rasch aufeinanderfolgendes Wechseln der Bäder auf einer hochpolierten Messingunterlage dünne Schichten von Fe und Ni abgeschieden wurden. Durch folgende Wärmebehandlung bei Temperaturen knapp unterhalb des Schmelzpunktes wurden die einzelnen Schichten miteinander legiert. Nach 36 stündigem Glühen im Wasserstoffstrom bei 11000 war die Diffusion der einzelnen Schichten ineinander beendet. K. BECKER.

Gustav F. Hüttig. Über die Gitterbestandteile, die im Kristallgitter vagabundieren. Fortschr. d. Chemie, Physik und physik. Chem. 18, 5—32, 1924, Nr. 1. Der Verf. gibt eine Übersicht über das experimentelle Material über Gleichgewichtsmessungen an heterogenen Systemen, aus welchen ein Rückschluß auf die Existenz zweikomponentiger Stoffe gezogen werden kann, bei denen eine freie Beweglichkeit der Moleküle des einen Bestandteils innerhalb des starren Gitters des anderen Bestandteils angenommen werden kann. Die Zersetzung der verschiedenen angeführten Substanzen wird in Diagrammen veranschaulicht und je nachdem, ob die Zersetzungskurven treppenförmig, mit oder ohne Wendepunkt verlaufen, werden die Substanzen in drei Gruppen eingeteilt. An Hand der Beispiele wird eine osmotische Theorie für die in festen Gittergerüsten frei beweglichen Atome bzw. Atomgruppen aufgestellt. Ist p_0 der Dampfdruck des Lösungsmittels, p jener der Lösung, n das Molekulargewicht des Lösungsmittels und k eine Konstante, dann wird durch die Gleichung $ln p_0/p = k/n$

die Abbaukurve aller dieser Substanzen festgelegt. Diese Beziehung wird an den weißen Wolframsäuren (WO3 α und WO3 β , welche sich durch den Dispersitätsgrad unterscheiden) und an den Systemen U3O8/UO2/O2, MgJ2-Ammoniakaten, LiII geprüft und die Konstante k berechnet. Mit flüssigen Lösungen verglichen, hat diese Konstante dieselbe Bedeutung wie der reziproke Wert des Raoultschen Faktors i Sie bedeutet also anscheinend das Verhältnis der an der Lösung beteiligten Molekülzahlen der beiden Komponenten. Es ergab sich in allen Fällen keinerlei Gang von k bei verschiedenen p. Für die durchgerechneten Systeme betrug dieser Wert: WO3 a 3, WO3 & 7, U3 O8 6,9, Mg J2-Ammoniakat 15,2, LiH 990. — Die zweite Gruppe der betrachteten Systeme, deren Zersetzungskurve unscharfe Wendepunkte gibt, bildet Übergänge zwischen der eben besprochenen Gruppe (Kurven ohne Wendepunkt) und jener Gruppe, welche streng der Phasenregel gehorcht (treppenförmige Kurve). Zustandsdiagramme sind für folgende Systeme angegeben: 1. Treppenförmige Kurven; H₂O. Li Cl, H₂O. Li J, H₂O. Cu SO₄, H₂O. MoO₃, NH₃. Sr J₂, NH₃. Sr. 2. Kurven mit NH3.CHJ3, NH3.HgJ, NH3.SN, H3O.Heulandit, H2O.Sb2O5, H3O.MoO3 (frisch bereitet), H2O.SiO2, H2O.SnO2. 3. Kurven ohne Wendepunkt; H2O.WO3 a, H2O . W $O_3 \beta$, O_2 . U O_2 , N H_3 . Mg J_2 , N H_3 . Mg Br₂, H_2 O. Al₂ O_3 .

W. T. Astbury and Kathleen Yardley. Tabulated Data for the Examination of the 230 Space-groups by homogeneous X-rays. Phil. Trans. (A) 224, 221-257, 1924, Nr. 621. Wenn an einem Kristall das System und die Klasse kristallographisch vermessen ist, kann man unter gewissen Voraussetzungen durch eine Kristalluntersuchung mit monochromatischem Röntgenlicht die Raumgruppe bestimmen. Um aus den Angaben der Röntgenogramme das Aufsuchen der zugehörigen Raumgruppe zu erleichtern, geben die Verff. für jede der 230 Raumgruppen Diagramme an, welche die Verteilung der Symmetrieelemente und die mögliche Orientierung der Moleküle im Elementarparallelepiped graphisch wiedergeben. Dazu werden Tabellen aufgestellt, welche für jede einzelne Raumgruppe die zugehörige Bravais sche Translationsgruppe, die maximale Anzahl der symmetrielosen Moleküle im Elementarparallelepiped, die anomalen Gitterabstände (Verhältnis von Röutgenperiode zur Identitätsperiode des Gitters) und die mögliche Molekülsymmetrie angeben. Die Bravaisschen Gitter, aus welchen die Raumgruppen abgeleitet werden, sind ausführlich beschrieben. Das Original enthält reiches Figuren- und Zahlenmaterial, welches bei der Auswertung von Röntgenogrammen von Wichtigkeit ist. K. BECKER.

G. R. Levi ed A. Ferrari. I reticoli cristallini dell' idrato e del carbonato di magnesio. Lincei Rend. (5) 33 [1], 397-401, 1924, Nr. 10. Die Verff. untersuchen nach dem Debye-Scherrer-Verfahren die Kristallstruktur des $Mg(OH)_2$ als natürlich vorkommenden Brucit und als künstliches, von Kahlbaum bezogenes Reagens, sowie des $MgCO_3$ als Magnesit. $Mg(OH)_2$ kristallisiert in beiden Fällen gleich. Es ist hexagonal, a=3,114, c=4,735 Å. Für ein Molekül im Elementarparallelepiped berechnet sich eine Dichte von 2.40. Das Intensitätsverhältnis der einzelnen Linien bestätigt die früher von Aminoff (Geologiske Föreinigens i Stockholm Förhandlinger 41, 407, 1919) nach der Lauemethode und später (ZS. f. Krist. 56, 506, 1922) nach der Pulvermethode festgelegte Struktur, nach welcher die Atomschwerpunkte folgende Koordinaten besitzen: Mg(000); 2 O $(^2/_3, ^1/_3, p)$, $(^1/_3, ^2/_3, p + ^1/_2)$; $p \approx ^2/_9$. Die Aufnahme eines Magnesits von Semse ergab als Kante des Elementarrhomboeders a=5,82 Ä und einen Polkantenwinkel von 1030 2,15′.

0. Hassel und H. Mark. Über die Struktur der isomorphen Verbindungen $(NH_4)_3$ ZrF₇ und $(NH_4)_3$ HfF₇. ZS. f. Phys. 27, 89—101, 1924, Nr. 2. Die Verff. haben durch Drehdiagramme um [100], [101] und [111] die Elementarkörper der beiden Substanzen vermessen und für a nach der Schichtlinienbeziehung die Werte 9,35 bzw. 9,41 gefunden. Von einer großen Zahl von Interferenzen wurden diese Befunde bestätigt. Die Basiszellen enthalten je vier Molekeln $(NH_4)_3$ MeF₇ und sind einfach primitiv. Aus der Diskussion der Auslöschungen ließen sich eine Reihe von Raumgruppen ausschließen; in Betracht kommen in erster Linie T_h^2 , O^2 und O_h^4 . In O_h^4 wurde eine mögliche Lokalisierung der Atomschwerpunkte angegeben, welche die gefundenen Intensitäten innerhalb der Fehlergrenzen wiedergibt. Sie besitzt drei Parameter. — Die Struktur läßt ebenso wie die anderer Wernerscher Komplexverbindungen im Kristallgitter Koordinationssphären erkennen.

Julius Korczyn. Mitteilungen aus dem Institut für Radiumforschung. Nr. 165. Über die Unregelmäßigkeiten in der Strahlung frisch auskristallisierten Uranylnitrates. Wiener Anz. 1924, S. 130, Nr. 17. [S. 1766.]

PRZIBRAM. Hans Blücher. Plastische Massen. Die Erzeugung, Verarbeitung und Verwendung von Kunststoffen. Mit 32 Abbildungen. XII u. 291 S. Leipzig, Verlag von S. Hirzel, 1924. (Chemie und Technik der Gegenwart, herausgegeben von W. Roth, Bd. 3.) Das Buch will einerseits dem Fachmann als Übersicht, andererseits dem Nichtfachmann als Nachschlagewerk dienen. Es umfaßt jene künstlichen Erzeugnisse neuerer Art, welche in einem fest-flüssigen Zustand der plastischen Bearbeitung fähig sind. Stoffe, wie Glas oder Eisen scheiden dieser Begrenzung gemäß aus, obwohl sie unter Umständen auch plastisch sind. Mit besonderer Schärfe wird im ganzen Buch gegen die unwissenschaftlichen Erfinder vorgegangen, für die das Gebiet der Kunststoffe ein richtiger Tummelplatz ist. Die Schwierigkeiten, auf diesem Gebiet Neues und Brauchbares zu schaffen, sowie die umfangreiche Patentliteratur zu beherrschen, werden hervorgehoben. - Im ersten technischen Teil werden die Zerkleinerungsmaschinen, Mischvorrichtungen, Erhitzungsapparate, Filtrier- und Zentrifugierapparate, Trockeneinrichtungen, Über- und Unterdruckvorrichtungen, Pressen und Formen erörtert. Zahlreiche Abbildungen erläutern das in diesem Abschnitt Gesagte. — Im zweiten speziellen Teil ist die Einteilung eine rein praktische und der Natur der Sache gemäß - in vielen Punkten nicht einwandfreie. Die wichtigeren Abschnitte sind folgende: Leim- und Gelatinemassen (Celluloidersatz nach H. Stein; Formung von Gelatineobjekten, Billardbälle usw.); Holz- und Korkmassen; Cellulosemassen (Papiermaché, Vulkanfiber); Nitrocellulose (Celluloid); Acetylcellulose (Cellit, Cellon) - die beiden letzten Abschnitte sind von besonderem Interesse wegen der vielseitigen und wichtigen Verwendungen der betreffenden Kunstmassen -; Viskosemassen; Massen aus Stärke, Eiweiß und Hefe; Harzmassen; Kunstharze (die hier behandelten Stoffe, insbesondere das Bakelit sind auch von besonderer Bedeutung); Kunststeinmassen. - Das Buch schließt mit einem Abschnitt über besondere Nachahmungen (Perlmutter-, Elfenbein-, Horn-, Fischbeinmassen).

L. S. Ornstein. Anisotropie der flüssigen Kristalle bezüglich ihrer Dielektrizitätskonstanten und ihrer elektrischen Leitfähigkeit. Beitrag zur Theorie der flüssigen Kristalle. Ann. d. Phys. (4) 74, 445-457, 1924, Nr. 13. [S. 1744.]

PRZIBRAM.

John Warren Williams and Farrington Daniels. Irregularities in the specific heats of certain organic liquids. Journ. Amer. Chem. Soc. 46, 1569—1577, 1924, Nr. 7. [S. 1798.]

- Messungen der osmotischen Koeffizienten für Lithiumchlorid in verdünnten alkoholischen Lösungen. Naturwissensch. 12, 413-414. 1924, Nr. 21. Nach der von Debye und Hückel unter der Annahme vollständiger Dissoziation der Elektrolyte entwickelten Theorie des osmotischen Druckes sind die Abweichungen der Gefrierpunktserniedrigung und der Siedepunktserhöhung vom klassischen Wert für geringe Konzentrationen umgekehrt proportional der 3/2 Potenz der Dielektrizitätskonstante des Lösungsmittels. Zur Prüfung dieser Folgerung von nichtwässerigen Lösungen hat Verf. die Siedepunktserhöhung von Lösungen von Lithiumchlorid in Methyl-, Äthyl- und Propylalkohol bis zu möglichst kleinen Konzentrationen (von etwa 0,2 bis 0,006 Mol/Liter) gemessen. Die Dielektrizitätskonstanten der drei Alkohole wurden aus den Versuchen von Abegg und Seitz, sowie von Ratz durch Extrapolation zu 22,7, 18,7 und 8,4 bestimmt. Aus den Versuchen ergibt sich, daß die Übereinstimmung zwischen den beobachteten und den berechneten Werten von $1-f_0$, wo f_0 den Bjerrumschen osmotischen Koeffizienten bezeichnet, eine recht gute ist. Stellt man die experimentell gefundenen Werte von $1-f_0$ in ihrer Abhängigkeit von der Wurzel der Ionenkonzentration graphisch dar, so mündet die Kurve in den Nullpunkt des Koordinatensystems mit einer Tangente ein, die mit der nach der Theorie für große Verdünnungen berechneten übereinstimmt. Die Untersuchung, soweit sie bis jetzt ausgeführt wurde, bestätigt somit die Debyesche Theorie. BÖTTGER.
- I. R. Katz. Quellung. I. Teil. Ergebnisse der exakten Naturwissenschaften. Herausgegeben von der Schriftleitung der "Naturwissenschaften". Dritter Band, S. 316-404. Berlin, Verlag von Julius Springer, 1924.
- W. Oertel und F. Pölzguter. Beitrag zur Kenntnis des Einflusses von Kobalt und Vanadin auf die Eigenschaften von Schnellarbeitsstahl. Bericht Nr. 47 des Werkstoffausschusses des Vereins Deutscher Eisenhüttenleute (Sitzung vom 17. Juli 1924) 7 S. [S. 1718.]
- F. Rapatz und H. Pollack. Über Schwarzbruch. Bericht Nr. 45 des Werkstoffausschusses des Vereins deutscher Eisenhüttenleute (Sitzung vom 4. April 1924), 8 S. Die an einem Stahl mit 1,30 bis 1,40 Proz. C, 0,10 bis 0,30 Proz. Si und ebensoviel Mn angestellten Versuche führten zu dem Ergebnis, daß zum Auftreten von Schwarzbruch zwei Bedingungen erfüllt sein müssen. Erstlich muß Temperkohle vorhanden sein, die sich durch etwa halbstündiges Glühen bei 10000 mit langsamer Abkühlung bis 7500 oder durch längeres Glühen oberhalb 7600 abscheidet (um dadurch das metastabile System in das stabile überzuführen). Zweitens muß noch eine Streckung bei einer Temperatur erfolgen, bei welcher die Temperkohle nicht wieder in Lösung geht. Das verschiedene Aussehen des Schwarzbruches ist durch Temperaturunterschiede über den Querschnitt bedingt, da nur die kalt gebliebenen Teile schwarzbrüchig werden. Der Schwarzbruch läßt sich durch Erhitzen bei hoher Temperatur, noch besser durch Schmieden dabei beseitigen. Die Bildung des Schwarzbruches wird durch Si begünstigt, durch Cr verzögert, während über den Einfluß anderer Elemente noch nichts bekannt BERNDT. ist.

Ŷ

5. Elektrizität und Magnetismus.

Louis Cohen. Applications of Heaviside expansion theorem. Journ. Franklin Inst. 195, 319—326, 1923, Nr. 3. Die Arbeit enthält eine Reihe von Beispielen, an denen die Anwendbarkeit des "expansion theorem" nach Heaviside auf elektrische Probleme gezeigt wird. Es handelt sich um ein bequemes Berechnungsverfahren für die Strom- und Spannungsverhältnisse in beliebigen Leitersystemen und unter verschiedenen Betriebsbedingungen.

Arthur Haas. Vektoranalysis in ihren Grundzügen und wichtigsten physikalischen Anwendungen. Mit 37 Abbildungen im Text. VI und 149 S. Berlin und Leipzig, Vereinigung Wissenschaftlicher Verleger Walter de Gruyter & Co. 1922. [S. 1706.]

L. E. Ryall. Peak Voltage Measurement by Means of a Neon Glow Lamp. World Power 1, 288-291, 1924, Nr. 5. Zur Messung von Spannungsscheitelwerten besonders periodischer Spannungen kann man, wie A. Palm in einer ausführlichen experimentellen Arbeit (ZS. f. techn. Phys. 4, 233-245 und 258-270, 1923, Nr. 6 und 7) gezeigt hat, als Spannungsnormal eine Glimmröhre benutzen, welche an einen Spannungsteiler angeschlossen ist. Die Widerstandsverhältnisse am Teiler werden so lange geändert, bis die Glimmröhre eben anfängt zu glimmen. Es läßt sich dann aus der Widerstandseinstellung des Teilers die gesuchte Scheitelspannung berechnen, wenn die "Glimmspannung" der Röhre, das ist diejenige Spannung, bei welcher der Zustand des Glimmens einsetzt, bekannt ist. Die Glimmspannung muß unabhängig sein von der Häufigkeit des Glimmeinsatzes, von dem Alter der Röhre, von äußeren Einflüssen sowie von Kurvenform und Frequenz der angelegten Spannung. - Verf. berichtet in vorliegender Arbeit über Versuchsmessungen, welche er an einer derartigen Meßanordnung unter Verwendung mit Neon gefüllter Glimmlampen ausgeführt Die Röhren wurden in dem verhältnismäßig engen Frequenzbereich von 2 bis 600 Per./sec auf Frequenzabhängigkeit der Glimmspannung ("striking voltage") untersucht, wobei die an der Lampe wirksamen Spannungsscheitelwerte mittels eines mit Gleichstrom geeichten Kathodenstrahl-Oszillographen gemessen wurden. Es zeigt sich, daß die so gemessene Glimmspannung im Bereich von 20 bis 500 Per./sec auf etwa 1 Proz. genau konstant ist. Die günstigsten Ergebnisse erzielt Verf. mit einer Elektrodenform, die derjenigen sehr ähnlich ist, welche sich bei den Palmschen Untersuchungen am günstigsten erwiesen hat. Der Gasdruck ist ebenfalls derselbe (5 bis 12 mm Hg), was einer Glimmspannung von ungefähr 160 Volt entspricht. — Am Schluß der Arbeit wird ein Scheitelspannungsmesser mit dem Meßbereich 3000 bis 30000 Volt beschrieben. Er stimmt im wesentlichen überein mit der von Palm angegebenen Meßeinrichtung mit Hilfserdung und kapazitiver Spannungsunterteilung. GEYGER.

L. Hartshorn. A method of measuring very small capacities. Proc. Phys. Soc. London 36, 399-404, 1924, Nr. 5. Zum Messen sehr kleiner Kapazitäten von der Größenordnung 1 $\mu\mu$ F und weniger, wie sie in der Hochfrequenztechnik vielfach auftreten (z. B. Kapazitäten in Elektronenröhren), wird die Brückenanordnung von Schering verwandt. Als fein einstellbare Standardkapazität wird eine Serienschaltung einer in $\mu\mu$ F geeichten Kapazität C und einer kleinen Kapazität c benutzt, die etwas so bemessen ist, daß $\frac{c}{C+c}=0.1$ ist. Dann ist eine Änderung der Gesamtkapazität $\delta K=0.01$ δC . Ist die Änderung von C so groß, deß sie der Wester c modelsen.

 $\delta K = 0.01 \, \delta C$. Ist die Änderung von C so groß, daß sie den Wert $\frac{c}{C+c}$ merkbar ändert, so muß man statt mit $dK = \left(\frac{c}{C+c}\right)^2 dC$ mit $\Delta K = \frac{c^2 \, (C_1 - C_2)}{(C_1+c) \, (C_2+c)}$ rechnen.

Die zu messende Kapazität wird einer der Standardkapazität gleichen Kapazität im zweiten Zweige der Brücke parallel geschaltet. Die beiden übrigen Zweige der Brücke bestehen aus je 5000 Ohm induktionsfreiem Widerstand, deren einem eine dem Phasenausgleich dienende Kapazität parallel geschaltet ist. Ein Verfahren zur Elimination der Kapazitäten gegen Erde und der Kapazitäten der Verbindungsdrähte wird angegeben. Als Beispiel wird die Kapazität zweier Stahlkugeln von 1 cm Radius in Abständen von 2,5 bis 8 cm gemessen.

George A. Campbell. Direct capacity measurement. Journ. Opt. Soc. Amer. 6, 641-658, 1922, Nr. 6; Bell System Techn. Journ. 1, 18-38, 1922, Nr. 1, Juli. Nach einer kurzen Auseinandersetzung über die verschiedenen Kapazitätsdefinitionen (Teilkapazität, Erdkapazität usw.) sowie die bei Kapazitätsmessungen darauf bezüglichen Schaltungsregeln wird eine Reihe von Methoden, in erster Linie Brückenmethoden, zur Messung von Kapazitäten beschrieben. Die hierbei gewählte Terminologie weicht von der üblichen ab; der Ausdruck direct capacity bedeutet die zwischen zwei Punkten eines mehrteiligen Systems vorhandene Kapazität, kann also sowohl einer Teilkapazität wie einer Betriebskapazität entsprechen. Die angegebenen Methoden werden zum Teil erweitert für die Messung von Admittanzen, d. h. Kombinationen aus Kapazität und Widerstand, wie z. B. Kondensatoren mit unvollkommenem Dielektrikum und dementsprechender Ableitung. Auf die Notwendigkeit der Abschützung von Kapazitätsbrücken für die Erzielung einwandfreier Messungen wird hingewiesen. - Zur Eliminierung der dielektrischen und Leitungsverluste aus den Normalkondensatoren werden die festen Isolatoren derselben durch eine dritte Elektrode derart unterteilt, daß sämtliche Leitungs- und Verschiebungsströme im festen Isoliermaterial von dieser Elektrode abgefangen werden, welche mit einer besonderen "Ableitungsklemme" (leakage terminal) verbunden ist.

Günther-Schulze. Elektrische Ventile und Gleichrichter. Ergebnisse der exakten Naturwissenschaften. Herausgegeben von der Schriftleitung der "Naturwissenschaften". Dritter Band, S. 277—315. Berlin, Verlag von Julius Springer, 1924. Scheel.

E. L. Harrington. A high potential battery substitute. Journ. Opt. Soc. Amer. 9, 185—186, 1924, Nr. 2. Ladevorrichtung für ein Blättchenelektrometer. Das Elektrometer und ein Drehkondensator in Stellung "größte Kapazität" sind parallel geschaltet und werden so von der Lichtleitung (110 oder 220 Volt Gleichstrom) aufgeladen. Das darauf isolierte System bekommt durch Verkleinern der Kapazität eine so hohe Spannung, als man zum Spreitzen der Blättchen braucht (vgl. M. Brenzinger, Strahlentherapie 16, 1924).

Lambert et Andant. Métallisation des surfaces par projection cathodique. Rev. d'opt. 3, 175—178, 1924, Nr. 4. Übliche Vorrichtung zum Versilbern durch Kathodenzerstäubung. Doppelte Glasglocke, äußere einfach mit Gummiring gedichtet und nur auf 1 bis 2 mm Hg evakuiert, innere mit Hg-Rinne als Verschluß. Strom aus einem 2000-Volt-Transformator, durch Kenotron gleichgerichtet. Knipping.

Chas. R. Darling and Chas. W. Stopford. Demonstration entitled Experiments on the Production of Electromotive Forces by Heating Junctions of Single Metals. Proc. Phys. Soc. London 35, 215—216, 1923, Nr. 4. Wird ein heißes Metallstück gegen ein kaltes Stück aus demselben Metall gepreßt, so wird eine, von dem betreffenden Metall abhängige, galvanometrisch meßbare elektromotorische

Kraft erzeugt. Mit steigender Temperatur des heißen Stückes nahm die elektromotorische Kraft rasch zu. Versuche an Cu, Graphit, Konstantan und Fe ergaben folgende Resultate:

Metall	Temperatur	Stromrichtung	EMK in Volt	Widerstand der Bindung in Ohm
Kupfer	700 ° 700 850 700	heiß zu kalt " " " " kalt " heiß	0,25 0,015 0,3 (max.) 0,024	40 50 veränderlich 120

Daß Graphit diese Erscheinung zeigt, beweist, daß das Potential nicht durch Oxydbildung hervorgerufen ist. Bei Temperaturausgleich sinkt das Potential auf Null herab.

K. Becker.

N. Vasilesco Karpen. Sur de nouvelles piles électriques contredisant le deuxième principe de la thermodynamique. Bull. Bucarest 8, 259-261, 1923, Nr. 10. Der Verf. beschreibt zwei neue galvanische Ketten, die nach seiner Meinung dem zweiten Hauptsatz der Thermodynamik widersprechen. Die erste besteht aus zwei übereinandergeschichteten gesättigten Lösungen von Ätznatron in Wasser und Amylalkohol (oder zwei beliebigen anderen nicht mischbaren Flüssigkeiten), in die je ein Platinblech eintaucht, und gibt eine EMK von etwa 0,4 Volt, die jedoch von der Natur und vom Druck der in der Mischung gelösten Gase etwas abhängt. Im zweiten Falle läßt er in eine wässerige Lösung von Ätznatron ein Platinblech vollständig und ein anderes teilweise eintauchen, so daß es teils in Luft, teils in der Lösung steht. Auch hier erhält er eine EMK von etwa 0,4 Volt. Nach seinen Angaben findet in diesen Elementen keinerlei chemische Reaktion statt; die Elektroden werden nicht angegriffen und die elektrische Energie stammt aus der äußeren Wärme. Somit wäre ein Perpetuum mobile zweiter Art konstruiert. (Nach Ansicht des Referenten kann es sich im ersten Falle durchaus um eine Flüssigkeits- oder Konzentrationskette, im zweiten um eine Gas-(Sauerstoff-)Kette handeln; jedenfalls scheint die Existenz eines Perpetuum mobile zweiter Art durch diese Versuche durchaus nicht bewiesen.)

Allen Garrison. The behavior of silver iodide in the photo-voltaic cell. Journ. phys. chem. 28, 333-345, 1924, Nr. 4. Durch Einwirkung von Joddämpfen auf Silberplatten oder durch elektrolytische Abscheidung von Jod auf einer Silberanode wurden lichtempfindliche Elektroden hergestellt, die in einer mit Jodsilber gesättigten Lösung die eine Hälfte einer photovoltaschen Zelle bildeten. Durch Zusatz von Jodkalium oder von Silbernitrat konnte die Konzentration der Jod- oder der Silberionen geändert werden. Die andere Hälfte der Zelle war die 1/10 normale Kalomelelektrode. Das Lichtpotential der Zellen war verschieden, teils positiv, teils negativ, und zwar war das Vorzeichen von der Dicke der auf der Elektrode befindlichen Jodsilberschicht sowie von dem Verhältnis der Konzentration der Silberionen zu derjenigen der Jodionen im Elektrolyten abhängig. Für beide Effekte, den positiven und den negativen, wurde die Beziehung zwischen der Lichtintensität und den Änderungen des Elektrodenpotentials gemessen, wobei sich ergab, daß beim Maximum des negativen Effektes die photochemische Zersetzung am schnellsten verläuft. Im letzten Teil der Arbeit wird ausgeführt, daß die Versuchsergebnisse sich deuten lassen, wenn man dem Jodsilber im Lichte eine größere Löslichkeit zuschreibt. Man kann mittels dieser Annahme die Beziehung zwischen Lichtintensität und Lichtpotential herleiten. BÖTTGER.

Franz Fischer und Walter Krönig. (Nach Versuchen von W. Krönig.) Über die Vorgänge bei der Entladung der Knallgaskette. ZS. f. anorg. Chem. 135, 169-176, 1924, Nr. 3. Bei der Entladung der Knallgaskette werden derartig hohe Stromausbeuten an Wasserstoffsuperoxyd erzielt, daß von dessen Entstehung durch eine Nebenreaktion nicht die Rede sein kann. Vielmehr gelangt man auf Grund der von den Verff. ausgeführten quantitativen Versuche zu der Annahme, daß, wenigstens bei gewöhnlicher Temperatur, die elektromotorische Kraft der Knallgaskette nicht durch die Vereinigung des Wasserstoffs und Sauerstoffs zu Wasser, sondern zu Wasserstoffsuperoxyd beeinflußt wird, welches unter normalen Bedingungen weiterhin nicht einer Reduktion, sondern einem katalytischen Zerfall unterliegt, der seinerseits nicht elektromotorisch wirksam sein kann. Durch die Annahme der Bildung von Wasserstoffsuperoxyd als des an den Elektroden stattfindenden chemischen Vorganges wird der Unterschied zwischen der für die Knallgaskette berechneten und der beobachteten elektromotorischen Kraft einwandfreier geklärt, als dies durch die Oxydtheorie zu geschehen vermag. BÖTTGER.

Paul B. Taylor. Free energy of ions measured by capillary electrode. Phys. Rev. (2) 23, 556, 1924, Nr 4. (Kurzer Sitzungsbericht.) Aus Versuchen mit Zellen, deren eine aus Quecksilber bestehende und in einer Kapillare befindliche Elektrode vollständig polarisierbar, deren andere Elektrode umkehrbar in bezug auf das Anion ist, so daß das Potentialgefälle auf wenige Tausendstel eines Volt oder weniger reduziert wird, leitet der Verf. ab, daß das Verhältnis der Änderung der freien Energie des Anions zu derjenigen des Elektrolyten beim Kalium- und Natriumchlorid 0,50, beim Kaliumhydroxyd in mehr als-0,1 norm. Lösung 0,85 ist. BÖTTGER.

Richard Kleeman and Charles R. Pitts. Experiments on the sign of the electrical layer furthest away from the surface of a solution in contact with air or a metal. Phys. Rev. (2) 23, 556, 1924, Nr. 4. (Kurzer Sitzungsbericht.) Durch eine aufrecht stehende Glasröhre, welche die wässerige Lösung eines Salzes oder einer Säure enthielt, wurde längs der Achse ein Strom von Luftblasen gesandt und mittels zweier mit einem Galvanometer verbundener Elektroden der Potentialabfall auf der Bahn der Luftblasen gemessen. Diese Messungen bestimmten das Vorzeichen der elektrischen Schicht in der größten Entfernung von der Oberfläche einer jeden Blase. In ähnlicher Weise geschah dies, wenn man der Lösung in der Nähe der einen Elektrode, welche aus demselben Metall wie das Kation des gelösten Salzes oder aus Platin bestand, eine tangentiale Bewegung erteilte. Dieses Vorzeichen hing in manchen Fällen von der Natur der Elektrode ab und war oftmals von dem mit einer freien Oberfläche erhaltenen verschieden. Es scheint zu der Natur des Salzes in keiner einfachen Beziehung zu stehen. Mehr als 50 Lösungen wurden untersucht. Aus den mit ihnen und den von R. D. Kleeman und W. Frederickson (Phys-Rev. 22, 134, 1923) erhaltenen Versuchsergebnissen scheint hervorzugehen, daß die Vorzeichen der an die Metalle Aluminium, Nickel, Magnesium und Zink angrenzenden elektrischen Schichten bzw. -, +, +, - sind.

6. Rougier. Piles photoélectriques aux métaux alcalins. Préparation et emploi en photométrie. [Bull. Soc. Franç. de phys. Nr. 196.] Journ. de phys. et le Radium (6) 5, 22 S — 23 S, 1924, Nr. 2. Verf. hat für die Photometrie der Gestirne photoelektrische Zellen nach dem Typus von Hughes verfertigt, bei denen die Kathode aus Kalium die Anode umgibt. Das Kalium wurde durch Einwirkung von metallischem Calcium auf geschmolzenes und pulverisiertes Kaliumchlorid im luftleeren Raum dargestellt und durch zweimalige Destillation in die Zelle gebracht.

Mittels elektrischer Entladung in reinem Wasserstoff wurde auf ihm eine violett oder pfaublau gefärbte Schicht erzeugt, welche die Absorption des Lichtes begünstigt. Die Menge des adsorbierten Wasserstoffs war von der Größenordnung 10-6 g. Als neutrales Gas diente gereinigtes Argon, dessen Druck von der Größenordnung eines Millimeters war, aber je nach der Reinheit des Gases verschieden sein mußte, um die größte Empfindlichkeit des Metalls zu bewirken. Die Zellen befolgten das Proportionalitätsgesetz innerhalb der Versuchsfehler bis auf etwa $^{5}/_{1000}$ für Belichtungen, die im Verhältnis 100:1 voneinander verschieden waren. Der photoelektrische Strom erlangt, von sehr seltenen Ausnahmen abgesehen, auch bei schwacher Belichtung der Zelle sogleich einen konstanten Wert. Glaszellen geben im Dunkeln ausnahmslos einen entgegengesetzt gerichteten photoelektrischen Dunkelstrom von der Größenordnung 10-12 bis 10-13 Amp., dessen Auftreten für die elektrometrischen Messungen sehr störend ist. Daher empfiehlt sich die Anwendung von Zellen aus Quarz, bei denen der Dunkelstrom viel schwächer ist.

G. W. Vinal and F. W. Altrup. Effect of Certain Impurities in Storage Battery Electrolytes. Journ. Amer. Inst. Electr. Eng. 44, 313-320, 1924, Nr. 4. Zur Messung der Geschwindigkeit, mit der die Sulfatation der Akkumulatoren erfolgt, haben Vinal und Ritchie (Technologic Paper S. 225) ein neues Verfahren angegeben, welches darin besteht, daß die in dem Elektrolyten befindlichen Platten an einer Wage aufgehängt und in bestimmten Zeiträumen gewogen werden. Dieses Verfahren wird jetzt zur Untersuchung des Einflusses benutzt, den schädliche Beimengungen zum Elektrolyten infolge der Lokalwirkung auf die Platten ausüben, da diese Wirkungen entweder in einer Korrosion der Platte, oder in einer Beschleunigung der Bildung von Bleisulfat, oder endlich in der Entstehung eines Niederschlags bestehen, die sämtlich eine Veränderung des Plattengewichtes bewirken. Im einzelnen wurden folgende Ergebnisse erhalten. Enthält der Elektrolyt in 107 Teilen 1 Teil Platin, so wird die Lokalwirkung von der negativen Platte um 50 Proz. erhöht. Wie das Platin schlägt sich auch das Kupfer an der negativen Platte nieder; seine Wirkung ist aber schwächer. Eisen ist deshalb von besonderem Interesse, weil es die Entstehung von Bleisulfat an der negativen Platte in hohem Maße beschleunigt. An der positiven Platte erfolgt eine langsamere Einwirkung, so daß dort die zerstörenden Wirkungen weniger lebhaft in die Erscheinung treten. Mangan ist besonders den positiven Platten schädlich. Die Manganniederschläge (Mangandioxyd) bedecken die wirksame Masse dieser Platten, verschließen die Poren und bewirken, daß ein großer Teil des Ladestroms zur Gasentwicklung verbraucht wird. Das Mangan verbleibt nicht an der positiven Platte, an der es niedergeschlagen wurde, sondern wird durch den Ladestrom zum Teil in Übermangansäure umgewandelt und in den Elektrolyt zurückgeführt. Dem Begriff der Lokalwirkung wird eine schärfere physikalische Deutung gegeben.

B. Hostinský. Équilibre de l'électricité sur une surface cylindrique. C. R. 176, 1698—1700, 1923, Nr. 24. Verf. greift auf die Arbeiten von Poisson und Robin zurück (Oeuvres scientifiques, physique mathématique, Formel 44, S. 29 u. 20, S. 68). Diese behandeln die Elektrizitätsverteilung auf einer Kugel. Ganz analoge Betrachtungen ergeben sich für das Problem einer Zylinderoberfläche und führen zu einer Integrodifferentialgleichung, deren Lösung diskutiert wird. Die ausführliche Behandlung findet sich in den publications de la faculté des Sciences de l'Université Masaryk, 30.

L. S. Ornstein. Anisotropie der flüssigen Kristalle bezüglich ihrer Dielektrizitätskonstanten und ihrer elektrischen Leitfähigkeit. Beitrag

zur Theorie der flüssigen Kristalle. Ann. d. Phys. (4) 74, 445—457, 1924, Nr. 13. W. Kast hat gefunden, daß die Dielektrizitätskonstanten ε flüssiger Kristalle sich in einem Magnetfelde ändern in einer Weise, die durch eine Formel $A\varepsilon = Cf(H)$ dargestellt werden kann. Der Verf. berechnet nun die Änderung der Dielektrizitätskonstanten im Magnetfeld unter den Annahmen, das Medium sei entweder aus anisotropen Molekeln aufgebaut oder als Kristallaggregat mit Brownscher Bewegung

anzusehen. Er findet $\Delta \varepsilon = \frac{2}{3} (\varepsilon_1 - \varepsilon_2) \left(1 - \frac{3\cos h}{b} + \frac{3}{b^2} \right)$, wo $b = \frac{\mu H}{kT} (\mu \text{ das})$

magnetische Moment der Teilchen, sonst die üblichen Bezeichnungen) ist. Durch Vergleich mit den Messungen von Kast läßt sich μ berechnen; es ist für p-Azoxyanisol = 9,43.10-17, für p-Azoxyphenetol = 8,46.10-17, d. h. ungefähr 10⁴ Bohrsche Magnetonen. Daraus folgt, daß die der Theorie zugrunde gelegten Elementarteilchen nicht einzelne Molekeln sein können, sondern kristalline Aggregate sein müssen. Ähnlich werden die von Kast erhaltenen Resultate für die elektrische Leitfähigkeit in ihrer Abhängigkeit von einem Magnetfeld behandelt und μ von derselben Größenordnung gefunden. Auch für die Lichtzerstreuung ergibt sich aus der Kristalltheorie eine experimentell von R. Riwlin bestätigte Beziehung, daß nämlich der Zerstreuungskoeffizient ω^2 proportional $(n_0-n_e)^2$ ist, wo n_0 den ordentlichen, n_e den außerordentlichen Brechungsexponent bedeutet.

Viktor Engelhardt. Zur Prüfung der Durchschlagsfestigkeit von Isolierölen. Helios 30, 269-270, 1924, Nr. 34. Die Arbeit gibt eine Übersicht über die Bemühungen des Verbandes Deutscher Elektrotechniker und der Vereinigung der Elektrizitätswerke, zu einwandfreien Bestimmungen über die Prüfung der Durchschlagsfestigkeit von Isolierölen zu kommen. Auf Grund des in der Literatur vorliegenden Materials und eigener Versuche des Verf. wird vorgeschlagen, Durchschlagsversuche, welche höchstens ein Maß für die Verunreinigung des betreffenden Öles, nie aber Materialkonstanten liefern, überhaupt zu lassen und die laufende Kontrolle der Beschaffenheit des im Betrieb befindlichen Öles durch gelegentliche Spannungsproben zu bewerkstelligen. Bei dieser Prüfung auf dielektrische Festigkeit wäre eine gewisse Anzahl Proben des zu untersuchenden Öles je fünf Minuten einer bzw. zwei vorzuschreibenden bestimmten Beanspruchungen (z. B. 60 kV/cm und 100 kV/cm) auszusetzen und der Beschaffenheit des Öles -- je nach dem Ausfall dieser Spannungsprobe -eine der Güteziffern 1 bis 3 zu erteilen. Eine derartige Vorschrift würde die betriebsmäßige Kontrolle des Öles vereinfachen und hätte außerdem den großen Vorzug, daß aus den Prüfungsberichten hohe Paradewerte verschwänden, die über die praktische Brauchbarkeit des Öles nichts aussagen, aber von den Öl liefernden Firmen leicht erreicht werden können, wenn zur Prüfung ein vorher sehr gut behandeltes getrocknetes Öl in sauberen Gefällen eingeschickt wird. ENGELHARDT.

A. Wigand und T. Schlomka. Die Messung elektrischer Spannungen vom Motorluftfahrzeug aus. Ann. d. Phys. (4) 75, 279—325, 1924, Nr. 19. Wigand gebührt das Verdienst, als erster das Flugzeug für luftelektrische Messungen verwendet zu haben. Es ist um so erfreulicher, daß er nun mit Schlomka ausführlich über seine Erfahrungen mit den im Flugzeug verwendbaren Kollektoren und seine Messungen der Selbstaufladung von Flugzeugen bei Betrieb des Motors berichtet. — Bei luftelektrischen Untersuchungen im Flugzeug braucht man sehr rasch wirkende Kollektoren, deren Ladezeit (als solche wird die Zeit definiert, die zur Erreichung von 95 Proz. der Endspannung erforderlich ist) höchstens einige Sekunden beträgt und nicht merklich mit der Fahrgeschwindigkeit (Fahrwind) variiert.

Nach verschiedenen Versuchen gelang es den Verff., einen radioaktiven Kollektor mit den erwähnten Eigenschaften zu konstruieren. Der Kollektor ist ein pilzartig gestalteter Körper, dessen Stengel durch Radiothor aktiviert ist. Die Wirbelbildung bewirkt hinter der gewölbten Stirnfläche, daß oberhalb einer gewissen Geschwindigkeit die Belüftung der in der Wirbelluft befindlichen, mit Radiothor belegten Fläche nur wenig von der Luftgeschwindigkeit abhängt. Die Ladezeit beträgt im Fluge etwa drei Sekunden und ist entsprechend kaum beeinflußt durch Änderungen Ebenso kurze Ladezeit ergibt auch ein eigens konder Fahrgeschwindigkeit. struierter, auf dem Zerstäubungsprinzip beruhender Wasserkollektor mit dreifacher Düse, doch ist dieser Kollektor für den praktischen Gebrauch weniger bequem. -Der Kollektor wird mittels eines starren Rohres vertikal über dem Beobachtersitz angebracht, so daß der Ausgleichspunkt noch 1 m oberhalb der Auspufföffnung liegt. - Der zweite Teil der Arbeit bezieht sich auf die Selbstaufladung von Benzinmotoren, mit spezieller Berücksichtigung der Flugzeugmotoren. Die elektrische Kapazität eines Doppeldeckers von 5.5 m Länge beträgt C = 1000 cm. Ist das gesamte System z. B. durch die Wirkung der ständig entströmenden Auspuffgase auf eine Spannung V geladen, so fließt die so im System erzeugte Elektrizitätsmenge in drei Stromkomponenten ab: 1. über die Isolatoren (dieser Teil ist während des Fluges gleich Null), 2. an die umgebende Luft infolge der erhöhten Leitfähigkeit der glühenden Auspuffgase, und ein relativ kleiner Teil 3. durch die normale luftelektrische Zerstreuung. Diese Komponenten zusammen seien i_W (Verluststrom) genannt. Die vom Motor in der Zeiteinheit gelieferte Elektrizitätsmenge, die Ladestromstärke i_L muß zunächst diesen Verluststrom decken, der Rest des Ladestromes bewirkt allmählich die Aufladung des gesamten Systems auf ein Potential V, nach

der Formel $V=i_L$. $W.\left(1-e^{-\frac{t}{W\cdot C}}\right)$. V nähert sich dem Grenzwert $V_\infty=i_L$. W(W bedeutet den gesamten Isolationswiderstand). Am Beginn der Aufladung ist V=0 und $i_L=C.dV/dt$ aus der Tangente der Potentialanstiegkurve leicht zu ermitteln. V_{∞} wird direkt mittels Wulfelektrometer bestimmt, dessen Fadensystem mit dem über dem Flugzeug angebrachten Kollektor leitend verbunden ist. - Die Autoren berichten zunächst über noch unveröffentlichte Messungen der Selbstaufladung von Stabilmotoren von G. Fuhrmann, die schon zeigten, daß das Abströmen der rauchhaltigen Auspuffgase wechselnde Aufladungen des isolierten Motors bewirkt. -Bei den Versuchen der Verff. mit verschiedenen Motortypen im Flugzeug zeigte sich folgende Erscheinung: Vor dem Aufstieg, wenn das Flugzeug geerdet war, zeigt das Elektrometer die normale Potentialdifferenz zwischen dem Referenzpunkte des Kollektors und der Erde (+200 bis +500 Volt je nach der Stärke des Erdfeldes). Sobald der Motor auf 1200 bis 1400 Touren pro Minute kommt, gehen die Elektrometerfäden zuerst auf Null und dann stark auseinander, ein Zeichen, daß der Körper des Fahrzeuges sich jetzt sogar positiv gegen den Referenzpunkt des Kollektors auflädt. Im Flug nimmt das Flugzeug Spannungen von mehr als + 1000 Volt gegen die umgebende Luft (Referenzpunkt des Kollektors) an. Die Spannung geht sofort herunter, wenn die Tourenzahl des Motors sinkt und verschwindet im Gleitflug vollständig, bis sich das Vorzeichen wieder umkehrt und das Elektrometer die normale Spannungsdifferenz entsprechend der Stärke des Erdfeldes anzeigt. — Besondere Versuche zeigten, daß der Ladestrom der Auspuffgase von der Größenordnung 10-7 bis 10-8 Amp. ist, daher es aussichtslos erscheint, diese Aufladung durch Kollektoren etwa der im ersten Teile der Arbeit beschriebenen Art ($i_L=10^{-10}$ bis 10^{-11} Amp.) zu vermindern. -Messungen des luftelektrischen Potentialgradienten im Flugzeug sind daher mit nur einem Kollektor unmöglich. - Die Messungen der Verff. zeigen, daß das durch die Auspuffgase bewirkte Spannungsgefälle in der Nähe eines Luftfahrzeuges 2000 Volt pro Meter nie überschreitet, so daß daraus keine Zündungsgefahr für gasgefüllte Lenkballone resultieren kann. Höhere Spannungen können durch die verfügbaren Kollektoren (Ausgleicher) stets auf den genannten ungefährlichen Grenzwert herabgedrückt werden.

V. F. Hess.

K. Kähler. Die Elektrizität der Gewitter. Mit neun Abbildungen. 148 S. Berlin, Verlag von Gebr. Borntraeger, 1924. (Sammlung Borntraeger, Bd. 3.) Inhalt: Elektrisierung durch die Sonne. Elektrische Vorgänge beim Anlagern (durch Adsorption) der Träger. Elektrische Vorgänge beim Verdampfen und Verdichten des Wassers. Reibungsvorgänge an den Niederschlägen. Die Lenardwirkung in den Wolken. Influenzvorgänge an den Niederschlägen.

G. Borelius. Bemerkungen zu einer Arbeit von W. Heraeus über die Abhängigkeit der thermoelektrischen Kraft des Eisens von seiner Struktur. Ann. d. Phys. (4) 74, 757—760, 1924, Nr. 16. Heraeus hatte die Boreliusschen Untersuchungen wiederholt und war zu dem Ergebnis gelangt, daß die sogenannten "Z"-Umwandlungen von Borelius nicht reell waren, sondern durch die apparative Anordnung vorgetäuscht wurden. Borelius bestreitet die Rechtmäßigkeit der Heraeusschen Kritik, da letzterer nur reines Eisen verwandt habe, diese Effekte aber erst bei Zusatz geeigneter Fremdstoffe hervortreten. Er habe auch in weiterer Fortsetzung seiner eigenen Untersuchungen derartige Umwandlungen stets wiedergefunden, verwahrt sich aber gegen die Unterstellung, als habe er mit den Erscheinungen polymorphe Umwandlungen gemeint.

Otto Fenssner. Bohrsche Atomtheorie und elektrische Leitfähigkeit. ZS. f. Phys. 25, 215-219, 1924, Nr. 3. [S. 1729.]

Bernhard Gudden. Elektrizitätsleitung in kristallisierten Stoffen unter Ausschluß der Metalle. Ergebnisse der exakten Naturwissenschaften. Herausgegeben von der Schriftleitung der "Naturwissenschaften". Dritter Band, S. 116—159. Berlin, Verlag von Julius Springer, 1924.

Alfred Schulze. Die elektrische Leitfähigkeit von Legierungen. Helios 30, 161—165, 169—174, 177—180, 1924, Nr. 24, 25, 26. Verf. hat vor längerer Zeit eine Zusammenstellung über die elektrische Leitfähigkeit der reinen Elemente veröffentlicht. Er dehnt nunmehr seine Studien auch auf die Legierungen aus. Eigene Untersuchungen enthält die Arbeit nicht, sie stützt sich lediglich auf bisher anderweitig bekannt gewordenes Material und sucht es zu ordnen und kritisch zu würdigen. Da die einzelnen Arbeiten schon jeweils referiert wurden, erübrigen sich weitere Angaben.

A. Blondel. Abaque pour le calcul des constantes caractéristiques des lignes de transmission aérienne à haute tension. C.R. 178, 1239—1244, 1924, Nr. 15. [S. 1710.]

Charles Moureu, Charles Dufraisse, Louis Tampier et Paul Gailliot. Sur les variations du pouvoir isolant des "gels d'acroléine" suivant le degré de condensation. Comparaison avec les variations de la densité. Journ. de phys. et le Radium (6) 5, 161—167, 1924, Nr. 6. Wenn auf Acrolein geringe Mengen von Alkali einwirken, so wird es allmählich gelatiniert. Bei längerem Stehen erfolgt eine Verfestigung der Masse. Dieser Prozeß geht, wenn auch langsam, monatelang

weiter. Zwei Begleiterscheinungen sind hier in ihrer Abhängigkeit von der Zeit untersucht worden. 1. Die Masse zieht sich stets zusammen, die Dichte nimmt also zu. Diese Zunahme ist anfangs rasch, später langsam: die Dichte strebt asymptotisch einem Endwert zu. 2. Der elektrische Widerstand (durch Entladung eines Elektroskops gemessen) wird immer größer, die Geschwindigkeit dieser Zunahme nimmt mit der Zeit nur wenig ab, so daß nach jahrelangem Lagern außerordentlich hohe Isolierfähigkeit zu erwarten ist. Aus diesem Grunde hat das Problem auch technisches Interesse.

Kurt Arndt und Georg Ploetz. Die elektrische Leitfähigkeit von geschmolzenem Ätznatron. ZS. f. phys. Chem. 110, 237-242, 1924. Trotzdem in der Technik geschmolzenes Ätznatron als Elektrolyt für die Gewinnung von metallischem Natrium verwendet wird, ist die Leitfähigkeit des geschmolzenen Natriumhydroxyds bisher in der Literatur noch nicht zu finden. - Nach dem Vorgange von Arndt und Kalass (ZS. f. Elektrochem. 30, 12-20, 1924) benutzten Arndt und Ploetz als Gefäß und gleichzeitig als Elektrode einen metallenen Tiegel, und zwar in diesem Falle aus Silber, weil Platin bekanntlich von Ätzalkalien angegriffen wird, und darin eine Silberscheibe als innere Elektrode, als Stromquelle eine Hochfrequenzmaschine. Weil das technische Natriumhydroxyd immer Natriumcarbonat und meist auch Natriumchlorid enthält, so ermittelten sie die Leitfähigkeit im Temperaturbereich von 320 bis 450° für wechselnde Gebalte an Chlorid und an Carbonat, um daraus die Leitfähigkeit des reinen Natriumhydroxyds zu extrapolieren. Es ergab sich seine spezifische Leitfähigkeit für 3200 (es schmilzt bei 3180) zu 2,12 und für 4500 zu 3,27. Die Dichte des geschmolzenen reinen Natriumhydroxyds, welche ebenfalls in der Literatur bisher nicht zu finden ist, wurde mit Hilfe eines Senkkörpers aus Silber zu 1,79 bei 3200 und zu 1,72 bei 4500 gefunden. Daraus ergibt sich die Äquivalentleitfähigkeit bei 320° zu 48,8 und bei 450° zu 77,2. K. ARNDT.

E. Hückel. Zur Theorie der Elektrolyte. Ergebnisse der exakten Naturwissenschaften. Herausgegeben von der Schriftleitung der "Naturwissenschaften". Dritter Band, S. 199—276. Berlin, Verlag von Julius Springer, 1924.

P. Walden. Über die Berechnung der Grenzwerte λ_{∞} des Äquivalentleitvermögens von ein-einwertigen bis ein-n-wertigen Salzen in wässerigen und nicht wässerigen Lösungen. ZS. f. phys. Chem. 108, 341-386, 1924, Nr. 5/6. Wie der Verf. ausführt, ist in der Ostwald-Walden-Bredigschen Regel: $\lambda_{\infty} = \lambda_v + d$ bei Salzen von gleichem Typus und bei gleicher Verdünnung die Größe d, welche den Unterschied zwischen der Äquivalentleitfähigkeit bei unendlicher Verdünnung (λ_{∞}) und derjenigen bei der Verdünnung v (λ_v) angibt, nicht konstant, sondern eine Funktion von λ_v , und zwar ist für die Verdünnung v die Differenz d_v dem Werte von λ_v direkt proportional. Man kann also $d_v/l_v=const$ setzen und erhält für starke (binäre) Salze in verdünnten Lösungen bei gleichen Verdünnungen v den gleichen Quotienten, so da ${f s}$ $d_v/\lambda_v = (\lambda_\infty - \lambda_v)/\lambda_v = const$ wird. Für v=512 und 1024 ist bei 25^0 die Konstante 0,03068 bzw. 0,02145. Mit der Verdünnung nimmt d_v/λ_v um so mehr ab, je mehr v zunimmt, und zwar in einer gewissen Potenz von v. Setzt man deren Exponent = $^{1}\!/_{2}$, so wird (d_{v}/λ_{v}) . $v^{1/2}=0$,692. Durch Umformung dieser Gleichung oder der mit ihr identischen $(\lambda_\infty - \lambda_v)/\lambda_v$) $v^{1/2} = 0,692$ gelangt man zu der zur Berechnung des Grenzwertes der Äquivalentleitfähigkeit dienenden Gleichung $\lambda_{\infty}=\lambda_v(1+0.692/v^{1/2})$ $=\lambda_v(1+K_1/v^{1/2})$. Sie ist für mehrwertige und mehrionige Salze zu der Beziehung $\lambda_{\infty} = \lambda_{v} (1 + n_{1} \cdot n_{2} \cdot 0.692/v^{1/2}) = \lambda_{v} (1 + n_{1} \cdot n_{2} \cdot K_{1}/v^{1/2})$ zu erweitern, in der n_{1} und na die Wertigkeiten des Kations und des Anions bezeichnen. Diese Gleichungen werden an den Versuchsergebnissen geprüft, die eine Reihe von Forschern an den wässerigen Lösungen von ein- und einwertigen sowie von mehrionigen Salzen bei verschiedenen Temperaturen erhalten haben. Sie liefert gute Übereinstimmung, versagt aber bei den Sulfaten der Metalle der Magnesiumgruppe infolge Bildung von Komplexionen. — Aus der Gleichung für λ_{∞} läßt sich ferner der Dissoziationsgrad eines normal dissoziierenden Salzes $\alpha = \lambda_v/\lambda_\infty = v^{1/2}/(v^{1/2} + n_1 \cdot n_2 \cdot 0.692)$ für die Verdünnung v berechnen. Die Formel zeigt, daß, wie schon früher auf anderem Wege abgeleitet worden ist, in genügend verdünnten wässerigen Lösungen starke Salze eines und desselben Typus bei gleichen endlichen Verdünnungen v denselben Dissoziationsgrad a und mithin auch die gleiche aus dem Verdünnungsgesetz folgende Dissoziationskonstante haben. Die mittels der Gleichung für verschiedene Verdünnungen (v = 10 bis 10000 Liter) für ein-ein-, ein-zwei-, ein-drei-, ein-vierwertige Salze berechneten Werte von α werden zusammengestellt. Auch hier stimmen die nach der Formel berechneten Werte mit den aus Leitfähigkeitsmessungen ermittelten gut überein. — Aus der für aufgestellten Formel folgt als neue Form für das Verdünnungsgesetz die Gleichung $a/(1-a)v^{1/2}=1/n_1$, n_2 , $0,692=K_2$. Die Werte von K_2 sind für den Fall, daß n_1 , $n_2 = 1$, 2, 3 oder 4 ist bzw. 1,445, 0,722, 0,482 und 0,361. Die Konstante kann somit als Salztypenkonstante bezeichnet werden. - Auch zur Berechnung des Dissoziationsgrades ein ein-wertiger Salze in nicht wässerigen Lösungsmitteln ist die oben angegebene Formel, die in diesem Fall die Gestalt $\alpha = v^{1/2}(v^{1/2} + K_1)$ annimmt, brauchbar. Die Werte von K₁ werden für eine Reihe organischer Lösungsmittel angegeben. K₁ steht im Zusammenhang mit der Dissoziationskonstante $K_2 = \alpha/(1-\alpha) v^{1/2}$ der gelösten binären Salze und der Dielektrizitätskonstante ε des Lösungsmittels (s. u.). - Im einzelnen hebt Verf. am Schluß noch folgendes hervor: 1. Die Gleichung λ_{∞} $=\lambda_v(1+n_1\,n_2\,.\,K_1/v^{1/2})$ bringt (von gewissen höheren Verdünnungen an) das Individuelle bei den verschiedenen Salzen praktisch zum Verschwinden, indem sie nur dem Typus des Elektrolyten Rechnung trägt. Salze eines und desselben Typus zeigen hinsichtlich der durch die Beziehung $\alpha_n = \lambda_n/\lambda_\infty$ gemessenen Dissoziation das gleiche Verhalten, indem sie bei den gleichen Verdünnungen den gleichen Dissoziationsgrad aufweisen. 2. Ebenso vereinheitlicht die Gleichung die verschiedenen organischen Lösungsmittel, indem sie deren chemisches Moment (chemische Zusammensetzung und Natur) ausschaltet. Der individuelle Charakter der Medien wird ausschließlich auf den "Leitfähigkeitsmodul" (die Konstante K_1) beschränkt, die allgemein durch die Gleichung K₁.ε = const mit der Dielektrizitätskonstante ε verknüpft ist; dieser kommt die ausschlaggebende Rolle beim Verlauf des Leitvermögens λ_v mit der Verdünnung v zu. 3. Die Dissoziationskonstante K_2 ist für jedes Medium der Dielektrizitätskonstante ε proportional, und zwar ist $K_2 = 0.00872 \varepsilon$.

Samuel Glasstone. Intermittent Current Electrolysis. Part III. The Measurement of Overvoltage. Journ. chem. soc. 125, 250—260, 1924, Januar. Die Geschwindigkeit des Potentialabfalls an einer polarisierten Bleielektrode nach Ausschaltung des polarisierenden Stromes wurde gemessen und die Kurve Potential-differenz-Zeit auf die Zeit Null extrapoliert, wodurch es möglich wurde, das wahre Potential der Elektrode im Augenblick der Stromunterbrechung zu ermitteln. Aus diesen bei verschiedenen Stromdichten erhaltenen wahren Potentialwerten wurde dann die Überspannung der Elektrode bestimmt. Die auf diese Weise erhaltenen Werte bei niedrigen Stromdichten stimmen nahezu mit denjenigen überein, die sich bei Anwendung der direkten Methode ergaben; bei höheren Stromdichten zeigen sich jedoch Differenzen, die wahrscheinlich von dem Widerstand eines Metall-Gas-Elektrolyt-

Systems herrühren, welches an der Oberfläche der Elektrode liegt. Diese Ansicht erfahrt eine Stütze durch die Ergebnisse von Versuchen, bei denen die Elektrodenoberfläche, sowie die Konzentration und die Temperatur des Elektrolyten geändert wurden. Der "Oberflächenwiderstand" an einer 1 qcm großen Bleielektrode in n-Natronlauge oder in n-Schwefelsäure beträgt nicht mehr als 4 Ohm. Durch die Versuche wird es zweifelhaft, ob ein bei niedrigen Stromdichten sehr großer Übergangswiderstand vorhanden ist. Bötter.

Henry C. Parker and Elizabeth W. Parker. The calibration of cells for conductance measurements. III. Absolute measurements on the specific conductance of certain potassium chloride solutions. Journ. Amer. Chem. Soc. 46, 312-335, 1924, Nr. 2. Die Genauigkeit der Leitfähigkeitsmessungen ist gegenwärtig so groß, daß es nicht mehr angeht, die Konzentrationen auf das Liter zu beziehen, während gleichzeitig das Ohm (also indirekt das Zentimeter) zugrunde gelegt wird. Vielmehr ist als Volumeneinheit das Kubikdezimeter zu wählen und der Unterschied, welcher zwischen ihm und dem Liter (als dem Volumen von 1 kg Wasser vom Dichtemaximum) besteht, bei den Messungen zu berücksichtigen. Es wird vorgeschlagen, Lösungen, welche 1 g-Äquivalent im Kubikdezimeter enthalten, als "demal" (D) zu bezeichnen und die Bezeichnung normal in der bisher üblichen Weise (1 Äq./Liter) zu gebrauchen. Die Widerstandskapazität wird dann $K = l^2/v \text{ cm}^{-1}$, wobei l die Länge in Zentimeter, v das Volumen in Kubikzentimeter bezeichnet; die spezifische Leitfähigkeit ist $L = l^2/(v \cdot R) \text{ cm}^{-1} \text{ Ohm}^{-1}$, wenn R der Widerstand in Ohm ist. Ist die Konzentration in Äquivalent pro Kubikdezimeter ausgedrückt und enthalten $V \operatorname{cdm} D \operatorname{g-\ddot{A}quivalent}$, so ist die Konzentration $C = (D/V) \operatorname{dm-3} \operatorname{g-\ddot{A}quivalent}$. Endlich ist die Äquivalentleitfähigkeit $\Lambda = 1000 \, L/C = 1000 \, l^2/R \, D \, \mathrm{Ohm^{-1} \, cm^2}$ g-Äq.-1. Durch die eigenen Messungen, deren Genauigkeit 0,02 Proz. betrug, wurden die spezifischen Leitfähigkeiten der D, 0,1 D und 0,01 D Lösungen von KCl bei 0º gemessen und für sie die Werte bzw. 0,065 098, 0,007 129 5 und 0,000 728 4 cm-1 Ohm-1 gefunden. Die Lösungen wurden durch Zusatz von 76,6276, 7,47896 oder 0,746 25, g Kaliumchlorid zu 1000 g Wasser hergestellt, wobei sämtliche Wägungen in der Luft ausgeführt wurden. Zur Ermittlung der Widerstandskapazität wird der zweite, für 0,1 D Lösungen geltende Wert (0,0071295) vorgeschlagen. Die von Kohlrausch und Maltby bei 180 gemessenen Werte sind um 0,145 Proz. zu hoch; mittels dieses Faktors lassen sich Messungen, die auf ihren Werten beruhen, auf die neue Basis zurückführen. Die Messungen von Kohlrausch, Holborn und Diesselhorst (Wied. Ann. 64, 440, 1898) an KCl-Lösungen sind im Durchschnitt ungefähr 0.15 Proz. zu hoch; auch die relativen Werte sind mit einem Fehler behaftet. Der maximale absolute Fehler (in der 0,01 norm. Lösung bei 00) beträgt 0,23 Proz., der maximale relative Fehler 0,20 Proz. In einer Tabelle sind die Werte für die spezifische Leitfähigkeit der D, 0,1 D und 0,01 D Lösungen von Kaliumchlorid für die Temperaturen 0 bis 300 (um 50 fortschreitend, sowie für 180) zusammengestellt. Indes wird die Widerstandszelle am besten bei 00 geeicht. Bei den Messungen wurde ein neuer Eisthermostat benutzt, bei dem die Widerstandszellen vollständig in fein geschabtes Eis eingebettet waren und für den Abfluß des Schmelzwassers gesorgt war. Wegen seiner Einrichtung, des Baues der benutzten Widerstandszelle und der Einzelheiten der Messungen muß auf die Abhandlung verwiesen werden.

Otto Haehnel. Über die Löslichkeit des Calciumcarbonats in kohlensäurehaltigem Wasser unter hohen Drucken und die Eigenschaften solcher Lösungen. Journ. f. prakt. Chem. (N. F.) 107, 165—176, 1924, Nr. 5/8. Bei 180 wurden

unter hohem, dem Verflüssigungsdruck des Kohlendioxyds naheliegenden Kohlendioxyddruck (56 Atm.) gesättigte Lösungen von Calciumbicarbonat hergestellt. Die in ihnen ermittelte Menge Calciumbicarbonat beträgt 0,64 Proz., was einem Calciumcarbonatgehalt von 0,39 Proz. entspricht. Diese Menge ist beträchtlich größer als diejenige, welche von älteren Forschern (Caro, Arch. d. Pharm. (4) 104, 147, 1874; Mc Coy und Smith, Journ. Amer. Chem. Soc. 33, 470, 1911) für die Löslichkeit des Calciumcarbonats in kohlensäurehaltigem Wasser angegeben wird. Die unter hohem CO2 - Druck hergestellte konzentrierte Calciumbicarbonatlösung zersetzt sich unter Atmosphärendruck nur langsam, auch wenn sie geschüttelt oder mäßig erwärmt wird. Ferner wurde die Abhängigkeit der Löslichkeit des Calciumcarbonats vom CO9-Druck zwischen 1 und 56 Atm. bei 180 ermittelt. Die sich dabei ergebende Kurve bildet die Fortsetzung der von Engel (Ann. chim. phys. 13, 346, 1888) gezeichneten, die nur bis 6 Atm. reicht. Die von Mc Coy und Smith gezeichnete Kurve weicht in ihrem oberen Teil (von 16 Atm. an) von der in der vorliegenden Arbeit erhaltenen wesentlich ab. Die Feststellung der Löslichkeit des Calciumbicarbonats bei erhöhten Temperaturen unter konstantem Druck (56 Atm.) ergab zunächst (bei 250) eine geringe Erhöhung der Löslichkeit; bei weiterer Temperatursteigerung nahm jedoch die Löslichkeit ab, und die bei 550 gesättigte Lösung enthielt nur noch 0,42 Proz. Calciumbioder 0,26 Proz. Calciumcarbonat. Die bei 180 unter 6 Atm. COo-Druck hergestellte gesättigte Lösung enthält, wie analytisch nachgewiesen werden konnte, das Calcium quantitativ als Bicarbonat. Dieses Salz im festen Zustand abzuscheiden, gelang noch nicht. Die Leitfähigkeit der bei 180 gesättigten 0,64 proz. Lösung von Calciumbicarbonat wurde bei 180 zu 3605.10-6 cm-1 Ohm-1 gefunden.

Hago Fricke and Sterne Morse. The electric conductivity of suspensions. Phys. Rev. (2) 23, 556, 1924, Nr. 4. (Kurzer Sitzungsbericht.) Es wird eine Formel für die elektrische Leitfähigkeit verdünnter Suspensionen von homogenen Sphäroiden in ihrer Abhängigkeit von den Leitfähigkeiten der dispersen und kontinuierlichen Phasen, von der Volumenkonzentration der dispersen Phase und von dem Massenverhältnis der Sphäroide entwickelt. Die Theorie ist auf die Bestimmung der Dielektrizitätskonstante disperser Systeme unmittelbar anwendbar, indem man in der Formel die Leitfähigkeiten durch die Dielektrizitätskonstanten ersetzt. Die Clausius-Mosottische Formel stellt einen Sonderfall der von den Verff. abgeleiteten allgemeinen Formel dar, die in einigen Fällen, wie an den Suspensionen der roten Blutkörperchen, experimentell bestätigt worden ist. Sie liefert bis zu Konzentrationen von ungefahr 30 Proz. mit dem Experiment bis auf 1 Proz. übereinstimmende Werte und ist zur Bestimmung der Leitfähigkeit suspendierter Zellen (Bakterien, weiße Blutkörperchen) von bekannter Volumenkonzentration benutzt worden. Ihre praktische Anwendung bei der Untersuchung gewisser disperser Systeme, z. B. bei der Analyse des Bodens und der Milch. in der Chemie der Gallerte, bei der Bestimmung des Volumenindex des Blutes, bei den Graphitsuspensionen usw. wird diskutiert. Böttger.

R. Minkowski und H. Sponer. Über den Durchgang von Elektronen durch Atome. Ergebnisse der exakten Naturwissenschaften. Herausgegeben von der Schriftleitung der "Naturwissenschaften". Dritter Band, S. 67—85. Berlin, Verlag von Julius Springer, 1924.

A. Pontremoli. Un nuovo effetto del campo magnetico sulla scarica dei gas rarefatti. Lincei Rend. (5) 32 [2], 158-1:1, 1923, Nr. 5/6. Im mittleren Teil einer langen, sorgfältig gereinigten Wasserstoffröhre nach Wood kann ein longitudinales Magnetfeld erregt werden. Bei 1 bis 1,5 mm Hg, einem Strom von

10 Milliamp. und einer Potentialdifferenz von 14 kV bewirkt ein Feld von 7000 Gauß eine deutliche Schwächung der Balmerlinien und Verstärkung des Viellinienspektrums. Dies sowie die Wirkung auf die Schichtenbildung entspricht ganz der Wirkung einer Druckerhöhung. Weitere Versuche sollen entscheiden, ob tatsächlich eine Druckerhöhung im Magnetfeld eintritt und ob sie von einer Konzentration der Ladung oder einem mechanischen Effekt diamagnetischen Ursprungs herrührt. Sicher scheint ein Zusammenhang mit den Beobachtungen von Franck und Grotrian über das metastabile Hg2: bei diesem, das unter Energieabgabe zerfällt, fördert das Magnetfeld die Dissoziation, bei H2, das unter Energieaufnahme zerfällt, hindert das Magnetfeld die Dissoziation.

Lavoro Amaduzzi. Ulteriori osservazioni sull'influenza della variazione di temperatura nel processo di scarica in gas rarefatto. Rend. di Bologna (N. S.) 25, 20—24, 1920/21. In Fortsetzung früherer Versuche (Rend. di Bologna, 19. Mai 1918) beobachtet der Verf. die Zunahme der Stromstärke in einer Entladungsröhre bei Temperatursteigerung von der Temperatur der flüssigen Luft bis 3500. Hierbei tritt eine teilweise Verdunklung der positiven Säule ein, die Farbe ändert sich und Schichten treten auf und verschwinden wieder. Die Temperatur, bei der die Verdunklung eintritt, hängt von der Erregungsart ab. Bei frischer Luftfüllung ist die Farbe der Entladung eine andere als nach längerem Durchgang der Entladung. Diese und andere Erscheinungen dürften auf "Veränderungen der Ionenkomplexe" zurückzuführen sein, wobei chemische Veränderungen mitspielen können, insbesondere da die Versuche mit Luft ausgeführt wurden.

Ernst Zachmann. Untersuchungen über die elektrische Leitfähigkeit metall dampfhaltiger Flammen mit Einführung einwandfreier Feldmessungen. Ann. d. Phys. (4) 74, 461-517, 1924, Nr. 14. Eine Anordnung, bei der der Brenner nicht als störender Fremdkörper wirkt und Elektronenemission seitens der Elektroden eliminiert ist, erhält der Verf. durch Benutzung der Brennermündung als Anode und einer wassergekühlten Kathode. Es wird gezeigt, daß und wie das Feld in der Flamme mittels Sonden richtig gemessen werden kann. Aus der so bestimmten Feldstärke und dem Strom wird die Leitfähigkeit berechnet. Die durch ein Alkalimetall bewirkte Leitfähigkeit ist proportional der Quadratwurzel aus der Metallkonzentration, proportional der Quadratwurzel aus dem Atomgewicht, unabhängig von der gleichzeitigen Anwesenheit eines anderen Metalls und zeigt einen starken Gang mit der Temperatur. Unter Benutzung und teilweiser Modifikation der Lenardschen Anschauungen schließt der Verf., daß die Elektronenerzeugung beim Zusammentreffen der Metallatome mit den Molekeln der Flammengase durch Nähewirkung erfolgt; die Nähewirkung zwischen Metallatomen kommt weniger zur Geltung. Die "Emissivitätskonstante" der Alkalimetalle ist dem Atomgewicht proportional. Die Untersuchungen von Ebert, Andrade und Wilckens werden kritisch beleuchtet und in der starken Temperaturabhängigkeit wird ein Argument gegen Marx' lichtelektrische Theorie der Flammenleitung erblickt. K. PRZIBRAM.

The Research Staff of the General Electric Co., Ltd. The theory of the abnormal cathode fall. Phil. Mag. (6) 46, 576, 1923, Nr. 273. Antwort an Aston (Phil. Mag. 46, 211, 1923; diese Ber. 4, 1619, 1923). Zweck der Arbeit des Verf. war zu zeigen, daß eine Theorie des anormalen Kathodenfalles nicht unmöglich ist, wenn angenommen wird, daß die positiven Ionen die Kathode mit fast der ganzen dem Kathodenfall entsprechenden Energie erreichen, in Übereinstimmung mit neueren

Untersuchungen. Verff. glauben, daß die von Aston erwähnten Schwierigkeiten sich beseitigen lassen, wenn die von ihrer jetzigen Theorie ausgeschalteten Faktoren näher bekannt werden.

J. Holtsmark.

Lydia Inge und Alexander Walther. Zur Methodik der Messungen der kritischen Spannungen. ZS. f. Phys. 24, 400-401, 1924, Nr. 5/6. Bei Messungen der kritischen Spannungen mit Elektronenstoß werden die Elektronen zwischen der Kathode und einem Netz beschleunigt. Da die Äquipotentialflächen dicht am Netz nahezu geschlossene Zylinderflächen sind, könnte man erwarten, daß die Form der Stromspannungskurve bei der Ionisierungsspannung von der Dichte des Netzes abhängt, und zwar wäre ein asymptotischer Anstieg mit einer von der Netzdichte abhängigen Steilheit zu erwarten, weil zunächst nur die wenigen dicht an den Drähten des Netzes vorbeifliegenden Elektronen die nötige Geschwindigkeit erhalten und erst bei Steigerung der Spannung die mehr in der Mitte der Masche durchtretenden Elektronen die erforderliche Beschleunigung erfahren. Messungen in Hg und Cd bei weitgehender Variation der Netzdichte ergaben jedoch, sowohl bei der Franckschen als bei der Goucherschen Methode, stets eine sprungartige Stromzunahme bei der Ionisierungspannung mit folgendem allmählichen Anstieg. Je dichter das Netz ist, um so größer ist der Sprung und um so steiler der folgende Anstieg. Die Ionisierungsspannung ergab sich bei Hg zu 10,4 ± 1, bei Cd zu 9,0 ± 1 Volt.

The Research Staff of the General Electric Company, Limited, London. (Work conducted by N. R. Campbell and E. G. New.) The Disappearance of Gas in the Electric Discharge (V). Phil. Mag. (6) 48, 553-580, 1924, Nr. 285. Das Ziel der Untersuchung ist die Ermittlung der Beziehungen zwischen der Absorption von Gasen unter dem Einfluß einer elektrischen Entladung und der Ionisation. In einem Eingitterrohr mit Wolfram- oder Oxydglühkathode dient das Spiralgitter als Anode und die zylindrische Nickelanode oder ein Silberbelag auf der Glaswandung als Kollektor für die positiven Ionen. Das Entladungsrohr hat bei den meisten Versuchen 150 ccm Rauminhalt; der Anfangsdruck ist von der Größenordnung 0,001 mm Hg. Gemessen wird das Verhältnis n_1/n_2 , wo n_1 die sekundlich durch Absorption verschwindenden Moleküle und no die gleichzeitig gebildeten Ionen (positiv) sind. Die allein unter dem Einfluß der Entladung erfolgende Gasabsorption ist mit einer Anzahl anderer Vorgänge fast stets verquickt: Absorption durch chemische Umsetzungen bedingt durch die Glühkathode, Absorption in Zerstäubungsschichten, Gasabgabe seitens des Glaswandungen als rein thermischer Vorgang und Gasentwicklung unter dem Einfluß des Bombardements der Elektronen bzw. positiven Ionen. Die Trennung des gesuchten Effektes von diesen Begleiterscheinungen ist die Hauptschwierigkeit. Die Versuche zeigen, daß in Stickstoff und Kohlenoxyd der Betrag der Gasabsorption proportional dem Betrage der Ionisation und - mindestens angenähert - unabhängig vom Druck, von der Geschwindigkeit der ionisierenden Elektronen sowie der Anordnung der Elektroden ist. Dagegen ist die Gasabsorption wesentlich durch den Zustand, jedoch nicht wesentlich durch das Material der Gefäßwand bedingt. Jede Behandlung der Wandung, die sie von adhärierenden Gasen befreit oder die spätere thermische Gasentwicklung zurückdämmt (starke Erhitzung, Elektronenbombardement, Kühlen in flüssiger Luft, Niederschlag eines Belages aus z. B. Magnesium), erhöht die wahre Absorption durch die Entladung. In gleichem Sinne wirkt eine Vergrößerung der Wandoberfläche. Bei mehrmaliger Gasfüllung tritt eine Ermüdungserscheinung ein. Oft ist die Anzahl der durch Absorption ausscheidenden Moleküle größer als die Anzahl der ionisierten Moleküle $(n_1/n_2 > 1)$. In Argon ist n_1/n_2 immer kleiner als 0,1; in Wasserstoff scheint die Absorption doppelt so groß zu sein wie in Stickstoff. Die Unabhängigkeit des Quotienten n_1/n_2 vom Druck und von der Anodenspannung und das Fehlen der Absorption unterhalb der Ionisierungsspannung läßt zunächst vermuten, daß die Absorption eine direkte Folge der Ionisation ist und daß positive Ionen absorbiert werden. Diese Annahme ist aber ausgeschlossen, da die Moleküle nur auf ihrem Wege zum Kollektor ionisiert sind und nicht am Kollektor absorbiert werden. Auch die Annahmen, daß die absorbierten Moleküle durch Spaltung der normalen Moleküle entstanden sind oder sich im angeregten Zustande befinden, lassen sich nicht mit den Beobachtungen in Einklang bringen. Die Versuche legen die Annahme nahe, daß die Moleküle absorbiert werden, nachdem sie ionisiert waren und ihre Ladung an den Kollektor abgegeben haben, und zwar findet die Absorption unterschiedslos an der ganzen Gefäßwand statt. Die absorbierten Moleküle sind befähigt, neutrale Moleküle anzulagern, so daß die Zahl der absorbierten Moleküle die der ionisierten übersteigen kann. Doch ist diese Anschauung nur schwer mit dem, was man von der Ionisation und der Atomstruktur weiß, in Einklang zu bringen. Über die Art der Reaktion zwischen den Gasmolekülen und der Wandung, die zur Absorption führt, läßt sich zurzeit keine mit den Beobachtungen sich deckende A. GEHRTS. Annahme machen.

W. Schottky. Diffusionsvorgänge in der positiven Säule. Naturwissensch. 12, 599-600, 1924, Nr. 29. Vorbericht über die folgende Arbeit.

W. Schottky. Wandströme und Theorie der positiven Säule. Phys. ZS. 25, 342-348, 1924, Nr. 14. Die früher gegebene Erklärung der Wandströme in Quecksilberdampf-Großgleichrichtern (M. Schenkel und W. Schottky, Wiss. Veröffentl. a. d. Siemens-Konz. 2, 252-274, 1922) durch Sekundärelektronen wurde unter dem Eindruck späterer eigener und fremder Versuche und Arbeiten aufgegeben. Das weitere Studium der Wandströme brachte aber einen Einblick in den Mechanismus der Diffusion der Ladungsträger an die Wände und hiermit eine Theorie der positiven Siule. In reinen Edelgas- und Metalldampfentladungen haben die Elektronen, die die Hauptträger der Entlalung sind, infolge ihrer hohen Geschwindigkeit wenig Gelegenheit zur Wiedervereinigung mit den positiven Atomresten, diffundieren aber stark nach den Rohrwänden, indem sie den langsamen positiven Ionen nach der Wand vorauseilen. Hierdurch entsteht ein Querfeld, das die positiven Ionen ebenfalls von der Mitte nach der Wand zieht und dort mit den Elektronen zur Wiedervereinigung gelangen läßt. Nun muß die positive Säule, außer in der unmittelbaren Nähe der Elektroden und Wande, "quasineutral" sein, d. h in der Volumeneinheit müssen gleichviel positive und negative Teilchen vorhanden sein, da sonst ungeheure Raumladungen auftreten würden. Hieraus folgt, daß die Zahl der nach der Wand diffundierenden positiven und negativen Teilchen unter sich gleich ist (ambipolare Diffusion). An der Wand kann man die Dichte beider Teilchensorten gleich Null setzen. Erteilt man der Wand ein hohes negatives Potential gegenüber der Mitte der Entladung, so läßt sich der positive Diffusionsstrom als "Wandstrom" messen (unipolare Diffusion). Bei sehr verschiedener Beweglichkeit k+ und k- der beiden Teilchensorten $\left(ext{beim Quecksilber } rac{k^+}{k^-} ext{ etwa} = rac{1}{1000}
ight) ext{ unterscheiden sich die Diffusionskonstanten der}$

positiven unipolaren und der ambipolaren Diffusion nur um den Faktor $1+\frac{k^+}{k^-}$, stimmen also praktisch überein. — Unter der Annahme, daß die Zahl der in der Entladung durch Ionisierung neu gebildeten Ionen und Elektronen proportional der Stromdichte ist, also proportional der Zahl der Elektronen an der betreffenden Stelle, erhält

man nach Durchführung der Rechnungen die theoretische Bestimmung des axialen Potentialgradienten $\partial V/\partial z$ in einer zylindrischen Röhre vom Radius R aus den Elementarkonstanten und der Rohrweite:

$$\frac{\partial V}{\partial z} = 2{,}405 \sqrt{\frac{V_i}{\kappa}} \sqrt{\frac{k^+}{k^-}} \sqrt{\mathfrak{B}^+ + \mathfrak{B}^-} \frac{1}{R}.$$

Hierbei bedeutet V_i die Ionisierungsspannung in Volt, \mathfrak{D}^+ und \mathfrak{D}^- sind die Potentialäquivalente der Temperaturen T+ und T- der positiven und negativen Teilchen in Volt. Die Zahl 2,405 ist die erste Nullstelle der Besselschen Funktion J_0 . Die Dichte beider Teilchensorten fällt von der Mitte nach der Wand zu ab wie die Besselsche Funktion J_0 bis zu ihrer ersten Nullstelle, ein ähnlicher Verlauf wie bei der Kosinusfunktion. u ist ein Ausbeutefaktor, der angibt, der wievielte Teil der Hauptstromleistung zur Ionisierung verwendet wird. Den Ausbeutefaktor kann man aus dem positiven unipolaren Wandstrom, der Ionisierungsspannung, dem Hauptstrom und dem Potentialgradienten berechnen. In 16 und 4 mm weiten Röhren ergab sich u zu 13 und 27 Proz. Für B- gilt eine Maxwellsche Geschwindigkeitsverteilung, die sich experimentell aufnehmen läßt und bei einem Druck von 100 uzu 1 Volt ermittelt wurde. \mathfrak{B}^+ kann vernachlässigt werden. k^+/k^- ergab sich aus der obigen Formel nach Einsetzung der gemessenen Größen zu 1/700, also in der Größenordnung, die für Hg-Ionen und Elektronen zu erwarten ist. - Für den seitlichen Potentialgradienten ergibt sich Proportionalität mit dem Logarithmus der Besselschen Funktion $J_0(x)$. Der Potentialverlauf stimmt größenordnungsmäßig mit dem von Salinger beobachteten überein. Weitere Prüfungsmöglichkeiten der Theorie werden angegeben. — Über das Loslösen der Entladung von der Wand, das bei höheren Drucken eintritt, wird vermutet, daß es sich hierbei um Wiedervereinigungsvorgänge vor dem Erreichen der Wand handelt. Die auffallend hohen Gehäuseströme an metallischen Großgleichrichtern sind auf schnelle Dampfströmungen zurückzuführen. Dieser Effekt läßt sich unter wohldefinierten Verhältnissen ebenfalls theoretisch behandeln und ergibt ambipolare Diffusionsgeschwindigkeiten zwischen 103 und 104 cm/sec.

Hanns Jung. Uber elektrodenlose Ringentladung. Ann. d. Phys. (4) 75, 201 --211, 1924, Nr. 18. Gesättigter Quecksilberdampf wird durch Temperaturänderung auf verschiedene Drucke gebracht und die Abhängigkeit der Leitfähigkeit und des Spektrums vom Druck untersucht. Der in üblicher Weise erzeugte Ringstrom wird in Kugeln von 8cm Durchmesser beobachtet, in welche nach sorgfältiger Reinigung und Entlüftung etwas Hg eindestilliert wurde. Zur Messung der Leitfähigkeit des Hg-Dampfes unter dem Einfluß der Ringentladung trugen die Kugeln an den Polen Elektroden. Bei abnehmendem Druck und 60 Volt an den Elektroden steigt der Strom von etwa 2.10-6 Amp. bei 17 mm Hg-Druck stetig bis etwa 4 (bei 0,5 mm), fällt dann mit scharfem Knick auf etwa 0,2 (bei 0,12 mm) und steigt mit weiter abnehmendem Druck steil bis 400.10-6 Amp. Extrapolation auf die Elektrodenspannung 0 ändert nichts an dem Typ der Kurve. Variation der Spannung bei konstanten Drucken ergibt eine Schar von Stromkurven: Die Kurve bei 17 mm Druck tangiert die Spannungsachse im Nullpunkt und steigt zwischen 500 und 600 Volt steil an; die Kurve bei 0,27 mm ist nur schwach gekrümmt, die bei 0,07 mm hat die Form einer Sättigungskurve bei etwa fünffach größeren Stromwerten als alle übrigen Kurven. -Verf. erklärt die Unstetigkeiten der Leitfähigkeitskurve bei 0,12 und 0,5 mm Hg aus den beiden Ionisierungsspannungen des Hg: Die freie Weglänge der Elektronen beträgt bei diesen Drucken 0,3 bzw. 1,2 cm, bei einem Feld von 30 Volt/cm besitzen sie also Voltgeschwindigkeiten von 9 bzw. 36 Volt. - Die Ringentladung ist zwischen 17 und 0,5 mm Hg "diffus grün", zwischen 0,5 und 0,1 mm "schwach grauweiß", bei tiefen Drucken "heller weißer Ringstrom". Spektralaufnahmen mit kleiner Dispersion ergaben zwischen 6500 und 3300 Å im ersten Druckgebiet ein kontinuierliches Spektrum mit einigen Serienlinien; im mittleren Druckgebiet dieselben Serienlinien, besonders das Triplett 2,5 $s-2\,p_i$; bei niedrigen Drucken außer dem intensiven, voll entwickelten Serienspektrum zahlreiche Funkenlinien. Das Auftreten von Funkenlinien bei niedrigem Druck wurde auch bei einem Versuch mit Kalium beobachtet. Vgl. diese Ber. 3, 786, 1922. — Ferner wurde Hg-Dampf in Geisslerröhren mit Außenelektroden, die durch denselben Schwingungskreis angeregt wurden, untersucht. Hier bleibt wegen der größeren Stromdichte neben dem kontinuierlichen Grund das Linienspektrum bis zu höheren Drucken bestehen, die Linien der ersten Triplettserie werden besonders durch Druck verbreitert. Außerdem beobachtete Verf. ein bisher unbekanntes Bandenspektrum, in dessen Schwingungsdifferenzen "Gesetzmäßigkeiten angedeutet scheinen". Wellenlängen werden nicht angegeben.

G. Mierdel. Elektrodenlose Entladungen. Phys. ZS. 25, 240—255, 1924, Nr. 10. Ein zusammenfassender Bericht mit reichhaltigem Literaturverzeichnis. Behandelt werden 1. Entladungen mit Außenelektroden und 2. der elektrodenlose Ringstrom mit ihren elektrischen und optischen Eigenschaften. Ref. vermißt eine Erwähnung der verschiedenen "elektrodenlosen" elektrischen Figuren, z. B. M. Toepler, Phys. ZS. 22, 59, 1921.

Lavoro Amaduzzi. Una particolare manifestazione di scintilla continua. Mem. di Bologna (7) 8, 89-95, 1920/21. Es wird ein sogenannter kontinuierlicher Funken bei Entladung einer mäßigen Kapazität bei Atmosphärendruck beobachtet, der aus einem roten positiven und einem violetten negativen Anteil mit dunkler Unterbrechung besteht. Das Aussehen erinnert an die gewöhnliche Glimmentladung bei niedrigen Drucken. Der Verf. untersucht auch den Einfluß einer Druckerniedrigung und kann schon bei 50mm Hg das Auftreten von Schichten beobachten und photographieren. Er ist der Ansicht, daß die durch den Funken bewirkte Temperaturerhöhung die Dichte der Luft so weit herabsetzt und die Ionisierung erleichtert, so daß bei höheren Drucken die niedrigeren Drucken entsprechenden Erscheinungen auftreten.

D. B. Deodhar. Über das Leuchten der Vakuumröhren in der Nähe eines Funkeninduktors. ZS. f. Phys. 25, 338—341, 1924, Nr. 4/6. Der Verf. beschreibt das bekannte Leuchten von Entladungsröhren mit und ohne Elektroden in der Nähe eines Funkeninduktors und eine hierbei beobachtete eigentümliche geschichtete (perlschnurartige) Entladung.

K. PRZIBRAM.

Paul S. Epstein. Remarks on the theory of the electric arc. Phys. Rev. (2) 23, 775, 1924, Nr. 6. (Kurzer Sitzungsbericht.) K. T. Compton ist zu dem Resultat gelangt, daß die thermische Ionisierung zur Erklärung der Leitfähigkeit der Gase im elektrischen Bogen ausreicht. Wenn das Gas sich im Temperaturgleichgewicht befindet, so müssen die Dichten der positiven bzw. negativen Ladungen nach den

Formeln $\varrho_1=\varrho_0\,e^{-\frac{\varepsilon \, V}{k\,T}}$ bzw. $\varrho_2=-\,\varrho_0\,e^{\frac{\varepsilon \, V}{k\,T}}$ verteilt sein (V elektrisches Potential, ϱ_0 Konstante). Im eindimensionalen Fall wird die Differentialgleichung für das Potential $\frac{d^2\,V}{d\,x^2}=2\,\varrho_0\,$ Sin $\frac{\varepsilon\,V}{k\,T}$, ihre Lösung Amp $\frac{\varepsilon\,V}{2\,k\,T}=\left(\frac{2\,\varepsilon\,\varrho_0}{k\,T}\right)^{\frac{1}{2}}.\,x$. Diese Formel

gibt roh die richtige Potentialverteilung. Die Annahme des Temperaturgleichgewichts ist für die positiven Ionen wahrscheinlich zutreffend; für die Elektronen ist ihre Richtigkeit zweifelhaft, doch kann die Theorie leicht entsprechend geändert werden.

Minkowski.

C. B. Bazzoni and J. T. Lay. The 23 volt arc in helium. Phys. Rev. (2) 23, 769, 1924, Nr. 6. (Kurzer Sitzungsbericht.) Neue und befriedigende Photographien mit und ohne Graukeil wurden in Hg-freiem Helium bei 33 und 26 Volt aufgenommen, das ist unter- und oberhalb der normalen Ionisierungsspannung. Es wird eine hohle Nickelanode verwendet und zur Vermeidung von Schwingungen ein nichtinduktiver Widerstand von 10000 Ω eingeschaltet. Das 23-Volt-Spektrum ist deutlich von dem 26-Volt-Spektrum verschieden bei gleichem Strom. Obwohl bei 23 Volt Linien der gekreuzten Bahnen niederer Ordnungszahl vorhanden sind, besonders 5016, überwiegen doch die koplanaren Linien. Man kann die Tatsachen so ausdrücken, daß man sagt, der 23-Volt-Bogen sei überwiegend koplanar. K. Przibram.

Milton Marshall. Metastable states in low voltage mercury arcs. Phys. Rev. (2) 23, 777, 1924, Nr. 6. (Kurzer Sitzungsbericht.) Bei der Aufnahme von Charakteristiken von Wechselstrombogen in Hg-Dampf mit der Braunschen Röhre zeigen sich ähnliche Erscheinungen, wie sie von Kannenstine in He beobachtet sind. Bei niedriger Frequenz zündet der Bogen je nach dem Druck zwischen 12 und 20 Volt. Bei Erhöhung der Frequenz zündet der Bogen von einer charakteristischen Frequenz an bereits bei etwa 3 Volt. Diese Frequenz ist über einem beträchtlichen Bereich des Druckes konstant und wird bei kleinen Drucken größer; sie liegt je nach der Form des Apparats und dem Reinheitsgrad des Dampfes zwischen 12 und 40. Die Zeit, nach der der Bogen noch zündet, wurde mit einem besonderen Stromschlüssel nachgeprüft, der den Bogen für 0,046 sec kurzschließt und dann die niedrige Zündspannung anlegt. Die Spannung, die zur Ionisierung im intermittierenden Bogen erforderlich ist, konnte so genauer bestimmt werden; sie ergab sich zu 5,0 Volt. Eine zweite Ionisierungsspannung liegt bei 5,8 Volt. Diese Zahlen entsprechen der Ionisierung aus dem 2 p1- und 2 p2-Zustand, die aus spektroskopischen Gründen metastabil sein müssen.

Helge Stolt. Über die Existenz des Lichtbogens bei nichtglühender Kathode. ZS. f. Phys. 26, 95—101, 1924, Nr. 2. Es gelingt dem Verf., mit einer Spannung von 220 Volt zwischen einer festen Anode und einer rasch rotierenden Messing- oder noch besser Kupferscheibe als Kathode einen beständigen Lichtbogen von 4 mm Länge zu erhalten. Man kann Stellen der Scheibe, die der Bogen soeben verlassen hat, mit dem Finger dauernd berühren. Der Verf. hält die Erscheinung für wesensverwandt mit dem früher (diese Ber. S. 1208) von ihm untersuchten rotierenden Bogen im Magnetfeld. Spektralaufnahmen eines solchen zeigen kein kontinuierliches Spektrum am Kathodenansatz. Der Verf. schließt aus diesen Beobachtungen, daß Weißglut der Kathode keine notwendige Bedingung für den Lichtbogen ist. Direkte Temperaturmessungen scheinen nicht gemacht worden zu sein. K. Przibram.

M. F. Skinker. The Motion of Electrons in Carbon Dioxide. Phil. Mag. (6) 44, 994—999, 1922, Nr. 263. Es wird mit der von Townsend und Bailey angegebenen Methode die mittlere Geschwindigkeit der ungeordneten Bewegung und die Fortschreitungsrichtung im elektrischen Felde von Elektronen in CO₂ gemessen. Die mittlere freie Weglänge wächst mit sinkender Geschwindigkeit zunächst an, um dann

stark abzunehmen. Das Produkt aus Weglänge und Druck l.p ist bei einer mittleren ungeordneten Geschwindigkeit $u=78,9.10^6$ $lp=5,91.10^{-2}$ (Maximum), bei $u=12,6.10^6$ $lp=0,419.10^{-2}$.

- M.F. Skinker and J.V. White. The Motion of Electrons in Carbon Monoxide, Nitrous Oxide, and Nitric Oxide. Phil. Mag. (6) 46, 630—637, 1923, Nr. 274, Oktober. Die Untersuchungen der vorstehenden Arbeit werden auf CO, N₂O und NO ausgedehnt. CO und NO zeigen mit abnehmender Geschwindigkeit ein flaches Minimum der mittleren freien Weglänge der Elektronen. In NO und N₂O wird die Bildung negativer Ionen beobachtet.
- R. C. Williamson. Analysis of resonance curves observed in potassium vapor. Phys. Rev. (2) 24, 134-142, 1924, Nr. 2. Elektronen werden in K-Dampf zwischen einer ebenen Kupferplatte und einem ebenen Kupfernetz beschleunigt und laufen dann in einem Gegenfeld zu einer Kupferplatte. Als Elektronenquelle ist eine besondere Glühkathode nicht erforderlich, da die Elektronenemission der K-Adsorptionsschicht an der als Kathode dienenden Platte genügt. Der Apparat wird auf 2700 geheizt, das K befindet sich in einem für sich heizbaren Ansatz, so daß in überhitztem Dampf gearbeitet wird und die Apparattemperatur von der K-Dampfdichte unabhängig ist. Die erhaltenen Kurven zeigen bis zu 9 Maxima und Minima. Für die Resonanzspannung ergibt sich im Mittel 1,63 Volt. Es wird versucht, die Kurvenform unter der Annahme zu diskutieren, daß die Ausbeute an anregenden Stößen unabhängig von dem Betrag ist, um den die Elektronenergie die Anregungsenergie übersteigt. Diese theoretische Analysierung der Kurven führt zu dem Resultat, daß die Zahl der zur Anregung führenden Stöße zehnmal größer ist als die Zahl der gaskinetischen Zusammenstöße, wenn man den gaskinetischen Querschnitt von K gleich dem von A setzt. Das zeigt, daß die freie Weglänge der Elektronen kleiner als angenommen sein muß, und daß die Ausbeute an anregenden Stößen groß ist. Minkowski.
- O. S. Duffendack and K. T. Compton. Dissociation of hydrogen and nitrogen by excited mercury atoms. Phys. Rev. (2) 23, 583-592, 1924, Nr. 5. Zwischen einem Mo-Glühdraht und einer Ni-Anode wird eine Bogenentladung aufrechterhalten. Die Stärke der Dissoziation wird gemessen durch die Verminderung des Druckes, wenn der im Bogen gebildete atomare Wasserstoff auf CuO einwirkt und der gebildete Wasserdampf ausgefroren wird. In reinem H2 beginnt die Dissoziation bei 13 Volt; unterhalb dieser Spannung ist nur die von der heißen Kathode hervorgerufene Dissoziation bemerkbar. Bei 16 Volt, der Ionisierungsspannung, setzt gleichzeitig mit der Zündung des Bogens lebhaftere Dissoziation ein, bei weiterer Steigerung der Spannung bis 65 Volt nimmt die Dissoziation schwach ab. Bei Anwesenheit von Hg-Dampf ist die Dissoziation in einem Niederspannungsbogen bei 3,5 Volt etwa zehnmal, in einem Bogen bei 10,4 Volt etwa dreimal so stark als in reinem Wasserstoff bei irgend einer Spannung bis zu 65 Volt. Die Wirkung des Hg-Dampfes beruht auf Zusammenstößen zweiter Art von H2-Molekülen mit angeregten Hg-Atomen. Da, wie die Ergebnisse von Smyth und v. Keussler zeigen, die Dissoziation in reinem H2 zwischen 13 und 20 Volt mindestens teilweise durch Stöße zweiter Art von angeregten H2-Molekülen hervorgerufen wird, wird geschlossen, daß die Ausbeute an Stößen zweiter Art mit angeregtem Hg größer ist als mit angeregtem H2. Dies wird dem Umstand zugeschrieben, daß die Ausbeute um so größer sein muß, je besser die Energie des angeregten Atoms oder Moleküls mit der erforderlichen Dissoziationsarbeit übereinstimmt. Ähnliche Experimente mit Stickstoff ergaben auch bei Anwesenheit von

Hg-Dampf stets schwächere Dissoziation als bei H2; der gebildete atomare Stickstoff wurde mit reinem Mg absorbiert. Da der Effekt viel schwächer ist als bei H2, wird angenommen, daß die wirksamen Zusammenstöße solche mit Hg-Atomen im 2P-Zustand sind, deren Anregungsenergie 6,7 Volt beträgt. Die Dissoziationsarbeit von N2 liegt danach zwischen 4,9 und 6,7 Volt. Nimmt man an, daß die vom Research Staff of the General Electric Company, London, berichtete Druckabnahme von N2 in einer Entladung bei Anwesenheit von Phosphordampf ebenfalls auf der Bildung von N-Atomen bei Zusammenstößen mit angeregten P-Atomen beruht, so läge die Dissoziationsarbeit unterhalb der Resonanzspannung von P, die 5,8 Volt beträgt. Die gleichartige Wirkung von As-Dampf bei einer Resonanzspannung von As von 4,7 Volt widerspricht jedoch einer solchen Eingrenzung. In reinem N2 ist oberhalb der Ionisierungsspannung von 17 Volt die Dissoziation nur schwach, sie steigt zwischen 40 und 70 Volt auf das Vierfache und bei 70 Volt auf das Zehnfache gleichzeitig mit dem Erscheinen des Linienspektrums. Oberhalb 70 Volt steigt die Stromstärke im Bogen stark an und der Bogen wird glänzend hell; da die Elektroden schmolzen, konnte die Dissoziation oberhalb 70 Volt nicht untersucht werden.

A. Miethe. Der Zerfall des Quecksilberatoms. Naturwissensch. 12, 597-598, 1924, Nr. 29. [S. 1730.]

F. Haber. Der Zerfall des Quecksilberatoms. Naturwissensch. 12, 655, 1924, Nr. 31. [S. 1731.]

K. T. Compton. On the motions of electrons in gases. Phys. Rev. 22, 333–346, 1923, Nr. 4. Solange die Geschwindigkeit der Elektronen in einem Gase so klein ist, daß nur elastische Zusammenstöße stattfinden, verliert ein Elektron mit der Masse m und der kinetischen Energie U beim Zusammenstoß mit einem Molekül mit der Masse M und der kinetischen Energie Ω beim elastischen Zusammenstoß einen

Energiebetrag $f=2\,rac{m}{M}\!\left(1-rac{\Omega}{U}\right)\!\cdot\,\,$ Während also, solange $U>\Omega$, das Elektron beim Stoß

Geschwindigkeit verliert, gewinnt es aus einem elektrischen Feld der Stärke E Energie, so daß seine kinetische Energie einem Grenzwert zustrebt. Dieser ergibt sich unter,

Zugrundelegung der Langevinschen Gleichung für die Beweglichkeit zu $0.66\frac{E.l}{\sqrt{f}}$

wo l die mittlere freie Weglänge des Elektrons ist. Zwischen ebenen Elektroden ist die Anzahl der Stöße pro Zentimeter und das Verhältnis der Geschwindigkeit an irgend einem Punkte zur Endgeschwindigkeit unabhängig von der Feldstärke. Zwischen einer drahtförmigen Kathode und einer konzentrischen zylindrischen Anode können bei geeigneten Gasdrucken die Elektronen in der Nähe der Kathode eine Maximalgeschwindigkeit erreichen, die größer als die Grenzgeschwindigkeit ist; auf ihrem weiteren Wege zur Anode nimmt ihre Geschwindigkeit dann ab. Für den ebenen wie für den zylindrischen Fall werden für verschiedene Bedingungen Kurven gegeben. Setzt man den Wert der Grenzgeschwindigkeit in die Langevinsche Gleichung für die Beweglichkeit ein, so erhält man eine Formel für die Beweglichkeit, die einer von Loeb angegebenen ähnlich ist, aber bis zu 10 Proz. höhere Werte ergibt. Das Eintreten unelastischer Stöße erhöht die Beweglichkeit.

Frank Horton and Ann Catherine Davies. The Production of Radiation and Ionization by Electron Bombardment in Pure and in Impure Helium. Phil. Mag. (6) 42, 746—773, 1921, Nr. 251. In dieser älteren Arbeit kommen die Verst. durch Elektronenstoßuntersuchungen in einem komplizierten Apparat zu dem Er-

gebnis, daß Helium bei 20,4 und 21,2 Volt unelastische Stöße erfährt, die zur Emission von Strahlung führen, die wieder absorbiert und emittiert werden kann. Die 21,2 Volt entsprechende Strahlung ionisiert mit 20,4 Volt angeregtes He, dagegen ist der Betrag an Ionisation, der durch Stoß von Elektronen mit Geschwindigkeiten unterhalb der normalen Ionisierungsspannung auf angeregtes He zu erreichen ist, nur klein. Minkowski.

K. T. Compton. Some Properties of Resonance Radiation and Excited Atoms. Phil. Mag. (6) 45, 750-760, 1923, Nr. 268, April. [S. 1789.] MINKOWSKI.

Leonard B. Loeb. The effect of variable electron mobilities on the formation of negative ions in air. Journ. Franklin Inst. 197, 45—55, 1924, Nr. 1. Bei der Rutherfordschen Methode zur Bestimmung der Ionenbeweglichkeit wird der Strom J zu einer Platte gemessen, wenn eine Wechselspannung V auf die an einer parallel im Abstand d gegenüberstehenden Platte lichtelektrisch ausgelösten Elektronen einwirkt. Wegen der sehr viel größeren Beweglichkeit der Elektronen als der Ionen hängt J im wesentlichen nur von der Wahrscheinlichkeit ab, daß ein Elektron eine bestimmte Strecke x durchlaufen kann, ohne sich einem Molekül anzuheften. Die Beweglichkeitsmessungen können also zur Verifikation der von J. J. Thomson für die Bildung negativer Ionen entwickelten Theorie benutzt werden,

die für diese Wahrscheinlichkeit den Wert $e^{-\frac{\omega \, x \, d}{n \, K' \, \lambda \, V}}$ ergibt, wo K' die Beweglichkeit des Elektrons, λ seine mittlere freie Weglänge und ω seine mittlere ungeordnete Geschwindigkeit ist; das unbekannte Verhältnis λ/ω kann nach Townsend mit Hilfe

der Beziehung $K'=0.815~rac{e}{m}~rac{\lambda}{\omega}$ durch K' ausgedrückt werden. n ist die mittlere

Zahl von Zusammenstößen, die ein Elektron machen muß, bis es sich einem Molekül anheftet. Eine erste Reihe von Beobachtungen bei Drucken von 40 bis 90 mm Hg in Luft ergab zunächst leidliche Übereinstimmung zwischen den beobachteten und berechneten Kurven für das Verhältnis von J zum Sättigungsstrom in Abhängigkeit von V mit einem vom Druck unabhängigen Wert n von etwa $2\cdot10^5$. Neuere Messungen ergeben jedoch, wenn eine Reihe von Korrekturen, insbesondere eine für Raumladungseffekte, angebracht werden, einen ganz anderen Verlauf für die beobachteten als für die berechneten Kurven. Die beobachteten Kurven würden sich mit den berechneten in Übereinstimmung bringen lassen, wenn man annimmt, daß n mit V, d. h. mit ω zunimmt. Dasselbe wäre jedoch der Fall, wenn auf die Anbringung der Korrekturen verzichtet würde, so daß der Verf. sich zu einer Entscheidung, ob die Korrektur überflüssig ist oder ob n mit ω variiert, nicht entschließen kann. Minkowski.

Leonhard Heis. Zur Theorie des Elektronenstromes bei der Stoßionisation. Phys. ZS. 25, 25—41, 1924, Nr. 2; Zusatz, Ebda. S. 72, Nr. 3. Bei der Townsendschen Theorie der Stoßionisation wird angenommen, daß bei jedem Zusammenstoß das Elektron seine kinetische Energie verliert, und daß bei der Bewegung der Elektronen im gegebenen elektrischen Feld stets dieselbe mittlere Ionisierungsenergie zur Gewinnung eines neuen Elektrons verbraucht wird. Mit Rücksicht auf die Franck und Hertzschen Ergebnisse über Anregung und Ionisierung durch Elektronenstoß wird die Theorie unter der Annahme durchgeführt, daß das Elektron nur dann beim Stoß ionisieren kann, wenn seine kinetische Energie vor dem Stoß größer ist als der mittleren Ionisierungsenergie entspricht; das frei gemachte Elektron soll bei Beginn seiner Bewegung keine kinetische Energie besitzen. Hat das Elektron eine kleinere kinetische Energie als zur Ionisierung erforderlich ist, so soll nur ein be-

stimmter Bruchteil der Zusammenstöße zur Energieabgabe führen. Bezüglich der Durchführung der Rechnung sei auf die Originalarbeit verwiesen. Die Ergebnisse stehen im Einklaug mit den experimentellen Ergebnissen im Untersuchungsgebiet von Townsend und zeigen auch prinzipiell charakteristische Eigenschaften der Franck-Hertzschen Kurven.

- H. Greinacher. Ionen und Elektronen. Mit 26 Figuren im Text. 58 S. Leipzig u. Berlin, Verlag von B. G. Teubner, 1924. (Abh. u. Vortr. a. d. Geb. d. Math., Naturw. u. Techn., Nr. 9.) Inhalt: I. Die Volumenionisierung. II. Messung der Ionenströme. III. Eigenschaften der Ionen. IV. Die Oberflächenionisierung. V. Gesetze frei bewegter Ionen. VI. Verwendung der Elektronenröhren.
- L. B. Loeb and M. F. Ashley. The mobility of gas ions in mixtures of NH₃ and air. Phys. Rev. (2) 24, 207, 1924, Nr. 2. (Kurzer Sitzungsbericht.) Messungen der Beweglichkeit positiver und negativer Ionen in einer Mischung von trockenem NH₃ und Luft nach der Franckschen Modifikation der Rutherfordschen Wechselstrommethode ergaben, daß die Beweglichkeit umgekehrt proportional ist der Wurzel aus dem Produkt des mittleren Molekulargewichts und der um Eins verminderten mittleren Dielektrizitätskonstante der Mischung. Dies Resultat, das aus keiner der bisher existierenden Theorien folgt, ist in guter Übereinstimmung mit einer neuen Gleichung, die sich ergibt, wenn man in die Langevinsche Gleichung für die Beweglichkeit den Wert für die mittlere freie Weglänge einsetzt, den J. J. Thomson vor kurzem unter der Annahme abgeleitet hat, daß das Ion umgekehrt proportional der fünften Potenz des Abstandes auf Moleküle wirkt. Diese neue Gleichung zeigt, daß durch Messungen der Beweglichkeit nicht entschieden werden kann, ob es sich um kleine Ionen oder um Haufenbildungen handelt. Jedoch spricht ein Kraftgesetz mit der reziproken fünften Potenz des Abstandes für eine Art Haufenbildung. Minkowski.

Leonard B. Loeb. Gas Ion Mobilities and their Independence of the Nature of the Ion. Phil. Mag. (6) 48, 446—458, 1924, Nr. 285. Es wird die in der vorstehenden Notiz erwähnte neue Formel für die Beweglichkeit eines Ions in einem Gase hergeleitet. Die von J. J. Thomson für die freie Weglänge λ' eines Ions der Masse m in einem Gas mit der Masse \mathcal{M} , freien Weglänge λ hergeleitete Formel lautet

 $\lambda' = \frac{\lambda}{2,2\left(\frac{2k}{\sigma^4 \frac{Mm}{M+m}V^2}\right)^{1/2}}.$

Dabei ist σ die Summe von Ionen- und Molekülradius, V die Relativgeschwindigkeit, k die Konstante des Kraftgesetzes, nach dem das Ion mit einer Kraft reziprok der fünften Potenz des Abstandes auf ein Gasmolekül wirkt. Entnimmt man k dem

Langevinschen Kraftgesetz $F=\frac{(D-1)\,c^2}{2\,\pi\,n_0\,r^5}\,(D$ Dielektrizitätskonstante, gemessen bei n_0 Molekülen pro Kubikzentimeter), so wird die Beweglichkeit

$$K = \frac{A\sqrt{\frac{1+b}{b}}}{\frac{p}{7c0}\sqrt{(D-1)M_0}}.$$

Dabei ist A eine nur von numerischen Faktoren und universellen Konstanten abhängige Konstante, $b=\frac{m}{M}$, p der Druck in Millimeter Hg, M_0 das Molekulargewicht. Es wird

diskutiert, daß sowohl die kleine Abhängigkeit von der Masse des Ions, die eine Entscheidung, ob es sich um ein freies Ion oder ein Ion mit einem angelagerten Haufen von Molekülen handelt, unmöglich macht, als auch die Abhängigkeit vom Druck, von der Dielektrizitätskonstante und vom Molekulargewicht, und das Fehlen einer Temperaturabhängigkeit in Übereinstimmung mit den nach den bisherigen Theorien teilweise schwer verständlichen experimentellen Ergebnissen stehen. Die nach der obigen Formel berechneten Zahlenwerte der Beweglichkeit stimmen der Größenordnung nach mit beobachteten Werten überein.

- J. J. Nolan. The constitution of gaseous ions. Phys. Rev. (2) 24, 16—30, 1924, Nr. 1. Messungen der Beweglichkeit von Ionen in Luft mit der Franckschen Modifikation der Rutherfordschen Wechselstrommethode ergeben Stromspannungskurven, in denen etwa in Abständen von 10 Volt Umbiegungen auftreten. Es wird angenommen, daß diese auf das Auftreten von 20 Ionensorten mit Beweglichkeiten zwischen 2,24 und 1,34 cm/sec/Volt/cm zurückzuführen sind. Diese Werte stimmen mit denen überein, die nach J. J. Thomson für Ionen berechnet werden, die aus Haufen von 15 bis 36 Wassermolekülen bestehen. In trockener Luft sind die Gruppen mit kleiner Beweglichkeit weniger deutlich zu beobachten.
- C. A. Mackay. Some new measurements of the ionization potentials of multiatomic gases. Phys. Rev. (2) 23, 553, 1924, Nr. 4. (Kurzer Sitzungsbericht.) Für die Ionisierungsspannung ergibt sich in H₂ 15,8 Volt, N₂ 16,3, O₂ 12,5, HCl 13,8, HBr 13,2, KJ 12,8, H₂O 13,2, NH₃ 11,1, Cl₂ 13,2, Br₂ 12,8, J₂ 10,0, NO 9,4, CO₂ 14,3, CO 14,1 und 15,6, H₂S 10,4, He 24,5. Thermochemische Überlegungen, die für H₂O und H₂S durchgeführt sind, sprechen dafür, daß die in diesen Fällen beobachtete Ionisation nicht von Dissoziation begleitet ist, so daß also bei den betreffenden Spannungen positive Molekülionen gebildet werden müssen.
- J. S. Townsend. Ionization by Collision in Helium. Phil. Mag. (6) 45, 1071—1079, 1923, Nr. 269. Es werden die Ergebnisse neuer Messungen des Verf. über den Strom zwischen zwei Platten in He, von denen an der einen lichtelektrisch Elektronen ausgelöst werden, dazu benutzt, die Ionisierungsspannung des He zu berechnen. Es ergibt sich ein Wert von 12 Volt, also ein Wert, der von dem aus Elektronenstoßmessungen erhaltenen beträchtlich abweicht.

 Minkowski.
- H. A. Wilson. The theory of thermionics. Phys. Rev. (2) 24, 38—48, 1924, Nr. 1. Nach eingehender Besprechung der verschiedenen von Richardson, Wilson und Dushman angestellten Berechnungen zur Aufstellung des Emissionsgesetzes für Glühelektronen wird ein thermodynamischer Kreisprozeß ähnlich dem von Richardson früher benutzten einmal auf den Verdampfungsvorgang von Molekülen und dann auf den Verdampfungsvorgang von Elektronen angewandt. Die Anwendung des ersten und zweiten Hauptsatzes der Thermodynamik auf diesen Kreisprozeß führt zu einer strengen Lösung des Problems. Die Clausius-Clapeyronsche Gleichung: $L = R \cdot T^2 \frac{d (\log p)}{d T} \text{ für die Verdampfungswärme } L \text{ bei der absoluten Temperatur } T$

und dem Druck p ist für Elektronenverdampfung durch die Gleichung:

$$L = R T^2 rac{d \, (log \, p)}{d \, T} + N.e. \, T rac{d \, arphi}{d \, T}$$

zu ersetzen, in der noch ein Glied, das die elektrischen Potentiale enthält, hinzutritt. Die Konstante in der Dampfdruckgleichung für die Elektronen ist die chemische Konstante des Elektronengases. Es wird ein einfaches Berechnungsverfahren für die

Größe eines Elementargebietes eines Moleküls für ein einatomiges Gas angegeben, die diese Größe gleich h3 ergibt (h Plancksche Konstante). Hieraus folgt der von Sackur berechnete Wert für die chemische Konstante. Ist die innere Verdampfungswärme der Elektronen vollständig elektrischen Kräften zuzuschreiben, so muß das Emissionsgesetz: $J=AT^{1_{2}}e^{-bT}$ gelten und die spezifische Wärme der negativen Elektrizität im Metall muß die gleiche wie für ein einatomiges Gas bei konstantem Volumen sein; ist aber die spezifische Wärme klein, was zutrifft, dann kann nicht die gesamte innere Verdampfungswärme eine Folge elektrischer Kräfte sein, und das Gesetz: $J = A T^2 e^{-b T}$ stellt eine bessere Annäherung dar. Das von Dushman aufgestellte Emissionsgesetz, in dem $A=rac{2\,\pi\,m\,e\,k^2}{h^3}$ eine universelle Konstante sein soll, erfordert die Gültigkeit einer bestimmten Beziehung zwischen q (Kontaktpotential), r (Elektronenreflexionsvermögen), S [Wärmekapazität der Elektrizität pro Farad (Ne)] und T (absolute Temperatur). Ob diese Bedingung erfüllt ist, läßt sich erst entscheiden, wenn Messungen über den Wert der Kontaktpotentialdifferenz $(arphi-arphi_0)$ des glühenden Metalles gegen das gleiche Metall beim absoluten Nullpunkt vorliegen. A. GEHRTS.

O. W. Richardson. Thermionic emission from systems with multiple thresholds. Proc. Phys. Soc. London 36, 383-398, 1924, Nr. 5. Versuche über die Glühelektronenemission von Na und K legen die Annahme nahe, daß für die verschiedenen emittierten Elektronen mehrere Energieschwellwerte beim Austritt aus der Glühkathode in Frage kommen. Es wird deshalb der Zusammenhang zwischen der Glühelektronenemission und den inneren Energieniveaus der Elektronen des glühenden Metalles erörtert. Das Problem wird theoretisch in verschiedener Weise in Angriff genommen: a) vom Standpunkt der statistischen Mechanik (klassischen Dynamik), b) vom Standpunkt der chemischen Dynamik, c) vom Standpunkt des lichtelektrischen Emissionsgesetzes. Auch aus der Annahme, daß im statistischen chemischen Gleichgewicht jeder isolierbare Vorgang durch den genau gleichen, in entgegengesetzter Richtung wirkenden Vorgang kompensiert wird, werden Folgerungen gezogen. Nur die auf der Thermodynamik und der Theorie der lichtelektrischen Emission fußenden Überlegungen führen zu keinen Schwierigkeiten und stehen mit den Beobachtungen nicht im Widerspruch. Im Einklang mit diesen Überlegungen werden schließlich folgende Annahmen gemacht: 1. Die Elektronenemission aus dem

p-Niveau ist gleich: $A_p(n_p-x_p)\,e^{\,\overline{k\,T}}$, wo A_p vermutlich T^2 proportional ist $(n_p\,An-x_p)\,e^{\,\overline{k\,T}}$, wo B eine Funktion von Elektronen mit der festen Phase ist gleich $B\cdot\nu_{00}$, wo B eine Funktion von B ist $(\nu_{00}\,e^{\,\overline{k\,T}})\,e^{\,\overline{k\,T}}\,e^{\,$

M. v. Laue und Nikhilranjan Sen. Über die Berechnung des Potentialsbfalles in den von glühenden Metallen ausgesandten Ionen- und Elektronengasen. Ann. d. Phys. (4) 75, 182—188, 1924, Nr. 18. Ausgehend von der Differentialgleichung: $\Delta \varphi = -4\pi(\varrho_-e^{\beta\varphi} + \varrho_+e^{-\beta\varphi})$, in der $\beta = \frac{\varepsilon}{kT}$ ist, wird der

Potentialabfall in dem Zwischenraum zwischen einem glühenden Metall und dem ungeladenen Dampf berechnet, wobei angenommen wird, daß das glühende Metall sich im thermodynamischen Gleichgewicht mit den ausgesandten positiven Ionen (Raumladedichte ϱ_+) und Elektronen (Raumladedichte ϱ_-) befindet. Der Potentialabfall findet stetig statt von einem Nullwert auf dem Leiter bis zu dem konstanten Wert $\alpha = \frac{1}{2\beta} \log \left(\frac{\varrho_+}{-\varrho_-} \right)$ an der Stelle, wo sich der neutrale Dampf $(\varrho = 0)$ bildet.

Für die Distanz x_s vom Leiter bis zu der Stelle, an der das Potential φ den Wert $\varphi = \alpha(1-s)$ erreicht (z. B. 90 oder 99 Proz. von α), werden die Beziehungen ge-

 $\text{wonnen: } \lambda x_s = d_s, \ \lambda = \beta \sqrt[4]{8\pi} (Kp)^{1/4}, \ \tanh^{-1/2} d_s = \frac{\gamma^{s/4} - \gamma^{1/4}}{1 - \gamma^{1/4} (1+s)}, \ \text{wobei} \ \gamma = \frac{\varrho_+}{-\varrho_-}$

das Verhältnis der Raumladedichten ist, das bei der rechnerischen Auswertung für K, Na, Pb und Al zu $^1/_{10}$ angenommen wird. K ist die Dissoziationskonstante, die sich aus dem Reaktionstherm berechnen läßt. Die Dampfdrucke p für hohe Temperaturen werden mit Hilfe einer empirischen Formel von Greenwood-Grüneisen ermittelt.

A. Geherts.

W. F. G. Swann. The Absence of Ionization by Electrons with Speeds comparable with that of Light. Phil. Mag. (6) 47, 306-319, 1924, Nr. 278, Februar. Es ist verschiedentlich angenommen worden, daß die Aufrechterhaltung der elektrischen Ladung der Erde durch schnelle von außen kommende Elektronen erfolgt. Die Zahl dieser Elektronen müßte etwa 1500 pro Quadratzentimeter und Sekunde betragen. Elektronen von 0,95 Lichtgeschwindigkeit erzeugen pro Zentimeter Weg etwa 40 Ionen pro Sekunde, so daß also etwa 60 000 Ionen pro Quadratzentimeter und Sekunde in der Nähe der Erdoberfläche gebildet werden müßten, während nur etwa ein Zehntausendstel dieser Menge beobachtet wird. Die vorliegende Arbeit versucht einen Ausweg aus dieser Schwierigkeit zu geben durch näheres Eingehen auf den Mechanismus der Ionenbildung. Es wird, wie bei den Theorien von J. J. Thomson und N. Bohr über die Geschwindigkeitsabnahme schneller geladener Teilchen beim Durchgang durch Materie, angenommen, daß ein Elektron ein Atom durchquert, dabei Energie auf ein Elektron des Atoms überträgt und es aus dem Atom befreit, wenn die übertragene Energie ausreicht. Je schneller das Elektron das Atom durchläuft, um so geringer ist die übertragene Energie; sie wäre Null bei unendlicher Geschwindigkeit des Elektrons. Da das Elektron jedoch die Lichtgeschwindigkeit nicht überschreiten kann, ist eine wesentlich schwächere Ionisation als bei 0,95 c nicht zu erwarten; daran ändert, wie Bohr gezeigt hat, auch die Zusammendrängung der Kraftlinien um die Äquatorialebene bei Annäherung an die Lichtgeschwindigkeit nichts, da sie gleichzeitig die Wirkungsdauer herab- und die Feldstärke heraufsetzt. Die Herabsetzung der Wirkungsdauer hat jedoch zur Folge, daß die Beschleunigung des herauszuwerfenden Elektrons immer größer wird. Mit dem Quadrat dieser Beschleunigung wächst aber die nach der klassischen Theorie berechnete Ausstrahlung des abzulösenden Elektrons. Es wird nun gezeigt, daß diese Ausstrahlung von einer gewissen Geschwindigkeit des ionisierenden Elektrons an größer wird als die dem abzulösenden Elektron übertragene Energie, und es wird angenommen, daß in einem solchen Falle keine Ionisierung mehr stattfindet, so daß also Elektronen oberhalb einer gewissen Geschwindigkeit nicht mehr ionisierend wirken würden. Für den speziellen Fall, daß die Ablösungsarbeit $15,5\ V$ beträgt, entsprechend der Ionisierungsspannung von 02, wäre diese Grenzgeschwindigkeit 45 m/sec kleiner als Lichtgeschwindigkeit. Eine solche Geschwindigkeit wäre nach Birkeland anzunehmen, wenn das Nordlicht von Elektronen erzeugt würde; sie würde noch nicht ausreichen, um einem Elektron in der Äquatorialebene unter der Wirkung des magnetischen Erdfeldes das Erreichen der Erdoberfläche zu gestatten, es würde sich nur auf etwa acht Erdradien nähern können. Infolge des Fehlens der Ionisation wäre die Reichweite eines Elektrons dieser Geschwindigkeit vergrößert; sie wäre sicher größer als die Reichweite von 2 km (in Luft), die sich aus der Bohrschen mit Ionisation rechnenden Reichweitetheorie ergibt.

H. E. Farnsworth. Electronic bombardments of metals. Phys. Rev. (2) 21, 204-205, 1923, Nr. 2. (Kurzer Sitzungsbericht.) Die Untersuchungen über Sekundärelektronenemission werden bei Cu und Au fortgesetzt. Die Kurven für das Verhältnis der Sekundäremission zum Primärstrom als Funktion der Primärgeschwindigkeit sind nach mehrstündigem Ausheizen bei 400°C für Au und Cu von ähnlicher Form wie bei Ni; bei Cu ist die Ähnlichkeit ausgesprochener. Erhitzen der Metalle auf helle Rotglut verändert die Kurven stark, die Grenzkurve ist für jedes Metall verschieden. Bei Kupfer treten drei Maxima bei 2,5, 6,5 und 13,0 Volt auf. Bei 100 Volt Primärgeschwindigkeit hat die Mehrzahl der Sekundärelektronen Geschwindigkeiten von einigen Volt, einige Prozent haben etwa die gleiche Geschwindigkeit wie die Primärelektronen. Mit sinkender Geschwindigkeit nähert sich die Geschwindigkeit der Mehrzahl der Sekundärelektronen der Primärgeschwindigkeit; bei den den Maximis entsprechenden Geschwindigkeiten treten keine Besonderheiten auf. Gold konnte, wegen der leichteren Verdampfbarkeit, nicht so stark erhitzt werden. Die Kurvenform wird hier durch das (schwächere) Erhitzen nur wenig geändert, der Betrag der Sekundäremission herabgesetzt. Die Kurve ähnelt, bis auf eine Einsenkung zwischen 3,5 und 11,5 Volt Primärgeschwindigkeit, den bei Cu und Ni ohne Ausgleichen erhaltenen.

William D. Harkins and R. W. Ryan. A method for photographing the disintegration of an atom, and a new type of rays. Journ. Amer. Chem. Soc. 45, 2095—2107, 1923, Nr. 9. [S. 1730.]

William D. Harkins. The stability of atom nuclei, the separation of isotopes, and the whole number rule. Journ. Franklin Inst. 195, 67—106, 553—573, 1923, Nr. 1 u. 4. [S. 1729.]

Gustav Ortner und Hans Pettersson. Mitteilungen aus dem Institut für Radiumforschung. Nr. 166. Zur Herstellung von Radium C. II. Wien. Anz. 1924, S. 130, Nr. 17. [S. 1733.]

Gerhard Kirsch und Hans Pettersson. Mitteilungen aus dem Institut für Radiumforschung. Nr. 167. Über Atomzertrümmerung durch a-Strahlen. II. Eine Methode zur Beobachtung der Atomtrümmer von kurzer Reichweite. Wien. Anz. 1924, S. 130, Nr. 17. [S. 1732.]

Hans Pettersson. Mitteilungen aus dem Institut für Radiumforschung. Nr. 168. Über Atomzertrümmerung durch α-Strahlen. III. Die Zertrümmerung von Kohlenstoff. Wien. Anz. 1924, S. 130—131, Nr. 17. [S. 1732.]

Elisabeth Kara-Michailova und Hans Pettersson. Mitteilungen aus dem Institut für Radiumforschung. Nr. 164. Über die Messung der relativen Helligkeit von Szintillationen. Wien. Anz. 1924, S. 88-89, Nr. 11. [S. 1733.]

Dagmar Pettersson. Mitteilungen aus dem Institut für Radiumforschung. Nr. 163. Über die maximale Reichweite der von Radium C ausgeschleuderten Partikeln. Wien. Anz. 1924, S. 78—79, Nr. 10. [S. 1733.]

J. Escher-Desrivières. Entraînement du polonium, en solution sodique, par divers corps. C. R. 178, 1713—1715, 1924, Nr. 21. [S. 1723.] PRZIBRAM.

L. B. Loeb. On the Recoil of Alpha Particles from Light Atoms. Phil. Mag. (6) 38, 533-541, 1919, Nr. 227.

Lise Meitner. Der Zusammenhang zwischen β - und γ -Strahlen. Ergebnisse der exakten Naturwissenschaften. Herausgegeben von der Schriftleitung der "Naturwissenschaften". 3. Band, S. 160—161. Berlin, Verlag von Julius Springer, 1924. Schebl.

Julius Korczyn. Mitteilungen aus dem Institut für Radiumforschung. Nr. 165. Über die Unregelmäßigkeiten in der Strahlung frisch auskristallisierten Uranylnitrates. Wien. Anz. 1924, S. 130, Nr. 17. Die Abnahme der β -Aktivität von frisch auskristallisiertem Uranylnitrat wird auf einen nicht näher definierten, diffusionsähnlichen Vorgang zurückgeführt. Ein Zusatz von geringen Mengen Eisensalz hindert das Eindringen des UX in die tieferen Schichten. Przibram.

C. D. Ellis. The Interpretation of β -ray and γ -ray spectra. Proc. Cambr. Phil. Soc. 21, 121—128, 1922, Nr. 2. Vgl. diese Ber. 3, 1157, 1922. Scheel.

Lewis Simons. The Emission of β - and δ -rays from a Metallic Film and the Relation to the Quantum Theory of Scattering of X-rays. Phil. Mag. (6) 48, 250-258, 1924, Nr. 284. Es wird die Elektronenemission einer sehr dünnen Goldschicht untersucht, welche durch Röntgenstrahlen verschiedener Wellenlänge ausgelöst wird. Die Primärstrahlung ist nicht streng homogen, vielmehr wird die Sekundärstrahlung verschiedener Substanzen zwischen Se und Ba benutzt, welche durch die Gesamtstrahlung einer stets konstant betriebenen Coolidgeröhre mit W-Antikathode erregt wird. Die Strahlen treten durch Al-Fenster in eine auf 0,035 mm Hg evakuierte Kammer, durchsetzen eine dünne Kohleplatte und fallen auf den elektrolytisch auf Wachs niedergeschlagenen Goldfilm. Gemessen wird dessen positive Aufladung, wie sie durch die Elektronenemission nach der Einfallseite der Röntgenstrahlen erzeugt wird. - Diese läßt sich in zwei Gruppen teilen: schnelle Photoelektronen (β -Strahlen) und langsame Elektronen mit Geschwindigkeiten < 15 Volt (δ -Strahlen). Die Trennung geschieht durch ein elektrisches Feld zwischen der Goldschicht und der erwähnten Kohleplatte. (Abstand beider voneinander = 2 mm). Bei einem verzögernden Feld von 10 bis 15 Volt wird ein konstanter Minimalwert der Elektronenemission erreicht $= \beta$ -Intensität; bei kleinerer verzögernder und sodann beschleunigender Spannung wächst sie und erreicht bei +10 bis 15 Volt wiederum einen konstanten Wert $= (\beta + \delta)$ -Intensität. — Werden die relativen Intensitäten der β- bzw. δ-Emission in Abhängigkeit von der Wellenlänge der erregenden Strahlung aufgetragen, so ergibt sich kein einfacher Zusammenhang. Wird dagegen die δ-Kurve um 0,04 Å.-E. nach kürzeren Wellen verschoben, so ergibt sich genaue Proportionalität $(\beta:\delta=1:5)$. Verf. glaubt hieraus schließen zu müssen, daß beide Strahlungsarten durch "quasi-unabhängige" Röntgenstrahlungen, die aber stets gleiches Intensitätsverhältnis haben, verursacht würden, und daß die β-Emission im Zusammenhang stehe mit der ohne Wellenlängenänderung gestreuten Röntgenstrahlung, die δ Emission mit dem in der Wellenlänge geänderten Teil der Streustrahlung. (Da jedenfalls die schnellen Elektronen sicher als Photoelektronen anzusehen sind, ist nicht recht verständlich, wie hier ein Zusammenhang mit der Streuung überhaupt bestehen soll. Der Ref.) KULENKAMPFF.

L. Vegard. Sur la constitution des couches supérieures de l'atmosphère. C. R. 176, 1488-1491, 1923, Nr. 21. [S. 1788.] CONRAD. Vladimir Karapetoff. Magnetization curve, names for its parts. Science (N. S.) 59, 440, 1924, Nr. 1533. Von den einzelnen, allerdings ineinander übergehenden Teilen der Nullkurve hat nur das sogenannte "Knie" einen allgemein gebrauchten Namen erhalten, für die übrigen Teile fehlen besondere Bezeichnungen. Der Verf. schlägt vor, auch diese dem menschlichen Körper zu entnehmen und Fuß, Spanne, Bein, Knie und Oberschenkel zu nennen, eventuell dafür auch aus dem Lateinischen öder dem Esperanto genommene Namen zu setzen. Jedenfalls verdient die Anregung selbst Beachtung.

A. A. Ahmed. Variation of magnetic potential. Mathematical investigation of the magnetic potential along the core surface of a cylindrical field magnet. Electrician 93, 122—123, 1924, Nr. 2411. Unter der Annahme, daß die erregende Spule aus einer dünnen Lage von zahlreichen Windungen besteht und daß die Permeabilität des Kernes groß ist im Vergleich zu derjenigen der umgebenden Luft, wird auf rein rechnerischem Wege der Gang des Potentials im Innern des zylindrischen Elektromagnets bestimmt. Als Beispiel behandelt der Verf. die Potentialverteilung längs der Achse und längs der Oberfläche von zwei 10 cm dicken und 20 bzw. 10 cm langen Magneten. Die gewöhnlich angenommene Geradlinigkeit ist um so besser erfüllt, je günstiger das Dimensionsverhältnis l/d der Spule ist. Gumlich.

P. L. Kapitza. A method of producing strong magnetic fields. Proc. Roy. Soc. London (A) 105, 691-710, 1924, Nr. 734. Zur Erzeugung magnetischer Dauerfelder wurden bis jetzt zumeist Elektromagnete benutzt, mit denen man in sehr beschränkten Räumen von wenigen Kubikzentimetern Felder von 50 bis 60 Kilogauß (kG) verreichte, in neuerer Zeit auch wassergekühlte, eisenlose Spulen besonderer Konstruktion, mit denen Fortrat und Dejean kürzlich auf erheblich größerem Raume bis auf über 40 kG gelangten. Auf ersterem Wege erheblich weiter zu kommen, verhindert die mit zunehmender Feldstärke immer mehr abnehmende Permeabilität des Eisens, auf dem zweiten neben den erheblichen Kosten für den Aufwand an Energie die Schwierigkeit der Kühlung. Grundsätzlich besteht allerdings in letzterem Falle die Möglichkeit einer Steigerung der Feldstärke bis zu etwa 100 kG in sehr kleinen Räumen durch Kühlung der Spule mit flüssiger Luft (Fabry), aber der Betrieb, der etwa 24 Liter/sec an flüssiger Luft erforderte, ist für die meisten Zwecke zu kostspielig. Diese Schwierigkeiten fallen jedoch, wie der Verf. zeigt, weg, wenn man sich auf Felder von ganz kurzer Zeitdauer (wenige Hundertstel Sekunden) beschränkt, weil man dann ohne Überhitzung der Spulenwicklung unverhältnismäßig hohe Stromstärken verwenden kann. Hier liegen die Schwierigkeiten auf anderen Gebieten, mämlich der Beschaffung einer geeigneten Energiequelle, der funkenlosen Öffnung des Stromes usw. Versuche, als Energiequelle Kondensatoren zu benutzen, scheiterten an Beschaffungsschwierigkeiten, denn es wäre eine Batterie für 20 mF mit 50 kV Spannung erforderlich gewesen, die Verwendung von Transformatoren dagegen an der Unmöglichkeit der momentanen Öffnung und Schließung des Stromes, dagegen führte zum Ziel die Verwendung einer Akkumulatorenbatterie, die folgendermaßen zusammengesetzt war: Bleiplatten von 35×35 cm Oberfläche und nur 1,5 mm Dicke wurden durch zwischengelegte, nur 1,7 mm dicke Gummiplättehen auseinandergehalten, während die Ränder auf drei Seiten durch U förmige Gummistreifen abgedichtet wurden, so daß lauter ganz schmale Kästchen entstanden, die mit 30 proz. Schwefelsäure gefüllt wurden. Bei Verwendung von 71 Platten, die insgesamt durch zwei Schieferplatten mit Bolzenverschraubung zusammengehalten wurden, entstanden also 70 hintereinander geschaltete Akkumulatoren, die kurze Zeit mit 220 Volt bei 2 bis 3 Amp. geladen

wurden, so daß sich nur eine dunne positive Oberflächenschicht bildete. Zur F ladung wurden vier derartige Batterien verwendet, von denen je zwei nebeneinan und zu Gruppen wieder hintereinander geschaltet wurden. Der innere Widersta jeder Batterie betrug nur 0,02Ω, die Entladung über einen ebenso hohen äuße Widerstand lieferte bei einer gesamten Entladungsenergie von 1000 kW eine mom tane Stromstärke von 7000 Amp, und zwar sank bei dem günstigsten äußeren Wid stand von 0,025 \(\Omega \) die Energie innerhalb von 0,01 sec von 970 kW auf 480 kW. Ne einjährigem Gebrauch erhielt man nur noch etwa die Hälfte dieser Energiemen wahrscheinlich wegen dauernder Vergrößerung der positiven Schicht und der dau parallel gehenden Erhöhung des inneren Widerstands. - Zur Messung von Str und Spannung diente ein besonders konstruierter Hochfrequenzoszillograph für 20 30 000 Per./sec, zur Schließung und Öffnung des Stromes ein durch Hebel und Elekt magnete betätigter Stromschlüssel, auf dessen Konstruktion hier nicht näher e gegangen werden kann; die Vermeidung von Öffnungsfunken gelang durch Verwendu geeigneter Nebenschlüsse. Die zur Erzeugung des Feldes verwendete Spule besta aus zwei getrennten Spulenhälften von je 48 bis 70 Windungen, die in der Mitte ein etwa 2,5 cm langen Zwischenraum für den praktischen Gebrauch frei ließen. 1 geeigneter Wahl der Spulenabmessungen ließ es sich erreichen, daß die Ungleichen mäßigkeit des Feldes in diesem Zwischenraum nur wenige Prozent betrug. I Spulenkonstante (Feldstärke pro Amp.) ließ sich aus den Dimensionen mit hinreichen Genauigkeit berechnen, wurde aber auch experimentell durch Vergleich mit einer Norm spule nach Art der Tangentenbussole ermittelt; beide Werte stimmten innerhalb v wenigen Prozent überein. Die erreichte maximale Feldstärke betrug etwa 500 kG, würde sich aber unter Umständen auf 2 bis 3000 kG steigern lassen. GUMLIC

J. R. Ashworth. Note on the Intrinsic Field of a Magnet. Manchester Me 58, Nr. XI, 6S., 1914, Nr. 3. P. Weiss hat bekanntlich zur Erklärung der fer magnetischen Eigenschaften die Langevinsche Theorie ergänzt durch Annah eines molekularen Feldes, dessen Vorhandensein er durch thermomagnetische Bed achtungen bestätigen zu können glaubte und dessen Größe nach seiner Rechnu mehrere Millionen Gauß betragen mußte. Zu demselben Ergebnis kam auf andere Wege der Verf., der aber, wie auch Weiss, nicht verkannte, daß die Größe die Feldes beispielsweise im Hinblick auf die Möglichkeit der Entmagnetisierung dur verhältnismäßig kleine äußere Kräfte Bedenken erregen müsse. Er berechnet dat das Feld auf einem neuen Wege, und zwar benutzt er dazu die von Hurmuzes und von Paillot untersuchte Erscheinung, daß in einem mit einem Elektrolyt füllten U-Rohr, in das zwei Eisendrähte tauchen, von denen der eine einem stark Magnetfeld ausgesetzt ist, der andere aber nicht, ein Strom entsteht. Dieses kann erklärt werden, daß die Eisenionen in die Lösung überzugehen trachten, aber an o Seite, wo das Magnetfeld wirkt, zurückgehalten werden, und daß daher mehr posi geladene Ionen von der unmagnetisierten zur magnetisierten Elektrode übergeh d. h. daß ein Strom in dieser Richtung durch die Lösung hindurch entsteht. Un der Annahme, daß die elektromotorische Kraft von der Magnetisierung des Eise herrührt, läßt sich durch Gleichsetzung der elektrischen und der magnetischen Energie das unbekannte innere magnetische Feld berechnen. Dies führt der Verf. durch u findet für das Eisen den Wert $\mathfrak{H}_i = 9,4.10^6$, für Nickel $\mathfrak{H}_i = 1,2.10^6$, währe Weiss dafür die Werte 6,5.106 und 6,4.106 erhalten hatte, so daß also die auf ge verschiedenen Wegen gewonnenen Ergebnisse beider Forscher wenigstens der Größe ordnung nach übereinstimmen. Wegen der mathematischen Durchführung muß das Original verwiesen werden, GUMLIC

- G. A. Kelsall. Furnace Permeameter for alternating current measurements at small magnetizing forces. Journ. Opt. Soc. Amer. 8, 669-674, 1924, Nr. 5. Die in einem früheren Artikel (Journ. Opt. Soc. Amer. 8, 329-338, 1924; diese Ber, S. 1145) beschriebene Vorrichtung zur Messung der Anfangspermeabilität von Proberingen aus Draht mittels Wechselstromes hat der Verf. nunmehr durch Verwendung eines geeigneten, elektrisch geheizten Ofens zum Gebrauch bei Temperaturen bis zu 1000° umgestaltet, während mit flüssiger Luft eine Minimaltemperatur von - 1900 erreicht und somit ein Temperaturbereich von rund 12000 umspannt werden kann. Durch Benutzung von hochmagnetisierbarem Permalloy für den Kern des primären Transformators ließ es sich erreichen, daß die auf die Probe wirkende Feldstärke nahezu konstant blieb, trotzdem die Permeabilität der Probe selbst durch die Temperaturänderung außerordentlich stieg. Die Aufnahme über das ganze Temperaturgebiet dauerte nur etwa acht Stunden. Als Beispiel ist die Kurve für die Anfangspermeabilität von weichem Eisen zwischen - 1900 und + 8000 gegeben, welche eine bemerkenswerte Übereinstimmung für steigende und für fallende Temperaturen zeigt und damit auch die Genauigkeit der Messungen beweist, trotzdem die Permeabilität von etwa $\mu_0 \sim 130$ bis auf ~ 3250 kurz vor dem magnetischen Umwandlungspunkt ansteigt, um dann plötzlich auf Null zu sinken. Ob diese Kurve allerdings auch für Temperaturen in der Nähe des Umwandlungspunktes die eigentliche Anfangspermeabilität wiedergibt, welche auf rein reversiblen Vorgängen beruht, muß bezweifelt werden, denn sie ist mit einer Feldstärke & = 0,005 Gauß aufgenommen, und bei ihr werden in höheren Temperaturen, wo die Koerzitivkraft bekanntlich nahezu verschwindet und die Nullkurve schon bei ganz niedrigen Feldstärken außerordentlich steil ansteigt, jedenfalls irreversibele Prozesse mit im Spiel sein.
- C. W. Heaps. The magnetostriction of a magnetite crystal. (2) 24, 60-67, 1924, Nr. 1. Im Anschluß an eine frühere Arbeit (Phys. Rev. 22, 486 bis 501, 1922, diese Ber. 5, 617, 1924), in welcher der Verf. die Längenänderung verschiedener in Kugelgestalt gebrachter ferromagnetischer Kristalle mit einer außerordentlich empfindlichen, auf der Verbindung von Hebelsystem und Spiegelablesung beruhenden Meßanordnung bestimmt hatte, untersuchte er nunmehr die Längenänderungen eines gut ausgebildeten einzelnen Magnetitoktaeders nach den verschiedenen Achsenrichtungen bis zu äußeren Feldstärken von 5000 Gauß. Es ergab sich für den Fall, daß das Feld in Richtung der Achse wirkte, bei zwei Achsen eine mit steigender Feldstärke stetig zunehmende Verlängerung bis zu 30.10-4 Proz., bei der dritten eine Verkürzung bis zu 4.10-4 Proz., während sich in dem Falle, daß das Feld senkrecht zur Achsenrichtung wirkte, die Verhältnisse gerade umkehrten, also die letztgenannte Achse eine Verlängerung, die beiden anderen eine Verkürzung erfuhren. Eine von anderer Seite behauptete Abweichung vom kubischen System konnte nicht nachgewiesen werden. Zur Erklärung der Erscheinung entwirft der Verf. das Modell eines Elementarmagnets, das sich ziemlich eng an das von Ewing kürzlich vorgeschlagene anschließt. Für die Permeabilität des Magnetits, die sich wegen der Gestalt des Versuchskörpers nur ungenau bestimmen ließ, erhielt der Verf. Werte, die mit wachsender Feldstärke bis $\mathfrak{H}=5000$ Gauß von $\mu\sim 1,2$ bis zu $\mu\sim 1,38$ GUMLICH. anstiegen.
- L. W. McKeehan. Ferromagnetism and its Dependence upon Chemical, Thermal and Mechanical Conditions. Journ. Frankl. Inst. 197, 583—601, 757—786, 1924, Nr. 5 und 6. Der Hauptteil der wertvollen Arbeit bringt eine verhältnismäßig recht vollständige Übersicht über die magnetischen Eigenschaften von

Fe, Ni, Co und deren bis jetzt untersuchten Legierungen mit einander und mit anderen Stoffen, sowie von Heuslerschen Legierungen, und zwar in ihrer Abhängigkeit von mechanischer und thermischer Behandlung usw., wobei mit Recht im wesentlichen nur die neueren Untersuchungen berücksichtigt werden. Trotzdem sind es 140 verschiedene Arbeiten, auf welche hierbei Bezug genommen wird und deren bisweilen etwas schwer zugänglicher Ort der Veröffentlichung in einem besonderen Anhang wiedergegeben ist; hierdurch gewinnt die mühevolle Arbeit für viele Interessenten einen ganz besonderen Wert. — In einem zweiten Teil versucht der Verf., einige der im ersten Teil als besonders charakteristisch für den Ferromagnetismus festgestellten Eigenschaften mit Hilfe der Quantentheorie und namentlich des Bohrschen Atommodells zu erklären; in bezug auf die Einzelheiten muß auf das Original verwiesen werden.

Robert Cochran Gray. The Control Field in Magnetic Hysteresis. Proc. Edinburgh 44, 84-87, 1924, Nr. 1. Nach der neueren Ansicht von Ewing über die Konstruktion des magnetischen Atoms soll sich das letztere aufbauen aus einem Weberschen Elementarmagnet mit konstantem magnetischem Moment, das sich unter der Wirkung eines äußeren Feldes drehen kann, und aus einer äußeren oder inneren Gruppe von festen Magneten bzw. in Kreisbahnen rotierenden Elektronen mit einem nach dem Mittelpunkt gerichteten Feld, das die Richtung des Weberschen Magnets und somit auch, bei Wirkung eines äußeren Feldes, die Suszeptibilität beeinflußt. Der Verf. verfolgt die Wirkung dieser Anordnung rechnerisch für den Fall der Anfangssuszeptibilität, also für den Fall einer sehr kleinen äußeren Feldstärke, und findet, daß die Anfangssuszeptibilität gleich sein muß der Sättigungsintensität, dividiert durch das Doppelte des inneren Feldes; dies letztere würde etwa das Drei- bis Vierfache der Koerzitivkraft betragen. Da jedoch die zur numerischen Beweisführung herangezogenen Beispiele nur verhältnismäßig hartes Material umfassen, während gerade für die neueren Materialien mit hoher Anfangspermeabilität und sehr geringer Koerzitivkraft sich starke Abweichungen hiervon ergeben würden, so hat die ganze Beweisführung und auch die weiteren daraus gezogenen Schlüsse anscheinend wenig Bedeutung. GUMLICH.

S. K. Mitra. Sur la désaimantation du ferpar des oscillations électromagnétiques. C. R. 176, 1214-1217, 1923, Nr. 18. Der Verf. untersucht die Wirkung eines Wechselfeldes auf die Remanenz eines magnetisierten Eisendrahtes in Abhängigkeit von der Schwingungszahl; der Draht befand sich in der Achse von zwei konzentrischen Spulen, von denen die eine vom magnetisierenden Gleichstrom, die andere vom Wechselstrom mit einer zwischen 50 und 500000 veränderlichen Wechselzahl durchflossen wurde. Zur magnetischen Messung diente ein Magnetometer. Es zeigte sich stets eine Verringerung der Remanenz durch das Wechselfeld, über dessen Größe nichts angegeben ist, doch war dieselbe um so geringer, je höher die Wechselzahl; ob diese Tatsache auf die Viskosität des Eisens oder auf den Hauteffekt zurückzuführen ist, konnte der Verf. nicht entscheiden. - Ein weiterer Versuch bezog sich auf die Änderung der Gestalt der gewöhnlichen Hystereseschleife durch Überlagerung eines Feldes von hoher Wechselzahl. Die ebenfalls mit dem Magnetometer aufgenommenen Kurven zeigten nahezu die gleichen Maxima der Induktion, doch schrumpften sie erheblich zusammen, wie dies ja auch schon von anderweitigen früheren Versuchen her bekannt ist. GUMLICH.

Pierre Weiss et R. Forrer. Sur les isothermes magnétiques du nickel. C. R. 178, 1046-1049, 1924, Nr. 13. Die Verff. geben eine große Anzahl von magnetischen

Isothermen des Nickels, also von Kurven, welche für verschiedene Temperaturen zwischen 20° und 406° die Magnetisierbarkeit σ der Masseneinheit des Nickels in Abhängigkeit von der Feldstärke darstellen, wobei die letztere zunächst bis \$5 = 17000 reichte. Der Kurvenverlauf bei Zimmertemperatur ist ja bekannt, doch fanden die Verff., daß auch noch oberhalb des gewöhnlichen Sättigungspunktes bei etwa $5 \sim 5000$ Gauß eine geringe Zunahme der Magnetisierung stattfindet, welche proportional der Steigerung des Feldes ist und mit steigender Temperatur wächst. Gleichzeitig rundet sich die Gestalt der Magnetisierungskurve, die ja bei gewöhnlicher Temperatur zuerst sehr steil ansteigt, um sich dann über das Gebiet des sogenannten Knies allmählich abzuflachen, immer mehr, so daß in der Nähe des bei 3570 liegenden magnetischen Umwandlungspunktes keine einzelnen Teile der Kurve mehr unterschieden werden können, die dann bei 4050 die für paramagnetische Substanzen charakteristische Geradlinigkeit erreicht. Die Verff. weisen einstweilen schon darauf hin, daß diese Darstellungsweise durch magnetische Isothermen ein Mittel an die Hand gibt, die scheinbare von der wahren Magnetisierung zu trennen; Näheres darüber behalten sie sich einem späteren Aufsatz vor. GUMLICH.

T. D. Yensen. Magnetic and Electrical Properties of the Ternary Alloys Fe-Si-C. Journ. Amer. Inst. Electr. Eng. 43, 455-461, 1924, Nr. 5. Ein Teil der früher vom Ref. ausgeführten Untersuchungen über die Abhängigkeit der magnetischen Eigenschaften der Eisenlegierungen von der chemischen Zusammensetzung und der thermischen Behandlung (Wissenschaftl, Abhandlungen der Phys.-Techn. Reichsanstalt IV, Nr. 3) ist vom Verf. mit bedeutenden Hilfsmitteln und unter Verwendung von besonders reinem Material wiederholt worden. Das Ausgangsmaterial war Elektrolyteisen mit insgesamt nur einigen hundertel Prozent Verunreinigungen, deren Wirkung nach einem Annäherungsverfahren in Rechnung gezogen wurde; ein neues, vom Verf. ausgearbeitetes Verfahren der C-Analyse war angeblich noch auf 0,0001 Proz. genau. Zum Schmelzen der Proben diente ein Vakuumofen nach dem Arsem-Typus. Die gewonnenen Schmelzen wurden zu Stäben von etwa 3 cm Dicke ausgeschmiedet, von welchen man Scheiben abschnitt, die zu Ringen von 2,4 cm äußerem und 1,8 cm innerem Durchmesser abgedreht, im Vakuum bei der gewünschten Temperatur geglüht, mit doppelter Wicklung versehen und ballistisch untersucht wurden. Bei der Untersuchung wurde stets die Nullkurve und eine Hystereseschleife bis zu $\mathfrak{B}=10\,000$ aufgenommen; der hieraus berechnete Hystereseverlust diente als hauptsächlichstes Kriterium für die Güte des Materials; auch der elektrische Widerstand wurde bestimmt, sowie in einer Anzahl von Fällen das Gefüge photographisch aufgenommen. - Als ganz neues Resultat fand der Verf., daß C-Gehalte bis zu 0,008 Proz. auch bei langsamer Abkühlung im Eisen gelöst bleiben und daher einen verhältnismäßig starken Anstieg des Hystereseverlustes, der Koerzitivkraft und des elektrischen Widerstandes bedingen. Zwischen 0,008 und 0,09 Proz. war die Verschlechterung mit ansteigendem C-Gehalt nur verhältnismäßig gering, was der Verf. darauf zurückführt, daß hier der Kohlenstoff in Form von freiem Zementit auftreten soll und erst bei noch höherem C-Gehalt in Form von Perlit, der wieder eine beträchtliche, dem C-Gehalt proportionale Verschlechterung hervorbringt. Außerdem scheint für den Hystereseverlust auch die Korngröße eine nicht unbeträchtliche Rolle zu spielen; unter übrigens gleichen Bedingungen soll der hierauf zurückführende Teil des Hystereseverlustes proportional der Quadratwurzel aus der Anzahl der Körner pro Quadratzentimeter sein. Der Verf. führt dies darauf zurück, daß sich zwischen den Ferritkristallen Schichten von amorphem, magnetisch hartem Material (Zementit) bilden, deren Wirkung um so größer sein muß, je stärker die Unterteilung des Kristallgefüges ist. Hieraus würde folgen, daß ein vollkommen reines, C-freies Eisen mit beträchtlicher Korngröße überhaupt keinen Hystereseverlust hat. Auch die Abhängigkeit des Hystereseverlustes von Verunreinigungen durch S, Mn und P legt der Verf. formelmäßig fest. - In entsprechender Weise wie von reinem Elektrolyteisen wurden auch Proben mit 2, 4 und 6 Proz. Si hergestellt und untersucht. Die Löslichkeit von C bis zu 0,008 Proz. bleibt auch bei den Si-Legierungen erhalten; höhere C-Gehalte verwandeln sich bei hinreichendem Si-Gehalt in Perlit bzw. Graphit, dessen Einfluß auf den Hystereseverlust, Koerzitivkraft und Permeabilität vollkommen zu vernachlässigen ist, und gerade hierin liegt, wie Ref. bereits nachgewiesen hatte, ein Hauptvorteil des Siliciumszusatzes. Hierzu tritt noch die Tatsache, daß hohe Siliciumlegierungen durch geeignetes Glühen eine verhältnismäßig bedeutende Korngröße erhalten, die ebenfalls, wie schon erwähnt, den Hystereseverlust günstig beeinflußt. -Auf Grund der gesamten Untersuchung gibt der Verf. eine formelmäßige Darstellung des Hystereseverlustes für Legierungen von 0, 2, 4, 6 Proz. Si in Abhängigkeit von der chemischen Zusammensetzung einschließlich der Verunreinigungen und der Korngröße, die zumeist recht gut mit den gemessenen Werten übereinstimmt. Dasselbe gilt auch für den elektrischen Widerstand op pro Kubikzentimeter, für welchen der Verf. bei unlegiertem Material findet: $\rho = 9.6 + 7 \,\mathrm{Mn} + 12 \,\mathrm{S} + 60 \,\mathrm{P} + 82.5 \,\mathrm{C}$, bei Si-haltigem dagegen:

 $\begin{array}{c} \cdot \quad \varrho = 9.6 \underbrace{+ \ 18.4 \ \text{Si}}_{\text{unterhalb Si}} \underbrace{+ \quad 11.1 \ (\text{Si} - 0.35)}_{\text{unterhalb Si}} \underbrace{+ \quad 21.1 \ (\text{Si} - 0.35)}_{\text{unterhalb Si}} \\ \end{array}$

hierin bezeichnen die Buchstaben C, Si, S, Mn und P den Prozentgehalt der einzelnen Verunreinigungen; danach würde also die Widerstandskurve für legiertes Material bei 0,35 Proz. Si einen Knick haben.

A. E. Oxley. The magnetic properties of the hydrogen—palladium system. Phil. Mag. (6) 44, 1063—1064, 1922, Nr. 263. Der Verf. weist darauf hin, daß das Ergebnis der von ihm ausgeführten Versuche über die magnetischen Eigenschaften von Palladiumschwarz, das imehr oder weniger stark mit Wasserstoff angereichert war, vollkommen übereinstimmt mit dem Ergebnis der Versuche von Biggs (Phil. Mag. 32, 131, 1916), welcher kristallinische Palladiumfolie mit Wasserstoff angereichert hatte, und zwar nahm in jedem Falle die Suszeptibilität des Pd mit zunehmendem H-Gehalt ab. Das von Graham (Journ. chem. soc. 22, 430, 1869) seinerzeit gefundene hochmagnetisierbare System H—Pd scheint also tatsächlich nicht zu existieren.

GUMLICH.

Fernando Sanford. Some theoretical considerations. Bull. Terrest. Electr. Obs. 1, 28—32, 1923. Betrachtungen über die Berechnungen 1. von Störmer (Astrophys. Journ. 43, 347, 1916; Contrib. Mt. Wilson Obs. Nr. 109) über die bewegten Ladungen, welche notwendig sind, um das magnetische Feld zu erklären, welches im Innern von Sonnenflecken beobachtet wurde; 2. von Rowland (Phil. Mag. 8, 102—106, 1879); 3. von Lindeman (Phil. Mag. 38, 669, 1919); 4. von Sutherland (Terr. Mag. 8, 51, 1900); 5. von Exner (Rep. d. Phys. 22, S. 479).

Fernando Sanford. Electric induction of the sun upon the earth. Bull. Terrestr. Electr. Obs. 1, 3—28, 1923. Zusammenfassender Bericht von früheren Arbeiten Sanfords, welche hier bereits besprochen wurden: Siehe: 2, 758, 1921; 3, 261, 332, 467, 945, 946, 1922; 4, 327, 434, 1118, 1923; 5, 610, 1287, 1924. STÖCKL.

P. Lasareff. Sur des anomalies du magnétisme terrestre et de la gravité dans le gouvernement de Koursk (russie centrale). Journ. de phys. et le Radium (6) 5, 180—190, 1924, Nr. 6.

P. Lasareff. Sur des relations entre les anomalies de magnétisme terrestre et celles de gravité. Journ. de phys. et le Radium (6) 5, 191-192, 1924, Nr. 6

SCHEEL.

Felix Joachim de Wisniewski. Le champ électromagnétique d'un électron en mouvement. Arch. sc. phys. et nat. (5) 6, 211-214, 1924, Nr. 5/6. Berichtigung von einigen Formeln einer früheren Arbeit des Verf. (siehe diese Ber. S. 440). LANCZOS.

Karl Willy Wagner. Die elektromagnetische Welle in der Technik. Elektr. Nachr.-Techn. 1, 1-7, 1924, Nr. 1. SCHEEL.

N. C. Jensen. Nogle forsøgs-og maaleapparater. Fysisk Tidsskr. 22, 129-157, 1924, Nr. 4. Ausführliche Beschreibung eines radiotelegraphischen Empfängers mit Rückkopplung und Niederfrequenzverstärker zu Versuchs- und Meßzwecken.

Franz Kiebitz. Drahtlose Telegraphie und Telephonie. Mit 70 Abbildungen. III u. 127 S. Bielefeld u. Leipzig, Verlag von Velhagen & Klasing, 1924 (Sammlung: Die Bücherei der Volkshochschule, Bd. 51). Inhalt: Stehende elektrische Schwingungen. Strahlung und fortschreitende Wellen. Sender für Telegraphie. Sender für Telephonie. Antennen und Richtungstelegraphie. Empfänger. Ausbreitung und Störungen. Scheel.

Heinrich Wigge. Typisierung von Dreielektrodenröhrensendern. Jahrb. d. drahtl. Telegr. 23, 12-15, 1924, Nr. 1. Symbolisch läßt sich jede Kopplung durch einen Zweig darstellen, der beiden Schwingungskreisen gemeinsam ist, gegebenenfalls unter Hinzufügung einiger Schaltelemente in beide Kreise. Im allgemeinsten Falle

ist der Kopplungswiderstand mathematisch von der Form: $\Re = l \cdot p + r + \frac{1}{c \cdot r}$, wo-

bei l und c negativ und r=0 sein können (eine Verallgemeinerung des symbolischen Wechselstromwiderstandes). Wendet man dieses Symbol auf die Röhrensendeschaltungen - Einkreis- und Zweikreisschaltungen - an, so ermöglichen die Kirchhoffschen Regeln eine Ableitung der für solche Kreise gültigen Beziehungen in sehr allgemeiner Form. Das gewonnene Resultat wird schließlich auf n gekoppelte Kreise ausgedehnt. A. GEHRTS.

- A. O. Rankine. General principles involved in the accurate reproduction of sound by means of a loud-speaker. Journ. Inst. Electr. Eng. 62, 265-268, 1924, Nr. 327. Proc. Phys. Soc. 36, 115—119, 1924, Nr. 2. [S. 1724.]
- L. C. Pocock. Theory of loud-speaker design: some factors affecting faithful and efficient reproduction. Journ. Inst. Electr. Eng. 62, 268-270, 1924, Nr. 327. Proc. Phys. Soc. 36, 120-123, 1924, Nr. 2. [S. 1724.]
- C. L. Fortescue. The sources of distortion in the amplifier. Proc. Phys. Soc. 36, 124-128, 1924, Nr. 2. Journ. Inst. Electr. Eng. 62, 270-273, 1924, Nr. 327. [S. 1724.]
- H. L. Porter. The acoustic problems of the gramophone. Journ. Inst. Electr. Eng. 62, 273-274, 1924, Nr. 327. Proc. Phys. Soc. 36, 129-131, 1924, Nr. 2. [S. 1724.]
- E. K. Sandeman. The relative importance of each frequency region in the audible spectrum. Measurements on loud-speakers. Journ. Inst. Electr. Eng. 62, 275-278, 1924, Nr. 327. Proc. Phys. Soc. 36, 132-138, 1924, Nr. 2. [S. 1724.]

- J. T. Mac Gregor-Morris and E. Mallett. The overtones of the diaphragm of a telephone receiver. Journ. Inst. Electr. Eng. 62, 278-280, 1924, Nr. 327. Proc. Phys. Soc. 36, 139-141, 1924, Nr. 2. [S. 1724.]
- G. A. Sutherland. Auditorium acoustics and the loud-speaker. Journ. Inst. Electr. Eng. 62, 280—283, 1924, Nr. 327. Proc. Phys. Soc. 36, 142—148, 1924, Nr. 2. [S. 1724.]
- S. G. Brown. Some directions of improvement in the loud-speaking telephone. Journ. Inst. Electr. Eng. 62, 283—284, 1924, Nr. 327. Proc. Phys. Soc. 36, 149—150, 1924, Nr. 2. [S. 1724.]
- P. P. Eckersley. The characteristics of new type of loud-speaker. Journ. Inst. Electr. Eng. 62, 284, 1924, Nr. 327. Proc. Phys. Soc. 36, 151, 1924, Nr. 2. [S. 1724.]
- W. H. Martin. The Transmission Unit and Telephone Transmission Reference Systems. Journ. Amer. Inst. Electr. Eng. 43, 504-507, 1924, Nr. 6. Bell System Techn. Journ. 3, 400-408, 1924, Nr. 3. An Stelle der bisher in den englisch sprechenden Ländern als Übertragungsmaß üblichen "mile of standard cable", die jetzt als gänzlich unzureichend erkannt ist, wird hier eine neue Einheit [TU] eingeführt. Wird vom Empfänger einer telephonischen Verbindung die Leistung P₁ abgegeben, nach Einschaltung irgend eines weiteren Gliedes in die Übertragung aber P2, so wird dies neu eingeschaltete Glied als gleichwertig $10 \log vulg \frac{P_2}{P}$ T U angesehen. Von den bei uns üblichen Dämpfungseinheiten (die gar nicht erwähnt werden) unterscheidet sich dieses System (abgesehen von der Wahl der Einheit, die so erfolgt ist, daß die Zahlenwerte in T l' und in miles of standard cable sich nicht sehr unterscheiden) vor allem darin, daß es nicht auf ein Verhältnis von Strömen oder Spannungen, sondern von Leistungen gegründet ist und daß nicht das Verhältnis der Anfangs- zur Endleistung, sondern die durch das zu untersuchende Glied hervorgerufene Änderung der Endleistung maßgebend ist. Letzteres hat zur Folge, daß dem gleichen Glied (z. B. einem Übertrager) eine in TV gemessene verschieden große Dämpfung zugeschrieben wird, je nachdem, in welche Verbindung er eingeschaltet werden soll. - Auch bei akustischen Untersuchungen wird von der Bell-Gesellschaft das I'U-System benutzt. SALINGER.
- C. W. Smith. Practical application of the recently adopted transmission unit. Bell System Techn. Journ. 3, 409-413, 1924, Nr. 3. Die Arbeit befaßt sich (siehe das vorhergehende Referat) mit der Einführung der neuen Übertragungseinheit. Es zeigt sich, daß in Amerika für Teilnehmerleitungen. Fernleitungen, Nebensprechmessungen usw. bisher verschiedene Einheiten nebeneinander benutzt worden sind; für alle werden die Umrechnungszahlen in die neuen Einheiten angegeben. Bei dieser Umrechnung erweist es sich jedoch mehrmals als nötig, auf das bei uns übliche Dämpfungsmaß zurückzugreifen. Sonderbarerweise führt der Wunsch, daß die Zahlenwerte in der alten und der neuen Bezeichnungsweise möglichst übereinstimmen sollen, dazu, in einigen Fällen noch eine "Nullpunktsverschiebung" vorzunehmen, so daß 24 miles of standard cable = 24 TU gesetzt werden, obwohl die Einheiten nicht übereinstimmen. Dann entspricht aber der k fachen Länge nicht mehr die k fache Zahl von TU.

Heinrich Kafka. Ein Beitrag zur Richtungsbezeichnung in Vektordiagrammen. Elektrot. u. Maschinenb. 42, 329-333, 1924, Nr. 21. [S. 1706]. Schwerdt. Max Leo Keller. Grundlagen zur Lösung praktischer Erwärmungsfragen der Elektrotechnik. Arch. f. Elektrot. 13, 292—310, 1924, Nr. 4. Es werden zunächst die Erwärmungsgleichungen für sehr kurze Belastungszeiten und für den Dauerzustand abgeleitet und sodann die allgemeine Erwärmungsgleichung in folgender

Form angeschrieben: $\vartheta = \vartheta_m (1-e^{-\frac{t}{t_0}})$ für die Temperaturbestimmung und $t = t_0 \ln \frac{\vartheta_m}{\vartheta_m - \vartheta}$ für die Zeitbestimmung. ϑ bedeutet Temperaturerhöhung über die gleich 0 gesetzte Anfangstemperatur, $\vartheta_m = \frac{W}{O_+\alpha}$ die Temperaturdifferenz zwischen

der Temperatur der Oberfläche und der Umgebung, wobei W die aufgenommene Energie, O die Oberfläche, α die Wärmeübergangszahl ist. t ist die Zeit $t_0 = \frac{G \cdot c}{O \cdot \alpha}$

der "Zeitkonstante" (G = Gewicht, c = spezifische Wärme). Es wird dann die Zeitkonstante insbesondere für zusammengesetzte Körper berechnet. Die Zeitkonstante eines isolierten Drahtes kann man vergrößern, indem man das Volumen des nicht vom Strom durchflossenen Materials, der Isolierung, vergrößert. Man rechnet dabei mit Mittelwerten über den ganzen Querschnitt. Es ist also Vorsicht geboten; denn bei sehr hoher Belastung eines Leiters kann dessen Temperatur sehr rasch zunehmen, so daß die dem Leiter zunächst liegenden Teile verkohlen, bevor an der Oberfläche der Hülle eine Temperaturzunahme festzustellen ist. Bei großen Überlastungen wird also (worauf der Verf. selbst aufmerksam macht) die Zeitkonstante tatsächlich kleiner (für die unmittelbare Umgebung des Leiters) als bei Berechnung nach der einfachen in der Abhandlung gegebenen Formel. Es wird nun ferner aus den Erwärmungs- und Abkühlungsgleichungen der tatsächliche Temperaturverlauf eines Leiters bei verschiedenen, aufeinander folgenden Belastungen berechnet und nach dem Vorgang von G. Gert (Bull. d. Schweiz. Elektrotechn. Ver. 1918, Nr. 2) durch ein Temperaturdiagramm dargestellt. Wird eine elektrische Maschine oder ein Apparat verhältnismäßig kurze Zeit in den Stromkreis eingeschaltet, so wird sie während dieser Zeit bei normaler Belastung die zulässige Temperaturgrenze nicht erreichen. Sie kann also mit Rücksicht auf die zulässige Erwärmung in diesem Zeitabschnitt höher belastet werden, und zwar darf die Überlast so groß sein, daß die ihr entsprechende Temperatur während der Zeit t die

Temperaturgrenze ϑ_n gerade erreicht. $p=rac{\vartheta_m}{\vartheta_n}=rac{1}{1-e^{-t/t_0}}$ ist der "Überlastungs-

faktor". In bezug auf den Wattverbrauch bedeutet er demnach das Verhältnis der maximalen Überlastungstemperatur zu derjenigen Temperatur, welche in der Zeit terreicht wird und gleich der normalen Temperatur sein muß. Die Anwendung auf den intermittierenden Betrieb (kurzzeitigen und aussetzenden Betrieb) und auf sich fortwährend ändernde Belastung wird rechnerisch und graphisch gegeben. Ein Literaturregister über Erwärmungsfragen, insbesondere bezüglich Leiter und Kabel bildet den Schluß der Arbeit.

Donald M. Simons. Cable Geometry and the Calculation of Current-Carrying Capacity. Journ. Amer. Inst. Electr. Eng. 42, 525—539, 1923, Nr. 5. Es haudelt sich um die Berechnung der maximalen Stromaufnahme aus den geometrischen Daten eines Kabels. Der höchzulässige Strom einer Kabelader ist bedingt durch die Temperatur der Isolation. Die Schwierigkeit der Berechnung liegt in der Bestimmung des Wärmewiderstandes im Wärmestromweg. — Für die Berechnung des thermischen Widerstandes zwischen Kabeladern und -mantel sind bereits

Arbeiten von Mie und Russell vorhanden. Den hierin angegebenen Formeln liegen jedoch zum Teil Annahmen zugrunde, die praktisch häufig nicht erfüllt sind; infolgedessen ergeben sich Abweichungen der gemessenen Werte von den berechneten. Es wird nun eine Korrektionsmethode angegeben, welche die Abweichungen als Funktionen eines "geometrischen Faktors" zu ermitteln gestattet. Dieser Faktor trägt der speziellen Konstruktion des Kabels Rechnung. Nach Anbringung der Korrektion befinden sich Theorie und Messung in guter Übereinstimmung. — Weiter werden kurz die Wärmewiderstände des Kabelkanals bzw. des Erdbodens betrachtet, welcher das Kabel umgibt. Wirbelströme im Kabelmantel und dielektrische Verluste im Isolator werden ebenfalls bezüglich ihres Zusammenhanges mit dem Problem der Arbeit behandelt. Endlich wird auch der Fall besprochen, daß mehrere Kabel verschiedener Konstruktion im gleichen Kabelkanal verlegt sind. — Ein besonderer Anhang behandelt das Dreileiterkabel unter Drehspannung, ein weiterer enthält praktisch durchgerechnete Beispiele.

Plautius Andronescu. Berechnung von Kerntransformatoren. Elektrot. ZS. 45, 845-848, 870-876, 1924, Nr. 32 u. 33.

Karl Kuhlmann. Die Berücksichtigung der Eisenverluste im Kreisdiagramm des Transformators. Elektro-Journ. 4, 194-198, 1924, Nr. 8.

Guido Grassi. Sul modo di variare della corrente primaria in un transformatore. Atti di Torino 59, 300-302, 1924, Nr. 10.

A. S. Fitzgerald. The design of apparatus for the protection of alternating-current circuits. Journ. Inst. Electr. Eng. 62, 561-627, 1924, Nr. 331. Ein allgemeiner Überblick über den derzeitigen Überspannungsschutz bei Wechselstromnetzen.

Percy.

F. W. Peek jr. Lightning and other transients on transmission lines. Journ. Amer. Inst. Electr. Eng. 43, 697-709, 1924, Nr. 8. Mit dem Blitzapparat, wie derselbe bereits früher beschrieben wurde, sind weitere Untersuchungen angestellt worden, um auf die Größenordnung des natürlichen Blitzes Schlüsse zu ziehen, sowie um die Überlandleitungen vor atmosphärischen Überspannungen zu schützen. Der natürliche Blitz hat demnach eine Spannung von der Größenordnung 108 Volt bei 78.103 Amp. Meist erfolgt die Entladung aperiodisch innerhalb einiger Mikrosekunden. Die durch atmosphärische Störungen verursachten Wanderwellen haben meist eine steile Wellenfront. Der dabei auftretende Lichtbogen an der Isolatorenkette hat eine höhere Spannung, als der entsprechende bei Versuchen mit 60 periodigem Wechselstrom, und ist von der Feuchtigkeit fast unabhängig. Die induzierte Überspannung nimmt mit der Höhe der Freileitung zu. Die Wanderwelle wird indessen durch die Glimmverluste stark herabgemindert. Bei Reflexion am Leitungsende oder an einer Drossel findet Spannungserhöhung statt, beim Durchbruch entsteht eine gedämpfte Schwingung mit niedriger Periodenzahl. Dies gilt auch für die Schaltwellen. Hochfrequente Entladungen sind eine Folge eines bestehenden Lichtbogens und daher sekundärer Natur. Ein gut verlegtes Erdseil vermindert die Überspannung auf 48 Proz. des entsprechenden Wertes ohne ein solches. Zwei Erdseile bringen eine Verminderung auf 34 Proz., drei auf 24 Proz. Dabei spielt die Art der Freileitung, ob mit oder ohne geerdetem Nulleiter keine Rolle. Die Wirkung des Erdseiles hängt indessen von den elektrischen Eigenschaften der Erde selbst ab. Feuchte Erde ist besser als trockene. Was den Überspannungsschutz anbelangt, so werden die Überlandleitungen bei immer höher gewählter Betriebsspannung durch die notwendigerweise vergrößerte Isolation auch besser geschützt.

Percy.

J. S. Jenks. High voltage circuit breakers. The operator's viewpoint-giving practises, experiences and opinions. Journ. Amer. Inst. Electr. Eng. 43, 715-718, 1924, Nr. S. Einige allgemeine Gesichtspunkte zur Konstruktion von Hochspannungsschaltern.

6. Optik aller Wellenlängen.

Marcel Dufour. Relation entre l'aberration et l'astigmatisme pour un point situé sur l'axe d'un système optique centré. C. R. 174, 288—289, 1922, Nr. 5. Einem auf der Achse eines zentrierten optischen Systems gelegenen Objektpunkt entspricht als Bild eine rotationssymmetrische Kaustik. Im Gebiete der Seidelschen Approximation entspricht jedem gegen die Systemachse geneigten Büschel ein astigmatisches Büschel, dessen tangentiale Bildlinie im Berührungspunkt seines Hauptstrahles mit der Kaustik zur Meridianehene senkrecht steht, während die sagittale Bildlinie ein Element der Achse des zentrierten Systems bildet. In demselben Gebiete der Annäherung ist der Abstand dieser beiden Bildlinien (Astigmatismus) dabei doppelt so groß als der Abstand des sagittalen Bildpunktes von der kaustischen Spitze.

M. Labussière. Sur l'existence géométrique d'un invariant général des faisceaux de rayons se réfractant suivant la loi de Descartes, et ses applications à l'optique géométrique et au rayonnement. C. R. 174, 675—677, 1922, Nr. 10. Der Verf. definiert als "geometrischen Strahlenfluß" die Größe $L=\iint_S dS(\iint_{\omega} \cos u \, d\, \omega)$, wobei $d\, S$ das Element einer stetigen, von der Strahlung

durchsetzten Fläche S ist, $d\omega$ das Element eines Raumwinkels, dessen Scheitel in dS liegt, und u der Winkel der Achse von $d\omega$ gegen die Flächennormale in dS. Die Strahlung ist offenbar in der Weise begrenzt gedacht, daß einer stetigen Veränderung des betrachteten Punktes auf S eine stetige Änderung des räumlichen Winkels ω entspricht, innerhalb dessen die Strahlen verlaufen. Über S ist dabei vorausgesetzt, daß es jeden Strahl einmal (oder eine ungerade Anzahl von Malen) schneidet. L ist dabei für einen bestimmten Strahlenkomplex eine von der besonderen Wahl der Fläche S unabhängige Invariante. Wird nun die vorher rein geometrische Betrachtung dadurch auf das Gebiet der Optik angewandt, daß beliebige Brechungen und Reflexionen (nach den Gesetzen der Optik) zugelassen werden, so tritt an Stelle von L als allgemeinste Invariante $\Phi = n^2 \iint dS \left(\iint E \cos u \, d\, \omega \right)$. Hier ist u der Brechungs-

index des Mittels, in dem sich die brechende Fläche S befindet, und E darf sich zwar mit der Wahl des Strahles stetig ändern, muß aber entlang einem Strahl auch bei Brechungen und Reflexionen invariant bleiben. Die letzte Gleichung entspricht einer bereits von Clausius für Sonderfälle abgeleiteten Beziehung, zu der auch die Abbesche Sinusbedingung bei entsprechenden Voraussetzungen gezählt werden kann. Spezifikation auf den ebenen Fall (z. B. Strahlen verlaufen in der Meridianebene) gestattet direkte Anwendung auf die geometrische Optik, wobei sich z. B. als eine

notwendige, aber nicht hinreichende Bedingung einer streng aplanatischen Abbildung einer endlichen Ebene in eine andere an Stelle der gewöhnlichen Sinusbedingung ergeben würde: $\sin u' = \frac{u}{u'} \frac{y}{y'} \sin u + K(y)$, wobei es der Verf. dahingestellt sein läßt, ob dieser Fall als realisierbar angesehen werden kann oder nicht. Der Gaußschen (kollinearen) Abbildung würde entsprechen das Integral

$$L_{\mathbf{i}}^{\cdot} = n^2 \iint_{\mathcal{S}} d\, S \left(\iint_{\omega} rac{\cos u}{\cos^2 a} \, d\, \omega
ight)$$

und für den ebenen Fall

$$l_1 = n^2 \int ds \int_{u_0}^{u_1} \frac{\cos u}{\cos^2 \alpha} du$$

(α ist der Winkel, den der Hauptstrahl des Elementes vom Raumwinkel $d\omega$ (bzw. du) mit der optischen Achse des zentrierten Systems bildet, und s irgend ein Kurvenbogen, der den Fluß vollständig schneidet), welches ersichtlich obiger Bestimmung über E widerspricht und worin demnach der Grund für die Aberrationen gefunden zu werden scheint.

K. FRICKE.

R. Boulouch. Calcul des éléments qui déterminent un système centré formé par un nombre quelconque de surfaces. C. R. 174, 450-453, 1922, Nr. 7.

C. W. Woodworth. Note on Mr. T. Smith's method of tracing rays through an optical system. Journ. Opt. Soc. Amer. 5, 334-335, 1921, Nr. 4.

Theodore Chaundy. Note on the thin astigmatic lens. Trans. Opt. Soc. 23, 56-58, 1922, Nr. 1.

K. FRICKE.

F. E. Wright. On tracing rays of light through a reflecting prism with the aid of a meridian projection plot. Journ. Opt. Soc. Amer. 5, 410—419, 1921, Nr. 5. Der besseren Übersicht wegen empfiehlt Verf., beim Studium von Prismen den Strahlenverlauf durch eine Kugelprojektion graphisch darzustellen. K. FRICKE.

Alexander Gleichen. The path of rays in periscopes having an inverting system comprising two separated lenses. Trans. Opt. Soc. 23, 24—43, 1922, Nr. 1. Es wird gezeigt, wie die Vergrößerung, das Gesichtsfeld und die Helligkeit in der Mitte und am Rande des Gesichtsfeldes mit der Länge und dem Durchmesser eines Sehrohres zusammenhängt, das aus zwei hintereinandergeschalteten astronomischen Fernrohren besteht. Ausführliches enthalten im Kapitel 10 der "Theorie der modernen optischen Instrumente" 1923 von Gleichen. K. FRICKE.

Louis Bell. Ghosts and oculars. Proc. Amer. Acad. 56, 43-58, 1921, Nr. 2. Es wird die Bildqualität verschiedener Okulartypen unter besonderer Berücksichtigung der durch mehrfache Reflexionen hervorgerufenen Lichtschleier untersucht. K. FRICKE.

R. Boulouch. Sur le problème de l'achromatisme. C. R. 173, 1463-1466, 1921, Nr. 26.

F. E. Wright. A new autocollimator. Journ. Opt. Soc. Amer. 9, 187—188, 1924, Nr. 2. Beim Gaußschen Verfahren ist Autokollimation erreicht, wenn Fadenkreuz und sein Bild sich decken. Beim neuen Verfahren, das fünfmal genauer sein soll, werden zwei Bilder Seite an Seite gestellt. Einzelheiten sind im Original nachzulesen.

KNIPPING.

E. A. Wülfing. Ein neues Theodolitgonimeter. ZS. f. Krist. 60, 70—75, 1924, Nr. 1/2. Bei älteren Instrumenten bemerkt man wegen der zu kurz gelagerten Horizontalachse Unruhe in der Lagerung, weswegen eine größere Genauigkeit als 2 Bogenminuten nur umständlich zu erreichen ist. Beim neuen Instrument ist die Kollimator- und die Fernrohrachse in eine Flucht gelegt, ein kompaktes Stück, dessen Achsen in zwei Gabeln gelagert sind, wodurch große Festigkeit und Stabilität erreicht wurde. Diese Konstruktion bedingt eine viermalige Knickung des Strahlenganges durch zwei trapezförmige Glaskörper und zwei totalreflektierende Prismen. Die Strahlen treffen die Kristallfläche nur unter 45°. Andeutungen eines beabsichtigten, aber noch nicht ausgeführten Instrumentes, bei dem Beobachtung unter verschiedenen Inzidenzwinkeln möglich wird. Beschreibung des ausgeführten Instrumentes und seiner Justierung. Hersteller: C. Leiss, Berlin-Steglitz.

Georges Perrier. Un nouveau théodolite à microscopes. Rev. d'opt. 3, 187—190, 1924, Nr. 4. Durchschlagbarer Repetitionstheodolit. Senkrechte und wagerechte Achse stehen vermöge sauberer Arbeit genau senkrecht aufeinander. Objektiv 50 mm Durchmesser, 280 mm Brennweite, 20-, 30-, 40-fache Vergrößerung, eine Umdrehung des Okularschraubenmikrometers = 9 Zentesimalminuten. Horizontalkreis 220 mm, Vertikalkreis 180 mm Durchmesser, doppelte Mikroskopablesung, eine Mikrometerumdrehung = 8 Zentesimalminuten. Elektrische Beleuchtung der Ablesestellen und des Fernrohres. Maße des Transportkastens 39 × 43 × 53 cm, Gewicht 37 kg. Knipping.

Louis Lumière. Projection à grande distance de phototypes de grand format. Rev. d'opt. 3, 281-283, 1924, Nr. 6. Zur Projektion von farbigen Lumière-diapositiven auf große (10 bis 20 m) Entfernungen bedarf man sehr langbrennweitiger, lichtstarker, daher teurer Objektive. Verf. zeigt, daß man auskommt mit zwei plankonvexen Linsen, die nach Art des Ramsdenokulares (f:d:f=3:2:3) gestellt sind. Beispiel: Zu vergrößernde Platte $13 \times 18 \text{ cm}$, Abstand zum Schirm 17 m, zwei Linsen von 20 cm Durchmesser und je 120 cm Brennweite.

Harold Hunter. An intense lithium flame for polarimetric use. Journ. chem. Soc. 125, 1401, 1924, Juni. Durch einen H_2 -Strom wird $\text{Li}_2 \in O_3$ -Pulver in einer Flasche aufgewirbelt und zum Brenner mitgeführt. Brenner: außen O_2 , innen H_2 mit Salz, aus einem Quarzrohr mit $\lambda = 6708$ brennend. Knipping.

Walter Soller. A new precision x-ray spectrometer. Phys. Rev. (2) 24, 158-167, 1924, Nr. 2. Ein Braggsches Ionisationsspektrometer wurde dahin abgeändert, daß zwischen Röntgenröhre und Kristall sowie zwischen Kristall und Ionisationskammer je ein "Kollimator" gesetzt wurde, bestehend aus einer Reihe enger Kanäle, die durch parallele schmale Bleistreifen gebildet werden. Die lichte Weite und Länge dieser Kanäle beträgt für den ersten Kollimator 1,24 bzw. 206 mm, für den zweiten 0,62 bzw. 103 mm. Es können also nur nahe parallele Strahlen hindurchtreten. — Der Vorteil dieser Einrichtung liegt darin, daß bei großer bestrahlter Fläche des Spektrometerkristalls ein großes Auflösungsvermögen erreicht wird; allerdings st zur vollen Ausnutzung erforderlich, daß der Kathodenstrahlbrennfleck groß genug st, um die ganze Kollimatorfläche zu beleuchten. Hinsichtlich Messungen an guten Einzelkristallen wird also offenbar nicht mehr erreicht, als mit kleinem Brennfleck und der üblichen Verwendung von zwei Spalten; dagegen gestattet das Spektrometer, beliebige Stücke eines kristallinen Materials exakt zu untersuchen. Diese werden an Stelle eines Spektrometerkristalls passend montiert, und die reflektierte Strahlung, welche also ein Debye-Scherrer-Diagramm darstellt, durch Herumführen der Ionisationskammer ausgemessen. Wegen der Größe der bestrahlten Fläche ist eine besondere Vorbereitung des Materials, wie sonst bei der Pulvermethode, nicht erforderlich; vielmehr können beliebige Werkstücke direkt untersucht werden. — Als Anwendungsbeispiel werden Messungen an einem Stückchen gewöhnlichen Stahlblechs besprochen; als Röntgenröhre wurde hierbei eine Coolidgeröhre mit Mo-Antikathode benutzt. In Übereinstimmung mit Messungen von Hull ergibt sich für Stahl ein raumzentriertes kubisches Gitter; schwächer wurden Reflexionen an einem einfach kubischen Gitter festgestellt. Die Genauigkeit, mit der die Lage der Linien, und damit die Gitterabstände, bestimmt werden können, wird auf $7^1/2^{\prime\prime}$ angegeben. — Bei elektrischer Heizung des Stahlbleches auf 4750 ergab sich für die Reflexion der Mo $K\alpha$ -Linie an der (310)-Ebene eine Verschiebung um 9'; hieraus berechnet sich der Ausdehnungskoeffizient zu 0,122.10-4. — Schließlich wurde die Änderung des Gitters unter dem Einfluß einer mechanischen Dehnung bis nahe an die Zerreißgrenze untersucht.

J. E. Calthrop. The Relation between the Refractivities and the Sizes of the Atoms of Certain Elements. Phil. Mag. (6) 47, 772—779, 1924. Nr. 280. April. Legt man die aus den Messungen von Bragg folgenden Atomvolumina zugrunde, so findet man zwischen ihnen und der Refraktion (n_D-1) bei den Elementen einer Gruppe eine einfache Beziehung. Es wird nämlich

Element	Atom- volumen	$(n_D - 1) \cdot 10^6$	Refr. Vol.	Element	Atom- volumen	$(n_D-1).10^6$	Refr. Vol.
Ne	1,150 4,512 6,800 10,310	68,7 283,7 427,3 702,0	59,71 62,87 62,83 68,11 63,38	F	1,261 4,852 7,060 11,50	$ \begin{array}{r} 195,0 \\ 768,0 \\ 1125,0 \\ 1920(v) - 2050(r) \end{array} $	154,6 158,3 159,3 167,0 157,4
O Se	1,152 4,445 6,711 9,860	270,2 1101,0 1565,0 2495,0	234,5 247,6 233,2 253,0 242,1	N	1,152 4,577 8,383	297,1 1212,0 1552,0	257,9 264,8 185,1 261,4

Das Verhältnis der Atomvolumina, ebenso wie der Refraktionen für die Elemente einer Gruppe ist das der Cuthbertsonschen Zahlen. Die noch vorhandenen Abweichungen sind wahrscheinlich auf mangelhafte Werte des Atomradius zurückzuführen. Für die Konstante K der Mossottischen Beziehung $n-1=KN\sigma^*$ (N Zahl der Atome im Kubikzentimeter, σ Atomdurchmesser) folgt:

Gruppe V	VI	VII	. 0
5,07	4, 68	3,04	1,23

also für die inerten Gase die beste Anpassung an den für vollkommen leitende Kugelp zu erwartenden Wert 0,79.

H. R. Schulz

John Q. Stewart. The problem of gas-opacity. Phys. Rev. (2) 23, 771—772, 1924 Nr. 6. (Kurzer Sitzungsbericht.) Es wird der Wert der klassischen Theorie bei der Behandlung der Dispersion, der Rayleighschen Streuung, der Resonanzstrahlung und selektiven Absorption, der Durchlässigkeit eines ionisierten Gases und des Durch-

gangs von Strahlung durch ein Gas diskutiert und die Versuche, die Quantentheorie heranzuziehen, besprochen. Die formulierten Prinzipien werden auf astrophysikalische Probleme angewendet.

Minkowski.

L. Courvoisier. Bemerkungen zu dem Artikel von Hans Kienle: Kosmische Refraktion. Phys. ZS. 25, 187-188. 1924, Nr. 8. [S. 1712.]

H. Kienle. (Erwiderung.) Kosmische Refraktion. Phys. ZS. **25**, 306—307, 1924, Nr. 12. [S. 1712.]

L. Courvoisier. Noch einmal Kosmische Refraktion. Phys. ZS. 25, 391, 1924, Nr. 15. [S. 1712.]

LANCZOS.

W. N. Birchby. White light interferometer fringes. Phys. Rev. (2) 24, 206, 1924, Nr. 2. (Kurzer Sitzungsbericht.) "Das neuerdings von N. K. Sethi (Phys. Rev. Jan. 1924) beobachtete Phänomen wurde unabhängig vom Verf. gefunden und darüber Ende 1923 vorläufig berichtet (Phys. Rev. 22, 527). Die gegebene Erklärung weicht dagegen von der Sethischen ab. Sie wird gegründet auf das Prinzip von Cornu und Rayleigh, daß das Fransensystem von dem Teil des Spektrums gebildet wird, wo die Änderung der Phase mit der Wellenlänge ein Maximum oder ein Minimum wird. Wenn der Interferometerspiegel verschoben wird, so bewegt sich dieser Teil durch das Spektrum, die Fransen aber bleiben sichtbar, solange er innerhalb des einigermaßen intensiven Teils des Spektrums bleibt."

J. Holtsmark.

R. de Mallemann. Recherches expérimentales et théoriques sur la biréfringence électromagnétique des corps actifs. Ann. de phys. (10) 2, 5-237, 1924, Juli/Aug. Verf. zeigt, daß die gewöhnlich verfolgte Methode der Messung der Doppelbrechung elektromagnetisch inaktiver Körper im allgemeinen auf optisch aktive Körper nicht anwendbar war. Er unterscheidet zwischen wahrer und scheinbarer Doppelbrechung, wohei er unter scheinbarer den Wert versteht, der direkt in Abzug gebracht wird von dem Maß der Elliptizität der hervortretenden Schwingungen. Die Entwicklung der Darstellung der elliptischen Schwingungen erlaubt es, die allgemein notwendigen Formeln einfach festzulegen. Verf. unterscheidet zwei Hauptmessungen zur Bestimmung der Kerrkonstanten: eine elektrische Methode, welche das elektrische Feld hervorrufen soll, und eine optische, zur Messung der Elemente einer elliptischen Schwingung. Die elektrische Messung erfolgte nach der Methode von Pauthenier (Thèse, Paris 1920; Ann. de phys. 14, 239, 1920). Es wurden unter den verschiedenen Bedingungen der Rotation und Doppelbrechung untersucht Pinen, d-Weinsäureäthyläther, Carvon und Kampfer, und Verf. beweist, daß die wahre Doppelbrechung sehr wahrscheinlich eine spezifische Konstante des Körpers selbst ist. Auch zeigt er, daß die Doppelbrechung eines optisch aktiven Körpers identisch sein kann mit derjenigen des racemischen Gemisches. Dieses rechtfertigt die Schlußfolgerung, daß die beiden optisch Inversen ein und desselben Körpers die gleiche Doppelbrechung mit demselben Vorzeichen besitzen. In gewissen Fällen scheint eine Wechselbeziehung zwischen der Änderung der spezifischen Doppelbrechung und dem Drehungsvermögen eines optisch aktiven Körpers zu bestehen. Dieses bewies besonders die Untersuchung von Äthyltartrat. - Die Anwendung der Vorstellung der "Molekularorientierung" erlaubt es, eine Theorie der Rotationspolarisation und der elektromagnetischen Doppelbrechung aktiver Körper zu entwickeln, unabhängig von jeder besonderen Hypothese; diese Theorie stützt sich einzig und allein auf den Begriff der molekularen Asymmetrie, die als eine experimentelle Tatsache angesehen werden kann. Sie ermöglichte es, das Prinzip der Meßmethode selbst wiederzufinden,

welches die Erfahrung zu rechtfertigen scheint. Verf. legt den Gültigkeitsbereich dieses Prinzips und der Gleichungen von Airy-Gouy (Journ. de phys. 1885, S. 149) fest. Er weist noch darauf hin, daß die Theorie der "molekularen Orientierung" gezeigt hat, daß man bei stark anisotropen Molekülen und starken Feldern die Unterschiede beachten muß, die durch die Anisotropie der Fähigkeit, selbst das polarisierte Licht abzulenken, entstehen. So drücken sich z. B. diese Unterschiede in den Meßergebnissen des Carvons aus.

L. S. Ornstein. Anisotropie der flüssigen Kristalle bezüglich ihrer Dielektrizitätskonstanten und ihrer elektrischen Leitfähigkeit. Beitrag zur Theorie der flüssigen Kristalle. Ann. d. Phys. (4) 74, 445—457, 1924, Nr. 13. [S. 1744.]

PRZIBRAM.

Maurice L. Huggins. A graphical method for the utilization of rotation spectra in crystal structure determination. Berichtigung. Phys. Rev. (2) 24, 96, 1924, Nr. 1. [S. 1709.] Schwerdt.

A. Brill. Die Strahlung der Sterne. Ergebnisse der exakten Naturwissenschaften. Herausgegeben von der Schriftleitung der "Naturwissenschaften". Dritter Band, S. 1—37. Berlin, Verlag von Julius Springer, 1924.

Holjer Witt. Strahlungsmessungen im fernen Ultrarot und Beiträge zur Kenntnis des Absorptionsspektrums des Wasserdampfes. 47 S. Diss. Lund, 1924. Verf. beschreibt einige von ihm gebaute Radiomikrometer, Bolometer und Thermosäulen von höchster Empfindlichkeit. Letztere (aus dünnen Wismut- und Wismut-Zinn-Drähten [Coblentz, Phys. Rev. 3, 59, 1914]) sollen die Empfindlichkeit des Radiomikrometers mindestens erreichen. Mit der Thermosäule und einem Spektrometer des Rowlandschen Typs mit Reflexionsgitter, das die Nachteile eines Drahtgitters im Ultrarot vermeidet, wird das Spektrum eines elektrisch geglühten Strahlers im Wellenlängengebiet zwischen 50 und 180 μ untersucht, das in Zimmerluft zwölf Absorptionsminima aufweist, die wohl bis auf eins dem Rotationsspektrum des Wasserdampfes zuzuschreiben sind. — Die beobachteten Absorptionswellenlängen lassen sich als Spektrum mit äquidistanten Schwingungszahlen darstellen, wenn man die in der Tabelle angegebenen Trägheitsmomente für das Wasserdampfmolekül verwendet (m = Quantenzahlen).

m	Berechnet mit $J = 3,28.10-40$	m	Berechnet mit $J = 2,25.10-40$	m	Berechnet mit $J = 0.97 \cdot 10^{-40}$	Beobachtet von Witt
4	169,7	4	163,0		•	107
	1 .	. **	103,0	-		167
5	132,0		4 manual		-	131,8
-		5	116,4	2	117,1	116,8
6	108,0			all programme and the state of	matrix	108,9
7	91,4	6	90,5		Annables	90,9
8	79,2		-	-		79,3
	******	7	74,1	<u> </u>		74,5
9	69,9		weelings	3	70,3	69,6
10	62,5	8	62,7		ndmetts	63,7
11	56,6					56,6
12	51,7	9	54,3		man, re	52,5
		-	-	4	50,2	(50)

Nicht darzustellen ist die zwölfte beobachtete Absorptionslinie bei 99,5 μ . Aus dem kurz-(welligen Rotationsschwingungsspektrum (Sleator) lassen sich die Trägheitsmomente 0,97.10-40, 2,25.10-40 und 3,2.10-40 ableiten. Die Übereinstimmung ist gut. - Im •Wellenlängengebiet zwischen 6500 und 9000 Å.-E. sınd eine große Anzahl Absorptionsinien bekannt, die ebenfalls dem Wasserdampf zuzuschreiben sind und die sich, wie Verf. zeigt, in mehrere Serien ordnen lassen. Bezüglich der hierfür aufgestellten [Tabellen muß auf die Dissertation verwiesen werden. REINKOBER.

Charles F. Meyer and Detlev W. Bronk. The structure of the absorption pands of certain organic gases and vapors in the near infra-red. Phys. Rev. (2) 21, 712-713, 1923, Nr. 6. Organische Substanzen haben ultrarote Eigenrequenzen besonders häufig in der Gegend von 2,4 \mu, 3,3 \mu, 7,0 \mu. Bei stärkerer Aufösung zeigen die Banden Feinstruktur. Verf. beobachtet im 3 μ-Gebiet:

Äthylen (C₂ H₄) μ 3,1970 3,2412 3,3169 3,3722 (Intensität angenähert gleich), $(C_6 H_6) \dots \mu 3,2331 3,2784 3,3722$ (Unterstr. λ größte Intensität) Athyläther $(C_2 H_5)_2 O$. μ 3,3513 $\overline{3,4802}$ (Intensität angenähert gleich), und 3,3972 (Intensität geringer), Äthylalkohol (C₂ H₅ O H) μ 3,3571 3,45 (Unterstr. λ größte Intensität).

REINKOBER.

Walter F. Colby and Charles F. Meyer. On the Absorption Spectrum of HCl. Phys. Rev. 17, 268, 1921, Nr. 2. Wiederholung der Absorptionsmessungen von mes (Astrophys. Journ. 48, 125, 1918) im Gebiet zwischen 3,47 und 3,16 μ mit doppelt so großer Dispersion. Eine über die Resultate von Imes hinausgehende Feinstruktur der Absorptionsbanden ist nicht zu bemerken. Die Wellenlängen der sinzelnen Linien zeigen zum Teil geringe Abweichungen gegenüber den Messungen von mes. Sie lassen sich darstellen durch die Formel: $\nu=28,869+208,7$. n-3,52 n^2 .

P. Wallerath. Beitrag zur Erweiterung und Verbesserung des Systems ekundärer Wellenlängennormalen. Ann. d. Phys. (4) 75, 37-74, 1924, Nr. 17. Die International Astronomical Union hatte in ihren letzten Tagungen einige von rüher abweichende Vereinbarungen über die Erzeugungsbedingungen der Wellenängennormalen getroffen und bestimmte Vorschläge gemacht, das System der Nornalen zu verbessern und Lücken auszufüllen. Um auch deutscherseits die Arbeit nier nicht ruhen zu lassen, wurden vom Verf. Messungen im Rahmen dieses vorreschlagenen Arbeitsprogramms vorgenommen. Zwecks besserer Beurteilung der Zuverlässigkeit der Messungen wird zunächst die Apparatur ausführlich beschrieben, lie in ihren wesentlichen Teilen aus einem Fabry-Perotschen Interferometer mit lingdicken von 2 und 11 mm, einer Quarzflußspatoptik und einer stigmatischen Gitterufstellung (4-m-Konkavgitter und Hohlspiegel) besteht. Ferner werden die Lichtquellen (Pfundeisenbogen, Quarzcadmiumdampflampe und Neongleichstromlampe von ehr großer Intensität), das Versilberungsverfahren der Interferometerplatten und die hotographische Technik eingehend behandelt, auch der Diskussion der verschiedenen Korrektionen (Phasensprung, Dispersion der Luft) und dem Berechnungsverfahren ist in besonderes Kapitel gewidmet. Messungen wurden nun an insgesamt 70 Linien lurchgeführt, welche dem Spektralbereich λλ 3466 bis 7544 angehören. Zunächst vurden 30 stabile Fe-Linien der Region λλ 3558 bis 5341 Å.-E. aus der Liste bisheriger ertiärer Normalen an Cd 6438 angeschlossen, welche der Wellenlängenausschuß des Kongresses zur Ausfüllung der Lücken vorgeschlagen hatte. Neben acht Wellenängen des Cadmiumvakuumbogens der Gegend AA 3466 bis 5086 sind noch 32 Neoninien der Spektralregion AA 5852 bis 7544 mit der roten Cadmiumlinie verglichen

worden. Eine eingehende Diskussion der Resultate und Vergleich mit früheren Messungen, soweit diese in Betracht kamen, ergab eine recht befriedigende Übereinstimmung. (Die Arbeit von Meggers, Burns und Kiess, diese Ber. S. 1361, erschien nachträglich und konnte nicht mehr berücksichtigt werden; auch hier zeigen diese Messungen gegenüber denjenigen des Verf. eine systematische Verschiebung von durchschnittlich — 0,002 Å.-E. D. Ref.)

Harold D. Babcock. Secondary standards of wave-length. Phys. Rev. (2) 24, 205, 1924, Nr. 2. (Kurzer Sitzungsbericht). Kurze Inhaltsangabe der in diesen Ber. S. 1361 referierten ausführlichen Arbeit.

Percy Lowe and D. C. Rose. Intensities in the argon spectrum. Phys. Rev. (2) 23, 770, 1924, Nr. 6. (Kurzer Sitzungsbericht.) Mit Hilfe eines Graukeiles werden quantitative Messungen der Intensitätsänderung von 50 Argonlinien gemacht, wenn diese durch Elektronenstöße bei Spannungen zwischen 24 und 140 Volt angeregt werden. Die Linien lassen sich in zwei Gruppen einteilen, die in der Hauptsache dem blauen und roten Spektrum entsprechen. Die Linien des blauen Spektrums erscheinen bei etwas über 40 Volt, nehmen bis 65 Volt stark an Intensität zu, dann wieder etwas ab und bleiben bei höheren Spannungen nahezu konstant. Beim roten Spektrum nehmen einige Linien über 30 Volt ständig an Intensität zu, während andere Linien praktisch konstant bleiben. Wellenlängenangaben enthält dieser Bericht nicht.

- M. Duffieux. Sur l'origine du premier et du second groupe positif du spectre de bandes de l'azote. C.R.178, 1966-1968, 1924, Nr.24. Verf. ist der Meinung, daß die erste positive Stickstoffgruppe durch Stickstoffmoleküle, die zweite Gruppe jedoch durch Atome emittiert wird. Er stützt sich dabei auf seine Deutung der Versuche von Fowler und Strutt über aktiven Stickstoff, aus denen hervorgeht, daß beide Gruppen verschiedenen Anregungsbedingungen unterworfen sind, und will sie durch eigene Versuche weiter befestigen. Verf. läßt deshalb durch eine 40 cm lange Röhre Stickoxyd und Stickstoffdioxyd mit einer Geschwindigkeit von etwa 2 m/sec strömen und beobachtet die Entladung von 4000 Volt Wechselstrom. Bei Eintritt des Gases in die Röhre erscheinen zunächst nur Banden der zweiten positiven Gruppe neben den charakteristischen Banden des Stickoxyds, erst später am Ende der Röhre tritt auch die erste Gruppe in Erscheinung. Das gelbe Fluoreszenzlicht des nachleuchtenden Stickstoffs wird längs der ganzen Röhre beobachtet. Durch den Zerfall des Stickoxyds in Atome soll nun die zweite Gruppe, durch Wiedervereinigung derselben zu Molekülen am Ende der Röhre aber die erste Gruppe emittiert werden. Ähnliche Erscheinungen, nur intensiver, werden bei Stickstoffdioxyd beobachtet. MECKE.
- I. S. Bowen and R. A. Millikan. The Fine Structure of the Nitrogen, Oxygen, and Fluorine Lines in the Extreme Ultraviolet. Phil. Mag. (6) 48, 259—264, 1924, Nr. 284. Während die bisherigen Untersuchungen der Verff. die Aufstellung eines möglichst vollständigen Linienkataloges dieses Spektralbereiches bezweckten, wird jetzt der Hauptwert auf möglichst genaue Wellenlängenbestimmung zur Schaffung geeigneter Normalen und auf gute Auflösung der Feinstruktur der Linien gelegt. Die Methode ist dieselbe geblieben, doch gestattete ein besonders guter 1-m-Konkavgitter jetzt Aufnahmen bis zur 10. Ordnung, was bei starker Auflösung eine Genauigkeit von etwa 0,01 Å-E. gewährleistete. Im Wellenlängenbereich $\lambda\lambda$ 1500 bis 500 werden dann die Feinstrukturen von Linien des Sauerstoffs, Stickstoffs und Fluors mitgeteilt. Hierbei zeigte es sich, daß die Liniengruppe des Sauerstoffs be

 λ 833 aus sieben Komponenten, die des Stickstoffs bei λ 1085 aus vier Komponenten besteht, so daß beide Liniengruppen nicht, wie früher vermutet wurde, den vollständig ionisierten Atomen N (V) und O (VI) zugeschrieben werden können. Auch ist beim Kohlenstoff dem C (IV) nicht das Dublett λ 1335, sondern dasjenige bei λ 1550 zuzuordnen, was vollkommen in die Serie der vollständig ionisierten Atome Li (I), Be (II), B (III), C (IV) hineinpaßt. Die Aufspaltungen der Dublettkomponenten gehorchen dabei

dem Gesetze der regulären Röntgendubletts $\frac{\varDelta \, \nu}{(Z-2)^4} = const. \sim 0,42.$ Mecke.

Max Moraud. Spectres du lithium. Journ. dephys. et le Radium (6) 5, 96 S-100 S, 1924, Nr. 6. (Bull. Soc. Franç. de Phys., Nr. 204.) Durch Aufprall positiver Lithiumstrahlen auf die Kathode entsteht das folgende neue Linienspektrum, welches Verf. in der angegebenen Weise deutet:

2 1 1	2	I		2	I	
7600 1 Li II 2 S			Li III	3756	0	Li I 2S-5p
5488 3 " I 2 p -	4244	$\begin{vmatrix} 0 \\ 1 \end{vmatrix}$, I 2p-4d	3713 3677	0	" I $1s-2p$
4814 2 " I 2 p · 4678 1 " II 3 d ·		0		3653 293 4, 5	0	, I 2 p - 6 d
4664 1 , II 4542 1	4053 3841	1	", I $2p-4s$ ", I $2p-5d$	2933,85 ³ 2808	3	", II $2s-2p$
4534 1	3818	00	" 1 2p - 5 w	2525 2498	0	Bor?

Bei der geringen Intensität der Linien beträgt die Meßgenauigkeit nur 1 bis 2 Å.-E. λ 4501 mit der Deutung $\nu=9\,R\left(\frac{1}{4^2}-\frac{1}{5^2}\right)$ ist die einzige für Li III in Betracht kommende Linie. Den beiden Spektren des Heliums entsprechend glaubt Verf. auch beim neutralen Lithium ein Ortho- und ein Paraspektrum annehmen zu müssen und schreibt die oben angegebenen acht Linien dem Bogenspektrum des neutralen Ortholithiums zu. Ebenso glaubt er einige bisher nicht eingeordnete Linien (β_3) der K-Serie von Mg, Al, Si, P, S auf diese Weise deuten zu können, da sie im $\sqrt{\nu/R}$ -Diagramm

C. B. Bazzoni and J. T. Lay. The 23 volt arc in helium. Phys. Rev. (2) 23, 769, 1924, Nr. 6. (Kurzer Sitzungsbericht.) [S. 1757.]

PRZIBRAM.

mit der entsprechenden Lithiumlinie auf einem Kurvenzug liegen.

G. E. M. Jauncey. Theory of the width of the modified lines in the Compton effect. Phys. Rev. (2) 24, 204—205, 1924, Nr. 2. (Kurzer Sitzungsbericht.) [S. 1714.]

A. Pontremoli. Un nuovo effetto del campo magnetico sulla scarica dei gas rarefatti. Lincei Rend. (5) 32 [2], 158-161, 1923, Nr. 5/6. [S. 1751.] PRZIBRAM.

P. Bovis. Sur le spectre d'absorption du brome. C. R. 178, 1964—1966, 1924, Nr. 24. In der Arbeit werden die Absorptionskoeffizienten des flüssigen Broms im Spektralbereich $\lambda\lambda$ 5400 bis 3800 mitgeteilt. Das Maximum der Absorption liegt bei λ 4170 mit einem Absorptionskoeffizienten von 0,673 für $1\,\mu$ Schichtdicke. Die Messungen stoßen aber insofern auf Schwierigkeiten, als bei der starken Absorption nur Schichtdicken von einigen μ Dicke verwandt werden können. Das flüssige Brom

befand sich deshalb auch als dünne Schicht zwischen zwei Quarzplatten, deren Abstand aus der Lage von Interferenzstreifen im Spektrum einer weißen Lichtquelle bestimmt werden mußte. Die Absorptionskoeffizienten selbst wurden photographisch gemessen, wobei die Schwärzungskurven durch Vergleichsaufnahmen festgelegt wurden, bei denen das Licht durch Nicols meßbar abgeschwächt werden konnte. Im Grünen unterstützte noch ein Spektralphotometer die photographischen Messungen. Ein Vergleich mit der Absorption des Bromdampfes zeigt, daß die Lage des Maximums erhalten bleibt, daß aber flüssiges Brom pro Molekül etwa doppelt so stark absorbiert wie Bromdampf.

John A. Eldridge. The spectrum of mercury below the ionization potential. Phys. Rev. (2) 23, 685-692, 1924, Nr. 6. Wird Quecksilberdampf durch Elektronenstöße unterhalb des Ionisierungspotentials von 10,4 Volt angeregt, so hatten frühere Versuche gezeigt, daß dann nur die beiden Linien 1S-2p2 und 1S-2P emittiert wurden, obwohl nach der Bohrschen Theorie noch eine ganze Reihe anderer Linien erscheinen sollten, sobald nur ihre Anregungsspannungen erreicht waren. Es konnte nun gezeigt werden, daß das Mißlingen dieser Versuche auf das Auftreten von Raumladungen zurückzuführen ist, die die Stoßenergie des Elektrons herabsetzen. Nur in unmittelbarer Nähe der Anode kommt die volle Spannung zur Wirkung und nur diesen Teil bildet Verf. auf den Spalt seines Quarzspektrographen ab. Dann entwickelt sich aber das Spektrum bei anwachsender Spannung ganz nach den Aussagen der Theorie. Innerhalb des dem Spektrographen zugänglichen Spektralbereiches erscheint bei 7 Volt nur die Linie 1 S - 2 p2, bei 8,4 Volt jedoch werden vier neue Linien emittiert, die durch Rückkehr des Elektrons vom 2S- und 2s-Niveau entstehen, bei 8,9 Volt liefern die $3d_1$ -, $3d_2$ -, $3d_3$ -, 3D-Niveaus acht weitere Linien, bei 9,9 Volt kommen 16 Linien neu hinzu, während das ganze Spektrum erst bei 10,4 Volt erscheint. MECKE.

H. Nagaoka and Y. Sugiura. Spectroscopic Evidence of Isotopic Elements. Nature 113, 532—534, 1924, Nr. 2841. Einen großen Teil der bisher nicht in Serien eingeordneten Linien wollen die Verff. als Isotopieeffekt deuten, indem sie annehmen, daß bei der Emission dieser Linien zwei Atome quasi-elastisch miteinander verbunden sind und Oszillationsschwingungen um eine Ruhelage ausführen. Sind m_1 und m_2 die beiden

Atomgewichte, so berechnet sich die Aufspaltung zu $\Delta \lambda = \left(1 - \sqrt{\frac{m_1 + m_2}{2 \, m_2}}\right) \lambda_2$. Eine Reihe von Beispielen soll die gute Übereinstimmung dieser Annahmen mit den

Beobachtungen zeigen (vgl. hierzu R. Mulliken, diese Ber. S. 1514), wobei allerdings auch eine ganze Reihe von bereits in Serien eingeordneten Linien anders als bisher gedeutet werden müssen. Umgekehrt wollen Verff. dann auch aus gemessenen Aufspaltungen auf noch unbekannte Isotope schließen.

E. C. Bleeker und I. A. Bongers. Intensitätsmessungen in Flammenspektra ZS. f. Phys. 27, 195—202, 1924, Nr. 3. In Flammen von sehr verschiedener Temperatur wurde das Intensitätsverhältnis von mehreren Linien der diffusen und scharfen Nebenserie von Rubidium und Cäsium gemessen. Die Intensitätsverteilung wird nach der im Utrechter Institut entwickelten Methode (diese Ber. S. 554) bestimmt, wobei der Meßbereich zunächst auf das Wellenlängengebiet 6500 bis 4400 Å.-E. beschränkt bleibt. Untersucht werden die Spektra der alkalischen Metallchloride im Bunsenbrenner, im Leuchtgas-Luftgebläse und im Leuchtgas-Sauerstoffgebläse, wobei sich zeigte, daß das Verhältnis der Intensitäten einer Serie unabhängig von der Konzentration der in die Flamme gebrachten Metallsalze und unabhängig von der Temperatur der Flamme ist.

Auch das Intensitätsverhältnis 1:2 der Dublettkomponenten bleibt gewahrt. Zum Schlusse werden noch die Verhältnisse $g_{m,d}:g_{m',d}$ der Wahrscheinlichkeiten a priori verschiedener md-Niveaus angegeben, und zwar bei Rubidium von 5d bis 9d, bei Cäsium von 6d bis 12d.

Robert S. Mulliken. The excitation of the spectra of the copper halides by active nitrogen, and the application of the isotope effect to the interpretation of band spectra. Phys. Rev. (2) 23, 767—768. 1924, Nr. 6. (Kurzer Sitzungsbericht.) [S. 1734.]

G. Laski. Ultrarotforschung. Ergebnisse der exakten Naturwissenschaften.
 Herausgegeben von der Schriftleitung der "Naturwissenschaften". Dritter Band,
 S. 86-115. Berlin, Verlag von Julius Springer, 1924.

G. H. Dieke. Bandenspectra. Physica 4, 193—218, 1924, Nr. 7. Verf. gibt einen Bericht über unsere heutige Kenntnis von der Struktur der Bandenspektren. Kratzer.

William W. Watson. The band spectrum of water-vapor. Phys. Rev. (2) 23, 768, 1924, Nr. 6. (Kurzer Sitzungsbericht.) Die sogenannten Wasserdampfbanden (3064 Å) werden dem Hydroxylion zugeschrieben. Zu ihrer Entstehung ist die Anwesenheit von Wasserstoff und Sauerstoff notwendig, und es gelingt nicht, bei elektrodenloser Entladung in Wasserdampf die Banden zu erzeugen, ohne gleichzeitig die Balmerserie mit zu bekommen, was auf eine Dissoziation von H₂O in OH und H schließen läßt. Die Bande 2811 Å wurde ausgemessen und die Linien in Zweige eingeordnet. Es ergeben sich Abweichungen von der Quantentheorie der Banden in ihrer einfachsten Form. Es sollen zwei OH-Moleküle auftreten mit sieben und mit acht Elektronen.

K. T. Compton and Louis A. Turner. The Band Spectrum of Mercury and the Dissociation of Hydrogen Molecules by Excited Mercury Atoms. Phil. Mag. (6) 48, 360-363, 1924, Nr. 284. Kurzer Sitzungsbericht in Phys. Rev. (2) 23, 768, 1924, Nr. 6. Die Quecksilberbanden bei 4219, 4017 und 3728 Å wurden vom Ref. und von R. S. Mulliken einer Verbindung HgH zugeschrieben. Die Verff. bestätigen dies experimentell, indem sie in einer Geisslerröhre ein Gemisch von Quecksilberdampf (0,3 mm Hg Druck) und Wasserstoff (0,16 mm und weniger) zum Leuchten bringen. Bei dem angegebenen Wasserstoffpartialdruck ist das Bandenspektrum sehr stark gegen die Quecksilberlinien und verschwindet, wenn der Wasserstoff ausgepumpt wird. Die Intensität ist ungefähr zum Wasserstoffpartialdruck proportional. Nach Mc Curdy ist die positive Säule gleichmäßig, wenn der Quecksilberdampf sehr rein ist, geschichtet, wenn er Verunreinigungen enthält. Die breiten Schichten sollen angeregte Atome im Zustande 2 p aufweisen, und der Wasserstoff hat die Funktion, die Diffusion dieser angeregten Atome zu verhindern durch Stöße zweiter Art zwischen angeregten Atomen und Wasserstoffmolekülen. Tatsächlich absorbieren die breiten Schichten die Linien 2p-2s der Nebenserie stärker als die dunkeln Schichten. Auch das Bandenspektrum wird von den breiten Schichten emittiert. Die Verff. deuten dies so, daß beim Zusammenstoß eines angeregten Hg-Atoms mit einem Wasserstoffmolekül ein H-Atom frei wird und ein angeregtes Hg H-Molekül sich bildet. Erst dieses zerfällt in ein Hg- und H-Atom. Der Versuch die Banden optisch anzuregen durch Absorption von 2536 (Herstellung von $2p_2$) in einer Quecksilber-KRATZER. Wasserstoffmischung ist nicht gelungen.

Robert S. Mulliken. A band of unusual structure probably due to a highly unstable calcium hydride molecule. Phys. Rev. (2) 23, 768-769, 1924, Nr. 6.

(Kurzer Sitzungsbericht.) Der Calciumbogen liefert in Wasserstoff von geringem Druck ein mit den Calciumlinien verbundenes Bandenspektrum, das einer Verbindung eines angeregten Calciumatoms mit H zugeschrieben wird. Die Größe der Linienabstände läßt auf Ca H schließen. Das Spektrum hat nur wenig Linien, was der Verf. darauf zurückführt, daß das Molekül eine bestimmte (niedrige) Grenze der Rotationsgeschwindigkeit nicht überschreiten kann, ohne durch die Zentrifugalkraft zertrümmert zu werden.

Yutaka Takahashi. Band Spectra and Molecular Structure. Jap. Journ. of Phys. 2, 95-110, 1923, Nr. 3/5. Unter der Annahme, daß die Kerne im Molekül nach dem Kraftgesetz $f(l-a)/l^3$ (l Kernabstand, a Kernabstand in der Gleichgewichtslage) gebunden sind, hat der Verf. früher den Rotations- und Schwingungsanteil eines zweiatomigen Moleküls berechnet. Die Anwendung auf das Jodresonanzspektrum gestattet die Berechnung des Trägheitsmoments. Die Banden von CaF2 und SrF2, sowie von Be F2 und Mg F2, erweisen sich als paarweise ähnlich, was mit dem gleichen bzw. verschiedenen Elektronenbau des Atoms in Verbindung gebracht wird. Die Heliumbandenköpfe werden in Erweiterung und teilweiser Abänderung der Fowleschen Zuordnung durch Rydberg-Ritzterme zusammengefaßt. Im Viellinienspektrum des Wasserstoffs werden die Fulcherbanden als Nullzweige aufgefaßt und in zwei Gruppen geteilt, von denen die eine zum Sprunge + 1, die andere zum Sprunge - 1 der Oszillationsquantenzahl gehören soll. Bei dieser Deutung wird das Trägheitsmoment 2.10⁻⁴⁰. Von der Theorie des Verf. geforderte Konstantenbeziehungen sind nicht erfüllt. KRATZER.

L. Vegard. Sur la constitution des couches supérieures de l'atmosphère. C. R. 176, 1488-1491, 1923, Nr. 21. Der Inhalt der vorliegenden Arbeit ist im wesentlichen in die große Abhandlung "The Constitution of the Upper Strata of the Atmosphere" [Phil. Mag. (6) 46, 577-604, 1923, Nr. 274, Okt.; siehe diese Ber. S. 200] aufgenommen. - Es handelt sich im ersten Teil darum, daß das durch die Untersuchung der Nordlichtspektra nachgewiesene Prävalieren des Stickstoffs in den höchsten Schichten der Atmosphäre mit der normalen Barometerformel nicht in Einklang zu bringen ist, wenn der Stickstoff in gasförmiger Gestalt angenommen wird. Die Barometerformel muß durch ein elektrische Kräfte berücksichtigendes Glied ergänzt werden. Da der Verf. zu der Überzeugung gelangt, daß die Annahme des gasigen Aggregatzustandes von N mit den übrigen Beobachtungstatsachen nicht in Einklang zu bringen ist, wird der Weg einer Barometerformel mit einem Zusatzglied, das auf elektrische Kräfte Rücksicht nimmt, die der Schwere entgegenwirken, verlassen. Der Verf. geht dann zu seiner endgültigen Annahme kristalliner Stickstoff-Molekül-Aggregate über. Es werden dann eine Reihe von Konklusionen aus der Anwesenheit der Stickstoffstaubatmosphäre gezogen, die aus dem oben zitierten Referat bekannt sind. CONRAD-Wien.

C. D. Ellis. The Interpretation of β -ray and γ -ray spectra. Proc. Cambr. Phil. Soc. 21, 121—128, 1922, Nr. 2. [S. 1766.]

D. Coster. Über die Absorptionsspektren im Röntgengebiet. ZS.f. Phys. 25, 83-98, 1924, Nr. 2. Mit einem Siegbahnschen Vakuumspektrographen wurde die Feinstruktur der K-Absorptionskanten von Ti, V, Cr, Mn und der $L_{\rm ttt}$ -Kanten von Sn, Sb, Te, J in Abhängigkeit von der chemischen Bindung untersucht. Es ergibt sich: Die Hauptkante rückt mit wachsender Oxydationsstufe des Elementes nach kürzeren Wellen; gleiches ergaben die früheren Messungen von Lindh für die K-Kanten von

P, S, Cl. Auf der langwelligen Seite der Hauptkante findet sich eine helle Absorptionslinie, jedoch nur bei höherer Wertigkeit des Elementes. Auf der kurzwelligen Seite sind schwache Schwärzungsänderungen festgestellt, deren Maximum als "dunkle Linie" angegeben wird. - Zur Erklärung der Verschiebung der Hauptkante wird angenommen, daß sie gerade die Arbeit zur Überführung eines Elektrons aus dem K- bzw. L_{mf} -Niveau ins Unendliche angibt; diese Arbeit ist um so größer, je mehr die äußere Elektronenhülle des Atoms im Molekülverband - durch Einwirkung der anderen Atome - aufgelockert wird. So ist auch (nach Lindh) die Kante des roten Phosphors härter als die des weißen, wegen der größeren Dichte des ersteren. Die anomale Absorptionslinie entspricht einem Übergang in eine Quantenbahn, die noch innerhalb des Atoms oder Atomverbandes liegt. Daß sie nur bei höherer Wertigkeit gefunden wurde, dürfte mit den geringen in Frage kommenden Energiedifferenzen zusammenhängen. Die Struktur an der kurzwelligen Seite deutet darauf hin, daß das Atom - neben der Loslösung eines Elektrons im eigentlichen Photoeffekt - auch größere Energiequanten als das der Hauptkante entsprechende aufnehmen kann. - Die besten Niveauwerte erhält man aus reinen Elementen oder niedrigwertigen Verbindungen; die hier gemessenen dürften von denen der freien Atome um höchstens einige Zehntel Rydbergfrequenzen abweichen. — Ein Zusammenhang der anomalen Absorptionslinien mit den anomalen Emissionslinien konnte nicht festgestellt werden. Kulenkampff.

Arthur H. Compton. A general quantum theory of the wave-length of scattered x-rays. Phys. Rev. (2) 24, 168-176, 1924, Nr. 2. [S. 1714.] KULENKAMPFF.

Erik Bäcklin. Notiz über die Erregung der sogenannten Funkenlinien in der K-Reihe der Röntgenspektren und die Theorie von Wentzel. ZS. f. Phys. 27, 30—31, 1924, Nr. 1. Aufnahmen, die im Siegbahnschen Institut mit einem Vakuumspektrographen gewonnen wurden, zeigen, daß die Linie α_4 der K-Serie von Al bereits bei 2,9 kV vorhanden ist. Nach Wentzel entspricht diese Linie einer zweifachen Ionisation der K-Schale und ihre Anregungsspannung sollte demnach höher, bei 3,1 kV, liegen. Bei einer Aufnahme mit 3,1 kV sind auch die Linien α_5 und α_6 bereits vorhanden, die ebenfalls als Funkenlinien anzusprechen sind. Verf. glaubt, daß keine dieser Linien einer Doppelionisation der K-Schale entsprechen kann und die Wentzelsche Theorie also einer Änderung bedürfe. — Die genauen Werte der Anregungsspannungen konnten wegen zu geringer Intensität der Linien nicht bestimmt werden.

R. Minkowski und H. Sponer. Über den Durchgang von Elektronen durch Atome. Ergebnisse der exakten Naturwissenschaften. Herausgegeben von der Schriftleitung der "Naturwissenschaften". Dritter Band, S. 67-85. Berlin, Verlag von Julius Springer, 1924.

Hanns Jung. Über elektrodenlose Ringentladung. Ann. d. Phys. (4) 75, 201—211, 1924, Nr. 18. [S. 1755.] v. Angerer.

K. T. Compton. Some Properties of Resonance Radiation and Excited Atoms. Phil. Mag. (6) 45, 750-760, 1923, Nr. 268, April. Wird die von einem Atom in einem Gas ausgesandte Resonanzstrahlung von einem Nachbaratom wieder adsorbiert und nach der Zeit τ wieder emittiert, so läßt sich die Wanderung der Resonanzstrahlung als Diffusionsproblem behandeln, wenn man die freie Weglänge durch das Reziproke des Absorptionskoeffizienten α ersetzt. Für den Fall eines zylindrischen Glühdrahtes mit einer konzentrischen zylindrischen Anode wird dann die Zahl der angeregten Atome berechnet, die sich unter Berücksichtigung der multiplen Resonanz

im Gase befinden, unter der Annahme, daß die anregenden Zusammenstöße nur in einer bestimmten Zone stattfinden. Diese Zahl hängt von dem Produkt $\alpha^2 \tau$ ab. Weder für α noch für τ liegen ausreichende Messungen für geeignete Fälle vor. Es wird gezeigt, daß man die Ergebnisse von Kannenstine am intermittierenden Bogen in He bei Zugrundelegung der abgeleiteten Formel mit plausiblen Werten für α und τ unter der Annahme interpretieren kann, es handle sich um die Wirkung multipler Resonanz und nicht um einen Effekt, der einem metastabilen Atom zuzuschreiben ist. Minkowski.

M. N. Saha and N. K. Sur. On an Active Modification of Nitrogen. Phil. Mag. (6) 48, 421-428, 1924, Nr. 285. Es wird versucht zu zeigen, daß die Beobachtungen von Lord Rayleigh (J. Strutt) über aktiven Stickstoff erklärt werden können, wenn man annimmt, daß der aktive Stickstoff aus angeregten N2-Molekülen mit einer Energie von 8,2 bis 8,5 Volt besteht. Die im Nachleuchten beobachteten Banden sind die positiven Stickstoffbanden, die nach den Untersuchungen von Wien dem N₂-Molekül angehören; sie werden Übergängen zwischen angeregten Zuständen des Moleküls zugeschrieben. Wenn fremde Gase oder Dämpfe anwesend sind, soll durch Stöße zweiter Art eine Energieübertragung auf diese stattfinden. In Übereinstimmung mit dieser Annahme befinden sich die Tatsachen, daß aktiver Stickstoff bei Einwirkung auf Na-Dampf auch die Nebenserien hervorruft, während im Quecksilber die Linien 2 P-3 d und 2 P-3 d'a nicht mehr erscheinen, zu deren Anregung 9,4 Volt erforderlich sind. In Mg (Ionisierungsspannung 7,65 Volt) treten zahlreiche Bogenlinien auf. H2 und Edelgase rufen nur eine Schwächung des Leuchtens hervor. Das ist im Einklang damit, daß die kleinsten Anregungsenergien dieser Gase größer als 8 bis 9 Volt sind. Andererseits erregt angeregtes He mit einer Energie von 19,7 Volt das Nachleuchten, wenn es auf unangeregten Stickstoff einwirkt. Eine Schwierigkeit bietet sich der vorgeschlagenen Erklärung darin, daß in reinstem Stickstoff das Nachleuchten fehlt; ob auch die anderen Zeichen der Aktivierung fehlen, ist nicht untersucht. Es wird versucht, diese Schwierigkeit durch die Annahme zu beseitigen, der angeregte Stickstoff gehe, wenn Zusammenstöße mit fremden Gasen fehlen, direkt in den Normalzustand über; dagegen sollen bei Zusammenstößen mit den Verunreinigungen die angeregten Moleküle zunächst in die Zustände übergeführt werden, die zur Emission der positiven Banden führen. MINKOWSKI.

Elisabeth Kara-Michailova und Hans Pettersson. Mitteilungen aus dem Institut für Radiumforschung. Nr. 164. Über die Messung der relativen Helligkeit von Szintillationen. Wien. Anz. 1924, S. 88-89, Nr. 11. [S. 1733.]

PRZIBRAM.

A. M. Mosharrafa. Half-integral quantum numbers in the theory of the Stark effect and a general hypothesis of fractional quantum numbers. Proc. Roy. Soc. London (A) 105, 641—650, 1924, Nr. 734. Nach der Sommerfeldschen Formulierung der Quantenbedingungen sind die mechanischen Vorgänge in einem atomaren System dann eindeutig bestimmt, wenn ein System von Separationsvariablen vorhanden ist. Beim Wasserstoffatom ohne äußeres Feld sind bei Berücksichtigung der relativistischen Massenveränderlichkeit die Polarkoordinaten die Separationsvariablen. Beim Starkeffekt kann die Massenveränderlichkeit vernachlässigt werden, Separationsvariable sind dann die parabolischen Koordinaten. Im Grenzfalle eines unendlich kleinen äußeren elektrischen Feldes fallen die aus den zwei verschiedenen Separationsvariablen gefundenen Quantenbahnen im allgemeinen nicht zusammen, nur für einzelne besonders einfache Bahnen trifft dies zu, nämlich für diejenigen, die in der Meridian-

ebene (die Feldrichtung durch den Schwerpunkt als Rotationsachse genommen) entweder keinen Drehimpuls haben, also Äquatorialbahnen sind, oder die in der Meridianebene Kreisbahnen sind (Radialimpuls Null). In diesem Falle besteht zwischen den parabolischen Quantenzahlen n_z und n_n einerseits und den polaren Quantenzahlen n_r und n_{θ} in der Meridianebene der Zusammenhang: $2n_{\xi}=2n_{\eta}=n_{r}+n_{\vartheta}$. Sobald die Summe geradzahlig ist, entspricht also der relativistischen Polarquantenbahn eine parabolische Quantenbahn. Ist dagegen die Summe ungeradzahlig, so würden zu einer solchen Bahn halbzahlige parabolische Quantenzahlen gehören. Nach der Adiabatenhypothese sollen nun die Bahnen mit Feld sich stetig aus den feldlosen Bahnen ausbilden; der Verf. vermutet deshalb, daß diese zu halben parabolischen Quantenzahlen gehörenden Bahnen beim Starkeffekt feststellbar sind. Da die relative Intensität dieser Kreis- und Äquatorialbahnen mit zunehmender Gesamtquantenzahl abnimmt, soll nur bei den ersten Gliedern der Balmerserie der Effekt beobachtbar sein. Für $H_{\scriptscriptstyle B}$ werden die aus den halben Quantenzahlen sich errechnenden zusätzlichen Komponenten im Starkeffekt mit den Beobachtungen verglichen und Übereinstimmung festgestellt. Auch für H_a , H_v , H_b werden die theoretischen Komponenten berechnet, doch fehlt die Vergleichsmöglichkeit mit der Erfahrung. Allgemein schlägt der Verf. vor, das Quantenintegral einem Quotienten zweier ganzer Quantenzahlen mal h gleichzusetzen. In diesem Falle würde sich das Prinzip der kleinsten Wirkung in der Mechanik als Grenzfall für unendlich große Quantenzahlen betrachten lassen.

KRATZER

A. M. Mosharrafa. The Stark Effect for Strong Fields. Phil. Mag. (6) 46, 751 —753, 1923, Nr. 275. Der Verf. bestätigt durch Wiederholung von Einzelheiten seiner früheren Rechnungen sein Ergebnis über den theoretischen Starkeffekt zweiter Ordnung. (Vgl. diese Ber. 4, 53, 1923; 5, 569, 1924.) KRATZER.

Paul S. Epstein. The Stark Effect for Strong Magnetic Fields. Phil. Mag. (6) 46, 964, 1923, Nr. 275. Der Verf. weist darauf hin, daß die von ihm in Ann. d. Phys. 51, 184, 1916 abgeleitete Formel für den Starkeffekt mit der von Mosharrafa übereinstimmt. (Vgl. das vorausgehende Ref.)

E. Back. Zur Kenntnis des Zeemaneffekts. Ann. d. Phys. (4) 70, 333-372, 1923, Nr. 5. Scheel.

Fritz von Konek und Alois Loczka. Vorlesungsversuch zur Demonstrierung der chemischen Lichtwirkung. Chem. Ber. 57, 679—680, 1924, Nr. 4. Die Entstehung von Benzylbromid durch Einwirkung von Brom auf Toluol ist von der Belichtung abhängig: bei klarem wolkenlosen Himmel verschwindet jeder Tropfen Brom, den man in das Toluol fallen läßt, unter Entwicklung von Bromwasserstoff; ist der Himmel bedeckt, wenn auch nur von einem zarten Wolkenschleier, so löst sich das Brom, ohne chemisch zu wirken, mit brauner bis rotbrauner Farbe auf. Erwärmt man eine derartige Lösung in der Bunsenflamme oder belichtet man mit einer Glühlampe, so tritt keine Veränderung ein. Bei der Belichtung mit einer Bogenlampe gerät das bromhaltige Toluol sofort in heftige Wallung, das Brom verschwindet und Ströme von Bromwasserstoff entweichen. Es wird ein einfacher Apparat (weites Reagenzglas mit Hahntrichter und Ableitungsrohr für den Bromwasserstoff, die ihn zum Absorptionsgefäß führen) beschrieben.

Osamu Masaki. Sensitizing Action of Heat on Photographic Plates for the Infra-Red Ray. Jap. Journ. of Phys. 2, 163—165, 1923, Nr. 6/10. Verschiedene Sorten photographischer Trockenplatten werden in einer besonderen Kassette auf höhere Temperaturen gebracht und dann belichtet. Dadurch wird die Rotempfindlichkeit so weit gesteigert, daß Ba-, K- und Sonnenlinien bis gegen 10 000 Å.-E. sichtbar werden, besonders bei mäßiger Überbelichtung. Optimale Temperatur 100 bis 110°C, darüber Schleier.

George R. Harrison. The application of ultra-violet photographic photometry to problems of atomic structure. Phys. Rev. (2) 23, 770, 1924, Nr. 6. (Kurzer Sitzungsbericht.) Anwendungen des Korrespondenzprinzips erfordern genauere Methoden zur Bestimmung der Intensität von Spektrallinien. Die vorliegende Arbeit bezweckt einerseits, die Änderung der Intensität mit der Wellenlänge bei den Seriengrenzen der Absorptionsspektren von Alkalimetalldämpfen zu bestimmen und andererseits, Isotope vermittelst ihrer Bodenspektren quantitativ zu untersuchen. Die benutzte Methode ist allgemein anwendbar und verbessert die Meßgenauigkeit im Bereich von 2100 bis 5000 Å.-E. Da über die charakteristischen Eigenschaften der photographischen Emulsionen bei der Belichtung mit Wellenlängen unterhalb 3500 Å.-E. nur wenig bekannt ist, wurden Kurven aufgenommen, welche die Änderung der Schwärzungsdichte mit Wellenlänge, Belichtungszeit und Lichtintensität für zahlreiche Standardemulsionen veranschaulichen. Dreidimensionale "charakteristische Flächen" zeigen die Eigenschaften jeder Emulsion in bezug auf Empfindlichkeit, Härte und Gradation. Ein elektrischer Absorptionsofen ist in den Strahlengang des Sensitometers eingeschaltet. 22 vollständige Spektra wurden auf eine Platte photographiert, wodurch Unregelmäßigkeiten in der Emulsion ausgeschaltet werden konnten. Als konstante Lichtquelle diente ein Cadmiumfunken mit rotierender Elektrode, dessen Intensität durch ein Thermoelement gemessen und durch Drahtnetzblenden sorgfältig einreguliert wurde. Die Resultate sind in zahlreichen Kurven und Tabellen angegeben. ESTERMANN.

Walter Stoess. Über das Messen mit dem Martensschen Photometer und über die Veränderlichkeit photographischer Schwärzungen. ZS. f. wiss. Photogr. 23, 52-61, 1924, Nr. 2. (Photometrische und spektralphotometrische Studien. III. Von K. Schaum.) Zwecks Beantwortung der Frage, ob die Schwärzung, vornehmlich von Schwärzungsnormalen, zeitlich konstant ist oder sich mit äußeren Umständen ändert, wird zunächst die Genauigkeit geprüft, mit der sich Schwärzungen mit Hilfe des Martensschen Photometers einstellen lassen. Dabei ergeben sich interessante Tatsachen bezüglich der "Disposition" der Beobachter. Wiederholte Messungen geschwärzter Plattenstücke ergeben in längeren Zeitintervallen Schwärzungsänderungen, die etwas größer waren als die Meßfehler. Deutliche Schwärzungsänderungen wurden durch Änderung des! Quellungszustandes der Gelatine! erhalten.

J. Eggert und W. Noddack. Neuere Untersuchungen an photographischen Systemen. Verh. d. D. Phys. Ges. (3) 5, 29—32, 1924, Nr. 2. Inhaltsreiches Autoreferat, das im Original nachgelesen werden muß, über 1. Belichtungsvorgänge (latentes Bild, Wirkung von Akzeptoren, Verschieben der spektralen Empfindlichkeit durch Anlagern von bestimmten Ionen, ein Lichtquant erzeugt ein Ag-Atom, ein X-Strahlquant 1000, ein a-Teilchen 50 000 Ag-Atome), 2. Entwicklung (Schwärzung, Schwelle, Schwärzungskurven, deren Form bei Licht und Röntgenstrahlen, Solarisation, Schleier usw.)

Rob. Richter. Eine Methode, die Wirkung afokaler Vorsatzplatten auf die Einstellung photographischer Kameras zu vermindern. ZS. f. Instrkde. 44, 310-315, 1924, Nr. 7. "Wird eine planparallele Glasplatte vor das Objektiv einer

charf eingestellt ist, so geht die Schärfe der Abbildung durch das Davorsetzen der Glasplatte bekanntlich verloren, und um sie wieder zu erhalten, müßte die Kamera on neuem eingestellt werden", was nicht immer möglich ist. Man nimmt an, daß die Unschärfe deutlich sichtbar wird, sobald der Winkel, unter dem der Zerstreuungstreis erscheint, größer wird als eine Winkelminute. Dieser Zustand wird bei planbarallelen und bei gebogenen Vorsatzplatten bei verschiedenen Objektentfernungen erreicht, worüber Tabellen und eine Kurvendarstellung Aufschluß geben. Knipping.

Sinclair Smith. A new type of spectrograph. Phys. Rev. (2) 24, 206, 1924, Vr. 2. (Kurzer Sitzungsbericht.) "Ein neuer Typ eines Spektrographen wird bechrieben, der die Veränderungen der Spektrallinien mit der Zeit zu untersuchen gestattet. Das Instrument wurde zum Studium der Entwicklung des Spektrums elektrisch zerstäubter Drähte benutzt; wegen der außerordentlichen Helligkeit der Lichtquelle war es möglich, eine Zeitauflösung von 10⁻⁶ Sekunden anzuwenden. Verchiedene Klassen von Linien zeigten große Unterschiede in ihrem Verhalten und gewisse Linien wurden gefunden, die sich für sehr kurze Zeitintervalle viel stärker verbreiterten als durch gewöhnliche Ursachen erklärt werden kann." v. Angerer.

E. F. Nichols and J. D. Tear. Long wave-radiation from the quartz mercury ere and from cored carbon arcs. Journ. Franklin Inst. 198, 103-104, 1924, Nr. 1. Zur weiteren Untersuchung der von Rubens und v. Baeyer entdeckten langwelligen Strahlen (210 und 324 µ) benutzten die Verff. eine Hg-Quarzlampe, Filter aus Quarzrlas und schwarzem, photographischem Einwickelpapier, ein Perot-Fabry-Interferoneter mit Quarzplatten und ein Radiometer zur Messung der Intensität. Für zwei Papierschichten + 2 mm Quarzglas wurden die früheren Resultate bestätigt (324 \mu); Dei vier Schichten + 8 mm Quarzglas zeigte sich ein scharfes Maximum bei $420\,\mu$. Steinsalz, Fluorit, Quarzglas und Glas sind für 420 μ durchlässiger als für 324 μ . Eine 1 mm dicke Glasplatte läßt bei 324 μ weniger als 1 Proz. durch, bei 420 μ 13 Proz. in einer vorläufigen Untersuchung wurden verschiedene Metalle in die positive Kohle sines Bogens (25 Amp.) gebracht und (bei abgeschirmten Kohlen) die ausgefilterte 120-μ-Strahlung durch Konkavspiegel auf den Radiometerflügel konzentriert. Der Kohlebogen allein gab nur eine kleine Wirkung; Hg im Bogen einen ähnlichen Auschlag wie bei der Quarzlampe. Cu, Fe, Wo, Ta und Mo strahlten nicht mehr als C llein. Stärkere Ausschläge, nach abnehmender Größe geordnet, gaben Zn, Pb, Sn, Bi, Ni, Ca. Die Wärmewirkungen, die zur Messung nicht konstant genug waren, cheinen mehr durch die Flüchtigkeit des betreffenden Metalls, die Dampfmenge, v. ANGERER. bedingt zu sein, als durch charakteristische Strahlungen.

J. J. Manley. Modified Vacuum Tubes. Phil. Mag. (6) 48, 110—112, 1924, Nr. 283. Im mit kleinen Gasmengen auskommen zu können, sind die Geisslerröhren mit Außenelektroden versehen, deren Herstellung genau beschrieben wird. Zweitens sind die für Längsdurchsicht gebaut und das vom Spalt abgewandte Ende der Kapillare st außen chemisch versilbert. Durch Reflexion des Lichtes wird der Spalt wesentlich neller beleuchtet.

R. W. Wood. Vacuum Grating Spectrograph and the Zinc Spectrum. Phil. Mag. (6) 46, 741—750, 1923, Nr. 275. Der Spektrograph, den Verf. für den gegenvärtig besten hält, ist ein verbessertes Modell der Konstruktion von Mc Lennan. Er wird hier nicht weiter beschrieben. (Erwähnt sei, daß anfangs durch ein Mißterständnis Innenflächen mit alkoholischer Schellacklösung bestrichen worden waren,

deren Dämpfe es nicht erlaubten, unter 1600 Å zu kommen!) Um gute Konkavgitter zu erhalten, wurde in den Raum der Rowlandschen Maschine zunächst eine selbstregulierende Gasheizung (Toluolthermostat) eingebaut, welche die Raumtemperatur im Winter und Frühling bis auf 0,1 bis 0,20 konstant zu erhalten erlaubte. Das genügt zwar für kurzbrennweitige Gitter mit mäßiger Auflösung, Verf. konstruierte dann aber noch eine schwache elektrische Zusatzheizung, die Temperaturkonstanz bis auf 0,010 ermöglichte. Die Gitter besaßen 1 m Krümmungsradius, 15000 Linien pro Zoll, 1 × 4 Zoll geteilte Fläche und waren nicht leichter geritzt als die sonst üblichen. Mit einem 1/12" Immersionsobjektiv waren die Furchen erkennbar. — Gebogene Platte, Fokus bis auf 0,5 mm einstellbar, Schumannplatten von Hilger. Lichtquelle: "hot-sparks": Vakuumfunken mit 1 cm Vorschalt-Funkenstrecke und erheblicher Kapazität im Entladungskreis. Exposition: 1000 Funken in 20 Minuten. — Reproduktion des Zinkspektrums nach früheren Aufnahmen von Sawyer und neuen des Verf. (3- bis 34 fache Vergrößerung) zeigen die ganz bedeutende Verbesserung der Definition. Dubletts von 0,3 Å sind eben noch trennbar. Das Spektrum, das früher von Simeon in zweiter Ordnung gegen Fe gemessen worden war, wird ausführlich diskutiert und 69 Linien zwischen 1918 und 832 Å auf Hundertstel Å angegeben. Bei verschiedenen Beobachtern erscheinen verschiedene Liniengruppen stark geschwächt, was wohl von diskontinuierlich absorbierendem Dampf (Alkohol, Benzin) herrührt. - Eine Untersuchung auf Lyman-Geister (Spektrograph mit Luft gefüllt) ergab bei Beleuchtung mit Wellenlänge 5461 und 3660: keine Linien. 2536 (1 Stunde belichtet): Spuren. Aluminiumfunken (1 Minute): intensive Geister. Diese Arbeiten werden fortgesetzt. V. ANGERER

Paul Günther. Tabellen zur Röntgenspektralanalyse. IV u. 61 S. Berlin, Verlag von Julius Springer, 1924. Inhalt: Zusammenhang zwischen der Siegbahnschen und der Sommerfeldschen Nomenklatur der Röntgenlinien und der Termdarstellung. Zusammenhang zwischen Termen und Quantenzahlen. Graphische Darstellung des Zusammenhanges zwischen den Kernladungszahlen der Elemente und der Lage ihrer Spektralserien. Typisches Schema eines K-Spektrums. Schema eines vollständigen K-Spektrums. Schema der L-Reihe einiger der schwersten Elemente. Abweichungen vom Braggschen Gesetz für mehrere Wellenlängen. Übersicht über die Gitterkonstanten der zur Reflexion geeigneten Kristalle. Temperaturabhängigkeit der Gitterkonstante des Kalkspats. Übersicht über alle wirklichen und scheinbaren Wellenlängen von Röntgenlinien in erster bis dritter Reflexionsordnung. - Anhang: Zusammenhang zwischen elektrischen Potentialen und Funkenlängen. Anregungsspannungen der härtesten Liniengruppen der verschiedenen Röntgenserien. Reflexionswinkel und Wellenlänge für Steinsalz, Quarz, Gips und Zucker. koeffizienten und Halbwertschichten verschiedener Stoffe. Periodisches System der Elemente.

R. Mecke und H. Ley. Die Gültigkeit des Beerschen Gesetzes bei Kupfersulfatlösungen. ZS. f. phys. Chem. 111, 385—397, 1924, Nr. 5/6. In Hinblick auf die Gültigkeit des Beerschen Gesetzes werden im ganzen den Prismenapparaten zugänglichen Spektralbereich von $\lambda\lambda$ 16000 bis 2200 Å.-E. die Absorptionskoeffizienten von Kupfersulfat- und Kupferchloridlösungen verschiedener Konzentrationen bestimmt. Im Ultravioletten wurde dabei die Henrische Methode benutzt, welche die Belichtungszeit der Vergleichsaufnahmen ändert und unter Verwendung des Schwarzschildschen Schwärzungsgesetzes $J.t^n$ die Punkte gleicher Schwärzung aufsucht Berechnet wurden stets die molekularen Extinktionskoeffizienten, definiert durch die Formel $J=J_0\,10^{-k\,c\,d}$ (c molare Konzentration), die dann graphisch als Absorptions-

kurven aufgetragen wurden. Die Absorption beginnt bei 2 3000 schon merklich zu werden und wächst dann sehr stark als Grenzabsorption an. Mit wachsender Konzentration (untersucht werden die Konzentrationen c = 0.005, 0.01, 0.05, 0.1, 0.5) rückt nun diese Absorptionskurve nach längeren Wellen, und zwar bei einer Konzentrationsänderung von 0,005 Mol/Liter bis 0,5 Mol um rund 200 Å.-E. Durch eine Hydrolyse kann diese Abweichung vom Beerschen Gesetz nicht erklärt werden, da mit H₂SO₄ angesäuerte Lösungen denselben Effekt ergaben. Stark wirkt jedoch konzentrierte Schwefelsäure ein, die die blaue Ionenfarbe zerstört und im Ultravioletten eine Verschiebung von rund 670 Å.-E. nach längeren Wellenlängen hervorruft. Im Roten und Ultraroten ist jedoch das Beersche Gesetz innerhalb der Meßgenauigkeit streng erfüllt. Im Sichtbaren wurden die Bestimmungen im Spektralbereich 22.6600 bis 5460 mit einem König-Martensschen Spektralphotometer bei vier Konzentrationen zwischen c=0.5 bis c=0.01 ausgeführt, im daran anschließenden ultraroten Teil des Spektrums mit Quarzprisma, Thermosäule und Panzergalvanometer bei den Konzentrationen c=1 und 0,05 Mol/Liter. Das Maximum der hier selektiven Absorption liegt bei $0.83 \,\mu$ mit einem Wert von k = 12.3. Orientierende Messungen werden dann noch bei Kupferchlorid gemacht, wo die Abweichungen weit größer sind, auch im Ultraroten stimmt das Beersche Gesetz jetzt nicht mehr. Während eine Konzentration von c = 0.05 noch die Absorption des Cu-Ions ergibt, absorbiert eine konzentrierte Lösung von 1 Mol/Liter etwa doppelt so stark pro Molekül. Die mutmaßlichen Ursachen der Abweichung vom Beerschen Gesetz werden am Schlusse der Arbeit noch diskutiert.

H. Ley und F. Volbert. Über Absorptionsmessung im Ultraviolett mit Hilfe photographischer Photometrie. ZS. f. wiss. Photogr. 23, 41-51, 1924, Nr. 2. Zur Festlegung der Absorptionskurven von Lösungen gehen die Verff., der Methode von S. Henri folgend, in der Weise vor, daß die Spektren des Lösungsmittels und der Lösung mit variierter Expositionszeit aufgenommen werden. Es werden dann die Stellen gleicher Schwärzung in beiden Spektren aufgesucht und deren Wellenlänge ermittelt. Für diese Wellenlänge kann aus den Daten der Aufnahme unter Verwendung des Schwarzschildschen Gesetzes der Extinktionskoeffizient ermittelt werden. Die Zuverlässigkeit der Methode wird diskutiert und als befriedigend befunden. Absorptionswerte für eine wässerige Lösung von Kaliumnitrat für das Wellenlängengebiet von 3350 bis 2500 Å werden mitgeteilt. Р. Р. Косн.

Irwin G. Priest. Supplementary note on the frequencies of complementarv hues. Journ. Opt. Soc. Amer. 5, 513-514, 1921, Nr. 6. Diese Ber. 2, 426, 1921. SCHEEL.

7. Wärme.

Frederick G. Keyes. Evidence of association in carbon dioxide from the Joule-Thomson effect. Journ. Amer. Chem. Soc. 46, 1584-1592, 1924, Nr. 7. Aus den Ergebnissen der neuesten quantitativen Untersuchungen von Burnett (Phys. Rev. 22, 590, 1923) über den Joule-Thomson-Effekt beim Kohlendioxyd berechnet der Verf, den Grad der Assoziation der CO2-Moleküle für verschiedene Temperaturen unter der Voraussetzung, daß sich das chemische Gleichgewicht zwischen Einzel- und Doppelmolekülen stets sofort einstellt. Der Grad der Assoziation ist sehr gering; er beträgt bei 1 Atm. und 2200 jabs. 0,004; bei 2700 abs. 0,000 75 und bei 4000 abs. 0,000 052. Die Temperaturabhängigkeit ist die theoretisch zu erwartende. Estermann.

kurve zu entwerfen."

N. Vasilesco Karpen. Sur de nouvelles piles électriques contredisant le deuxième principe de la thermodynamique. Bull. Bucarest 8, 259-261, 1923, Nr. 10. [S. 1742.]

Richard Lorenz. Einige Bemerkungen zur Theorie der Dampfspannungskurve. Göttinger Nachr. 1924, 173-176, Nr. 2. ZS. f. anorg. Chem. 138, 104-108, 1924, Nr. 1. Das von U. Dühring 1878 aufgestellte "Gesetz der korrespondierenden Siedetemperaturen" wird in steigendem Maße zur Orientierung über den Verlauf von Dampfspannungskurven angewendet und ergibt auch überraschend exakte Resultate. Da jedoch zu seiner Anwendung mindestens die Kenntnis eines Teiles der Dampfspannungskurve erforderlich ist, gibt Lorenz einen Weg an, diesen Mangel zu umgehen. Wenn man mit T_1T_2 zwei zu den Drucken p_1p_2 gehörige Punkte der Dampfdruckkurve eines Stoffes I bezeichnet und mit $\Theta_1\Theta_2$ die entsprechenden auf die gleichen Drucke bezüglichen Siedepunkte auf der Dampfspannungskurve des Stoffes II, so ist nach Dühring $\frac{T_2-T_1}{\Theta_2-\Theta_1}=q$, wo q eine Stoffkonstante bedeutet, welche der "spezifische Faktor" genannt wird. Vergleicht man immer Stoffe gleicher Molekularkonstitution, dann stößt das Dühringsche Gesetz auf keine Widersprüche mehr. Ramsay und Young haben nun eine andere Beziehung der Dampfspannungskurve abgeleitet: $\frac{T_2}{\Theta_2}=\frac{T_1}{\Theta_1}+c(T_2-T_1)$. Da nach Mangold, Schumann und W. Herz c bei den meisten Stoffen Null wird oder zu vernachlässigen ist, geht die Gleichung in die Dühring sche Form über: $\frac{T_2-T_1}{\Theta_2-\Theta_1}=\frac{T_1}{\Theta_1}=const.$ Auf Grund einer umfangreichen von C. v. Rechenberg herstammenden Tabelle der spezifischen Faktoren, die mit den von Lorenz berechneten Werten q verglichen werden, wird nachgewiesen, daß die Übereinstimmung durchaus genügend ist. Es ergibt sich demnach: "Die Kenntnis des Siedepunktes eines Stoffes von bestimmtem chemischen Charakter genügt, um den Dühringschen spezifischen Faktor berechnen zu können und dann weiter nach dem Gesetz der korrespondierenden Siedetemperaturen ein Bild seiner Dampfspannungs-

Paul Schreiber. Über polytropische Zustandsänderungen der Gase. Maschinenbau 3, 599-601, 1924, Nr. 17. [S. 1708.] Schwerdt.

W. Peppler. Bemerkungen zum Bjerknesschen Schema der Kälte- und Wärmefront. Meteorol. ZS. 41, 250—251, 1924, Nr. 8. Der Verf. macht darauf aufmerksam, daß sich das Bjerknessche Schema immer mehr in allgemeinen Darstellungen der Meteorologie heimisch macht, daß aber zu wenig hervorgehoben wird, daß es sich dabei um ein physikalisches Bild in großen Zügen handelt, das dem Einzelfalle wenig gerecht wird. Eine der Hauptforderungen, das Durchgehen der Gleitfläche vom Boden zum Cirrusniveau, ist fast niemals in der Natur realisiert. Inversionen zwischen 5 und 7 km gehören z. B. zu den größten Seltenheiten. Die ziemlich scharfe Trennung zwischen den Wolkenetagen deutet vielmehr auf mehrere übereinandergelagerte Zirkulationssysteme hin. Auch die Wolkenbildungsniveaus entsprechen nicht dem schablonisierten Schema.

K. Kotschin. Bemerkungen zur Theorie der Polarfront. Meteorol. ZS. 41, 251—252, 1924, Nr. 8. Die von Defant für die Bestimmung des Vertikalschnittes der Diskontinuitätsfläche gefundene Gleichung wird als Spezialfall einer allgemeineren Gleichung aufgezeigt, bei der die Vertikalkomponente nicht vernachlässigt wird.

CONRAD-Wien.

2. Thermodynamik; 3. Kinetische Theorie; 4. Temperaturmessung; 5. Kalorimetrie. 1797

Walter Gerlach. Atomstrahlen. Ergebnisse der exakten Naturwissenschaften. Herausgegeben von der Schriftleitung der "Naturwissenschaften". Dritter Band, S. 182—189. Berlin, Verlag von Julius Springer, 1924.

L. S. Ornstein. Anisotropie der flüssigen Kristalle bezüglich ihrer Dielektrizitätskonstanten und ihrer elektrischen Leitfähigkeit. Beitrag zur Theorie der flüssigen Kristalle. Ann. d. Phys. (4) 74, 445-457, 1924, Nr. 13. [S. 1744.]

Frank Maurice Cray and William Edward Garner. The Rapid Admixture of Hot Combustible Gases with Air. Journ. chem. soc. 125, 57-69, 1924. Januar. Es wird über Versuche berichtet, bei denen hochgradig explosive Stoffe (Pikrinsäure), die in Stahlbehältern, und Acetylen-Sauerstoffgemische, die in dünnwandigen Glaskugeln enthalten waren, in einem beschränkten Luftvolumen zur Explosion gebracht wurden. In den entstehenden Produkten wurde die Menge Kohlenoxyd ermittelt, um den Grad der eintretenden Verbrennung festzustellen. Es zeigte sich, daß die Erscheinung der "Nachverbrennung" bei den explosiven Stoffen bis zu einem gewissen Betrage von dem Luftvolumen bestimmt wird, in welches die Gase hineingeschleudert werden, indem eine Verbrennung pur eintritt, wenn das Verhältnis: Gewicht des Explosivstoffes zum Luftvolumen einen bestimmten Wert überschreitet. Die Deutung der Versuchsergebnisse wird dadurch erschwert, daß der durch das Zerreißen des Behälters herbeigeführte Wärmeverbrauch unbekannt ist. Andererseits erfuhren die gasförmigen Produkte von den Acetylen-Sauerstoffgemischen, weil deren Explosionsgeschwindigkeit sehr viel geringer als diejenige der hochgradigen Explosivstoffe, stets beim Beimischen der Luft eine teilweise Nachverbrennung, deren Betrag von dem Verhältnis Volumen der Luft zum Volumen des brennbaren Gases abhängt und durch Änderungen in der Zusammensetzung des gasförmigen Gemisches beeinflußt werden kann. Die Nachverbrennung ist um so vollständiger, je geringer die Explosionsgeschwindigkeit der Gase ist, und bestätigt die Ansicht, daß die Entzündungstemperatur heißer Gase, die in kalte Luft geschleudert werden, von der Geschwindigkeit abhängt, BÖTTGER. mit der die Vermischung beider erfolgt.

Carl Popp. Abstich- und Vergießtemperaturen von Martinstahlschmelzungen. Ermittelt mit dem optischen Pyrometer nach Holborn und Kurlbaum. Bericht Nr. 46 des Werkstoffausschusses des Vereins deutscher Eisenhüttenleute (Sitzung vom 17. Juli 1924), 5 S. Die beobachteten Werte zeigten nach Anbringen der Korrektion (unter Benutzung des Emissionsfaktors 0,4 für flüssiges Eisen) gute Übereinstimmung mit denen des Thermoelementes. Durch Staubentwicklung muß man aber mit einer Unsicherheit von 20 bis 30° rechnen. Die mittleren Abstichtemperaturen ergaben sich für Schmelzungen mit 0,06 bis 0,20 Proz. C zu 1680°, die Gießtemperaturen zu 1645°; sie sanken mit zunehmendem C-Gehalt.

George W. Todd. The Variation of the Specific Heat of a Gas With Temperature. Phil. Mag. (6) 40, 357—362. 1920, Nr. 237. Verf. zeigt, daß die Einwände, welche gegen den Grundsatz der Gleichverteilung der Energie unter die Freiheitsgrade der Moleküle eines Gases erhoben werden, zu Unrecht bestehen. Diese Einwände beruhen auf der Beobachtung, daß die Molekularwärme $C = \frac{n}{2} R$ sein

und das Verhältnis der spezifischen Wärmen $\gamma=1+rac{2}{n}$ $(n= ext{Anzahl}$ der Freiheits-

grade) sich mit der Temperatur ändern sollte. An Wasserstoff, dem einzigen Gas, für das bei tiefen Temperaturen experimentell bestimmte Molekularwärmen vorlagen, wird gezeigt, daß C und γ sich mit der absoluten Temperatur stetig ändern. Gumprich.

John Warren Williams and Farrington Daniels. Irregularities in the specific heats of certain organic liquids. Journ. Amer. Chem. Soc. 46, 1569-1577, 1924, Nr. 7. Von 15 untersuchten organischen Flüssigkeiten zeigen die Temperatur-spezifische Wärme-Kurven von Benzol, Äthylbenzol und Tetrachlorkohlenstoff deutliche Unregelmäßigkeiten, welche die Verff. auf Änderungen des molekularen Zustandes bei den betreffenden Temperaturen zurückführen. Die diese Änderungen begleitende Umwandlungswärme läßt sich aus der Gestalt der Kurven einigermaßen abschätzen, sie ist sehr gering und beträgt z.B. beim Tetrachlorkohlenstoff etwa 8,6 cal pro Mol gegenüber einer Verdampfungswärme von 7180 cal pro Mol. Daher können diese Unregelmäßigkeiten in der Dampfdruckkurve nicht in meßbarer Größe zum Ausdruck kommen, wie auch experimentell nachgewiesen wird. Genaue Messungen der Alhängigkeit der Dichte von der Temperatur ergaben ebenfalls keine Andeutung von entsprechenden Unregelmäßigkeiten. Messungen der Abhängigkeit der spezifischen Wärmen von der Temperatur scheinen demnach eine sehr empfindliche Methode zur Untersuchung des Molekülzustandes in Flüssigkeiten darzubieten. Es sei noch bemerkt, daß bei spurenweisem Zusatz von Wasser zum Benzol und Äthylbenzol die Unregelmäßigkeiten schwächer werden, was die Verff. als katalytische Beschleunigung der Umwandlung deuten. ESTERMANN

Ernest Alfred Blench and William Edward Garner. The heat of adsorption of Journ. chem. Soc. 125, 1288—1295, 1924, Juni. Läßt man oxygen by charcoal. Sauerstoff von Kohle bei der Temperatur der flüssigen Luft adsorbieren und treibt ihn dann durch Evakuieren oder Erwärmen wieder aus, so erhält man wieder reinen Sauerstoff zurück. Arbeitet man bei Zimmertemperatur, so erhält man bei der Wiederabgabe, wie McLean (Trans. Roy. Soc. Canada 15, 73, 1921) gezeigt hat, ein Gemisch von Sauerstoff, Kohlenoxyd und Kohlendioxyd. Bei Temperaturen oberhalb 2000 dagegen ist in den wiederausgetriebenen Gasen überhaupt kein Sauerstoff mehr enthalten, sondern man erhält nur noch Kohlenoxyd und Kohlendioxyd. Der Adsorptionsprozeß ist also bei den verschiedenen Temperaturen völlig verschieden, und ebenso verhält es sich mit der Adsorptionswärme. Bei - 1850 beträgt sie nur etwa 3 cal/Mol, bei 180 etwa 60 und bei 4500 220 cal/Mol. Dieser außerordentlich große Temperaturkoeffizient wird dadurch verständlich, daß bei den sehr tiefen Temperaturen reine physikalische Adsorption vorliegt, während bei den höheren Temperaturen chemische Bindungen zwischen der Kohle und dem Sauerstoff an der Kohleoberfläche dazukommen. Gestützt wird diese Annahme dadurch, daß bei den höheren Temperaturen die Adsorptionswärme mit der Menge des adsorbierten Sauerstoffs erheblich abnimmt, und zwar geht sie, wenn die Oberfläche einigermaßen gesättigt wird, wieder bis zu etwa 4 cal/Mol hinunter.

Max Leo Keller. Grundlagen zur Lösung praktischer Erwärmungsfragen der Elektrotechnik. Arch. f. Elektrot. 13, 292-310, 1924, Nr. 4. [S. 1775.] JAKOB.

A. Smits. The Complexity of the Solid State. Nature 113, 855, 1924, Nr. 2850. Die festen kristallisierten reinen Stoffe sind vielfach Gemenge (Mischkristalle) allotroper Modifikationen, die ineinander umwandelbar sind. Wenn die Umwandlungsgeschwindigkeit genügend klein ist, z. B. bei tiefen Temperaturen, so kann man diese Modifikationen durch Destillation teilweise trennen, da sie in der Regel verschiedenen

rampfdruck haben. So erhielt der Verf. bei der teilweisen Destillation von kristalnem violetten Phosphor, der sehr sorgfältig gereinigt war, einen Rückstand, der nur och ein Drittel des normalen Dampfdruckes aufwies. Bei höherem Erwärmen des zückstandes oder Zusatz eines Katalysators wird die Umwandlungsgeschwindigkeit rieder so groß, daß sich in kurzer Zeit der normale Gleichgewichtszustand zwischen en verschiedenen allotropen Modifikationen und damit auch der normale Dampfdruck rieder herstellt. Ähnlich liegen die Verhältnisse beim Schwefeltrioxyd, bei dem man ie Umwandlungsgeschwindigkeit durch scharfes Trocknen mit Phosphorpentoxyd rüßerordentlich herabsetzen kann. Es ist vorläufig noch nicht gelungen, den Mischristallcharakter derartiger Gemenge von allotropen Modifikationen durch die Röntgentrahlanalyse nachzuweisen.

1. Fajans und E. Ryschkewitsch. Über den Schmelzpunkt des Graphits. Naturwissensch. 12, 304-306, 1924, Nr. 16. 4 mm starke, in der Mitte auf 2.5 bis ,5 mm verjüngte Stäbehen aus reinstem Graphit wurden in einer mit Argon gefüllten rroßen Glaskugel durch Wechselstrom erhitzt. Die Stäbe waren zum Schutz der Flaskugel gegen zu starke Erwärmung von einem Graphitzylinder umgeben, in dessen Vand vor der dünnsten Stelle des Graphitstabes ein Loch gebohrt war, welches die Beobachtung durch ein an der Glaskugel angebrachtes Fensterrohr ermöglichte. Die emperaturmessung erfolgte durch ein Holborn-Kurlbaumsches Pyrometer. Erhitzt man allmählich z. B. bei Atmosphärendruck, so steigt die Temperatur langsam bis twa 3750°; dann wird plötzlich an der verjüngten Stelle der Zusammenhang des stabes gelöst, und zwischen den zwei getrennten Stabenden erscheint ein Lichtbogen, ter nach etwa 1/2 Minute erlischt, weil infolge der starken Verdampfung der Abstand iwischen den Stabenden zu groß wird. Während der Entstehung des Lichtbogens inkt die Stromdichte auf 2/3 ihres größten Wertes. Verschiedene Gründe sprechen lafür, daß die Teilung des Stabes durch Schmelzung und nicht, was auch möglich väre, durch Verdampfung erfolgt. Sie trat bei allen Versuchen qualitativ in völlig gleicher Weise bei der Stromdichte etwa 20 Amp./mm² ein, wobei der Druck zwischen).005 und 1,5 Atm. geändert wurde. Wegen der geringen Breite der Zone höchster Temperatur, die ein genaues Einstellen des Pyrometerfadens erschwert, und wegen der geringen Dauer der Erscheinung ist eine genaue Bestimmung der Temperatur sehr schwierig. Aus den besten Messungen ergibt sich die Zahl 37500 absol. ± 750. Dies ist indes nicht der wahre Schmelzpunkt des Kohlenstoffs, sondern seine untere Frenze. Die obere Grenze ist zu 39000 anzunehmen, so daß der Schmelzpunkt des Graphits etwa 38000 absol. + 1000 sein dürfte. Dem Tripelpunkt dürfte der Dampfdruck 1/4 Atm. (angenähert) entsprechen. Messungen der Temperatur der Elektrodenenden, die keine ganz genauen Werte ergaben, ergänzen die Beobachtungen von Kohn und Guckel über die Abhängigkeit der Temperatur der Kohleelektroden vom Druck. Da zu schließen ist, daß bei Drucken oberhalb etwa 1/4 Atm. der Bogenkrater mit einer dünnen Schicht der Flüssigkeit bedeckt ist, so ist die von diesen beiden Forscherinnen berechnete Wärmetönung (136,4 kcal) nicht als Sublimationswärme des festen, sondern als Verdampfungswärme des flüssigen Kohlenstoffs anzusehen, die allerdings wegen des geringen Betrages der Schmelzwärme nur wenig voneinander BÖTTGER. verschieden sind.

Robert J. Piersol. The vapor pressure constant for silver. Phys. Rev. (2) 23, 785, 1924, Nr. 6. (Kurzer Sitzungsbericht.) Bei höheren Temperaturen ändert sich die Lichtreflexion an polierten Silberoberflächen plötzlich von der spiegelähnlichen zur diffusen, was der Verdampfung zuzuschreiben ist. Der verdampfte Teil wird

durch den Gewichtsverlust des Silbers gemessen. Der Dampfdruck des Silbers wird bestimmt nach der kinetischen Beziehung $m+p\left(M/2\,\pi\,R\,T\right)^{1/2}$. Dann kann man die Konstante C für Silber berechnen nach der Hildebrandschen Dampfdruckkurve $\log p=-3140\ C/T+7.85+\log C$. Die Berechnungen ergeben für die Konstante C den Wert 3,95.

George W. Todd and S. P. Owen. A Vapour Pressure Equation. Phil. Mag. (6) 38, 655-660, 1919, Nr. 227.

M. Allen. On thermal emission and evaporation from water. Proc. Nat. Acad. Amer. 10, 88-92, 1924, Nr. 3. Das thermische Emissionsvermögen einer Wasseroberfläche besteht aus Strahlung, Fortpflanzung und Leitung und ist vergleichbar mit der Emission von Kupferkugeln, wie sie 1871 von Macfarlane bestimmt wurde. Bottomley, der den Druck und die Temperatur in der Umgebung änderte und zum Teil auch bei niedrigen Drucken arbeitete, war fähig, das Stefansche Vierte-Potenzgesetz zu bestätigen. Der Verdampfungsanteil, der durch die Gewichtsabnahme gemessen wurde, ergab sich als eine Funktion des Dampfdruckes des Wassers bei der Temperatur des heißen Wassers und der Temperatur der Umgebung. Es wurden acht Bestimmungen der thermischen Emission ausgeführt bei acht verschiedenen Temperaturen von 6,4 bis 40° bei einem Intervall von etwa 5°. Für die thermische Emission ergab sich die Gleichung $10^6 e = 215 + 4,87 (t-t_0)$ $-0.022(t-t_0)^2$. Die größte Abweichung beträgt 1 Proz. Die Verdampfungskurve ergibt die Gleichung $10^3 E = 13 (V-V) + 1{,}03 (V-V)^2$, wo V der Dampfdruck des Wassers bei seiner Eigentemperatur und v der Dampfdruck des Wassers bei der Temperatur des umgebenden Kegels der Versuchsanordnung ist. Die Kurve hat gegenüber der von Fitzgerald gefundenen Abweichungen bis 10 Proz.

Haber. Die Entmischung in Flammen. Berl. Ber. 1924, S. 236, Nr. 18/25. "Die Ätherluftstamme und die Benzolluftstamme zeigen über der Spitze des Innenkegels einen höheren Gehalt an Kohlensäure plus Kohlenoxyd als dicht an der Metallstäche des Innenkegels. Beim Wasserstoff-Luftgemisch tritt umgekehrt ein Unterschied auf, der einer Verarmung des aufsteigenden Gases an Wasserstoff im Mittelstrahl gleichkommt. Diese Erscheinungen werden durch eine Abschätzung verständlich, welche die Diffusionsverhältnisse dicht an der Brennsläche betrifft."

M. Seiliger. Geradlinige Fluchttafeln für Gase und Dampf-Luftgemische. Maschinenbau 3, 601-603, 1924, Nr. 17. [S. 1709.] SCHWERDT.

Alphabetisches Namen-Register.

(ä, ö usw. suche man unter ae, oe usw., Mc unter Mac.)

A.

all, N. H. Verschiebung des Perlitpunktes durch Nickel und Chrom 676. alst, Frederik van. Aufnahme von Resonanzkurven mit Detektor und Galvanometer 1565.

bbot, C. G. Variations of the sun's visible features associated with varia-

tions of solar radiation 259.

-, R. B. and Cook, J. W. Velocity of sound from a moving source 1407. , W. E. sh. Becker, H. G. 1540.

braham, H. et Planiol, R. Présentation d'appareils 1029.

ckermann, A. S. E. Fluidity of Metals 422. Pressure of

Apparatus for measuring and recording the movements of a pile while subject to the blow of a hammer 483. dam, N. K. Structure of Thin Films 361, 362.

dams, E. P. Quantum theory 420. Applications of Heaviside's opera-

tional methods 481.

Mathematical Formulae and Tables of Elliptic Functions. Mathematical Formulae 646.

E. Q. Luminous efficiency of phos-

phorus glow 1602.

Fr. H. sh. Williamson, E. D. 739. , John Mead. Growth snowflakes 1701.

, Leason sh. Smyth, F. Hastings 755.

dcock, F. and Wells, E. H. Tempe-

rature measurement with the Einthoven galvanometer 906. ddenbrooke, G. L. Connexions be-

tween Dielectric and other Physical Properties 1418.

484.

drew, J. H. und Higgins, Robert. Kornwachstum und Diffusion 232. gnew, P. G. Standardization Resumé Ahlers, Leonhard. Dichte von Quarz, Orthoklas, Albit und Anorthit 989.

Ahmed, A. A. Magnetic potential along the core surface of a cylindrical field magnet 1767.

Aigner, Franz. Hochfrequenzlichtrelais zur photographischen Aufzeichnung der Akustik bei Sprechfilmen 1315.

Ainslie, D. S. sh. McLennan, J. C. 710.

Aitchison, Leslie. Materials in Aircraft construction 602.

Albers-Schönberg, Ernst. Leitfähigkeit im stark komprimierten Gase 996.

Alberti, E. u. Leithäuser, G. Wellenlängenmessung am Empfänger 540.

und Zickner, G. Leistung und Wellenlänge des Röhrensenders mit innerer Rückkopplung 1578.

Alexandrow, W. Maxwellscher Satz der technischen Elastizitätstheorie

- Zur Langevinschen Formel für die Suszeptibilität paramagnetischer Körper 1443.

Alfani, R. P. G. Différence des heures entre un seismoscope et les microseismographes 14.

Alger, P. L. and Samson, H. Currents in Electric Machines 778, 1504.

Aliverti, G. Stato di contrazione dei depositi elettrolitici metallici 917.

Allan, George E. Reminiscences of Prof. G. H. Quincke 1025.

Allen, Frank. Reflex visual sensations 131.

Reflex visual sensations and color contrast 1018.

Colour Vision and Colour Vision Theories 1019.

Tri-color mixing spectrometer 1078. sh. Weinberg, Mollie 665.

Allen, H. S. Numerical Relations be- | Anderson, J. A. Vacuum spark sp tween Fundamental Constants 418.

Light and Electrons 781. - Hydrogen Molecule 744.

-, M. Thermal emission and evaporation from water 1800.

-, R. G. Insulating properties of erenoid 632.

-, R. P. sh. Bancroft, Wilder D. 1609.

-, S. J. M. Absorption coefficients of homogeneous x-rays between wavelengths 0,1 A and 0,71 A 1357.

Allendorf, H. sh. Sauerwald, F. 1491. Alliaume, M. Résolution no mographique des systèmes d'équations 1709.

Allis, W. P. sh. Heymans, Paul 851. Allison, S. K. and Duane, William. Reflection of characteristic bromine x-radiation by a crystal of potassium bromide 1687.

Allmand, A. J. and Nickels, L. Conductivities of Aqueous Salt Solutions

835.

Almquist, Milton L. sh. Demarest, Charles S. 1148.

Altenkirch, E. Theorie von Pumpen und Kompressoren 739.

Alterthum, H. Kinetik der Makrokristallbildung in Wolfram durch Sammelkristallisation 1337.

Altmann, V. Messung der reinen Streustrahlen inner- und außerhalb der Strahlenpyramide 1447.

-, Vladimir. Günstige Strahlenverteilung in der Röntgentiefentherapie 1680.

Altrup, F. W. sh. Vinal, G. W. 1744. Amaduzzi, Lavoro. Influenza della variazione di temperatura nel processo di scarica in gas rarefatto 1752.

- Particolare manifestazione di scintilla

continua 1756.

Amerio, Alessandro. Variazione diurna della distribuzione dell'energia sul disco solare 1084.

Ames, Joseph S. Imaginary thermodynamic process 1301.

Andant sh. Lambert 1741.

Measurement of the Anderson, A. Viscosity of Gases 1034.

-, A. N. sh. Saklatwalla, B. D. 455. -, B. C. Static and Kinetic Wood

Testing Machine 494.

-, Ernest and Story, Le Roy G. Physical properties of arsenic trioxide in water solution 498.

-, J. A. Measuring the velocity of sound in metallic vapors at very high temperatures 223.

trum of calcium 708, 1159. and Wood, H. O. Torsion seism

meter 1320.

-, John S. and Barr, Guy. Meth of measuring the internal diameof transparent tubes 274. -, Leonard. Smoluchowski's Equat

Applied to the Coagulation of G

Hydrosol 1312.

-, Oscar A. Ammonia Conden Design 584.

-, S. H. Vibration of strings excited impact 430.

-, W. Kontroverse zwischen Th. W und H. Reichenbach 1030.

- Beweis von R. Emden, daß "Einsteinsche Effekt" nicht du Lichtbrechung in den Koronaga hervorgerufen sein könne 1030.

-, Wilhelm. Dielektrizitätskonsta der Sonnenphotosphäre 833.

Sama-Zustand der Atmosphäre 12 Ursache der großen Geschwind keiten der Protuberanzen 1549.

-, W. A. Reflex visual sensations anomalous trichromatism 1520.

jr., William Theodore. Photoly of potassium nitrate solutions 14

and Taylor, Hugh Stott. Inh tion of the photochemical decom sition of hydrogen peroxide soluti

Anding, E. Endliche Fortpflanzur geschwindigkeit der Gravitation 11 Andrade, E. N. da C. Vorgänge bei

Dehnung von Zinkkristallen 1335

Andrews, E. R. sh. Coste, J. C. 11

–, Jas. P. sh. Lees, Chas. H. 17

–, Ursula sh. Horton, Frank 15

–,

Andronescu, P. Spannungsverteil und Temperatur im Dielektrikum Einleiterkabeln 694, 1502.

Einphasiger Spartransformator 6 Verlauf des Drehmomentes bei as

chronen Drehfeldmotoren mit Kä anker 1151.

Berechnung von Kerntransformato

1776.

Angelberger, Franz sh. Kremar Robert 280.

Angenheister, G. Das Erdinnere 3 - Luftelektrische Beobachtungen Samoa-Observatorium 1437.

- Wirkung des Regens auf die Re strierung des Potentialgefälles Atmosphäre 1438.

Erdmagnetische Störungen 1667.

Abklingungsgesetz erdmagnetisc Störungen 1669.

gerer, E. v. Erzeugung der Funken- Arnold, H. D. and Elmen, G. W. spektren von Lithium 202.

Technische Kunstgriffe bei physikalischen Untersuchungen 337.

Ultraviolettes Linienspektrum Chlor 635.

und Joos, G. Normalzustand des Eisenatoms 894.

Absorptionsspektren der Elemente

der Eisengruppe 1686.

tropoff, A. von. Vorlesungsversuch zur Gewinnung von Neon und Helium aus der Luft und zur absorbierenden

Wirkung der Kohle 11.

oel, Kurt sh. Wever, Franz 483. pleton, E. V. Anomalous Behaviour of a Vibration Galvanometer 1494. sh. Watt, R. A. Watson 1149.

and Greaves, W. M. H. Solution of the Representative Differential Equation of the Triode Oscillator 298.

and Taylor, Mary. Optimum hetero-

dyne reception 1675. and Thompson, F. S. Periodic

trigger reception 1213.

and West, A. G. D. Ionic Oscillations in the Striated Glow Discharge 536. ata, H. et Brun, Marcel. Électrodynamique et principe de réaction 22. chenhold, G. sh. Eggert, J. 1464, cher, R. S. sh. Jeffries, Zay 238.

chibald, Eben Henry and Ure, William. Density and Viscosity of Acetone at Low Temperatures 1484. R. D. Characteristics of series

machine 1353.

kadjev, W. A. Einwirkung der Neutralsalze auf das Potential der Wasserstoffelektrode 1200.

kel, A. E. van. Cristalstructure of

white tin 1137; Druckfehlerberichti-

gung 1384. Bouw van mengkristallen 1137.

mstrong, Henry E. Origin of Electricity in Thunderstorms 98, 1062. Electrolytic Conduction 175.

Mrs. Hertha Ayrton 209.

Origin of Osmotic Effects 884.

Luminous Ice 1062.

ndt, Kurt und Kalass, Wilhelm. Leitfähigkeitsmessungen an Kryolith-Tonerde-Schmelzen 913.

Elektrische und Ploetz, Georg. Leitfähigkeit von geschmolzenem Atz-

natron 1748.

u. Probst, Hans. Anodeneffekt 914. nold, H. D. Phenomena in Oxydecoated Filament Electron-Tubes 692. Permalloy, an alloy of remarkable magnetic properties 247.

- Permalloy, New Magnetic Material of Very High Permeability 385.

Arnone, Maria sh. Capua, Clara di 975.

Arnott, John. Monel metal 164.

Arrowsmith, G. Design of rotating discs 219.

d'Arsonval. Laboratoire Ampère d'essais à 1000000 de volts 1354.

Asch, E. Wachsen von Grauguß und seine Verhinderung 527.

Explosionsgrenzen von Gasgemischen 1472.

Ashley, M. F. sh. Loeb, L. B. 1761.

Ashworth, J. R. Formula for the Specific Heat of Ferromagnetic Substances and its Discontinuity at the Critical Temperature 953.

- Intrinsic Field of a Magnet 1768.

Astbury, W. T. sh. Shearer, G. 361. and Yardley, Kathleen. Tabulated
 Data for the Examination of the 230 Space-groups by homogeneous X-rays 1737.

Aston, Francis William 721.

-, F. W. Determinations of the Constitution of the Elements by the Method of Accelerated Anode Rays

Mass-spectra of Chemical Elements

196.

Mass-spectrum of Copper 356.

Critical Search for a Heavier Constituent of the Atmosphere by Means of the Mass-Spectrograph 356.

Isotopes of Tin 433.

Isotopes of Antimony 434.

- Isotopes of Selenium and other Elements 433.

On the Velocity of the Positive Ions in the Crookes Dark Space 683. Mass-Spectra and Isotopes 1554.

Mass-spectra of Chemical Elements. Accelerated Anode Rays 1599.

Athanasiu, G. Action calorifique du rayonnement sur des métaux plongés dans des solutions de leurs sels 1517.

Atkinson, R. d'E. Gas Pressures and Second Law of Thermodynamics 579.

-, R. H. Separation of Common Lead into Fractions of Different Density 357.

Fractional Crystallisation of Common Lead 1335.

Aubertin, A. Essai d'un prisme pentagonal 459.

Auchineloss, John. Reactive Component 1352.

Audubert, René. Action de la lumière sur les électrodes de métaux à faible tension de dissolution 942, 1197.

Auerbach, Felix. Tonkunst und bildende Kunst vom Standpunkt des Naturforschers 645.

Auger, Pierre. Rayons β secondaires produits dans un gaz par des rayons X 296, 1347, 1665.

- sh. Bauer, Edmond 1179.

- et Dauvillier, A. Existence de nouvelles lignes, dans la série L des éléments lourds 1225.

Aulenkamp, B. Normaler Kathodenfall und lichtelektrische Empfindlichkeit einiger Metallsulfide und Metalloxyde 316.

Osservazioni dei punti Aurino, S. neutri della polarizzazione atmosferica eseguite a Napoli 258.

Austin, E. Carrier Current Communication Over High-voltage Transmission Lines 45.

-, L. W. Calculation of antenna capacity 113.

- Method of using contact detectors in

radio measurements 113. - Quantitative experiments with coil

antennas in radiotelegraphy 113. - and Grimes, W. F. Beat reception

Ayres, T. L. R. sh. Townsend, J. S.

Ayrton, Mrs. Hertha 209, 337.

В.

Baark, Georg. Forsøg med Glimmlampen 1115.

Babcock, Harold D. Determination of e/m from measurements of the Zeeman effect 240.

- Study of the green auroral line with the interferometer 243.

- Zeeman effect for iron chromium and vanadium, and determination of e/m

- Secondary standards of wave-length 1784.

Bachelier, Louis. Problème général de la statistique discontinue 593. Back, E. Zeemaneffekt 1791.

Backhurst, Ivor. Variation of the Intensity of Reflected X-Radiation with the Temperature of the Crystal 558.

Measuring the Backhurst, Ivor and Kaye, G. W. C. All-metal Highvacuum Pump System 1026.

- Metal Annular-Jet Vacuum Pump 1026.

Bacon, D. L. Langley field wind Tunne; apparatus 423. Durch Kationen-Badareu, Eugen.

stöße aus Platin ausgelöste Elektronenströme im Hochvakuum 1662.

Badger, Richard M. sh. Tolman, Richard C. 1697.

Bäcklin, Erik. Erregung der Funken-linien in der K-Reihe der Röntgenspektren und Theorie von Wentzel 1789.

Neubau des Leipziger Baensch, W. Röntgeninstituts 1385.

Bär, R., Laue, M. v. und Meyer Edgar. Niedervoltige Lichtbogen in Helium 447.

Baerwald, H. Umladungsmechanismus im Kanalstrahl 1209.

Bäumler, M. Gleichzeitiges Auftreten atmosphärischer Störungen 37, 541.

Atmosphärische Störungen in der drahtlosen Telegraphie und Telephonie 1214.

Baeyer, O. v. und Kutzner, W. Glimm lampe als Zählkammer 1604.

Bahlke, W. H. sh. Lovelace, B. F. 1304 Bailey, Benjamin F. Starting of Polyphase Squirrel-Cage Motors 542

-, V. A. sh. Townsend, J. S. 177, 445 Baillaud, Jules. Distribution de l'énergie dans les spectres de quelque

étoiles des types \hat{B} et A 108 $\hat{5}$. -, René. Instrument photographique des hauteurs égales 1078.

Bakalarz, Franz sh. Kremann, Ro

Baker, T. Y. Visual Acuity 473. -, W. R. G. General Electric Company broadcasting station at Schenectady

Bakker, G. Theorie der Kapillarschich einer Flüssigkeit in Berührung mi ihrem gesättigten Dampf 499.

Balandin, A. Zusammenhang zwischer der chemischen Affinität und den in fraroten Spektren der chemischen Ver bindungen 1488.

Backhaus, Hermann. Siebketten und deren Anschluß an Leitungen 1292.

Balarew, D. Demonstration der Tam mannschen Theorie des Glaszustande mannschen Theorie des Glaszustande 1560.

> Baldit, Albert. Mouvements ondu latoires de l'atmosphère et leur util sation par l'aviation sans moteur 155

Balls, W. Lawrence. Approximate Harmonic Analysis and for Periodicity Measurements 1116.

Determining the Standard Deviation

Mechanically 1131.

Saly, E. C. C. and Morton, R. A. Refractivity and the molecular phase hypothesis 1582.

Bancroft, Wilder D. Tyndall blue in

solids 556.

Recognition of blue 852.

and Allen, R. P. Metallic Luster 1609.

Bandenheuer, Petersh. Wüst, Fritz 528

Banerji, Durgadas. Electron Theory of Solids and Rigidity of Metals 1422. -, R. C. und Dhar, N. R. Temperatur-

koeffizienten einiger Dunkelreaktionen und Lichtreaktionen 1232.

-, Sudhansukumar. Spherical Waves of Finite Amplitude 1719.

, S. K. Effect of Barriers on Ripple-Mark 597.

Bangert, K. Maße der Elektrotechnik 439, 1562.

sangham, D. H. and Burt, F. P. Behaviour of Gases in Contact with Glass Surfaces 1543.

arbaudy, Jean. Entraînement du toluène à la vapeur 958:

arber, I. Garnett. Secondary electron emission from copper surfaces 684.

Wave-Power arclay-Smith, E. A.

Transmission 1626.

ardwell, D. C. sh. Lind, S. C. 244, and Doerner, H. A. Characteristics

of the alpha-ray bulb as a source of ionization 1001.

larker, E. F. Molecular spectra and half-quanta 569.

, Muriel. Very Small Pitot-Tubes for Measuring Wind Velocity 1036. -, T. V. Molecular and Crystal Sym-

metry 286. X-Rays and Crystal Symmetry 823.

Elektronen-Röhren arkhausen, H. 1672.

"J" Phenomena and arkla, C. G. X-ray Scattering 1514.

and Dallas, Miss A. E. M. Corpuscular Radiation exited by X-Rays 919.

arlow, H. Monteagle. Friction between sliding surfaces 1536.

, W. Partitioning of Space into Enantiomorphous Polyhedra 1337.

Apparatus for Barnes, Harry sh. Morton, Richard Alan 309.

Barnett, L. J. H. sh. Barnett, S. J. 1442.

-, S. J. and Barnett, L. J. H. Experiments on the Nature of the Magnetic Molecule 1442.

Barot, J. Mesure des indices des grands disques de verre 550.

Barr, Guy. Capillary tube viscometers 504.

Correction of the density of liquids for the buoyancy of air 1618.

sh. Anderson, John S. 274.

Barratt, S. Influence of Foreign Gases on the Secondary Spectrum of Hydrogen 400.

Absorption Spectra of Mixed Metallic

Vapours 1456.

Barrett, William Henry sh. Hartley, Harold 83.

Barss, W. R. and Bastille, J. E. Effect of humidity on the velocity of sound in air 985.

Bartell, F. E. and Carpenter, D. C. Anomalous osmose of solutions of electrolytes with collodion membranes 280, 347.

- and Miller, E. J. Adsorption by activated sugar charcoal 502.

Bartlett, A. C. Peak voltmeter 1563.

Barton, E. H. and Browning, H. M. Triple Pendulums with Mutual Interaction and Analogous Electrical Circuits 808.

- Viscosities of Liquids experimentally correlated to Pendulum Dampings 1721.

Vola Price. Light sensitivity of cuprous oxide and of selenium 1517. Bartorelli, A. Fattore di potenza e

coefficiente di auto-induzione di un circuito 1500.

-, Gino. Perdita di forza viva delle ruote di un convoglio per effetto della discontinuita delle rotaie 422.

Barus, Carl. Achromatic and superchromatic fringes with a calcite rhomb 305.

Displacements of the capillary electrometer, for progressive dilutions of the electrolyte 815.

acoustic Telephonic excitation of pressure 1041.

Hodograph of Newtonian hyperbolic reflection 1251.

Cylindrical distribution of nodal strength around the pipe normal 1317.

- pesi atomici in rapporto alla costituzione del nocciolo degli atomi 894.
- Costituzione del nocciolo degli atomi 894.
- Baschin, Otto. Einfluß der Achsendrehung der Erde auf rotierende Räder
- Basler, Adolf. Einfluß der Helligkeit auf das Erkennen kleiner Bewegungen 409.
- Bastille, J. E. sh. Barss, W. R. 985.
- Basu, K. Grouping of the Lines of the Secondary Spectrum of Hydrogen
- Perturbations of the orbit of the valency-electron in the generalized
- hydrogen-unlike atom 602.

 -, Nalinikanta. Investigations of the forced oscillations set up in an aeroplane by periodic gusts of wind 1133.
- Bateman, H. Nature of Light-Quanta 781.
- Light-Quanta and Interference 781. - Theory of Light-Quanta 781.
- Bates, L. F. sh. Sucksmith, W. 1145. - and Rogers, J. S. Long-range Particles from Radium-active Deposit 33.
- Long Range α-Particles 537.
 Particles of Long Range Emitted by the Active Deposits of Radium, Thorium and Actinium 1346.
- - Particles of Long Range from Polonium 1346.
- Batscha, Bernhard. Versuch mit Thoriumemanation 1388.
- Batson, R. G. Testing Wires and Wire Ropes 495.
- Battista, Gabriele sh. Cardoso, Ettore 476.
- Batuecas, T. sh. Guye, Ph. A. 221. Bauch, R. Polerdung mittels Erdungsdrosseln als Schutz gegen Erdschlußstrom und durch ihn verursachte Überspannungen 779.
- Baudisch. Wasserräder 1259.
- -, Karl. Leistungsfaktor in Drehstromnetzen 1504.
- Bauer, E. sh. Manchot, W. 1023.
- -, Edmond, Auger, Pierre et Perrin, Francis. Théorie de la diffusion des rayons X 1179.
- -, Louis A. Solar Activity and Atmospheric Electricity 30.
- Relation between Solar Activity and Atmospheric Electricity 179.
- Cosmic effects in terrestrial magnetism and atmospheric electricity 1002.

- Baruzzi, Michele. Serie naturale dei Bauer, O. u. Sipp, K. Abhängigkeit der Schwindung und Lunkerung beim Gußeisen von der Gattierung 22.
 - und Vollenbruck, O. Erstarrungs-Umwandlungsschaubild der Kupfer-Zinnlegierungen 290, 529.
 - Baumann, A. Zusammenhang zwischen Widerstandsverminderung und Gewichtszunahme 507.
 - Bemerkenswerte Bruch--, Richard. erscheinungen 277.
 - Baumeister, L. sh. Grube, H. 1518. Baur, Emil. Potentialdifferenz zwischen zwei flüssigen Phasen 100.
 - Chemismus der Photolyse von Uranyloxalat 1604.
 - -, Franz. Polarfront und Aquatorialfront 1106.
 - Baxandall, David. Early telescopes in the Science Museum 848.
 - Replicas of two Galileo telescopes 1617.
 - Circular dividing engine of Edward Troughton 1705.
 - -, F. E. Lines of Unknown Origin in Various Celestial Spectra 309.
 - Baxter, Gregory Paul. Report of the committee on atomic weights 893.
 - and Cooper, Jr., William Charles.
 - Atomic weight of germanium 1413. and Fertig, George Joseph. Atomic weight of titanium 747.
 - and Scott, Arthur Ferdinand. Atomic weight of boron 92.
 - Bayle, Edmond et George, Henry. Application des méthodes optiques à l'examen des oeuvres d'art 1218.
 - Bayley, P. L. Effect of x-rays on halite and sylvite 269.
 - Bazzoni, C. B. Ionization and resonance phenomena 680.
 - and Lay, J. T. Intensity relations in the helium are in the neighborhood of the ionization point 1284.
 - 23 volt are in helium 1757.
 - and Waldie, A. T. Impact effects in nitrogen and nitric oxide 682.
 - Beal, Harry S. Ground taps and screw thread fits 1476.
 - Beall, Charles G. and Hall, Chester L. Vibration Recorder and Some of Its Applications 1191.
 - Bearce, H. W. Relation Between Inches and Millimeters 209, 339.
 - Bearden, J. A. Test for Possible X-ray Phosphorescence 1597.
 - Beattie, James A. Pressure-volumetemperature relation for gaseous ethyl ether 878.
 - sh. Keyes, Frederick G. 1699.

Beatty, R. T. Monochromator for the ultra-violet, visible, and near infra-red spectrum 395.

Beaujeu, A. Jaubert de. Luminescence par les rayons de Röntgen 269.

Beck, Conrad. Microscope illumination. High power dark ground illumination 1234.

Beckenkamp, J. Feinstruktur des kristallisierten Kohlenstoffs und Benzols 1558.

Becker, A. Präzisionsmessung der Radiumemanation 747.

Radioaktive Quellen 229. -, H. sh. Fraenkel, W. 289.

-, Hans. Graphische Darstellung der Ausbeute und Konzentration Ozonapparaten 29.

-, H. G. Methods of evaporation in the

laboratory 138.

Prevention of Bumping during Vacuum Destillation 1471.

- Constant pressure blowpipe 1707.

and Abbott, W. E. Gasometric method of estimating dissolved oxygen and nitrogen in Water 1540.

and Pearson, E. F. Irregularities in the rate of solution of oxygen by Water 10.

-, Joseph A. Effect of a magnetic field on the absorption of x-rays 920. Magnetic beta ray analysis of soft

x-rays 1069. Velocity distribution of secondary

electrons 1210.

-, Karl. Raumgitter des Triphenyl-

methans 1050.

Kristallstruktur der Metalle, Mischkristalle und Metallverbindungen 235. Metallographische Untersuchungsmethoden 1336.

Röntgenstrahlen als Hilfsmittel für die chemische Forschung 669, 1488. des Drehkristallver-Entwicklung fahrens 1736.

und Rose, H. Gitter des Triphenyl-

methans 19.

Energieströme und Energie-. Kurt. wirbel 1253.

eckett, Clarence A. Definitions of Hardness 734.

eckmann, Ernst 74.

H. Erste elektrische Glühlampe 417. ecquerel, Jean. Absorption de la lumière et phénomènes magnétooptiques dans les composés de terres Benndorf, H. Bezeichnungsweise der rares aux très basses températures 315. eebe, Ralph Alonzo and Taylor, Hugh Stott. Determination of heats

of adsorption 1183.

Béghin, Henri et Monfraix, Paul. Compas gyrostatique 225.

Behnken, Hermann, Jaeckel, Georg und Kutzner, Walther. Geigersche Spitzenzähler als hochempfindliches Reagens auf Röntgenstrahlen 1597.

Fluchtlinientafel für Dreh-Behr, H. zahlen 1251.

-, Leo. Multiple range potentiometers 291.

Beja, M. sh. Riesenfeld, E. H. 582,

Beketow, N. sh. Kurnakow, N. S. 1338.

Belaevsky, Wladimir de. Problème d'élasticité à deux dimensions 421.

Bělår, Maria. Spektrophotometrische Untersuchungen der Verfärbungserscheinungen durch Becquerelstrahlen 384.

- sh. Przibram, Karl 748, 771, 790. Beling, Earlsh. Macintire, H. J. 719.

Bell, Herbert. Halogen Hydrides 1456. -, Hugh Chester. Solubility of Sodium Chlorate 348.

-, Louis. Ghosts and oculars 1778. Bellemin, Eugénie. Sondage optique de l'atmosphère 1450.

Bellenot, H. sh. Berthoud, A. 1100.

Bellesme, Jousset de. Différences entre le vol des insectes et celui de l'aéroplane 1269.

Bénard, Henri. Dispositifs pour projeter sur un écran les tourbillons cellulaires 1116.

Bender, M. sh. Friedrich, W. 1421 Benedicks, Carl. Magnetischer Schutzpanzer aus spiralgewickeltem Eisenblech 182.

Reichertschen Metallmikroskops und Beleuchtungsoptik des Metallmikroskops 1014.

Reflection Benford, Frank. transmission by parallel plates 850. Projection of Light 1005, 1519, 1608,

1693.

Bengtsson, Ernst. Kombinationsbeziehungen bei den Bandenspektren der Kupferflamme 564.

Benischke, Gustav. Induzierung der EMK in einem eisengeschlossenen Transformator 1505.

elektrischen Maßeinheiten 1473.

Bennett, George Macdonald. Interpretation of Surface energy Data 1183. R. H. sh. Kleeman, R. D. 1427.

Theorie der Gas-Bennewitz, K. entartungu.d. Nullpunktsenergie 1468. Benoît, René 74.

Rationelle Beleuchtungs-Berek, M. anordnungen für Mikrophotographie und Mikroprojektion. II. Mikrophotographischer Apparat 1079.

Theorie der Spiegelkondensoren für Dunkelfeldbeleuchtung und Ultra-

mikroskopie 1104.

- Berechnung der Kardinaldaten eines optischen Systems und des Grenzwertes der Isoplanasiebedingung aus der Durchrechnung eines beliebigen Paraxialstrahls 1216.

- Bestimmung der Lage und Größe des wahren Winkels der optischen Achsen und des Charakters der Doppelbrechung aus zwei Auslöschungs-winkeln 1296.

- Dispersion der optischen Symmetrieachsen monokliner Kristalle 1296.

- Dispersion der optischen Symmetrieachsen monokliner Kristalle im ultraroten Gebiet 1296.

Ist die Unterscheidung von selbstleuchtenden und nichtselbstleuchtenden Objekten für die Auswirkungen im Abbildungsvorgang wesentlich? 1355.

Abbildungsvorgang im Mikroskop und Auflösungsvermögen im Hellfeld und

Dunkelfeld 1607.

Berg, Eskil. Pressure, superheat, steam extraction and reheating as affecting power plant economy 1616.

-, Otto, Schwerdtfeger, und Thaller, Rudolf. Werner Normal-Meßgerät für Röntgenstrahlen 1279.

Bergheimer, Eduard sh. Lorenz, Richard 1404, 1728.

Bergman, S. R. Continuous-Current Generator for High Voltage 391.

Type of Single-phase Motor 1504. Bergmann, Ludwig. Einfaches elektrostatisches Relais für den drahtlosen Empfang 365.

Versuche mit der Thomsonspule 386.

- Demonstration elektrischer Schwingungen 1389.

Bergstrand, Osten. Einfluß der Fokussierung auf die photographisch wirksamen Wellenlängen 1102

Bergvall, R. C. sh. Evans, R. D. 1352. Berl, E. und Fischer, H. Explosible Gas- und Dampf-Luftgemische 951. Berlage. Hilfsmodell für den Carnot-

schen Kreisprozeß 871.

-, jr., H. P. Waarom de gebergten op aarde geen grootere hoogte dan + 8000 meter kunnen bezitten 155.

Berliner, Arnold und Scheel, Karl Physikalisches Handwörterbuch 1385. Bernays, P. sh. Reichinstein, D.1183. Berndt. Genauigkeit unserer Parallel-

endmaße 210.

-, G. Abgußverfahren zur Messung von

Innengewinden 340. Tolerierung des USSt-Gewindes 485.

der Interferenz des Anwendung Lichtes im Lehrenbau 588, 1177.

Oberflächenbeschaffenheit bei verschied. Bearbeitungsmethoden 602.

Berührungsfehler 803.

Mechanische Prüfung des Gewinde-flankendurchmessers 1178.

Richtigkeit, Genauigkeit und Empfindlichkeit 1253, 1474.

Kugellager-Passungen 1253, 1529.

und Pfleiderer, N. Mechanische Prüfung des Gewindeflankendurchmessers 485.

Berroth, A. Kinetic Theory of Gravitation and New Experiments in Gravitation 1029, 1030, 1032, 1071.

Berry, Arthur and Swain, Lorna M. Steady Motion of a Cylinder through Infinite Viscous Fluid 1479; Druckfehlerberichtigung 1616.

-, Eugene M. Reflection of light from

a sphere 1373.

-, Jr., T. L. sh. Kouwenhoven, W. B. 908.

Berthelot, Daniel. Loi des états correspondants de Van der Waals

Désintégration cellulaire 1325.

Loi des états correspondants 1611. Berthold, R. Wirkung von Röntgen-

schutzstoffen 112

sh. Glocker, R. 526.

und Glocker, R. Strahlenschutzwirkung von Baustoffen 702.

Berthoud, A. Cinétique de la photosynthèse de l'acide chlorhydrique 1102.

et Bellenot, H. Réaction photo chimique du brome ou de l'iode ave l'oxalate de potassium 1100.

Best, F. H. Measuring Methods for Maintaining the Transmission Effi ciency of Telephone Circuits 1072.

Beutner, R. Phasengrenzkräfte 831 Beverage, Harold H., Rice, Cheste W. and Kellog, Edward W. Typ of Highly Directive Antenna 1502.

Beyerhaus, E. Pitotröhre zur Messung der Richtung und Geschwindigkei beschleunigter Stromfäden 345.

Bhargava, S. and Ghosh, R. N Trevelyan's rocker 601.

iber, P. Messung von Kegeln 1028. Birnbaum, W. ichowsky, F. Russell. Free energy of the thiosulfate ion 862.

ieberbach, L. Mathematische Grundlagen der Nomographie 1708.

ieler, E. S. Effect of deviations from the inverse square law on the scatte-

ring of a-particles 1345.

iéler-Butticaz, Cécile. Variation d'intensité du son pour différentes conditions atmosphériques 1261.

igot, A. Action de la chaleur sur les

kaolins, les argiles 1524.

ijvoet, J. M. Kristallstruktur des Lithiums und Lithiumhydrids 1051. sh. Kolkmeijer, N. H. 362.

ilfinger, Robert sh. Klever, Hel-muth W. 1528.

iltz, Wilhelm. Stereochemie kri-

stallisierter Stoffe 603.

Schmelzelektrolyte, Bornsche Gitterkräfte und Konstitution der Salze 990. Temperaturkoeffizient des elektrischen Leitvermögens 1203.

sh. Voigt, Arthur 1203. und Birk, Erwin. Dichtemessungen an einigen einfachen und komplexen Nickel- und Kobaltsalzen 81.

und Klemm, Wilhelm. Elektrolytische Leitfähigkeit geschmolzenen

Scandium chlorids 106.

inaghi, Rinaldo. Über den Graphit

inder, L. Drehmoment und Schlüpfung des Drehstrommotors 116.

Lichtelektrische Wirkung ingel, J.

in Steinsalzkristallen 1098. ingham, Eugene C. Plasticity and elasticity 595.

and Murray, H. A. Combined Viscometer and Plastometer 984.

irchby, W. N. White light interferometer fringes 1781.

ircher, S. J. and Harkins, William D. Effect of pressure on overvoltage 836.

irge, R. T. sh. Brackett, F. S. 655.

sh. Hopfield, J. J. 564. Raymond T. 3883 cyanogen band

in the solar spectrum 1088. Band spectrum of nitrogen, and its

theoretical interpretation 931.

irk, Erwin sh. Biltz, Wilhelm 81. irnbaum, H. W. Dielektrische Verluste von Kabeltränkmassen 1004. , W. Behandlung des ebenen Problems der Tragflügeltheorie 892, 1045.

Optische Untersuchung des Spannungszustandes in Maschinenteilen mit scharfen u. abgerundeten Ecken 1044.

Das ebene Problem des schlagenden Flügels 1045.

Schlagflügelpropeller und Schwingungen elastisch befestigter Tragflügel 1550.

Bisvas, S. C. sh. Ghosh, J. C. 1088. Bjerknes, V. Forces qui portent les aéroplanes 1311.

Bjerrum, Niels. Dissoziationskonstanten von mehrbasischen Säuren und ihre Anwendung zur Berechnung molekularer Dimensionen 160.

Thermodynamik des Aktivitätskoeffizienten und des osmotischen Koeffi-

zienten 862.

Blackett, P. M. S. Natural Curvature of a-Ray Tracks 294.

Angular Momentum and Electron

Impact 1486.

Blacktin, S. C. sh. Tryhorn, F. G. 885.

Blackwell, O. B. sh. Colpitts, E. H. 1290.

Blaess, V. Einwirkung des Fundaments auf das kritische Verhalten raschumlaufender Wellen 142.

Blankenstein, Edward. Coefficients of ship and momentum transfer in hydrogen, helium, air and oxygen 1538.

Blau, Marietta. Zerfallskonstante von RaA 603.

Bleeker, E. C. u. Bongers, I. A. Intensitätsmessungen in Flammenspektra 1786.

Bleibaum, Irma. Klärung der physikalischen Grundlagen der Lichtbe-

strahlung 1679.

Blench, Ernest Alfred and Garner, William Edward. Heat of adsorption of oxygen by charcoal 1798. Blencke, W. sh. Fricke, R. 1186.

Bloch, Eugène sh. Bloch, Léon 463,

635, 786. -, L. Verwertung von Lichtverteilungs-

messungen 714. et Eugène. Spectres d'étincelle

d'ordre supérieur 463.

- Spectres d'étincelle d'ordre supérieur du mercure 635.

Extension des spectres d'étincelle de l'étain et du zinc dans la région de Schumann 786.

Block, Walter u. Dziobek, Walter. Prüfung von Kubizierapparaten 1475. Blodgett, Katharine B. sh. Lang-

muir, Irving 627, 1658.

Blondel, A. Abaque pour le calcul des constantes caractéristique des lignes de transmission aérienne à haute tension 1710.

d'inscription des écarts ou torsions angulaires des arbres tournants 1409.

Vibrations tournantes et résonance critique des arbres des moteurs à

explosion 1409.

- et Rey, Jean. Vérification de la loi de perception des lumières brèves à la limite de leur portée 1169.

Blücher, Hans. Plastische Massen1738. Blüh, Otto. Existenz des Zwitterions 531.

Dielektrizitätskonstanten von Elek-

trolytlösungen 1654.

Blum, William u. Rawdon, H. S. Kristallform elektrolytisch abgeschiedener Metalle 358.

Boas, Hans u. Pederzani, Th. Elektromagnet 620.

Bochet, Adrien 1.

-, L. Loi des états correspondants de van der Waals 1173.

Bock, H. Störung der Chronometer-unruh durch die Spiralenmasse 818. Bodenstein. Walter Nernst zum 60. Geburtstage 1305.

-, M. Diffusion von kathodischem Wasserstoff durch Eisen und Platin11.

-, Hahn, O., Hönigschmid, O., Meyer, R. J. Bericht der Deutschen Atomgewichts-Kommission 1192.

Bodforss, Sven. Kapillar-elektrisk effekt 829.

Boegehold, H. Bildgröße und Sehschärfe beim brillenbewaffneten Auge

Zum Kosinussatze 1295.

Boehm, E. Der Stechheber 339.

Böhm, J. und Niclassen, H. Amorphe Niederschläge und kristallisierte Sole 438.

-, Otto. Intrittwerfen asynchron anlaufender Synchronmaschinen durch Einschalten der Gleichstromerregung 1074.

Böttcher †, Albrecht 481.

Boggio, Tommaso. Erroneo calcolo numerico relativo alle figure ellissoidali d'equilibrio di masse fluide rotanti 1719.

Bohr, Niels 721.

- Bau der Atome 431, 651.

- Application of the quantum theory to atomic structure 724.

Spectra of the Lighter Elements 932.

Spektren und Atombau 1409.

- sh. Ehrenfest, P. 434.

und Coster, D. Röntgenspektren und periodisches System der Elemente 512.

Blondel, A. Applications d'une méthode | Bokowski, Adalbert. Effekte erste und zweiter Ordnung in der Ein steinschen Gravitationstheorie 142

Energiekomponenten in Hilberts Theorie der Materie 723.

Bollé, E. sh. Ritter, F. 1132.

Bolton, J.W. Graphit im Gußeisen 1139 Bonanno, Paolo. Teoria delle di storsioni elastiche 1534.

Bond, W. N. Forced Vibrations pro duced by Tuning Forks 1041.

Bone, William A., Newitt, Dudley M. and Townend, Donald T. A. Influences of Water Vapour and Hy drogen upon the Explosion of Carbon Monoxide-Air Mixtures at High Pres sures 133.

ngards, Hermann. Welche Arkorpuskularer Strahlung ist als Ur Bongards, Hermann. sache des Polarlichtes anzusehen? 1068

Cosmic origin of the radioactive sub stances in the atmosphere 1136.

Bongers, I. A. sh. Bleeker, E. C. 1786 Photo Book, G. und Eggert, J. chlorierung des Toluols 319.

Booth, L. B. Bubble sextant 1131 Bordoni, U. Trasformazioni isen tropiche dei vapori saturi 949.

Borel, Emile. Jeux où le hasard se combine avec l'habileté des joueurs

Théorème général relatif aux pro babilités dénombrables 1181.

Méthodes et problèmes de théorie de fonctions 1707.

Borelius, G. Tammannsche Resistenz grenzen und Atomverteilung der me tallischen Mischkristalle 1339.

Abhängigkeit der thermoelektrischer Kraft des Eisens von seiner Struktu

1747.

und Gunneson, F. Temperature Periods in the Emission of Occluded Gases from Iron 1186.

und Johansson, C. H. Ausdehnungs messungen bei tiefen Temperature mit Doppelspiegeldilatometer 1524

Borgesius, A. H. Proeven van Hoek et de Haas 927.

Borinski, W. sh. Eggert, J. 713. Born, Max. Quantentheorie un Störungsrechnung 655.

Atomtheorie des festen Zustandes 742 Elektrische Deutung der chemische

Kräfte 1554. - Atomtheorie 1637.

- sh. Heisenberg, W. 1272.

u. - Einfluß der Deformierbarkeit de Ionen auf optische und chemisch Konstanten 1271.

orn, Max u. Heisenberg, W. Einfluß der Ionendeformation auf physikalische und chemische Konstanten 1272.

- Quantentheorie der Molekeln 1307. ornhauser, Oskar sh. Holfelder, Hans 703.

sanquet, C. H. Flow of Liquids into Capillary Tubes 883.

sh. Bragg, W. Lawrence 262.

ose, D. M. and Ghosh, S. K. Tracks of a-Particles in Helium 383.

, Nolini Kanto. Doppeldeckerproblem 1045.

the, W. Durchgang korpuskularer Strahlen durch Materie und Konstitution der Atome 382.

Räumliche Energieverteilung in der

Hohlraumstrahlung 397.

Elektronenrückstoß bei der Zerstreuung der Röntgenstrahlen und Lichtquantenhypothese 848.

Neue Sekundärstrahlung der Röntgenstrahlen 919.

Wechselwirkung zwischen Strahlung und freien Elektronen 1178.

Unterscheidung von Radium, Mesothor und Radiothor durch Gammastrahlenmessung 1196.

Éléments qui déterulouch, R. minent un système centré formé par un nombre quelconque de surfaces 1778.

Problème de l'achromatisme 1778. usfield, C. Elspeth sh. Bousfield,

W. R. 598.

W. R. and Bousfield, C. Elspeth. Vapour Pressure and Density of Sodium Chloride Solutions 598.

ussinesq, J. Cours de physique

mathématique 1705.

ussu, Roger G. Etude de lois de cristallisation et de précipitation dans le cas de sursaturation 287.

utaric, A. sh. Vuillaume, M. 328. et Nabot, Y. Influence, sur la miscibilité du phénol et de l'eau, d'une troisième substance 814.

et Vuillaume, M. Spectre d'absorption des sols de sulfure d'arsenic62. - Propriétés des sources lumineuses

à rayonnement intégral 407.

uwers, A. Nieuve Röntgenbuis 1565. uzat, A. et Chauvenet, E. Chaleurs de dissolution et de formation des chlorures doubles et des sels anhydres correspondants 798. et Leluan, G. Température d'ébulli-

tion du brome 958.

Bovie, W. T. Spark gap with aircooled electrodes 566.

Temperature corrections in direct reading potentiometers for measuring hydrogen-ion concentrations 992.

and Hughes, Walter S. Source of Trouble in Electrometric Measurements of Hydrogen-Ion 170.

Bovis, P. Spectre d'absorption du

brome 1785.

Bowen, Edmund John. Photochemical Decomposition of Chlorine Monoxide 321.

-, I. S. sh. Millikan, R. A. 245, 707,786. and — Series spectra of the stripped

boron atom 1590.

Fine Structure of the Nitrogen, Oxygen and Fluorine Lines in the Extreme Ultraviolet 1784.

Bowman, J. L. Method of producing a square wave of radio frequency 1675.

Bown, Ralph. Measurements of transatlantic radio transmission 1214.

Boyajian, Aram. Physical Interpretation of Complex Angles and Their Functions 1305.

Boys, C. V. General-purpose recording

drum 353.

Bozorth, Richard M. Crystal structure of potassium hydrogen fluoride 93.

Crystal structures of the cubic forms of arsenious and antimonous oxydes 603.

Bracken, J. H. Insulation of Roof Structures 584.

Brackett, F. S. and Birge, R. T. Quantum defect and the Bohr theory of atomic structure 655.

Bradford, S. C. Molecular Theory of Solution 85.

Bradley, A. J. Crystal Structure of Metallic Arsenic 1275. Brady, F. B. sh. Peattie, H. L. 1248. Bragg, W. H. X-rays and Crystal

Symmetry 286.

Relation between the X-ray analysis of crystalline structure and conclusions of mathematical crystallography 360.

- X-ray Examination of Metal Films 1423. Analysis of crystal structure by x-rays

1643.

-, W. L. Structure of Aragonite 1049. Diffraction of X-rays by Crystals 1559.

 Refractive Indices of Calcite and Aragonite 1586.

-, James, R. W. and Bosanquet, C.H. Distribution of Electrons around the Nucleus in the Sodium and Chlorine Atoms 262.

Bragg, William and Morgan, Gilbert T. Crystal Structure and Chemical Constitution of Basic Beryllium Acetate and Propionate 903.

Bramley, Arthur. Condition that an electron describe a geodesic 1711.

Brandt, A. Beziehung zwischen der Gleichung von van der Waals und der Formel von Trouton 1381.

 Verdampfungswärme und Druck gesättigter Dämpfe bei sehr niedrigen Temperaturen 1381.

- Thermodynamische Fläche des Wassers

 Differenz der spezifischen Wärmen bei konstantem Volumen einer Flüssigkeit und ihres Dampfes 1382.

Kohäsionsdruck 1382.

-, Paul F. sh. Freeman jr., John R. 976.

Bratt, Donald. Multiple-Radial System of Cooling Large Turbo-Generators 923.

Braunbek, Werner. Kraft und Feld an der Kathode einer elektrischen Glimmentladung 613.

Braune, H. und Hellweg, H. Diffusion in Mischkristallen 1422.

 und Ramstetter, H. Dissoziation des Joddampfes und chemische Konstante des einatomigen Jods 86.

Brauner, Bohuslav. Einstein and Mach 1715.

Bredemeier, H. sh. Tammann, G. 1340.

Bredig, G. und Goldberger, A. v. Beispiel photochemischer Reaktionskopplung und photochemische Zersetzung des Formaldehyds 1462. Breguet, Louis. Résultante aéro-

Breguet, Louis. Résultante aérodynamique d'un planteur soumis à des pulsations aériennes verticales 1133.

 Résultante aérodynamique moyenne d'un planeur à ailes en M aplati 1267.

 Rendement de la propulsion des oiseaux par battements de leurs ailes 1634.

 Qualités aérodynamiques de l'avion utilisé par Pelletier d'Oisy 1635.

Brohmar Elizabeth de Lacente

Brehmer, Elisabeth sh. Lorenz, Richard 107.

Breisig, F. Fernsprech-Übertragungs-Maß 249.

Breit, G. Propagation of a Fan-shaped Group of Waves in a Dispersing Medium 120.

- Effective Capacity of a Pancake Coil 451.

- Are quanta unidirectional? 656.

Breit, G. Width of spectral lines du to collisions and quantum theory 726

- Interference of light and quantum theory 727.

 Transients of Magnetic Field i Supra-conductors 759.

- Threshold current carried by a supra conducting wire 760.

Electron tube oscillations 773, 157.

 Vacuum tube detector of Hertzia

waves 1071.

 und Onnes, H. Kamerlingh. Magnetic Permeabilities of Chromiun Chloride and Gadolinium Sulphate at the Boiling Point of Liquid Hydroge 839.

Gregory. Method of Measuring Conference and Standardising Wave meters 97.

moudis of.

Breitfeld, C. Volt-Ampere-Zähler fü Dreiphasenstrom 116.

Brenneke, Rudolf. Verdienste Leon hard Eulers um den Potentialbegri 1245.

Brenner, Paul. Steigleistungen vo Flugzeugen 1267.

Brentano, J. Crystal Powder Analys by X-rays 395.

Brenzinger, Max. Aufladevorrichtur für Elektroskope, Iontoquantimet und ähnliche Apparate 117.

Brester, C. J. Kristall-Symmetrie un Reststrahlen 634, 1451.

 Symmetrie van kristallen in verbar met de reststralen 1159.

Breton, J. L. Installation de recherch et d'expériences électriques de l'Offinational des Recherches scientifiques Brewer, A. K. und Daniels, Farring

ton. Bildung von Gasionen bei d Oxydation von Stickoxyd 448.

-, Robert W. A. Achieving Safety Lubrication 1039.

- Boundary Lubrication 1130.

Brezina, Ötto. Zeitgesetze der u elastischen Deformation bei Zink u Flußeisen 975.

Bridgman, P. W. Volume changes five Gases under high pressures 34

- Thermal conductivity of liquids 41

Suggestion as to the approximate character of the principle of relativities.

Compressibility and pressure coefcient of resistance of rhodium a iridium 758.

- Effect of tension on the thermal a electrical conductivity of metals 7

- Thermal conductivity of liquids uno pressure 799.

idgman, P. W. Thermal Conductivity and Compressibility of Rocks under High Pressures 799.

Compressibility of five gases to high

pressures 878.

iggs, Henry. Prehensility: a Factor of Gaseous Adsorption 1542.

and Mallinson, John. Tests upon Dewar Flasks intended to hold Liquid

Air 959.

ill, A. Strahlung der Sterne 1782. fillouin, Léon. Théorie des quanta et atome de Bohr 4.

Marcel. Questions au sujet de

l'univers d'Einstein 277.

iscoe, Henry Vincent Aird and Madgin, Walter Matthew. Freezing-point Curve for Mixtures of Potassium Nitrate and Sodium Nitrate 598.

oca, André et Turchini.

ments des yeux 1521.

odar, Aribert sh. Kremann, Ro-

bert 913.

ode, Robert B. Mean free path of slow electrons in nitrogen, methane, helium, and argon 1209.

Wallace R. Absorption spectra of

certain indicators 1224.

önsted, J. N. Individual thermodynamic properties of ions 814.

oglie, Louis de. Ondes et quanta 782.

Quanta de lumière, diffraction et

interférences 782. et Dauvillier, A. Système spectral des rayons Röntgen et structure de l'atome 1227.

M. de. Changement de longeur

d'onde par diffusion 708.

Spectres corpusculaires des éléments

et Cabrera, J. Etude des rayons y au moyen de leur effet photoélectrique 296.

Photoelektronen der y-Strahlen

639.

- Spectre K d'absorption de l'élé-

ment 72 (celtium) 1514.

et Lepape, A. Discontinuité K d'absorption du krypton et du xénon

conk, Detlev W. sh. Meyer, Charles

F. 781, 1449, 1783.
ooks, C. E. P. Method for the Rapid Determination of Short Periodicities 1180.

Standardization of Electrical H. B. Measuring Instruments 291.

Brotherton, Manfred. Emission of Electrons under the Influence of Chemical Action 1566.

Brown, Joseph G. Variations in certain electrical systems inside a hollow conductor 538.

Electrometer variations due to leakage currents 1493.

Electrometer variations and penetrating radiation 1666.

-, S. G. Improvement in the loud-

speaking telephone 1724.

-, T. B. Wave motion models 1177.

-, W. Byron. Thermal conductivities of metals in the solid and liquid states 956.

Radio frequency tests on -, W. W.

antenna insulators 388.

Browning, H. M. sh. Barton, E. H. 808, 1721.

Brüche, Ernst. Hilfsapparate für Vakuum- und Gasarbeiten 1027.

Brückner, A. Graphisches Rechnen bei der Brillenverordnung 332.

Brüderlin, R.

Messung von Anlaufmomenten 542.

Drehfeldmaschinen mit veränderlicher Reaktanz 1580.

Brüninghaus, L. magnétisme 1341. Lois de l'électro-

Bruère, A. de la. Spectres d'absorption des extraits tannants dans l'ultraviolet 936.

Bruggencate, P. ten. Reste einer Spiralstruktur in Sternhaufen 1726.

Bruhat, G. Prismes à déviation constante 1295.

Réfraction des adiabatiques basses Températures 203.

Bruhns, G. Verwendung von Meßgefäßen bei Wärmegraden, die von der Normalwärme abweichen 419.

Bruins, H. R. sh. Cohen, Ernst 1053. Brun, Marcel sh. Arata, H. 22.

Brunn, Albert von. Bedeutung des Bezugssinnes im Vektordiagramm 1246.

Bruns, Alfredo sh. Cardoso, Ettore 414.

Dynamics of Revolving Brunt, D. Fluid on a Rotating Earth 1719. Brutzkus, Marcus. Théorie des mo-

teurs à combustion interne 72. Bryan, A. B. Dielectric losses at radio

frequencies in liquid dielectrics 370. Bryant, C. H. Third dimension in

monocular vision 409.

Brylinski. Les trois constantes fondamentales de l'électricité et du magnétisme 22.

Expérience de Michelson 549. - Interprétation de l'expérience de

Michelson 1123.

Expérience de Michelson et contrac-

tion de Lorentz 1711. Bubb, F. W. Direction of β -rays Produced by Polarised X-rays 921.

Direction of ejection of photo-electrons by polarized X-rays 1095.

Quantum theory of the direction of ejection of photo-electrons 1096.

Bucherer, A. H. Planetenbewegung auf Grund der Quantentheorie und Kritik der Einsteinschen Gravitationsgleichungen 223.

Buchloh, Werner. Vakuumuntersuchungen 1027.

Bucht, Birger sh. Euler, H. v. 86. Buckingham, E. Method of Dimensions 418.

Unilateral or Bilateral Tolerances? 2.

-, F. sh. Frith, Julius 1266.

Bucksath, W. Elektrische Stoßprüfung von Porzellan-Isolatoren 303.

Baustoffe der Freileitungs-Isolatoren und ihre Anwendung in den verschiedenen Konstruktionen 662.

Büchi, Paul F. Quantenempfindlichkeit der Uranyloxalatphotolyse 1604.

Buel, Albert W. Development of the standard design for self-supporting radio towers 1213.

Bültemann, A. Elektrische Isolierstoffe, insbesond. Bakelitmaterial 700.

Bürki, Friedrich. Formel zur Darstellung der Rotationsdispersion 634.

Rotationsdispersion des Camphers

Anomalien der Rotationsdispersion 1587.

Buhl, A. Calcul tensoriel amétrique 1386. - Origine commune de l'électromagnétisme et de la géométrie différentielle

Buisson, H. sh. Fabry, Ch. 1370.

et Fabry, Ch. Lois du noircissement des plaques photographiques 793. ll, A. J. Non-polarising spectro-

Bull, A. J. photometer 1372.

-, L. Technique photographique pour la mise en évidence de faibles déformations dans les objets rectilignes 1695.

Bullock, E. R. Convection Effects in Photographic Bathing Operations in the Absence of Agitation 1103.

Burali-Forti .. Flessione dei raggi luminosi stellari e spostamento secolare del perielio di Mercurio 78.

Brylinski. Hystérésis magnétique 617. | Burchard, A. Tageslichttechnisches 27(Burgatti, Pietro. Soluzione dell'equi librio dei solidi elastici 1534.

Burger, H. C. sh. Ornstein, L. 8 491, 970, 1165, 1509, 1593.

und Dorgelo, H. B. Beziehun zwischen inneren Quantenzahlen und Intensitäten von Mehrfachlinien 1164

en Ornstein, L. S. Stralings formule en lichtquanta 1153.

Berechnung von Drehstrom Kraftübertragungen 544.

Burgers, J. M. Stationary streaming caused by a body in a fluid with friction 1719.

Geschwindigkeitsglied in der Ber noullischen Gleichung 879.

Burgess, George K. United State Government specification for dr cells 27.

Burmester, A. Dielektrizitätskon stante keramischer Massen 1431.

Joule-Thomson effec Burnett, E. S. in carbon dioxide 1303.

Burns, C. L. Spring Testing Machine 7, 220.

-, Keivin. Measurement of standard wave lengths 793.

- sh. Meggers, W. F. 1361.

Burnside, W. Errors of observation 971 Burstyn, Walter. Die Quecksilber lampe als Funkenstrecke und Unter brecher 1062. Burt, F. P. sh. Bangham, D. H. 154

Burton, E. F. sh. Young, Gilbert, A 1242.

and Currie, J. E. Distribution of Colloidal Particles 1313.

Bury, Charles R. sh. Roberts, Hug Medwyn 426.

Burzio, Filippo. Teoria del proiett pennato 282.

Busch, Hans. Theorie der Beverage Antenne 389.

Bush, V. Transmission Line Transient 543.

Butler, J. A. V. Significance of the Electrode Potential 608.

Solubility of strong electrolytes 146 Butterworth, S. Distribution of the Magnetic Field and Return Currer round a Submarine Cable carrying

Alternating Current 1444. Buttolph, L. J. Mercury arc in quart glass 948.

Butzler, Edward sh. Hersey, May D. 1173.

Byerly, Jr., Perry. Dispersion ar energy distribution in transver elastic waves 1263.

Byk, A. Quantentheorie der Gase und Campbell, Edward D. sh. Smith, Flüssigkeiten 715.

Revidierte Troutonsche Regel der Verdampfungswärmen und Quantentheorie 1378.

Byrnes, I. F. Low-power Radio Telephone and Telegraph Transmitter 36.

€.

abannes, J. Diffusion de la lumière par les gaz transparents 1219.

et Granier, J. Diffusion de la lumière par les gaz transparents. Polarisation de la lumière diffusée latéralement 1220.

abrera, B. Variation thermique de la constante diamagnétique de l'eau 185. Weiss sche und Bohrsche Magnetonen

und Konstitution des Atoms 742. und Duperier, A. Änderung der diamagnetischen Konstante des Wassers mit der Temperatur 1347.

und Piña, S. Einfluß der im Komplex versteckten Anionen auf die Magnetisierungskonstante der Kationen Cr" und (Cr2O)IV 624.

- Veränderung der magnetischen Konstanten des CrO-Kations durch die Wirkung von Schwefelsäure 1348. -, J. sh. Broglie, M. de 296, 639, 1514.

lady, F. E. sh. Hyde, E. P. 52, 63, 948.

-, W. G. Method of testing plates from piezoelectric crystals 829. Mesure des grandeurs élec-

triques sous courant alternatif à fréquence musicale 291.

-, L. et Carvallo, J. Mesures des grandeurs éléctriques sous courant alternatif de fréquence musicale 1495. Jajori, Florian. Fahrenheit Scale 73.

Calderwood, Nora I. et Cramp, W. 843.

Caldonazzo, Bruto. Flusso di un liquido naturale in tubi, o canali scoperti, inclinati 597, 981.

Equilibrio di un velo pesante tri-

angolare 1115.

Jale, F. M. sh. Mc Lennan, J. C. 467. lalthrop, J. E. Effects of torsion on the thermal and electrical conductivities of metals 1379.

Relation between Refractivities and

Sizes of the Atoms 1780.

- sh. Lees, Charles, E. 864.

Calvert, S. sh. Dufford, R. T. 314. Camichel, C. et Escande, L. litude 1482.

Arthur W. 1146.

-, George A. Mutual Impedances of Grounded Circuits 842.

Direct capacity measurement 1741.

-, J. H. P. sh. Whytlaw-Gray, R. 599.

-, Norman. Adjustment of Observations 1393.

Dimensional Analysis 1473.

Measurement of time and other Magnitudes 1710.

-, N. R. Disappearance of Gas in the

Electric Discharge 684.

and New, E. G. Disappearance of Gas in the Electric Discharge 1753. -, Norman R. Physics and Relativity

 Dudding, Bernard P. and Ryde, John W. Substitute for the McLeod Gauge 273.

and Ryde, J. W. H. Disappearance of Gas in the Electric Discharge 1570.

Campo, Angel del und Estalella, J. Neue Banden im Siliciumspektrum 464.

Cantelli, F. P. Spazio-tempo delle orbite kepleriane 1400.

Corso di fisica Cantone, Michele. sperimentale 481.

Capua, Clara di. Durezze delle leghe di piombo e tallio e di cadmio e tallio 529.

Durezza delle leghe di stagno e cadmio e di cadmio e bismuto 1033.

e Arnone, Maria. Durezza delle leghe di piombo-bismuto e di cadmiobismuto 975.

Carathéodory, C. Axiomatik der speziellen Relativitätstheorie 968.

Cardoso, Ettore und Battista, Gabriele. Phänomen der Molekularassoziation 476.

Éléments et Bruno, Alfredo. critiques et tensions de vapeur de l'oxyde de méthyle 414.

et Coppola, Augusto Acquaviva. Densités des phases coexistantes de l'oxyde de méthyle 336.

Cardot, Henry et Laugier, Henri. Eclairage des lampes à vide par friction 1285.

Cario, G. und Franck, J. Sensibilisierte Fluoreszenz von Gasen 56.

Carpenter, Clifford D. Burette and filter stand 419.

sh. Bartell, F. E. 280, 347.

-, H. C. H. Bessemer Steel 344. Carr, Laurence H. A. Pulling into step of an induction-type synchronous motor 41.

raggi X 1681.

Carrelli, Antonio. Luce polarizzata di fluorescenza 1093.

- Fenomeno di Tyndall 1356.

- und Pringsheim, Peter. Polarisierte Phosphoreszenz 57.

- Photolumineszenz von Farbstoffen in zähen Lösungsmitteln 312.

Carrington, H. Strength properties of wrought iron, mild steel and nickel

steel at high temperatures 496. Carroll, Burt H. and Mathews, J. Howard. Calorimeter for heats of mixing at elevated temperatures 1241.

Carson, John R. Equivalent circuit of the vacuum tube modulator 1577.

- sh. Pomey, J. B. 1.

- and Gilbert, J. J. Transmission Characteristics of the Submarine Cable 1073.

Carstens, Paul. Kompressibilitätsmessungen an wässerigen Lösungen

Carter, Charles W. Characteristic of the thermionic vacuum tube, cylindrical type 1575.

Carvallo, J. sh. Cahen, L. 1495.

Carver, Emmett K. sh. Richards, Theodore W. 1312.

Case, John. Bending Stresses in Thin-Walled Tubes 809.

-, Theodore W. Photo-electric effect in audion bulbs of the oxyde-coated filament type 639.

Strontium and Barium Photo-electric

Cells 639.

Casper, L., Hubmann, K. und Zenneck, J. Bestimmung der Kurven-form von Wechselströmen mit Hilfe der Braunschen Röhre 1060.

- - Schwingungskreise mit Eisen-

kernspulen 1669.

-, W. L. Telephone Transformers 1072. Cassen, B. V. sh. Karrer, S. 1205. Castelnuovo. Sulla comunicazione del prof. La Rosa 78.

Castleman, R. A. Logarithmic and semilogarithmic coordinator 1117.

Castrén, H. Bezeichnen bestimmter Stellen in mikroskopischen Präparaten 1103.

Catalán, A. Structure des spectres d'arc des éléments des colonnes 6 et 7 de la Table périodique 1594.

 Methode zur Auffindung der relativen Termwerte in einem Spektrum und seine Anwendung auf das neutrale Vanadiumatom 1361.

-, M. A. Grundzustand der Atome 511.

Carrara, Nello. Riflessione totale dei | Catalán, M.A. Struktur des Scandium-Spektrums 637.

Zeemaneffekt bei den Multipletts des

Molybdäns 790.

System von Quartetten im Spektrum des neutralen Scandiumatoms und Klassifikation nach dem periodischen System 707.

between Pressure Shift, Relation Temperature Glass, and Spectral Terms of the Iron Lines 1592.

Cath, P. G. Uitzetting van metalen draden, die in glas kunnen worden ingesmolten 69.

Cavanagh, Bernard A. M. Molecular

Thermodynamics 860, 861.

Cavazzi, Alfredo. Punti termometrici di ritardo e di arresto durante il riscaldamento lento o rapido della selenite 1492.

Folgerungen der Centnerszwer, M. Gleichung von van der Waals 70, 335.

Cermak, P. Tonbildung bei Metallschläuchen mit eingedrücktem Spiralgang 1318.

Tonbildung in luftdurchströmten

Röhren 1407.

- und Koffka. Bewegungs- und Verschmelzungsphänomene 575.

Cernatesco, R. sh. Siegler, Eugenie 994

Cha, Chien, Incident and emergent velocities of photo-electrons emitted from thin platinum films 1097.

Chadwick, J. sh. Rutherford, E.1192. Chaffee, E. Leon. Regeneration in

coupled circuits 1671.

and Hampson, Alice. Effects of varying the wave length of the stimulating light upon the electrical response of the retina 1694.

Chalonge, D. sh. Lambert, P. 708. Chamié. Ionisation produite par l'hydratation du sulfate de quinine 28.

Chapman, D. L. and Davies, L. J. Phosphorescence of Fused Transparent Silica 1093.

-, Muriel Catherine Canning. Photochemical Interaction of Chlorine and Hydrogen 943.

-, S. Motion of a neutral ionised stream in the earth's magnetic field 1068.

Auroral Observations 1345.

Integrals Occurring in the Kinetic Theory of Gases 1114.

Charlesworth, H. P. sh. Craft, E. B. 391.

Charpentier, P. Détermination des actions électromagnétiques 249.

hatillon, M. sulfate de cobalt en solution aqueuse

haudhuri, R. N. Motion of Electrons in Hydrogen under the action of Crossed Electric and Magnetic Fields

haundy, Theodore. Thin astigmatic

lens 1778.

hauvenet, E. sh. Bouzat, A. 798. havastelon. Diffusion de la vapeur de soufre, dans l'air, à la température ordinaire 1722.

hazy, Jean. Champ de gravitation de deux masses fixes dans la théorie de

la relativité 80, 594.

Mouvement d'une planète dans un milieu résistant 282.

herbuliez, Emile. Détermination du degré de dissociation d'un électrolyte binaire par l'étude de sa conductibilité 1063.

heshire, F. J. sh. Nicholson, J. W.

924.

hevenard, Pierre sh. Portevin, Albert M. 1054.

hild, Allen P. Friction and Carrying Capacity of Ball and Roller Bearings

6, 220. hipart, H. Théories des ondes lumineuses et principe de Carnot 1450. Activité optique dans les cristaux

hireix, H. sh. Latour, Marius 388. hodat, R. Ph. A. Guye 1177. houchak, D. sh. Pouget, I. 749.

houcroun, Mlle sh. Perrin, Jean 1365.

hree, C. The 27 Day Period in Terrestrial Magnetism 34.

Solar Activity and Atmospheric Electricity 31.

Magnetic Phenomena in the Region of the South Magnetic Pole 1002.

and Watson, R. E. Atmospheric Pollution and Potential Gradient at Kew Observatory 1208.

rétien, Henri. Objectifs de Clairaut-Mossotti 1217.

rrist, Ray H. sh. Morgan, J. Livingston R. 1605.

ıristiani, Wilh. Röhrenförmige Isolatoren 696.

Measurement of nurcher, B. G. temperature in a rotating armature by means of thermocouples 1699. amician, Giacomo 209.

lliers, Andries C. sh. Gerlach,

Walther 1622.

offi, P. P. sh. McKeehan, L. W.1148.

Paramagnétisme du Cisotti, Umberto. Influenza della viscosità sul moto di una massa liquida, la cui superficie libera conserva la forma ellissoidale 422.

Rotazioni viscose 1481; Druckfehler-

berichtigung 1616.

Integrazione dell' equazione delle rotazioni viscose 1481; Druckfehlerberichtigung 1616.

- Energia cinetica di masse fluide continue 1479; Druckfehlerberichti-

gung 1616.

Citron, L. Verhalten des Viellinienspektrums des Wasserstoffs bei tiefen Temperaturen 932.

Cittert, P. H. van. Monochromateur de grande luminosité et avec peu de lumière diffuse 406.

Clack, Basil W. Study of diffusion in liquids by an optical method 1627.

Clark, A. B. Telephone Transmission Over Long Cable Circuits 390.

- sh. Martin, W. H. 391.

-, George L. Excitation, reflection, and utilization in crystal-structure analyses of characteristic secondary x-rays 750.

- sh. Duane, William 1453.

- and - Secondary valence by x-rays 233.

- Abnormal reflection of X-rays by crystals 286, 521, 522.

- Method of using X-rays in crystal analysis 520.

- Reflection by a crystal of its characteristic x-radiation 783.

- Tertiary x-radiation 789.

 Wave-lengths of secondary x-rays 1460.

- Evidence as to the mechanism of characteristic radiation 1688.

-, Walter. Sensitivity of a silver bromide emulsion 573.

Clarke, J. R. Fluorescence and Coloration of Glass produced by β -rays 1012.

Claussen, W. sh. Leithäuser, G. 452. Clayera, J. M. sh. Moles, E. 1129. Clayton, W. sh. Gibbs, W. E. 1335.

Clement, Lewis M. sh. Demarest, Charles S. 1148.

Clerc, L. P. Perspective photographique 857.

Clerk, Sir Dugald. Work and Discoveries of Joule 1113.

Bewegungsstörun-Closterhalfen, A. gen der Dampflokomotiven 505.

Coblentz, W. W. Photoelectrical and thermoelectrical properties of molybdenite 60.

trical investigations 60.

Corrosion of polished metal surfaces by ultra violet radiation 1605.

- and Hughes, C. W. Emissive tests of paints for decreasing or increasing heat radiation 1384.

Coe, H. I. Behavior of Metals Under Compression 976.

Coehn, Alfred. Haften und Größe elektrolytisch entwickelter Gasblasen 108.

und Jung, Gerhard. Einfluß des Wasserdampfdruckes und der Wellenlänge auf die photochemische Chlor-

wasserstoffbildung 1462.

— und Neumann, Hans. Elektrostatische Erscheinungen an elektrolytisch entwickelten Gasblasen. I. Elektrostatische Anziehung und Blasen-größe 610; II. Elektrostatische Abstoßung: Die Gasstrahlelektrode 610.

Cohen, Ernst. Metastabilität der Elemente und Verbindungen als Folge von Enantiotropie oder Monotropie 1054.

und Bruins, H. R. Metastabilität der Metalle als Folge von Allotropie und ihre Bedeutung für Chemie, Physik und Technik 1053.

 Metastabilität der Elemente und Verbindungen als Folge von Enantiotropie oder Monotropie 1053.

und Kooy, J. Metastabilität der Elemente und Verbindungen als Folge von Enantiotropie oder Monotropie 1053.

u. Moesveld, A. L. Th. Metastabilität der Elemente und Verbindungen als Folge von Enantiotropie oder Monotropie 1053, 1054.

Kristallisationsverzögerung in übersättigten Lösungen 1054.

Elektrisches, adiabatisches Kalorimeter und Bestimmung der spezifischen Wärme von Cadmiumsulfatlösungen 1109.

und Wolters, J. J. Temperaturformel des Westonschen Normalelements und Löslichkeitskurve des $CdSO_4 . 8/3 H_2O 1651.$

-, Helderman, W. D. und Moesveld, A. L. Th. Metastabilität der Elemente und Verbindungen als Folge von Enantiotropie oder Monotropie 1054.

- - Spezifische Wärme von Salzlösungen (Cadmiumjodid, Ammoniumnitrat und Zinksulfat) 1610.

- - Thermodynamik der Normalelemente 1651.

Coblentz, W. W. Various photo-elec- | Cohen, Ernst, Kruisheer, C. I. und Moesveld, A. L. Th. Temperatur-formeln der Normalelemente und spezifische Wärme der in diesen Elementen vorhandenen Salze 1652.

-, Voller, D. H. Peereboom und Moesveld, A. L. Th. Löslichkeitsbestimmung bei hohem Druck 1187

-, Louis. Applications of Heaviside expansion theorem 1740.

-, W. D. Photo-Catalytic Influence of some Series of Ketones on the light Oxidation of Ethyl Alcohol 227.

Coker, E. G. Recherches récentes sur la photoélasticimétrie 5.

Engineering problems solved by photo elastic methods 143.

Colby, W. F. Formulation of absorption bands in the near infrared 709.

Use of half quantum numbers in interpretation of hydrogen chloride absorption bands 931.

and Meyer, Charles F. Absorption Spectrum of HCl 1783.

Collet, L. J. Magnetisches Feld in de Nähe einer Dreiphasenleitung 696 Collinet, Michel. Energie interne d'w corps élastique 1129.

Collins, E. H. Temperature effect of the regular reflection of x-rays by aluminium foil 751.

-, V. A. sh. Lea, F. C. 219.

Collo, J. B. Sender elektrischer Weller im Innern einer metallischen Hülle

Colpitts, E. H. and Blackwell, O. B Carrier current telephony and tele graphy 1290.

Colson, A. Théorie de la solubilité 280 Formules de solubilité 1187.

Contribution aux lois de la solu bilité 814.

Combridge, J. T. An Einstein Parado: 419.

Compton, Arthur H. Wave-lengtl measurements of scattered x-rays 310 Recoil of Electrons from Scattered

X-Rays 537.

- Absorption Measurements of th Change of Wave-Length accompanying the Scattering of X-Rays 555 Degradation of Gamma-Ray Energ

568.

Spectrum of scattered x-rays 633.

Scattering of X-ray Quanta and th J Phenomena 853.

Quantum integral and diffraction b a crystal 1355.

Quantum theory of uniform rect linear motion 1532.

Compton, Arthur H. Total Reflexion | Copley, A. W. Transformers for Highof X-Rays 1584.

Scattering of X-rays 1597.

Quantum theory of the wave-length of scattered x-rays 1714.

and Hagenow, C. F. Polarization

of secondary x-rays 1091.

and Hubbard, J. C. Recoil of electrons from scattered x-rays 1308. Distribution of range of recoil atoms 514.

Motions of electrons in gases 1759. Properties of Resonance Radiation

and Excited Atoms 1789.

sh. Duffendack, O. S. 1758. sh. Eckart, Carl 1571, 1659. sh. Olmstead, P. S. 682.

and Duffendack, O. S. Dissociation of hydrogen and nitrogen by mercury atoms excited in an arc 1284. and Eckart, Carl. Theory of normal and abnormal low voltage arcs 1438.

Explanation of Abnormal Low

Voltage Arcs 1660.

and Foulke, T. E. Origin of Ions in the Unsustained Glow Discharge 1206.

and Turner, Louis A. Band Spectrum of Mercury and Dissociation of Hydrogen Molecules by Excited Mercury Atoms 1787.

and Zahn, C. T. Electric moment of gaseous HCl and HBr molecules 1655.

Kinetic Energy of Congdon, J. F. Electrons emitted from a Hot Tungsten Filament in an Atomsphere of Argon and Hydrogen 765.

connolly, T. F. Balloon theodolite 849. Theory of the adjustment of levels

1632.

Conrad, F. Sperrketten 1292.

-, K. sh. Pirani, M. 1302.

Conrady, A. E. Study of the Balance 1710.

look, Gilbert. Stresses in pipes reinforced by steel rings 817.

-, J. W. sh. Abbott, R. B. 1407. , S. R. Possible isotopes of the elements 515.

oolidge, A. Sprague. Bifilar quartz fiber manometer 964.

- Adsorption of vapors by charcoal 1546.

sh. Lamb, Arthur B. 663. Baxter, Gregory Paul 1413.

opaux, H. et Philips, Ch. Chaleur

d'oxydation du glucinium 413. opley, A. W. High-Voltage Circuit Breakers 548.

Voltage Systems 846.

Coppola, Augusto Acquaviva sh.

Cardoso, Ettore 336. Cori, Carl J. Präparier- und Planktonlupenstativ 802.

Cork, J. M. Characteristic L absorption of x-rays for elements of atomic numbers 62 to 77 197.

Cormack, P. Automobile Steering

Linkage 90.

Cosens, C. R. G. and Hartridge, H. Vindication of the resonance hypothesis of audition 1042.

Coste, J. C. and Andrews, E. R. Solubility of atmospheric gases in solutions of ammonium chloride 1188.

Coster, D. X-Ray Spectra of Hafnium and Thulium 566.

Qualitative und quantitative chemische Analyse mittels Röntgenstrahlen 820.

Röntgenspektren und Bohrsche Atomtheorie 853.

Botsingen van de tweede soort 1143. Absorptionsspektren im Röntgen-

gebiet 1788.

- sh. Bohr, N. 512. -, Nishina, Y. und Werner, S. Absorptionsspektren in der L-Serie der Elemente La (57) bis Hf (72) 936.

Cotton, A. Argenture du verre par le procédé au formol 1371.

Operation of induction motors at different frequencies 42.

Synchronous motor operation 1353. Counson, L. Construction de volume et pouvoir réfringent de mélanges liquides 459.

Courvoisier, L. Kosmische Refraktion 1712.

Crabtree, J. I. sh. Jones, L. A. 1370. -, Hartt, H. A. and Matthews, G. E. The effect of electrolysis on the rate of corrosion of metals in photographic solutions 857.

Craemer, P. Das deutsche Fernsprechnetz als Teil des zukünftigen euro-

päischen Netzes 249.

Die Deutsche Fernkabel-Gesellschaft 250.

Craft, E. B., Morehouse, L. F. and Charlesworth, H. P. Machine Switching Telephone System for Large Metropolitan Areas 391.

Cragoe, C. S. sh. Osborne, N. S. 271. -, McKelvy, E. C. and O'Connor, G. Specific volume of saturated ammonia vapor 479.

Craig, William M. sh. Richards, | Croze, F. Theodore W. 747.

Stützungsprobleme als Prinzip der Werkstattmeßtechnik 723.

Cramer, E. Spannungsresonanzerscheinungen in ungeerdeten Netzen 629. Cramp, William. Measurement of air

velocities, pressures and volumes 1044. and Calderwood, Nora I. Calculation of air-space flux 843.

Crandall, I. B. and MacKenzie, D. Analysis of the Energy Distribution

in Speech 429. - and Sacia, C. F. Dynamical Study of the Vowel Sounds 1408.

Cranz, H. Totalreflektierende Prismen 1154.

Elementargeometrische Konstruktionen zur astigmatischen Brechung

Cray, Frank Maurice and Garner, William Edward. Rapid Admixture of Hot Combustible Gases with Air 1797.

Crehore, Albert C. Comparison between the Fundamental Equations for the Ponderomotive Force for Point Charges Due to Larmor-Lo-rentz and to Megh Nad Saha 1649. — Newtonian Laws of Gravitation De-

duced from the Saha Electromagnetic Theory Applied to the Copernican

Atom 1649.

Creighton, Henry Jermain Maude and Klauder jr., David S. Solubility of mannite in mixtures of ethyl alcohol and water 348.

Crellin, E. A. 202-Mile Carrier-Current

Telephone 922.

Crichton-Browne, Sir James. James Dewar 1025. Sir Crittenden, E. C., Measurement of

light 1168. Crocco, Arturo. Stabilità intrinseca

dell'elicottero 90.

Impiego dell'elio nei dirigibili 1323.

Croce, M. sh. Musatti, I. 754, 1139. Crofutt, Charles B. K and L absorption and emission spectra of tungsten 790.

Crommelin, C. A. Purification du néon et température critique du néon 1376.

- sh. Mathias, E. 800, 1377.

Crowther, J. A. cillograph 1493. Electrostatic os-

Croze, F. Rapports des raies ultimes et des raies de résonance dans les spectres qui comprennent plusieurs systèmes de séries 1011.

Observations récentes relatives au déplacement spectral d'Einstein 1123.

Crussard, P. Laboratoire d'essais de porcelaine 44.

Császár, E. Theorie der spezifischen Wärme 79.

Culver, Charles A. Improved system of modulation in radio telephony 389.

Curie, Irène. Mesure des fortes ionisations dues aux rayons a 993. Distribution de longueur des rayons a

- et Fournier, G. Rayonnement γ du radium D et du radium E 32.

Action des radiations -. Maurice. rouges et infra-rouges sur les substances photoluminescentes 312.

Spectres d'étincelles dans les métalloides à l'état liquide 784.

 Action des radiations rouges et infrarouges sur les substances photoluminescentes 940.

Photoluminescence des solutions so-

lides 1461.

-, Mme Pierre. L'isotopie et les isotopes 747.

Currie, J. E. sh. Burton, E. F. 1313. Curtis, Frank W. sh. Dowd, Albert A. 2, 75, 140, 211.

-, Harvey L. and Duncan, Robert C. Accurate measurement of short-time intervals 158.

-, Heber D. Laboratory Arcs 1693. -, H. L., Wadleigh, W. H. and Sellman, A. H. Camera for studying projectiles in flight 1727.

Cuy, Eustace J. Form der Schmelzkurven binärer Mischkristallreihen und Gitterparameter ihrer Komponenten 205.

Czapskit, Siegfried u. Eppenstein, Otto. Theorie der optischen In-

strumente nach Abbe 1004.

Czerny, M. Neue Form der Rubens-schen Reststrahlenmethode 119.

Strahlungsemission des Platins 1682. Czerwinski, Johannes sh. Jellinek, Karl 86.

Czochralski, J. Verlagerungshyr these und Röntgenforschung 286. Verlagerungshypo-

Czuber, E. Philosophische Grundlagen der Wahrscheinlichkeitsrechnung 79.

D.

Dadourian, H. M. Simple Derivation of the Lorentz Transformations 486. Dähne, Otto. Profilbildlupen zum Aus-

richten des Gewindestahls auf Drehbänken 275.

Jähne, Otto. Prüfgerät für Abwälz- Darmois, E. Mesure de la concentrafräser, Schnecken u. Kammstähle 646.

Gerät zur Bestimmung der Längen-ausdehnungszahl fester Körper 962. Mikroskop für Werkstoffuntersuchun-

gen 1475.

Dällenbach, W. Zusammenhang zwischen der Glimmspannung in Luft und der Verteilung des elektrischen Feldes 1506.

Daeves, K. Lieferungsvorschriften, Normen und Großzahlforschung 275.

Großzahlforschung 1474.

Eisen-Kohlenstoff-Diagramm 1492.

- sh. Oberhoffer, P. 905.

Dahl, K. sh. Tammann, G. 5.

Daley, Walter. Standardising Tolerances for Taps 588.

Dallas, Miss A. E. M. M. sh. Barkla,

C. G. 919.

- Dallwitz-Wegner, Richard von. Method for the Investigation of Lubricating Oils and Bearing Alloys 483.
 - Vorgänge in der Natur, die als solche eines Perpetuum mobile zweiter Art angesprochen werden können 576. Universelle Schmierölprüfweise 736.

Zustand der oberen Schichten der Atmosphäre 1240.

Atmosphärische Temperaturabnahme nach oben; Sama-Zustand der Materie Messung der Schmierfähigkeit von

Schmierölen 1721.

Daniels, Farrington sh. Brewer, A. K. 448. sh. Williams, John 953, 1798.

and Johnston, Elmer H. Thermal decomposition of gaseous nitrogen

pentoxide 271.

-, Keene, Paul und Manning, P. D. . Wärmeverluste und chemische Wirkung bei Hochspannungs-Hochfrequenzentladungen in Luft 448.

Danielson, R. R. and Reinecker, H. P. Wet-Process enamels for cast iron

1486.

Dann, T. W. Power factor and slip of

an induction generator 426.

Darling, Chas. R. and Stopford, Chas. W. Production of Electromotive Forces by Heating Junctions of Single Metals 1741.

Darmois, E. Observations polarimétriques sur l'émétique, le tartrate

et le malate d'uranyle 193.

Action de l'acide molybdique sur le triques et maliques 462.

- tion en ions hydrogène 814.
- Concentration en ions hydrogène 1063.
- -, G. Problème intérieur dans le cas d'un espace-temps courbe à symétrie sphérique 1122.
- Principes de la théorie de la gravitation d'Einstein et applications 1123.
- Eléments de géométrie des espaces
- et Ribaud, G. Étude théorique et expérimentale du fluxmètre 1495.
- Darrow, K. K. Contemporary advances in physics 355, 1637.

Darwin, C. G. Wave Theory and the Quantum Theory 728.

Dassen, C. Verdrehung eines Winkeleisens mit ausgerundeter innerer Ecke

Datta, Abanibhusan. Application of Bessel Functions to Probability 1026, 1031.

-, Snehamoy. Absorption Spectrum of Potassium Vapour 463.

-, Sushil Krishna. Acoustics of the Pianoforte 665.

Dauvillier, A. Recherches spectro-graphiques de haute fréquence dans le groupe des terres rares 402.

Dosimètre pour rayons Röntgen péné-

trants 1280.

sh. Auger, Pierre 1225.

 sh. Broglie, Louis de 1227. sh. Ledoux-Lebard, A. 548.

Davey, Wheeler P. Radii of the alkali and halogen ions and of the atoms of inert gases 161.

- Precision Measurement of Crystals

230.

 Crystal structure and densities of Cu₂Se and Zn Se 237.

Crystal structures of Al₂O₃, Fe₂O₃ and Cr₂O₃ 237.

Law of periodic relationsship of atomic radii 746.

Periodic law of atomic radii 1046.

 Precision measurements of the lattice constants of pure metals 1332.

Technik der medi-David, Oskar. zinischen Lichtwirkungen 131.

-, W. T. Radiation in Explosions of Hydrogen and Air 260.

Davidson, C. Amount of the displacement in gelatine films shown by precise measurements of stellar photographs 572.

-, C. R. sh. Dodwell, G. F. 1121. pouvoir rotatoire des éthers tar- Davies, A. C. sh. Horton, F. 681, 1000, 1086, 1598, 1759.

hydrogen ion concentration on the formation of colloidal gold in silicic acid gel. Rhythmic bands of purple of Cassius 885.

-, L. J. sh. Chapman, D. L. 1093. Convective Cooling in Davis, A. H.

Liquids 1380.

-, Bergen. Capture of Electrons by Swiftly Moving Alpha Particles 355.

- sh. Hatley, C. C. 1357.

and Nardroff, Robert von. Refraction of x-rays in pyrites 928, 1357.

 and Terrill, H. M. Coefficient of Reflexion of X-Rays for Calcite and Rock-Salt 360.

-, E. W. sh. Middleton, W. I. 632. Davisson, C. Thermodynamics of Thermionic Emission 761, 762.

 Relation between thermionic emission and contact difference of potential 762.

Scattering of electrons by a positive nucleus of limited field 768.

- and Kunsman, C. H. Scattering of low speed electrons by platinum and magnesium 243.

Dawes, C. L. sh. Middleton, W. I. 632. Dean, R. S. and Hudson, W. E. Grain growth in lead containing one per cent of antimony 1647.

Debrie, André. Horociné Debrie 849. Debrunner, P. sh. Schläpfer, P. 474. Debye, P. Zerstreuung von Röntgenstrahlen und Quantentheorie 256.

- Osmotische Zustandsgleichung und Aktivität verdünnter starker Elektrolyte 1106.

- und Hückel, E. Theorie der Elek-

trolyte 577.

- Kataphoretische Wanderungsgeschwindigkeit suspendierter Teilchen 1406.

Decker, Hermann. Zahl der Atomringe im Molekül 1419.

Deckert, Adalbertsh. Meyer, Ulfilas

Décombe, L. Théorie analytique de l'irréversibilité. Transformations élémentaires isocinétiques 65.

Dede, L. Reiben der Gefäßwand mit

dem Glasstabe 1034, 1035. Dee, A. A. Effect of Quenching upon the Magnetism of Steel 771.

Deeley, R. M. Viscosity of Liquids 280. Defant, A. Theorie der Polarfront 1038. Aufbau hoher Zyklonen und Anti-

zyklonen 1182.

Defosséz, L. sh. Jaquerod, A. 84. Deinlein. Temperatur des aus einer Lösung entstehenden Dampfes 206.

Davies, Earl C. H. Effect of light and Deiss, E. Konstanten des Chloräthyls 410.

> Déjardin, Georges. Excitation des spectres de l'argon, du krypton et du xénon 1455.

- sh. Lambert, P. 708. Dejean, P. sh. Fortrat, R. 618.

Delanghe. Méthode pour déterminer graphiquement les éléments du vol d'un avion 1552.

Dellenbaugh, F. S. Artificial Transmission Lines With Distributed Con-

stants 1351.

Dellinger, J. H. Notation for Electron Tube Circuits 627.

and Preston, J. L. Measurement of properties of electrical insulating materials 44.

- Properties of electrical insulating materials of the laminated phenolmethylene type 679.

Radio and Whittemore, L. E. signal fading phenomena 300.

- and Kruse, S. Radio signal fading 1149.

Demarest, Charles S. Telephone Equipment for Long Cable Circuits 390.

-, Almquist, Milton L. and Clement Lewis M. Radio Telephone Signa ling Low-Frequency System 1148.

Deming, Horace G. and Hendricks B. Clifford. Diffusion of hydroger through metals 1186.

Dempster, A. J. Duration of light emission by hydrogen canal rays 201 Determining Factors in the Life of

Metastable Helium 1412.

-, J. B. and Hulburt, E. O. Standards of capacity particularly for radio frequency currents 27.

Demuth, Walter. Hochspannungs-Isolationen aus Hartpapier 1507. Bequereleffekt an

Deneke, Emmi. Wismutoxydelektroden 792.

Denham, H. J. Pilot Lamps in Labo ratories 130.

Deodhar, D. B. Leuchten der Vakuum röhren in der Nähe eines Funkeninduktors 1756.

and Deodhar, G. B. Polarization effects shown by films of certain

fused salts 306.

-, G.B. Änderungen des Torsionsmodul eines Eurekadrahtes durch Ziehen 734

sh. Deodhar, D. B. 306. Desalbres, L. sh. Dupont, G. 930

Des Coudres, Th. Beschränkte Misch barkeit von Materie oberhalb de kritischen Temperatur 1382.

eser, Hans. verkittetem Dialyt 1077.

essauer, F. Transformatoren mit gesteuerter Beanspruchung des Isoliermaterials 302.

Erklärung der biologischen Strahlen-

wirkungen 456.

Röntgentiefentherapie vom physikali-

schen Standpunkt 118.

Streustrahlenverteilung außerhalb des direkt vom Röntgenlicht durchstrahlten Raumes 703.

Wirkungen von Strahlen 701.

Stoffanalyse m. Röntgenstrahlen 1228. Biologische Strahlenwirkung 1680.

eutscher, Arnold. Wohlfeile Luftpumpe 338.

Gleitfunken 370.

Thermoströme aus Kohlenstäben 1388. Zug- und Druckwirkung im magnetischen Kraftfeld 1389.

Versuche über Wirbelströme 1390. Reinigung von Quecksilber 1393.

evaux, H. Contact d'un liquide avec un solide 813.

évé, C. Étude cinématique du travail des surfaces optiques 1355.

ewar, James 645, 1025.

ey, M. L. Phototropic Compounds of Mercury 61.

har, N. R. and Sen, K. C. Studies in adsorption. Charge reversal of some colloids 280.

sh. Banerji, R. C. 1232.sh. Sanyal, A. K. 713.sh. Sen, K. C. 1606.

ickinson, Roscoe G. Anomal spots on Laue photographs 232. Anomalous

sh. Pauling, Linus 1490. u. — Crystal structure of molybdenite

162.

ieke, G. H. Bandenspektra 1787. iekmann, H. sh. Ley, H. 372.

sh. Tammann, G. 1314.

ieterle, R. Einfluß der Unterlage bei der Messung des Oberflächen-widerstandes von Isolierplatten 780. Ermittlung der Durchschlagsspannung von flüssigen und von vergießbaren elektrischen Isolierstoffen 1676. ietzius †, R. Das ultraviolette Ende des Sonnenspektrums als Folge der

Absorptionswirkung des atmosphäri-

schen Ozons 261.

Ozon in den obersten Luftschichten als Schirm gegen die ultraviolette

Sonnenstrahlung 1085.

ik, H. W. J. sh. Zeeman, P. 786. and - Relation between the Spectra of Ionized Potassium and Argon 708.

Theorie von Petzvals | Dines, L. H. G. Can the Geostrophic Term account for the Angular Momentum of a Cyclone 1309.

-, W. H. Cause of Anticyclones 66. Correlation of Upper Air Variables

Dingler, Hugo. Grundlagen der Physik 341.

Grundgedanken der Machschen Philosophie 1256.

Dirac, P. A. M. Relativity Dynamics of a Particle 1712.

Ditisheim, Paul. Balance for Compensating the Temperature Error of Watches and Chronometers, and Centre-seconds Marine Chronometer 352.

Chronomètres observés aux hautes altitudes et dans le gaz hydrogène

1263.

Dittrich, E. Einsteins hydromechanische Ableitung des Theorems von Jacobi 1707.

Dixon, Harold B. and Greenwood, Velocity of Sound in Gilbert. Gases and Vapurs, and Ratio of Specific Heats 954.

Doane, S. E. Significance of Data on Illumination and Production 1373.

Nomographie 1250. Dobbeler, C. v. Dobrowolska, Mlle H. sh. Wertenstein, L. 668.

Dobson, G. M. B. sh. Lindemann, F. A. 577.

Dodd, L. E. Definite art basis for the physical analysis of the quality of voice tones 430.

Dodge, Barnett F. Simplifying the Solution of Problems of Fluid Flow

-, R. L. sh. Larson, A. T. 474.

Dodwell, G. F. and Davidson, C. R. Deflection of Light by the Sun's Gravitational Field 1121.

Doerner, H. A. sh. Bardwell, D. C. 1001.

Floating Doggett, Leonard A. Neutral n-Phase Systems 116.

Doherty, R. E. Method of Analyzing Short-Circuit Problems 386.

and Kierstead, F. H. Short-Circuit Forces on Reactor Supports 40.

Bauart und technische Dohmen, K. Eigenschaften der Fernkabel 249, 776.

und Küpfmüller, K. Abgleichverfahren zur Beseitigung der Induktionsstörungen 250, 1215.

Doi, U. Scattering and Dispersion of

Light 462.

Dolejšek, V. N-Serie der X-Spektren | Downey, William Eric. 1601, 1688.

Doležal, E. Reihenumkehrung 1179.

Dolley, L. G. F. sh. Masson, Irvine 1541.

Dollinger, Hanns. Experimente zur Thermionik 868.

Don, John. Viskosität und Ober-

flächenspannung von Ölen 1537. Donath, Max. Theorie der Kugelfunkenstrecken 1354.

Donati, A. sh. Porlezza, C. 1465.

-, Luigi. Appunti didattici sulla teoria della "Relatività" 276.

Teoria della relatività 1398.

Donato, Vicente Garciash. Donato, José 1447.

-, José y Vicente Garcia. körper beim Verfahren in der Röntgentiefentherapie 1447.

Donder, Th. de. Gravifique einsteinienne 76.

Interprétation physique de la relativité générale 485.

- Formule fondamentale de la nouvelle Gravifique 804.

- Fonction caractéristique de la Gravifique 1710.

Effets physiques produits par le mouvement et la répartition des ultraélectrons 1710.

Donisthorpe, H. de A. Marconi fourelectrode tube 1674.

Donle, Harold P. Applications of the sodion detector 1446.

Donnan, F. G. Aspects of the Physical Chemistry of Interfaces 500, 813,

Dorgelo, H. B. Intensität mehrfacher Spektrallinien 1163.

Intensities of the components of multiple spectral lines 1165.

- sh. Burger, H. C. 1164.

Dorno, C. Technik der Strahlungsmessungen 1679.

Doubleday, Ida sh. Hardy, W. B. 1039.

Douglas, A. V. Absorption und effektiver Weg von β -Strahlen im Radium

Dow, Eric sh. Houstoun, R. A. 1019. Dowd, Albert A. and Curtis, Frank W. Tool Engineering 2, 75, 140, 211.

Dowling, John J. Recording Ultramicrometer 274.

and Harris, J. T. Vibrating-flame rectifier for high-tension currents 631.

- and Preston, Katharine M. Resistance of Electrolytes at High Frequencies 1496.

Relation between Glow of Phosphorus and Formation of Ozone 1093.

Dowsett, H. M. Carborundum and its Rectification Effect 1574.

Draper, Hal D. sh. Finkle, Philip 1181.

Dreibholz. Binäre und ternäre Mo lybdänlegierungen 755.

Dreisch, Th. Segelflug der Vögel und Theorien zu seiner Erklärung 283. Dresler, L. G. Aendringer ved Forsøge

med Whitings Rør 870. Dreyfus, L. Ausbau der Kommu tierungstheorie 1074.

Gesetzmäßiger Zusammenhang zwi schen der Glimmspannung in Luf und der Verteilung des elektrischer Feldes bei beliebig geformten Elek troden 545.

Drucker, C. Grenzwerte des molares Leitvermögens starker Elektrolyt 835.

Riethof, G. Konstitution Kaliumchlorid starker Elektrolyte. Natriumchlorid, Lithiumchlorid und Chlorwasserstoff 1567.

Drude, Paul 645.

Drügg, Walther. Verteilung de Röntgenenergie 1004.

Drysdale, C. V. Distribution of the Magnetic Field and Return Curren round a Submarine Cable carrying Alternating Current 1444.

Duane, William. Transfer in quant of radiation momentum to matter 253

Transfer of radiation momentum in quanta 656.

sh. Allison, S. K. 1687.
sh. Clark, George L. 233, 286
521, 522, 783, 789, 1460, 1688.

- and - Character of tertiary rays a different angles from the primar rays 1453.

Dubois, E. Potentiel disruptif dans le gaz raréfiés 535.

-, P. sh. Koschmieder, Harald 71

-, Raymond. Réalisation d'un os cillographe téléphonique 301.

Dubrisay, René et Picard, Pierre Phènomènes capillaires qui se man festent à la surface de séparation d l'eau et de l'huile de vaseline e présence des acides gras et le alcalis 279.

Tension superficielle à la surfac de séparation de l'eau et d'un liquid organique en présence des acides gra et des alcalis 1130.

uclaux, J. Règle de Pictet-Trouton Duncan, R.D. Theoretical and Practical Aspects of Low Voltage Rectifier

et Jeantet, P. Spectrographie pour l'ultra-violet 642.

uddel Memorial 337.

uddin, Bernard P. sh. Campbell, Norman R. 273.

ümpelmann, R. und Hein, W. Zur Kenntnis des lichtelektrischen Effektes 855.

uffendack, O. S. Secondary spectrum of hydrogen 785.

sh. Compton, K. T. 1284.

and Duncan, D. C. Excitation of the spectra of nitrogen by electron impacts 999.

and Compton, K. T. Dissociation of hydrogen and nitrogen by excited

mercury atoms 1758.

- uffield. Reaction upon the evaporation of a liquid and upon the emission of vapours from small orifices 416.
- W. G. Mechanism of the Electric Are 536.
- Reaction consequent upon the Evaporation of a Liquid and upon the Emission of Vapours from Small Orifices 1243.
- uffieux. Masse des particules qui émettent le spectre secondaire de l'hydrogène 399.

M. Origine du premier et du second groupe positif du spectre de bandes

de l'azote 1784.

ufford, R. T., Calvert, S. and Nightingale, Dorothy. Luminescence of organo-magnesium halides 314.

ufour, A. Enregistrement des oscillations électromagnétiques de grande fréquence 1348.

Marcel. Relation entre l'aberration

et l'astigmatisme 1777.

ufraisse, Charles sh. Moureu, Charles 1171, 1747.

ugas, R. Mouvement d'un point matérial de masse variable avec la force vive, soumis à une force centrale 1119.

umanois, P. Moteurs d'aviation à très haute compression 1703.

Augmentation de la compression dans les moteurs d'aviation 1704.

uncan, D. C. sh. Duffendack, O. S. 999.

, Robert C. sh. Curtis, Harvey L. 158.

Duncan, R. D. Theoretical and Practical Aspects of Low Voltage Rectifier Design when employing the Threeelectrode Vacuum Tube 298.

Dundon, Merle L. Surface energy of

salts 812.

Dungen, F. H. van den. Application des équations intégrales à une proposition de Lord Rayleigh 1128.

- Vibrations propres de torsion 1632. Dunmore, F. W. Continuous-wave

radio transmission 1003.

- sh. Engel, F. H. 1671.

 — Method of measuring very short radio wave lengths and their use in frequency standardization 388.

Dunoyer, L. Excitation des spectres du mercure et de l'hélium par des électrons de faible vitesse 195.

- Spectres d'induction et spectres

d'étincelle 463.

Duperier, A. sh. Cabrera, B. 1347. Dupont, G. et Desalbres, L. Séparation d'inverses optiques par distillation et par cristallisation 930.

Durau, F. sh. Schmidt, Gerhard C. 736.

Durrer, R. Elektrische Leitfähigkeit von Holzkohle und Koks 1141.

Dushman, S. Electron emission from metals as a function of temperature 764.

- sh. Found, C. G. 1569.

- and - Studies with the ionization gauge 1568.

Duval, C. Observation relative au givre sur une ligne à 120000 volts 45.

Dwight, H. B. Proximity Effect in Wires and Thin Tubes 1148.

- Calculation of Skin Effect in Isolated

Tubes 40.

Dye, D. W. Calculation of a Primary Standard of Mutual Inductance of the Campbell Type and Comparison of it with the Similar N. P. L. Standard 440.

Dziobek, Walter sh. Block, Walter

1475.

E.

Eadie, H. I. und Satterly, John. Anderung des Brechungsindex von Sauerstoff mit dem Druck und die Absorption von Licht durch Sauerstoff bei hohen Drucken 703.

Eastman, E. D. Statement of the third law of thermodynamics 576.

 X-ray diffraction patterns from crystalline and liquid benzene 1052. Eastman, Williams, A.M. and Young, T. F. Specific heats of magnesium, calcium, zinc, aluminium and silver at high temperatures 1108.

- - Thermal Energy of Electrons

in Metals 1376.

Ebert, H. Sauggeschwindigkeit einiger Hochvakuumpumpen 273, 1306.

-, Ludwig. Berechnung von Aktivitätskoeffizienten einfacher Ionen 1106.

Eccles, W. H. and Jordan, F. W. Method of Amplifying Electrical Variations of Low Frequency 690.

Eckardt, B. Kontaktthermometer 1301. Eckart, Carl sh. Compton, K. T. 1438, 1660.

— Abnormal low voltage arc 1659.

sh. Jauncey, G. E. M. 18.

 and Compton, K. T. Oscillations in the low voltage helium are 1571.
 Eckenberg, W. sh. Precht, J. 918.
 Eckersley, P. P. Characteristics of a new type of loud-speaker 1724.

- Duplex Wireless Telephony 690.

Eckert, Fritz. Physikalische Eigenschaften der Gläser 1154.

Eckhardt, E. A. sh. Keiser, M. 1629.
and Karcher, J. C. Chronographic recorder of radio time signals 301.

Eddington, A. S. Comparison of Whitehead's and Einstein's Formulae 1120.

Eddy, Russell J. Apparatus for the Rapid and Accurate Determination of the Carbon Content of Steels in Open Hearth Steel Works 484.

-, W. N. sh. Hayden, J. L. R. 1353.

Edgeworth, F. Y. Use of Medians for reducing Observations 1179.

Edison, Thomas Alva 721.

Edridge-Green, F. W. Colour Vision and Colour Vision Theories 330, 1019.

Edwards, Preston. Apparatus for Testing Pitch Control 1317.

Eger, Georg. Gefüge elektrolytisch hergestellter Metallbleche 1736.

Egerton, A. C. Vapour Pressure of Lead 644.

- Separation of the Isotopes of Zinc 434.

- and Lee, W. B. Separation of Isotopes of Zinc 285.

- - Density Determinations 871.

 and Raleigh, Frank Victor. Vapour Pressure of Cadmium and its Alloys with Zine 649.

Eggert, J. Cyanometrisches Verfahren zur quantitativen Silberbestimmung in photographischen Präparaten 641.

- sh. Bock, G. 319.

Eggert, J. und Archenhold, G. Optisches Streuvermögen photographischentwickelter Silberschichten 1464.

 und Borinski, W. Photochemische Sensibilisation der Maleinesterumlage rung durch Brom 713.

 und Noddack, W. Pr
üfung des photochemischen Äquivalentgesetzes an Halogensilberemulsionen 855.

 – Prüfung des photochemischer Äquivalentgesetzes an Trockenplatter 856.

– Untersuchungen an photographi

schen Systemen 1792.

Ehrenfest, P. Adiabatische Transformationen in der Quantentheorie 654.

 Alter Trugschluß betreffs des Wärmegleichgewichtes eines Gases im Schwerefeld 1240.

- sh. Einstein, A. 490.

- sh. Epstein, P. S. 1125.

- and Bohr, N. Difference between Series Spectra of Isotopes 434.

Ehringhaus, A. Abhängigkeit der relativen Dispersion der Doppel brechung von der Richtung der Licht fortpflanzung im Kristall und vor Temperaturänderungen 1222.

 und Rose, H. Abhängigkeit der relativen Dispersion der Doppelbrechung vom Atomgewicht 560.

 und Wintgen, R. Lichtabsorption von fein in geschmolzenem Boraz verteiltem Gold 1156.

Eichel, Eugen. Charles Proteus Steinmetz 481.

Eichelberg, Gustav. Temperatur verlauf und Wärmespannungen in Verbrennungsmotoren 719.

Eichholz, W. Kraftwirkungsfiguren in Eisen und Stahl durch makroskopi

sche Ätzverfahren 1423.

Eichlin, C. G. sh. Tool, A. Q. 1243 Eicken, H. sh. Schneider, W. 674 Einstein, Albert 721.

 Bietet die Feldtheorie Möglichkeiter für die Lösung des Quantenproblems 724.

- Gedenktag von Lord Kelvins Gebur 1473.

- und Ehrenfest, P. Quantentheori

des Strahlungsgleichgewichtes 490. Eisenhart, L. P. Einstein and Soldne

Eisenmenger, H. E. Mechanics Strenght in Its Relation to Absolut Size 1181.

Eisner, F. Verwendung zeichnerische Rechenverfahren im Eisenbau 137. tel, W. Silikate 1524.

am, C. F. sh. Taylor, G. I. 18.

dridge, John A. Low voltage spectrum of mercury 786.

Excitation function of the mercury

spectrum 998.

Probability of inelastic collision of electrons in mercury vapor 1436. Spectrum of mercury below the ionization potential 1786.

ias, G. J. Het elektromagnetische

veld van een zender 187.

içabe, A. sh. Gans, Richard 1138. lett, Alexander sh. Wood, R. W. 57. liot, F. A. sh. Sheppard, S. E. 574, 1620.

lis, C. D. Interpretation of β -ray

and γ -ray spectra 1766.

and Skinner, H. W. B. Absolute Energies of the Groups in Magnetic β-Ray Spectra 1441.

- Reinvestigation of the β -Ray Spectrum of Radium B and Radium C

1441.

- Interpretation of β-Ray Spectra

1442.

Joseph W. Near infra-red absorption spectra of some organic liquids 787. Harmonic frequency relations in the infrared absorption spectra of liquids and solids 932.

men, G. W. sh. Arnold, H. D. 247,

sbach, Alfred C. Kant und Einstein

sey, Howard M. Projection electroscope for measurements in radio-

activity 96.

nde, Fritz. Einheiten elektrischer und magnetischer Größen 418. Sinusrelief und Tangensrelief in der

Elektrotechnik 646.

Zwischenraums Überbrückung des beim Induktionsvorgang 687, 1505. nden, R. Astronomische Strahlenbrechung in polytropen Atmosphären 1082.

nmel, K. Perlitguß 828.

sh. Meyer, Hans Th. 1278. ischwiller, Guy sh. Job, André 1230

gel, F. H. sh. Dunmore, Francis W. 388.

- Directive Type of radio beacon 1671.

gelhardt, Viktor. Messung der dielektrischen Festigkeit von Isolierölen 1581.

Prüfung der Durchschlagsfestigkeit

von Isolierölen 1745.

Engler, Werner. Untersuchung der Knickfestigkeit und des Einspannungsverhältnisses von Balken auf dynamischem Wege 155.

Enskog, D. Quantentheorie des Dampfdruckes und der Dissoziation 716.

Enwald, E. Bestimmung von Restitutionskoeffizienten 155.

Fortschritte in der Eppenstein, O. optischen Gewindemessung 1118.

sh. Czapski, Siegfried 1004. Eppley, Marion sh. Vosburgh,

Warren C. 291, 907. Epstein, P. S. Simultaneous action of an electric and a magnetic field on a hydrogenlike atom 655.

Ferromagnetism and quantum theory

Theory of the electric arc 1756.

- Stark Effect for Strong Magnetic Fields 1791.

and Ehrenfest, P. Quantum theory of the Fraunhofer diffraction 1125. Erhard, H. Hensoldts Jagddialyt als

Lupe 848.

Eriksen, J. K. Apparat til Demonstrering af Praecession og Nutation 802.

Erikson, Henry A. Isolation of the initial and final positive air ions 765.

Mobility in air of ions produced in carbon dioxide 1206.

Erk, S. sh. Jakob, M. 1550.

Dielektrizitätskonstante Errera, J. kolloider Lösungen 172.

 Pouvoir inducteur spécifique solutions colloïdales 172, 610.

Supports colloidaux pour l'obtention de spectres d'émission de solutions 574.

Errulat, F. Seismische Registrierungen in Gr.-Raum im Jahre 1922. Mikroseismische Bodenunruhe 15.

Esau, A. Braunsche Rahmenantenne

Escande, L. sh. Camichel, C. 1482.

— et Ricaud, M. Similitude des mouvements hydrauliques 1482.

Escher. Entraînement du polonium avec l'hydrate de bismuth en solution sodique 15.

--Desrivières, J. Entraînement du polonium, en solution sodiqué, par divers corps 1723.

Esclangon, Ernest. Déviation einsteinienne des rayons lumineux par Déviation einle soleil 1123.

Estalella, J. sh. Campo, Angel del 464.

Struktur dünner Estermann, J. Silberniederschläge 236.

Estermann, J. und Stern, O. Sicht- Fabry, Ch. René Benoît 74. barmachung dünner Silberschichten auf Glas 236.

Estragnat, P. Ampères-tours nécessaires à l'aimantation des dents dans les machines électriques 251.

Ettenreich, R. Spannungsabfall in Elektronenröhren 1215.

Eucken, A. Theorie der Adsorptionsvorgänge 12.

Bildung des Ozons bei niedrigen Drucken und tiefen Temperaturen 712.

Euler, H. v. und Bucht, Birger. Sorptionsgleichgewichte 86.

- und Rudberg, Erik. Reaktions-

vermittelnde Moleküle bei einer Lichtund Dunkelreaktion 1463.

Evans, E. J. sh. Harlow, F. J. 687. -, J. C. sh. Shaxby, J. H. 82.

-, John W. Molecular and Crystal Symmetry 361.

-, M. H. and George, H. J. Adsorption of Gases by Solids and the Thickness of the Adsorbed Layer 1261.

—, R. D. and Bergvall, R. C. Ex-perimental Analysis of Stability and Power Limitations 1352.

-, Ulick R. Mechanism of the socalled "dry corrosion" of metals 167. Everett, Alice. Unit Magnification Surfaces of a Glass Ball 848.

Everling, E. Wertung von Segelflügen 353.

Mechanik des Segelfluges 353, 893.

Luftfahrt und Technik 1045.

Ewald. Kristalle und Röntgenstrahlen. Zusammenstellung der Strukturen 1052.

-, P. P. Kristalle und Röntgenstrahlen 93.

 Röntgenstrahlen und Kristallbau 1642. Ewles, J. Cathode-Luminescence and its Relation to States of Molecula. Aggregation 466.

Exner, Franz. Theorie des Farben-

sehens 408.

Eydoux, D. Nécessité de l'existence du vecteur tourbillon dans les mouvements des liquides 1718.

Eyring, Carl F. sh. Millikan, Robert

F.

Faber, Georg. Beweis, daß unter allen homogenen Membranen von gleicher Fläche und gleicher Spannung die kreisförmige den tiefsten Grundton gibt 1534.

- Théorie de la relativité et déplace ment des raies spectrales produit pa le champ de gravitation 77.

Arnaud de Gramont 1385.

sh. Buisson, H. 793.

- et - Propriétés des plaques phote graphiques 1370.

Fairbourne, Arthur. Limit of Appl cability of the Second Law of Thermo dynamics 579.

Gas Pressures and the Second La

of Thermodynamics 579.

Fairchild, C. O. Disappearing File ment Optical Pyrometer Free from Diffraction Effects at the Filamer 797.

Fajans, K. und Frankenburger, W Besetzungsdichte bei der Adsorptio von Silberionen durch Bromsilber 31

und Hassel, O. Titration vo Silber- und Halogenionen mit b ganischen Farbstoffindikatoren 43 - und Ryschkewitsch, E. Schmel

punkt des Graphits 1799.

Fales, Harold A. and Stammelman Mortimer J. Collodion Membrar for Liquid Junctions 531.

Electronic bon Farnsworth, H. E. bardment of copper 766.

Electronic bombardment of meta 1765.

Farwig, K. Normaler und selektive Photoeffekt der Alkalimetalle 79

Faxén, Hilding. Bei Interferenz von Röntgenstrahlen infolge der Wärm bewegung entstehende Streustrahlur

Bewegung einer starren Kugel län der Achse eines mit zäher Flüssigke gefüllten Rohres 500.

Fazel, C. S. sh. Karrer, S. 120 Federhofer, K. Synthese der Getrie

Fedotieff, P. P. und Lebedeff, Absorptionsspektra von gefärbt Gläsern 1167.

und Iljinsky, W. P. Schmelzbarke des ternären Systems: Natriu fluorid, Calciumfluorid, Aluminiu fluorid 438.

Fehrle, Karl. Beziehung zwischen o sprungweisen Änderung der Ator und den harmonischen Komponent ihrer Massenänderung 1638, 1639.

Feldmann, C. Erwärmung von seilten Mehrleiterkabeln mit meta sierten Adern 371.

Ferguson, Allan. Relation between surface tension and density 499. guson, Allan. Measurement of Interfacial Tensions

Modification of the Capillary Tube Method for the Measurement of Surface Tensions 1720.

Angle of Contact between Paraffin

Wax and Water 1721.

J. B. sh. Williams, G. A. 1540. J. G. Clock-Controlled Tuning Fork as a Source of Constant Frequency 1247.

rmi, E. Existenz quasi-ergodischer

Systeme 1128.

Principio delle adiabatiche e sistemi che non ammettono coordinate ango-

lari 653.

Teoremi di meccanica analitica importanti per la teoria dei quanti 653. Probabilità degli stati quantici 1031. Fenomeni che avvengono in vi-cinanza di una linea oraria 1399. Correzione di una grave discrepanza tra la teoria delle masse elettromagnetiche e la teoria della relatività 1399.

e Pontremoli, A. Massa della radiazione in uno spazio vuoto 122. rrari, A. sh. Levy, G. R. 1557, 1737. rrié, G., Jouaust, R. et Mesny, R. Amplification du courant des cellules photo-électriques et ses applications

571.

tig, George Joseph sh. Baxter,

Gregory Paul 747.

issner, Otto. Graphische harmoni-

sche Analyse 482.

Veränderung des Temperaturkoeffizienten von reinem Platin bei mechanischer Beanspruchung 532.

Bohrsche Atomtheorie und elektri-

sche Leitfähigkeit 1729.

astner, O. Messungen an Elektronenröhren 190.

la, F. Polare und axiale Vektoren

in der Physik 1305.

ker, H. v. Polarfronttheorie 1106. linger, Paul. Notched-Bar Impact Tests 495.

lius, M. F. sh. Jones, L. A. 1300. on, L. N. G. Measurement of true height by aneroid 648.

dlay, Hugh. Response of plants

to artificial light 1105.

k, William L. sh. Smith, Arthur

W. 1146.

kel, J. sh. Kurnakow, N. S. 1338. kenrath, Kurt. Quantitative Strahlenmessung in der Lichtbehandlung 456.

Methods for the | Finkle, Philip, Draper, Hal D. and Hildebrand, Joel H. Theory of emulsification 1181.

Finzi, Bruno. Moti di fluidi incompressibili il cui vortice è normale alla velocità 1482; Druckfehlerberichtigung 1616.

Fioroni, W. sh. Karrer, P. 412.

- sh. Schläpfer, P. 67.

Firth, J. B. Kohle 153. Sorptionsaktivität der

Fischbeck, Kurt. Dreistoff-Schaubild der Eisen-Chrom-Kohlenstoff-Legierungen 1277.

Fischer, Franz und Krönig, Walter. Vorgänge bei der Entladung der

Knallgaskette 1743.

und Pfleiderer, Georg. Löslichkeit von Sauerstoff in verschiedenen organischen Lösungsmitteln 10.

H. sh. Berl, E. 951.Johannes. Beugungserscheinungen bei sphärischer Aberration 1219.

-, K. Transformatoren mit gesteuerter Beanspruchung des Isoliermaterials 1506.

Vierdrahtverstärkerschaltung mit natürlicher Leitungsnachbildung 250,

-, V. Veränderung von Zustandskurven zwischen beliebigen Grenzkurven nebst Anwendungen auf Wasser, Kohlensäure und Luft 1173.

Dampfspannungsgleichung bei tiefen

Temperaturen 1383.

- Berechnung der Luftverflüssigungsund Trennungsapparate 1471.

Fisher, E. A. Evaporation of Water from Wool, Sand and Clay 280. Freezing of water in capillary sy-

stems 1383.

-. R. A. Errors of observation 420. Fitzgerald, A. S. Apparatus for the protection of alternating-current circuits 1776.

Flagle, W. W. sh. Schwartz, H. A. 988. Flanders, Ralph E. New Screw Thread Standard 2, 3, 74, 139, 210, 340, 722.

Flatt, Robert. Atomvolumen und Löslichkeit 284.

Fleischer, Richard sh. Suhrmann, Rudolf 103.

Fleischmann, Lionel. Graphical Treatment of Circuits Containing Iron Core Reactances and Capacity 1348.

Fleissner, M. sh. Przeborowski, Jaroslaw 831.

Progrès de la télé-Fleming, J. A. graphie sans fil depuis vingt ans 1. Fleming, J. A. Problems intelefony, Forbes, A. and Mann, David solved and unsolved 116.

Determination of magnetometer con-

stants 1145.

Work at the observatories of the department of terrestrial magnetism of the Carnegie Institution 1002.

-, R. T. Properties and characteristics of insulating materials 1677.

Fletcher, H. What is the physical criterion which determines the pitch of a musical tone? 430.

Physical measurements of audition and their bearing on the theory of

hearing 87, 429.

- Nature of Speech and Its Interpretation 429.

Experiments on the pitch of musical tones 738. - Physical criterion for determining the

pitch of a musical tone 1041.

- sh. Martin, W. H. 887. Flight, W. S. Effect of heat on the electric strength of insulating materials 252.

Flürscheim, B. Electronic Theory of

Valency 1417. Foch, A. Similitude dynamique d'un tube d'aspiration et de son modèle 597. Fock, V. sh. Krutkow, G. 654.

Föppl, A. Der Schubmesser. Feinmeßgerät für Festigkeitsversuche 154.

Drehschwingungsfestigkeit und innere Dämpfungsfähigkeit von Stahlsorten 661.

Foerster, F. Zur Erinnerung an Hans Goldschmidt 1.

(Nach Versuchen von A. Nobis und H. Stötzer†.) Wasserstoff-Chlorkette 101.

Elektrochemie wässeriger Lösungen 16. Foëx, G. Liaison entre moment atomique et champ moléculaire 181.

Fogler, Mayor F. und Rodebush, Worth H. Heats of vaporization of mercury and cadmium 334.

Fokker, Prof. Dr. A. D. 1245.

Anomale physeverloop bij een brand-

punt 457.

Hyberbolische zones van Fresnel bij golfoppervlakken met dubbele kromming en bij platte golven in dubbelbrekende media 1585.

Foley, Arthur L. Causes of and remedies for the inefficiency of loco-

motive whistles 1041.

Fontenay, F. sh. Villey, J. 1310. Foote, Paul D., Ruark, A. E. and Mohler, F. L. D_2 Zeeman pattern for resonance radiation 791.

Revolving mirror for use with t string galvanometer 1341.

Forcrand, R. de. Hydrates de krypti

et d'argon 67.

Ford, G. Winifred sh. Haughto John L. 363.

-, J. M. sh. Wood, A. B. 1130.

Forrer, R. Variation de l'aimantati spontanée en fonction de la temp rature: appareil de démonstration 1?

sh. Weiss, Pierre 182, 1770.

Forster, A. Vergleichende Betrachtu gen über die Dimensionen elektrisch Größen 419.

Forsythe, W. E. Morse optical pyr meter adapted to a wide range

laboratory uses 66.

Colour Temperature and Brightne of Moonlight 308.

Intercomparison of the high temp rature scales in use in America wi those in use in England 797.

- sh. Hyde, E. P. 52, 63.

Fortescue, C. L. Design of inductance for high-frequency circuits 451.

Transmission Line Stability 1352.

Sources of distortion in the amplif. 1724.

Bande $\lambda = 3064 \,\text{Å}$ Fortrat, R. l'oxygène 1512.

et Dejean, P. Essai d'une bobi sans fer donnant des champs magn tiques intenses 618.

Fortsch, A. R. sh. Pearce, J. N. 12 Foster, J. Stuart. Analysis of t Stark effect in Balmer's series

Lo Surdo's method 125. Stark effect in helium which cor sponds to that observed in t

Balmer series 1162.

Combination series in the heli spectrum 1163.

Six-prism glass spectrograph 10

Fine analysis of the Stark effect

 H_{β} and He $\lambda 4686$ 1690. Stark effect in hydrogen and heli

1690. -, Ronald M. Reactance Theorem 15

Foulk, C. W. Precision hydrometer 5 Hollingsworth, — and Mari Composition of the constant-boil mixture of hydrogen chloride water 1471.

Foulke, T. E. sh. Compton, K. T. 12 Found, C. G. sh. Dushman, S. 15 and - Studies with ionization ga

1569.

ournier, E. Piles à dépolarisation par | Frauenthal, A. H. Factors Governing l'air employées en télégraphie sans

. F. E. Tourbillons eyeloniques des cirrus ne se propageant pas jusqu'au niveau terrestre 1535.

, G. sh. Curie J. 32.

owler, A. Series Spectrum of Trebly-

Ionised Silicon 49.

Spectra of the Lighter Elements 932. Spectra of Silicon at Successive Stages of Ionisation 1593.

, R. H. Origin of Optical Spectra 265. Theory of the Motion of a-particles

through matter 295.

Sutherlands' constant S and van der Waals' a and their relations to the intermolecular field 579.

Bohr's atom in relation to the pro-

blem of covalency 897.

and Lock, C. N. H. Origin of the Disturbances in the Initial Motion of a Shell 1719.

Aerodynamics of a Spinning Shell 1719.

raenkel, Adolf. Einleitung in die Mengenlehre 137.

, W. und Becker, H. Kinetik der Umwandlung abgeschreckten $a-\beta$ -Messings 289.

und Heymann, E. Kinetik der Anlaßvorgänge im Stahl 1055.

and Scheurer, E. Researches of the Duralumin Problem 529.

raichet, L. Essai magnétique des aciers à la traction. Limites élastiques 183.

ranck, J. Sensibilisierte Fluoreszenz von Gasen 466.

sh. Cario, G. 56.

und Knipping, P. Helium und Parhelium, sowie Auswahlprinzip und Reaktionsgeschwindigkeit 1047.

und Pringsheim, P. Fluoreszenz

von Gasen 56.

ranckenstein, Wilhelm. Chemische Grundlagen der Brennstoffverwertung 1702.

rank, Otto. Leitung des Schalles im Ohr 88.

ranke, H. Meßdifferenz bei der Prüfung v. Röntgenschutzstoffen 450. rankenburger, W. Spektrale Emp-findlichkeit des Bromsilbers und ihre Beeinflussung durch adsorbierte Stoffe 320. sh. Fajans, K. 319.

raser, Ronald and Humphries, J. E. Octed Theory of Induced Alter-

nate Polarities 436.

Out-of-Roundness Measurement 211,

Frazer, J. C. W. sh. Grollman, Arthur 140, 152.

sh. Lovelace, B. F. 1304.

Fredericq, Léon. Temps perdu dans l'ordre d'apparition des images consécutives négatives 408.

Fredrickson, William sh. Kleeman,

Richard D. 530.

Freeman jr., John R. and Brandt, Paul F. Influence of the Ratio of Length to Diameter in the Compression Testing of Babbitt Metals 976.

Frémont, Charles. Influence de la vitesse d'impact dans le tarage des ressorts dynamométrique 156.

French, James Weir. Alexander

Gleichen 337.

 Stereoscopy re-stated 473.
 Frerichs, R. Das Bandenspektrum des Kupfers 636.

Freund, Hugo. Chemische und mikroskopische Prüfung der Metalle 991. Freundlich, E. Beobachtung der

Lichtablenkung während der totalen Sonnenfinsternis am 21. September 1922 592.

und Hochheim, Ernst. Ursprung der sogenannten Cyanbande

3883 Å 1512.

-, H. und Wreschner, Marie. nahme von Uran X, und Thorium durch Kohle 1545.

Frey, H. und Walter, H. Ferrolegierungen 95.

Fricke, H.

Zur Klärung des Ätherproblems 341. Postulat der absoluten und relativen

Welt 969. -, Hugo. Electric capacity of cell

suspensions 85.

and Morse, Sterne. Electric conductivity of suspensions 1751.

-, Robert. Wachsen von freischwebenden Gasblasen in mit demselben Gase übersättigten Flüssigkeiten 10.

Reiben der Gefäßwand mit dem

Glasstabe 1034, 1035. und Blencke, W. Wachsen von freischwebenden Gasblasen in mit demselben Gase übersättigten Flüssigkeiten 1186.

-, Kleebeck, H. und Frieling, E. Theorie der Liesegangschen rhyth-

mischen Fällungen 1188.

und Rohmann, C. Förderung der Ausscheidung von Kristallen und Gasen aus übersättigten Lösungen 349. Friedel, G. Biréfringence du diamant Fues, E. spektra

Friedmann, A. Möglichkeit einer Welt mit konstanter negativer Krümmung des Raumes 806.

Friedrich, K. Vektorrechnung 1526.
–, W. und Bender, M. Azimutale
Verteilung der Röntgenstreustrahlung
1421.

-, Walter sh. Meyer, Julius 85.

Frieling, E. sh. Fricke, Robert 1188. Friese, Rob. M. Hartfeuerporzellan und Hochspannungsisolatoren 847.

Friis, H. T. and Jensen, A. G. High Frequency Amplifiers 1350.

Frith, Julius and Buckingham, F. Whirling of Shafts 1266.

Fritts, Edwin C. Dielectric constants

of five gases 1281.

Fritzmann, E. Elektrische Leitfähigkeit komplexer Verbindungen des Platins und Palladiums mit organischen Monoseleniden 1140.

Frivold, O. E. Theorie des Ferro- und Paramagnetismus 1443.

 Osmotische Koeffizienten für Lithiumchlorid in verdünnten alkoholischen Lösungen 1739.

Fröhlich, Friedrich W. Messung der Empfindungszeit 408.

Fromm, K. Strömungswiderstand in rauhen Rohren 882.

Frost, T. H. sh. McAdams, W. H. 1109.

Frumkin, A. Phasengrenzkräfte und Adsorption an der Trennungsfläche Luft-Lösung anorganischer Elektrolyte 1313.

Fruth, Hal F. Variation with pressure of the residual ionization of gases 293.

Fry, Adolf. Oberflächenhärtungsverfahren 992.

.—, Thornton C. Thermionic current between parallel plane electrodes; velocities of emission distributed according to Maxwell's law 377.

Potential distribution between parallel plane electrodes 379.

sh. Hartley, R. V. L. 429.

Fürth, R. Spontane Schwankungen in der Physik 658.

- Bestimmung der Dielektrizitätskonstanten guter Leiter 1654.

Anschlag für Mikroskopstative 1015.
 und Keller, Rudolf. Dielektrizitätskonstante des alkoholartigen Serums 1342.

Fues, E. Berechnung wasserstoffunähnlicher Spektren aus Zentralbewegungen der Elektronen 562.

Fues, E. Verwandtschaft des Bogenspektrums von Natrium mit dem ersten Funkenspektrum von Magnesium und dem zweiten Funkenspektrum von Aluminium 562.

 Spektroskopische Bestätigung der Bohrschen Besetzungszahlen bei Cä-

sium 1411.

Fujiwhara, Sakuhei. Growth and Decay of Vortical Systems and Mechanism of Extratropical Cyclones 1037.

Fukuda, Mitsuharu sh. Takamine,

Toshio 1595.

Fukushima, Iwao. Effect of magnetic field on the electronic emission of vacuum tubes 774.

Fulcheris, G. sh. Pochettino, A. 105.

G.

Gaede, W. Entwicklung der Diffusionsluftpumpe 417.

Gagnebin, S. Variations des constantes diélectriques du quartz cristallisé aux températures élevées 995.

Gailliot, Paul sh. Moureu, Charles 1747.

Gale, Henry G. and Monk, George S. Spectrum of fluorine 1159.

Galerkin. Plaques minces élastiques 1257.

 B. G. Formänderungen und Spannungen bei rechteckigen Platten bei unstetiger Auflast 1190.

 Spannungen in Platten infolge ungleichmäßiger Temperaturverteilung

1190.

Gall, Douglas C. Potentiometer 908. Gallois, M. Lampe asciatique 1694.

Gamble, Charles W. Projection screens 328.

Ganapati, S. V. and Parikh, R. G. Induction motors used as synchronous machines 40.

Ganesan, A. S. Oblique scattering of Light in gases and liquids 850.

- sh. Raman, C. V. 705, 1161.

Gans, Ricardo. Permeabilidad reversible 182.

 Richard. Das Tyndallphänomen in Flüssigkeiten 120.

Flussigkeiten 120. Magnetisierung du

Magnetisierung durch Rotation 1442.
 Weinstock, Z. und Eliçabe, A. Wie werden Metalle von Säuren an-

gegriffen? 1138. Gantzekow, Hans sh. Schleede, Arthur 55, 196. arner, William Edwardsh. Blench. | Geiger, H. und Werner, A. Zählung Ernest Alfred 1798.

sh. Cray, Frank Maurice 1797. sh. Robertson, Robert 158.

arrison, Allen. Behavior of cuprous oxide photo-voltaic cells 317.

Photo-chemical properties of cuprous oxide 1231.

Behavior of silver iodide in the photovoltaic cell 1742.

assmann, Fr. Serienblende für 6 Aufnahmen auf eine Platte 548. Kurzzeitige Magenaufnahmen mit der

Glühkathodenröhre 548.

aubert, P. Propriétés optiques du graphite et de l'oxyde graphitique 1223.

audefroy, C. Dispersion de biréfringence dans les cristaux 852.

Variations de la dispersion de biréfringence dans un même cristal 1007. auster, Wilhelm. Airysche Spannungsfunktion 1535.

aviola, E. und Pringsheim, Peter. Polarisation der Natrium-Resonanzstrahlung in magnetischen Feldern

1516.

Kugeldruckprüfer für ebauer, E.

elektrische Isolierstoffe 647.

bbert, Arthur. Untersuchung eines Elektronenrelais auf Grund elektrostatischer Ablenkung des Elektronenbündels durch ein Querfeld 293.

e, W. W. Haldane. Henry Wilde

el, W. C. van. Théorie du spectroscope à échelons 642.

hlhoff, Georg. Lehrbuch der tech-

nischen Physik 1525.

und Schering, Helmuth. Blendung, insbesondere durch Automobilscheinwerfer 130.

Ricklefs, O. und Schreiber, W. Wärmefluß im Siemens-Braunkohlen-Generator mit Treppenrost 1703.

hrcke, E. Gegensätze zwischen der Athertheorie und Relativitätstheorie und ihre experimentelle Prüfung 212. Physikalische Grundlage der Atomstrahlung 733.

Gruppenspektra 784.

Spektren des Wasserstoffs und neuere

Atomtheorie 784. Sama-Zustand 1240.

Massensuggestion der Relativitätstheorie 1530.

Viellinienspektrum des und Lau, E. Wasserstoffs 785.

hrts, F. Verstärker für kleinere Fernsprechbetriebsstellen 116.

von α -Strahlen 1210.

Temperaturverlauf in geheizten Wandungen 205.

Theorie technischer Schwingungsvorgänge 1265.

Spannungsmessungen an laufenden Maschinen 1265.

Torsiograph nebst Anwendung Dampfmaschinenbetriebe 1131.

-, Paul H. Spectro-photoelectrical effects in argentite: production of an electromotive force by illumination

Geiss, W. Elastische constanten van Wolfraam als functie van de temperatuur 364.

Elastische Konstanten des Wolframs als Abhängige der Temperatur 1716.

und Liempt, J. A. M. Binäres System Wolfram-Molybdän 288.

- Deutung der Kaltbearbeitung auf Grund elektrischer Messungen 755. Geitel, Hans 337, 1025, 1617, 1705.

Genelin, S. Berücksichtigung der Dampftension beim Ablesen der Volumina feuchter Gase 478.

General Electric Co., Research Staff. Effect of Impurities on Recrystallisation and Grain Growth 238.

Device for measuring very small currents 367.

Disappearance of Gas in the Electric Discharge 684, 1753.

Theory of the Abnormal Cathode Fall 684, 1752.

Spot welder for light experimental work 807.

Strength of Tungsten Single Crystals 1624.

Genthe, K. sh. Wigand, A. 1449. Gentil, K. Versuche zur künstlichen Doppelbrechung von Glas 397.

Photogr. Schülerübungen 1392.

George, Henry sh. Bayle, Edmond 1218.

-, H. J. sh. Evans, M. H. 1261.

-, Wm. H. Photographic Records 948. Georgi, J. Wolframbogenlampe für Mikrographie 714.

Georgii, Walter. Aufwind und Einflußhöhe 507.

Gerb. Übertragung von Maschinenfundamentsschwingungen im Erdboden 143.

Gerdien, Hans und Lotz, Albert. Lichtquelle von sehr hoher Flächenhelligkeit 128.

Kathodenund Riegger, Hans. strahlofen 72.

- Free energy of | Geyger, Wilhelm. Messung der Kapa Gerke, Roscoe H. mercurides 1105.
- Chemical affinity and electron affinity 1417.
- Gerlach, Erwin. Messung von Schall-Druckamplituden 13.
- -, W. Photoaktivität und ähnliche Erscheinungen 270.
- Jodspektrum und Bandenspektrum des Quecksilbers 1160.
- Struktur des "schwarzen Diamants" 1643.
- Beobachtung von Marshall Holmes am Faraday-Effekt 1689.
- Atomstrahlen 1797.
- und Cilliers, Andries C. tische Atommomente 1622.
- und Gromann, Fritz. Elektronenaffinitätsspektrum des Jodatoms 122.
- Nachweis einer Absorptionslinie des Jodatoms 1687.
- Radiometerund Madelung, E. theorie von E. Einstein 1109.
- und Stern, Otto. Richtungs-
- quantelung im Magnetfeld 1622. German, H. M. Testing of Steel for Hardness 220, 343.
- Germann, Frank E. E. method for radium 1211. Emanation
- and Hylan, Malcolm C. Photographic sensitiveness of silver iodide 470.
- Dispersity of silver halides in relation to their photographic behavior 1370.
- Gerwig, Wilhelm sh. Trautz, Max 1174.
- Getman, Frederick H. Electrolytic dissociation of some salts in furfural
- Ultra-violet absorption spectrum of furfural 1465.
- Geyger, Wilhelm. Die Glimmlichtröhre und ihre Verwendung in der Elektrotechnik 168.
- Darstellung von Wechselstromkurven mit der Glimmlichtröhre 168.
- Experimentelle Aufnahme und Darstellung elektrischer Stromkurven in Polarkoordinaten 169.
- Aufnahme und Darstellung von Wechselstromkurven mit Hilfe der Glimmlichtröhre 169.
- Wellenfaktor 186.
- Kompensationsverfahren zur Messung dielektrischer Energieverluste Niederfrequenz 291.
- Kompensationsverfahren zur Untersuchung von Kondensatoren bei niederen u. mittleren Frequenzen 677.

- zität und des dielektrischen Verlust winkels von Kondensatoren u. Kabeli 757. Frequenzmeßgeräte der Hartmann u
 - Braun A.-G. 909. Wechselstromkompensator 1058.
- Einstellung beliebiger Phasenver Wechselstrom schiebungen bei messungen 923.
- Gherzi, R. P. E. Microséismes 1319 Ghosh, Jyotirmaya. Longitudina
- Vibrations of a Hollow Cylinder 219 Transverse Vibrations of a Thin Rotating Rod and of a Rotating Circular Ring 1128.
- -, J. C. und Bisvas, S. C. Extinktions koeffizienten einiger Säuren und ihre Salze im Ultraviolett 1088.
- -, R. N. sh. Bhargava, S. 601.
- -, S. K. sh. Bose, D. M. 383. Gibbs, W. E. and Clayton, W. Pro ductions of Large, Clear, Cubica Crystals of Sodium Chloride 1335
- Giblett, M. A. Effect of the Rolling of a Ship on the Readings of a Marin Mercury Barometer 648.
- Gibson, A. H. Heat Dissipation from the Surfaces of Pipes and Cylinder in an Air Current 799.
- Heat Transmission from the Working Fluid in an Internal Combustion Engine 1112.
- -, G. E. Consequences of the relativity theory of electronic orbits 743.
- -, K. S. Spectral characteristics of test solutions used in heterochro
- matic photometry 1694. and Tyndall, E. P. T. Visibility of radiant energy 1236.
- Gieseler, Hilde. Bogenspektrum de Chroms 1011.
- u. Grotrian, Walter. Absorptions spektren von Chrom- und Eisendamp 1011.
 - Struktur des Eisenspektrums 1592
 - Absorptionsspektren von Vans dium, Titan und Scandium 1593.
 - Normalzustand der Atome Vans dium, Titan und Scandium 1593. Giesen, J. sh. Schenck, R. 675. Gifford, J. W. and Lowry, T. M.
 - Refractive Indices of Benzene an Cyclohexane 552.
 - Gilbert, J. J. sh. Carson, John F 1073.
- Gill, E. W. B. Emission of Secondar Electrons from Metals under Elec tronic Bombardment 178.
 - -, H. V. sh. Nolan, J. J. 830.

Giller, Fritz sh. Lorenz, Richard Goedecke, Werner. 1404. von Gelatine und de

Gilman, R. E. Eddy Current Losses in Armature Conductors 1351.

Gilson, E. G. Bearing investigations 1266.

Girard, Pierre et Platard, Marcel. Phénomène de Becquerel et Hypothèse des électrons libres dans les solutions 832.

Glagolewa-Arkadiewa, A. Strahlungsquelle der kurzen elektromagnetischen Wellen von ultrahertzscher

Frequenz 1444.

Glaser, A. Verhalten diamagnetischer Gase bei tiefen Drucken 1667.

 -, L. C. Gravitationsverschiebung der Fraunhoferschen Linien 1124.
 - Metallographie im polarisierten Licht

1194.

Glasser, Otto. Eichung des Iontoquantimeters mit Radium 1678.

Glasstone, Samuel. Influence of Intermittent Current on Overvoltage 175.

Overvoltage Study of the Lead Electrode 1434.

W 1434.

- Measurement of Overvoltage 1749. Gleason, Josephine M. sh. Wick, Frances G. 1230.

Gleich, G. v. Gravitation und Metrik 1128.

Die relativistische Perihelstörung 1714. Kritik der Relativitätstheorie 1529.

Kritik der Relativitätstheorie 1529.
 Gleichen, Alexander 209, 337, 417.
 Path of rays in periscopes 1778.

Hitsch, W. Messung kleiner Kapazitäten nach dem Resonanz-Schwebungsverfahren 677.

Glocker, R. Strahlenschutz in Röntgenbetrieben 848.

betrieben 646.

sh. Berthold, R. 702.
Berthold, R. und Neeff, Th. Röntgenstrahlenuntersuchung dicker Metallstücke durch Verwendung be-

wegter Blenden 526. und Kaupp, E. Faserstruktur elektrolytischer Metallniederschläge

1275.

Glockler, George sh. Olson, A. R. 681.

Glogger, A. Bestimmung des mechanischen Wärmeäquivalentes als Schülerübung 871.

Rockel, A. Ionisation unserer Atmosphäre und Sonnentätigkeit 1066.

 Durchlässigkeit der Atmosphäre für Licht- und Wärmestrahlung 1085.
 Goddard, R. H. High altitude rocket 1035. Goedecke, Werner. Schrumpfung von Gelatine und dabei auftretende Kräfte 152.

Goens, E. sh. Grüneisen, E. 1040, 1110.

Göpel, F. Flankenmeßgerät 1027.

Goertz, Martha sh. Obermiller, Julius 1191, 1314.

Goetz, A. Glühelektrische Elektronenemission bei Umwandlungs- und

Schmelzpunkten 173.

Götz, I. D. und Pamfil, G. P. Diffusion von Molekülen und Ionen in der Lösung einer anderen Substanz und bewegungshemmende Wirkung dieser Lösung 1404.

Goldberg, Stephanie sh. Lachs, H.

152.

Goldberger, A. v. sh. Bredig, G. 1462.

Goldie, A. H. R. Cause of Anticyclones 1107.

Goldschmidt, Hans I.

-, Heinrich. Dampfdruck des Stickoxyds 1383.

Goldstein, E. Magnetkanalstrahlen und Isolator-Entladungen 180.

- Dunkelraum an der Kathode induzierter Entladungen 918.

J. Extrapolationsverfahren zur Ermittlung des Anfangswertes von Abkühlungskurven 42.

Golsen, Alice. Messung des Strahlungsdrucks 1157.

Gonell, H. W. sh. Mark, H. 17.

 u. – Röntgenographische Bestimmung der Strukturformel des Hexamethylentetramins 524.

Goos, Fritz und Koch, Peter Paul. (Blinkprojektor 550.

Goosmann, J. C. Safety Automatic Refrigerating Equipment 719.

Gorczynski, Ladislas. Fraction de l'intensité du rayonnement solaire transmise par le verre rouge d'Iéna 1082.

Pyrhéliomètre thermo-électrique 1359.
 Gorgas, W. Meßgeräte für die Parallelschaltung von Maschinen 608.

Gossmann, O. Emission von positiven Ionen durch heiße Salze 838.

Gottlieb, Charles. Isodosenkurven in der Röntgentherapie 118.

Gottling, Philip F. Time between excitation and emission for certain fluorescent solids 937.

Goucher, F. S. Strength of Tungsten

Single Crystals 1624.

Goudsmit, S. Spectrum of Manganese 1009.

Gough, H. B. Solomon's Ionometer 993. -, H. J. and Hanson, D. Behaviour of

Metals Subjected to Repeated Stresses 812.

Grabscheid, Johann. Unsymmetriespannungen in Freileitungen und gegenseitige Beeinflussung von Freileitungssystemen 117.

Grace, S. F. Free Motion of a Sphere in a Rotating Liquid parallel to the

Axis of Rotation 977.

Graetz, Leo. Äther und Relativitätstheorie 140.

Grahl, de. Wärmedurchgang durch Röhren bei veränderlichen Flüssigkeitstemperaturen 476.

Grammel, R. Berechnung rotierender Scheiben 504.

Scheiben 504.

- Kritisches Drillungsmoment von

Wellen 891.

- Umstülpen und Umkippen von elastischen Ringen 892.

Gramont, de 586.

-, Arnaud de 721, 1385.

-, Antoine Alfred Arnaud Xavier

Louis de 645.

—, A. de. Recherches quantitatives sur le spectre de lignes du vanadium dans les sels en fusion 565.

Granier, J. Viscosité diélectrique 1430. — sh. Cabannes, J. 1220.

Granqvist, Gustaf 721.

Grassi, Guido. Modo di variare della corrente primaria in un trasformatore 1776.

Grau. Erregungsmaschinen bei Drehstromgeneratoren mit Hauptstromregler 251.

Gray, Andrew. Kelvin and Glasgow 1386.

 Arthur W. Volume changes accompanying solution, chemical combination, and cristallization in amalgams 605.

-, J. A. Transformation of Electronic into Electro-Magnetic Energy 284.

Primäre und sekundäre β -Strahlen 686.

Weicherwerden sekundär ausgesandter X-Strahlen 686.

- Scattering of X-rays 1091.

 J. G. Solution of the Problem of Finding the True Vertical for Types of Marine and Aerial Craft 353.

-, Robert Cochran. Control Field in Magnetic Hysteresis 1770.

Greaves, W. M. H. sh. Appleton, E. V. 298.

Grebe, L. Elektrische Leitfähigkeit fester Dielektrika bei Bestrahlung mit Röntgenstrahlen 104.

- Gravitationsverschiebung der Fraun-

hoferschen Linien 1124.

— Energieverbrauch bei der Ionisation der Luft durch Röntgenstrahlen verschiedener Wellenlängen 1365.

Grebenshchikov, Elijah Vasiljevich sh. Pushin, Nicolai Anto-

novitch 410.

Gredt, Georg. Materialverschiebung beim Walzen 145.

Greeff, R. Der vergrößernde Kristall des Konrad von Würzburg 481.

- Frühe Sehhilfen 801.

 Zwei frühe niederländische Brillennachweise 1473.

Green, H. G. Velocity of Sound in Liquids contained in Circular Cylinders with slightly Elastic Walls 349.

-, I. W. and Maxfield, J. P. Public

Address Systems 391.

J. B. Relativistic Röntgen L-doublets and ,,screening constant 267, 1365.

-, Manuel M. Heat of vaporization, a function of the temperature 1466.

Greenhill, G. Units in Aeronautics 1191.

Orbits in the Field of a Doublet 1707.

Greenwood, Gilbert sh. Dixon, Harold B. 954.

Greinacher, H. Bausteine der Atome

 Akustische Beobachtung und galvanometrische Registrierung von Elementarstrahlen und Einzelionen 1345.

- Ionen und Elektronen 1761.

 Messung von Widerstandsänderungen bei nicht-ohmschen Leitern 1494.

Grevemeyer, K. T. sh. Tammann, G. 288.

Grey, Robert B. Vibration and noise 1032.

Griffith, A. A. Breuk-theorie 1556.

— Gebruik van zeepvliezen bij het oplossen van spanningsproblemen 1557.

-, I. O. Measurement of Very High

Temperature 1376.

-, Robert Owen and Shutt, William James. Photochemical Reactivity of Ozone in Presence of Other Gases 942.

 and MacWillie, Jane. Photochemical Reactivity of Ozone in Presence of Other Gases 942. Briffiths, Ezer. Heat Transmission and Wall Insulation 1022.

- and Kaye, G. W. C. Measurement of Thermal Conductivity 1379.

-, W. T. sh. Haughton, John L. 1305.

Frimes, W. F. sh. Austin, L. W. 1351. Frimm, Albert sh. Prandtl, Wilhelm 1413.

-, F. V. and Patrick, W. A. Dielectric constants of organic liquids

at the boiling point 608.

-, H. G. und Herzfeld, K. F. Die chemische Valenz der Metalle als

Energiefrage 507, 819.

Frindley, E. N. sh. Piper, S. H. 359, 753.

Frix, W. Polaraufnahmen einfacher und kombinierter Wechselstromschwingungen 539.

Frollman, Arthur and Frazer, J.
C. W. Improvements in the mode of measurements of osmotic pressure 140.
– Osmotic pressures of aqueous

solutions of phenol at 30° 152. Fromann, Fr. sh. Gerlach, W. 122,

1687.

root, H. Het oog als optisch werktuig 1115.

-, W. De. Lijnenfluorescentie bij fluorietkristallen 1092.

tross, N. sh. Gross, R. 519.

 Peter sh. Schwarz, Robert 1369.
 R. Röntgenuntersuchung über den Kristallbau 518.

Atomistische Struktur deformierter Kristalle in ihrer Beziehung zu den

Verfestigungsvorgängen 670.

und Gross, N. Atomanordnung des Kupferkieses und Struktur der Berührungsflächen gesetzmäßig verwachsender Kristalle 519.

Verfestigung und Rekristallisation

1734.

 Röntgenographische Untersuchung des kristallisierten Kautschuks 1559.
 und Möller, H. Kristallwachstum in röhrenförmigen Hohlräumen 1329.

 Koref, F. und Moers, K. Beim Anätzen krummflächiger und hohler Metallkristalle auftretende Körperformen 990.

W. Photographische Aufnahme von Absorptionsspektren im Ultraviolett

rossmann, A. Preßluftmesser 586. roth, P. v. Geschichte der Kristallkunde 1385.

rotrian, Walter. Absorptionsspektren einiger Metalldämpfe 195.

Heat Transmission Grotrian, Waltersh. Gieseler, Hilde tion 1022. 1011, 1592, 1593.

Grover, Frederick W. Formulas and tables for the calculation of the inductance of coils of polygonal form 688.

Significance of formulas for the inductance of a portion of a circuit 1669.

Grube, G. und Baumeister, L. Einfluß von Licht und Röntgenstrahlen auf anodisch polarisierte Platinelektroden 1518.

 und Metzger, H. Anodisches Verhalten des Mangans in Alkalilauge 106.

 und Pfunder, F. Elektrolytische Darstellung der Alkalichlorate an Anoden aus Eisenoxyduloxyd 374.

Gruber, Otto v. Stereoplanigraph der Firma Carl Zeiss 47.

 Erkundung für stereophotogrammetrische Aufnahmen 74.

Grün, Richard. Umwandlung von Flint in amorphen Quarz 1493.

Grüneisen, E. und Goens, E. Schallgeschwindigkeit in Stickstofftetroxyd. Untere Grenze seiner Dissoziationsgeschwindigkeit 1040.

– Messungen an Kristallen aus Zink

und Cadmium 1110.

 und Merkel, E. Schallgeschwindigkeit in Luft und Wasserstoff 1040.

Grünewald, Fritz. Verhalten der Freileitungs-Isolatoren unter der Einwirkung hochfrequenter Spannungen 631.

Grünthal, O. sh. Tröger, J. 313.

Gruhl, Arnosh. Schleede, Arthur 93. Grumbach, A. Piles à liquide fluorescent 1516.

Gruner, P. Constructions relatives à l'Electrodynamique des systèmes en mouvement 75.

Théorie de la relativité 75.

Geometrische Darstellungen der speziellen Relativitätstheorie 968.

- Relativitätstheorie 1385.

Grunwald, E. Mechanische Festigkeit von Handlampengriffen 148.

Gruschke, G. und Pohlmann, B. Verstärkerrohr 250, 1579.

Guadet, Georges. Le plus ancien portrait connu de personnage portant lunettes 1026.

Guckel, M. sh. Kohn, H. 863.

Gudden, B. Gültigkeit der Stokesschen Regel bei Phosphoren 466.

 Elektrizitätsleitung in kristallisierten Stoffen 1747. Gudden, B. u. Pohl, R. Das Quantenäguivalent bei der lichtelektrischen Leitung 58.

- Lichtelektrische Leitfähigkeit des

Zinnobers 316.

- Elektrische Leitfähigkeit bei Anregung und Lichtemission Phosphoren 570.

Gümbel, L. Theorie der Schmier-

mittelreibung 1185.

Günther, P. Innere Reibung der Gase bei tiefen Temperaturen 1539.

Tabellen zur Röntgenspektralanalyse

1794.

Röntgen-- und Stranski, Iwan. spektrograph für chemisch-analytische Zwecke 829.

Günther-Schulze, A. Normaler Kathodenfall an Graphit in Gasgemischen 176.

Stromdichte des normalen Kathodenfalles 375.

- Gesetze der Glimmentladung 376.

- Berechnung des normalen Kathodenfalles in Gasgemischen 534.

 Physikalische Vorgänge im Quecksilberdampfgleichrichter 534, 777.

 Normalgradient von Gasen und Gasgemischen bei der selbständigen Entladung 760.

Elektrische Ventile und Gleichrichter

777, 1791.

- Kathodenfall, Ionisierungsspannung

und Atomgewicht 918.

Uberspannungen an Quecksilberdampfgleichrichtern und ihre Ursache 1061.

Gleichrichter 1062.

 Energieverteilung an der Kathode der Glimmentladung 1065.

Wirkung eines transversalen Magnetfeldes an der Kathode der Glimmentladung 1205.

- Normaler Kathodenfall der Glimmentladung und Ablösearbeit der Elek-

tronen 1205.

- Kathodenfall der Glimmentladung und Ablösearbeit der Elektronen an Elektrolytkathoden 1282.

Chemische Reaktionen in der Glimm-

entladung 1498. Guernsey, Ernest W. sh. Tolman, Richard C. 225.

Liminal sound intensities -, Martha. and application of Weber's law to tones of different pitch 154.

Guertler, W. Molybdän als Legierungs-bestandteil 289, 605.

und Menzel, F. Kupfer-Nickel-Bleiund Kupfer-Eisen-Bleilegierungen528. Guertler, W. und Menzel, F. Kupfer-Nickel-Bleilegierungen 607.

Guidi, Camillo. Prova idraulica delle bombole per gas compressi o liquefatti 278.

Guild, J. Photometry of optical instru-

ments 1372.

Guillet, A. Détermination mécanique de la marche relative de deux pendules 503.

-, Leon. Experiments with Repeated

Shocks 145.

Conductibilité électrique de l'aluminium commercial 912.

Guldberg, Alf. Valeurs moyennes 970. Das statische Ein-Gullstrand, A. körperproblem in der Einsteinschen Theorie 486.

Gundel, R. Fluchtlinientafel zur Berechnung des Leistungsfaktors 1252.

Gunn, Ross. Source of constant frequency oscillations 1289.

Gunnayya, D. sh. Narayan, A. L. 1163.

Gunneson, F. sh. Borelius, G. 1186. Gurwitsch, L. Aktivität der Oberflächenschicht von Flüssigkeiten 1484.

Gutekunst, G. O. sh. Mees, C. E. K. 1233.

Gutenberg, B. Ergebnisse mikroseismischer Forschung 350.

Absorption und Fortpflanzungsgeschwindigkeit von seismischen Oberflächenwellen 351.

Bericht über die Tagung der Deutsch.

Seismol. Ges. 351.

Brandung und Bodenunruhe 351.

Seismische Bodenunruhe 1630.

Theorie der Erdbebenwellen und verwandter Erscheinungen 1630.

Theoretisches über Seismometer, über Registriervorrichtungen und stimmung von Konstanten von Seismometern 1631.

Dispersion und Extinktion von seismischen Oberflächenwellen und Aufbau der obersten Erdschichten 1632. Seismische Bodenunruhe in Zi-ka-wei

1725. - sh. Siebert, A. 987.

Gutton, C., Mitra, S. K. et Ylostalö, V. Décharge à haute fréquence dans les gaz raréfiés 375.

Guy, William George and Russell, Alexander Smith. Short-lived Radioactive Products of Uranium 285.

Guye, C. E. Rôle du champ moléculaire dans la décharge aisruptive 379.

uye, C. E. Entraînement du gaz dans | Haas, H. K. de. Twee demonstratie-hulpla rotation électromagnétique de la décharge électrique 1286.

Explosion partielle ou totale d'un électron dans la théorie des quanta

Inertie d'une couche électrique sphérique en mouvement divergent et émission de quanta 1401.

sh. Pazziani, A. 1184.

et Rudy, R. Rotation de la décharge électrique dans un champ magnétique et détermination des diamétres moléculaires 178.

, Ph. A. 1177.

et Batuecas, T. Compressibilité à 0° et au-dessous de l'atmosphère et l'écart à la loi d'Avogadro de plusieurs Oxygène, hydrogène et anhydride carbonique 221.

wyther, R. F. Solutions of the Stress Equations, under Tractions only, expressed in general Orthogonal Co-

ordinates 81.

Specification of the elements of Stress 1129.

Types of Elastic Stress which are peculiarly related to each of the several Curvilinear Orthogonal Coordinate Systems 1256.

Elastic Stress relations and con-

ditions of Stability 1256.

yemant, A. Elektrisches Potential beim Phasengleichgewicht 832.

Theorie der Ionenadsorption 1064. Absorptionsverhältnisse stärkerschirm 1294.

Messung des Fluoreszenzlichtes fester Körper 1515.

H.

aag, F. Beitrag zur Geometrie des kubischen Gitters 232.

Etats particuliers d'une masse gazeuse, conformes à la loi de Maxwell 411.

aalck, H. Lagerung der Massen im Innern der Erde und deren Elastizitätskonstanten 816.

aas, Arthur. Naturbild der neuen

Physik 865.

Vektoranalysis 1706.

Etats d'adaptation . Émile. régionale et relative de la rétine 329. Ondulation de fatigue dans férentes régions du spectre 859. Sensation de jaune obtenu par mélange spectral 1374.

middelen bij het onderricht in zake: aetherwind, aethermedesleping, relativiteit, enz 646.

-, M. de. Prof. Dr. A. D. Fokker 1245. Haase, Carl sh. Masing, Georg 1258. Habann, Erich. Hochfrequenztelephonie auf Starkstromleitungen 922.

Haber, F. Ernst Beckmann 74.

Zerfall des Quecksilberatoms 1731. Entmischung in Flammen 1800.

Hadfield, Robert A. Importance of Special Alloy Steels in Industry 496.

Haehnel, Otto. Löslichkeit der Carbonate des Strontiums, des Bariums und der Schwermetalle in Wasser unter hohen Kohlendioxyddrucken 1723.

Löslichkeit des Calciumcarbonats in kohlensäurehaltigem Wasser 1750.

Haenzel, G. Meßbereich der Refraktometer 1077.

Haerpfer, A. Konstanten des Polar-

planimeters 1526.

Häusser, F. u. Strobl, G. M. Messung der Tropfengröße bei zerstäubten Flüssigkeiten 1127.

Hagenbach, A. Der elektrische Lichtbogen 685.

- und Wehrli, M. Wechselstrom-

messungen am Lichtbogen 381. - Sondenmessungen am Lichtbogen mit Hochfrequenzströmen 1497.

Hagenow, C. F. sh. Compton, Arthur H. 1091.

Hague, B. Leakage flux between parallel pole-cores of circular crosssection 843.

Hahn, Karl. Mathematische Physik 645. -, O. sh. Bodenstein, M. 1192.

Atomumwandlung und Ele-

-, Otto.

mentenforschung 741.

und Pütter, Karl E. Vermeintliche Flüchtigkeit der Tantalsäure mit Flußsäure und einige Tantalverbindungen 285.

Hainsworth, Wm. R. and Titus, E. Y. Absorption of carbon monoxide by cuprous ammonium carbonate solu-

tions 1189.

Hak, J. Berechnung der in Reaktanzspulen auftretenden mechanischen Beanspruchungen 777, 1504.

Graphische Methode zur Lösung von Erwärmungsaufgaben 1253.

Halban, H. von. Natur der nichtdissoziierten Säuren 358.

-, Machert A. und Ott, W. Kenntnis der Trithiokohlensäuren und der Perthiokohlensäure 327.

Haler, Percy J. Distortion Produced | Hansen, H. M. R. A. Millikan 721 by Quenching in Casehardening 239. Hall, Chester I. sh. Beall, Charles G.

1191.

-, Ralph E. Densities and specific volumes of sodium chloride solutions 1137.

Acoustic wave filters in solid -, V. C. and liquid media 986.

Haller, Albin. James Dewar 645.

 Antoine Alfred Arnaud Xavier Louis de Gramont 645.

Maurice Leblanc 645.

Jules Violle 645.

Van der Waals 645.

Ham, L. B. Theory of the fine structure of H and He+ lines 786.

sh. Watson, F. R. 1563.

Hamburger, L. Nitrogen fixation by means of the cyanide-process and atomic structure 227.

Centres of Luminescence and Variations of the Gas Pressure in Spectrum Tubes at Electrical Discharges 465.

Hamer, Richard. Earth currents due to asymmetric heating of the earth by solar radiation 1001.

Suggested solar motor or thermal

radiation recorder 1155.

Hamm, Arthur. Röhrenkompensator 190, 693.

Telephonie mit Doppelgitterröhren 1072.

Hammermann, A. sh. Meyer, Hans Th. 1278.

Hammerschmidt, W. sh. Thiel, A.

Hammershaimb, G. Influence des rayons X dans l'étude de la décharge disruptive 380.

- et Mercier, P. Influence de la forme des électrodes et de la pression du gaz sur le potentiel disruptif 108.

Hampl, Miloslav. Potiersche Relation im Falle der totalen Reflexion an den doppelbrechenden Kristallen 1682.

Hampson, Alice sh. Chaffée, E. L. 1694.

-, Donald A. Test Methods for the Shop 722.

Hamy, Maurice. Mesure interférentielle des faibles diamètres 305.

Détermination des faibles diamètres par la méthode interférentielle 305.

Hanck, P. Vorführung der an dicken Blättchen auftretenden Interferenzerscheinungen 870.

Hanemann, H. sh. Schulz, H. 929.

 und Jacobsen, J. C. Magnetische Zerlegung der Feinstrukturkomponenten der Linien des Heliumfunken spektrums 50.

und Werner, S. Optisches Spektrum

des Hafniums 1512.

- Optical spectrum of hafnium 265 637.

- Hafniums optiske spektrum 400 -, Takamine, T. and Werner, Sven Effect of magnetic and electric field: on the mercury spectrum 58.

Modification of Polyphase

Induction Motor 1353.

-, M. sh. Tammann, G. 1648.

Hanson, D. sh. Gough, H. J. 812 Initial Motion of a Projectile -, E. T. 601.

Hardy, A. C. and Jones, L. A. Grai niness in Motion picture negatives and positives 1233.

-, W. B. and Doubleday, Ida. Boun dary Lubrication. Latent Period and Mixtures of Two Lubricants 1039.

-, William E. Visual angle of lenses 949.

Harker, J. A. 74, 1525.

Harkins, William D. Isotopes; re lation concerning the periodic system of the atomic species 510.

Stability of atom nuclei, separation of isotopes, and whole number rule

1729.

- sh. Bircher, S. J. 836.

- and Keith, Ernest B. Molecula wedge theory of emulsions 1627.

and Liggett, T. H. Discovery and separation of the isotopes of chlorin and the whole number rule 669.

 and Ryan, R. W. Atomic stability as tested photographically 988.

- Method for photographing the disintegration of an atom, and a new type of rays 1730.

Harlow, F. J. and Evans, E. J. Qualit of x-rays produced by various high tension generators and an incandescer cathode tube 687.

Anzahl der Bilder in Winke spiegeln 458.

-, F. Elektrische Erscheinungen bei de Reaktion zwischen Chininsulfat un Wasserdampf 911. Demonstration des Foucaultsche

Pendelversuchs 801.

Harned, Herbert S. Radiation an chemical reaction 271.

arries, C. Kolloidchemische trachtungen auf dem Gebiet Schellacks und Kautschuks 22.

und Nagel, Werner. Modifikationen des Schellackreinharzes 95.

, Carl Dietrich 1245.

arrington, E. L. Multi-stage diffusion pump 1618.

Laboratory and demonstration pro-

blem of modern physics 1707. High potential battery substitute 1741.

arris, J. E. and Schumacher, E. E. Gases Evolved from Glasses of Known

Chemical Composition 502.

, J. T. sh. Dowling, John J. 631. Roscoe Everett. Pole-effects and pressure-shifts in the lines of the spectra of zinc and calcium 1596.

arrison, Arthur P. Geometric progression in optically prepared stan-

dards 327.

George R. Simple densitometer for

accurate work 406.

Application of ultra-violet photographic photometry to problems of atomic structure 1792.

and Hesthal, Cedric E. chromatic film characteristics in the

ultra-violet 1300.

, W. J. Pressure in a viscous liquid moving through a channel 1718.

Stability of the Steady Motion of viscous liquid contained between two rotating coaxal circular cylinders 1718.

art, Ivor B. The dynamics of Leonardo da Vinci 209.

artinger, H. Photometrie der Gullstrandschen Spaltlampe 202.

Brille und Raumwahrnehmung 331. artley, Harold sh. Hinshelwood,

C. N. 1490.

and Barrett, William Henry. Densities of Dilute Solutions of Potassium Salts and the Volume Changes Occurring on Solution 83. R. V. L. Vacuum tube amplifiers in parallel 775.

and Fry, Thornton C. Binaural Location of Complex Sounds 429.

artman, L. W. Visibility of radiation in the blue end of the visible spectrum

artmann, Hellmuth sh. Ruff, Otto 1175.

Physikalische Berichte. 1924.

Wilhelm. Theorie der Tromben 1036.

Joseph Heinrich sh. Lorenz, Richard 1404.

Be- | Hartree, D. R. Correction for Non-Uniformity of Field in Experiments on the Magnetic Deflection of β Rays

> Hartridge, H. Vindication of the resonance hypothesis of audition 1043.

sh. Cosens, C. R. G. 1042.

Hartshorn, L. Method of measuring very small capacities 1740.

Hartt, H. A. sh. Crabtree, J. I. 857. Harvey, E. Newton. Animal lumines-

cence 269.

-, R. B. Growth in plants under artificial light 1104.

Harward, A. E. Identical Relations in Einstein's Theory 486.

Harzer, P. Wahrscheinlichkeit voneinander abhängiger Fehler und über ihr Abhängigkeitsmaß 970.

Hassel, O. sh. Fajans, K. 438.

- und Mark, H. Struktur des Wismuts 1336.

- Struktur der isomorphenVerbindungen $(NH_4)_3 Zr F_7$ und $(NH_4)_3 Hf F_7$

Hatfield, W. H. Corrosion of industrial metals 165.

Hatley, C. C. and Davis, Bergen. Refraction of x-rays in calcite 1357.

Haughton, John L. and Griffiths, W. T. Uses of the Thread Recorder in the Measurement of Physical Properties 1305.

and Ford, G. Winifred. Systems in which metals crystallise 363.

Hausen, H. Messung von Lufttemperaturen in geschlossenen Räumen mit nicht strahlungsgeschützten Thermometern 1469.

sh. Knoblauch, Osc. 715.

Das kitâb al Hauser, Friedrich. hijal der Benû Mûsâ 337.

Havelock, T. H. Magnetic Rotary Dispersion in Gases 1603.

- Stability of Fluid Motion 1718. Haven, G. B. Constant Load Rate

Testing Machine for Textiles 962.

Hay, Donald L. Modified McLeod Gauge 965.

Hayashi, Kakichi sh. Sameshima, Jitsusaburo 1545.

Hayden, J. L. R. and Eddy, W. N. Dielectric Strength Ratio Between Alternating and Direct Voltages 1353.

und Steinmetz, Charles P. High-Voltage Insulation 845.

Aberration und Michelson-Hayn, F. versuch 872.

after removal of the exciting potential

- sh. Webb, Harold W. 998.

Hayungs, H. Experimentelle Behandlung des Luftwiderstandes mit Bezug auf die Fleugzeugtechnik 346.

Headden, William P. Deportment of Calcites toward Radium Radiations

Heaps, C. W. Effect of crystal structure on magnetostriction 617.

Application of electric currents in the Bunsen flame 693.

 Magnetostriction of a magnetite crystal 1769.

Heckmann, Gustav. Elastizitäts-konstanten und Gittertheorie 1048. Gittertheorie des Flußspats 1048.

Heddle, Eric W. M. sh. Houstoun, R. A. 132.

Hedestrand, Gunnar. Innere Reibung von Lösungen von amphoteren Elektrolyten 7.

Heegner, Kurt. Schwebungen bei rückgekoppelten Schwingungen 297,

Heerdt, Jos. Ter. Theorie en de toepassingen van gassen 334.

Heger, A. sh. Oberhoffer, P. 94, 240. Hegge-Zijnen, B. G. van der. Metingen omtrent de strooming in de grenslaag langs een vlakken wand 976.

Heimstädt, O. Stereoskopischer Aufsatz für Mikroskope 1016.

Strahlenteilung für stereoskopische Mikroskope 1078.

Hein, J. Flimmern von Glühlampen in Abhängigkeit vom Ungleichförmigkeitsgrad 129.

–, W. sh. Dümpelmann, R. 855.

Heineken, J. F. sh. Wells, P. V. 1692. Heinrich, W. W. Prolongements ana. lytiques du problème restreint 888.

Heis, L. Thermodynamique du gaz en mouvement 1522.

Manometer hoher Empfindlichkeit 1475.

- Theorie des Elektronenstromes bei der Stoßionisation 1760.

Heisen, Georgsh. Schaefer, Clemens 423.

Heisenberg, W. Stabilität und Bildungswärme dreiatomiger Molekeln und Ionen 1555.

- sh. Born, M. 1271, 1272, 1307.

- sh. Landé, A. 1589.

sh. Sommerfeld, A. 726.

Deformierbarkeit. - und Born, M. edelgasähnlicher Ionen 1272.

Hayner, Lucy J. Mercury arc lines | Heising, R. A. Improved system of modulation in radio telephony 1290. Audion oscillator 1293.

Helderman, W. D. sh. Cohen, Ernst 1054, 1610, 1651.

Heldt, P. M. Lubrication Value of Oils Is Affected by Properties Other Than Viscosity 425.

Hele-Shaw, H. S. Stream-line Filter 867.

Hellmann, G. 1386. Hundert Jahre meteorologische Gesellschaften 209.

Millimeter-Millibar 804.

Erfinder und Name des Aneroids 1025. Geschichte der Wettervorhersage im Jahrhundert 1025.

Hellweg, H. sh. Braune, H. 1422. Helly, Ludwigsh. Kremann, Robert 287.

Helmbold, H. B. Aerodynamik der Treibschraube 1728.

Sinkgeschwindigkeit der Segelflugzeuge 1728.

Helmholtz. Treatise on Physiological Optics 1694.

Helmick, P. S. Quantity of light energy required to render developable a grain of silver bromide 1234.

Helms, Hans von. Einfluß der Elektronenemission auf die Temperaturverteilung in glühenden Wolframdrähten 685.

Hemmy, A. S. Flow of Viscous Liquids through slightly Conical Tubes 423. Hencky, Heinrich. Statisch bestimmte Fälle des Gleichgewichts in plastischen Körpern 876.

-, Karl. Technik der Temperatur-

messungen 1375.

Henderson, J. R. C. Michie Smith 1025. Hendricks, A. B. Million volt Testing

-, jr., A. B. Testing Transformers for Central Stations 544.

-, Clifford B. sh. Deming, Horace G. 1186.

Henglein, F. A. Gesetzmäßige Raumerfüllung in Kristallen 516.

Konstanz der elektrischen Leitfähigkeit bei chemischen Vorgängen Gasen 1208.

sh. Trautz, Max 1142.

Hengstenberg, O. Dichte von Eisen-

Silicium-Legierungen 1492. Henker, O. Zusatzrefraktometer zun großen vereinfachten Gullstrandscher Ophthalmoskop 331.

- Parallaxen-Refraktometer 331.

lennig, Franz. Registrier-Theodolit | Herrent, Pierre sh. Mund, Walter 1527.

lenning, F. Bestimmung hoher Temperaturen 1384.

und Heuse, W. Strahlungseigenschaften von Aluminium- und Magne-

siumoxyd 561.

- Darstellung der Temperaturskale zwischen 0 und - 193° durch das Platinwiderstandsthermometer 1170. - Normale Siedepunkte von Sauer-

stoff, Stickstoff und Wasserstoff 1171. [ennings, A. E. Appearance of ,,ghosts" in the general radiation spectrum when x-rays are reflected from calcite crystals 604.

enri, Victor. Production de bandes étroites et de bandes larges dans le spectre d'absorption des corps en solution et à l'état de vapeur 934. Structure des molécules et spectres d'absorption des corps à l'état de vapeur 935.

enry. Actinomètre thermoélectrique

enregistreur 1157.

, D. C. Kinetic Theory of Adsorption 1542.

lentschel, H. sh. Rinne, F. 1336. eraeus, Wilhelm. Abhängigkeit der thermoelektrischen Kraft des Eisens von seiner Struktur 1431.

erath. Beeinflussung des Funkverkehrs durch die Gleitflächen in der

Atmosphäre 843.

Erwärmungskurve bei erczeg, A. beliebiger zeitlicher Belastung 134. ering, Carl. Electromagnetic Forces 1341.

ermann, H. Darstellung des Elektromagnetismus und der Induktion 386. Lichtmühle und Thermosäule Strahlungsmesser 398.

Theorie absoluter Vorlesungs-Elektro-

dynamometer 907.

Ausführung des Holtzschen Versuchs über die dielektrische Durchlässigkeit 868.

Theorie der Verstärkungs- und Bindezahl 993.

Gleichförmigkeit der Zeit und Uhr-

prüfung 808. Kleine Kapazitätsnormale 828.

Objektives Sonnenspektrum 1250. Selbstblasende Sirenen 1387.

Kupfercoulometer für hohe Genauigkeit 1387.

Korrektionslose Schulmagnetometrie

Erstausschlagsbeobachtung an den Elektrometern v. Braun u. Haga 1563.

1175.

Herschel, Winslow H. Fuel Oil Viscosimeters 7.

Hersen, Karl. Maßeinheiten für Mikrophone und Fernhörer 250, 1071.

Hersey, Mayo D. and Butzler, Edward W. Thermal conductivity of refractories 1173.

Herter, Max sh. Schleede, Arthur 318, 319.

Hertz, G. Anregungs- und Ionisierungsspannungen von Neon und Argon und ihr Zusammenhang mit den Spektren dieser Gase 177.

Anregungs- und Ionisierungsspannungen von Neon und Argon 443.

Mean Free Path of Slow Electrons in Neon and Argon 442.

Bohrsche Theorie und Elektronenstoß 651.

Anregung von Spektrallinien durch Elektronenstoß 997.

Trennung von Gasgemischen durch Diffusion in einem strömenden Gase 1186.

-, H. Lichtopwekking door electronenbotsing 292.

Herz, Alfred sh. Stenger, Erich 640.

-, W. Das b der van der Waalsschen Gleichung 335.

Zur Kenntnis geschmolzener Salze477.

Dichte und Temperatur 718.

Prüfung des Theorems der übereinstimmenden Zustände 957.

Schwingungszahlen bei Salzen 1522. Innere Reibung und freier Raum 1722.

sh. Lorenz, Richard 413, 1381, 1467, 1470, 1701. und Martin, E. Innere Reibung

flüssiger Systeme 347.

und Neukirch, Eberhard. Kenntnis kritischer Größen 70.

Herzen, Édouard. Façon simple de retrouver les orbites stationnaires de Bohr dans le spectre de l'hydrogène 1135.

 sh. Lorentz, H. A. 585.
 Herzfeld, K. F. Spektrale Empfindlichkeit des Bromsilbers 321.

Quantenhafte Deutung der Dispersion 1583.

sh. Grimm, H. G. 507, 819.

Herzog, A. Markieren mikroskopischer Objekte 1103.

Universalokular 1103.

Hess, P. Messung und Dosierung von Röntgenstrahlen 1679.

-, R. Statistik der Leuchtkräfte der Sterne 1726.

fication of Radium Emanation 1215.

- und Lawson, Robert W. Zahl der von Radium ausgesendeten a-Teilchen 1287.

- Number of Alpha-Particles emitted by Radium 1499.

Hesse, Albert 1386.

Hesselberg, Th. Reibung und Dissipation in der Atmosphäre 1535.

Hesthal, Cedric E. sh. Harrison, George R. 1300.

Heuse, W. sh. Henning, F. 561, 1170, 1171.

Heuser, Ludwig. Vorgang im Spritzvergaser 959.

Hevesy, G. v. Bohrsche Theorie und Radioaktivität 420.

Auffindung des Hafniums und gegenwärtiger Stand unserer Kenntnisse von diesem Element 284.

Alva Hewett, John R. Thomas Edison 721.

Hewlett, C. W. Telephone receiver and

transmitter 1003. Hey, Walter. Rückkopplung beim Vierröhren-Hochfrequenzverstärker

1350. Heyl, Paul R. Gravitational aniso-

tropy in crystals 1643. Heymann, E. sh. Fraenkel, W. 1055. Heymans, Paul. Property of Rectilinear Lines of Principal Stress 1257.

- Dynamic stresses in pseudo-continuous media 1309.

- and Allis, W. P. Photoelastic constants of celluloid, glass and fused quartz 851.

Heyrovsky, Jaroslav. Significance of the Electrode Potential 292.

Electrolysis with a Dropping Mercury Deposition of Alkali and Cathode. Alkaline Earth Metals 533.

Hickman, C. N. Alternating-current resistance and inductance of singlelayer coils 539.

-, Kenneth Claude Devereux. Filter-pump 1403.

Laboratory Water Motor 1404. - Thermostat Refrigerator 1471.

Hiecke, Richard. Überbrückung des Zwischenraumes beim Induktionsvorgang 1505.

Higgins, Robertsh. Andrew, J.H. 232. Higgitt, H. V. Loop Test for High Resistance Faults 1279.

Hildebrand, J. H. sh. Finkle, Philip 1181.

-, Hogness, T. R. and Taylor, N. W. Metallic solutions 427.

Hess, Victor F. Apparatus for Puri- Hill, Arthur E. Mutual solubility of ethyl ether and water. Solubility of water in benzene 736.

-, B. E. Non-Condensable Gases 1384. -, Norman B. Damping effect of

solid rotors 1353.

Hillebrand, K. Analytische Behand-lung der Fundamentalprobleme der Elektrostatik 608.

Hiller, W. und Regener, E. Funken-

verzögerung 1142.

Hillers, Wilhelm. Dichteänderung und Entmägnetisierung bei der Umlagerung des α -Eisens in β -Eisen 1387.

Hinrichs. Alexander Gleichen 209. Hinshelwood, C. N. and Hartley, Harold. Probability of Spontaneous Crystallization of Supercooled Liquids 1490.

Hinze, Willy sh. Jaeger, Robert

1279.

Hippisley, R. L. Tables of Elliptic Functions 646.

Hirsch, R. v. Einwirkung des Magnetfeldes auf die Polarisation des Kanalstrahlenlichtes 1499.

Hitchcock, H. W. Long Distance Telephony on the Pacific Coast 1072. Hjalmar, Elis. Röntgenspektroskopi-

sche Messungen 198.

Recherches sur la série M des rayons X 311.

Hnatek, Adolf. Anwendung strenger Selektivfilter bei spektralphotometrischen Untersuchungen 641.

Beleuchtung einer Fläche durch einen

Spektroskopspalt 858.

Hochheim, Ernst sh. Freundlich, Erwin 1512.

Hock, L. Bestimmung von Elastizitäten 1623.

Hodgson, E. A. Research into the possibilities of earthquake prediction 1263.

Hoeltzenbein, Fr. Methode von H. F. Weber zur Bestimmung des Diffusionskoeffizienten von Salzlösungen 813.

Hönigschmid, O. sh. Bodenstein, M. 1192.

-, Zintl, E. und Linhard, A. Atomgewicht des Antimons 668, 1413.

Höpfner, K. Entwicklung und Stand der Verstärkertechnik in Deutschland

und Pohlmann, B. Sprachübertragung in langen Fernkabelleitungen 250, 922.

und Stöckel, K. Innere Einrichtung eines Verstärkeramtes 250.

löpp, W. Fortschritte im Bau von | Holmboe, Carl Fred. Quecksilberdampf-Gleichrichtern 628. Betriebssicherheit der Schmelzstöpsel

lörning, F. Entwicklung der Pupinspulen 250, 694.

lofe, Chr. v. Brennweitenmessungen 848.

loffmann, C. Hohlspiegelbilder bei

plankonvexen Linsen 394.

-, G. Elektronenaustritt aus Metallen unter Wirkung hoher Feldstärken 104. - Bedeutung der Labilisierung bei der elektrometrischen Messung Elektrizitätsmengen 993.

 Radioaktivität der Alkalien 1000.
 Messung schwacher Radioaktivitäten und Radioaktivität der Alkalien und

anderer Substanzen 1572.

lofmann, Albert. Apparate zur Erforschung der Himmelspolarisation 253.

-, K. A. Carl Dietrich Harries 1245. und Röchling, Curt. Die Glanz-kohle, eine besondere Form des kristallinen Kohlenstoffs 19.

ogness, T. R. sh. Hildebrand, J. H.

427.

olborn, L. und Otto, J. Isothermen einiger Gase bis 400° und ihre Bedeutung für das Gasthermometer 1174.

olfelder, Hans, Bornhauser, Os-kar und Yaloussis, Evanghelos. Intensitätsverteilung der Röntgenstrahlen in der Körpertiefe 703.

olgersson, Sven und Sedström, Ernst. Gitterstruktur einiger Metall-

legierungen 1644.

olladay, Collis H. Graphic Method for the Exact Solution of Trans-mission Lines 1252.

, L. L. Resistivity of vitreous materials

1202.

sh. Luckiesh, M. 264.

ollenberg, M. S. Verification of the principle of reflex visual sensations 1520.

ollingsworth, Marion sh. Foulk,

C. W. 1471.

olm, E. A. Prüfung der berichtigten Waalsschen Zustands- der den Wasserstoffisogleichung an thermen von Kohnstamm und Walstra 581.

, Ragnar. Theorie des Glimm-

stromes 28.

olmboe, Carl Fred. Einfluß der CO₂-Aufnahme auf die Leitfähigkeit des NaOH-Elektrolyten der offenen Wasserstoff-Sauerstoff-Erzeuger 834.

Einfluß des elektrolytischen Kurzschlußeffektes auf die Passivität der Eisenelektroden

Holmes, Marshall. New Phenomenon 469.

-, R. M. Thermoelectric properties of sputtered films of gold, platinum, and palladium; and of solid palladium

containing occluded hydrogen 240.

—, Walter_C. Absorption spectra of derivatives of para-cymene 1090.

Holst, G. en Oosterhuis, E. Laagspanningsboog 1143.

- De invloed van de gasatmosfeer op de werking van een kwikstraal onderbreker 1062.

Holthusen, Hermann. Beziehungen zwischen physikalischer und biologischer Dosimetrie 1448.

Holtsmark, J. Charakteristische Röntgenstrahlung der ersten Elemente 311.

Verbreiterung von Spektrallinien 931. Holweck, F. Propriétés optiques des

rayons x mous. Diffraction. flexion 268.

Holz, Hermann A. Portable Apparatus for the Rapid and Precise Investigation of the Accuracy of Calibration of Small Compression Testing Machines 494.

Holzer, Heinrich. Gefahrlose Re-

sonanz 142.

Holzknecht, G. Sicherheitswert der direkten Messung der Oberflächendosis in der Röntgentherapie 702.

Honda, Kôtarô and Igarasi, Isami. Has pure Aluminium a formation Point? 1310.

and Murakami, Takejiro. Struc-

tural Constitution of Iron-Carbon-Silicon Alloys 1277.

Hondl, Stanko. Ableitung der Lorentz-Transformationsglei-Einsteinschen chungen 590.

Hopf, Ludwig. Messung der hydraulischen Rauhigkeit 882.

Hopfield, J. J. Series Spectroxygen and Sulphur 48, 1297. Series Spectra in

Series spectra in oxygen in the region $\lambda 900 - \lambda 1400 1297.$

Chlorine spectrum in the extreme ultraviolet 1685.

and Birge, R. T. Spectral Series

in the Oxygen Group 564. Hopmann, Josef. Deutung der Ergebnisse der amerikanischen Einsteinexpedition 487.

dächtnis 337.

Prioritätsfragen 961.

Hopwood, F. Ll. Experiment Demonstrating Time-lag in Vision 473.

Horiba, Shinkichi. Dampfdruck von

metallischem Arsen 416.

Horkheimer, R. Röhrensummer 1249. Horne, George A. Performance of Single Acting Simple Ammonia Compressor, and Tubular Condensers 719.

Hort, W. C. v. Linde 481.

- H. Lorenz 481.

 Entstehung von Schwingungen durch nichtperiodische Kräfte bei Pumpenventilen und Oszillatorsirenen 1719.

Prüfung von Geschwindigkeitsmessern

-- Geschwindigkeitsverteilung im Inneren rotierender zäher Flüssigkeiten 1720.

Horton, F. and Davies, A. C. Critical Electron Energies in Hydrogen 681.

- Emission of Secondary Electrons from Metals under Electronic Bombardment 1000.

- Continuous Spectrum of Hydrogen

1086.

- Production of Radiation and Ionization by Electron Bombardment in Pure and in Impure Helium 1759.

-, Andrewes, Ursula and Davies, Ann Catherine. Excitation of Characteristic X-rays from certain Metals 1598.

-, J. W. Vacuum tube oscillators 1672. Hosali, Nina M. Seismic waves in a

Visco-Elastic Earth 1631. Hostinský, B. Équilibre de l'électricité sur une surface cylindrique 1744.

Hougen, O. A. Refractory for Industrial Plant Use 1393.

Sealing Houskeeper, William G. Base Metals Through Glass 119.

Houstoun, R. A. Scattering of X-Rays 1082.

Absorption of X-Rays 1082.

- and Dow, Eric. Evaluation of the Colours of the Spectrum in Terms of the Three Primary Colours 1019.

- and Heddle, Eric W. M. Statistical Investigation of the Visibility of

Red Light 132.

- and Manson, W. H. Method of investigating Colour Blindness 1020. Hovgaard, William. Proof of the theory of ordinary bending and its extension to beams of nom-homogeneous materials 659.

Hoppe, Edm. Hans Geitel zum Ge- Hovgaard, William. Theory of bending 808.

Howe, A. B. sh. Partington, J. R. 954. Howes, H. L. sh. Nichols, E. L. 712,

1460.

Hoyt, Frank C. Relative Intensity of X-Ray Lines 730.

Hubbard, J. C. sh. Compton, Arthur H. 1308.

Huber, Karl. Ermittlung der Schubspannungen und des Schubelastizitätsmoduls mit Hilfe eines neuen Feinmeßgerätes 144.

Hubmann, K. sh. Casper, L. 1060,

Huddart, R. sh. Ryde, J. W. 857. Hudson, C. S. and Monroe, K. P. Relations between rotatory power and structure in the sugar group 1452. -, W. E. sh. Dean, R. S. 1647.

Theorie der Elektrolyte Hückel, E.

1748.

- sh. Debye, P. 577, 1406.

-, Walter. Vermeintliche Beziehungen zwischen Atomkonstanten und Valenzzahl der Atome 1416.

Hütter, Carl. Verschärfung der Nullpunktslage bei Meßbrücken 1494.

Hüttig, Gustav F. Gitterbestandteile, die im Kristallgitter vagabundieren

Huggins, M. L. Crystal structure of aluminum carbide, determined with out the use of x-rays 237.

Evidence from crystal structures in regard to atomic structures 234.

Graphical method for the utilization of rotation spectra in crystal structure determinations 1252, 1709.

Hughes, A. Ll. Ionization, Excitation, and Dissociation of Gases 1568.

and Klein, Elias. Ionizing efficiency of electrons at different energies of impact 766.

- Ionization of gases as a function of the energy of electron impacts 1518.

and Lowe, P. Intensities in the hydrogen spectrum 194.

 Intensitäten im Heliumspektrum 706.

-, C. W. sh. Coblentz, W. W. 1384 -, W. S. sh. Bovie, W. T. 170. -, W. and Merton, T. R. Blue Flame produced by Common Salt on a Coa Fire 1692.

Huguenard. Méthode de mesure absolue de la vitesse d'un courant d'air 498.

luguenard, Magnan et Planiol, A. Appareil donnant la direction instantanée du vent 1708.

 Etude aérodynamique des ailes d'oiseaux et des voilures souples 1134. fulburt, E. D. Emissive power of tungsten for short wave-lengths 51. -, E. O. Super-regeneration 452.

Magnetic and natural rotatory dispersion in absorbing media 569, 1231.

Ultra-violet absorption spectra of the spark in water between metallic electrodes 787.

Balmer lines from hydrogen in gases 1162.

Extension of the Balmer absorption series of hydrogen 1163.

Theory of the refraction of x-rays

Breadth of the Hydrogen Lines in Stellar Spectra 1363.

Absorption lines in the spectrum of the metallic spark in water 1685. - sh. Dempster, J. B. 27.

Hull, A. W. Axially Controlled Magnetron 188.

Measurement of magnetic fields of medium strength by means of a magnetron 247.

Paths of electrons in the magnetron

and Williams, N. H. Characteristies of pliotrons containing screengrids 774.

- Determination of "e" from measurements of the Schrott-effect 1637. Hulthén, Erik. Over Bandenspectra 194.

Humburg, K. Berechnung von Kondensatordurchführungen 1076.

Tummel, Ch. Spannungsverteilung in rotierenden Scheiben 891.

Humphreys, W. J. Relation of sound velocity to height 1628.

Humphries, J. E. sh. Fraser, Ronald 436.

Humphry, R. H. Demonstration of the Double Refraction due to Motion of a Vanadium Pentoxide Sol, and Some Applications 852.

Hund, F. Grundbegriffe der Mechanik

im Schulunterricht 80.

Deutung der großen Durchlässigkeit einiger Edelgase für sehr langsame Elektronen 432, 1047.

Theoretische Betrachtungen über die Ablenkung von freien langsamen Elektronen in Atomen 432.

Rydbergkorrektionen und Radien der Atomrümpfe 1411.

Hund, F. Rydbergkorrektion und Größe des Atomrumpfes 1411.

Hunt, Franklin L. Aeronautic instruments 740.

Hunter, Harold. Lithium flame for polarimetric use 1779.

Hurst, William Walter and Rideal. Eric Keightley. Adsorption of Hydrogen and Carbon Monoxide 1315. Huse, E. sh. Jones, L. A. 857.

Hutchinson, R. O. Arc and spark spectra of aluminum, zinc, and carbon in the extreme ultra-violet 707.

Hyatt, J. M. Modification of the thermionic current in vacuum tubes when potassium deposited on the inside walls or grid of the tube is illuminated 1447.

Hyde, E. P. Temperature scale adopted by the General Electric Company and the radiating properties of tungsten with reference to this scale 52.

and Cady, F. E. New principle and its application to the Lummer-

Brodhun Photometer 948.

- and Forsythe, W. E. temperature scales for tungsten and carbon 52.

-, Forsythe, W. E., Cady, F. E. Visibility of radiation 63.

Hylan, Malcolm C. sh. Germann, Frank E. E. 470, 1370.

I.

Idrac, Pierre. Vol des albatros 1634. Igarasi, Isami sh. Honda, Kôtarô

Ilgner, Alfred. Erzeugung von Wirbelringen in Wasser 345.

Ursachen der Schwankungen Iliin, B. in der Empfangsintensität 541.

Theorie der Sorptionserscheinungen 1189.

Iljinsky, W. sh. Fedotieff, P. P. 438.

Imhof, A. Formel zur Berechnung der Temperatur von elektrischen Heizdrähten 416.

Elektrostatische Spannungsmesser

Messung der Menschenleistung beim Gesteinsbohren 1402.

Inge, Lydia sh. Walther, Alexander

und - Methodik der Messungen der kritischen Spannungen 1753.

Ingersoll, L. R. Magnetic rotation in sputtered cobalt films 791, 1167.

Ingersoll, L. R. and Koepp, O. A. Thermal diffusivity and conductivity of soil materials 1700.

Ingold, Christopher Kelk. Form of the Vapour Pressure Curve at High Temperatures. Curve for Sodium Cyanide 134.

Ingram, W. H. Auto-Transformer and Impedance as a Tensor 1505.

Iredale, Thomas. Adsorption from the Gas Phase at a Liquid-Gas Interface 427.

K. J. and Masson, Irvine. Calibration of capillary tubes 802. Isgarischew, N. und Koldaewa, E.

Potentiale vergifteter Elektroden 1197.

und Stepanow, D. Einfluß der Fluoride auf die Überspannung 1204.

Issendorf, J. von sh. Schottky, W.

Ives, Herbert E. Velocities of emission of photo-electrons in the normal and selective photo-electric effects 60.

Transformation of color mixture equations from one system to another 329.

- Variable aperture rotating sectored disc 796.

 Color-match photometer for illuminants 1017.

J.

Jabłczyński, Kazimierz and Kon, Stanisław. Determination of Elevation of Boiling Point 1470. ekson, L. C. Paramagnetism at

Jackson, L. C.

Low Temperatures 840.

- and Onnes, H. Kamerlingh. vestigations on the Paramagnetic Sulphates at Low Temperatures 185.

- Propriétés magnétiques de l'éthylsulfate de gadolinium aux basses

températures 249.

 Magnetic Properties of Paramagnetic Double Sulphates at Low Temperatures 840.

Jacobsen, J. C. sh. Udden, A. 1455. -, J. O. sh. Hansen, H. M. 50.

-, J. P. sh. Lønggaard, Marie 866. Jacoby, Georg. Elektrische Polarisation des Dielektrikums 566.

Jaeckel, Georg sh. Behnken, Her-

mann 1597.

Jäger. Beeinflussung von Fernmeldeleitungen durch Hochspannungsanlagen 1292.

- und Klewe. Knackgeräusche des Fernhörers 1215.

Atmosphärische Temperaturabnahme nach oben; Sama-Zustand der Materie 1240.

Jaeger, R. Röntgen-Dosisuhr 117.

Röntgendosiszähler 702.

- und Hinze, Willy. Messung hochohmiger Widerstände 1279.

-, W. und Steinwehr, H. von. Kondensator im Wechselstromkreis mit Ventil 1652.

Jaenichen, E. sh. Sauerwald, F. 1056. Järvinen, K. K. Zustandsgleichung und Kompressibilität des Quecksilbers 1613.

Jakeman, C. Calibration for single lever testing machines 482.

Jakob, M. Spezifische Wärme der Luft im Bereich von 0 bis 200 at und von - 80 bis 250° 643.

Wärmeleitvermögen feuerfester Steine

1242.

Prüfung und Bewertung von Isolierflaschen 1610.

und Erk, S. Druckabfall in glatten Rohren und Durchflußziffer von Normaldüsen 1550.

Jakobson, M. Photographische Wirkung der Kanalstrahlen 769.

James, R. W. sh. Bragg, W. Lawrence 262.

Janek, A. Rhythmisch gebänderte Niederschlagshäutchen auf Flüssigkeitsoberflächen 349.

Janitzky, Alexander. Abbau der Röntgenstrahlenenergie in Flüssigkeiten 701.

Janne, Henry. Méthode pour obtenir le ds^2 de Schwarzschild 804.

Jans, C. de. Evenwichtsverdeeling der electriciteit op een geisoleerde, geleidende ellipsoide 1140.

Janss, S. Versuche mit der einfachen Kathodenstrahlenröhre 383.

Demonstration von Interferenzen an dünnen Blättchen durch das Taschenspektroskop 396. Ausströmungsgeschwindigkeit aus

engen Öffnungen 867.

Versuche mit Wechselstrom 1390.

- Interferenzen an dünnen Blättchen 1391.

 Umkehrung der Natriumlinie 1392. Janzen. Ausgleich von Lastschwankungen in Drehstromnetzen 250.

Jaquerod, A. Marche d'une montre

et Mügeli, H. Variation du premier module d'élasticité de l'acier avec la température 975, 1182.

-, Defosséz, L. et Mügeli, H. Frottement de pivotement 84.

Jarre, Hans sh. Pohle, Ernst 191.

sper, T. M. Energy Relation in the Jessen, Ilse. Spektroheliographische Testing of Ferrous Metals at Varying Ranges of Stress and at Intermediate and High Temperatures 147.

uncey, G. E. M. Corpuscular quantum theory of the scattering of x-rays by light elements 491.

Scattering of x-rays and Bragg's law

Corpuscular quantum theory of the scattering of polarized x-rays 1298. Scattering of X-rays by crystals 1356. Photoelectrons and a Corpuscular Quantum Theory of the Scattering of X-rays 1461.

Theory of the width of the modified lines in the Compton effect 1714. and Eckart, Carl H. Istherea Change of Wave-lenght on Reflection of

X-rays from Crystals? 18.

and May, H. L. Scattering of x-rays from crystal at small angles 266. - Intensity of the x-rays scattered from rocksalt 1081.

Angular distribution of recoil electrons produced by polarized

x-rays 1031.

ans, J. H. Propagation of Earthquake Waves 82.

Equation of Van der Waals 335. Van Der Waals Memorial Lecture 586. antet, P. sh. Duclaux, J. 642.

drzejewski sh. Wertenstein 414. fferies, Zay and Archer, R. S. Modern Concept of Solid Solutions 238, 239.

ffreys, Harold. Effect of a Steady Wind on the Sea-level near a Straight

Shore 1038.

sh. Wrinch, Dorothy 218, 492. llinek, Karl und Czerwinski, Johannes. Dissoziation von H2S, Na S und Na HS in wässeriger Lösung 86.

nkin, A. Pearse. Structure of the

Molecule 747.

C. F. Fatigue Failure of Metals 344. and Thomas, W. N. Damped Vibrations 733.

nkins, W. A. Emission of Positive Ions from Hot Tungsten 1660. nks, J. S. High-voltage circuit brea-

kers 1777.

nsen, A. G. sh. Friis, H. T. 1350. N. C. Nogle forsøgs- og maaleapparater 1773.

sse, William P. Relative ionization in different gases for slow-moving electrons 765.

Untersuchungen am Kohlenlichtbogen im Zusammenhang mit der Atomtheorie 709.

Jezewski. Influence du champ magnétique sur les constantes diélectriques

des cristaux liquides 1431.

Job, André et Emschwiller, Guy. Réduction photochimique du sulfure de zinc 1230.

Jobin, A. et Yvon, G. Spectromètre

925.

Joffé, A., Kirpitschewa†, M. W. und Lewitzki, M. A. Deformation und Festigkeit der Kristalle 1334.

Johansson, C. H. sh. Borelius, G.

1524.

-, Osc. V. Schnelle und wellenförmige

Luftdruckschwankungen 9.

John, Ancel St. Putting the X-Ray to Work in Everyday Production of Metals 21.

· X-Rays in the Steel Industry 157.

-, C. E. St. Gravitational Displacement of Solar Lines 590.

-, E. St. Bemerkung zur schiebung 1399.

Johnsen, A. Kinematik der eutektischen Kristallisation 516.

Johnson, B. K. Optical revolutioncounter 1005.

-, R. C. sh. Merton, T. R. 50.

Johnston, Elmer H. sh. Daniels, Farrington 271.

-, H. F. sh. Mauchly, S. J. 1493.

-, R. S. sh. Peters, O. S. 963.

Johnstone-Taylor. Testing Steel Balls for Hardness 220, 277.

Jolliffe, C. B. Polarization capacity and resistance at radio frequencies 374. Movement of the Earth's

Joly, J. Surface Crust 89.

Radioactivity of the Rocks 1136,

Jonas, J. Schutz von Hochspannungsnetzen gegen die Folgen von Erdschlüssen 846.

Jones, Arthur Taber. Organ Pipe as a Coupled System 1317.

Energy Relations in the -, Elwyn. High-Tension Magneto 695.

-, H. A. sh. Langmuir, Irving 1283, 1568.

Period and Decrement of -, Iolo. an Oscillatory Electrical Circuit provided with a Short-circuited Secondary 625.

-, L. A. Gloss characteristics of photographic papers 1300.

sh. Hardy, A. C. 1233.

Jones, L. A. and Crabtree, J. I. Sensitometer for the determination of exposure in positive printing 1370.

- and Fillius, M. F. Gloss characteristics of photographic papers 1300.

 and Huse, E. Relation between time and intensity in photographic exposures 857.

-, Loyd A. Photographic reproduction

of tone 127.

 Instrument for the measurement of high photographic densities 406.

L. T. Mercury Vapour Pump 75.
Philip Chapin. Brush Mounting as a Factor of Satisfactory Operation 778.

- Three-Phase Wattmeter Connections 1060.

-, R. L. Natur der Sprache 601.

- Nature of Language 1041.

Joos, G. Diamagnetismus der Edelgaskonfigurationen 450.

 Nachweis einer etwaigen einseitigen Intensitätsverteilung beim Emissionsprozeß 568.

 Einfluß eines Magnetfeldes auf die Polarisation d. Resonanzlichts 1157, 1509.

sh. Angerer, E. v. 894, 1686.
u. Zenneck, J. Empfang von Hochfrequenzschwingungen mit Niederfrequenzmodulation 299.

Jordan, F. W. sh. Eccles, W. H. 690.

-, H. Sternvierer 250.

-, Louis. Gases in Metals 991.

Joshi, Shr. S. Oberflächenspannung von Öl-in-Wasser- und Wasser-in-Öl-Emulsionen 1536.

Jouaust, R. Application des pyromètres aux mesures en haute fréquence 625.

- sh. Ferrié, G. 571.

Jouguet, E. Potential interne des corps élastiques 1257.

Jovičić, Milorad Z. Bemerkungen zur Relativitätstheorie 1307.

Jovitchitch, Milorad Z. Wert der Relativitätstheorie Einsteins 1307.

Judd, Deane B. Spectral energy distributions produced by rotary mixing of complementary papers 1681.

mixing of complementary papers 1681. Judson, L. V. and Page, B. L. Standardization of geodetic base line tapes 1619.

- Graduation of invar base line tapes 1619.

Julius, W. H. and Minnaert, M. Relation between the widening and the mutual influence of dispersion lines in the spectrum of the sun's limb 399.

Jumau, L. Piles électriques d'aprè les brevets récents 27. Jung, Gerhard sh. Coehn, Alfre

1462.

Henne Flektrodenlese Bit

-, Hanns. Elektrodenlose Ring entladung 1755.

Jungbluth, Fr. A. Gesteigerte Selbst tätigkeit des Schülers im mathe matischen Unterricht 209.

-, H. Schwarzbruch im Stahl 288.

 Wie unterscheidet man Zementit bzw Ledeburit vom Phosphideutektikum 1341.

- sh. Schottky, H. 364.

K.

Kade. Theorie und Wirkungsweise de kompensiert. Asynchronmotoren 1504

 Fr. Einfluß der Dämpferwicklun auf einachsig kurzgeschlossene Syn chronmaschinen 1150.

Kaden, Heinrich. Theorie des Gleich richters 38.

Kähler, K. Meßmethoden der atmosphärischen Elektrizität 170.

— Meßmethoden der Sonnen-Himmelsstrahlung 192.

 Schwankung der elektrischen Raum ladung in der Atmosphäre 1065.

 Elektrizität der Gewitter 1747.
 Kämpfert, Wg. sh. Koschmieder Harald 740.

Kändler, H. Herabsetzung der Kerk wirkung 972.

Käppler, Gerhardsh. Weigert, Frit

Kafka, H. Frequenzkompensation vo McBinstrumenten 678.

 Gleichgewichtslagen von elektrische Meßinstrumenten 25.

 Berücksichtigung der Sättigung i den Ortsdiagrammen der Meh phasen-Asynchronmaschinen 39.

 Elektr. Meßinstrumente für Wechse strom mit elektromagnetische Richtmoment 907.

- Richtungsbezeichnung in Vektordi

grammen 1706. Kaftan, Fr. Elektrodynamik d

Vorgänge in der Atmosphäre 106 Kahanowicz, Marya. Proprie elettriche dell'argento in rapporto al cristallizzazione 103.

Kahler, H. Photo-electrical properti of heated oxides 315.

- Photo-electrical properties of the phosphors 315.

- Crystalline structures of sputtered at evaporated metallic films 989.

ilan, Anton. kungen der durchdringenden Radiumstrahlung. Abhängigkeit vom absorbierten Strahlenanteil 383.

aiser, Miss L. Experimental phonetic investigation of the Dutch language

llass, Wilhelm sh. Arndt, Kurt -913.

ilitin, N. N. Durchsichtigkeit und Polarisation der Atmosphäre 1222.

innenberg, H. sh. Wartenberg, H. v. 411.

annenstine, Fabian M. Life of Metastable Helium 1284.

anow, F. sh. Kurnakow, N. S. 1338. ipitza, P. a-Particle Tracks in a Magnetic Field 294.

Loss of Energy of an α Ray Beam in its Passage through Matter 769.

Method of producing strong magnetic

fields 1767.

and Ssemenoff, N. N. Possibility of an experimental determination of the magnetic moment of an atom 742.

er, K. C. Spontane Schwankungen in

der Physik 492.

Statistical theory of spontaneous fluctuations in energy, pressure, and density 1127.

ara-Michailova, Elisabeth Przibram, Karl 771, 790.

und Pettersson, Hans. Helligkeit der Szintillationen von H- und von a-Partikeln 1346.

- Messung der relativen Helligkeit

von Szintillationen 1733.

Use of the arapetoff, Vladimir. Scalar Product of Vectors in Locus Diagrams of Electrical Machinery 1252.

Heavisidion Kinematic Device for Long Transmission Lines 1342.

Magnetization curve, names for its parts 1767.

arbler, J. P. Electrostriction 996. archer, J. C. Measurement of sound

intensity 153.

sh. Eckhardt, E. A. 301. arlsson, Adolf. Magnetic waves in iron rods and iron rings 617.

ármán, Th. v. Gastheoretische Deutung der Reynoldsschen Kennzahl881. Thermisch-elektrisches Gleichgewicht in festen Isolatoren 1566.

arolus, A. Kontinuierliches Röntgenspektrum bei verschiedenen Ent-

ladungsfrequenzen 266. sh. Marx, Erich 677.

Chemische Wir- Karpen, N. Vasilesco. Force électro motrice des piles, affinité chimique et attraction moléculaire 369.

Mécanisme du vol à voile 1633.

Emploi des fluctuations horizontales du vent par les oiseaux voiliers 1134, 1633.

Piles électriques contredisant le deuxième principe de la thermo-

dynamique 1742.

Equilibre du système liquide-vapeur saturée, chaleur de vaporisation, loi du diamètre rectiligne et attraction moléculaire 1175.

Karrer, Enoch. Universal and other

constants 218.

Effect of the diffusion and absorption by the atmosphere on signal lights and projectors 556.

Photometric disk variable and directly readable while in rotation 1131.

and Poritsky, A. Distribution of luminosity throughout a potential cycle for a neon glow discharge lamp 1284.

and Smith, U. M. Diffusion of light from a searchlight beam 575.

-, P. und Fioroni, W. Verbrennungswärmen der Kohlenhydrate 412.

-, S., Fazel, C. S. and Cassen, B. V. Electrical conductivity of active nitrogen 1205.

-, Sebastian sh. Tolman, Richard C.

225.

Karssen, A. Kristallstruktur des Natriumbromats und Natriumchlorats 1052.

sh. Kolkmeijer, N. H. 362.

Kasarnowsky, J. Stellung des Tellurs in der Voltaschen Spannungsreihe 100.

Amphotere Elemente 101.

Kast, W. Anisotropie der flüssigen Kristalle bezüglich ihrer Dielektrizitätskonstanten und ihrer elektrischen Leitfähigkeit 363.

Katz, I. R. Quellung 1739. Kaufmann, W. und Pokar, E. Magnetische Hysteresis bei hoher Frequenz 623.

Kaupp, E. sh. Glocker, R. 1275. Kawamura, Toshio sh. Watanabe, Noboru 1573.

Kaye, G. W. C. Dr. J. A. Harker 74.

- sh. Backhorst, Ivor 1026.

- sh. Griffiths, Ezer 1379.

and Owen, E. A. Protecting Substances for X-Rays 1585.

and Roberts, J. Keith. Conductivities of Metal Crystals. Bismuth 1379.

Kayser, H. und Konen, H. Handbuch | Kempf, Günther. der Spektroskopie 471.

Heat and acid -, J. Ferdinand.

resisting alloys 166.

Energy content of Kazda, C. B. extreme ultraviolet mercury lines and photoelectric long wave-length limit of a clean surface of mercury 707.

Kearton, William J. Strength of forked connecting rods 503.

Use of mercury in binary turbines 584.

Keefer, H. Wirksame lineare Thermosäule 1249.

Schulmäßige Gravitationswage 1386. Keene, Paulsh. Daniels, Farrington

448. Keesley, T. C. sh. Lindemann, F. A. 1562.

Keesom, W. H. Constitution in the liquid and solid states of substances at low temperatures 1646.

- sh. Smedt, J. de 1645.

- et Onnes, H. Kamerlingh. Echelle de température internationale pour les basses températures 1697.

Kegerreis, Roy. Measu ionization currents 1065. Measurement of

Current-measuring instrument of extreme sensitivity 1649.

Überschlagswege von Kehse, Walter. Kugelfunkenstrecken in Luft und neue Durchführung 845.

Keiser, M. and Eckhardt, E. A. Position finding in hydrography by a radio acoustic method 1629.

Keith, Ernest B. sh. Harkins, William D. 1627.

Keller, Max Leo. Lösung praktischer Erwärmungsfragen der Elektrotechnik 1775.

-, Rudolf sh. Fürth, Reinhold 1342. Kellermann, Karlsh. Weigert, Fritz 323.

Kellner, Hermann. Ocular micrometer 191.

Apparatus for testing the perception of depth 924.

Kellog, Edward W. sh. Beverage, Harold H. 1502.

Kellogg, O. D. Example in potential theory 218.

Kelsall, G. A. Permeameter for alternating current measurements at small magnetizing forces 1145.

- Furnace Permeameter for alternating current measurements at small magnetizing forces 1769.

Kelvin, Lord 1386, 1473, 1617.

Steuerwirkung be Schiffen 223.

Kennard, E. H. impulse 1227. Art der Röntgeri

Kessler, E. sh. Piccard, A. 1047 Kets, K. Materialprüfung im Fabriks betriebe 6.

Spannungen im Material 219.

Kettmann, Gustav. Intensität von Röntgenspektrallinien bei höhere Spannungen 853.

Keyes, Frederick G. Association in carbon dioxide from the Joule

Thomson effect 1795.

and Beattie, James A. Calorimete for measuring specific heats and heat of vaporization of liquids. Specifi heat and heat vaporization of liquid ethyl ether 1699.

Keys, David A. Piezoelectric Method of Measuring Explosion Pressures 3

Cathode-ray oscillograph and its appli cation 366.

Adiabatic and Isothermal Piezo Electric Constants of Tourmaline 829

Khintchine, A. Théorème généra relatif aux probabilités dénombrable 1180.

Kidson, E. Theory of the Polar fron 1374.

Kiebitz, F. Ausbreitungsvorgänge und Empfangsstörungen in der Funken telegraphie 540.

Paul Drude 645.

Drahtlose Telegraphie und Telephoni 1773.

Kienle, Hans. Kosmische Refraktion 591, 1712. Absorption des Lichtes und Grenz

des Sternsystems 926.

 Absorption des Lichtes im inter stellaren Raume 926.

Astronomische Prüfungen der all gemeinen Relativitätstheorie 1710.

Kienzl, Robertsh. Kremann, Rober 441.

Kierstead, F. H. sh. Doherty, R. L. 40. Kiess, C. C. Series in the arc spectrum

of molybdenum 1008.

sh. Meggers, W. F. 1361, 1362.
and Kiess, Harriet Knudser Analysis of the arc spectrum of ti tanium 1593.

-, Harriet Knudsen sh. Kiess, C. C. 1593.

Kimball, jr., A. L. Internal Friction Theory of Shaft Whirling 1266. -, W. S. Scattering of particles by a

Einstein center 1121.

mpflin, Georges. Perméabilité de Kirsch, Gerhard. la résine synthétique aux radiations infrarouges 1682.

mura, Masamichi and Nakamura, Gisaburo. Self-Reversal of the Lines H_{α} and H_{β} of Hydrogen 1594.

- Broadening of Spectral Lines Caused by Increased Current Density and Their Stark Effects 1596.

ng, Arthur S. Electric Furnace Spectrum of Titanium in the Ultra-Violet 1594.

Louis V. Complex Anisotropic Molecule in Relation to the Dispersion and Scattering of Light 553.

Continuously tunable hydrophone 986. Measurement of the Acoustic Output and Efficiency of Fog-Alarm Apparatus 1317.

Robert W. Thermionic vacuum tubes and their applications 1436.

ngdon, K. H. Electron emission from composite surfaces 1439.

Method for studying the ionization of the less volatile metals 1440.

Method for the neutralization of electron space charge by positive ionization at very low gas pressures 1570.

and Langmuir, Irving. Removal of thorium from the surface of a thoriated tungsten filament by positive ion bombardment 669.

- Electron emission from caesiumcovered filaments 764.

plinger, Claude Clayton. Method for Determining the Approximate Index of Refraction of Liquids with a Common Microscope 1217.

rchhoff, Peter. Methodisches zur Bestimmung der Dampfdruckkurven Methodisches zur von festen und flüssigen Stoffen mit sehr niedrigen Dampfdrucken 1614. rchner, Fritz. Theorie des lichtelektrischen Effekts 1516.

Direkte Messung der Geschwindigkeit von Kathodenstrahlen 1665.

rkpatrick, Paul. Polarization of X-rays as a function of wave-length 397.

Optical theory of x-ray reflection 632. Continuous spectral energy distribution within the X-ray tube 854. Continuously variable rheostat with constant contacts 992.

rpitschewa †, M. W. sh. Joffé, A. 1334.

Genetischer Zusammenhang zwischen Thor und Uran und über Altersbestimmungen an radioaktiven Mineralien. Lebensdauer des Thoriums 357.

Abnorm große Einzelionisationsstöße

1641.

Über Atomzertrümmerung durch a-Strahlen. Abbau von Stickstoff und Sauerstoff 1732.

and Pettersson, Hans. Long-range Particles from Radium-active Deposit

33, 244.

Atomzertrümmerung durch a-Partikeln 747, 769.

- Experiments on the Artificial Disintegration of Atoms 1270.

Helium ein Produkt des künstlichen Atomzerfalls 1324.

 Artificial Disintegration of Atoms 1324.

- Zertrümmerung von Atomen 1324. Atomzertrümmerung durch

Strahlen 1641.

 Verwandlung der Elemente durch Atomzertrümmerung 1731.

Atomzertrümmerung durch Strahlen. Methode zur Beobachtung der Atomtrümmer von kurzer Reichweite 1732.

Kirschmann, A. Das umgekehrte Spektrum und die Spektralanalyse

Kiss, A. Lichtzerfall des Nitrosylchlorids 202.

Kistiakowsky, Wl. Verdampfungswärme und Gleichungen, welche die Eigenschaften der unassoziierten Flüssigkeiten bestimmen 1241.

Kistner, Adolf. Freihandversuche mit

der Glimmlampe 1388. Klarmann, Emil. Henrysches Gesetz bei wässrigen Ammoniaklösungen und Hydrolyse der Ammonsalze 886.

Klauder, jr., David S. sh. Creighton, Henry Jermain Maude 348.

Klauer, Hans sh. Lorenz, Richard 1432.

Kleebeck, H. sh. Fricke, Robert 1188.

Kleeberg, Fritz. Quecksilberdampf-Gleichrichter der Glastype 628.

Kleeman, Richard and Pitts, Char-Sign of the electrical layer furthest away from the surface of a solution in contact with air or a metal 1743.

-, R. D. Values of the electrical moments of the atoms and their connection with other quantities 744. Kleeman, R. D. stant of mass-action 1021.

Theory of the continuous spectrum 1084.

- and Bennett, R. H. Electromotive force between a metal plate and a solution on being suddenly brought into contact 1427.

and Fredrickson, William. of the electric charge assumed by a

metal immersed in a liquid 530.

— and Simonds, D. T. Effects obtained with an alternating current sent through a capillary electrometer

Periodische Er-Kleffner, Anton. scheinungen bei der Elektrolyse von Chromsäure 837.

Klein, A. L. Effect of caesium vapor on the secondary emission from a nickel surface 1663.

-, Elias sh. Hughes, A. Ll. 766, 1518. -, Erich. Magnetische Flußverteilung im fünfschenkligen Transformatorenkern 630.

-, Felix 961.

-, Georg. Widerstandsmaterialien 910. Kleinert, Heinrich. Prüfungsmöglichkeiten der Einsteinschen Relativitäts-

theorie 967.

Klemenc, Alfons und Remi, Walter. Koeffizienten der inneren Reibung von Stickoxyd und Propan und deren Mischungen mit Wasserstoff 1185.

Klemm, August. Anfangsspannung und Durchbruchfeldstärke von Kugelelektroden bei Gleichspannung 1076.

-, Wilhelm sh. Biltz, Wilhelm 106. Klemperer, Otto. Lichtelektrische Klemperer, Otto. Geschwindigkeitsverteilung 59.

Klever, Helmuth W. Schnellviskosimeter 1528.

-, Bilfinger, Robert und Mauch, Karl. Beziehung zwischen den Ausflußzeiten des Kleverschen Schnellviskosimeters und des Englerschen Viskosimeters 1528.

Klewe sh. Jäger 1215.

Klingenfuss, Max sh. Schwarz, Ro-

Klose, Alfred. Ausgezeichnete Energiewerte in mechanischen Systemen 658.

Klughardt, A. Optischer Ausgleich bei der Zeitlupe 303.

Knaus, Werner sh. Müller, Robert 100.

Kneser, Hans. Untersuchungen an einem Glimmlicht-Gleichrichter für Wechselstrom 301.

Nature of the con-Knipp, Chas. T. and Worsham, W Relation of the density of a gal pitch 737.

Knipping, P. sh. Franck, J. 1 –, Paul. Registrierapparat zur a matischen Aufnahme von Ionisieru und anderen Kurven 169.

Knobel, M. Gas Electrode 171.

Knoblauch, Osc. und Hausen, Erwärmung der Luft beim Thoms Joule-Effekt bei tiefen Temperatu 715.

- und Reiher, H. Temperatur aus einer Lösung sich entwickeln Dampfes 583.

G. Hellmann als Forso Knoch, K. 1386.

Knott, Cargill Gilston 1025.

Knowlton, H. B. Case Hardening: Other Heat treatments As Aplied Gray Cast Iron 219, 289.

Knudsen, V. O. Quality of speech auditoriums 429.

and Shambaugh, Geo. E. Phys. characteristics of diplacusis 666.

Koch, A. sh. Tammann, G. 11 -, Artur. Daniellketten bei höhe Temperaturen 679.

-, John. Dispersion des Lichtes gasförmigen Körpern innerhalb ultravioletten Spektrums 1583.

-, Peter Paul sh. Goos, Fritz 5 -, Walther und Maurer, Walt Kurvenblätter für schnelle und gen Berechnung Hochspannur von Fernleitungen 699.

Kock, F. Die Keramik im Dienste Elektrotechnik 607.

Kögel, P. R. Herstellung von K Mattscheiben auf photochemisch Wege 1015.

Köhler, A. Chemische oder aktinis Flächenhelle einiger Lichtquellen deren Anderung durch eingeschalt Mattscheiben 270.

Objektähnliche Abbildung der o schen Instrumente 1355.

-, Ernst. Elektrolytisches Krist wachstum 517.

Koehler, G. W. Hertzsche Form und Kugellager 1632.

Köhler, Hilding. Kondensation Wasserdampfes in der Atmosph 1259, 1260.

-, Walter. Messung der Dispersion Doppelbrechung 1682.

König, Georg. Bedeutung system scher Luftschraubenversuche 172 -, E. Potentialströmung durch Gi

879.

nig, Georg. Längsstabilität der Flug- | Kollatz, C. W. Drahtloses Fernsprechen dzeuge 1728.

Walter. Georg Hermann Quinckes Leben und Schaffen 1526.

Röntgen-Gedenkfeier 1617.

epp, O. A. sh. Ingersoll, L. R. 1700. rber, Friedrich. Mechanische Eigenschaften und Gefüge kritisch gereckten und geglühten Weicheisens 495.

und Sack, Rudolf H. Vergleichende statische und dynamische Zugver-

suche 493.

und Simonsen, Ivan Bull. Dynamische Härteprüfung nach der

Differentialmethode 494.

erts, A. Atmosphärische Störungen in der drahtlosen Nachrichtenüber-

mittlung 1674. etzold, B. Strom- und Spannungsverhältnisse in vermaschten Drehstromnetzen beim Dauerkurzschluß 1579.

ffka sh. Cermak, P. 575.

fler, Ludwig. Verwendbarkeit eines neuen Stereoaufsatzes für Mikroskope 11016.

hler, K. M. Funkenüberschlagserscheinung an Transformatoren mit reiner Luftisolation 779.

hlrausch, Arnt. Helligkeitsvergleich verschiedener Farben 1017. Theoretisches und Praktisches zur heterochromen Photometrie 1017.

hlschütter, V. Ultramikroskopische

Elektrodenvorgänge 1344.

Neuenschwander, Nelly. Chemisches Verhalten disperser Substanzen. Disperses Aluminiumoxyd

Elektrolytische und Uebersax, F. Kristallisation des Bleis 749.

hn, H. und Guckel, M. Sublima-

tionswärme des Kohlenstoffs 863. Grimsehls Fokuslbe, Bruno. messer 395.

Vereinfachte Zweifeder-Wage 1248. Beobachtungen an der Crookesschen Schattenkreuz-Röhre 1440.

ldaewa, E. sh. Isgarischew, N.

1197.

lhörster, W. und Salis, Gubert von. Intensitäts- und Richtungsder durchdringenden messungen

Strahlung 246.

lkmeijer, N. H., Bijvoet, J. M. und Karssen, A. Kristallstruktur von Natriumehlorat (NaClO₃) 362. llatz, C. W. Die Kathodenröhre in der drahtlosen Telegraphie 188.

390.

Kolthoff, I. M. Einfluß von Salzen auf die Konstante der Silberbromid- und Silberelektrode 911.

Kon, Stanislaw sh. Jabrezyński,

Kazimierz 1470. Kondratjeff, V. und Semenoff, N. Ionisation von Salzdämpfen 838.

Konek, Fritz von und Loczka, Alois. Demonstrierung der chemischen Lichtwirkung 1791.

Konen, H. sh. Kayser, H. 471.

Konobejewski, S. sh. Uspenski, N. 234.

Konovalov, Dimitri. Calorific Value of Carbon Compounds 863.

Koomans, N. Hoogfrequentie-telefonie 189.

Koontz, John A. Carrier-Current Telephony on the High-Voltage Transmission Lines 1077.

Kooy, J. sh. Cohen, Ernst 1053.

Kopczynski, Theodor. Ortskurven Zustandsdiagramme Wechselstromkreises, angewandt auf die Fahrtregulierung bei Wechselstrom-Lokomotiven 42.

Kopfermann, H. Sensibilisierte Fluoreszenz von Blei- und Wismut-

dampf 999.

Kopff, A. Absorption im Weltenraum 90. — Courvoisier-Effekt u- Einstein-Effekt 969.

Möglichkeit der Prüfung des speziellen Relativitätsprinzips auf astronomischem Wege 1398.

Kopp, Walter. Stehende elektromagnetische Wellen mit ungedämpfter

Erregung 688.

Korczyn, Julius. Unregelmäßigkeiten in der Strahlung frisch auskristallisierten Uranylnitrats 1766.

Kordatzki, W. sh. Schleede, Arthur 318.

Koref, F. sh. Gross, R. 990.

Korisko, Hans. Abstimmungserscheinungen bei Erschlußlösch-Vorrichtungen 386, 1501.

Korn, A. Secondo problema fondamentale della statica elastica 1129.

Kornfeld, Gertrud. Experimenteller Beitrag zur Theorie der Strahlungsumformungen 945.

Berechnung elektrostatischer -, H.Potentiale und der Energie von Dipol-

und Quadrupolgittern 1328.

— Eigenschwingungen des CO₃ 1556:

-, Richard. Transformatoren in Sparschaltung 629.

Koschmieder, Harald, Dubois, P. Kremann, Robert, Angelbe: und Kämpfert, Wg. Arbeiten des Meßtrupps während des Rhönsegelflug-Wettbewerbs 1923 740.

Kossel, W. Ergiebigkeit der Röntgenfluoreszenz und Intensitätsvergleich an Röntgenstrahlen verschiedener Wellenlänge 788.

Kostermann, Erich sh. Ryschkewitsch, Eugen 670.

Kostko, J. K. Polyphase Reaction Synchronous Motors 542.

Kotschin, K. Theorie der Polarfront

-; N. Ein Fall der adiabatischen Bewegung 222.

Kouwenhoven, W. B. and Berry, Jr., T. L. Current and Voltage in a Permeameter Circuit 908.

Kovarik, Alois F. Number of Gamma rays emitted per second from radium B and C in equilibrium with a gram of radium and the number emitted per atom disintegrating 1325, 1420.

Kraemer, W. Lichtstarke Spektralapparate 1156.

Kraft, E. A. Stand der Baustofffrage von Dampfturbinen-Beschaufelungen 1322.

Krainsky, N. Energetik der mechanischen Erscheinungen 1113.

Kraissl, Frederick. Compact distillation apparatus 1708.

Krall, Giulio. Variabilità della massa 1400.

Kramer, Walter. Gleichrichtwirkung des elektrostatischen Relais 1663.

Kramers, H. A. Korrespondenzprinzip und Schalenbau des Atoms 652.

Modell des Heliumatoms 731.

- Theory of X-Ray Absorption and of the Continuous X-Ray Spectrum1458.

 Law of Dispersion and Bohr's Theory of Spectra 1531.

Kratzer, A. Terme der (C+H)-Banden 1088.

Theorie der Bandenspektra 1514.

Kraus, Charles A. and Lucasse, Walter W. Resistance-temperature coefficient of concentrated solutions of potassium in liquid ammonia 834.

Krefft, Hermann. Dopplereffekt an Kanalstrahlen von Wasserstoff, Sauerstoff und Stickstoff 1664.

Dopplereffekt von Bogen- u. Funkenlinien 1665.

Franz, Bakalarz, Franz, Röhl Rudolf und Stöger, Cam Fällungsreaktionen von Nickel Kobaltsulfatlösungen durch Zink Cadmium 280.

und Brodar, Aribert. Elektr von Blei-Wismut-Legierungen 9

-, Kienzl, Robert und Markl, dolf. Elektrolyse von Blei-Cadn bzw. Blei-Natrium-Legierungen

und Langbauer, August. vanische Spannungen der terri Legierungen von Wismut, Cadn

und Blei 99.

- und Rauch, Hermann. Ga nische Spannungen der ternären gierungen von Antimon, Zink Wismut 98.

-, Müller, Richard und Kie-Elektrolyse von Qu Hubert. silber-Natrium-Legierungen 442.

- und Ortner, Hugo. Elektro von Legierungen des Quecksilbers Kalium, Calcium und Cadmium

-, Ortner, Hugo und Markl, Rud Elektrolyse von Sb-Zn-Legieru

441.

-, Prammer, Hermann und He Verlauf der Poten Ludwig. fläche der ternären Legierungen Cadmium, Quecksilber und bzw. Blei 287.

Krepelka, Henry. Atomic weigh aluminium 1413.

Kretschmann, Erich. Das stati Einkörperproblem in der Eins schen Theorie 486.

Maxwell-Boltzmannsche schwindigkeits- und Energieve lungsgesetz in der Relativitätsth 1126.

Metallische Leitfähigkeit, Rayle sches Strahlungsgesetz und schwindigkeitsverteilung der Leitt elektronen 1281.

Kreul, Heinrich Grosse. Erzeu von Kohlenoxyd mittels des L bogens 1388.

Kries, J. von. Aufgaben der Fai lehre 1695.

Krings, W. sh. Tammann, G.

Krishnaiyar, N. C. Maintenand Vibrations under Variable S 1402.

Fluorescence of Didymium in 1461.

Krönig, Walter sh. Fischer, F.

rotkow, D. sh. Kurnakow, N. S. 1338. | Küstner, H. Empfindlichkeit der Selenrueger, Ernst. Doppelbrechung in strömenden Flüssigkeiten 1509.

rüger, K. und Zenneck, J. Dämmerungssehen mit Ferngläsern 1236.

, Willy. Ätz- und Lösungserscheinungen am Aragonit 232.

rüse, K. Das Dasymeter als Luftwage 338.

rüzner, Herbert. Einflüsse von mechanischer Härtung durch Torsion auf die magnetischen Eigenschaften von Eisen und Stahl 183.

Berechnung der in Reaktanzspulen auftretenden mechanischen Bean-

spruchungen 1504.

rug, Karl. Härtebestimmung von Schleifmaterialien 876.

ruisheer, C. I. sh. Cohen, Ernst 1652.

ruse, S. sh. Dellinger, J. H. 1149. cutkow, G. und Fock, V. Rayleighsches Pendel 654.

adrjawzewa, W. M. sh. Ssemenoff, N. N. 614.

ichler, Rud. Stationäre Erwärmung des selbstkühlenden Oltransformators

Streuspannung von Transformatorwicklungen 1152.

Berechnung der in Reaktanzspulen auftretenden mechanischen Beanspruchungen 1504.

Anwendung der Kontrastühl, A. theorie auf das Fadenmikrometer 859. ihnel. Abnutzung des Gußeisens 974. Das Erstarrungsschaubild und seine Auswertung im Gießereibetrieb 94.

und Marzahn, G. Ursachen der vorzeitigen Zerstörung von Rippen-

schwellen 596.

und Nesemann, E. Gefüge hochwertigen grauen Gußeisens 1561.

uper, O. Pendelversuch 338.

ipfmüller, K. Umwandlungssatz zur Theorie der linearen Netze 39.

Einschwingvorgänge, Echoeffekt und Temperatureinflüsse b. Fernsprechen über lange Pupinkabel 626.

Vergleichende Geräuschmessung 1262. sh. Dohmen, K. 250, 1215.

sh. Lüschen, Fritz 35.

Standardisierung der istner, H. Röntgendosismessung 1153. Filterschutz gegen Verbrennungen in

der Röntgendiagnostik 1678.

zelle auf Röntgenstrahlen verschied. Wellenlänge 1691.

Kuhlmann, Karl. Berücksichtigung der Eisenverluste im Kreisdiagramm des Transformators 1776.

Kuhn, W. Décomposition de l'ammoniaque par les rayons ultraviolets et loi d'équivalence photochimique 944.

Décomposition de l'ammoniaque par

les rayons-ultraviolets 1369.

Kulenkampff, Helmuth. Wellenlänge gestreuter Röntgenstrahlen 123. Kull, G. Tiefe Temperaturen 576.

Kundt, M. Makrophotographie 640. Kunizkij, R: Aberration des Lichtes und absolute Bewegung 1122.

Kunsman, C. H. sh. Davisson, C. 243.

Kunz, J. Law of photo-electric photometry 64.

Photo-electric effect of Röntgen rays

Derivation of Planck's Law of Radiation by means of the Adiabatic Hypothesis 1622.

sh. Tykocinski-Tykociner, J. 317,

1097, 1517. and Williams, E. H. Photo-electric effect of caesium vapor and determination of Planck's universal constant h 60.

Photo-electric effect of caesium

vapor 571.

Kuppenheim, Hans. Beständigkeit der Phosphoreszenzzentren 313.

Kuprijanow, G. und Schmakow, Berechnung kombinierter Schwingungskreise 1071.

Kurnakow, N. S., Krotkow, D., Oksmann, M., Beketow, N., Perelmutter, S., Kanow, F. und Finkel, J. Innere Reibung und Schmelzbarkeit binärer Systeme 1338.

Kurth, E. H. Test of the Bohr-Sommerfeld theory of spectral lines

Kuss, Ernst sh. Stock, Alfred 664.

Kussmann, A. sh. Michel, G. 193. Kutzner, Walther. Das Wahrscheinlichkeitsgesetz in Anwendung auf die radioaktive Strahlung des Poloniums 821.

Geigersche Zählkammer 1342.

- sh. Baeyer, O. v. 1604.

- sh. Behnken, Hermann 1597. Kuypers, H.A. et Onnes, H. Kamerlingh. Isothermes de l'oxygène à 0° et 20° C 1612.

L.

Laar, J. J. van. Zustandsgleichung von Gasen und Flüssigkeiten 800.

Heats of Mixing of Normal and

Associating Liquids 886. Labitzke, P. Psycholog Psychologisch-physiologische Bisektionsfehler 1168.

Labrouste, H. Enregistrement des tremblements identiques à Strass-

bourg 15.

Labussière, M. Existence géométrique d'un invariant général des faisceaux de rayons se réfractant suivant la loi de Descartes 1777.

Lachmann, G. Versuchsergebnisse mit

Spaltflügeln 1268, 1635.

Unterteilte Flächenprofile und ihre Bedeutung für die Flugtechnik 431.

Lachs, H. und Goldberg, Stephanie. Einfluß der Temperatur auf die Koagulation des kolloiden Goldes 152.

Grundlagen der Ladenburg, R. Quantentheorie und ihre experimentelle Prüfung 656.

Unsymmetrischer elektrischer Effekt

an den D-Linien 942.

- Elektrische Beeeinflussung der Resonanzlinien des Na-Dampfes 1299. und Senftleben, Hermann. Leuch-

ten der Flammen 1166.

Laer Kronig, Ralph de. Model of the helium atom 732.

Laffitte, P. Formation de l'onde explosive 506.

Propagation de l'onde de choc 1485. Propagation de l'onde explosive 1726.

Lakeman, C. und Sissingh, R. Vor-lesungsversuche über die Wirkung von Staubteilchen, Ionen und Elektronen als Kondensationskerne 1058.

Lallemand, Ch. Avantages comparés des abaques hexagonaux et des abaques à points alignés 1250.

Lamb, Arthur B. and Coolidge, A. Sprague. Heat of absorption of vapors on charcoal 663.

-, H. Magnetic Field of a Helix 921. Waves of Permanent Type on the Interface of two Liquids 1719.

Lambert et Andant. Métallisation des surfaces par projection cathodique 1741.

-, P., Déjardin, G. et Chalonge, D. Limitation du spectre solaire ultraviolet 708.

Lammert, Olive M. sh. Morgan, J. Livingston R. 174, 1605.

Lanczos, Kornel. Theorie der Merk perihelverschiebung 591.

Stationäre Kosmologie im Sinne Einsteinschen Gravitationstheorie

Flächenhafte Verteilung der Mate in der Einsteinschen Gravitatio theorie 1713. Landé, A. Termstruktur und Zeem

effekt der Multipletts 308.

Theorie der Röntgenspektren 10

Wesen der relativistischen Rönte dubletts 1090.

Wesen der relativistischen Duble bei den Röntgenspektren 1226. Absolute Intervalle der optisch

Dubletts und Tripletts 1254. Gestrichene und verschobene Sp

tralterme 1682.

sh. Lorenz, Richard 107.

und Heisenberg, W. Termstruk der Multipletts höherer Stufe 15 Landesen, G. Ersatz für Schliffe in

Vakuumtechnik 417.

Landon, J. W. and Quinney, Experiments with the Hopkin Pressure Bar 505.

Landrieu, Ph. sh. Moureu, Char 1171.

Landschütz, P. sh. Sauerwald, 1491.

Lane, C. E. sh. Wegel, R. L. 10 Lang, A. Wirbelströme im massi Eisen 183.

Langbauer, August sh. Kreman Robert 98, 99.

Lange, Fritz. Spezifische Wärme tiefen Temperaturen 1302.

-, F. C. sh. Moorhead, O. B. 16 Langenberg, F. C. Temperature

Charpy Impact Value 145. Langmuir, Irving. Effect of sp charge and initial velocities on potential distribution and thermio

current between parallel plane e trodes 378. Positive ion currents from the posi-

column of mercury arcs 380. - Reflection of electrons induced

light 570.

Pressure Effect and Other Phe mena in Gaseous Discharges

Reflection of electrons caused light 791.

Positive Ion Currents in the Posi Column of the Mercury Arc 12

- Mechanism of the positive colu of the mercury arc 1283.

Electron emission from thorsa tungsten filaments 1661.

sh. Kingdon, K. H. 669, ingmuir, Irving and Blodgett, Lasareff, P. Relations entre les ano-Katharine B. Currents limited by space charge between coaxial cylinders

- Currents limited by space charge between concentric spheres 1658.

and Jones, H. A. Method for quantitative studies of ionization phenomena in gases 1283.

1568.

ingrehr, H. Fluchtlinientafel zur Berechnung des Leistungsfaktors bei Dreiphasenanlagen und -apparaten

ingstroth, C. B. Heat Treating Low-

Carbon Bars for Rivets 975.

inkshear, Frederick Russell. Chemical significance of absorption spectra and methods of examining them 1457.

Ultraviolett Photometer 1457.

unner, A. Entstehung der Brennpunkte im Kugelschatten 119.

porte, Otto. Anordnung der Vanadiumlinien in Multipletts 565. Struktur des Eisenspektrums 1591, 1592.

pp, Ch. Viscosité Magnétique 841. C. J. Device for recording sound waves 428.

Trace left by a helical beam of electrons on a plane perpendicular to its axis 1283.

pworth, A. Latent polarities of atoms and mechanism of reaction 1414.

and Robinson, R. Polarisation of Double Bonds 435.

rmor, Joseph. Can Gravitation really be absorbed into the Frame of Space and Time? 486.

Rosa. Velocità della luce si compone

con quella della sorgente? 78. M. Addiert sich die Geschwindigkeit

des Lichtes zu derjenigen der Lichtquelle? 969. rson, A. T. and Dodge, R. L.

Ammonia equilibrium 474.

sala, E. sh. Palacios, J. 152. sareff, P. Vitesse des réactions photochimiques sous l'action d'une lumière dont l'intensité est périodique

1099, 1464. Théorie ionique de la vision péri-

phérique 1169.

Relations entre la concentration atomique et des constantes mécaniques thermiques et optiques des éléments 1642.

malies de magnétisme terrestre et celles de gravité 1716.

Anomalies du magnétisme terrestre et de la gravité dans le gouvernement

de Koursk 1772.

Laski, G. Ultrarotforschung 1787. Latimer, Wendell M. Ionization of

salt vapors 1193.

Mechanism of ionization in gases Latour, Marius. Signal-to-static interference ratio in radio telephony 1672.

and Chireix, H. Efficiency of threeelectrode tubes used for the production of continuous waves in radio telegraphy 388.

Lau, E. Verbesserung der Lummer-Gehrcke-Platte f. Interferenzspektro-

skopie 795.

Feinstruktur ausgewählter Spektrallinien 1166.

sh. Gehrcke, E. 785.

Laube, Friedrich. Die Johnsen-Rahbeck-Anordnung als galvanisches Element 370.

Lauch, Karl. Optische Konstanten chemisch reiner, undurchsichtiger durch Kathodenzerstäubung hergestellter Metallschichten 1083.

- sh. Rother, Franz 927.

Laue, M. v. G. A. Schotts Form der relativistischen Dynamik und die Quantenbedingungen 807.

Geschwindigkeit eines Lichtstrahles in einem bewegten Körper 1399. Bedeutung des Nullkegels in der all-

gemeinen Relativitätstheorie 1399.

Theorie der von glühenden Metallen ausgesandten positiven Ionen und Elektronen 1497.

W. Nernst zum 60. Geburtstag 1525.

Atomaufbau und Atomzertrümmerung 1637.

sh. Bär, R. 447.

und Sen, Nikhilranjan. Die de Sittersche Welt 1713.

- Berechnung des Potentialabfalles in den von glühenden Metallen ausgesandten Ionen und Elektronengasen

Laugier, Henri sh. Cardot, Henry 1285.

Laurance, Lionel and Wood, H. Oscar. Powers of Ophthalmic Lenses 202.

- Questions in General and Practical Optics 1508.

Lauster, F. sh. Loosli, H. 273.

Laville, G. Réfraction dans un prisme hors de la section principale. Lois de Bravais 1217.

Lawson, Robert W. sh. Hess, Victor | Lehto, Lauri. F. 1287, 1499.

Lay, J. T. sh. Bazzoni, C. B. 1284, 1757. Lazzarino, Orazio. Problema fondamentale della teoria dei vortici 422. Equazioni del moto di rotazione 1719.

Lea, F. C., Collins, V. A. und Reeve, E. A. F. Der direkte Elastizitätsmodul kalt gezogener Metalle als Funktion der Anlaßtemperatur 219.

Lear, Mary E. Dielectric constant of germanium tetrachloride 1654.

Lebedeff, A. sh. Fedotieff, P. P. 1167. Leblanc, Maurice 74, 209, 586, 645. Le Blanc, M. Zur Erinnerung an Julius Wagner 1473.

Lecat, Maurice. Bibliographie de la relativité 1620.

Le Chatelier, François sh. Portevin, Albert 83, 1276.

Lecornu. Accouplements élastiques 808. -, L. Mouvement d'un point matériel de masse variable avec la force vive, soumis à une force centrale 1119. Lecrenier, Ad. Oberflächenspannung

des Glases 1537.

Ledig, P. G. and Weaver, E. R. Method for studying the rapid absorption of gases by liquids 1540.

Ledoux-Lebard, R., Lepape, A. et Dauvillier, A. Emploi des gaz

lourds en radiodiagnostic 548.

Leduc, A. Amélioration de l'équation d'état des gaz 336.

Lee, W. B. sh. Egerton, A. C. 285, 871. Lees, Charles H. and Calthrop, J. E. Effect of Torsion on the Thermal and Electrical Conductivities of Metals 864.

-, Andrews, Jas. P. and Shave, L. S. Variation of Young's modulus at high temperatures 1716.

-, S. Empirical Equation of State for Fluids §77.

Superposing of Two Cross Screens at Small Angles 1295. Cross - line

Legg, J. W. Expansion of Oscillography by the Portable Instrument

Legouez, R. Cables téléphoniques 38. —, Raynald I.

Legros, Léon. Câbles en aluminium et en aluminium armé pour les lignes de transmission aériennes 117.

Lehmann, W. M. Versuchsanordnung f. Debye-Scherrer-Röntgenaufnahmen

Lehrs, L. Kalorimetrische Messung von Levaillant, R. Fluorescence et ph Wirbelstromverlusten 1075.

Schwingungen Flüssigkeiten in U-förmigen Röh 149.

Autokollimations-Mo Leiss, Carl. chromator 850.

Theodolit-Mikroskop 924.

Universal-Funkenapparat 1103. Leistner, Kurt. Stehende Lichtwell in großer Entfernung von reflektier den Flächen 1448.

Leithäuser, G. sh. Alberti, E. 5. — und Claussen, W. Empfangsanl der Hauptfunkstelle Norddeich 4

und Looslie. Lichtbogengenera 1671.

Leluan, G. sh. Bouzat, A. 958. Lemaître, G. Motion of a Rigid Sc according to the Relativity Princi 1711.

Systematik Lembert, Max E. Hydrate salzartiger Verbindung

1047.

Lémeray. Courbure d'univers 1123 Lemmert, Olive M. sh. Morga J. Livingston R. 1204.

Lemon, Harvey B. Instruction Value of Certain Types of Mot Pictures 1116.

Spectrum of Hydrogen 1456.

- Spectrum of Nebulium 1513, 16 Spectrum associated with spectra unknown origin in the tails of cert comets 1686. Lenard, P.

Lichtfortpflanzung Himmelsraum 965.

Lenzen, V. F. Method of Determin the Adiabatic Invariants of Mecha cal Systems 653.

Leonhardt, Johannes, Röntge graphische Untersuchungen am To 825.

sh. Rinne, F. 1336.

Lepape, A. Relations entre la rac activité, la température et la furation des sources de Bagnères-Luchon 15.

sh. Broglie, M. de 1225. - sh. Ledoux-Lebard, R. 548.

Le Roux, J. Coordination des mou ments et notion de temps 1123.

Leroy, L. Chronographe enregistr 1131.

Le Roy Meisinger, C. Sky bright and daylight illumination 1373.

Lertes, P. Der Radio-Amateur Röntgenintensitätsmesser 829.

Lessing, Rudolf sh. Moser, Lud 1729.

chimie 313.

everinghaus, R. W. sh. Oertel, W. Lieber, P. Belastungsdauer bei der

vi, B. Perchè lo spazio fisico ha tre dimensioni? 1401.

vi, G. R. e Ferrari, A. Reticoli cristallini dei carbonati romboedrici di metalli bivalenti 1557.

, M. Photoelektrische Leitfähigkeit des Diamants und anderer fluoreszieren-

der Kristalle 791.

, S. M. Gesättigte Lösungen von Kalium-Magnesiumsulfat 348.

Löslichkeitskurven bei der Spaltung von Doppelsalzen 1723.

vi-Civita, F. Fragen der klassischen und relativistischen Mechanik 1533. ovy, G. R. e Ferrari, A. Reticoli cristallini dell' idrato e del carbonato di magnesio 1737.

vy, Paul. Lois stables en calcul des

probabilités 970.

win, Hans. Verbesserung der Wiensschen Funkenstrecke des Diathermieapparates 1004.

wis, E. W. Industrial applications of the electric furnace 455.

, F. G. H. Automatic Voltage Regulator 1374.

, Gilbert N. Valence and the electron 894.

W. C. M. Velocity of a Unimolecular Chemical Reaction 334.

Atomic structure and Quantisation

sh. Taylor, H. Austin 1606. W. K. and Murphree, E. V. Relation between vapor pressure and vapor composition in binary mixtures of volatile liquids 1239.

witsky, M. Versuch, von den kurzen elektrischen zu den langen Wärme-

wellen überzugehen 1212.

witzki, M. A. sh. Joffé, A. 1334. wschin, W. L. Polarisiertes Fluoreszenzlicht von Farbstofflösungen 1601.

y, H. sh. Mecke, R. 1794.

und Diekmann, H. Wanderungsgeschwindigkeiten isomerer Ionen 372. und Volbert, F. Absorptionsmessung im Ultraviolett mit Hilfe photographischer Photometrie 1795. chtenecker, Karl. Elektrischer Leitungswiderstand künstlicher und natürlicher Aggregate 1343.

chtenstein, L. Problem der Strom-

leitung 1058.

inTheorie. und Erdstromfragen Praxis 778.

Härteprüfung weicher Metalle 1717.

Liebreich und Wiederholt. sammenhang zwischen Passivität und Uberspannung 1434.

-, J. Erik. Periodische Erscheinungen bei der Elektrolyse von Chromsäure

1204.

Liempt, J. A. M. v. Gleichgewichte von Wolfram und seinen Oxyden mit Wasserstoff und Wasserdampf; Kohlenoxyd und Kohlensäure und Sauerstoff 12.

sh. Geiss, W. 288, 755.

Liénard. Les trois constantes fondamentales de l'électricité et du magnétisme 22.

-, A. Calcul de l'attraction magnétique lorsque la loi Maxwell devient in-

suffisante 34. Liesegang, F. Paul. Geschichte des Magnetismus 73.

Vorlesungsversuche zur Abbeschen

Abbildungslehre 1391.

Beugungserscheinungen beim geradlinig begrenzten Schirm und beim Spalt 1391.

Michelsonsches Verfahren zur Bestimmung des scheinbaren Sterndurchmessers als Vorlesungsversuch 1392.

-, Raphael Ed. Gerbwirkung der grünen Chromsalzvioletten und

lösungen 280.

Lievens, G. Schmelzpunkt der Ester, die ein C₅-Radikal enthalten 1614. Liggett, T. H. sh. Harkins, William

D. 669. Linck, G. Aufbau des Erdballs 1263.

Lind, S. C. Gas kinetics 945.

Phosphorescence of american iceland spar after radium radiation 1366.

sh. Nyswander, R. E. 937.

and Bardwell, D. C. Coloring of the diamond by radium radiation 244.

Determination by a chemical method of the mean effective path of alpha particles in small spheres 1000.

Lindau, P. Bau der zweiten positiven Gruppe der Stickstoffbanden 1511.

sh. Mecke, R. 1363.

Lindblad, Bertil. Radiative equilibrium and solar temperature 122. Linde, C. v. 481. -, E. Zur Frage um die elektrolytische

Dissoziation des Wassers in Salz-

lösungen 374.

Lindemann, Adolf. Verwendung der Glimmlampe im Unterricht 111.

F. A. 1562.

-, F. A. Absorption of Radiation inside a Star 259.

Selective Interruption of Molecular Movements 411.

and Dobson, G. M. B. Temperature of the Air at Great Heights 577.

and Lindemann, A. F. and Keeley, T. C. New Form of Electrometer 1562.

Lindman, Karl F. Von einem asymmetrisch - tetraedrischen und von einem spiralförmigen Molekülmodell erzeugte Drehung der Polarisationsebene der elektromagnetischenWellen 1588.

Lindsay. Limites d'absorption L des éléments Ba-Sb 566.

- Robert Bruce. Atomic models of the alkali metals 1411, 1729.

Linhard sh. Hönigschmid, O. 668,

Linke, F. Schwankungen der Solarkonstanten 1084, 1359.

Universalaktinometer 1158.

Little, W. F. Bestimmung des Reflexionsvermögens von Oberflächen 193.

Littleton, Jr., J. T. Method for measuring the tensile strength of glass 559.

Lloyd, Francis E. Ultramicroscopically observable fluorescence 124.

Fluorescence of certain Lower Plants 405.

Lock, C. N. H. sh. Fowler, R. H. 1719. Lockrow, L. L. Low voltage arc in oxygen 1285.

Lockyer, Sir Norman 481.

Loczka, Alois sh. Konek, Fritz von

Lodge, Oliver. Broadcasting Transmitter 390.

Quantum in Atomic Astronomy 656.

- Kinetic Atom 745.

 Problems of Hydrone and Water 1062. - Thunderstorms and Globe Lightning Loose, Gustav. For 1062. Röntgentherapie 548.

and Peddie, W. Colour Vision and Loosli, H. und Lauster, F. Neuerung Colour Vision Theories 1019.

Loeb, L. B. Zinksulfidphosphore 1515.

- Recoil of Alpha Particles from Light

Atoms 1766. - and Ashley, M. F. Mobility of gas ions in mixtures of NH₃ and air 1761.

-, Leonard B. Mobilities of electrons in air 379.

 Absolute mobilities of negative ions in air 379.

Lindemann, A. F. sh. Lindemann, | Loeb, Leonard B. Effect of the Gau in the Franck modification of t Rutherford alternating current meth for measuring ionic mobilities 680

Effect of variable electron mobility on the formation of negative ions

air 1760.

Gas Ion Mobilities and their Inc pendence of the Nature of the I 1761.

Löschner, H. Einstellgenauigkeit Mollenkopfschen Werkstattswass

wagen 482.

Löwe, Percy and Rose, D. C. tensities in the argon spectrum 178 Löwenstein. Sartoriussche Mikrowa

Lofton, R. E. Measure of the co. characteristics of white papers 135

Lohaus, Otto. Der Kondensator Unterwasserschallempfänger 738.

Lohr, E. Vergleich der Jaumannsch Gravitationstheorie mit den Bed achtungen 971.

Kontinuitätstheorie der Röntge

strahlausbreitung in Kristallen 151 Entropieprinzip der Kontinuitä theorie 1609.

London, Fritz. Maßbestimmung einer physikalischen Mannigfaltigk und Prinzip der Ähnlichkeit 12: Longchambon, L. Zirkularpolarisati

kristallisierter Körper 1008.

Lames cristallines à retard consta 1218.

Dispersion rotatoire de l'acide ta trique 1358.

Longden, A. C. Standard cell co struction 907.

Lønggaard, Marie og Jacobsen, J. Faldmaskine .866.

Longinescu, G. G. Beziehung zwisch Schmelz- und Siedetemperatur 170

Lonsdale, Thomas. Flow of water the Annular Space between two axial Cylindrical Pipes 149.

Fortschritte of

a. Quecksilberdampfstrahlpumpen 2 Schwärzungsprozeß der Looslie sh. Leithäuser, G. 1671. Lorenser, E. sh. Ludewig, P. 7 Lorentz 1305.

-, H. A. Considerazioni elementari

principio di relatività 276. Principio di relatività 1398. Radiation of Light 1508.

et Herzen, Edouard. Rappo de l'énergie et de la masse d'ap Ernest Solvay 585.

orenz, E. und Rajewsky, B. Ab- | Lotz, Albert. Selbstherstellung eines schwächungskoeffizient von Wasser und Aluminium bei harten Röntgenstrahlen 703.

Rolle der Streuung für Strahlenwirkung unter Berücksichtigung des Compton-Effektes 1680.

- Bedeutung des Compton-Effektes für die Wirkung der Röntgenstrahlen 1679.

, H. 481.

Bedeutung der technischen Physik für den Maschinenbau 585.

Lehrbuch der technischen Physik , Richard. Gleichgewichte zwischen

Metallen und Salzen im Schmelzflusse 1243.

Schmelzelektrolyte 1524.

Theorie der Dampfspannungskurve 1796.

und Bergheimer, E. Gewichtsverhältnis von Chlor zu Silber 1728. und Brehmer, Elisabeth. fähigkeitseigenschaften der Arsinsäuren 107.

und Herz, W. Raumerfüllung im flüssigen und gasförmigen Zustande

 Dielektrizitätskonstante u. Raumerfüllung 1381.

- Vergleich von Raumerfüllungs-

zahlen 1381, 1701. - Siedepunkte und Verdampfungs-

wärmen bei Salzen 1467.

- Versuch. Umwandlungstemperaturen in die Regeln der übereinstimmenden Zustände einzubeziehen 1470.

 Kritische Dichten von Salzen 1701. und Klauer, Hans. Leitfähigkeits-Einführung messung durch Röhrenverstärkers 1432.

und Landé, A. Theorie der Ermittlung der Grenzwerte des molaren Leitvermögens starker Elektrolyte 107.

Magnus, A., Giller, Fritz, Bergheimer, Eduard und Hartmann, Joseph Heinrich. Trennung von Gasgemischen durch Diffusion 1404. und Wiedbrauck, E. Einfluß der Strömung auf die Adsorption von Gasen 1314.

Adsorption von Gasen und Gas-

gemischen 1544.

eines Holzkohleab-Umschlag bei der Adsorption von sorbers Kohlendioxyd und Wasserstoff 1544. Simon-Unterbrechers 368.

- sh. Gerdien, Hans 128.

Lovelace, B. F., Bahlke, W. H. and Frazer, J. C. W. Vapor pressures of lithium chloride solutions at 20° 1304.

Low, A. R. Circulation Theory of Lift 1135.

Units in Aeronautics 1191.

Lowe, P. sh. Hughes, A. Ll. 194, 706. Lowry, H. H. Relation between the hydrogen content of certain charcoals and other properties 1546.

and Morgan, S. O. Rate of oxidation

of certain charcoals 1547.

-, T. M. Electronic Theory of Valency 895, 1417.

Applications in organic chemistry of the electronic theory of valency 897.

Intramolecular ionisation in organic compounds 900.

sh. Gifford, J. W. 552.

and Parker, R. G. Temperature control for the Pulfrich refractometer 925.

and Walker, E. E. Induced Asymmetry of unsaturated Radicals in optically active Compounds 1418.

Lubovich, V. P., Pearen, E. M. und McLennan, J. C. Infrarote Spektroskopie 795.

Lucas, Francis F. Photomicrography in Application to Telephone Apparatus 857.

Lucasse, Walter W. sh. Charles A. 834. Luckey, G. P. 7

Tungsten are under pressure 29.

—, P. Grundlagen der Nomographie 1709. Luckiesh, M. Ultra-violet spectrum of the tungsten arc 49.

Measurement of reflection- and transmission-factors 63.

Ultraviolet transmission of clear and cobalt-blue glasses 64.

Spectrophotographic filter 64.

- Demonstrating color-mixture 1021. - Holladay, L. L. and Taylor, A. H.

Short-wave radiation from tungsten filaments 264.

Ludewig, P. Bestimmung des Radiumgehaltes schwach aktiver Substanzen nach der Gammastrahlenmethode 513.

Emanationsgehalt der radioaktiven Quellen in Brambach und Oberschlema 1271.

und Lorenser, E. Verwendbarkeit von Radium- u. Urannormallösungen für Emanationsmessungen 748.

Ludewig, P. und Lorenser, E. Untersuchung der Grubenluft in den Schneeberger Gruben auf den Gehalt an Radiumemanation 748.

 und Reuther, F. Durch Radiumstrahlen hervorgebrachte Farbänderung von Kristallen. Bestrahlung von farblosem Steinsalz 111, 1211, 1499.

Ludlam, E. B. and West, W. Phosphorescence of Fused Transparent Silica 1093.

Ludwik, P. Was haben wir an der Kerbschlagprobe? 144.

Lübben, Carl. Dielektrische Eigenschaften der Kabelpapiere 680.

 Anomales Verhalten des Dielektrikums von Kondensatoren bei Gleichund Wechselstrom 680.

Lüdemann, Karl. Beleuchtung von Meßstellen an geodätischen Vermessungs-Instrumenten 818.

- Ablesefehler bei Theodoliten mit

Skalenmikroskopen 1154.

Lüschen, Fritz und Küpfmüller, Karl. Ausbildung von dauernden Sinusschwingungen in einem langen homogenen Kabel 35.

Lüthy, A. Absorptionsspektra im Ultravioletten von ungesättigten Verbindungen. Dampfspektra von Acrolein, Crotonaldehyd und Glyoxal 1364.

Lukirsky, P. Weiche Röntgenstrahlen 1228.

 Soft X-Rays from Carbon 1368.
 Lumière, A. sh. Lumière, L. 1691, 1692.

-, L. Projection à grande distance de phototypes de grand format 1779.

-, Lumière, A. et Seyewetz, A. Développement de l'image latente après fixage 1691.

- - Image latente photographique

Lundblad, Ragnar. Radiation and temperature of the external photospheric layers 121.

Lunnon, Robert G. Resistance of Air to Falling Spheres 1185.

Lupton, Hartley sh. Newbery, Edgar 1270.

Lurquin, Constant. Proposition fondamentale de probabilité 1127.

Lussana, Silvio. Influenza della pressione sulla conducibilità calorifica ed elettrica dei metalli 69.

Lutigneaux, Henry. Représentation des objets dans l'espace à trois dimensions 1355.

Ludewig, P. und Lorenser, E. Unter-Lutz, C. W. Saitenelektrometer neue suchung der Grubenluft in den Schnee-Form 95, 993, 1493.

 Messung des luftelektrischen Poter tialgefälles 534.

Luyken, Karl. Messungen mit neue Modellen des Bidlingmaiersche Doppelkompasses 225.

Luyten, Willem J. Form of the distribution law of stellar velocities

281

Lyman, Theodore. Acoustic Researce 430.

 Spectrum of Helium in the extrem Ultra-Violet 1298, 1512, 1682.

- Vacuum grating spectrograph 137

M.

- Maass, O. Sulfuric acid concentrate and vacuum pump 647.
 - Molecular attraction and molecula combination 1729.
- McAdam jr., D. J. Endurance Properties of Steel 974.
- McAdams, W. H. and Frost, T. H. Heat Transfer for Water Flowin Inside Pipes 1109.
- McCallum, S. P. sh. Townsend, J. 8 1435.
- McCay, LeRoy W. Light filter 1300 McCollum, Burton and Peters, O. S.

Electrical telemeter 1425.

McCorkle, Paul. Magnetostriction an magnetoelectric effects in iron, nicke and cobalt 184.

MacDougall, F. H. Molecular heat chydrogen 1697.

McDowell, Louise S. Power loss i condensers with liquid dielectrics 1280

McEachron, Karl B. Photograph Methods of Studying High-Voltage Discharges 393.

Macelwane, James B. Progressiv change of frequency in elastic wave 224.

- Relation between the periods elastic waves and the distance traveled by them 1549.

Mac Gregor-Morris, J. T and Mallet E. Overtones of the diaphragm of telephone receiver 1724.

Mach, E. Populär-wissenschaftliel Vorlesungen 137.

Machatschki, Felix. Kristallform ur optisches Verhalten einiger organisch Verbindungen 560.

Mache, Heinrich. Radioaktivität de Gasteiner Thermen 514.

che, Heinrich und Nägel, A. Anderung der Verbrennungsgeschwindigkeit v. Wasserstoff-Luftgemischen mit Druck und Temperatur 580.

Diffusion Theory of Comets 1406. chert, A. sh. Halban, H. von 327. cInnes, Duncan A. and Shedlovsky, Theodore. Intensities of reflection of the characteristics rays of palladium from fluorite 1598.

and Smith, Edgar Reynolds. Moving boundary method for determining transference numbers 532. cintire, H. J. Oscillating Ammonia

Compressor 480.

and Beling, Earl. Performance Tests on a Flooded Atmospheric Type Ammonia Condenser 719.

ckay, C. A. Ionizing Potentials of Helium and some Multiatomic Gases

Measurements of the ionization potentials of multiatomic gases 1762. Keehan, L. W. Crystal structure of iron-nickel alloys 238, 287.

Crystal structure of quartz 522. Extraordinary diffraction of x-rays

Ferromagnetism and its Dependence upon Chemical, Thermal and Mechanical Conditions 1769.

and Cioffi, P. P. Magnetic hysteresis loops in permalloy_1148.

ckell, James F. Influence of the earth's potential-gradient upon measurements of the mean ionic density of the atmosphere by the Ebert ion-

counter 1067. Kelvy, E. C. sh. Cragoe, C. S. 479. and Taylor, C. S. Composition, Purification, and certain constants of

ammonia 479.

cKenzie, D. sh. Crandall, I. B. 429. Keown, A. Velocity of a Uni-

molecular Reaction 333.

ckeown, S. S. Hall effect and specific resistance of cathodically deposited films of gold 758.

High-voltage direct-current generator

Lachlan, N. W. Application of a revolving magnetic drum to electric relays 390.

Energy in the Magnetic Circuit of a

Magneto 694.

Thomas A. Cata-Laughlin, phoresis of air-bubbles in various liquids 176.

Lennan, J. C. Quantum Theory 218. Spectra of the Lighter Elements 932.

McLennan, J. C. sh. Lubovich, V. P. 795.

and Ainslie, D. S. Fluorescence and Channelled Absorption Spectra of Caesium and other Alkali Elements 710.

and Cale, F. M. Fluorescence of Aesculin 467.

Mac Leod, D. B. Viscosity of liquid mixtures showing maxima 984.

Relation between surface tension and

density 985.

Relation between the viscosity of a liquid and its coefficient of expansion 1537.

-, Herbert 1525.

MacWillie, Jane sh. Griffith, Robert Owen 942.

Madelung, E. sh. Gerlach, Walther 1109.

Madgin, Walter Matthews sh. Briscoe, Henry Vincent Aird 598. Maey, E. Beugungsinterferenz 705.

 Spiegelungserscheinung an planparallelen Glasplatten 1390.

Maggi, G. A. Interpretazioni della trasformazione di Lorentz 76.

Van der Waals 1026.

Magin, Ernst. Phasenverschiebung beim Wechselstrom 1390.

Magnansh. Huguenard, E. 1134, 1708. Magnus, A. sh. Lorenz, Richard 1404.

Mailänder, Richard. Einfluß der Probenbreite auf die Kerbzähigkeit von Flußeisen 811.

Ermüdungserscheinungen und Dauerversuche 811, 1182.

Mainka, C. Physik der Erdbebenwellen 1725.

Majorana, Quirino. Ricerche sulla Gravitazione 276.

- Gravitation Theoretical and Experimental Researches 1181.

Majundar, Subodh Kumar sh. Mukherjee, Inanendra Nathl313.

Makio. Sakae. Characteristics of Planté type secondary batteries 27.

Mallemann, R. de. Théorie de la polarisation rotatoire 121.

Polarisation rotatoire et orientation moléculaire 569.

Recherches sur la biréfringence électromagnétique des corps actifs 1781.

Mallet, R. A. Failure of the Reciprocity Law in Photography 406.

Mallett, E. Determination of Resonant frequencies and decay factors 1672.

sh. Mac Gregor-Morris, J. T. 1724.

Mallinson, John sh. Briggs, Henry | Marden, J. W. sh. Rentschler, H.

on the Properties of Metals 1033. - Ruling Test Plates for Microscopic

Objectives 1301.

Test-plates for Microscopes and Microscopic Definition 1301.

Manchot, W. und Bauer, E. Ozon in den Flammen 1023.

Kurzschlußstrom eines Wechselstromgenerators 250.

 Durchschlag fest. Isoliermaterialien 779. Manley, J. J. Production of Coloured Flames for use with Spectrometers and Polarimeters 472.

Protection of Brass Weights 1619.

-- Removal of gas-grown skins from a Sprengel pump 1620. Modified Vacuum Tubes 1793.

Manlik, Ernst. Dehnballon-Anordnung

Mann, David W. sh. Forbes, A. 1341. Mannel, O. Elektrische Eigenschaften des Bakelits 1200. Manning, P. D. V. sh. Daniels,

Farrington 448.

Manson, W. H. sh. Houstoun, R. A. 1020.

Mansuri, Q. A. sh. Tammann, G. 904. Manul, R. Verbesserung von Röntgenbildern 1294.

Maracineanu, St. Constante du polonium 33.

Méthode de mesure pour un fort rayonnement 686.

Marage. Evolution de la méthode graphique 1116.

Marais, C. F. sh. Tammann, G. 1653. Marcelin, André. Application de la loi des gaz aux solutions superficielles 1721.

March, A. Kontinuierliches Röntgenspektrum 311.

Gesetze des kontinuierlichen Röntgenspektrums 1297.

Marchand, Robert. Construction des transformateurs de grandes puissances 44.

Marchant, E. W. and Turney, T. H. Method of improving the voltage wave shape of an alternator by external circuits 543.

Marchlewski, L. und Moroz, A. Absorption des ultravioletten Lichtes durch organische Verbindungen 1458.

Marcus, Alexander. Detecting minute irregularities in curvature of spheres and cylinders and controlling the oscillations 909.

Mallock, A. Effects of Temperature | Margoulis, W. Abaques à transpare orienté 1117.

Théorie de la représentation d équations au moyen d'éléments m biles 1709.

Mariolopoulos, E. G. Formation d dépressions locales méditerranéenn et théorie norvégienne du polar fro 204.

Mark, H. sh. Gonell, H. W. 52 - sh. Hassel, O. 1336, 1738.

Gitterstruktu und Polanyi, M. Gleitrichtungen und Gleitebenen d weißen Zinns 235.

und Weissenberg, K. Raumgitt

des Triphenylmethans 1336.

— und Gonell, H. W. Gitte bestimmungen mit Hilfe der Schich linienbeziehung 17.

Marke, A. W. Astons Massespektrogr 1582.

Markl, Rudolf sh. Kremann, Rober 441.

Marsat. Combinaison de réflecteurs 146 Marsh, Joseph Kenneth. Fluore cence Spectra. I. Some Benzeno Hydrocarbon Vapours 938; II. Ph nol and Phenolic Ether Vapours 109

Marshall, J. Unnoticed Point in the Theory of Newton's Rings 121

-, Leslie H. Embrittlement of mall able cast iron resulting from he treatment 1258.

-, Milton. Metastable states in lo voltage mercury arcs 1757.

Martell, Paul. Geschichte des Therm meters 1385.

Martin, E. sh. Herz, W. 347.

-, J. E. sh. Sawyer, R. A. 1685. -, H. M. Supersaturation limit 135

-, L. C. Photometric Matching Field40 Surveying and navigational instr ments from the historical standpoi

865. -, W. H. Transmission Unit and Tel phone Transmission Reference

stems 1774. and Clark, A. B. Public Adre System with Telephone Lines 38

and Fletcher, H. High Quali Transmission and Reproduction Speech and Music 887.

Martinez, J. Palacios sh. Onnes, Kamerlingh 134.

Isothermes de l'hydrogène et l'hélium à basse température 16.

Martius, Heinrich. Röntgenstrahle messung im Tiefentherapiebetrieb 4 rtyn, G. H. Unusual Crystals 362. rvin, R. H. Temperature and Pressure Correction Chart for the

Sphere Gap 845.

rx, Erich und Karolus, August. Messung der Kapazität dünndrähtiger Spulen von hoher Windungszahl 677. und Wolf, Lothar. Isolierung radioaktiver Substanzen durch Rückstoß 159.

Erwin. Lage des Erdpotentials in Drehstromanlagen. Isolationswiderstände von Hochspannungsanlagen

während des Betriebes 631.

Prüfung von Isolatoren mit Span-

nungsstößen 1507.

rzahn. G. sh. Kühnel, R. 596. saki, Osamu. Sensitizing Action of Heat on Photographic Plates for

the Infra-Red Ray 1791. sing, Georg. Zur Heynschen Theorie der Verfestigung der Metalle durch verborgen elastische Spannungen 21.

Konstitution des Messings 22.

und Haase, Carl. Innere Spannungen im Messing und ihre Beseitigung 1258.

sius, Morton. Methods of varying the sensitiveness of ballistic galvano-

meters 1494.

son, Max and Weaver, Warren. Settling of small particles in a fluid

Walter. The Speed of the Uniform

Movement of Flame in Mixtures of the Paraffins with Air 133. sson, Irvine sh. Isaac, K. J. 802. and Dolley, L. G. F. Pressures of

Gaseous Mixtures 1541.

ther, T. Mrs. Hertha Ayrton 337. thews, J. Howard sh. Carroll, Burt H. 1241.

and Stamm, Alfred J. Adsorption and Surface Tension at Liquid-

Liquid Interface 1183.

thias, E., Crommelin, C. A. et Onnes, H. Kamerlingh. Diamètre

rectiligne du néon 800.

- Chaleur de vaporisation et différence des chaleurs spécifiques à l'état de saturation pour l'argon, l'oxygène, l'azote et l'hydrogène 1377. thy, E. Induction mutuelle de deux solénoides à axes parallèles 921. tignon, Camille. Action des températures élevées sur quelques substances réfractaires 1304.

tthews, G. E. sh. Crabtree, J. I.

857.

Mauch, Karl sh. Klever, Helmuth W. 1528.

Mauchly, S. J. Diurnal variation of the potential gradient of atmospheric electricity 29.

Apparatus for recording the electric

potential of the air 1058.

and Johnston, H. F. Bifilar electrometer 1493.

Mauguin, Ch. Arrangement des atomes dans les cristaux de calomel 1643.

Maurain, Ch., Toussaint, A. et Pris, R. Résistance de l'air sur le matériel des chemins de fer 151.

Maurer, Eduard. Einfluß des Verformens und des Anlassens auf die magnetischen Eigenschaften der ferromagnetischen Metalle 384.

Osmondit 1194.

Gußeisendiagramm 1491.

und Meissner, Friedrich. Stabform für die Bestimmung der magnetischen Eigenschaften mittels der ballistischen Methode 538.

Physikalische und technische

Maßgrößen 418.

Bar, Bary und absolute Atmosphäre 1028.

-, Walter sh. Koch, Walther 698. Mawson, Hubert. Water turbine

investigations 1483. Maxfield, J. P. sh. Green, I. W. 391. May, H. L. sh. Jauncey, G. E. M. 266, 1081.

Mayer, R. Physikalische und technische Einheiten 418.

Wechselstromwiderstand von Nutenleitern 1075.

Selbstanlassen von Kurzschlußmotoren durch Stromverdrängung 1151.

Moti vibratori di Mayr, Giovanna. corpi immersi in fluidi 980.

Mazo. Pantoscope 1681. Mazza, Luigi. Impiego di galvano-metri come strumenti di zero nei metodi di misura con corrente alternata 168.

Mazzucchelli, Arrigo. Dimestrare alcune formule combinatorie della

teoria dei quanti 658.

Mechau, Robert. Galvanometer 529. Mecke, R. Deutung der Quantentheorie 593.

Quantenatomistik 1030.

nanzspektrum des Jods 1162.

und Ley, H. Gültigkeit des Beerschen Gesetzes bei Kupfersulfatlösungen 1794.

Mecke, R. und Lindau, P. Bau der | Mercier, P. sh. Hammershaimb, zweiten positiven Gruppe der Stickstoffbanden 1363.

Mees, C. E. K. and Gutekunst, G. O. Sensitizers for the Deep Red 1233. Meggers, W. F. Regularities in the arc

spectrum of vanadium 195.

Vanadium multiplets and Zeeman Effect 1163.

- and Kiess, C. C. Interferometer measurements of the longer waves in the iron arc spectrum 1362.

- and Burns, Keivin. Redetermination of secondary standards of wave length from the new international iron are 1361.

Meidell, Birger. Probabilité des erreurs

Meisser, O. Einfunkenmethode für Messungen mit Kondensatorschwin-

gungen 689. Dekrementbestimmung mittels Stoßerregung und Einfunkenmethode 689.

Meissner, A. und Wagner, K. W. Beseitigung der Oberschwingungen bei Maschinensendern 1071.

-, Friedrich sh. Maurer, Eduard 538.

-, K. L. sh. Sander, W. 607.

-, K. W. Lyman-Geister in den Wellenlängenmessungen des ultraroten Neonspektrums 1086.

Kolorimetrische -, Otto. Unter-

suchungen 327.

- Ostwaldscher Farbdoppelkegel 1021. -, Walther. Einfluß von Anfangsdruck und Vorkühltemperatur bei der Verflüssigung des Wasserstoffs 208.

Meitner, Lise. Mögliche Deutung des kontinuierlichen β -Strahlenspektrums

 $-\beta$ -Strahlenspektrum von UX_1 und seine Deutung 450.

- Folgerung aus dem Comptoneffekt und ihre Bestätigung 1419.

Zusammenhang zwischen β - und γ -Strahlen 1766.

Origine commune de Melander, G. toutes les décharges électriques dans l'atmosphère 1437.

Mell, Maria sh. Steinhoff, E. 1476. Mendenhall, C. E. Developments in the study of the solid state 1048.

Menges, Charles L. R. E. Coefficient de Fresnel 1154.

Mennie, John H. Period of Protactinium 160.

Menzel, F. sh. Guertler, W. 528, 607. Mercanton, P. L. Magnétisme des terres cuites 186.

108.

Merkel, E. sh. Grüneisen, E. 104 Thermodynamik des Trockne 207.

Merrill, Paul W. Wave-lengths lines in the spectra of stars of class I 638.

Merrit, Ernest. Effect of light on t behavior of selenium contact rec

fiers 1231.

Merritt, George E. Application of the interferometer to measurements the thermal dilatation of ceram materials 1469.

Mershon, Ralph D. Scheme for Mesuring Voltage Peaks 907.

Mert, A. Krankheitserscheinungen bei Vernickeln von Gußstücken 288.

Merton, T. R. Problems in the Vari bility of Spectra 309.

sh. Hughes, W. 1692. and Johnson, R. C. associated with Carbon 50. Spect

Problème d'élasticité Mesnager. deux dimensions 421.

Déformations permanentes à. traction et à la compression 493.

Solution des problèmes d'élastic 1309.

Différentiation des aciers par l'exam des étincelles de meulage 1340.

Mesny, R. Compensation des cadi radiogoniométriques 36.

– sh. Ferrié, G. 571.

Metz, A. Interprétation de l'expérien de Michelson 1122, 1711.

Metzger, H. sh. Grube, G. 106. Metzler, Karl. Wechselspannungen

Einankerumformern 43. Meunier, Francis. Surtension électronies

lytique de l'hydrogène 1428. Meuwsen, Alwin sh. Zintl, Edua 1412.

Mewsen, R. sh. Zintl, E. 668. Meyer, Charles F. sh. Colby, Walt F. 1783.

and Bronk, Detlev W. Interferer bands produced by mica and tuse of mica windows in infraspectroscopy 781, 1449.

- Structure of the absorption bar of organic gases and vapors in

near infra-red 1783. -, Edgar sh. Bär, R. 447.

-, E. H. L. Dielektrizitätskonstante u chemische Konstitution bei orga schen Flüssigkeiten 1419.

-, Georg J. Vereinfachte elektrisch Prüfung von Isoliermaterialien 3 yer, H. und Nehl, F. Abnutzung von Miller, R. F. Eisen und Stahl bei rollender Reibung ohne Schmiermittel 660, 974.

Hans Th., Hammermann, A., Stotz, Rudolf und Emmel, K.

Perlitguß 1278.

Julius und Friedrich, Walter. Löslichkeit des Bariumselenats 85. R. J. sh. Bodenstein, M. 1192. Stefan und Ulrich, Carl. Gehalt von Ionium-Thorium in der Uranpechblende von St. Joachimsthall 136. Ulfilas. Ableitungsmessungen 97. und Deckert, Adalbert. Tafeln der Hyperbelfunktionen 1617.

yers, Cyril H. Vapour Pressure

Equation 414.

zger, Chr. Zustand des aus einer Lösung entstehenden Dampfes 583. halke, Carl. Der Zeitbegriff in der Photometrie 62.

Hans. Unterschied der Lichtstärke von Glühlampen bei Gleich- und

Wechselbetrieb 129.

chel, G. und Kussmann, A. Absorptionsvermögen geschwärzter Flächen bei Zimmertemperatur 193. chels, A. Smering van asbussen 426. Einfluß der Rotation auf die Empfindlichkeit einer absoluten Druckwage 648.

Schmierung von Öllagern 815. Genauigkeit und Empfindlichkeit

einer Druckwage 1475.

Idleton, W. I., Dawes, C. L., Davis, E. W. Potential Gradient In

Cables 632.

. Gustav. Abklingungszeit und Verweilzeit angeregter Atome 510. Echte optische Resonanz bei Röntgenstrahlen 928.

elke, Hildegard. Ätz- und Lösungs-

erscheinungen am Magnetit 233. Elektrodenlose Ent-G. ladungen 1756.

sh. Seeliger, R. 379.

Zerfall des Quecksilberethe, A.

atoms 1730. lar, Russell W. Vapor pressure of

monatomic elements 415. ler, Carl W. Measurement of pola-

rization capacity and phase angle 1429. E. J. sh. Bartell, F. E. 502.

by Activated Sugar Adsorption

Charcoal 1188.

John M. Dependence of the amplification constant and internal plate circuit resistance of a three-electrode vacuum tube upon the structural dimensions 774.

Optical constants of crystals of selenium and tellurium 1007.

Milligan, Lowell H. Solubility of gasoline in water 1190. Millikan, R. A. 721.

- Law of fall of a small spherical body through a gas 8.

Spectra of the Lighter Elements 932.

Physicist's present conception of an atom 1410.

sh. Bowen, I. S. 1590, 1784.

sh. Otis, Russel M. 1666.

and Bowen, I. S. Penetrating radiation at high altitudes 245.

- Extreme Ultra-violet spectra 707,

786.

and Eyring, Carl F. Pulling of electrons out of metals by intense electrical fields 1210.

Millman. Tolerances in the Rolling of Steel Sheets 803.

Millot, Stanislas. Probabilité d'existence des lois biologiques 594.

Solutions simplifiées de problèmes de Laplace sur la probabilité des causes

Mills, J. E. and Smith, P. K. Relations concerning the internal heat of vapori-

zation 414.

Milne, E. A. Relation between the Spectral Energy Curve of a Star and the Law of Darkening of the Disc towards the Limb 121.

Statistical Equilibrium in relation to the Photo-electric Effect 1367.

Milner, S. R. Does an Accelerated Electron necessarily radiate Energy on the Classical Theory? 767.

Mindt. Härtebestimmung von Schleif-

materialien 876.

Mini, jr., J., Moore, L. J. and Wilkins, Performance of Auto Transformers with Tertiaries under Short-Circuit Conditions 1354.

Minkowski, R. Freie Weglänge langsamer Elektronen in Hg- und Cd-

Dampf 92.

und Sponer, H. Durchgang von

Elektronen durch Atome 1714. Minnaert, M. sh. Julius, W. H. 399. Minton, John P. Tinnitus and its relation to nerve deafness 600.

Miravalles, R. sh. Moles, E. 1118.

Mises, R. v. Felix Klein 961.

Mishima, T. sh. Nagaoka, H. 1160, 1641.

Mitra, Subodh Chandra. Steady Translation and Revolution of a liquid sphere with a solide core 596. Mitra, Subodh Chandra. Motion of Moll, W. J. H. Coil-Galvanometer a viscous liquid between two non-Rapid Indication 530. a viscous liquid between two nonconcentric circular cylinders 1259.

-, S. K. Désaimantation du fer par des oscillations électromagnétiques 1770.

sh. Gutton, C. 375.

Bildung Mlodziejowski, A. flüssigen Kristallen in den Gemischen von Cholesterin und Cetylalkohol 525.

Möller, Ernst. Elektrische Kurzschlußfiguren 613.

-, H. sh. Gross, R. 1329.

-, H. G. und Schrader, E. Herstellung kleiner Wechselspannungen von bekannter Amplitude 778.

Demonstration elektrischer Schwingungen mit Anwendung auf

den Blitzableiter 869.

Mörl, A. v. Ablenkung der Lichtstrahlen durch die Sonne 971.

Moers, K. sh. Gross, R. 990.

Moesveld, A. L. Th. Einfluß des Druckes auf die Reaktionsgeschwindigkeit in homogenen flüssigen Systemen 435.

Kompressibilität von Alkohol-Wasser-

gemischen 424.

sh. Cohen, Ernst 1053, 1054, 1109,

1187, 1610, 1651, 1652. Moffitt, G. W. Instrument for the

testing of prisms 550.

- Camera lenses of large relative aperture for stellar spectrographs 1077. - and Taylor, Paul B. Measurement of Transmission in Instruments 1154.

Mohler, F. L. Evidence of a spark line in the lithium spectrum 638, 786.

- sh. Foote, Paul D. 791.

Mohorovičić, Stjepan. Die Einstein-Relativitätstheorie und mathematischer, physikalischer und philosophischer Charakter 1030.

Konstitution des Erd- und Mond-

innern 1318.

- Lichtgeschwindigkeit und Gravitation 1621.

Molby, F. A. sh. Waggoner, C. W.1444. Moldenke, Richard. Prüfung des Gußeisens 6.

Moles, E. et Clavera, J. M. Densité normale de l'azote 1129.

et Miravalles, R. Contraction des ballons vides dans les mesures de la densité des gaz 1118.

und Payá, M. System Kupfer-Sauerstoff 606.

Molina, Edward C. Theory of Probabilities Applied to Telephone Trunking Problems 1031.

Thermopile for Measuring Radiati 1084.

Diagramm für Dam Mollier, R. luftgemische 207.

Mondain-Monval, P. Loi de solubil

des sels 1467.

Monfraix, Paul sh. Béghin, Hen

Monk, George S. Pole-effects pressur shifts, and measurements of way lengths in the spectrum of mangane

- sh. Gale, Henry G. 1159.

Monmerqué, Arthur 1. Monroe, K. P. sh. Hudson, C. S. 145 Montsinger, V. M. Effects of Time and Frequency on Insulation Test Transformers 846.

Monval, P. Mondain. Transformation allotropique à 32º du nitrate d'an

moniaque 287.

Monypenny, J. H. G. Resistance corrosion of stainless steel and ir 165.

Large Power Tran Moody, W. S. formers 43.

Mooney, Melvin. Variations in t cataphoretic mobilities of oil drops water 1405.

Moore, B. E. Excitation stages in t open arc-light spectra. III. Les mercury, thallium, magnesium IV. Hydrogen, air, water-vap pressure effect, mixed electrodes 2 -, C. R. sh. Wegel, R. L. 1650.

-, L. J. sh. Mini, jr., J. 1354

-, R. R. Resistance of Mangane Bronze, Duralumin, and Electr Metal to Alternating Stresses 9 Moorhead, O. B. and Lange, F.

Specifications and characteristics Moorhead vacuum valves 1673.

Morand, Max. Phénomène d'émiss de rayons positifs 1143.

Spectre de la lumière émise l'arrêt des rayons positifs de lithi 1511.

Moraud, Max. Spectres du lithium 17

Morecroft, J. H. Resistance a capacity of coils at radio frequence 187.

Morehouse, L. F. sh. Craft, E. B. Morey, George W. Comparison of heating-curve and quenching meth of melting-point determinations

Morgan, Gilbert T. sh. Bra William 903.

rgan, J. Livingston R. and Lam- | Mügge, O. mert, Olive M. Design and use of conductance cells for non-aqueous solutions 174.

Electrical Conductance of Solutions of the Alkali Halides in Aceto-

phenone 1204.

- and Crist, Ray H. Photochemibal Reactions in Solutions of the Alkali Halides in Acetophenone 1605. S. O. sh. Lowry, H. H. 1547. oz, A. sh. Marchlewski, L. 1458. rison, R. L. High-Power Mercury

arc Rectifiers 628. row, L. C. Slip, Friction and

Stretch Tests for Leather Belting 867. ese, Jared Kirtland. Crystal structure of benzene 604. L. S. Reliability of Fluid Meters in

Refrigerating Tests 719, 1303. Sterne sh. Fricke, Hugo 1751. ton, R. A. sh. Baly, E. C. C. 1582. and Barnes, Harry. Absorption Spectra and Molecular Phases 309. ser, Ludwig und Lessing, Rudolf. Trennung des Zirkons und des Hafniums vom Titan, Cer und Thorium 1729.

Ergebnisse des Kerbschlag-VI.

versuches 1033.

, Robert. Diagrammkreis des Drehstrommotors 778.

sharrafa, A. M. Half-integral quantum numbers in the theory of the Stark effect 1790.

Stark Effect for Strong Fields 1791. t-Smith, Lewis M. sh. Tolman, Richard C. 241.

z, W. H. Compression Refrigerating

Cycle 719.

rashkinsky, B. E. Diffraction Pattern in a case of two very close Point Light Sources 460.

Diffraction Image of Two Close Luminous Lines of Finite Width 1586.

ireu, Charles. Gaz Rares des Gaz

Naturels 92. Dufraisse, Charles et Landrieu, Méthode pour déterminer la apacité calorifique des solides et des

iquides 1171.

-, Tampier, Louis et Gailliot, Paul. Pouvoir isolant des "gels l'acroléine" suivant le degré de condensation 1747.

Laboratory Tests of 7er, H. R.

Von-Metallic Gears 988.

geli, H. sh. Jaquerod, A. 84, 975, 182.

Scheinbar deformierte Kristalle und ihre Bedeutung für die Erklärung der Schieferung 1049.

Radioaktive Höfe in Flußspat, Spinell, Granat und Ainigmatit 1069.

Kristallographische Orientierung beliebiger Schnitte tetragonaler und hexagonaler Kristalle mit Hilfe der Auslöschungsrichtung 1587.

Müller, Alex. X-Ray Investigation of

Fatty Acids 20.

and Shearer, George. X-Ray Measurements of Long-chain Com-

-, Aloys. Probleme der speziellen

Relativitätstheorie 212.

Sinn der physikalisch. Axiomatik 341.

-, Arthur. Analytische Untersuchung magnetischer Kreise 1144.

-, Erich. Ausfließenlassen einer Flüssigkeit in gleichen Volumteilen 1115.

-, Friedrich C. G. Schwungmaschinenaufsatz zum Bestimmen der Fliehkraft der Luft 1248.

-, Gustav W. Quecksilberdampf-Glasgleichrichter elektrische für Bahnen 454.

 Leistungsfaktor der Quecksilberdampf-Gleichrichter 1294.

 Wirkungsgrad der Glas-Gleichrichter 1502.

-, Hans. Zei salzes 1326. Zerreißfestigkeit des Stein

-, Heinrich. Wellen an Drähten mit Abstandsänderungen 386.

Prüfung der Federbleche 647.

-, Richard sh. Kremann, Robert

-, Robert und Knaus, Werner. Elektromotorisches Verhalten des Magnesiums, sowie der Magnesiumamalgame 100.

-, Wilh. Kritische Drehzahlen von

Turbinenwellen 155.

--Breslau, Heinrich. Auf Biegung und Knickung beanspruchte Flug-

zeugholme 1321.

Mukherjee, Inanendra Nath and Majumdar, Subodh Kumar. netics of the Process of Coagulation of Colloids in the Light of Smoluchowski's Theory 1313. Mulliken, Robert S. Sej

Separation of isotopes. Application of systematic fractionation to mercury in a highspeed evaporation-diffusion apparatus

Isotope Effects in the Band Spectra of Boron Monoxide and Silicon Nitride 1160.

Mulliken, Robert S. Isotope Effect as a Means of identifying the Emitters of Band Spectra 1161.

Band spectrum of silicon nitride, and

isotopes of silicon 1363.

- Isotope Effect in Line and Band Spectra 1514.

Excitation of the spectra of the copper halides by active nitrogen 1734.

Band of unusual probably due to a highly unstable calcium hydride molecule 1787.

Mund, Walter et Herrent, Pierre. Liquéfaction du système gazeux binaire: anhydride sulfureux-éthane 1175.

Murakami, Takejiro sh. Kôtarô 1277. Honda,

Murphree, E. V. sh. Lewis, W. K. 1239. Murray, F. H. Cas particulier du problème des trois corps 277.

-, H. A. sh. Bingham, E. C. 984. -, Walt. Gas-heated Thermostats 1471. Musatti, I. und Croce, M. Einfluß

des Stickstoffs stickstoffhaltiger Zementé auf den Vorgang der Brennstahlbereitung 754. Muzaffar, S. D. Potentiale der Pb-Sn-

Legierungen 99.

Myssowsky, L. Zusammenhang zwischen den Energien der a-Teilchen u. d. Atomnummern der Elemente 226.

N.

Nabot, Y. sh. Boutaric, A. 814. Nádai, A. Theorie der Plattenbiegung u. ihre experiment. Bestätigung 154.

Fließgrenze des Eisens 1402.
Formänderungen und Spannungen von durchlaufenden Platten 1408.

 Unter einer Belastung sich bildende Gleitflächen der festen Körper 1624.

Näbauer, M. Strahlenbrechung und Farbenzerstreuung genügend steiler Sichten durch die Luft 704.

Nägel, A. sh. Mache, Heinrich 580. Nagaoka, H. and Sugiura, Y. Regularity in the distribution of spectral lines of iron and intra-atomic magnetic field 1513.

- Spectroscopic Evidence of Isotopy 1684.

Spectroscopic Evidence of Isotopic Elements 1786.

- and Mishima, T. Isotopes of Mercury and Bismuth revealed in the Satellites of their Spectral Lines 1160.

- - Fine Structure of Mercury Lines and Isotopes 1641.

Nagel, Werner sh. Harries, C. 9 Spectra Nakamura, Gisaburo. Mercury Emitted from Various Pan of a Discharge Tube 1596.

- sh. Kimura, Masamichi 1594, 159

Variazione de Nannei, Bianca. capacita calorifica di sostanze in campo magnetico 186.

Narayan, A. L. Spectra of Isotopes 20 - Coupled Vibrations by means of

Double Pendulum 342.

Illustration of thr Mechanical Magnetically Coupled Oscillating C cuits 660.

Sounds of Splashes 1317.

and Gunnayya, D. Absorption potassium vapor at high temperatur 1163.

Nardroff, Robert von sh. Davi Bergen 928, 1357.

Nasarischwily, Al. Galvanische E Luftsauerstoffdepola mente mit sation 102.

Natalis, Friedrich. Vektor-analy sche Berechnung von Transformator und Asynchronmotoren 42.

Nathanson, J. B. Optical constants caesium 1007.

Nather, Eugen. Elektrostatische I einflussung d. Schwachstromleitung erdfehlerfreie durch Drehstro leitungen 694.

Naumann, O. Versuchsfeld der Hern dorf - Schomburg - Isolatoren - Gese

schaft 700.

Neeff, Th. sh. Glocker, R. 526.

Negelein, Erwin sh. Warburg, Ot 324, 944.

Nehl, F. sh. Meyer, H. 660, 9 Nelson, Roy A. Free convection heat in liquids 799.

Nernst, Walther 721, 1305, 15 - Gültigkeitsbereich der Naturgese 1031.

Nerrlich, Rich. Exposimeter Prüfung photographischer Mome verschlüsse 1528.

Nesemann, E. sh. Kühnel, R. 15 Nesper, Eugen. Frequenz - Mu plikationsanordnung 1213.

Nesselmann, Kurt. Wohlsche standsgleichung; thermische Grö des Wasserdampfes 1111.

Neuberger, J. Graphische Darstell von Schwingungen und Schwebun

Neuburger, Maximilian Camil Kristallbau und Röntgenstral 1273.

suendorff, R. Zeichnerische Lösung Nielsen, J. Rud. Effect of temperature von Differentialgleichungen 865.

euenschwander, Nelly sh. Kohlschütter, V. 438.

sufeld, Martin W. Anschauungen von Stahl und Eisen im Wandel der Zeiten 481.

oukirch, Eberhard sh. Herz, W. 70. eumann, E. Erdung der Neutralen in

Kabelnetzen 1676.

Hans sh. Coehn, Alfred 610.

Thermodynamischer Kreisprozeß und Arbeitsverluste an der Dieselmaschine 1024.

Manuel Ma S. Navarro. Sismó-

grafo "Javier" 1320.

w, E. G. sh. Campbell, N. R. 1753. wbery, Edgar and Lupton, Hartley. Radio-activity and Coloration of Minerals 1270.

wboult, H. O. Stark Effect for

Strong Electric Fields 569. witt, Dudley M. sh Bone, William

A. 133.

wman, F. H. Absorption of Light by Sodium Vapour 328.

Absorption produced by Electrically Luminescent Sodium Vapour 467. Sodium-Potassium Vapour Arc Lamp

Potential Gradient in the Sodium-Potassium Vapour Arc Lamp 1285.

cholls, P. Economic Thickness of Insulation in the Refrigerating Field 480.

Temperature Measurements 1022.

chols, E. F. 1386. and Tear, J. D. Short electric waves 387.

- Long wave-radiation from quartz mercury arc and from cored carbon arcs 1793.

E. L. Luminescence of titanium oxide 709.

Photoluminesand Howes, H. L. cence of flames 712, 1460.

cholson, J. W. Difference between Series Spectra of Isotopes 434. and Cheshire, F. J. Theory and

Testing of Right-Angled Prisms 924. Seth B. sh. Pettit, Edison 1016. nd - Absorption curves for alum, Iceland spar, quartz, and thin glass 260. kels, L. sh. Allmand, A. J. 835. elassen, H. sh. Böhm, J. 438. Folai, E. L. Stabilitätsprobleme der

Elastizitätstheorie 875.

elsen, H. Theorie der Gleichrichter 1628.

and surface impurities on photocurrents with aluminium surfaces 791.

Niggli, Paul. Kristallisation und Morphologie des rhombischen Schwe-

fels 823.

Nightingale, Dorothy sh. Dufford, R. T. 314.

Nikitin, N. I. Dampfdruck des Phosgens 207.

Nishina, Y. sh. Coster, D. 936.

Nisi, Hisamitu and Porter, Alfred W. Eddies in Air 982.

Njegovan, Vladimir. Absoluter Wert der Entropie realer Gase 1238.

Biologija genija 1525.

Was ist die Materie? 1553.

Noack, Karl. Beugungsinterferenz 705. Nobis, A. sh. Foerster, F. 101.

Noddack, W. sh. Eggert, J. 855, 856,

Nodon, Albert. Désintégration cellulaire 1325.

Nölke, F. Geotektonische Hypothesen 1726.

Nolan, J. J. Constitution of gaseous ions 1762.

and Gill, H. V. Electrification by the Pulverization of Aqueous Solutions 830.

Norbury, A. L. Experiments on the hardness and spontaneous annealing of lead 148.

Volumes occupied by the Solute Atoms in Metallic Solid Solutions

Nordheim, L. Behandlung entarteter Systeme in der Störungsrechnung 4.

Quantentheorie des Wasserstoffmoleküls 217, 970.

Berechnung höherer Näherungen zufällig entarteter Systeme 807.

Nordmann, Charles. Mécanisme du vol des oiseaux roiliers 1134.

Nordström, G. Prinzip von Hamilton für materielle Körper in der allgemeinen Relativitätstheorie 75.

Bewegungsgleichungen. Kanonische des Elektrons in einem beliebigen elektromagnetischen Felde 767.

Norrish, R. G. W. sh. Rideal, E. K. 471, 1231.

Nouy, P. Lecomte du. tension of colloidal solutions 1183.

Surface equilibrium of colloidal solutions and the dimensions of colloidal molecules 1642.

Noyes, jr., W. Albert. Ionization and resonance Potentials 243.

Noyes, jr., W. Albert. Luminous discharge in bromine. Determination of the ionization potential of bromine 1285.

 William A. Possible Reconciliation of the Octet and Positive-Negative Theories of Chemical Combination 1323.

Nukiyama, H. and Okabe, K. Consideration of T- and Pi-Type Artificial Electric Lines 38.

Electric Lines 38.

Nusselt. Wärmeübergangsfrage 1022.

-, Wilhelm. Wärmeübergang in der Verbrennungskraftmaschine 72, 720.

- Wärmeaustausch am Berieselungskühler 134.

 Verbrennungsvorgang in der Kohlenstaubfeuerung 1023.

Nuyens, Maurice. Trajectoire d'un point matériel dans le champ dû à une sphère matérielle 276.

une sphère matérielle 276. Nyman, A. Electrical Loud Speakers 116.

Nyquist, H. Certain Factors Affecting Telegraph Speed 921.

Nyswander, R. E. and Lind, S. C. Measurements of thermo-phosphorescence of glass produced by radium radiation 937.

0.

- Oberhoffer, P. Eigenschaften von Stahlformguß 810.
- Eisen-Silicium-Legierungen 1492.
- und Heger, A. Gefügeänderungen beim Erhitzen und Abkühlen des Eisens 94.
- Entkohlen, Stickstoff- u. Siliciumaufnahme beim Glühen von Eisen und Stahl bei 1100 bis 1300° im reinen Stickstoffstrom 240.
- und Oertel, W. Rekristallisation des Elektrolyteisens 1052.
- —, Daeves, K. und Rapatz, F. Löslichkeitslinie für Kohlenstoff in Chrom- und Wolframstählen 905.
- Piwowarsky, E., Pfeifer-Schiessl,
 A. und Stein, H. Gas- und Sauerstoffbestimmungen im Eisen, insbesondere Gußeisen 526.
- Oberländer. Alexander Gleichen 417. Obermiller, Julius und Goertz, Martha. Gewichtsanalytische Bestimmung der relativen Luftfeuchtigkeit 1191.
- Einstellung von Luft auf bestimmte Trocknungs- oder Feuchtungsgrade mit Hilfe von Salzen und ähnlichen Stoffen 1314.

- Obermüller, H. Metallhalbfabrikate 145.
- d'Ocagne. Réduction de la quatrième dimension à une représentation plane 1114.
- Examen comparatif de diverses méthodes nomographiques 1117.
- Equations à quatre variables représentables à la fois par simple et par double alignement 1245.
- -, Maurice. Nomogrammes à transparent orienté 1117.
- O'Connor, G. F. sh. Cragoe, C. S. 479. O'Day, Marcus D. Application of the bar method for the measurement of thermal conductivity 1378.
- Oddone, M. Trajectoires des rayons sonores dans l'air et dans les liquides; zones de silence et d'audibilité anormale 13.
- Odermatt. Gleichrichter und Gleichrichteranlagen 844.
- Oebbeke, K. und Schwarz, M. v. Gefügebilder gediegener Metalle 289, 437.
- Oelschläger, Ernst. Wärmewanderung in Zylindern aus homogenen Wärmeleitern 69.
- Oertel, W. Festigkeitseigenschaften von Eisen und Stahl in der Kälte und Wärme 146.
- sh. Oberhoffer, P. 1052.
- und Leveringhaus, R. W. Einfluß von Kupfer auf die Eigenschaften eines Nickel-Chrom-Baustahles 662.
- und Pölzguter, F. Einfluß von Kobalt und Vanadin auf die Eigenschaften von Schnellarbeitsstahl 1718.
- und Richter, Ludwig A. Einfluß der Desoxydation auf die Warmverarbeitbarkeit und die Eigenschaften eines Chromnickel Baustahles 606.
- Offerhaus, H. C. Golflengtemetingen bij helium in het zichtbare spectrum en de daarbij gebruikte interferentieverschijnselen 933.
- Ohtsuki, Takashi. Effect of shearing stress on the span calculations of a suspended cable 392.
- Okabe, K. sh. Nukiyama, H. 38. Oksmann, M. sh. Kurnakow, N. 8.
- 1338. Ôkubo, Junzô, Electrical Conductivity of Molybdenite 1432.
- Oldenberg, Otto. Elementarvorgänge bei Ausstrahlung der Jodbanden 1364.
- Einwirkung des Magnetfeldes und des elektrischen Feldes auf die ultraviolette Jodfluoreszenz 1603.

llendorff. Franz. Kapazitätsmaschinen 1062,

Analogie zwischen elektromagneti-Maschinen und Influenzmaschinen 1063.

Imstead, P. S. and Compton, K. T. Radiation potentials of atomic hydro-

son, A. R. and Glockler, George. Critical and dissociation potentials of hydrogen 681.

tay, Karl. Beneze-Wolfsches Faden-

polarplanimeter 1306.

nbeck, Hugo. Übertragung des Druckes v. d. Drosselstelle in Dampfrohrleitungen auf Dampfmesser 136. ines, H. Kamerlingh. Gleichgewicht von flüssiger und gasförmiger Phase des Heliums bei geringen Drucken 1174.

J. E. Verschaffelt 1386.

sh. Breit, G. 839.

sh. Jackson, L. C. 185, 249, 840. sh. Keesom, W. H. 1697.

sh. Kuypers, H. A. 1612.

sh. Martinez, J. Palacios 1613. sh. Mathias, E. 800, 1377. sh. Penning, F. M. 1612. sh. Tuyn, W. 759. sh. Woltjer, H. R. 623, 772.

u. Martinez, J. Palacios. Dampfdrucke des Wasserstoffs und neue Bestimmungen in dem Gebiete des flüssigen Wasserstoffs 134.

et Penning, F. M. Isothermes de l'hydrogène entre -104°C et -244°C

1612.

General distrio, Suminosuke. bution function and mean value of the periodic observation 341.

sterhuis, E. sh. Holst, G. 1062,

1143.

Corrosion tests on certain ne, F.

nickel alloys 167.

nstein, L. S. Anisotropie der flüssigen Kristalle bezüglich ihrer Dielektrizitätskonstanten und ihrer elektrischen Leitfähigkeit 1744. sh. Burger, H. C. 1153.

— Dimension der Einsteinschen Licht-

ruanten 491.

- Dynamik des Stoßes zwisch. einem Lichtquant und einem Elektron 491. - Zusammenwirken von Lichtruanten und Plancksches Gesetz 970.

- Strahlungsgesetz und Intensität

tron Mehrfachlinien 1165.

- Polarisation d. Resonanzlichts 1509. Feinstruktur der gelben Heliuminie 1593.

Ors, Vicente Inglada. La corteza terrestre 816.

Sismologia 817.

Ortner, Hugo sh. Kremann, Robert 441, 442.

-, Gustav und Pettersson, Hans. Herstellung von Radium C 1733.

Osborne, H. S. Telephone Transmission Over Long Distances 391.

-, N. S., Stimson, H. F., Sligh, Jr.,

T. S. and Cragoe, C. S. Specific Heat of Superheated Ammonia Vapor 271.

Oseen, C. W. Theorie der anisotropen

Flüssigkeiten 1646.

Hydrodynamisches Problem 1718. Osten, H. Gravitationsgesetze 971.

- Folgerungen aus dem Attraktionsgesetz 971.

Otis, Russell M. Variation of penetrating radiation with altitude 245.

Penetrating radiation on Mt. Whitney 245.

- and Millikan, R. A. Source of the penetrating radiation found in the earth's atmosphere 1666.

Präzisionsmessungen Ott, Heinrich. Gitterkonstanten nach Pulvermethode 670.

- Raumgitter der Lithiumhalogenide 1328.

Gitter des Aluminiumnitrids 1332. -, W. sh. Halban, H. von 327.

Otto, J. sh. Holborn, L. 1174.

Owen, D. Null Methods of Measurement of Power Factor and Effective Resistance in Alternate Current Circuits 96.

 -, E. A. sh. Kaye, G. W. C. 1585.
 - and Preston, G. D. Modification of the Powder Method of Determining the Structure of Metal Crystals 525.

X-ray analysis of solid solutions

- X-ray analysis of zinc-copper Alloys 753.

-, S. P. Ableitung der van der Waals-schen Dampfdruckformel und Notiz über Moleküldurchmesser 797.

Table of Values of the Integral $\int_{0}^{\infty} K_{\mathbf{0}}(t) dt \ 1026.$

sh. Todd, George W. 1800.

Oxley, A. E. Magnetic properties of the hydrogen-palladium system 1772.

Oyabu, Kotaro. Elektrolytische Abscheidung des Chroms 837.

P.

Padoa, M. Ausbeute bei einigen photochemischen Reaktionen 712.

Page, B. L. sh. Judson, L. V. 1619. Paget, Richard. Reproduction of vowel sounds 815.

Fused Silica 1560.

Pagliarulo, Vincent. Theory of oscillating electric circuit 773.

Palacios, J. und Lasala, E. Oberflächenspannung des Quecksilbers in Berührung mit Sauerstoff 152.

Absolutes Voltmeter für Palm, A. 250 000 Volt Effektivspannung 907.

- Messung der Scheitelspannung mit der Glimmröhre 994.

Palmaer, Wilh. Aufstellung des periodischen Systems 1412.

Palmer, A. de Forest. Optical effect of electrostatic charge 1690.

-, P. E. and Weaver, E. R. Thermal-Conductivity method for the analysis of gases 1523.

Pamfil, G. P. sh. Götz, I. D. 1404. Paneth, Fritz und Radu, Alexander. Adsorption v. Farbstoffen an Diamant, Kohle und Kunstseide 1561.

- und Thimann, Wilhelm. Adsorption von Farbstoffen an Kristallen 1560.

Panzerbieter, Th. Kurzschlußstrom bei Doppelerdschluß 1579.

Pape, W. sh. Tammann, G. 477. Parikh, R. G. sh. Ganapati, S. V. 40. Paris, E. T. Doubly-Resonated Hot-Wire Microphones 626.

Parker, Elizabeth W. sh. Parker, Henry C. 1750.

-, Henry C. Calibration of cells for conductance measurements. Intercomparison of cell constants 174.

- and Parker, Elizabeth W. Specific conductance of certain potassium chloride solutions 1750.

-, R. G. sh. Lowry, T. M. 925.

-, Robert L. Kristallographie von Anatas und Rutil 824.

Parlin, W. A. Torques and forces between short cylindrical coils carrying alternating currents of radio frequency 387.

Parravano, N. und Scortecci, A. Gas und Sauerstoff in Stahl 754,

Parsons, S. R. Equation for head resistance of aircraft radiators 893. -, Sir Charles A. Rise of Motive Power and Work of Joule 1026.

Partington, J. R. Chemical Constants of Diatomic Gases 580.

Ratio of the and Howe, A. B. Specific Heats of Nitrogen and of Oxygen 954.

Pascal, Ernst. Integraphen für Differentialgleichungen 1246.

Espressione vettoriale e -, Mario. teoremi generali analoghi a quelli sulla ordinaria circuitazione 1719.

Teorema della forza sostentatrice nel caso di una corrente fluida spaziale 1719.

Propriétés magnétiques des -, Paul. dérivés cyaniques et cyanuriques 186.

Paschen, F. Spektroskopische Erforschung des Atombaues 355.

Zur Kenntnis des Kombinations-

prinzips 1008. Paton, R. F. sh. Sawyer, R. A. 1009. Patrick, W. A. sh. Grimm, F. V. 608. Patterson, R. A. Crystal structure of copper manganese alloys 1275.

Patzelt, F. Hochspannungssicherungen mit Dämpfungswiderständen für Spannungswandler 700.

Pauli jr., W. Zur Frage der Zuordnung der Komplexstrukturterme in starken und in schwachen äußeren Feldern 488.

Thermisches Gleichgewicht zwischen Strahlung und freien Elektronen 489.

Pauling, Linus. Crystal structure of magnesium stannide 826.

sh. Dickinson, Roscoe G. 162. and - Crystal structure of urany nitrate hexahydrate 1490.

Payá, M. sh. Moles, E. 606.

Pazziani, A. et Guye, C. E. Influence du recuit sur le Frottement intérieur des fils de quartz aux températures élevées 1184.

Peacock, H. B. Predicted transmission curves of acoustic wave

filters 1549.

Pearce, T. N. and Fortsch, A. R Free energy of dilution and activity of the ions of hydrogen iodide in aqueous solution 1241.

Pearen, E. M. sh. Lubovich, V. P. 795 Pearson, E. F. sh. Becker, H. G. 10 Pease, Robert N. Adsorption o

gases by copper 1189. Peattie, H. L. and Brady, F. B

Flow-meter all in glass 1248. Pécheux, Hector. Magnétisme de nickel 185.

— Magnétisme des aciers 182. Peddie, W. Trichromatic Theory Colour Vision 330.

eddie, W. Colour Vision and Colour | Perrier, Georges. Théodolite à micro-

Vision Theories 330, 408, 1019. scopes 1779. Colour Vision Nomenclature: De-Perrin, Francis sh. Bauer, Edmond fatique and Enhancement 1018.

- Physics of Colour Vision 1019.

Quaternionic System as the Algebra of the Relations of Physics and Relativity 1178.

- sh. Lodge, Oliver 1019. 'ederzani, Th. sh. Boas, Hans 620. 'eek, Jr., F. W. Applying the Results of High-voltage Research to Practice 44.

High-Voltage Phenomena 697.

Tests at 1000000 Volts Support Calculated Sparkover and Corona Data 847.

Lightning and other transients on transmission lines 1776.

ekár, D. Anwendbarkeit der Eötvösschen Drehwage im Felde 74. renning, F. M. Isochores de l'air et

de quelques autres gaz 1612.

sh. Onnes, H. Kamerlingh 1612. et - Isothermes de l'hélium entre- -205° C et -258° C 1612.

eppler, W. Bjerknessenes der Kälte- und Wärmefront 1796.

Angel Albert. Étude de radiations du mercure et du krypton, en vue de leurs applications à la métrologie 339.

Gesamtwiderstand rercy, Rudolf. elektrolytischen Zelle Widerstand des darin befindlichen Elektrolyten 611.

erelmutter, S. sh. Kurnakow, N. S.

1338.

erkins, H. A. Influence d'une charge électrostatique sur la conductibilité métallique 28.

errakis, N. Stabilité en présence de l'eau, d'un certain nombre de mé-

langes binaires 886.

Chaleur spécifique et la chaleur de mélange, dans le voisinage de l'état

critique de miscibilité 1700.

errier, A. et Roux, Mlle H. Calorimétrie adiabatique par voie électrique aux températures élevées et son application au quartz cristallisé 204.

Polarisations magnétiques ou électriques que peuvent provoquer des champs électriques ou magnétiques par voie réversible et irréversible 182. et Staring, A. J. Expériences sur la dissymétrie électrique des molécules du fer 182.

Dyssymétrie électrique des molé-

cules de fer 619.

1179.

, Jean. Observations sur la fluorescence 404.

Radiochimie de la fluorescence 467,

et Choucroun, Mlle. Fluorescence, et lois générales relatives vitesses de réaction 1365.

Perry, J. W. and Roberts, C. C. Butyro and immersion refractometers 551.

Persico, Enrico. Significato fisico della seconda forma fondamentale in relatività 804.

Perucca, E. Idee vecchie e nuove sull' effetto Volta 369.

Peter, W. N. St. sh. Randall, H. M.

Péterfi, Tiberius. Doppelseitige Untersuchung mikroskopisch klein. Objekte 1015.

Peters, Α. Urkunden zur Brillengeschichte 1473.

Ältere Urkunden zur Brillengeschichte

-, Illo. Mathematische u. physikalische Grundlagen der Musik 664.

-, J. F. Instrument for Accurately Measuring and Recording Voltage Surges 1060.

and Slepian, J. Voltages Induced by Arcing Grounds 40.

-, Kurt. Bestätigung des Faradayschen Gesetzes am Lithiumhydrid 107.

-, O. S. sh. McCollum, Burton 1425. and Johnston, R. S. Developments in Electric Telemeters 963.

Petot, A. Automobiles à transmission par arbre longitudinal à cardans 157.

Petrenko, S. N. Behavior of quartz under high compression tests 1624.

Petrie, Sir Flinders. Chain balance 352.

Petrikaln, A. Chemilumineszenz und Energieumwandlungen bei der Oxydation des Phosphors 943.

Chemilumineszenz des Millonschen Base 1601. Jodids der

Partikeln Pettersson, Dagmar. großer Reichweite aus radiaoktivem Niederschlag 1346.

Maximale Reichweite der von Radium C ausgeschleuderten Partikeln 1733.

Long-range Particles from -, Hans. Radium-active Deposit 243.

Herstellung von Radium C 748.

Pettersson, Hans. Zertrümmerung [von Kohlenstoff durch a-Strahlen

- sh. Kara-Michailova, Elisabeth

1346, 1733.

- sh. Kirsch, Gerhard 33, 244, 747, 769, 1270, 1324, 1641, 1731, 1732. - sh. Ortner, Gustav 1733.

Pettit, Edison. Focal changes in mirrors 458.

- sh. Nicholson, Seth B. 260.

 and — Registering microphotometer of the mount Wilson observatory 1016.

Petzoldt, J. Postulat der absoluten und relativen Welt 805.

Pfeifer, W. Totalreflexion 1250.

Pfeifer-Schiessl, A. sh. Oberhoffer, P. 526.

Pfeiffer, P. Lokalisation und spezi-fische Wirkung der Nebenvalenzkräfte 1554.

Pfleiderer, Georgsh. Fischer, Franz 10.

-, N. Das reibungsfreie Minimeter 588.

- sh. Berndt, G. 485.

Pflieger-Haertel, Hermann. Theorie des Gleichrichters 39.

Pflücke, M. Albert Hesse 1386.

Pfunder, F. sh. Grube, G. 374. Philipp, K. Bremsung der α-Strahlen in Flüssigkeiten und Dämpfen 31. Philips, Ch. sh. Copaux, H. 413. Phragmén, G. Järn-kisellegeringarnas byggnad 162.

sh. Westgren, Arne 751.

Physical Society of London. Jubilee

Celebrations 1026.

Physikalisch - Technische Reichsanstalt. Prüfungen und Beglaubigungen durch die Elektrischen Prüfämter 98, 530, 679, 757, 908, 1061, 1195, 1424. 679, 757, 908, 1061, 1195, Tätigkeit im Jahre 1923, 801.

Picard, Emile. Violle, Maurice Leblanc et De Gramont 586.

-, Pierre sh. Dubrisay, René 279, 1130.

Piccard, A. et Kessler, E. Rapport entre l'activité de l'Actinium et celle du Radium dans les minerais radifères 1047.

Pickard, Greenleaf W. Short period variations in radio reception 1446. Pickering, S. F. Critical constants of

various gases 1611.

Pictet, Raoul: Définitions des mots chaleur et température 1169.

Pidduck, F. B. Kinetic Theory of a Special Type of Rigid Molecule 1522. Pienkowski, S. Gradient of Potential

near Electrodes 110.

Pierce, George W. Piezoelectric crystal resonators and crystal os cillators applied to the precision calibration of wavemeters 772.

Piersol, R. J. Symmetry of incident and emergent photo-electronic velocities 1096.

Pressure between cathode and anode

in discharge tube 1206.

Vapor pressure constant for silver

Piketty, Paul. Ecrouissage par étirage 1478.

Pikler, Julius. Neue Psychologie, Physiologie und Psychophysik der Farbentöne 331.

Piña, S. sh. Cabrera, B. 624, 1348. Pinkus, A. Ionisation des gaz pendant

les réactions chimiques 1429.

Piper, S. H. and Grindley, E. N. Fine Structure of Some Sodium Salts of the Fatty Acids in Soap Curds 359.

- Fine structure of some sodium salts of the fatty acids in soap curds

753.

Pirani, M. Interpolation von Kurvenscharen 865.

und Conrad, K. Bestimmung der wahren Temperatur undurchsichtiger diffus reflektierender Körper 1302

Elektrizitätsleitung und Runge, L in metallischen Aggregaten 1343.

und Schröter, K. Elektrolytische Formgebung von harten metallischer Gegenständen 1177.

und Schwerdt, H. Rechentafeln für Multiplikation und Division 866.

Pistolesi, E. Equazioni differenzial del moto dei fluidi 1719.

Estensione del metodo di Wittenbaue per il calcolo del grado di irregolarita di una motrice 208.

Pitois, E. Différenciation des aciers pa l'examen des étincelles de meulage dans l'air et dans l'oxygène 1275 Pitts, Charles R. sh. Kleeman

sh. Kleeman Richard 1743.

Piwowarsky, E. Titan im Grauguß 221 Einfluß verschiedener Legierungs

elemente auf das Zusammenballe des Zementits 674.

Einfluß eines Titanzusatzes zum Roh guß auf den metallurgischen Verlau des Temperprozesses 1277.

sh. Oberhoffer, P. 526.

Planck, Max. Bohrsche Atomtheori 651.

Energieschwankungen bei der Super position periodisch. Schwingungen 65' Planck, Max. Energieschwankungen 657.

Natur der Wärmestrahlung 1278. Planiol, A. sh. Huguenard, E. 1134, 1708.

-, R. sh. Abraham, H. 1029.

'laskett, H. H. Possible Origin of the Nebular Lines 399.

-, J. S. Optical parts of the victoria

spectrograph 1465.

'latard, Marcel sh. Girard, Pierre

latrier, Charles. Problème relatif à une étude de la torsion des arbres de transmission 1310.

Travaux de Blondel et Lecornu sur la torsion des arbres de transmission

1535.

'latz, R. Segel-Flugzeug 506.

laut, H. C. Wissenschaftliche und technische Härtemessung 343.

loetz, Georg sh. Arndt, Kurt 1748. lotnikow, J. Stand der photochemischen Versuchstechnik 1300.

ocher, Waldemar. Messung der Dielektrizitätskonstanten von Flüssigkeiten 679.

ochettino, A. e Fulcheris, G. Proprieta elettriche e termiche dello Jodio 105.

Proprieta ottiche dei cristalli di

platinocianuri 1682.

ocock, L. C. Theory of loud-speaker design 1724.

odszus, E. Der positive Krater 179.
- Strahlung des Auerstrumpfes 306.
ölzguter, F. sh. Oertel, W. 1718.
ohl, R. Ungedämpfte elektrische

Schwingungen kleiner Frequenz 963.

Hans Geitel 1617, 1705.

- sh. Gudden, B. 58, 316, 570. -, Robert. Wärmeberechnung elektrischer Maschinen, insbesondere der im Kreisprozeß gekühlten Turbogeneratoren 956.

Einfluß des Stromreglers auf Abklingen des Kurzschlußstromes von

Turbogeneratoren 1579.

ohle, Ernst und Jarre, Hans. Methodik der Röntgentiefentherapie vom physikalischen Standpunkt 191. ohlmann, B. sh. Gruschke, G. 250,

sh. Höpfner, K. 250, 922.

okar, E. sh. Kaufmann, W. 623. okrowski, G. J. sh. Woronkoff,

G. P. 552, 1355.

ol, jr., Balth. van der. Oscillation Hysteresis in a Triode Generator with Two Degrees of Freedom 298.

Quantenstatistik der Polack, A. Forme de l'expérience sur le chromatisme de l'oeil par obturation partielle de la pupille 330.

Polanyi, M. Strukturbestimmung mit Hilfe von Röntgenstrahlen 437.

sh. Mark, H. 235.

sh. Schmid, E. 18.
Schiebold, E. und Weissenberg, Entwicklung des Drehkristallverfahrens 1332.

Pollack, H. sh. Rapatz, F. 1739. Pollak, Leo Wenzel. Die Lamontsche Korrektur 141.

Pollard, Alan. Total-immersion indicating hydrometer 504, 1130.

-. A. F. C. Konstruktion wissenschaftlicher Instrumente 482, 586, 721.

 Instruments scientifiques 1115.
 Pollitzer, F. Temperatur des aus einer Lösung sich entwickelnd. Dampfes 583.

Poma, G. Einfluß der Neutralsalze auf d. Potential der Metallelektroden 1428. Pomey, J. B. et Carson, John R.

Calcul symbolique d'Heaviside 1. Pond, C. M. Standardizing Tolerances for Taps 1028.

Tolerances for Ground Thread Taps

-, Samuel E. Apparatus for optically recording the propagation velocity of muscle contraction waves 1080.

Pontremoli, A. Neutrone del Rutherford 666.

Scarica nei gas rarefatti 996.

 Conducibilità elettrica delle fiamme contenenti sali alcalini 1207.

Emissione termoionica 1436.

 Effetto del campo magnetico sulla scarica dei gas rarefatti 1751.

sh. Fermi, E. 122.

Poole, H. H. Sub-Continental Temperatures 89.

- Convection of heat in vertical water columns 923.

Popovici, C. Modification de la loi de Newton-Coulomb 277.

Abstich- und Vergieß-Popp, Carl. temperaturen 1797.

Optical properties of Poritsky, A. fluorescent rhodamin B 1461.

sh. Karrer, Engch 1284.

Porlezza, C. Regelmäßigkeit Bandenspektrum des Siliciums 464.

Regola dei quattro volumi 478.
Regola delle tre temperature 644.

Regolarità nello spettro del tetra-

fluoruro di silicio 1457.

- e Donati, A. Applicazione dell'analisi spettrografica alla ricerca di elementi rari in materiali italiani 1465. Porter, Alfred W. Vapour pressures | Preston, F. W. Properties of pit of ternary mixtures 207.

- sh. Nisi, Hirata 982.

-, C. W., Ramsperger, H. C. and

Steel, Carolyn. Action of ultraviolet light upon diketones 202.

Acoustic problems of the

gramophone 1724.

Portevin, Albert et Le Chatelier, François. Obtention, par traitement thermique, d'alliages légers d'aluminium à haute résistance ne contenant pas de magnésium 83.

- Traitement thermique des alliages légers d'aluminium à base de cuivre

- and Chevenard, Pierre. Transformation and thermal treatment of light alloys of aluminium 1054.

Posejpal, V. Variation de la réfraction spécifique des gaz avec la pression au dessous d'une atmosphère 1218.

Posnjak, Eugen W. sh. Wyckoff, Ralph W. G. 1050.

Potapenko, G. Elektrische Absorptions- und Dispersionsspektren von Methyl- und Athylalkohol im Bereiche von 30 bis 90 cm Wellenlänge 690.

Potter, Harold H. Distribution of Velocities among the Electrons emitted by Hot Platinum in an Atmosphere of Hydrogen 447.

Proportionality of Mass and Weight

649.

Pouget, I. et Chouchak, D. Radioactivité des eaux minérales d'Algérie 749.

Powell, J. H. Radium recording devices 1306.

Power, A. D. Resonance radiation from cadmium vapor 999.

Prammer, Hermann sh. Kremann, Robert 287.

Prandtl, Wilhelm und Grimm, Albert. Aufsuchung des Elementes Nr. 61 1413.

Precht, J. und Eckenberg, W. Elektrolyse mit Wechselstrom 918.

Prehm, Wilhelm. Überspannungs-

schutz in Theorie und Praxis 699.

Prentiss, A. M. Specific heat and thermal diffusivities of explosives

Radiolumines lumineszenz

Puccianti, L. 1469.

Prescott, John. Buckling of deep beams 662.

Press, A. Stationary waves on free wires and solenoids 688.

-, S. A. Theorie der Phasenkompensation des Induktionsmotors 1074,

used in working optical glass 1: -, G. D. sh. Owen, E. A. 525, 752, 75

-, J. L. sh. Dellinger, J. H. 44, 67

-, Katharine sh. Dowling, John 1496.

Preuner, G. und Roder, O. Anorma Osmose durch Kollodiummembran

Price, T. Slater. Desensitising Silver Bromide-Gelatin Plates 40

Priest, Irwin G. Determination color in terms of dominant way lenght, purity and brightness 100

Frequencies of complementary hu

1795.

Prince, D. C. Direct-current react design 1352.

Pringsheim, Peter. Polarisierte R sonanzfluoreszenz 1516. Polarisation der Resonanzstrahlung

von Dämpfen 1516.

sh. Carrelli, Antonio 57, 31

 sh. Franck, J. 56. - sh. Gaviola, E. 1516.

Pris, R. sh. Maurain, Ch. 151. Probst, Hans sh. Arndt, Kurt 91 -, G. Theorie des Kapazitätstrar formators 1505.

Procopiu, St. Spectres de l'arc ent métaux dans différents milieux dans le vide 1454, 1595.

Biréfringence électrique et magnétiq

des suspensions 1602.

Pröll, A. Grundlagen und Aussicht des motorlosen Fluges 1551.

Przeborowski, Jaroslaw (unter M wirkung von Fleissner, M. w Sabrodina, A.). Einfluß d Neutralsalze auf das Potential d Wasserstoffelektrode 831.

Przibram, Karl. Verfärbung u Lumineszenz durch Becquerelstrahl

616.

und Bělår, Marie. Verfärbung durch Becquerelstrahlen und Frage des blauen Steinsalzes 74 771, 790.

und Kara-Michailova, Elisabet Radiolumineszenz und Radio-Phot

lumineszenz 771, 790.

Lunghezza d'onda raggi Röntgen 857.

Elementi di elettrodinamica 1341. Pürgel, W. sh. Schulz, E. H. 14 Pütter, Karl E. sh. Hahn, Otto 2

Puga, José. Streuungsrinne 456. Pulsifer, H. B. Method of Prepari

Specimens of Metals 162.

per lo studio del moto delle acque filtranti 138.

ccell, H. W. sh. Shackleton, S. P.

rvis, J. E. Absorption Spectra of the Vapours and Solutions of Various Ketones and Aldehydes 266.

Absorption spectra of organic and inorganic salts of didymium 464. Absorption Spectra of Derivatives of Phenol and other Substances 1089. Absorption spectra of solutions of benzene and some of its derivatives

at various temperatures 464.

shin, Nicolai Antonovitch and Grebenshchikov, Elijah Vasil-jevich. Adiabatic Cooling of Water and Temperature of its maximum Density 410.

thomme. Etude des rayons X

secondaires 394.

tman, H. V. Oscillations and resonance in systems of parallel connected synchronous machines 1503. tzeys, Paul sh. Richards, Theodore W. 433.

e, D. R. sh. Tizard, H. T. 1701. le, Lindley. Howling telephone and its application to bridge methods 1058.

Q.

arder, Bilfried. Lichtbrechung in Gasen 1156.

ervain, A. de. Pendel von Quervain-Picard 352.

Erdbeben des Wallis und der Schweiz

Jahresbericht des Schweiz. Erdbebendienstes 1922 987.

incke, Georg Hermann 721, 1025, 1526.

inney, H. sh. Landon, J. W. 505.

R.

binowitsch, Mark. Elektrische Leitfähigkeit des festen $2 H_3 PO_4$

 $\mathbf{H}_{2}O$ 105.

dt, Wilhelm Peter. Bremsung bewegter Ladungen beim Überfliegen leitender Körper 180.

du, Alexander sh. Paneth, Fritz

jewsky, B. sh. Lorenz, E. 703, 1679, 1680.

ppini, Umberto. Modelli elettrici Raleigh, Frank Victor sh. Egerton, Alfred Charles 649.

> Raman, C. V. Viscosity of Liquids 501. Effect of Dispersion on the Interference Figures of Crystals 852.

Opalescence Phenomena in Liquid

Mixtures 930.

Mechanical Violin Player for Acoustical Experiments 1190.

Molecular Structure of Amorphous

Solids 1489.

Structure of Molecules in relation to their Optical Anisotropy 1646.

Partial Tones of Bowed Stringed Instruments 1724.

and Ganesan, A. S. Spectrum of neutral helium 705, 1161.

and Ramanathan, K. R. Molecular Scattering of Light in Dense Vapours and Gases 47.

- Molecular Scattering of Light in

Liquid Mixtures 462.

- Molecular Scattering of Light in Carbon Dioxide at High Pressures 929.

 Diffraction of X-rays in Liquids, Liquid Mixtures, Solutions, Fluid Crystals and Amorphous Solids 1357.

Ramanathan, K. R. Molecular Scattering of Light in Vapours and in Liquids and its Relation to the Opalescence observed in the Critical State 461.

sh. Raman, C. V. 47, 462, 929, 1357. Ramdas, L. A. Colours of Chlorate of

Potash 1458.

Ramsauer, Carl. Massenbewegung des Wassers bei Unterwasserexplosionen 150.

Ramspeck, Alfred. Anomalien der accidentellen Doppelbrechung beim Celluloid 1587.

Ramsperger, H. C. sh. Porter, C. W. 202.

Ramstetter, H. sh. Braune, H. 86. Randall, H. M. Infra-red Spectra 1513.

- and Peter, W. N. St. Infra-red line spectra of zinc and cadmium 1686.

Rankine, A. O. Transmission of Speech by Light 428.

Relation between Illumination and Electrical Conductivity in Selenium

Reproduction of sound by means of a

loud-speaker 1724. and Silberstein, L. Propagation of Light in a Gravitational Field 1178.

Ranque, G. Trompe à mercure d'encombrement réduit 586.

Rao, K. Seshagiri. Colours of Mixed Plates 1508.

Rapatz, F. Einfluß der ledeburitischen Raymond, William J. Examples Gefügebestandteile bei der Erzeugung und Behandlung von Dreh- und Schnittstählen 1424.

- sh. Oberhoffer, P. 905.

- und Pollack, H. Schwarzbruch1739.

Raschevsky, N. v. Lorentzkontraktion

und Paschskyprinzip 140.

Interpretation der kovarianten elektromagnetischen Feldgleichungen vom Standpunkte des absoluten Raumes und der universellen Zeit 141.

- Lorentz- und Galileitransformation

419.

- Die Relativitätstheorie als eine der mathematischen möglichen stellungen der physikalischen Erscheinungen 419.

- Ergebnis des Michelsonschen Versuches und Relativitätstheorie 1120.

Ratkovszky, Franz. Erwärmung elektrischer Maschinen 1353.

Rauch, Hermann sh. Kreman, Ro-

Rausch von Traubenberg, H. Polarisationserscheinungen von strahlenlicht im Magnetfelde 790.

Rauschenbach, H. Gezeitenrechenmaschine 1618.

Rautenfeld, Friedrich von. Elektrizitätsleitung in Kristallen 241.

Ravut, C. Propriétés générales des réseaux parcourus par les courants alternatifs en régime permanent 39.

Rawdon, H. S. sh. Blum, William 358.

Rawlins, F. Ian G. Relationship between the Focal Lenght of Microscope Objectives, and number of Fringes seen in Convergent Polarized Light 457, 560.

Bidhubhusan. Colours of Colloids in relation to the size of the dispersed particles 1508.

-, Rames C. Effect of Long Grinding on Quartz (Silver Sand) 287.

Heat of Crystallisation of Quartz 411. -, Satyendra. Pressure of radiation on transparent dielectrics 255.

Rayleigh, Lord. Observations on the Spectrum of the Night Sky 398, 465.

- Iridescent Beetles 472.

- Spectrum of Active Nitrogen as Affected by Admixture of the Inert Gases; Origin of the Cyanogen 536.

Polarisation of the Light Scattered by Mercury Vapour near the Resonance Periodicity 1222.

Glow of Phosphorus, and its Extinction by Moist Oxygen 1460.

Motions which Have a Terminal Spee 1032. Read, H. S. Theory for the Bumstea

electroscope 95. Reeve, E. A. F. sh. Lea, F. C. 219 Regelsberger, F. Leichtmetalle Legierungen 992.

Regener, E. sh. Hiller, W. 1142.

Rehbinder, P. Abhängigkeit de Oberflächenaktivität und der Ober flächenspannung der Lösungen von der Temperatur und Konzentratio 1627.

Anwendung der Seismo Reich, H. metrie auf die Geologie 14.

Reichenbach, Hans. Axiomatik de relativistischen Raum-Zeit-Lehre 1029

Erwiderung auf Andersons Einwänd gegen die allgemeine Relativitäts theorie 1030.

Relativitätstheorie und absolut

Transportzeit 1398.

Reichenbächer, Ernst. Eichinvarian des Wirkungsintegrals und Gestal der Feldgleichungen in der Weylsche Theorie 1120.

Reichinstein, D. und Bernays, F Adsorptionsisotherme 1183.

Reichspostministerium. Das Fern sprechen im Weitverkehr 249.

Reiher, H. sh. Knoblauch, Oscar 58: Reinecker, H. P. sh. Danielson, R. B

Reinhardt, Fritz. Eigenschwingunge von Spulen 1670.

Reinhold, Hermann sh. Tubandt, C

Reinicke, R. Schulgemäße Behandlun d. Innenverbrennungsmaschinen 125

Reismann, J. sh. Schmitz, L. 589 Remi, Walter sh. Klemenc, Alfon 1185.

Remy, Heinrich. Elektroendosmos elektrolytische Wasserüber führung 371.

Rentschler, H. C. and Marden, J. V High temperature high vacuum fu

nace 71.

Requard, Fritz. Berücksichtigung de Wirkungsgrades bei der Behandlut der Maschinen 1393.

Retzow, U. Zerstörung von Stron wandlerzuführungsschienen aus Zir 992.

Reuterdahl, Arvid. Space-time p tential 649.

Synthesis of number, space-time at energy and a physical basis f Planck's and Rydberg's constans 65 euther, F. sh. Ludewig, P. 111, 1211, | Richardson, Leon B. and Woodhouse,

ey, Jean. Probabilité d'éclairer un avion à l'aide d'un faisceau de projecteur électrique balayant le ciel 1466. sh. Blondel, André 1169.

horer, László von. Brennstoff-

elemente 830.

iabouchinski, D. Mouvements plans des fluides autour de solides avec tourbillons 1718.

Equations du mouvement à deux dimensions de solides dans un liquide

avec tourbillons 1718.

Équations du mouvement d'un fluide rapportées à des axes mobiles 1719. Forme du solide et l'énergie cinétique du fluide qui l'entoure 1719.

ibaud, G. sh. Darmois, G. 1495. icard, G. Alliages magnétiques "Permalloy" 1148.

icaud, M. sh. Escande, L. 1482. ice, Chester W. Free and forced convection of heat in gases and liquids

sh. Beverage, Harold H. 1502. Jr., E. W. Charles Proteus Steinmetz 273, 337.

Velocity Constant of a , James. Unimolecular Reaction 333.

, Martin P. Dr. Charles Proteus Steinmetz 337.

ichards, Harold F. Contact electri-

city of solid dielectrics 368.

, Theodore W. Compressibility, internal pressure and change of atomic

volume 1717. and Craig, William M. Atomic

weight of gallium 747.

and Putzeys, Paul. Atomic weight of lead from the belgian congo 433. and Richards, William T. Effect of a magnetic field on the potential of hydrogen occluded in iron 1200. P. and Saerens, Edouard Compressibilities of the chlorides, bromides and iodides of lithium, rubidium and cesium 1310.

and Smyth, Charles P. Heat of solution of thallium in dilute thallium

amalgams 205.

, Speyers, Clarence L. and Carver, Emmett K. Surface Tensions of Octanes and Xylenes at Several Temperatures 1312.

William T. sh. Richards, Theodore W. 1200.

G. Theory of the ichardson, E. Singing Flame 350.

Theory of the Trevelyan Rocker 664.

John C. Adsorption of mixed gases by charcoal. Carbon dioxide and nitrous oxide 1545.

-, L. F. Electromagnetic Inductor 339. Speckled Wave Front of Light 121.

Theory of the Measurement of Wind by Shooting Spheres Upward 493.

Aerodynamic resistance of spheres, shot upward to measure the wind 1036.

-, O. W. Generalized Quantum Conditions 725.

Electron emission from metals as a function of temperature 763.

Thermionic emission from systems with multiple thresholds 1763.

Richter, Ludwig A. sh. Oertel, W. 606.

-, Robert. Methode, die Wirkung afokaler Vorsatzplatten auf die Einstellung photographischer Kameras zu vermindern 1792.

-, Rudolf. Das Ankerfeld in der Pollücke und die in einer Ankerwindung induzierte EMK 1580.

Richtmyer, F. K. Relative number of K and L electrons expelled by x-rays 1600.

sh. Warburton, F. W. 1600.

and Spencer, R. C. Width of the K

absorption discontinuity in silver 1688. and Warburton, F. W. X-ray absorption coefficients of cobalt and nickel 310.

- Absorption of x-rays by iron, cobalt, nickel and copper 1598.

Ricklefs, O. sh. Gehlhoff, G. 1703. Rideal, E. K. sh. Hurst, W. W. 1315.

– and Norrish, R. G. W. Photo-

chemistry of Potassium Permanganate. I. Application of the Potentiometer to the Study of Photochemical Change 1231; II. Energetics of the Photo-Decomposition of Potassium Permanganate 471.

Ridyard, H. N. Metal-to-glass joint 964. Rie, Ernst. Einfluß der Oberflächenspannung auf Schmelzen und Gefrieren 71.

Riede, Werner. Rekristallisationserscheinungen an dauerbeanspruchten Stählen 1491.

Riedinger, Franz. Gravitation und Trägheit 141.

Riedlinger, Karl. Freileitungs-Grundnomogramm 2.

Kettenleiter 35. Riegger, Hans. - Theorie des Lautsprechers 1262.

- sh. Gerdien, Hans 72.

Porzellans 812.

Riesenfeld, E. H. Bildung von Ozon und Wasserstoffsuperoxyd in der Knallgasflamme 1609.

und Beja, M. Dampfdruckmessungen

an reinem Ozon 582.

— Thermische Bildung von Ozon 949.

Riethof, G. sh. Drucker, C. 1567. Augusto. Esperienza di Righi, Michelson 1400.

Righter, F. L. sh. Trivelli, A. P. H.

1233.

Riiber, C. N. Spezifisches Gewicht des absoluten Äthylalkohols 497.

Zugprobestabformen und Rinagl, F. Einspannvorrichtungen 1478.

Ringelmann, Lorenz. Elastizität von Gelatine-Lösungen und Einfluß der Quellung 153.

Rinkenbach, Wm. H. sh. Taylor,

C. A. 1108.

Physikalisch-chemische Rinne, F. Grundlagen der Kristallkonstitution 230.

- Kieselsäureleptyle in Kristallen 826. - Umgestaltungen und Verfall von

Kristallstrukturen 1330.

-, Leonhardt, J. und Hentschel, H. Raumgruppe des Olivins 1336.

Ripley, G. E. Apparat zur Bestimmung des Ausdehnungskoeffizienten Luft 413.

Rischbieth, P. Gasvolumetrische Unterrichtsversuche mit der Glüh-

drahtpipette 1248.

Riss, Wilhelm. Zusammensetzung der Bröggerite und der genetische Zusammenhang zwischen Thor und Uran 603.

Ritter, F. sh. Thiel, A. 582, 644. — und Bollé, E. Feststellung der Feststellung der Zuverlässigkeit von Zündschnurdurch Röntgenstrahlen 1132.

Roberts, C. C. sh. Perry, J. W. 551. | Rohland, Walter. -, Hugh Medwyn and Bury, Charles R. Cryoscopic Measurements with Nitrobenzene 426.

-, J. Keith. Thermal Expansion of Bismuth Crystals 1110.
- sh. Kaye, G. W. C. 1379.

-, J. M. Standardization of laboratory

apparatus 801.

-, O. F. T. Theoretical Scattering of Smoke in a Turbulent Atmosphere

Robertson, Robert and Garner, William Edward. Calorimetry of High Explosives 158.

Rieke, R. Eigenschaften des technischen | Robinson, C. Dämpfungsmessung an Fernleitungen mit eingebaut Zwischenverstärkern 190.

-, Clark S. Calculation of degree

photolysis of potassium nitrate 169 H. Secondary Corpuscular Ra produced by Homogeneous X-ra 1069.

-, M. P. Preparing Water to be Froz 584.

-, R. sh. Lapworth, A. 435.

Conjugation of Partial Valencies 141 Roche, Jean. Détermination d ampères-tours nécessaires à l'a mentation des dents 43.

Rodebush, Worth H. Atomic hea of cadmium and tin at low temp

ratures 798.

Problem of gas degeneration 117 - Application of the third law

thermodynamics to electron emission 1439.

sh. Fogler, Mayor F. 334.

Roder, O. sh. Preuner, G. 84. Rodman, Jessie A. Effect of temper ture on the luminosity of radiu compounds 1366.

Röchling, Curt sh. Hofmann, K.

19.

Röhrich, Rudolf sh. Kreman Robert 280.

Röntgens letzte Ruhestätte 1617.

Roerdansz, W. Amtliche Eichung von Meßwerkzeugen 1178.

Roeser, Wm. F. Adjustable scale I electrical instruments 906.

Rössiger, Martin. Verteilung d Austrittsgeschwindigkeiten von Glü elektronen aus Erdalkalioxyden 24 Rogers, F. Crystallisation of Cementi

in Steel 754.

-, G. Sherburne. Helium-beari natural gas 513.

-, J. S. sh. Bates, L. F. 33, 537, 134

Elastische u mechanische Eigenschaften ka gereckter Metalle, insbesondere v Stahl 1477.

Rohmann, C. sh. Fricke, R. 349.

-, Hermann, Messung der Größe v Schwebeteilchen 1139.

Doppelbrechung des Lanolins 122 Rauch und Rauchbekämpfung 16t

Rohr, M. v. Geschichte des holländ schen Fernrohrs 1.

Altere Versuche zur Anpassung v Brillen an beide Augen 332.

Zwei Abhandlungen von Thom Young 481.

hr, M. v. Letzte Veröffentlichung von Rosenberg, E. Massive Eisenleiter und W. Ch. Wells 721.

Sehvorgang und seine Unterstützung durch Brillengläser nach Maurolyeus im Jahre 1554 801.

Geschichte der Brillenherstellung 801,

1473, 1617.

History of the spectacle trade from the earliest times to Thomas Young's appearance 1026.

Abbes Stellung in der Lehre von der

Strahlenbegrenzung 1305.

Optische Kenntnisse der Brillenhersteller um das Jahr 1600 1473. Anschauungen über Brillen nach L. Merz 1473.

llefson, Gerhard K. Very soft X-rays — the M-series for iron 268. Spectral series in the soft x-ray region

lton, Winifred L. and Troop, R. Stanley. Effect of a magnetic field on the surface tension of a liquid of high susceptibility 1720.

man, Irwin. Longitudinal aberration in aspherical optical systems 1154. mig, Joe V. Measuring the Wear in

a Ball Bearing 588.

nchi, Vasco. Superficie e sistemi ottici mediante i reticoli 849.

Studio delle superficie e dei sistemi ottici colle frangie tra reticoli scentrati 1005.

Sistemi ottici col biprisma e specchi di Fresnel 1681.

Aantasting der Aluos, J. L. de. minium-Electrode van een electrolytischen gelijkrichter door alkalimetaal-ionen 996.

sa, E. B. and Taylor, A. H. Theory, construction, and use of the photometric integrating sphere 1016.

M. La. Fenomeni delle "stelle variabili" come prova della composizione della velocità della luce con quella della sorgente 420.

Concept de temps dans la théorie

d'Einstein 420.

Resonanzkurven bei schansky, D. verschiedenen Dämpfungstypen 1350. se, Arthur F. Application of Carrier Telephone and Telegraph in the Bell System 626.

D. C. sh. Löwe, Percy 1784. H. sh. Becker, Karl 19. sh. Ehringhaus, A. 560.

sen, A. Use of the Wien Bridge for the Measurement of the Losses in Dielectrics at High Voltages 1649.

Wirbelstrombremsen 454, 777.

-, Karl. Zum Unterricht in der Elektrizitätslehre 339.

Ausbreitung von Ölhäuten auf Wasser

Rosenhain, W. Inner structure of alloys 904.

Solid Solutions and Inter-Metallic Compounds 365.

Rosický, V. Symmetrie des α-Schwefels

Rosner, Josef sh. Spiegler, Gottfried 1678. Ross, F. E.

Mensurational characteristics of photographic film 1013. -, P. A. Critical potentials of thorium

M series lines 309, 401.

Experiments on Compton's change in wave-length on scattering 937.

Wave-length and intensity of scattered x-rays 1091.

Crystal reflection and change of wave-length 1091.

X-ray spectrograph for scattered radiation 1365.

Rosseland, S. Quantentheorie der radioaktiven Zerfallsvorgänge 1125.

Rossmann, F. und Zenneck, J. zwungene Schwingungen in Elektronenröhrenkreisen koppelten

- Einfluß einer leitenden Verbindung von zwei gekoppelten Kreisen 1349.

– Verhältnis von induktiver und direkter Kopplung 1349.

Roth. A. Schutz von Wechselstromanlagen gegen Überspannungen 1506.

Schutz gegen Überspannungen und Überströme in Hochspannungsanlagen 1507.

-, W. A. Eichung von Verbrennungskalorimetern und internationale Festsetzung der Eichwerte 1699.

Radiotélégrammes et télé-Rothé, E. grammes sismologiques 14.

Rother, Franz und Lauch, Karl. Herstellung reinster, undurchsichtiger Metallschichten durch Kathodenzerstäubung und deren optische Konstanten 927.

-, Willard. Strength of cast iron and

its thickness 1625.

Rothmund, V. Einfluß der Anionen auf die Passivierbarkeit der Metalle 1433.

Rothschild, Heinrich. Einfluß der Gestalt auf das negative Nachbild ruhender visueller Figuren 409.

Rothwell, P. Multiple Resonance 281. Rütten, Paul. Rougier, G. Piles photoélectriques et leur application à la photométrie 572. Rütten, Paul. Porosität, Druduktionsgeschw

Piles photoélectriques aux métaux alcalins 1743.

Rouse, P. G. High-speed forms and curvature of buttocks 424.

Roux, Mlle H. sh. Perrier, A. 204. Analysis of Damped Rowell, H. S.

Vibrations 660.

- Units in Aeronautics 1191.

Roy. Les trois constantes fondamentales de l'électricité et du magnétisme 22.

Théorème de la moindre -, Louis.

contrainte de Gauss 421.

-, Suresh Chandra. Law and Mechanism of the Emission of Electrons from Hot Bodies 762.

Royen, H. J. van. Bestimmung des Kohlenstoffs in Roheisen, Stahl und Ferrolegierungen 905.

Royer, L. États mésomorphes biréfringence magnétique 1510.

Ruark, A. E. sh. Foote, Paul D. 791.

Rubies, S. Pina de. Strahlen des Scandiums im Bogenspektrum in Luft 1087.

Rubinowicz, A. Kirchhoffsche Beugungstheorie 1083.

Rudberg, Erik. Photochemische Spaltung von Monochlor- und Monobromessigsäure und Einsteinsches Gesetz 1463.

- sh. Euler, Hans v. 1463. Rudeloff. Werkstoffnormung 809.

- Prüfung des Gußeisens 973.

Rudolph, Heinrich. Erzeugung zeitlich gleichmäßig sich verändernder Spannungen mit der Neon-Glimmröhre 1572.

-, O. C. Type of Microscope for Measuring the Impression Produced in the Ball Hardness Test 483.

Rudy, R. Potentiel disruptif et loi de Paschen 242.

- sh. Guye, C. E. 178.

- sh. Worthing, A. G. 1686.

Rüchardt, E. Zusammenhang zwischen Kernneutralisierung und Sekundärstrahlung bei den a-Strahlen und Kanalstrahlen 616.

Rüdenberg, Reinhold. Zusätzliche Verluste in Synchronmaschinen und ihre Messung 191, 1074.

- Vorausbestimmung des Dauerkurzschlußstromes von Wechselstromgeneratoren 1293.

Gasdurchlässigkeit Porosität, Druckfestigkeit und Reduktionsgeschwindigkeit von Eisen erzen 1560.

sh. Wüst, Fritz 1560.

Rüttenauer, A. Kathodentemperatur in der Glimmentladung der Edelgase 292.

Ruff, Otto. Chrom-Kohlenstoff-System 163.

Oxyde, Metalle und Carbide im Gebiet hoher Temperaturen 1524.

und Hartmann, Hellmuth. Dampt drucke der Erdalkalimetalle 1175.

Rukop, H. Reißdiagramme von Senderöhren 1501.

Verschwinden des Rumpf, Erich. Benedicks-Effektes im Vakuum 441. Ionisation in der Geisslerentladung

446.

Zur Kenntnis des Kom-Runge, C. binationsprinzips 1008.

Isotopes of Mercury and Bismuth and Satellites of their Spectral Lines 1514

Integrationsmethoden Graphische $152\bar{6}.$

-, I. Integration der Wärmeleitungsgleichung für stromgeheizte strahlende Drähte 1172.

sh. Pirani, M. 1343., Wilhelm. Ziehvorgänge in induktiv gekoppelten Zwischenkreisröhrensendern 1577.

Rupp, E. Leitfähigkeitsänderung der Phosphore durch Kathodenstrahlen

Zentren der Lichtemission der Alkalien

790, 1689. Russ, S. Release of Electrons by X-rays 384.

Measurement of X-ray intensity 678. Russell, Alexander. Lord Kelvin 1617.

-, A. S. Radio-active Disintegration Series and Relation of Actinium to Uranium 357.

Atomic Weights of Isotopes 514.

Isotopes of Lead 1193.

- Complexity of the Elements 1553. - sh. Guy, William George 285.
- sh. Widdowson, W. P. 514.

-, E. Wriothesley. Muscular Piezoelectricity? 368.

-, H. N. sh. Saunders, F. A. 262. Singlet Series in the Spark Spectrum of Aluminium 1009.

Exclusion principle in optical spectra 1511.

Rutherford, Ernest. Electrical structure of matter 15, 284.

Life History of an α-Particle 31.

therford, Ernest. loss of electrons by a particles 295. Artificial Disintegration of the Elements 434.

Elektrische Struktur der Materie 507,

and Chadwick, J. Bombardment of

Elements by α -Particles 1192.

all, L. E. Peak Voltage Measurement by Means of a Neon Glow Lamp 1740.

an, R. W. sh. Harkins, William D.

988, 1730. Rare Gas Discharge de, J. W.

Lamps 537.

Theory of the Abnormal Cathode Fall 684.

sh. Campbell, N. R. 273, 1570. and Huddart, R. Analysis Bubbles in Glass 857.

schkewitsch, E. sh. Fajans, K.

und Köstermann, Erich. Dichte des Graphits 670.

S.

oine, Paul E. Experiments with the oin-hole resonator 738.

Acoustical power of certain sound cources in absolute units 1628.

rodina, A. sh. Przeborowski, Jaroslaw 831.

hs, G. Kerbwirkungen beim Stauch-

versuch 278.

Konstruktion von Reibungstrieben

Großzahlforschung, Zuverlässigkeit echnischer Messungen und Streuingsmaße 1474.

sia, C. F. sh. Crandall, I. B. 1408. k, Rudolf H. sh. Körber, Friedr. 193.

rens, Edouard P. R. sh. Richards, Cheodore W. 1310.

a, Megh Nad. Physical Properties f Elements at High Temperatures 149.

nd Sur, N. K. Active Modification f Nitrogen 1790.

ulka, Johann. Ermittlung der äumlichen Lichtstärken beliebiger Lampen 128.

latwalla, B. D. and Anderson, I. N. Improvements in Ferro-Alloy Electric Furnaces of High Power nput 455.

Capture and Salb, A. Demonstration der Ladungen von Metalldämpfen im Lichtbogen 111. Magnetisches Feld der verschiedenen

Spulenformen 625.

Salessky, A. Spannungsverteilung an Ketten von Hängeisolatoren 1581.

Salinger, H. Rolle der Sekundärstrahlung in Elektronenröhren 919.

Schaltungen zur Spannungsübersetzung 1072.

Salis, Gubert v. sh. Kolhörster, W. 246.

Salomon, B. Analogies gyroscopiques des machines électriques synchrones et asynchrones 191.

Saltmarsh, M. O. Arc Spectrum of

Phosphorus 1454.

Sameshima, Jitsusaburo and Hayashi, Kakichi. Adsorption of Air by Various Kinds of Charcoals 1545.

Sampson, R. A. Estimation of the Continuous Spectrum of Stars 307.

 Comparative Rates of Certain Clocks 1246.

Samson, H. sh. Alger, P. L. 778, 1504. Sand, Henry J. S. Anomaly of Strong Electrolytes 174.

and Weeks, Edward Joseph. Over-

voltage Measurement 1435.

Sandberg, C. G. S. Isostasie und ursächliche Einheit von Gebirgsbildung und Vulkanismus 739.

Electrostatic Sandemann, E. K. Transmitter 1150.

Importance of each frequency region in the audible spectrum-measurements on loud-speakers 1724.

Sander, W. und Meissner, K. L. Gleichgewichtsstudien im Vierstoffsystem Aluminium-Magnesium-Silicium-Zink 607.

Sandström, J. W. Polarfront 1037. Sanford, Fernando. Condition known as electrical neutrality 610.

Simultaneous diurnal variation of the electric potential of the earth and the air 1287.

Theoretical considerations 1772.

Electric induction of the sun upon the earth 1772.

Sano, Shizuwo. Application of Thermodynamical Principles to the Time Rates of Chemical Changes and Vaporization 1696.

Sanyal, A. K. und Dhar, N. R. Photo-

chemische Katalyse 713.

Satterly, John. Oberflächenspannung, Oberflächenenergie und latente Wärme 1023.

sh. Eadie, H. I. 703.

Sauerwald, F. Meßverfahren und die innere Reibung v. Pb-Bi-Legierungen 1484.

Allendorf, H. und Landschütz, P.
Dichte und Ausdehnung von flüssigem
und festem grauen Roheisen 1491.

 und Jaenichen, E. Festigkeit und Dichte synthetischer Metallkörper u. Adhäsionskräfte zwischen metallischen Oberflächen 1056.

Saunders, F. A. Modern spectroscopy 948.

 and Russell, H. N. Regularities in the spectra of the alkaline earths 262.

 Sidney Walter. Absorption Pipette for Gas Analysis 666.

Saussure, Léopold de. Origine de la rose des vents et invention de la boussole 74.

Sawyer, R. A. and Martin, E. J. Vacuum spark spectrum of zine in the region $\lambda 2100-4000$ 1685.

 and Paton, R. F. New members in the series spectrum of trebly-ionized silicon 1009.

Saxén, Bruno. Lichtemission unter der Wirkung molelektrischer Kräfte an der Oberfläche von Kristallen 563.

Saxton, A. J. Impact Ionization by Low-Speed Positive H-Ions in Hydrogen 766.

Scatchard, George. Electromotiveforce measurements with a saturated potassium chloride bridge 531.

Schachenmeier, R. Kristallinterferenzen in spektral zerlegtem Röntgenlicht und ihre Verwendung zur Bestimmung des Kristallgitters 460.

Schacherl, Franz. Einfluß des Druckes auf das Brechungsvermögen des Wasserstoffs 704.

Schack, Alfred. Messung von Wärmemengen in turbulenten Gasströmen 133.

--, H. System Kupfer-Blei-Antimon 529.

Schäfer, B. Wechselstrom-Projektionslampe mit erhöhter Lichtausbeute 130.

Schaefer, Clemens. Neue Interferenzerscheinung: Kurven gleicher Neigung an anisotropen planparallelen Platten 47.

 und Heisen, Georg. Strömung von Flüssigkeiten in Röhren 423.

 Karl Ludolf. Schwingungszahlengesetz der Galtonpfeife bei hohem und niedrigem Anblasedruck 427.

Schälchlin, W. Elektrischer Übergangswiderstand von Kontakten 1286.

Schärer, O. Theorie der Löslichkeitsbeeinflussung bei starken Elektrolyten 1467.

Schafmeister, P. sh. Tammann, P.

1648. Schait, H. Spannungsverteilung und

Temperatur im Dielektrikum von Einleiterkabeln 113, 629, 694, 1502 Schalkhammer, J. Wattmeter mit neuen Umschaltevorrichtungen der

Strommeßbereiche 1424.

Schaufelberger, A. Normales Kathodengefälle in Luft 448.

Schaum, Karl. Aktivierung des Chlors

Scheel, Karl sh. Berliner, Arnold

Scheffers, Helmut. Studien über die Solarisation 469.

Scheibe, Adolf. Erzeugung sehr kleiner Wellen mit Glühkathodenröhren 1289.

Scheld, R. Blindleistungs- und Blindverbrauchsmessungen 1581.

Scheller, O. Sender ungedämpfter Schwingungen 1071.

Scheminzky, Ferd. Universalmikroskopierlampe 1103.

 Induktorium für Leitfähigkeitsbestimmungen für Anschluß an Gleichstromnetze 1564.

Schempp, Erich. Aufnahmen mit der Glühkathodenröhre 1678.

Schenck, R., Giesen, J. und Walter, Fr. Säurezerlegung metallographisch definierter Eisen- und Mangancarbidlegierungen 675.

Schendell, G. Aufteilung ausgedehnter

Mittelspannungsnetze 695.

Schenfer, Claudius. Anlaufschaltung nach Görges für asynchrone Motoren 1151.

 Die Kommutierung in Gleichstrommaschinen bei sehr kleinen Umfangsgeschwindigkeiten 1503.

Schenkel, M. Die elektrische Ventilröhre als Gerät zur Messung von Überspannungen 1195.

 Beteiligung des metallenen Gehäuse an den Entladungsvorgängen in Groß gleichrichtern 191.

Schenner, Fr. Numerische Ent wicklungen zu Jaumanns Theorie de Gravitation 971.

Scheppmann, W. Lorenz-Zweirohr Zweidraht-Zwischenverstärker 1073

Schering, H. Skala für Drehkonden satoren 172.

- sh. Gehlhoff, Georg 130.

cheurer, E. sh. Fraenkel, W. 529.

chidlof, A. Solutions cosmologiques des équations du champ de gravitation 1123.

chiebold, E. Röntgenographische Drehspektrogramme 822.

- sh. Polanyi, M. 1332.

child, K. Berechnung der elektrischen Konstanten von Fernsprechleitungen ihren Scheinwiderständen für Leerlauf und Kurzschluß 1214.

chiller, Hans. Thermodynamik und Kinetik der Flüssigkeitsketten 910.

chilling, Friedrich. Böschungsflächen mit Kegelschnitten als Basiskurven 875.

chilowsky, M. Paul. Applications

of the Gyroscope 892.

chindelhauer, F. Richtung atmosphärischer Störungen 452.

chitzkowski, Georgsh. Wüst, Fritz

chläpfer, P. und Debrunner, P. Spezifische Wärme des graphitischen Kohlenstoffs und des Kokses 474. Verbrennungsund Fioroni, W. wärmen von Benzoesäure, Naphthalin und Rohrzucker 67.

chleede, Arthur sh. Tiede, E. 55. und Gantzekow, Hans. Röntgenographische Untersuchung lumineszenzfähiger Systeme 55.

- Röntgenapparat mit Hochvakuum-

kamera 196.

und Gruhl, Arno. Röntgenographische Beobachtungen an lumineszenzfähigem Zinksilikat 93.

und Herter, Max. Schwärzung des Zinksulfids durch Licht 319.

 und Kordatzki, W. Schwärzung des Zinksulfids durch Licht 318.

chleicher. Ermittlung der günstigsten Wirk- und Blindlastverteilung in Hochspannungsnetzen 393.

, A. Fehlstellen im legierten Stahl 163. Magnetisches Verhalten von Messing

mit Eisengehalt 840.

Der Molekülkristall. Röntgenspektroskopie und Konstitution 1325.

Charakteristik des ehlenck, W. Stromes in schwach ionisierten Gasen 616.

Elektrische Leitfähigkeit der Luft in einem Kellerraume 1067.

Der Lorenzhleppmann, W. Zweirohr-Verstärker 250.

cherrer, P. Groupements d'atomes Schlesinger, H. J. and Tapley, dans les cristaux mixtes 518.

Mark W. Preparation of the double fluorides of the metals of the platinum group and absorption spectra of the halogeno platinates 933.

Schleussner, C. A. Diffusionsvorgänge in Gelatine. Liesegangsches Phäno-

men 1607.

Schlink, Frederick J. Life testing of mechanical instruments 353.

Schlomka, T. sh. Wigand, A. 1636,

Schmakow, Paulsh. Kuprijanow, G. 1071.

Schmaltz, Gustav. Registrierung kleiner Schwingungen 1618.

Schmekel, J. sh. Seeliger, R. 683.

Schmeller, Hans. Beiträge zur Geschichte der Technik in der Antike und bei den Arabern 337.

Schmick, Hans. Theorie der Dipolflüssigkeiten 680.

Theorie der anomalen Beweglichkeit

elektrolytischer Ionen 1432. Schmid, Alfred. trode 1428. Diffusionsgaselek-

-, E. Plastische Deformation von

Kristallen 1334.

- und Polanyi, M. Über Verfestigung und Entfestigung von Metalleinzelkristallen 18.

Schmidt, Carl. Lichtbrechung in Kreiszylindern oder Kugeln 255.

-, Ernst. Entstehung und Dämpfung von Fundamentschwingungen 876.

-, Gerhard C. Passivität 25.

- und Durau, F. Adsorption 736.

- und Walter, Roland. Elektri-

zitätsleitung von Salzdämpfen 242. –, Hermann. Bestimmung von Schallgeschwindigkeiten in festen Körpern mit der Methode der Schallrichtungsbestimmung 1040.

 Anmerkung zur Strahlungspyrometrie 1360.

-, Karl. Hochfrequenzmaschinensender

für drahtlose Telegraphie 300. M. Kopie der Peru-Toise 1619. -, M.

Untersuchung tierischer J. Hartsubstanzen mittels des Opakilluminators 1015.

Schmitz, Fritz. Vergleichende Unter-suchungen von basischem und saurem Hilfe der Großzahl- \mathbf{mit} forschung 278.

- Abhängigkeit der mechanischen Eigenschaften unterperlitischer Kohlenstoffstähle von ihrem Kohlenstoff-

gehalt 810.

Schmitz, L. u. Reismann, J. Fluchtlinientafel zur Berechnung des Leistungsfaktors bei Dreiphasenanlagen und -apparaten 589.

-, T. Kreisdiagramm des Asynchronmotors mit Phasenschieber 1074.

- Drehmoment eines Phasenkompensators mit Kommutierungsnuten 1074.

- Wilhelm. Demonstration der Detektorwirkung einer Verstärkerröhre

Folgerungen aus den Schmolke. Münchener Untersuchungen der spe-

zifischen Wärme d. Wasserdampfes 67. Schneider, Alois. Nachweis elektrischer Schwingungen und Teilentladungen 169.

-, Oskar. Einfluß der Lichtfarbe auf die Leistung des Sehorgans und seine Ermüdung 1521.

-, W. Umwandlungswärme des Martensits 21.

· und Eicken, H. Körniger Perlit 674. Schoen, Arthur L. Adaptation of the thalofide cell to the measurement of photographic densities 1235.

Schönborn, Herbert. Elektrische Leitfähigkeit und Umwandlungspunkte von Gläsern 1141.

Schoop, Alfred. Kasolite, nouveau minéral radioactif 1325.

Schoklitsch, Armin. Hydraulik 961. Graphische

Schoorl, N. Benutzung des Helium-lichtes für refraktometrische Untersuchungen 46.

 Verwendung von Meßgefäßen bei von der Normaltemperatur abweichenden Wärmegraden 964.

Schott, G. A. Does an accelerated Electron necessarily radiate Energy on the Classical Theory? 767.

Scattering of x-rays by hydrogen 1080. Schottky, H. Verhalten von Flußeisenblechen in der Schweißhitze 595.

- Härte v. Eisen-Nickel-Legierungen 734. - Baumannsche Schwefelprobe 1341.

- und Jungbluth, H. Rekristallisation des Gamma-Eisens im Vergleich mit der des Kupfers und Nickels

-, W. Röhrenvoltmeter und Maxwellsche Geschwindigkeitsverteilung 1657.

- Diffusionsvorgänge in der positiven Säule 1754.

- Wandströme und Theorie der positiven Säule 1754.

und Issendorff, J. von. Wärmewirkung kathodischer Gehäuseströme in Quecksilberentladungen 1499.

Regelmäß Schottländer, E. Schätzungsfehler und sie erzeuger Faktoren 138.

Schouten, J. A. Symmetrische affic veldtheorie 873.

Relative und absolute Bewegung

Huygens 1385. Schrader, A. Perlit, Troostit u Sorbit 754.

-, E. sh. Möller, H. G. 778.

Schreber, K. Temperatur des aus en Lösung entstehenden Dampfes 5 Zustand des aus einer Lösung e

stehenden Dampfes 583.

Beim Eindampfen zu beachter Eigenschaften der Lösungen 583. Schreiber, Paul. Rechentafeln zur A

wertung d. Funktion $w = a^{\alpha} b^{\beta} c^{\gamma} d^{\delta} e$ 74.

Polytropische Zustandsänderung der Gase 1708.

Anwendbarkeit der Flächennon

graphie 1709. -, W. sh. Gehlhoff, G. 1703. Schreinemakers, F. A. H. mono- and plurivariant equilib 1105.

Schriever, William. Rigidity of drawn tungsten wire at incandesce temperatures 735.

Schrödinger, Erwin. Spezifise Wärme fester Körper bei hoher Te peratur und Quantelung von Schw

gungen endlicher Amplitude 716. Gasentartung und freie Weglän 1107.

Schröter, F. Eisenverluste du gleichzeitige Magnetisierung bei zw verschiedenen Frequenzen 1580.

und Vieweg, R. Verwendung Glimmlampe zu Drehzahl- u Schlüpfungsmessungen 740.

-, K. sh. Pirani, M. 1177.

Schuchardt, Ernst. Sonderlehren 5 Schükarew, A. Magnetochemische I scheinungen 249.

Schüler, H. Spektrum des einf. ionisierten Lithiums 1590.

Schürer, E. Entwicklung der deutsch Krarup-Seekabel 249.

Aufbau und Anwendungen Pleijelspule 250.

Schütz, W. Nachweis schwacher A sorptionslinien 472.

Schüz, Emil. Weichglühen von Gra guß 527.

Schuhmann, Reinhardt. Free ener of antimony trioxide and reducti potential of antimony 1199.

huler, Max. Einwirkung periodischer | Schwaiger, A. Elektrische Festigkeits-Momente auf den Kreiselkompaß 817.

hulte, F. sh. Tauss, J. 1702. hulz. Hochfrequenzfernsprechen auf

Drähten 453.

E. H. und Püngel, W. Erholungspausen, Temperatur, Korngröße und Kraftwirkungslinien bei der Daumschlagprobe 1403.

H. Bestimmung der optischen Kon-

stanten von Metallen 929.

und Hanemann, H. Optisches Verhalten von Metalloberflächen 929. Neuere Arbeiten auf dem Gebiete der

physiologischen Optik 131, 202.

Das Glas 290.

Das Auge als Meßinstrument 859.

Glanzmessungen 1155.

Glanz und Glanzmessung 1155. hulze, Alfred. Elektrische Leitfähigkeit von Legierungen 1747.

Emil. Apparat zur Ableitung der

Stoßgesetze 343.

Vorrichtung zur Erläuterung des Dopplerschen Prinzips 868.

Erich. Beeinflussung der Schaltzeiten von Relais 1195, 1425, 1426, 1566.

Beeinflussung der Schaltzeiten von Relais durch Kondensatoren 1650. humacher, A. Hilfstafeln für die Umkippthermometer nach Richter und Beiträge zur thermometrischen Tiefenmessung 334.

E. E. sh. Harris, J. E. 502.

Earle E. Wetting of glasses by

mercury 279.

Correlation between crack development in glass while conducting electricity and the chemical composition of the glass 1657.

humann, Richard. Apparat zur Erläuterung der Entstehung von Ebbe und Flut 342.

W. O. Elektrische Festigkeit der Luft zwischen plattenförmigen Elektroden 1075, 1076.

Minimum der Durchbruchfeldstärke

bei Kugelelektroden 1152.

Moderne elektrische Schaltanlagen 1293.

hunck, H. Wechselfluß einer Eisenkernspule mit überlagerter Gleichstrommagnetisierung 842.

huster, Arthur. Prof. G. H. Quincke

721.

Acoustics of Enclosed Spaces 1318. Recording kata-thermo-E. H. J. meter 418.

nwab, Georg-Maria. Ozon 1615.

lehre 779.

Schwartz, H. A. and Flagle, W. W. Significance of Tool Temperatures as a Function of the Cutting Resistance of Metals 988.

Schwarz, Benno. Theorie des Kühlblechs. Seine Bedeutung für den

Trockentransformator 69.

-, M. v. Technische Härtebestimmungsmethoden 494.

Fallhärteprüfer 589, 647.

Zukünftige Werkstoffprüfung 662.

Vergleich zwischen kalt gerollten und geschnittenen Gewinden, besonders bei Kupferschrauben 1478. Dauerbruch einer Schraubenspindel

1311.

sh. Oebbeke, K. 289, 437.

-, Robert und Gross, Peter. Photochemische Zersetzung des Chlorsilbers 1369.

und Klingenfuss, Max. Wesen der Röntgenstrahlenwirkung auf Kontaktplatin 297.

und Stock, Heinrich. Photochemische Zersetzung des Bromsilbers 322.

Charakteristik des Schweidler, E. Stromes in schwach ionisierten Gasen

Schweikert, G. Innere Ballistik 818. Schwerdt, H. sh. Pirani, M. 866. Schwerdtfeger, Werner sh. Berg, Otto 1279.

Scortecci, A. sh. Parravano, N. 754, 1138.

Scott, Arthur Ferdinandsh. Baxter, Gregory Paul 92.

-, M. Striking potential in the lowvoltage mercury arc 536.

-- Taggert, John. Vacuum Tube in

Radio-Telephony 691. Scripture, E. W. Theory of Hearing 1408.

Searle, G. F. C. Experiment illustrating the conservation of angular momentum 156.

Focal line method of determining the elastic constants of glass 849.

Sedström, Ernst. Physikalische Eigenschaften metallischer Mischkristalle 611.

sh. Holgersson, Sven 1644.

Seeliger, R. Energieverteilung an der Kathode der Glimmentladung 176.

Elektrizitätsdurchgang durch Gase.

Bogenentladung 375. Stoßleuchten, Wiedervereinigungs-Stoßleuchten, leuchten und Anregungsfunktion 1229. Seeliger, R. und Mierdel, G. Mehrfache Glimmlichter 379.

und Schmekel, J. Normale kathodische Stromdichte der Glimmentladung 683.

- und Sommer, G. Hysteresis der Glimmentladungscharakteristik 1207.

- und Wendt, M. Anregung der Elek-Wasserstoffspektren durch tronenstoß 1229.

Seemann, H. Qualität der Röntgenstrahlen und ihre spektrographische Messung in der Therapie und Röntgentechnik 1294.

Seiffert, Alfred. Theorie der Geige auf mechanischer Grundlage 600.

-, Otto E. Gages for Setting Thread Tools 210, 340.

Seiliger, M. Geradliniges Wasserdampf-Diagramm für Normal- und Hochdruckgebiet 1023.

- Geradlinige Fluchttafeln für Gase und

Dampfluftgemische 1709.

Seitz, W. Asymmetrie der Elektronenemission an sehr dünnen Metall-schichten unter der Einwirkung von Röntgenstrahlen 1211.

Regelung der Drehzahl von Seiz. Induktionsmotoren 1151.

Selety, F. Distribution des masses avec une densité moyenne nulle, sans centre de gravité 75.

- Unendlichkeit des Raumes und allgemeine Relativitätstheorie 968.

Sell, Helmut. Elektrische Tonquelle kontinuierlich-veränderlich. Frequenz und reproduzierbarer Schallenergie 1316.

- Resonanzkurven von Membranen 1316.

 Ausmessung von Schallfeldern 1316. Sellerio, A. Esperienze sull'arco elettrico a mercurio con un catodo forato 381.

Sellman, A. H. sh. Curtis, H. L. 1727.

Semenoff, N. Messungen von Resonanz- und Ionisationsspannungen 110.

sh. Kondratjeff, V. 838.
und Walther, A. Erforschung von elektrostatischen Feldern 96.

- Erforschung von Wechselfeldern 777. von elektrischen

Parallelschaltung von Semm, A. Röhrensendern 188.

Sen, K. C. sh. Dhar. N. R. 280.

- u. - Verhalten von Silberchromat in Gelatine und Erklärung für Liesegang-Ringe 1606.

Sen, Nikhilranjan. Grenzbedingungen des Schwerefeldes an Unstetigkeitsflächen 1119.

- sh. Laue, M. v. 1713, 1763.

-, Nripendra Nath. Higher Order Tides in Canals of Variable Section

Sende, M. und Wiarda, G. Drehung der Polarisationsebene des Lichtes in Flüssigkeiten durch ein magnetisches Feld 1367.

Senftleben, Hermann sh. Ladenburg, Rudolf 1166.

Sethi, Nihal Karan. Effect of a retarding plate on white light interferometer fringes 1082.

Sexl, Theodor. Dichtebestimmungen submikroskopischer Körperchen 1135.

Seyewetz, A. sh. Lumière, L. 1691. 1692.

Shackelford, B. E. Temperature and blackening effects in helical tungsten filaments 53.

Shackleton, S. P. and Purcell, H. W Relays in the Bell System 1073 Shambaugh, Geo E. sh. Knudsen

V. O. 666.

Shand, E. B. Limitations of Output of a Power System Involving Long Transmission Lines 1351.

Shanklin, G. B. High Tension Underground Transmission Practice 544

Shapley, Harlow. Relative velocity of blue and yellow light 304.

Sharma, R. K. sh. Sur, N. K. 1687. Shave, L. S. sh. Lees, Chas. H. 1716. Shaver, W. W. Äußerstes ultraviolettes Spektrum des Kohlenstoffbogens 1362.

Shaw, I. I. Mouvements microsismiques 14.

Identité des sismogrammes de même origine 14.

-, Napier. Vertical Change of Wind and Tropical Cyclones 1037.

Shaxby, J. H. and Evans, J. C. Properties of Powders 82.

Sheard, Chas. Uniocular and Binocular Fusion Comparisons 329.

Shearer, G. Relation between Molecular and Crystal Symmetry shown by X-Ray Crystal Analysis 823

and Astbury, W. T. Molecular and

Crystal Symmetry 361.

— X-Ray Investigation of Organic Esters and Other Long-chain Compounds 672.

sh. Müller, Alex 672.

Shedlovsky, Theodore Mad sh. Innes, Duncan A. 1598.

heen, A. R. and Turner, W. E. S. Effect of titania on the properties of

glass 416.

heldon, H. H. Charcoal activation 662. henstone, A. G. Ionisation Potentials of Copper and Silver 444.

heppard, S. E. Silver Nucleus

Theory of Development 1102.

Gelatin in the Photographic Process

Dispersity of the Silver Halides in Relation to their Photographic Properties 1519.

sh. Trivelli, A. P. H. 1233.

sh. Wightman, E. P. 573, 714. and Elliott, F. A. Instrument for measuring the swelling of gelatin on rigid supports 1620.

and Sweet, S. S. Interfacial tension between gelatin solutions and toluene

813.

and Trivelli, A. P. H. Influence of crystal habit on the photochemical in silver bromide decomposition crystals 1099.

- and Wightman, E. P. Exposure

theories 573.

- Svedberg's Method of Grain Analysis of Photographic Emulsions 1103. and Wightman, E. P. Theory of photographic sensitivity 945.

and Trivelli, A. P. H. chemistry of development and sen-

sitizing nuclei 1013.

Elliott, Felix A. and Sweet, S. S. Photographic chemistry of gelatin 574.

hewhart, W. A. Applications of Statistical Methods to the Analysis of Physical and Engineering Data 1180. himizu, Takeo. Sensitive Electro-

scope 1563. hook, G. A. Combined illuminometer and reflectometer 1373.

Portable glarimeter 1681.

houlejkin, Was. Color of the sea 1220. hrader, J. E. Corona in Air Spaces in a Dielectric 1003.

Calorimetric method for measuring power factor of insulating materials at radio frequencies 1153.

arum, G. M. Doublet Separation of the Balmer Lines 1361.

nutt, William James sh. Griffith,

Robert Owen 942.

dgwick, N. V. Nature of the nonpolar link 898. ebel, Erich.

Kaltverformung kristallin bildsamer Körper 359.

Überlastungen von eber, F. gekühlten Transformatoren 1505. Sieberg, A. Erdbeben und Vulkanausbrüche des Jahres 1923 986.

und Gutenberg, B. Erdbeben in der chilenischen Provinz Atacama 987.

Sieg, L. P. and Smith, C. R. Effect of the material composing the sides of deep slits on the intrinsic intensity of light transmitted by the slits 1013.

Siegbahn, Manne. Degré d'exactitude de la loi de Bragg pour les rayons X

Röntgenstrålarnas totalreflexion 405. Spektroskopie der Röntgenstrahlen

789.

Röntgenographisch-chemische Untersuchungen 1666.

und Žáček, August. Relative Intensität der K-Linien in Röntgenspektren 402.

Siegel, E. Zusatztransformatoren 251.

Siegler, Eugenie und Cernatesco, R. Potential der Metalle in reinen Flüssigkeiten 994.

Sieglerschmidt, H. Längenänderungen zugbelasteter Drähte beim Biegerollenversuch 734.

Silberstein, L. Curvature Invariant of Space-Time 1711.

sh. Rankine, A. O. 1178.

-, Ludwik. True Relation of Einstein's to Newton's Equations of Motion 275.

Propagation of light in rotating systems 78.

Spectrum of helium 705.

Crossed-orbit model of helium, its ionization potential, and Lyman series 706.

Radial Velocities of Globular Clusters, and de Sitter's Cosmology 1121.

Curvature of de Sitter's Space-Time derived from Globular Clusters 1712. Silsbee, Francis B. Methods for

Testing Current Transformers 846. Mathematical theory of induced voltage in the high-tension magneto

Simeon, F. Carbon Arc Spectrum in the Extreme Ultra-Violet 1453, 1454.

Simms, Henry S. Water-jacketed hydrogen electrode 832.

Simon, Alfred W. Quantitative theory of the influence electrostatic generator 1653.

-, Franz. Chemische Konstante des

Quecksilbers 474.

und Simson, Clara v. Kristallstruktur des Chlorwasserstoffs 902. - Kristallstruktur des Argons 903. Simon, H. Ionisationsmanometer 1306. Simonds, D. T. sh. Kleeman, R. D. 96. Simons, Donald M. Rating of Cables in Relation to Voltage 631.

- Cable Geometry and Calculation of Current-Carrying Capacity 1775.

Low-velocity X-ray Elec--. Lewis. trons 109.

– Emission of β - and α -rays from a Metallic Film, and Relation to the Quantum Theory of Scattering of X-rays 1766.

Simonsen, Ivar Hull. Dynamische Prüfung des Stahles bei höheren Temperaturen 1623.

 sh. Körber, Friedrich 494.
 Simpson, G. C. Origin of Electricity in Thunderstorms 1062.

Simson, Cl. v. Röntgenuntersuchungen an Amalgamen 1274.

- sh. Simon, Franz 902, 903. Sinden, R. H. Subjective Saturation of Spectral Hues. Individual Variations of the Normal Color-Sense 1020.

Singer, Felix. Steinzeug als Konstruktionsmaterial f. Hochspannungsisolatoren 1076.

Sipp, K. Perlitgußeisen 148.
– sh. Bauer, O. 22.

Sissingh, R. sh. Lakeman, C. 1058. Sjöström, Martin. Gustaf Granqvist 721.

Skaupy, Franz. Problem des Atoms und der Strahlung 727.

Skinker, M. F. Motion of Electrons in

Carbon Dioxide 1757.

— and White, J. V. Motion of Electrons in Carbon Monoxide, Nitrous Oxide, and Nitric Oxide 1758.

Skinner, C. A. Polarimeter and its practical applications 851.

-, H. W. B. sh. Ellis, C. D. 1441, 1442. Skobelzyn, D. Sekundärstrahlung der γ -Strahlen 1440.

Slater, J. C. Compressibility of the alkali halides 1328.

Radiation and Atoms 1530.

Slattery, Mabel K. Crystal structure of metallic selenium and tellurium 524.

Slaughter, N. H. and Wolfe, M. V. Carrier Telephony on Power Lines

Slepian, J. sh. Peters, J. F. 40. Sligh, Jr., T. S. sh. Osborne, N. S. 271.

Slutz, C. C. Relation Between Inches and Millimeters 587.

Smedt, J. de et Keesom, W. H. Structure atomique de l'oxyde azoteux solide 1645.

Smekal, Adolf. Quantelung nicht bedingt periodischer Systeme 652, 1124. Quantentheorie der Dispersion 729.

Smellie, P. Dampfdruck von Arsen-

oxyd 478.

Smissen, W. van der. Theorie der Zentrifugalpumpen 601.

Smith, Alexander 1025.

-, Alpheus, W. Thermal conductivities of alloys 956.

-, Alva sh. Wenner, Frank 1494. -, Arthur W., Campbell, Edward D.

and Fink, William L. Effect changes in total carbon and in the condition of carbides on the magnetic properties of steel 1146.

-, C. F: Lateral Enlargement or Re-

duction 119.

Refractograph 458.

Viscosity and molecular dimensions of hydrogen selenide 1539.

-, C. Michie 1025.
-, C. R. sh. Sieg, L. P. 1013.
-, Clarence R. Effect of the material

composing the sides of deep slits on the intrinsic intensity of light transmitted through the slits 574.

-, C. W. Application of the recently adopted transmission unit 1774.

-, David F. and Taylor, Nelson W. Pressure-measuring device 1529.

-, Earl B. Accelerometer for Measing Impact 963.

-, Edgar Reynolds sh. McInnes. Duncan A. 532. –, Harold B. Su

Suspension-type insulator 1677.

-, John H. Bleach-out process of

colour photography 1370.

-, J. J. Solution of differential equations by a method similar to Heaviside's 1707.

-, Leighton B. and Taylor, Robert S. Melting point of ice on the absolute temperature scale 70.

- Equation of state for pure nitrogen.

gas pĥase 1610. --, P. K. sh. Mills, J. E. 414.

-, Sinclair. Spectrograph 1793.

-, T. Townsend. Spherical Aberration in Thin Lenses 1216.

-, U. M. sh. Karrer, Enoch 575.

Smits, A. System Sulphur Trioxide 363. Electromotive Behaviour of Mag-

nesium 369. Complexity of the Solid State 1798.

Smyth, Charles P. sh. Richards, Theodore W. 205.

nyth, F. Hastings and Adams. Leason H. System calcium oxidecarbon dioxide 755.

H. D. Method for Studying Ionising

Potentials 444.

Ionisation of Nitrogen by Electron Impact 445.

Ionization of hydrogen by electron

impact 999.

low, A. Attaching silver thimbles to the ends of glass tubes 871.

bti, Bodh Raj sh. Yajnik, N. A.836. ciété Genevoise. Bench Micrometer 211,

oddy, Frederick 721.

Origins of the conception of Isotopes 1554.

bller, Walter. X-ray crystal analysis of materials in their natural state, with an improved spectrometer 1332. Precision x-ray spectrometer 1779. mieski, Karlsh. Stock, Alfred 664. omigliana, C. Fondamenti della relativita 75.

Questioni di elastostatica 1257.

ommer, G. sh. Seeliger, R. 1207. ommerfeld, A. Coupled oscillations

of a helical spring 81.

Model of the neutral helium atom 90. Note on Brewster's Law 118, 304. Einheitliche Auffassung des Balmerschen und Deslandresschen Termes

Regularities in the screening constants of Röntgen spectra 123.

Allgemeine spektroskopische Gesetze, insbesondere ein magnetooptischer Zerlegungssatz 214.

Deutung verwickelter Spektren (Mangan, Chrom usw.) nach der Methode der inneren Quantenzahlen 215.

Spektroskopische Magnetonenzahlen 261.

Erforschung des Atoms 741.

Theorie der Multipletts und ihrer

Zeemaneffekte 1010.

Struktur des Eisenspektrums 1591. und Heisenberg, W. Relativistische Röntgendubletts und Linienschärfe 726.

omville, O. miques 14. Mouvements microsis-

Constantes des Pendules Galitzine 14. Code de transmission des télégrammes

onier, Paul. Plaques minces-rectangulaires simplement encastrées 1321. oreau, Rodolphe. Lois de variation des caractéristiques de l'air standard

avec l'altitude 65.

Sorensen, Royal W. Million volt transformer 845.

Sorrel, V. Capacités de polarisation en courants alternatifs 833.

Sotter, E. sh. Tammann, G. 440. Soule, F. M. sh. Wenner, F. 1649. Southall, James P. C. Huygens'

Contributions to Dioptrics 457.

Southworth, G. C. Dielectric properties of water for continuous waves 1201.

Späte, Friedrich. Untersuchung von Glas mittels des polarisierten Lichtes

Spampinato, N. Basi fisiche della Relatività 1122.

Dichte und Licht-Spangenberg, K. brechung der Alkalihalogenide 304. Kinetik des Wachstums- und Auf-

lösungsvorganges von einfachen Ionengittern in wässeriger Lösung 1050.

Sparre, de. Coups de bélier dans les conduites de refoulement 151.

Dépressions résultant d'une rupture dans une conduite forcée 424.

Calcul des grandes trajectoires des projectiles 1132.

Spath, Walter. Durchschlagseigenschaften v. Transformatorenölen 1152.

Speakman, J. B. sh. Whytlaw-Gray, R. 599, 600.

Speidel, Alfred. Einfluß des Aufrauhens auf die Lösungstension der Metalle 1197.

Speiser, A. Theorie der Gruppen von endlicher Ordnung 1706.

Spencer, Leo. Diffusion of Oxygen through Silver 1543.

-, R. C. sh. Richtmyer, F. K. 1688. Speyerer, Helmuth. Zähigkeit des Wasserdampfes 598,

Speyers, Clarence L. sh. Richards, Theodore W. 1312.

Spiegler, Gottfried. Demonstration der Spaltwellen eines gekoppelten elektromagnetischen Systems 1387.

Die Notwendigkeit eines Heizstromamperemeters bei Coolidgeröhrenbetrieb 1677.

und Rosner, Josef. Messungen beim Betrieb des Coolidge-Therapierohres 1678.

Transformatoren für Pro-Spies, P. jektionsglühlampen 391. Spijkerboer, J. Vertrooiing van Licht

in de aardsche atmosfeer 193.

Dispersion of Light by Irregular Refraction and by Molecular Scattering 1219.

Spilsbury, R. S. J. Instrument for Steinert, Arthur. Hitzdraht-Meß. workshop tests of current transformers 1564.

Spoehr, H. A. Reduction of carbon dioxide by ultraviolet light 944. Sponer, H. Freie Weglängen langsamer

Elektronen in Edelgasen 91.

- sh. Minkowski, R. 1714, 1751, 1789. Sponsler, O. L. Structural units of starch determined by X-ray cristal structure method 671.

- X-ray reflection from very thin

crystals 1356.

Spooner, T. Tooth Pulsation in Rotating Machines 1579.

Spranagen, William. Research Achievements of 1923 497.

Ssemenoff, N. N. sh. Kapitza, P. L. 742.

- und Kudrjawzewa, W. M. Räumliche Potentialverteilung beim Stromdurchgang durch Gase 614.

Staeble, F. Durchrechnungsformeln für windschiefe Strahlen 1680.

Stäblein, Fritz. Einfluß des gebundenen Kohlenstoffs auf den spezifischen Widerstand des Eisens 173, 532, 905, 913.

- Zusammenhang zwischen Belastungsstromstärke und Temperatur an frei ausgespanntem Widerstandsmaterial

Staeger, F. Messung der Brenn- und Schnittweiten optischer Systeme 924.

Stamm, Alfred J. sh. Mathews, J. Howard 1183.

Stammelman, Mortimer J. sh. Fales, Harold A. 531.

Stanley, Frank A. Ruling 15000 Lines Per Inch 586.

Staring, A. J. sh. Perrier, Albert 182, 619.

Starling, S. G. Levels and level bubbles 430.

States, M. N. Coefficient of viscosity of helium and coefficients of slip of helium and oxygen by the constant deflection method 1538.

Staveren, J. C. van. Prüfung von Hochspannungskabeln 698.

Stead, G. Design of Soft Thermionic Valves 1576.

Steel, Carolyn sh. Porter, C. W. 202. Stefanini, A. Fonimetro di Zwaardemaker e misura fisiologica del suono

Steigmann, A. Theorie d. photographischen Lichtempfindlichkeit 1102. Stein, H. sh. Oberhoffer, P. 526. geräte mit Präzisions-Temperaturkompensation 1059.

Untersuchungen über Steinhoff, E. Silikasteine 1403.

u. Mell, Maria. Porositätsbestimmungen an feuerfesten Steinen 1476.

Steinle, A. Optische Meßverfahren für den Werkzeug- u. Maschinenbau 586. - Optische Zahnradprüfungen 802.

Steinmetz, Charles Proteus 273,

337, 481. sh. Hayden, J. L. R. 845.

— H. Kristallform des Eises 232. Steinwehr, H. von sh. Jaeger, W. 1652.

Steitz, Karl. Differenz der Suszeptibilitäten von Gelatinezylindem mit künstlicher Anisotropie 625.

Stelling, Otto. Zusammenhang zwischen chemischer Konstitution und K-Röntgenabsorptionsspektrum 819.

Stenger, Erich und Herz, Alfred. Photographische Bilderzeugung durch bildmäßige Abstufung geeigneter chemischer Agenzien 640.

Steno, Nikolaus. Feste Körper, die innerhalb anderer fester Körper von Natur aus eingeschlossen sind 437.

Stenz, Edward. Radiation solaire à Jungfraujoch 1158.

Stepanow, D. sh. Isgarischew, N. $\bar{1}204.$

Stern, O. sh. Estermann, J. 236.
– sh. Gerlach, Walther 1622.
Sterzel, K. A. Statisches Meßgerät für sehr hohe Wechselspannungen 530.
– Technische Strahlendiagnostik, inshesendere des Figure 604, 1272.

besondere des Eisens 604, 1273. Strahlenschwächung bei Durchgang hochfrequenten Spektrallinien und heterogenen Strahlungen durch das Untersuchungsstück 826.

Der hochfrequente Strahl im massenerfüllten Raum und die Streu-

strahlungskorona 827.

Steubing, Walter und Toussaint, Mia. Veränderlichkeit des Stickstoffbandenspektrums durch Edelgase 635.

Stewart, C. J. Measurement of air speed in aeroplanes 1046. -, G. W. Demonstration of the variable

character of the vowel \bar{e} 430. Acoustic wave filters in series 986.

Acoustic wave filters 1547, 1548.

-, John Q. Opacity of an ionized gas 459. Width of absorption lines in a

rarefied gas 1086. - Problem of gas-opacity 1780. tiles. Walter. Coefficients of Diffusion in Gels 502. timson, H. F. sh. Osborne, N. S. 271.

tintzing, H. Physikalische Grundlagen der quantitativen chemischen Analyse durch Röntgenemissionsspektren 1228.

Röntgenspektra und periodisches Sy-

stem 403.

Röntgenmethodik 403.

Hochvakuum-Meßinstrumente 964. Quantitative chemische Analyse durch

Röntgenstrahlen 1091.

Hochvakuum-Quecksilber-Dampfstrahlpumpe 1529.

Röntgenographisch-chemische Unter-

suchungen 1667. tobbe, Hans. Phototropieerschei-

nungen 125. tock, Alfred. Dampfdruck-Thermo-

meter 580.

Das Atom 741.

-. Kuss, Ernst und Somieski, Karl. Experimentelle Behandlung flüchtiger Stoffe 664.

-, Heinrich sh. Schwarz, Robert

322.

tockdale, David. Polymorphism in an intermetallic compound 164. töckel, K. sh. Höpfner, K.

töger, Camillo sh. Kremann, Robert 280.

törmer, Carl. Höhe und Lage des Nordlichtes am 22. März 1920 465. Ultraviolette Nordlichtstrahlen 465. - Résultats des mesures photogrammétriques de l'aurore boréale du

22-23 mars 1920 465.

-, Rud. Photoelektrische Ströme 793. toess, Walter. Messen mit dem Martensschen Photometer und Veränderlichkeit photograph. Schwärzungen 1792.

tötzer†, H. sh. Foerster, F. 101. tokvis, L. G. Théorie générale des machines synchrones à courant alter-

natif 43.

des systèmes tri-Décomposition

phasés 1504.

Recherches radiographiques toll, P. d'après la méthode Debye et Scherrer

Coagulation de l'or colloïdal 525. tolt, Helge. Rotation des elektrischen Lichtbogens bei Atmosphärendruck

Existenz des Lichtbogens bei nicht

glühender Kathode 1757.

topford, Chas. W. sh. Darling, Chas. R. 1741.

Determination of Stor-Rank, Edvin A. Zapfenreibung in keilnutenförmigen Lagern 157.

Story, Le Roy G. sh. Anderson. Ernest 498.

Stotz, Rudolf sh. Meyer, Hans Th. 1278.

Strand, O. Berechnung von Stahl-

aluminiumleitungen 1447. Straneo, Paolo. Trasformazione di

Voigt-Lorentz nella fisica classica e nella fisica relativista 76.

Stranski, Iwansh. Günther, Paul 829. Strasser, H. Einsteintransformation in der X-T-Ebene 1399.

Straub, Walther. Kinematographische Reproduktion garphischer strierungen 304.

Strauss. Der Schwarzschildsche Expo-

nent 1232.

Strecker, Felix. Abhängigkeit der Frequenz des Röhrensenders von der Heizung der Röhre und der Anodenspannung 545.

Erweiterung der perspektivischen Skalen zu Rechentafeln 1250.

- Perspektive Methoden der Nomographie 1251. Strehl, Karl. Zonenfehler 1295.

Stribeck, R. Dauerfestigkeit von Eisen u. Stahl bei wechselnder Biegung 146.

Strobl, G. M. sh. Häusser, F. 1127. Strömberg, Ragnar. Einwirkung des Lichtes auf Bromsilber 61.

Strohhäcker, Immanuel. Entladungsspannungen in Wasserdampf 1660.

Stroman, A. Klingende Tropfen und Siedegeräusche 868.

Strum, L. Die Überlichtgeschwindigkeit in der speziellen Relativitätstheorie 420.

Struve, G. Zur Frage der Lichtablenkung 1122.

Stuart, A. H. Natural vibration of aeroplane spars 809.

Stubbings, G. W. Three-p balanced load wattmeters 1496. Three-phase

Stubenrecht, Leo. Druckpumpe für zähe Flüssigkeiten 1130.

Stühler, Peter sh. Wüst, Fritz 526.

Stuhlman, jr., Otto. Minimum velocity of impact to produce secondary electron emission from tungsten 1000.

Sucksmith, W. and Bates, L. F. Null Method of Measuring the Gyro-Magnetic Ratio 1145.

Sudria. Position des flèches dans une poutre fléchie 156.

Sugden, Samuel. Surface Tension from the Maximum Pressure in Bubbles 983.

Variation of Surface Tension with

Temperature 984.

 Influence of the orientation of surface molecules on the surface tension of pure liquids 1626.

Relation between surface tension, density, and chemical composition

1626.

Sugiura, Y. sh. Nagaoka, H. 1160,

1513, 1641, 1684, 1786.

Suhrmann, Rudolf. Abhängigkeit der Elektronenemission von der Gas-

beladung der Metalle 1098.

 (Nach gemeinsam mit Richard Fleischer ausgeführten Versuchen.) Beeinflussung des Widerstandes im Vakuum geglühter Platinfolien durch Entgasung und Strukturänderung 103.

Sun, Kuo-Feng. Electrolytic capacity and resistance of Pt-Rhodamine B-Pt

Cell 1495.

Sundell, A. F. Elektriska gnistans

ledningsmotstånd 380.

Sundqvist, M. Abbildung von ausgedehnten, achsensenkrechten Ebenen durch eine brechende Kugelfläche mittels dünner, genau normal einfallender Büschel 1354.

Sur, N. H. sh. Saha, M. N. 1790. -, N. K. und Sharma, R. K. sorptionsspektren von Blei und Zinndampf 1687.

Scattering of Light by Smoky

Quartz 1452.

Sutherland, G. A. Auditorium acoustics and the loud-speaker 1724. Svedberg, The. Die Dekadenz der

Arbeit 271.

Swain, Lorna M. sh. Berry, Arthur 1479.

Swann, W. F. G. Structure of the Atom

- Theory of the action of the earth's potential-gradient in measurements with the Ebert ion-counter 1067.

- Electromagnetic theory of radiation

pressure 1680.

- Absence of Ionization by Electrons with Speeds comparable with that of Light 1764.

Swanson, C. O. Graphical Solution of Ratios in Temperature-Concentration Diagrams 1252.

Sweet, S. S. sh. Sheppard, S. E. 574, 813.

Syrkin, J. K. Kinetische Begründung der chemischen Affinität 4.

Determination of | Szabó, L. Berechnung der kritischen Drehzahl von Wellen 589.

Szegő, Eugen. Röntgenstrahlen-gemisch bei Änderung einiger Be-triebsbedingungen beim Transformatorenbetrieb 548.

Székely, Angelika. Art des Elektrizitätsüberganges zwischen Metallen,

die sich lose berühren 838.

Szilard, B. Actinomètre destiné à la mesure de l'ultraviolet solaire 1295. Szivessy, G. Dispersion der magneti-schen Doppelbrechung 125.

Elektrooptischer Kerreffekt bei Gasen

1690.

Szolnoki, Imre. Anwendung des Eötvöseffekts im bewegenden Sonnensystem 1402.

Szyszkowski, Bohdan. Dilution law for uni-univalent salts 1064.

T.

Taeger, Werner. Regelung der Drehzahl von Gleichstrommotoren mittels Glühkathodenröhren 1151.

- Einfluß der Gleichstrom-Drosselspule auf den Leistungsfaktor des Wechselbeim Quecksilberdampfstromes

Gleichrichter 1503.

Taffel, Alan. Temperature of maximum density of aqueous solutions 498. Takahashi, Yutaka. Band Spectra

and Molecular Structure 1788.

Takamine, T. sh. Hansen, H. M. 58. - and Fukuda, Mitsuharu. Spectra of Constricted Arc of Metals 1595. Tallqvist, Hj. Lord Kelvins hundraårs

minne 1617.

Tammann, G. Chemisches Verhalten fester Stoffe 434.

Lehrbuch der heterogenen Gleich-

gewichte 957. Zustandsänderungen der Materie in Abhängigkeit von Druck und Temperatur 957.

Spannungen der Daniellketten mit flüssigen Chloriden und Spannungsreihe der Metalle in flüssigen Chloriden 1198.

Chemische Veränderungen auf Gleitund Spaltebenen von Kristallen 902

Atomverteilung in Mischkristallreiher 1648.

und Bredemeier, H. Einwirkung von Sauerstoff und Halogenen au metallische Mischkristalle, Metalle und binäre Verbindungen 1340. und Dahl, K. Sprödigkeit metalli

scher Verbindungen 5.

ammann, G. und Diekmann, H. Kennzeichen der Gasabgabe von

pulverförmigen Körpern 1314. und Grevemeyer, K. F. Thermische Effekte auf den Erhitzungskurven von BaO, SrO und CaO und ihren Carbonaten im Graphitrohr 288.

und Hansen, M. Ternäres System

Kupfer-Zinn-Zink 1648.

und Koch, A. Elektromotorisches Verhalten der Verbindung Co Sn 1199. Krings, W. Unterschiede zwischen Mischkristallen aus Schmelzen und aus Lösungen 437.

und Mansuri, Q. A. Härte der Amalgame des Sn, Pb, Zn, Cd und Cu, sowie der ternären Amalgame

Ag Sn Hg 904.

und Marais, C. F. Die Temperaturabhängigkeit der Spannungen von

Cadmiumamalgamen 1653.

und Pape, W. Wasserverlust des Kaolins und sein Verhalten im festen Zustande zu den Carbonaten und Oxyden der Erdalkalien 477.

und Schafmeister, P. Verteilung eines Metalles zwischen zwei flüssigen

metallischen Phasen 1648.

und Sotter, E. Elektrochemisches Verhalten der Legierungen des Eisens mit Chrom, des Eisens mit Molybdän und des Eisens mit Aluminium 440.

ampier, Louis sh. Moureu, Charles 1747. ams, E. Tägliche Perioden in der

Stoßfrequenz der vogtländischen Erd-

bebenschwärme 350, 1631. Abschätzung von Erdbebenintensi-

täten 1725.

anaka, T. Cathodo luminescence of solid solutions of forty-two metals

Active agents in luminescent zinc sulphides, willemites, and kunzites 1515.

apley, Mark W. sh. Schlesinger, H. J. 933.

argonski, A. Künstliches Licht im Kinoaufnahmeatelier 127.

Quantelung des artakowsky, P. asymmetrischen Oszillators elastisches Spektrum 654.

Theorie der Bandenspektra 1513. ate, John T. Effect of Angle of Incidence on the Reflection and Secondary Emission of Slow Moving

Electrons from Platinum 685. Spectroscopic evidence of impact ionization by positive ions in mercury vapor 998.

Tauss, J. und Schulte, F. Zündpunkt unter Druck 1702.

Taylor, A. H. sh. Luckiesh, M. 264.

- sh. Rosa, E.B. 1016.

-, C. A. and Rinkenbach, Wm. H. Specific heats of trinitrotoluene, tetryl, picric acid and their molecular complexes 1108.

-, C. S. sh. McKelvy, E. C. 479.

-, E. Wilfred. Primary and secondary image curves formed by a thin achromatic object glass with the object plane at infinity 848.

-, G. F. Drawing metallic filaments and their properties and uses 1249.

-, G. I. Motion of a Sphere in a Rotating Liquid 978.

Motion of Solid Bodies in Rotating Fluids 980.

- Experiments with Rotating Fluids

1719.

and Elam, C. F. Distortion of an Aluminium Crystal during a Tensile Test 18.

-, H. Austin and Lewis, W. C. M. Anthracene dianthracene reactions, photochemical and thermal 1606. -, H. Dennis. Optical designing as

an art 120. -, Hugh Stott sh. Anderson, jr., William Theodore 944.

- sh. Beebe, Ralph Alonzo 1183. -, Johnstone. Inspection Methods in

a Steel-Ball Factory 74.

-, L. W. Method of utilizing polarized light in crystallographic analysis 930.

-, Mary sh. Appleton, E. V. 1675. -, N. W. sh. Hildebrand, J. H. 427. - sh. Smith, David F. 1529.

-, Paul B. Drop electrode in molten salt electrolyte 171.

- Free energy of ions measured by capillary electrode 1743.

sh. Moffitt, G. W. 1154.

-, Robert S. sh. Smith, Leighton B. 70, 1610.

-, T. H. Pipette 646.

-, T. S. Surface transfer of heat 580.

- Air flow through tubes 983.

Teago, F. J. Nature of the magnetic field produced by the stator of a three-phase induction motor 778.

Tear, J. D. Optical constants of liquids for short electric waves 396. Radiometer construction 1158, 1360.

- sh. Nichols, E. F. 387, 1793.

Techel, H. Schichtmetazentrum 223. Teichmüller, J. Induktivität, Leistungsfaktor und Wirkwiderstand der Wechselstromleitungen 694.

stitut der Technischen Hochschule in Karlsruhe 1385.

Terenin, A. Photographische Methode

im Ultrarot 1233. Terni, Iole. Teoria delle distorsioni elastiche 809.

Terrenoire, J. Réglage de la vitesse des moteurs asynchrones 1352.

Terrill, H. M. Loss of velocity of cathode rays in matter 243.

sh. Davis, Bergen 360.

Tertsch, H. Folgerungen aus den

Gitterstrukturen für ${
m Ti\,O_2}$ 1327. Terzaghi, Karl v. Berechnung der Durchlässigkeitsziffer des Tones aus dem Verlauf der hydrodynamischen Spannungserscheinungen 152.

- Beziehungen zwischen Elastizität und

Innendruck 1258.

Tesche, O. Wärmeleitfähigkeit tech-

nischer Materialien 1242.

Teucke, Karl. Strahlung von Oxyden, hervorgerufen durch intensive Kathodenstrahlen 1223.

Thalau, K. Berechnung freitragender Flugzeugflügel in zwei- und dreiholmiger Steifrahmenform 1268.

Thaller, R. Mediaröhre und Doppelfokusröhre 1678.

sh. Berg, Otto 1279.

Thein, Hubert. Gasreinigung durch Elektrizität 1208.

Thiel, A. und Hammerschmidt, W. Zusammenhang zwischen der Überspannung des Wasserstoffs an reinen Metallen und gewissen Eigenschaften der Metalle 915.

- und Ritter, F. Dampfdruck von

Kohlenstoff 582.

Schmelzbarkeit des Kohlenstoffs in der Hitze des elektrischen Lichtbogens 644.

Zeitliche Anderung der Thiele, Joh. Thermokräfte bei Eisen, Nickel und Kobalt nach dem Ziehen oder Magnetisieren 441.

Thielsch, Kurt. Stand der Untersuchung von Korrosionserscheinungen an Kondensatorrohren 290.

Thiem, Walter. Farbenphotographie 641.

Thimann, Wilhelm sh. Paneth, Fritz 1560.

Thimme, Thea. Kristallstruktur von

Zink und Cadmium 990. Thoma, D. Dämpfung von Maschinen.

schwingungen 1265. Lösung der Netz-Thomälen, Ad. gleichungen 1352.

Teichmüller, J. Lichttechnisches In- | Thomas, H. A. Relay and its application to sustaining pendulum vibrations 352.

-, J. S. G. Forced Convection of Hear from a Pair of fine heated Wires 475 Thermometric Anemometer 1035.

Thermal Effect produced by a slow Current of Air flowing past a Series of fine heated Platinum Wires 1537

Hot-wire Anemometer: its Application to the Investigation of the Velocity of Gases in Pipes 1260 -, Percy H. Superpower Transmission

Economies 844.

Type of High-Tension Network 1508

-, T. Y. Equality of Tensors 1245 -, W. N. sh. Jenkin, C. F. 733. -, W. Norman. Effect of scratches and

of various workshop finishes upor the fatigue strength of steel 147.

Thompson, Frank Charles and Whitehead, Edwin. Changes in Iron and Steel at Temperature below 280°C 112.

- Properties of the α and β forms of the carbide of iron 163.

-, F. S. sh. Appleton, E. V. 1213 -, Gartha. Temperature Coefficient of

the Refractive Index of American Turpentine 850.

projectile 159. Motion of a falling chronograph

Beams with loads irregularly distributed 1181.

Thomson, G.P. Test of a Theory of Radiation 252.

-, J. J. Electron in chemistry 228, 229 898.

Electron - Theory of Chemistry Changes in chemical properties produced by the substitution of one element or radicle by another, with applications to benzene substitutions 354.

Polarisation of Double Bonds 436 Recombination of Gaseous Ions 951

Thorade, H. Harmonische Schwin gungen bei Berücksichtigung de Reibung 1247.

Thorén, Fritz. Elektrolytische Aus fällung von Nickel in disperser Forn

916.

Thorner, W. Fernpunktsucher 303 Thornton, W. M. Periodic Law 356. Curves of the

Thorsen, V. Seriefremstilling af Guld og Blys Liniespektre 401.

Thunberg, T. Neuer Weg v. d. Kohlen säure zum Formaldehyd. Theorie de Kohlensäureassimilation 325.

ichanovsky, J. J. Farbe der Polari- | Tolman, Richard C. and Badger, sationskomponenten des Himmelslichtes 1451.

iede, Erich und Schleede, Arthur. Lumineszenzerregung durch aktiven

Stickstoff 55.

Équations de l'électroiercy, G. magnétisme 76.

Transformation de mouvement circulaire en mouvement rectiligne alternatif 1321.

Amplitude du mouvement rectiligne alternatif obtenu par l'emploi d'une came orbiforme régulière 1322.

Grandezza dei granuli di ieri. L. una soluzione birifrangente di ferro colloidale e costante di Avogadro 854.

ietjens, Oskar. Turbulenzproblem

Bestimmung der Erdietze. C. beschleunigungskonstante g im physikalischen Arbeitsunterricht 866.

immermans. Jean. Dichte von Flüssigkeiten unter 0º 211.

Solubilité mutuelle des liquides sous

pression variable 1187.

Température de congélation de substances organiques capables de servir de repères pour l'échelle des basses températures 1698.

imoschenko, S. Kippsicherheit des gekrümmten Stabes mit kreisförmiger

Mittellinie 891.

impanaro, Seb. Esperienze di fotoelettricità 61.

Velocità della luce 1113, 1400.

Nota sul Lorentz 1305.

itus, E. Y. sh. Hainsworth, Wm. R. 1189.

izard, H. T. and Pye, D. R. Ignition of Gases by Sudden Compression 1701.

odd, George W. Variation of the Specific Heat of a Gas With Temperature 1797.

and Owen, S. P. Vapour Pressure

Equation 1800.

oivonen, J. Chemisches und optisches Verhalten einiger Bicyclopentanund Cyclopentenderivate 255.

olman, R. C. sh. White, E. C. 339. , Richard C. Temperature coefficient of photochemical reaction rate 470. - Duration of molecules in upper

quantum states 1125, 1192.

- Rotational specific heat of hydrogen

952. - Rotational specific heat and half quantum numbers 1696.

Richard M. Entropy of diatomic gases and rotational specific heat 1697.

and Mott-Smith, Lewis M. Apparatus for determining the mass of the

carrier in metals 241.

-, Karrer, Sebastian and Guernsey, Ernest W. Experiments on the mass of the electric carrier in metals 225.

Tolmie, J. R. Characteristic surface of the triode 1446.

Tomaschek, R. Michelsonversuch mit Fixsternlicht 967.

Verhalten des Lichtes außerirdischer Lichtquellen 966.

Tomkins, J. A. Measurement of the Principal Curvatures of a Surface 1217.

Tonks, Lewi. Characteristics of iron in high frequency rotating magnetic fields 622, 1147.

Tool, A. Q. and Eichlin, C. G. Effects produced by chilling glass 1243.

Toussaint, A. sh. Maurain, Ch. 151.

-, Mia. Struktur- und Intensitätsänderungen im Bandenspektrum durch molekulare Einwirkung 564.

- sh. Steubing, Walter 635.

Townend, Donald T. A. sh. Bone, William A. 133.

Townsend, J. S. Ionization by Collision 446.

Velocity of Electrons in Gases 445.

Ionization by Collision in Helium1762.
 and Ayres, T. L. R. Ionization by Collision in Helium 997.

and Bailey, V. A. Motion of Electrons in Helium 177.

 Motion of Electrons in Argon and in Hydrogen 445.

and McCallum, S. P. Electrical Properties of Helium 1435.

Toy, F. C. Mechanism of the latent image formation 572.

Tracy, Amasa S. Effective Screw Thread Gauge 139, 275.

Tramm, Heinrich. Einfluß der Trocknung auf photochemische Reaktionen 321.

Trappe, Fr. Physikalische Grundlagen der Elektronenröhren 693.

Trautmann, Walter. Elementare Versuche mit Wechselstrom 391. Trautvetter. Meßmaschine zur Be-

stimmung des Hinterschliffs bei Spiralbohrer-Spitzen 138.

Meßtechnische An-Trautwein, F. wendungen v. Elektronenröhren 1652.

Trautz, Max und Gerwig, Wilhelm. Dampfdruck flüssigen Chlors 1174. Trautz, Max und Gerwig, Wilhelm. Dampfdruck des flüssigen Nitrosyl-

chlorids 1174.

- und Henglein, Friedrich August. Konstanz der elektrischen Leitfähigkeit bei chemischen Vorgängen in Gasen 1142.

Trefftz, E. Theorie der Knickung des

geraden Stabes 889.

Trendelenburg, F. Wirkungsweise und Anwendung des Thermophons 38.

Objektive Klangaufzeichnung mittels d. Kondensatormikrophons 1262, 1408.

Treuheit, L. Festigkeitsprüfer für Formen und Kerne, Schlämmvor-Festigkeitsprüfer für richtung für Formsande, sowie Berechnung einer absoluten Größe für Formsande 220.

- Formstoff und Formenprüfung 221. Trillat, J. J. Structure réticulaire de certains composés organiques moyen des rayons X 1642.

Trilling, E. sh. Vogel, R. 437.

Trivelli, A. P. H. Einfluß des Silberjodids auf die Empfindlichkeit des Silberbromids gegen Licht 471.

- sh. Sheppard, S. E. 573, 1013, 1099,

1103

sh. Wightman, E. P. 573, 714.

-, Righter, F. L. and Sheppard, S. E. Mutual Infection of Contiguous Silver Halide Grains in Photographic Emulsions 1233.

Tröger, J. und Grünthal, O. Fluoreszenz 313.

Troland, L. T. Influence of brightness and color upon flicker-photometer

frequency 64.

Interrelations of modern physics and modern psychology 1026.

 Optics of the nervous system 1237. Troop, H. Stanley sh. Rolton,

Winifred L. 1720.
Trotter, A. P. Mrs. Ayrton's Work on the Electric Arc 585.

Trowbridge, Augustus. Photography of moving interference fringes 47.

-, C. C. Spectra of meteor trains 788. Trueblood, H. M. Relation of the Petersen System of Grounding Power Networks to Inductive Effects in Neighboring Communication Circuits

Truxa, Leo. Wechselstromübertragung in gleichschenkligen Leitungen 41.

- Berücksichtigung der ungleichmäßigen Permeabilität bei Berechnung des Wechselstromwiderstandes massiver Eisenleitungen 248.

Tryhorn, F. G. and Blacktin, S. C. Formation of anomalous Liesegang bands 885.

Tschudi, E. W. Duration of impact of a pair of bars of steel and of copper

1625.

Tschulanowsky, W. Einfluß des elektrischen Feldes auf das Serien. spektrum des Heliums 194.

Tubandt, C. und Reinhold, Her-Wirkung geringer Zusätze mann. auf das elektrische Leitvermögen

fester Salze 105. Tucker, F. G. Effect of heat treatment on the photoelectric emission from platinum 1098.

Tuckerman, L. B. Optical Strain Gages

and Extensometers 962. Tugman, Orin. Characteristics of a hot

wire sound detector 738. Turchini sh. Broca, André 1521.

Turner, H. H. Confirmation of the Einstein theory 589.

-, Louis A. Relation between the spectra and the sizes of the alkali metal atoms 262.

Estimation of the average life of excited mercury atoms 1731.

- sh. Compton, K. T. 1787.

-, L. B. Relations between damping and speed in wireless reception 1212 -, W. E. S. sh. Sheen, A. R. 416. Turney, T. H. sh. Marchant, E. W.

543. Tutton, A. E. H. Wave length Torso-

meter 809.

Universal Interferometer 850.

Tuve, M. A. Impact ionization by low

speed positive ions 766. Tuyn, W. and Onnes, H. Kamerlingh. Electrical resistance of indium in the temperature field of liquid helium 759

Twyman, F. Hilger microscope inter-

ferometer 46, 924.

Tykocinski-Tykociner, J. Mandel stam Method of Absolute Measurement of Frequency of Electrical Oscillations 1061.

and Kunz, Jacob. Photo-electric cells with hot filaments 317.

- Photo-electric cell 1097, 1517.

Tyndall, E. P. T. sh. Gibson, K. S. 1236.

U.

Uberoy, Ram Lal sh. Vajnik, N. A

Udden, A. and Jacobsen, J. C. Excitation of the helium spectrum by electronic bombardment 1455.

Jebersax, F. sh. Kohlschütter, V. | Varicak, Vladimir. 749.

Jhler, H. S. Fundamental properties of oblique deviation by prisms 923. - Method of least squares and curve

fitting 1114. Uitterdijk, W. De potentiaal van een

omwentelingsellipsoide 171.

Ulich, Herm. sh. Walden, P. 108. Iller, K. Theorie der statischen Hysterese 1144.

- Theorie der gebundenen Wellen in der reinen Hydro- und Aerodynamik

1625.

Ilrich, Carl sh. Meyer, Stefan 1136. Imansky, L. A. Mechanical Computation of Root Mean Square Values 910.

Inglaube. Hochvakuum-Meßverfahren

1620.

Innewehr, Emory Carl. Energy of the characteristic K-radiation from certain metals 1600.

re, William sh. Archibald, Eben

Henry 1484. Trey, H. C. Heat capacities and entropies of diatomic and polyatomic gases 861.

Distribution of electrons in various orbits of the hydrogen atom 1533.

rk, A. Th. van. Normalbahnen des Serienelektrons der Alkalien 563.

Ispenski, N. und Konobejewski, S. Untersuchung mikrokristallinischer Strukturen mit Hilfe von Röntgenstrahlen 234.

V.

achet, F. Courants sinusoidaux et leur application à l'essai magnétique des fers 842.

äisälä, Y. Untersuchung der Ob-

jektive nebst Bemerkungen über die Beurteilung ihrer Güte 46. ajnik, N. A. and Uberoy, Ram Lal. Viscosities of solutions containing mixtures of mercuric, cupric and cobaltous chlorides with other chlorides 1039.

alasek, Joseph. Dielectric fatigue

in Rochelle salt 757.

aleton, J. J. P. Wachstum und Auflösung der Kristalle 821, 1333. allarta, M. S. Quantization of non-

conditioned-periodic systems 1124. allée Poussin, Ch. de la. Temps et

Relativité restreinte 1711.

Relativitätstheorie im dreidimensionalen Lobatschefskijschen Raume 967.

Veblen, Oswald. Geometry and

Physics 1245.

Vegard, L. Spectre de l'aurore boréale et couches supérieures de l'atmosphère

Auroral Spectrum and the Upper Strata of the Atmosphere 54.

Konstitution der Mischkristalle und Raumfüllung der Atome 94.
 Struktur des Nordlichtes und Art der

kosmischen Strahlen 111.

Constitution of the Upper Strata of

the Atmosphere 200.

Nordlysets spektrum og atmosfaerens høieste lag 383.

Struktur der isomorphen Gruppe Pb $(N O_3)_2$, Ba $(N O_3)_2$, Sr $(N O_3)_2$, Ca $(NO_3)_2$ 750.

Verwandtschaftsverhältnisse der Elemente im Licht moderner Atom-

theorie 508.

Anordnung und Größe der Atome in den wasserfreien Nitraten der Erdalkalimetalle 511.

Nordlichtspektrum und Konstitution der oberen Atmosphärenschicht 1224.

Lage der Atome in den optisch aktiven Kristallen Na Cl O₃ und Na Br O₃ 1329.

Struktur der Kristalle von NaBrO₃ und Na ClO₃ 1329.

Light emitted from solid Nitrogen

when bombarded with Cathode Rays, and its bearing on the Auroral Spectrum 1663.

Constitution des couches supérieures de l'atmosphère 1788.

Vegesack, A. von. Ferritgefüge in nadeliger Ausbildung 164.

Venkateswaran, Ramavenkatasubba. Molecular Scattering of Light in n-Pentane 306.

Vernotte, P. sh. Villey, J. 1310. Véronnet, Alex. Évolution de la trajectoire d'un astre dans un milieu résistant 888.

Verschaffelt, J. E. 1386.

- Propriétés des fluides à l'état de saturation au voisinage du point critique 336.

- Polarisation der Elektroden 760.

Vidmar, Milan. Trockentransformator und Öltransformator 630.

Vierheller, F. Streustrahlenverteilung außerhalb des direkt vom Röntgenlicht durchstrahlten Raumes 703.

Vieweg, R. Bestimmung der Schmiermittelreibung 1486.

Vieweg, R. Kontaktpotentialdifferenzen | zwischen im Vakuum geglühten Metallen 1196.

sh. Schröter, F. 740.
 sh. Vieweg, V. 819.

-, V. Elektrotechnik 439.

-, Physikalisches Verfahren zur Bestimmung der Bewegung einer Welle

im Lager 740.

— Messung des Drehmomentes durch Torsionsdynamometer bei mechanischer Kraftübertragung 1044.

- und Vieweg, R. Trennung von Luftund Lagerreibung 819.

Villard, P. Jules Violle 74.

— Couleur propre des nuages 255.

Villat, Henri. Mouvements plans tourbillonnaires dans un fluide simplement ou doublement connexe, contenant des parois solides 1719.

Villey, J., Vernotte, P. et Fontenay, F. Amortissement des oscillations de torsion des caoutchoucs 1310.

Vinal, G. W. and Altrup, F. W. Effect of Certain Impurities in Storage Battery Electrolytes 1744.

Vincent, J. H. Variation of Wavelength of the Oscillations Generated by an Ionic Valve due to Changes in Filament Current 4, 41, 1923. Violle, Jules 74, 586, 645.

Visser, S. W. Plaatsbepaling van de Epicentra van Aardbevingen 817.

Vleck, J. H. Van. Normal Helium Atom and its relation to the Quantum Theory 730.

- Specific heat of an elastic gyroscopic model of the hydrogen molecule 1170.

Vogel, Fred J. Insulation Tests of Transformers as Influenced by Time and Frequency 1506.

-. R. Grenzverschiebung sich berührender Kristalle 287.

- und Trilling,

E. Gold-Chromlegierungen 437.

- Wachstum und Aufzehrung metallischer Kristallite im Konglomerat 1276.

Vogl, Herbert. Eignung des Elektroofens zur Herstellung von Stahlwerks-Kokillen und Temperguß 496.

Massenabnahme der Sterne Vogt, H. infolge Strahlung 1485.

-, Hans. Querschnittsverstärkung durch Zusatzblindleistung 1215.

Vogtherr, K. Aberration und Michelsonversuch 872.

Wohin führt die Relativitätstheorie? 1307.

Voigt, Arthur und Biltz, Wilhelm. Elektrolytisches Leitvermögen schmolzener Chloride 1203.

Volbert, F. sh. Ley, H. 1795.

Volkmann, Wilhelm. S verschiedenem Druck 135. Sieden bei

Vollenbruck, O. sh. Bauer, O. 290, 529.

Voller, D. H. Peereboom sh. Cohen, Ernst 1187.

Volmar. Photolyse et loi d'équivalence photochimique 1368.

Voorhis, C. C. Van. Diffusion of helium through several widely different glasses 1186.

Vorländer, D. Erforschung der molekularen Gestalt mit Hilfe der kristallinischen Flüssigkeiten 673.

Chemische Kristallographie d. Flüssig-

keiten 1337.

Vosburgh, Warren C. and Eppley, Marion. Temperature coefficients of unsaturated Weston cells 291.

- Effect of preparations of mercurous sulfate on the electromotive force and hysteresis of Weston standard cells 907.

Voss, J. H. H. Determining Refrigerating Efficiency by Temperature and Pressure Readings 718.

Heat Waste in the Ammonia Compression Refrigerating Machine 480.

Vouk, V. Bestimmung der chemischen Lichtintensität für biologische Zwecke 131.

Vranceanu, G. Stabilità del rotolamento di un disco 1533.

Vuillaume, M. sh. Boutaric, A. 62 407.

- et - Photométrie de sources lumineuses constituées par des corps noirs 328

$\mathbf{W}.$

Waals, Van der 645, 1026.

- Memorial Lecture 586.

-, jr. Bijzonder punt in de Relativiteits theorie 1119.

Wadleigh, W. H. sh. Curtis, H. L 1727.

Wächter, Friedrich. Probleme de speziellen Relativitätstheorie 804.

Wächtler, M. Optische Methoden zu Prüfung von Materialbeanspruchun gen 1623.

Waggoner, C. W. and Molby, F. A Anhysteretic Curves of Iron-Carbon Alloys 1444.

Vagner, Emanuel. Prospecting With | Walldow, Erik sh. Benedicks, Carl the Eötvös Balance 138.

-, Julius 1473.

-, K. W. Fernsprechen auf weite Ent-

fernung 249, 542.

Physikalischer Vorgang beim elektrischen Durchschlag von festen Isolatoren 392, 699.

Frequenzbereich von Sprache und

Musik 1408.

Allgemeiner Kettenleiter 1669.

Die elektromagnetische Welle in der Technik 1773.

sh. Meissner, A. 1071.

Vagstaff, J. E. P. Shape of the Capillary Curve formed between a Shape of the Flat Glass Plate and a Uniform Circular Cylinder. Determination of the Surface Tension of Liquids 425. Determining the Velocity of Deto-

nation of Explosives 1132. Application of Oscillating Valve Circuits to the Precise Measurements of

Physical Quantities 772.

Characteristic Vibration Frequency of

an Element 1637.

Vahlin, H. B. Behavoir of free electrons toward gas molecules 1522. Vaibel, F. Druckabhängigkeit der Druckabhängigkeit der

Dielektrizitätskonstanten v. Schwefelkohlenstoff, Benzol, Hexan und Luft 102.

Jalch, H. Bepaling van het electrooptisch Kerr-effect in vloeibare gassen met een toepassing of zuurstof 1690.

Jalden, P. Berechnung der Grenzwerte d. Aquivalentleitvermögens 1748. und Ulrich, Herm. Leitfähigkeitsmessungen an verdünnten wässerigen Salzlösungen 108.

Dielektrizitätsund Werner, O. konstanten gechlorter Paraffine und

Olefine 1655.

'aldie, A. T. sh. Bazzoni, C. B. 682. 'alker, E. E. Properties of powders. VI. Compressibility of powders 82; Distribution of densities in columns of compressed powders 82; VIII. Influence of the Velocity of Compression on the Apparent Compressibility of Powders 1258. sh. Lowry, T. Martin 1418.

, Sir James. Alexander Smith 1025. Polytropic Curve and Its Relation to Thermodynamic

ciency 1175.

all, C. N. Selection principle 733.
T. F. Squirrel-cage induction motor with high starting torque and lowstarting current in the line 41. 1014.

Waller, Ivar. Einwirkung der Wärmebewegung auf die Interferenz von Röntgenstrahlen 1355.

Wallerath, P. Erweiterung des Systems sekundärer Wellenlängennormalen

1783.

Wallot, J. Einheiten elektrischer und magnetischer Größen 418.

Walls, E. H. sh. Adcock, F. 906. Walter, B. Beugungsfransen an Spaltaufnahmen mit Röntgenstrahlen 929, 1687.

Reflexion der charakteristischen Röntgenstrahlen der chemischen Elemente eines Kristalles durch diesen 555.

-, H. sh. Frey, H. 95.

-, Roland sh. Schmidt, Gerhard C.

Walters, Jr., F. M. Regularities in the arc spectrum of iron 1009.

Walther. Albrecht Böttcher † 481. -, A. sh. Semenoff, N. 96, 777.

- sh. Inge, Lydia 1753.
- und - Elektrostatische Felder von Netzen und Diaphragmen 778.

-, Fr. sh. Schenck, R. 675.

Waran, H. P. Design for the Friction Cones of Searle's Apparatus for the Mechanical Equivalent of Heat 410. Regenerative Vacuum Device 417.

Disintegration in Discharge Tubes 683.

Warburg, Ottound Negelein, Erwin. Einfluß der Wellenlänge auf den Energieumsatz bei der Kohlensäureassimilation 324.

- Assimilation der Kohlensäure 944. Warburton, F. W. sh. Richtmyer,

F. K. 310, 1598.

and - X-ray absorption coefficients in the neighborhood of K-limits 1600.

Warner, E. G. Induction Motor Nomo-gram 1117.

-, John A. C. Optical altitude indicator for night landing 1080.

Warren, A. G. X-ray examination of materials 161.

Wartenberg, H. v. Verbrenn vorgänge im Dieselmotor 1384. Verbrennungs-

Chemie der hohen Temperaturen 1524.

u. Kannenberg, H. Entflammungs-temperatur von Wasserstoffknallgas 411.

Wasastjerna, Jarl A. Refraction Equivalents of Ions and the Structure of Compound Ions 226.

Radii of Ions 227.

Density of Washington, Henry S. the Earth 666.

Waszik, J. Erklärung der elektrischen Anziehung, die als Johnsen-Rahbek-Phänomen bezeichnet wird 626.

Watanabe, Noboru and Kawamura, Toshio. Measurement of the Horizontal Intensity of the Earth Magnetic Field with Portable Electric Magnetometers 1573.

Waterhouse, G. B. and Zavarine, L. N. Properties of Steel Containing

Tellurium 364.

Waterman, A. T. Equilibrium theory of electrical conduction 241.

Variation of thermionic emission with temperature and the concentration of the free electrons within conductors 764.

Watson, E. A. Permanent magnets, and the relation of their properties to the constitution of magnet steels 621.

-, F. R. Measurement of vibrations in building structures 1624.

Acoustics of auditoriums 1629.

- and Ham, L. B. Acoustical galvanometer 1563.

-, G. N. Sum of Series of Cosecants 1114.

-, R. E. sh. Chree, C. 1208.

-, William W. Band spectrum of water-vapor 1787.

Watt, R. A. Watson and Appleton,

E. V. Nature of Atmospherics 1149. Wawilow, S. J. Fluoreszenzausbeute

von Farbstofflösungen 941. Weaver, E. R. sh. Ledig, P. G. 1540.

- sh. Palmer, P. E. 1523. -, Warren sh. Mason, Max 1185.

Webb, Harold W. Duration of the 4,9-volt resonance radiation in mercury vapor 56.

- and Hayner, Lucy J. Meta-stable state in mercury vapor 998. -, R. Low Voltage Cathode Ray Oscillograph 366.

-, T. J. Free energy and heat of formation of zinc iodide 862.

Weber, J. Rotverschiebung auf dem Sirius 873.

- Möglichkeit eines Einstein-Effektes in den Spektren von Doppelsternen 1122.
- -, L. Ist durch die Auslöschungsschiefe von vier Kristallplatten der Winkel der optischen Achsen eindeutig bestimmt? 1297.
- Ausdruck für das Verhältnis der Netzdichten der Bravaisschen Raumgitter 1327.

Weber, L. Auslöschungsrichtungen und Winkel der optischen Achsen monokliner Kristalle 1297.

-, Sophus. Durch strömende Gase transportierte Energie 1311.

Webster, A. G. Steering an automobile around a corner 156.

Absolute measurements of sound 887. Weeks, Edward Joseph sh. Sand, Henry Julius Salomon 1435.

Wegel, R. L. Physical Characteristics of Audition and Dynamical Analysis

of the External Ear 428. and Lane, C. E. Auditory masking of one pure tone by another and its

probable relation to the dynamics of

the inner ear 1042. and Moore, C. R.

Electrical Frequency Analyzer 1650.

Wegener, Kurt. Beschleunigungen in der Hydrosphäre 499.

Größte ge-Wegscheider, Rudolf. winnbare Arbeit bei endlichem Umsatz, insbesondere in galvanischen Elementen 440.

Wehrli, M. Funkenpotentiale im transversalen Magnetfelde 1344.

sh. Hagenbach, A. 381, 1497.

Weicker, W. Beurteilung von Hängeisolatoren 780.

Weickmann, L. Atmosphärische Temperaturabnahme nach oben 1240.

Weigert, Fritz. Photochemie der photographischen Trockenplatte 126. Die photochemischen Chlorreaktionen

317.

Photochemische Bemerkungen zur Thunbergschen Theorie der Assimilation der Kohlensäure 325.

Polarisationszustand der Resonanzstrahlung und seine Beeinflussung durch schwache magnetische Felder 638.

Geschichte der Assimilation der Kohlensäure 1606.

und Käppler, Gerhard. Polarisierte Fluoreszenz in Farbstofflösungen 1601.

und Kellermann, Karl. Photochemie des Chlors 323.

Weiland, C. F. Leitungsberechnung

Weiler, Margarete. Sicht- und Sehweiten in schwach getrübten Medier

1450.

Weinberg, Mollie and Allen, Frank Critical Frequency of Pulsation Tones 665.

Weinstock, Z. sh. Gans, Richard 1138.

Veisglass, C. durchflossene Drehspule in einem radial homogenen Magnetfeld 1495.

eiss, E. Prismatische Fehler der Brillengläser 331.

, P. Die elementaren magnetischen

Momente 181.

et Forrer, R. Phénomène magnétocalorique et lois de l'aimantation 182. - Isothermes magnétiques du nickel 1770.

leissenberg, K. Röntgengoniometer

1193.

sh. Mark, H. 17, 1336.

sh. Polanyi, M. 1332. ellauer, Max. Streifenentladungen

ellmann, Hermann. Perioden der Nachläufer in Fernbebenregistrierun-

ells, F. L. Audibility of Sounds 1261. , N. Effect of Various Factors on Valve

Design 1576.

, P. V. and Heineken, J. F. Effect of humidity upon photographic speed

elo, Lars A. Wood's Metal as a seal in vacuum apparatus 1026.

elter, G. Statische und dynamische Elastizitätsgrenze im Materialprüfungs- und Konstruktionswesen 972.

Georg. Eigenschaftsänderungen d. Wärmebehandlung unterhalb Umwandlungspunkte 6.

Schlagelastizität von Metallen und

Legierungen 1717.

endlandt, Rudolf. Detonations-grenze gasförmiger Gemische 1322. endler, A. Messung der Schallgeschwindigkeit nach stroboskopischer Methode 1387.

endt, M. sh. Seeliger, R. 1229. enger, R. Theorie der Berg- und

Talwinde 1107.

enner, F. Variation of metallic conductivity with electrostatic charge 1343.

and Smith, Alva. Measurement of low resistance by means of the

Wheatstone bridge 1494.

and Soule, F. M. Measurement of cyclic changes of resistance 1649. entzel, Gregor. Rydbergsche Termformel und ein von ihr abweichender Serientypus 123.

Quantenoptik 970.

Serienspektren, an deren Emission mehr als ein Elektron beteiligt ist 1360.

Von Wechselstrom | Wenzel, Alfred. Schwungmaschinenaufsatz zur Bestimmung des mechanischen Wärmeäquivalents 870.

- Oszillierende Entladung von Funken-

induktoren 1389.

Stromstärke der Teslaströme 1389.

Wenzl, Aloys. Gegen ein Mißverständnis der Aquivalenzhypothese 76.

Wereide, Th. General principle of relativity applied to the Rutherford-Bohr atom-model 724.

Werner, A. Thermische Ausdehnung von weichem und gehärtetem Stahl

1470.

- sh. Geiger, H. 1210.

-, Alexander. Vorspannungen Drahtseilen 156.

-, O. sh. Walden, P. 1655.

-, S. sh. Coster, D. 936. - sh. Hansen, H. M. 58, 265, 400, 637, 1512.

-, Sven. Seriespektren 260.

Wertenstein et Jedrzejewski. Evaporation du carbone 414.

État sursaturé des vapeurs très

raréfiées 206, 1244.

- et Dobrowolska, Mlle H. Diffusion des éléments radioactifs dans des métaux 668.

Wessel, Walter. Feld inhomogener

Strahlung 1453.

West, A. G. D. sh. Appleton, E. V. 536. -, G. H. Condensation Bands formed during the Explosion of Hydrogen and Air 1524.

-, W. sh. Ludlam, E. B. 1093.

Westgreen, Arne und Phragmén, Gösta. Structure of Solid Solutions 751.

Wethlo, Franz. Genauigkeit bei Tonhöhenmessungen mittels schwingender Flammen 600.

Wever, Franz. Natur von Graphit und Temperkohle 522.

Zur Kenntnis des Eisencarbids 527. Atomanordnung des magnetischen und unmagnetischen Nickels 528.

Konstitution des technischen Eisens 1647.

und Apel, Kurt. Anwendung der thermischen Analyse 483.

Allgemeine Relativitäts-Weyl, H. theorie 76.

Massenträgheit und Kosmos 969.

Whiddington, R. Method of extending the Balmer Series of Hydrogen in a Vacuum Tube 561.

Short electric waves obtained by

valves 772.

Uniform Temperature of the Stratosphere by the Vertical Displacement 1239.

White, E. C. and Tolman, R. C. Colorimeter for corrosive gases 339.

J. V. sh. Skinker, M. F. 1758.
Walter P. Electric heating of calori-

meters 1172. - Electric pendulum; and pendulum

equations 1618. - Electric furnace giving very uniform

temperatures 1701. Whitehead, Edwin sh. Thompson, Frank Charles 112, 163.

-, J. B. Gaseous Ionization in Built-up Insulation 547.

High voltage corona in air 1003.
Measurement of High Values of Insulation Resistance 456.

Whiting, Sarah Frances. Reminiscences of Lord Kelvin 1617.

Whittaker, E. T. Cargill Gilston Knott

Whittemore, L. E. sh. Dellinger, J. H. 300, 1194.

Whitwell, A. Form of the wavesurface of refraction 924.

Whytlaw-Gray, R. and Speakman, J. B. Method of Determining the Size of the Particles in Smokes 600.

-, - and Campbell, J. H. P. Smokes: Their Behaviour and Method of Determining the Number of Particles they Contain 599.

Wiarda, G. sh. Sende, M. 1367.

Wick, Frances G. Effect of pressure upon optical absorption 53.

Spectroscopic study of the cathodoluminescence of fluorite 1092.

and Gleason, Josephine M. Effect of heat treatment upon the cathodophosphorescence of fluorite 1230.

Widdowson, W. P. and Russell, A. S. Activities of Radioactive Substances in an Unchanged Primary Uranium Mineral 514.

Widmark, Lawrence E. Design Constants and Measuring Units 543.

Wiechert, E. Seismometer 352.

— Seismische Untersuchungen 1725.

Wiedbrauck, E. sh. Lorenz, Rich. 1314, 1544.

Wiedemann, Eilhard. Zur Alchemie bei den Arabern 337.

Geschichte des Kompasses und Inhalt eines Gefäßes in verschiedenen Abständen vom Erdmittelpunkt 1113.

-Ebert. Physikal. Praktikum 1473. Wiederholt sh. Liebreich 1434.

Whipple, F. J. W. Disturbance of the | Wien, Max. | Gültigkeit des Ohmschen Gesetzes für Elektrolyte bei sehr hohen Feldstärken 913, 1063.

-, W. Kanalstrahlen 449.

- Leuchtdauer der Atome u. Dämpfung der Spektrallinien 1161.

Wigand, A. und Genthe, K. Prazisierung der Sichtmessung 1449. - Messung der vertikalen Sicht 1449.

und Schlomka, T. Elektrische Selbstaufladung von Luftfahrzeug-Motoren 1636.

- Messung elektrischer Spannungen vom Motorluftfahrzeug aus 1745.

Wigge, Heinrich. Typisierung von Dreielektrodenröhrensendern 1773.

Wightman, E. P. sh. Sheppard, S. R. 573, 945, 1013.

-, Trivelli, A. P. H. and Sheppard S. E. Structure of the photographic emulsion 573.

 – Dispersity of silver halides in relation to their photographic behavior 714.

Wikander, Oscar R. German Standards for Tolerances and Allorances in Machine Fits 139, 210, 274.

Wilde, Henry 1113. Wildermuth, Karl. Wärmewerte der elektrischen Energie 1392.

Wildhaber, Ernest. Measuring Tooth Thickness of Involute Gears 2, 74, 210

Wildhagen, Max. Strömungswider stand hochverdichteter Luft in Rohr leitungen 878.

Wilip, J. Emergenzwinkel, Unstetig keitsflächen, Laufzeit 1319.

Wilkins, R. sh. Mini, jr., J. 1354 Willheim, R. Abstimmungserschei nungen bei Erdschlußlöschvorrichtun gen 1501.

Williams, A. M. sh. Eastman, E. 1108

-, E. H. sh. Kunz, Jakob 60, 571
-, G. A. and Ferguson, J. B. Solubility of helium and hydrogen in heated silica glass and relation o this to the permeability 1540.

-, John W. and Daniels, Farrington Specific heats of organic liquids a elevated temperatures 953.

 Irregularities in the specific heat of organic liquids 1798.

-, N. H. sh. Hull, A. W. 774, 1637 -, Roger J. Method of Writing ,,Elec

tronic" Formulas 510.

-, S. R. Magnetic-mechanical analysi of the ferromagnetic substances, it bearing on theories of magnetization 182.

Villiams, S. R. Correlation between the Winther, Chr. Oxydation des Jodmechanical hardness and the magnetostrictive effects in ferromagnetic substances 248.

Hardness of steel balls by means of

magnetic tests 248.

Method of determining the components of the earth's magnetic field 538. Oscillograms of the Barkhausen effect 676.

Hardness of steel and nickel as related to their magnetic properties 1147.

Extensometer amplifier 818.

Atomic theory from the standpoint of magnetism 1487.

Villiamson, E. D. and Adams, Fr. H. Density distribution in the Earth 739.

- R. C. Analysis of resonance curves observed in potassium vapor 1758. Villis, C. H. Properties of Electric

Sheet Steel 385.

Vills, A. P. Change of wave-length in X-ray scattering 1179.

Vilsey, R. B. Crystalline structure of

silver iodide 825, 1330.
Vilson, C. T. R. Recoil of Electrons from Scattered X-Rays 537.

Investigations on X-Rays and β -Rays by the Cloud Method 770, 839.

Development of a fre-- Edwin B. quency function 971.

significance of experi-Statistical

mental data 79. Electric Conduction: Hall's theory

and Perkins' phenomenon 759.
-, Ernest. Susceptibility of Feebly Magnetic Bodies as Affected by Com-

pression 622. -, H. A. Theory of thermionics 1762. -, Thomas A. Properties of Aqua

Ammonia. Total Vapor Pressures -, W. High Power Vacuum Tube 453. Vindred, G. Polyphase induction

motors 1353. Vingårdh, K. A. Wert von C in der Beziehung $\mu | \rho = C \cdot \lambda^3 + k$ 1598.

Stauröhren zur Messung Vinkel, R. des Druckes und der Geschwindigkeit in fließendem Wasser 344.

Wasserbewegung in Leitungen mit Ringspalt-Durchflußquerschnitt 880. Standardizing Vinter, Charles C.

Tolerances for Taps 964.

, J. E. New Screw Thread Standard 210, 722.

Vintgen, R. sh. Ehringhaus, A. 1156.

wasserstoffs im Dunkeln und im Lichte 1100.

Wise, Clarence R. Solubilities of certain metallic chlorides in selenium

oxychloride 502.

Wisniewski, Félix Joachim de. Définition Mécanique des états liquide et gazeux 336.

Cäsiumdubletts 1009.

- Champ électromagnétique d'un électron en mouvement 440, 1773.

- Lösung der Maxwellschen Gleichun-

gen 1562.

K-Anregungsgrenze der leichten Elemente 1688.

Witmer, Enos E. Supposed Limitation of the Second Law of Thermodynamics 1301.

Witt, Holjer. Strahlungsmessungen im fernen Ultrarot und Absorptionsspektrum des Wasserdampfes 1782.

Wodetzky, J. Lichtstrahlenkrümmung, Spektrallinienverschiebung u. Krümmungsradius des Universums 873.

Woelk, Joseph. Meßgerät für Anzugsund Abfallzeiten von Relais 430.

Wohl, Kurt. Dissoziation des Chlors 950.

Dissoziation des Wasserstoffs 1238.

Chemische Konstanten von Chlor, Brom und Jod im ein- und zweiatomigen Zustand 1374.

Wolf, Felix. Nomographisches Verfahren zur Lösung wärmetechnischer Probleme 1.

- Karl. Beiträge zur ebenen Elastizitätstheorie 493.

-, Lothar. sh. Marx, Erich 159.

Wolfe, M. V. sh. Slaughter, N. H.1073. Wolfers, F. Déviation des rayons X à la surface des corps 929.

Apparence de réflexion des rayons X

à la surface des corps 1226.

Wolff, Irving. Polarization capacity of electrolytes 175.

Alternating current bridge for the measurement of the small phase angle of a high resistance 1649.

Wolters, J. J. sh. Cohen, Ernst 1651. Woltjer, H. R. Magnetisation at very low temperatures and susceptibility of gadolinium sulphate in the region of temperatures obtainable with liquid hydrogen 623, 772. and Onnes, H. Kamerlingh.

Onnes, Magnetisation of gadolinium sulphate temperatures obtainable with

liquid helium 623, 772.

- and Ford, J. M. Phonic chronometer 1130.

-, H. O. sh. Anderson, J. A. 1320. - sh. Laurance, Lionel 202, 1508.

- R. W. Spontaneous Incandescence of Substances in Atomic Hydrogen Gas
- Hydrogen Spectra from Long Vacuum Wreschner, Mariesh. Freundlich, H. Tubes 561.

- Vacuum Grating Spectrograph and Zinc Spectrum 1793.

- and Ellett, Alexander. Influence of Magnetic Fields on the Polarisation of Resonance Radiation 57.

Woodhouse, John C. sh. Richardson, Leon B. 1545.

Woodruff, Albert E. Photo-electric emission from platinum as affected by heat treatment 1097.

Woodward, Ida. Potential Energy for some Atomic Models 1639.

Woodworth, C. W. Methods for machine calculation of rays through a lens system 549.

- Method of tracing rays through an

optical system 1778.

Woolley, R. E. Electrically Operated Flow Meter 1475.

Worley, F. P. Atomic structure and the relationship of the chemical elements 1269.

Worohoff, Boris. Calculating the Ampere-Turns for Driving a Magnetic Flux Through Wedged-Shaped Teeth

Woronkoff, G. P. Spektrophoto-metrische Untersuchung von Farbstoffen an Fasern 1014.

und Pokrowski, G. J. Selektive Reflexion des Lichtes an diffus reflektierenden Körpern 552, 1355.

Worsham, W. B. sh. Knipp, Chas. T.

- Worthing, A. G. True temperature scale of tungsten and its emissive powers at incandescent temperatures 51.
- Atomic heats of tungsten and of carbon at incandescent temperatures

- Thermal expansion of tungsten at incandescent temperatures 69.

Radiation Equilibrium in an Opaque Uniformly Heated Solid and Duane's Hypothesis as to its Origin 259.

- Physical properties of molybdenum, tantalum, nickel, and platinum at incandescent temperatures 797.

Wood, A. B. Cathode Ray Oscillograph | Worthing, A. G. Spektrales Emissionsvermögen und Schmelzpunkt des Wolframs 1361.

Line spectra of W - and Rudy, R. and Ni in the afterglow of a discharge through a mixture of N2 and A 1686.

Wotschke, Johannes. Darstellung elektrischer Beziehungen im Raum diagramm 1249.

1545.

Wright, C. E. Damped vibrations 733. —, F. E. Phenomena exhibited by transparent inactive crystal plates in convergent polarized light 1007.

Measurement of the Intensity Transmitted and Reflected Light by Polarization Photometers 1372.

- Polarization Photometer Prisms 1372.

- Tracing rays of light through a reflecting prism with the aid of a meridian projection plot 1778.

Autocollimator 1778.

Wrinch, Dorothy. Lateral Vibrations of Bars of Conical Type 972.

sh. Wrinch, Hugh E. W. 481.

and Jeffreys, Harold. Theory of Mensuration 218.

- Fundamental Principles of Scientific Inquiry 492.

-, Hugh E. H. and Wrinch, Dorothy. Tables of Bessel Functions 481.

Wuckel, Günter. Messung von Drahtwiderständen bei sehr schnellen Schwingungen 756.

Wülfing, E. A. Theodolitgoniometer 1779.

Würschmidt, J. Abhängigkeit der Koerzitivkraft und der Remanenz von der Magnetisierungsfeldstärke 34, 772

Bestimmung der Wärmeleitfähigkeit 955.

Entmagnetisierungsfaktoren kreiszylindrischer Stäbe 618.

Wüst, Fritz. Vergleichende Untersuchungen an saurem und basischen Stahl 496.

Verhalten d. Stickstoffs beim Thomasverfahren 528.

und Bandenheuer, Peter. Zu Kenntnis des hochwertigen niedrig gekohlten Gusses 528.

und Rütten, Paul. Gasdurchlässigkeit, Porosität, Druckfestigkeit und Reduktionsgeschwindigkeit von Eisen erzen 1560.

und Schitzkowski, Georg. Ein fluß einiger Fremdkörper auf die Schwindung des Eisens 526.

Vüst, Fritzu. Stühler, Peter. Einfluß Ylostalö, V. sh. Gutton, C. 375. der Anordnung u. der Zahl der Eingußtrichter auf die Erstarrung und die Festigkeitseigenschaften eines Gußstiicks 526.

Vulf, Th. Lutzsches Saitenelektro-

meter 96, 1493.

Bestimmung der Gravitationskonstante 342.

Sichtbarmachung der Bahnen von Alphateilchen nach Wilson 869.

Jurmser, René. Mécanisme de la photosynthèse 326.

Rendement énergétique de l'assimilation chlorophyllienne 1605.

yekoff, R. W. G. Symmetry and Crystal Structure of Zinc Bromate Hexahydrate 523.

Symmetry and Crystal Structure of Sodium Hydrogen Acetate 524.

X-ray Diffraction Effects from Liquids and Liquid Mixtures 286. Survey of existing crystal structure data 517, 1329.

Kristallstruktur der Alaune 523. Nature of the forces between atoms in

solids 1327.

and Posnjak, Eugen W. Crystal structures of lithium iodide and rubidium fluoride 1050.

Anomalous Reflection of X-rays in Laue Photographs of Crystals 557. vssling, W. Graphische Symbole der Elektrotechnik 439.

Υ.

ajnik, N. A. and Sobti, Bodh Raj. Molecular Conductivity of Potassium Iodide in Epichlorohydrin 836.

aloussis, Evan. Tubus für Röntgen-

Tiefentherapie 1004.

sh. Holfelder, Hans 703. amada, Mituo. Reflection of X Ray from the Fluorite Crystal 258. Oberflächenenergie der Kristalle und

Kristallformen 1326.

Occlusion of Hydrogen in Palladium

annakis, N. Tensions de vapeur des mélanges d'acide chlorhydrique et d'eau 478.

ardley, Kathleen sh. Astbury, W. T. 1737.

en, Kia-Lok. Coefficients of Viscosity of Hydrogen, Nitrogen, and Oxygen

ensen, T. D. Magnetic and Electrical Properties of the Ternary Alloys Fe-Si-C 1500, 1771.

Young, Gilbert A. and Burton, E. F. Insulation 1242.

-, J. F. T. Anwendung der Theorie des Magnetismus zur Berechnung der Atomdurchmesser 667,

Crystal Structure of Heusler Allovs by the Use of X-Rays 1644.

-, Roscoe Conkling. Binaural vs. monaural sensibility of the human ear to small differences in frequency 738.

-, T. F. sh. Eastman, E. 1108, 1376.

-. Wm. M. Mobility of the ions in the corona discharge 765.

Yvon, G. sh. Jobin, A. 925.

7.

Żáček, August. Anwendung der Elektronenröhren bei den Versuchen mit dem sprechenden Lichtbogen und dem sprechenden Kondensator 1249.

- sh. Siegbahn, Manne 402.

Zachmann, Ernst. Elektrische Leitfähigkeit metalldampfhaltiger Flammen 1752.

Zachrisson, Einar. Definition des Begriffes Unsymmetrie eines Drehstromsystems 250.

Zahler, H. Ritterv. Riemenspannungsmesser 962.

Zahm, A. F. Vector-ruling Protractor 666.

Zahn, C. T. Method for determining the dielectric constant of gases 1655.

sh. Compton, K. T. 1655.

-. H. Dielektrizitätskonstante wässeriger Salzlösungen hoher Konzentration 1654.

Zambonini, Ferruccio. Commemorazione del Giacomo Ciamician 209.

Relative motion in Zanstra, H. connection with classical mechanics

Zavarine, L. N. sh. Waterhouse, G. B. 364.

Zeeman, P. Phosphorescentie bij zeer lage temperaturen 315.

Optical Effects of Motion 1581.

- sh. Dik, H. W. J. 708.

- u. - Beziehung zwisch. den Spektren des ionisierten Kaliums und des Argons 786.

Zehme. Ch. P. Steinmetz † 481.

Zeilon, Nils. Sur les équations aux dérivées partielles à quatre dimensions et le problème optique des milieux biréfringents 923.

- sh. Joos, G. 299. sh. Krüger, H. 1236.

- sh. Rossmann, F. 1348, 1349. Zerner, Friedrich. Periodische Lösungen der Maxwellschen Gleichungen

und die Störung elektromagnetischer Wellen durch Kugeln 365.

Zickendraht, Hans. Luftwiderstand senkrecht getroffener Kreisplatten

424.

Zickler, K. Wechselströme in massiven Eisenleitern 1500.

Zickner, G. sh. Alberti, E. 1578. Ziegler, Joseph. Rotationsblende zur Abschirmung der Sekundärstrahlen 548.

Zieting, R. Sinuslineal 802.

Zimmermann, H. Die Größen s und t der Knicktheorie 155.

 Knickfestigkeit von Stäben mit nicht gerader Achse. Erweiterung der Eulerschen Knicktheorie 155.

- Formänderungen gekrümmter Stäbe

durch Druck 156.

 Knickfestigkeit offener und geschlossener Stabzüge 1320.

Zinner, E. Mittelalterliches Lehrgerät für Sternkunde zu Regensburg 74.

Zenneck, J. sh. Casper, L. 1060, 1669. | Zintl, E. sh. Hönigschmid, O. 668 1413.

> - und Meuwsen, Alwin. Funda mentale Atomgewichte 1412.

> und Mewsen, R. Atomgewichte von Natrium, Silber und Chlor 668. op, H. Elektrische Festigkeit der

Zipp, H. Luft zwischen plattenförmigen Elektroden 1075, 1076.

Zlamal, Heinrich. Phänomenalistische und sophistische Auffassung und Bedeutung der Relativitätstheorie 1716.

Zorn, Walter F. Versuche zur Schwingungs- und Wellenlehre 1386.

Kondensatoren für elektrische Schwingungskreise aus alten photographischen Platten 1389.

Zschiesche, H. Dielektrische Hyste-

resis 1140.

Zweiling, Klaus. Anwendung graphischer Methoden bei der Bahnbestimmung der Himmelskörper 1043

Zwetsch, Artur. Abhängigkeit de Brechungsexponenten der Luft von Druck unterhalb einer Atmosphäre 192.

Zwicky, F. Reißfestigkeit von Stein salz 1326.

- Structure des atomes et équation d'état 1487, 1524.

Liste der Mitarbeiter,

welche für den 5. Jahrgang (1924) der Physikalischen Berichte Referate geliefert haben

Herr Dr. J. Ackeret in Göttingen.

- " Dr. F. AIGNER in Wien.
- " Dr.-Ing. H. Alt in Hellerau bei Dresden.
- " Ingenieur E. ALTENKIRCH in Alt-Landsberg-Süd.
- " Dr. H. ALTERTHUM in Berlin.
- " Dr. E. v. ANGERER in München.
- " Prof. Dr. K. ARNDT in Charlottenburg.
- " Prof. Dr. HANS BAERWALD in Darmstadt.
- " Dr. BAHR in Charlottenburg.
- " Dr. A. BECKER in Heidelberg.
- " Diplom-Ingenieur Dr. phil. KARL BECKER in Berlin-Steglitz.
- " Regierungsrat Dr. H. BEHNKEN in Charlottenburg.
- " Ober-Regierungsrat Dr. W. BEIN in Berlin-Wilmersdorf.
- " Dr. K. BENNEWITZ in Berlin.
- " Dr. M. BEREK in Wetzlar.
- " Dr. O. BERG in Berlin-Grunewald.
- " Prof. Dr. G. BERNDT in Dresden.
- "_ Diplom-Ingenieur Dr. Alb. Betz in Göttingen.
- " Korvettenkapitän a. D. Отто Ветг in Berlin-Grunewald.
- " Dr. TH. BIENEN in Aachen.
- " Dr. W. BIRNBAUM in Charlottenburg.
- " Dr. L. Bloch in Berlin-Stralau.
- " Reg.-Rat Dr. W. Block in Königsberg i. Pr.
- " Dr. K. Boedeker in Höchst a. M.
- " Geh. Studienrat Prof. Dr. H. BÖTTGER in Berlin-Grunewald.
- " Dr. Bohner in Schwarzkolm.
- " Dr. A. Bokowski in Lüneburg.
- " Regierungsrat Dr. E. Bollt in Charlottenburg.
- " Regierungsrat Dr. W. Bothe in Charlottenburg.
- " Fregattenkapitän a. D. Boykow in Berlin-Schöneberg.
- " Dr. W. BRAUNBEK in Stuttgart.
- " Dr. H. Bredemeier in Göttingen.
- " Prof. Dr. A. von Brunn in Danzig-Langfuhr.

Herr Prof. Dr. A. H. BUCHERER in Bonn.

" Prof. Dr. EBERHARD BUCHWALD in Danzig.

" Dr. A. BURMESTER in Charlottenburg.

" Prof. Dr. A. Byk in Charlottenburg.

" Prof. Dr. P. CERMAK in Gießen.

Prof. Dr. A. COEHN in Göttingen.

Frl. Studienassessor Käthe Conrad in Berlin.

Herr Prof. Dr. V. CONRAD in Wien.

" Dr. M. CZERNY in Berlin.

" Prof. Dr. F. DESSAUER in Frankfurt a. M.

" Dr. R. DIETERLE in Charlottenburg.

" Dr. O. DROYSEN in Berlin-Friedenau.

.. Dr. H. EBERT in Charlottenburg.

Dr. Ludwig Ebert in Kopenhagen.

" Dr. A. Eggert in Ludwigshafen a. Rh.

" Dr. A. EHRINGHAUS in Göttingen.

" Regierungs-Baumeister Eisner in Berlin-Halensee.

" Dr. V. ENGELHARDT in Charlottenburg.

" Dr. J. ESTERMANN in Hamburg.

" Prof. Dr. E. EVERLING in Berlin-Köpenick.

" Prof. Dr. K. FEDERHOFER in Graz.

" Dr. W. Fehse in Berlin.

" Dr. O. FEUSSNER in Hanau-Wilhelmsbad.

" Dr. F. FISCHER in Berlin-Steglitz.

" Prof. Dr. V. Fischer in Frankfurt a. M.

" Dr. A. Fraenckel in Stuttgart.

" Prof. Dr. J. Franck in Göttingen.

" Prof. Dr. H. FRICKE in Charlottenburg.

" Dr. K. FRICKE in Wetzlar.

" Dr. R. FÜRTH in Prag.

" Dr. E. Fues in Stuttgart.

" Dr. FRITZ GAISSER in Stuttgart.

, Prof. Dr. E. GEHRCKE in Charlottenburg.

Dr. A. GEHRTS in Berlin-Friedenau.

" Prof. Dr. WALTER GERLACH in Tübingen.

" Dr. C. GERTHSEN in Kiel.

" Ingenieur W. GEYGER in Frankfurt a. M.

Frl. Dr. H. GIESELER in Potsdam.

Herr Prof. Dr. M. GILDEMEISTER in Berlin.

" Prof. Dr. R. GLOCKER in Stuttgart.

" Dr. A. Goetz in Göttingen.

Herr Prof. Dr. E. GOLDSTRIN in Berlin

- Dr. GONELL in Berlin-Dahlem.
- Prof. Dr. R. GRAMMEL in Stuttgart.
- Prof. Dr. R. GROSS in Greifswald.
- Dr. W. GROTRIAN in Potsdam.
- Geh. Regierungsrat Prof. Dr. E. GRÜNEISEN in Charlottenburg.
- Dr. B. GUDDEN in Göttingen.
- Prof. Dr. A. GUNTHER-SCHULZE in Charlottenburg.
- Dr. E. J. GUMBEL in Heidelberg.
- Geh. Regierungsrat Prof. Dr. E. GUMLICH in Charlottenburg.

Frl. Dr. A. Gumprich in Berlin.

Herr Dr. B. Gutenberg in Darmstadt.

- Studienassessor W. Gutzett in Berlin.
- Dr. A. GYEMANT in Berlin-Lichterfelde.
- Dr. H. HAALCK in Göttingen.
- Prof. Dr. O. HAHN in Berlin-Dahlem.
- Prof. Dr. H. v. HALBAN in Frankfurt a. M.
- Dr. MAX HARDTMANN in Leverkusen.
- Dipl.-Ing. H. HAUSEN in Pullach b. München.
- Prof. Dr H. HAUSRATH in Durlach bei Karlsruhe.
- Dr. G. HECKMANN in Göttingen.
- Dr. KURT HEEGNER in Berlin.
- Prof. Dr. W. W. Heinrich in Prag-Smichow.
- Dr. H. HENCKY in Rijswijk, Holland.
- Prof. Dr. Fr. HENNING in Berlin-Lichterfelde.
- Prof. Dr. W. HERZ in Breslau.
- Dr. KARL HERZFELD in München.
- Prof. Dr. V. Hess in Graz.
- Dr. W. HINRICHS in Berlin-Wilmersdorf.
- Dr. CHR. V. HOFE in Berlin-Zehlendorf.
- Prof. Dr. FR. HOFFMANN in Charlottenburg.
- Prof. Dr. GERHARD HOFFMANN in Königsberg i. Pr.
- Prof. Dr. J. HOLTSMARK in Drontheim.
- Prof. Dr. L. Hopf in Aachen.
- Prof. Dr. E. v. Hornbostel in Berlin-Steglitz.
- Prof. Dr. W. Hort in Charlottenburg.
- Dr. Fr. HUND in Göttingen.
- Dr. R. JAEGER in Berlin-Friedenau.
- Geh. Regierungsrat Prof. Dr. W. JAEGER in Berlin-Friedenau.
- Prof. Dr. M. JAKOB in Charlottenburg.
- Dr. W. JENGE in Dortmund.

Herr Dr. HANS S. JOACHIM in Cassel.

" Dr. G. Joos in Jena.

" Dr. W. KAST in Halle.

" Prof. Dr. Hugo Kauffmann in Stuttgart-Reutlingen.

Dr. KARL KEIL in Lindenberg, Kreis Beeskow.

Frl. Dr. KLEPP in Graz.

Herr Dr.-Ing. KLEWE in Berlin.

" Dr. P. Knipping in Darmstadt.

" H. Koch in Charlottenburg.

" Prof. Dr. P. P. Koch in Hamburg.

" Dr. E. König in Dresden.

" Prof. Dr. J. Koenigsberger in Freiburg i. B.

. Prof. Dr. K. W. FRITZ KOHLRAUSCH in Graz.

" Dr. A. Kohlschütter in Potsdam.

Frl. Dr. H. KOHN in Breslau.

Herr Dr. W. KOLHÖRSTER in Berlin-Schöneberg.

, Dr. N. H. KOLKMEIJER in Bilt bei Utrecht.

" Dr. H. Koschmieder in Frankfurt a. M.

. Prof. Dr. Walter Kossel in Kiel.

" Prof. Dr. A. Kratzer in Münster i. W.

" Prof. Dr. Erich Kretschmann in Königsberg i. Pr.

" Dr. H. KÜSTNER in Göttingen.

" Dr. HELMUTH KULENKAMPFF in München.

" Dr. WILLY KUNZE in Bremen.

" Prof. Dr. R. LADENBURG in Berlin-Schlachtensee.

" Dr. K. Lanczos in Frankfurt a. M.

" Prof. Dr. A. Lande in Tübingen.

" Dr. O. LAPORTE.

Frl. Dr. GERDA LASKI in Berlin.

Herr Dr. E. LAU in Charlottenburg.

" Dr. LAUCH in Leipzig.

Frl. Dr. ELLEN LAX in Berlin-Tempelhof.

Herr Prof. Dr. L. LEVY in Berlin.

" Dr. F. Linke in Frankfurt a. M.

" Prof. Dr. E. LOHR in Brünn.

" Prof. Dr. R. LORENZ in Frankfurt a. M.

Prof. Dr. P. Ludewig in Freiberg i. Sa.

, Dr. E. LUBCKE in Berlin-Siemensstadt.

" Prof. Dr. Gustav Lübeck in Guben.

, Prof. Dr. H. MACHE in Wien.

" Prof. Dr. MAINKA in Göttingen.

Herr Dr. H. MARK in Berlin-Dahlem.

- " Prof. Dr. O. MARTIENSSEN in Kiel.
- " Dr. R. MECKE in Bonn.
- " Dr. W. MEIDINGER in Berlin-Steglitz.
- " Regierungsrat Dr. WALTER MEISSNER in Berlin-Friedenau.

Frl. Prof. Dr. LISE MEITNER in Berlin-Dahlem.

Herr Dr. G. MICHEL in Berlin-Wilmersdorf.

Frl. Dr. H. MIETHING in Hermsdorf.

Herr Dr. R. MINKOWSKI in Hamburg.

- " Prof. Dr. R. v. Mises in Berlin.
- " Dr. W. Möbius in Leipzig.
- " Regierungsrat Dr. Guido Moeller in Berlin.
- " Dr. F. Moench in Berlin-Schöneberg.
- " Prof. Dr. S. Moнorovičić in Zagreb.
- " Dr. A. MÜLLER in Buschdorf b. Bonn.
- " Regierungsrat Dr. CARL MÜLLER in Charlottenburg.
- " Dr.-Ing. A. Nádai in Göttingen.
- " Dipl.-Ing. F. NAGEL in Göttingen.
- " KURT NESSELMANN in Danzig.
- " Prof. Dr. R. NEUENDORFF in Kiel.
- " Dr.-Ing. F. F. NORD in Berlin-Grunewald.
- " Dr. L. NORDHEIM in Göttingen.
- " Dr. Otto Oldenberg in Göttingen.
- " Prof. Dr. L. Ornstein in Utrecht.
- " Dr. J. Otto in Berlin-Schlachtensee.
- " Dr. ARTHUR PARTZSCH in Berlin-Karlshorst.
- " Dr. W. PAULI jr. in Hamburg.
- " Dr. RUDOLF PERCY in Wien.
- " Dr. K. Philipp in Berlin-Steglitz.
- " Prof. Dr. M. PIRANI in Berlin-Wilmersdorf.
- " Dr. H. PLAUT in Berlin-Wilmersdorf.
- " Dr. E. Podszus in Berlin-Friedrichshagen.
- " Prof. Dr. R. Pohl in Göttingen.
- " Dr. M. POLANYI in Berlin-Dahlem.
- " Prof. Dr. P. PRINGSHEIM in Berlin.
- Prof. Dr. K. PRZIBRAM in Wien.

Frl. Dr. Gabriele Rabel in Stuttgart.

Herr Dr. W. P. RADT in Berlin-Karlshorst.

- " Dr. J. RATZERSDORFER in Breslau.
- " Dr. F. v. RAUTENFELD in Würzburg.
- " Dr. O. REEB in Berlin-Treptow.

Herr Prof. Dr. E. REGENER in Stuttgart.

- .. Dr. H. REIHER in München.
- Dr. O. REINKOBER in Greifswald.
- . Prof. Dr. F JAIESENFELD in Berlin.
- " Dr. M. Rönger in Clausthal a. Harz.
- Prof. Dr. HERMANN ROHMANN in Hannöversch-Münden.

Frl. Dr. ELISABETH RONA.

Herr Dr. EDUARD RÜCHARDT in München.

- Dr. A. RUTTENAUER in Berlin.
- Dr. G. SACHS in Berlin-Dahlem.
- Dr. RUDOLF SÄNGEWALD in Leipzig.
- " Dr. A. SALB in München.
- Dr. H. SALINGER in Berlin.
- , Dr. Curt Samson in Berlin.
- Prof. Dr. R. SCHACHENMEIER in Berlin-Pankow.
- " Geh. Regierungsrat Prof. Dr. K. SCHEEL in Berlin-Dahl
- " Dr. H. Scheffers in Berlin-Dahlem.
- " Regierungsrat Dr. Scheld in Charlottenburg.
- " Dr. Helmut Schering in Hannöversch-Münden.
 - Dr. Ernst Schiebold in Berlin-Dahlem.
- " Dr. E. Schilling in Danzig-Langfuhr.
- " Dr. Erich Schmid in Berlin-Dahlem.
- " Prof. Dr. G. C. SCHMIDT in Münster i. W.
- " Dr. HARRY SCHMIDT in Cöthen.
- " Dr. H. Schönborn in Berlin-Lichterfelde.
- " Dr. W. Schreiber in Weißwasser, O.-L.
- " Dr. Otto Schreier in Wien.
- " Dr. F. Schröter in Berlin-Schmargendorf.
- , Dipl.-Ing. G. Schubert in Dresden.
- " Dr. HANS R. SCHULZ in Berlin-Lichterfelde.
- " Prof. Dr. W. SCHUMANN in München.
- , Dr. Georg-Maria Schwab in Berlin.
- " Studienrat H. Schwerdt in Berlin-Schöneberg.
- , Dr.-Ing. EDWIN SCHWERIN in Charlottenburg.
- " Prof. Dr. R. SEELIGER in Greifswald.
- " Dr. H. Sell in Siemensstadt.
- " Dr. A. SEMM in Berlin.
- " Dr. Sexl in Wien.
- " Dr. Fr. Simon in Berlin.
- " Dr. H. SIRK in Wien.
- " Dr. M. SJESTRÖM in Upsala.

Herr Dr. F. SKAUPY in Berlin.

- " Prof. Dr. A. SMEKAL in Wien.
- " Geheimrat Prof. Dr. A. SOMMERFELD in München.

Frl Dr. HERTHA SPONER in Göttinger

Hern Studienassessor FRITZ STÄBLEIN in Lesen.

- " Prof. Dr. H. v. STEINWEHR in Berlin-Lichterfelde.
- " Prof. Dr. K. STÖCKL in Regensburg.
- .. Dr. STÜBLER in Berlin.
- " Dr. E. STÜBLER in Berlin-Dahlem.
- " Dr. F. Stumpf in Neubabelsberg.
- " Dr. K. SUHRMANN in Breslau.
- " Dipl.-Ing. R. SWINNE in Zehlendorf.

Frl. Dr. LILLI SZABÓ in Budapest.

Herr Dr. A. SZEKELY in Graz.

- " Prof. Dr. G. Szivessy in Münster i. W.
- " Prof. Dr. HANS THIRRING in Wien.
- " Prof. Dr. E. TREFFTZ in Dresden.
- . Prof. Dr. K. Uller in Gießen.
- " Prof. Dr. S. VALENTINER in Clausthal, Harz.
- " Dr. R. Vieweg in Charlottenburg.
- " Dr. H. Vogr in Heidelberg-Königstuhl.
- " Prof. Dr. R. WACHSMUTH in Frankfurt a. M.
- .. Prof. Dr. E. WAELSCH in Brünn.
- " Prof. Dr. E. WAETZMANN in Breslau.
- " Prof. Dr. WAGNER in Berlin.
- "- Prof. Dr. J. WALLOT in Charlottenburg.
- " Dr. R. WALTER in Halle.
- " Dipl.-Ing. C. Weber in Duisburg-Meiderich.
- " Prof. Dr. Fr. Weigert in Leipzig.
- " Dr. G. WENTZEL in München.
- " Dr. ALFRED WENZEL in Brandenburg.
- " Dr. A. WERNER in Göttingen.
- " Prof. Dr. K. WIEGHARDT in Dresden.
- " Postrat Dr. Winnig in Berlin.
- . Dr. K. WOHL in Charlottenburg.
- " Prof. Dr. K. Wolf in Wien.
- " Prof. Dr. J. WÜRSCHMIDT in Essen a. d. Ruhr.
- " Regierungsrat Dr. ZICKNER in Charlottenburg.
- " Dr. H. Zweiling in Münster i. W.

Verzeichnis

der für die Physikalischen Berichte benutzten Zeitschriften

Referate, welche vor dem Namen des Referenten mit * bezeichnet sind, sind aus dem Chemisch Zentralblatt, diejenigen mit ** aus den Berichten über die gesamte Physiologie abgedruc

Abhandlgn. d. Berl. Akad. = Abhand- Ann. de Toulouse = Annales de lungen der Preußischen Akademie der Wissenschaften. Physikalisch-mathematische Klasse. Kommissionsverlag bei der Vereinigung Wissenschaftlicher Verleger Walter de Gruyter & Co. in

Abhandlgn, Leipzig sh. Leipziger Ab-

handlungen.

Acad. of Nat. mongr. = The Academy of Nations Monographs. Scientific Series P. Secretary: Robert T. Browne in

Brooklyn.

Acetylen = Acetylen in Wissenschaft und Industrie mit Beiblatt: Autogene Metallbearbeitung. Herausgegeben von Th. Kautny in Düsseldorf. Verlag von C. Marhold in Halle.

Acta Dorpat = Acta et Commentationes universitatis Dorpatiensis. A. Mathe-

matica, Physica, Medica.

Acta Universitatis Lundensis s. Lunds Årsskrift.

AEG Mitt. = AEG Mitteilungen. Redakteur: M. Grunwald in Berlin. Verlag Norden in Berlin NW.

Allg. Automobil-Ztg. = Allgemeine Automobil-Zeitung. Verlag von Klasing

& Co. in Berlin.

Amer. Journ. of Science sh. Sill. Journ. Amer. Machin. = American Machinist. The international Journal of Machine Construction. Published by McGraw-Hill Publishing Co., Ltd. in London.

Ann. d. Hydrogr. = Annalen der Hydrographie und maritimen Meteorologie. Zeitschrift für Seefahrt- und Meereskunde. Herausgegeben von der Deutschen Seewarte in Hamburg. Verlag von E. S. Mittler & Sohn in Berlin.

Ann. d. Phys. = Annalen der Physik. Herausgegeb. von W. Wien in München und M. Planck in Berlin. Verlag von Johann Ambrosius Barth in Leipzig.

Ann. de phys. = Annales de physique. Herausgegeben von M. Brillouin und J. Perrin und A. Cotton in Paris. Masson et Cie., Éditeurs in Paris.

Faculté des Sciences de l'université Toulouse. Verlag: Gauthier-Villars Paris und Édouard Privat in Toulor

Apparatebau = Der Apparatebau. Z schrift für den gesamten Apparateb Schriftleiter: L. Meyer in Hanno Besonderer Verlag in Hannover.

Arch. d. D. Seewarte = Aus dem Arc der Deutschen Seewarte, Hambi Druck von Hammerich & Lesser

Altona. Arch. sc. phys. et nat. = Archives

sciences physiques et naturelles. G rue du vieux collège, 4. Musée Teyler = Archives

Musée Teyler, Haarlem.

Néerland. Name of Street, or other Designation of Street, or other Desig Archives N landaises des Sciences Exactes et

Arch. f. Elektrot. = Archiv für Elekt technik. Herausg. von W. Rogowsk Aachen. Verlag von J. Springer

L'Arduo = L'Arduo Rivista Scienza Filosofia e Storia. Diretta da B. B. coli e G. Saitta. Segretario di re zione: S. Timpanaro, Bologna, Arienti 40.

Ark. f. Kemi, Min. och Geol. = Ar för Kemi, Mineralogi och Geol Utgivet av K. Svenska Vedenska

akademien, Stockholm.

Ark. f. Mat., Astron. och Fys. = A för Matematik, Astronomi och Fy Utgivet av K. Svenska Vedenska akademien, Stockholm.

Astron. Nachr. = Astronomische Na richten. Herausgegeben von H. Kol in Kiel. Druck von C. Schaidt in B

Astrophys. Journ. = The Astrophys Journ. Edited by George E. Hal-Washington, Edwin B. Frost in Chica Henry G. Gale in Chicago. The versity of Chicago Press, Chicago.

Atelier = Das Atelier des Photograp Schriftleiter: O. Mente in Charlot burg, H. Spörl in München und Matthies-Masuren in Halle. Verlag von Bull. Nat. Res. Counc. = Bulletin of the

Wilhelm Knapp in Halle a. S.

ti di Torino = Atti della Reale Accademia delle Scienze di Torino publicati dagli accademici segretari delle due classe. Verlag von Fratelli Bocca in Turin.

atomotive Industr. = Automotive Industries. Untertitel: The Automobile. Verlag: The Class Journal Co., New

York City.

eiträge z. Anat., Physiol. usw. = Beiträge zur Anatomie, Physiologie, Pathologie und Therapie des Ohres, der Nase und des Halses. Herausgegeben von A. Passow und K. L. Schaefer in Berlin. Verlag von S. Kargen in Berlin. ell Syst. Techn. Journ. = The Bell System Technical Journal. Editor: R. W. King in New York. Verlag der American Telephone and Telegraph Company in New York.

ell Teleph. Quart. = Bell Telephone Quarterly. Published for the Bell System by the American Telephone and Telegraph Company in New York. er. d. naturf. Ges. Freiburg = Berichte der naturforschenden Gesellschaft zu Freiburg i. B. Herausgegeben von W. Deecke in Freiburg i. B. missions-Verlag bei Speyer & Kaerner

in Freiburg i. B.

er. d. Oberhess. Ges. = Bericht der Oberhessischen Gesellschaft für Naturund Heilkunde zu Gießen. wissenschaftliche Abteilung. Verlag: Töpelmann in Gießen.

ericht über die Tätigkeit des Preußischen

Meteorologischen Instituts.

erl. Ber. = Sitzungsberichte der preußischen Akademie der Wissenschaften. Selbstverlag der Akademie.

etrieb. Verlag des Vereins deutscher Ingenieure. Schriftleiter: A. Schilling,

sh. Maschinenbau.

ill. Acad. Roumaine = Bulletin de la Section Scientifique de l'Académie Roumaine. Publié par le Secrétaire de la Section Gr. Antipa, Bucarest.

Ill. Astron. = Bulletin Astronomique. Revue générale des travaux astro-Herausgegeben von B. nomiques. Baillaud in Paris. Gauthier-Villars et Cie. in Paris.

ill. de Belg. = Académie royale de Bulletin de la Classe des

Belgique.

Sciences. Ill. Bucarest sh. Bull. Acad. Roumaine. ill. Calcutta Math. Soc. = Bulletin of the Calcutta Mathematical Society.

National Research Council. Published by the Nat. Res. Counc. of the National Academy of Sciences, Washington,

Bull. Schweiz. Elektrotechn. Ver. Schweizerischer Elektrotechnischer Verein, Bulletin, Association suisse des électriciens. Herausgegeben vom Vorstande des S. E. V., Zürich, Generalsekretariat. Fachschriften-Verlag und Buchdruckerei A.-G. in Zürich.

Bull. soc. vaud. = Bulletin de la société vaudoise des sciences naturelles. Publié sous la direction du Comité par A. Librairie Maillefer in Lausanne.

F. Rouge & Cie. in Lausanne.

Bull. südslaw. Acad. d. Wiss. = Bulletin des travaux de la classe des sciences mathématiques et naturelles de l'Académie des sciences et des arts des Slaves du Sud de Zagreb (Croatie, Yougoslavie).

Centralbl. f. Min. = Centralblatt für Mineralogie, Geologie und Paläontologie. Herausgegeben von R. Brauns in Bonn, E. Kaiser in München, E. Hennig in Tübingen, J. E. Pompeckj in Berlin. Verlag von E. Schweizerbart in Stuttgart.

Central-Ztg. f. Opt. u. Mech. = Central-Zeitung für Optik und Mechanik, Elektrotechnik und verwandte Berufszweige. Schriftleitung: Harting in Verlag Berlin Berlin-Schlachtensee.

Chem, and Metallurg. Eng. - Chemical and Metallurgical Engineering, New

Chem.-Ztg. = Chemiker-Zeitung. Schriftleiter: W. Roth in Cöthen. Verlag der Chemiker-Zeitung Otto v. Halem in Cöthen (Anhalt).

Chem. Apparatur = Chemische Apparatur. Schriftleiter: B. Block in Charlottenburg. Verlag von O. Spamer in

Leipzig.

Chem. Ber. = Berichte der Deutschen Chemischen Gesellschaft. Wissenschaftliche Redakteure: F. Haber, K. A. Hofmann, C. Neuberg, R. Pschorr, M. Volmer, R. Willstätter. Technische Redakteure: R. Stelzner, G. Haas. Verlag Chemie in Berlin und Leipzig.

Chim. et Ind. = Chimie et Industrie. Redakteur: Camille Matignon. Verlag:

Jean Gérard in Paris.

Cim. = Il Nuovo Cimento. Redaktion: V. Volterra, A. Garbasso, L. Puccianti. Verlag: Nicola Zanichelli in Bologna. Circular Bur. of Stand. = Circular of the Bureau of Standards Washington.

Comm. Leiden = Onnes Comm. = Communications from the Physical Laboratory of the University of Leiden. Herausgegeben von H. Kamerlingh Onnes in Leiden.

Compr. Air Mag. = Compressed Air Magazine. New York, Broadway 11.

C. R. = Comptes Rendus hebdomadaires des séances de l'académie des sciences. Paris, Gauthier-Villars et Cie.

C. R. Séance Soc. de phys. de Genève

sh. Arch. sc. phys. et nat.

Comm. Fenn. = Societas Scientiarum Fennica. Commentationes physico-

mathematicae. Helsingfors.

Contrib. Estud. Cienc. = Contribución al estudio de las ciencias Fisicas y matematicas. Universidad Nacional de La Plata.

D. Automobil-Ztg. = Deutsche Automobil-Zeitung. Verlag und Geschäftsstelle: Richard Germer in Hamburg.

Wochenschr. = Deutsche Mediz. Medizinische Wochenschrift. Herausgegeben von J. Schwalbe in Charlottenburg. Verlag von G. Thieme in Leipzig.

D. Opt. Wochenschr. = Deutsche Optische Wochenschrift. Herausgegeben von R. Greeff in Berlin u. H. Pistor in Jena. Verlag v. Gebr. Richter in Erfurt.

Dinglers Journ. = Dinglers polytechnisches Journal. Verlag von R. Dietze in Berlin.

Dubl. Proc. = The Scientific Proceedings of the Royal Dublin Society. Verlag von Williams & Norgate in London (sh. Scientific Proc.).

Electr. Rev. = Electrical Review. London,

Ludgate Hill 4. Electrical World. Editors: W. Onken jr. and H. V. Bozell. Published by the Graw-Hill Comp. Inc. New York.

Electrician = The Electrician. Published by Benn Brothers, Ltd., London. L'électricien. Redakteur: L. D. Four-

cault. Verlag: Dunod in Paris.

Elektr. Nachr.-Techn. = Elektrische

Nachrichtentechnik. Herausgegeben von K. W. Wagner. Schriftleiter: E. Moench und H. Salinger in Berlin. Verlag: Weidmannsche Buchhandlung in Berlin.

Elektro Journ. -Elektro Journal. Monatsschrift für alle Gebiete der Elektrotechnik. Redaktion: H. Osten in Charlottenburg. Verlag: Rom-

Verlag in Charlottenburg.

Elektrot. u. Maschinenb. = Elekt technik und Maschinenbau. Zeitsch des Elektrotechnischen Vereins Schriftleitung: A. Grünhut Wien. Wien. Verlag des Elektrotechnisel Vereins in Wien.

Elektrot. ZS. = Elektrotechnische Z (Zentralblatt für Elekt schrift technik). Schriftleitung: E. C. Zeh und F. Meissner in Berlin. Verlag

Julius Springer in Berlin.

Engineer = The Engineer, London. Engineering. Redaktion: W. H. M and A. Richardson, London. Verl London, Bedford Street.

Engin. and Min. Journ. = Engineer

and Mining Journal-Press, New Yo Eng. News-Rec. = Engineering Ne Record. Editor: Frank C. Wig Verlag: Mc Graw-Hill Co. in New Yo

Erlanger Ber. = Erlanger Sitz.-Ber. Sitzungsberichte d. Physikalisch-me zinischen Societät in Erlangen. K digiert von Oskar Schulz. missionsverlag von M. Mencke Erlangen.

Feuerungstechn. = Feuerungstecht Zeitschrift für den Bau und Betr feuerungstechnischer Anlagen. Hera gegeben von P. Wangemann in Ber Verlag von O. Spamer in Leipzig.

Forh. Kristiania = Forhandlinger Videnskapsselskapet i Kristiania. Kommission Hos Jacob Dybw

Kristiania.

Fortschr. a. d. Geb. d. Röntgenstr. = F schritte auf dem Gebiete der Rönts strahlen. Herausgegeben von Alb Schönberg. Verlag von L. Gräfe

Sillem in Hamburg. Fysisk Tidsskr. = Fysisk Tidssk Redigeret af H. M. Hansen og E. Johansen, for Skolespørgsmaals v kommende af L. Christiansen. Ve von Hovedkommissionaer Jul. Gje

rup in Kopenhagen.

Gas- u. Wasserfach sh. Journ. f. Gas Gen. Electr. Rev. = General Elec Review. Published by General Elec-Company's Publication Bureau, So nectady, New York.

Geofys. Publ. = Geofysiske Publikatio Utgit av den Geofysiske Kommiss

Kristiania.

Gestaltung. Verlag des Vereins deutsc Ingenieure. Schriftleiter: A. Schill sh. Maschinenbau.

Gesundheits-Ing. = Gesundheits-In nieur. Zeitschrift für die gesa Städtehygiene. Schriftleitung: E Boehmer in Berlin-Lichterfelde u. a. Journ. Amer. Chem. Soc. = The Journal Verlag von R. Oldenbourg in München of the American Chemical Society.

und Berlin.

ewerbefleiß = Gewerbefleiß. Zeitschrift des Vereins zur Beförderung des Gewerbefleißes. Schriftleitung: Steger in Charlottenburg. Verlag: R. Boll in Berlin.

eßerei-Ztg. = Gießerei-Zeitung. Zeitschrift für das gesamte Gießereiwesen. Schriftleitung: Fr. Bock und J. Schmauser. Verlag von R. Mosse in

Berlin.

as u. Apparat = Glas und Apparat, Fachzeitschrift für den gesamten Laboratoriumsbedarf usw. Verlag R. Wagner & Sohn in Weimar.

asers Ann. = Glasers Annalen. Herausgegeben vom Verlag der Firma F. C.

Glaser in Berlin.

ashütte = Die Glashütte. Zeitschrift für die gesamte Glasindustrie, Emailleindustrie und verwandte Zweige. Verlag und verantwortlicher Leiter K. Fahdt in Dresden-A.

astechn. Ber. = Glastechnische Berichte,

sh. Sprechsaal.

öttinger Nachr. = Nachrichten von der Gesellschaft der Wissenschaften zu Göttingen. Verlag: Weidmannsche Buchhandlung in Berlin.

undlingar Stockholm = Kungl. Svenska Vetenskapsakademiens Handlingar,

Stockholm.

Rundschau. Schriftleitung: J. Ritter und H. Chr. Nussbaum in Hannover. Verlag von Carl Marhold in Halle a. S. elios = Helios. Fach- u. Export-Zeitschrift für Elektrotechnik. Schriftleitung: Karl Fredenhagen in Greifswald. Verlag von Hachmeister & Thal in Leipzig.

Acta = Helvetica Chimica Acta. Redaktionskomitee: E. Briner in Genfu. a. Verlag v. Georg & Co., Basel. on Age = The Iron Age, New York. hrb. d. geol. Bundesanst. = Jahrbuch der geologischen Bundesanstalt in

Wien.

hrb. d. Radioakt. sh. Phys. ZS. hrb. d. drahtl. Telegr. = Jahrbuch der drahtlosen Telegraphie und Telephonie. Zeitschrift für Hochfrequenzechnik. Herausgegeben von Eugen Nesper in Berlin. Verlag von M. Krayn in Berlin.

p. Journ. Astron. = Japanese Journal of Astronomy and Geophysics. Transactions and Abstracts. Tokyo.

Journ. Amer. Chem. Soc. = The Journal of the American Chemical Society. Redakteur: A. B. Lamb. Published by the American Chemical Society, Easton, Pa.

Journ. Amer. Inst. Electr. Eng. =
Journal of the American Institute of
Electrical Engineers, New York.

Journ. chem. soc. = Journal of the chemical Society, containing Papers communicated to the Society. Editors:
A. E. Greenaway, Cl. Smith. Verlag von Gurney and Jackson in London.

Journ. chim. phys. = Journal de chimie physique. Herausgegeben von C. Marie in Paris. Verlag von Gauthier-Villars

in Paris.

Journ. de phys. et le Radium = Le journal de physique et le radium. Publication de la société française de

physique in Paris.

Journ. f. Gasbeleuchtg. = Das Gas- u. Wasserfach. Journal für Gasbeleuchtung und Wasserversorgung. Herausgegeben von K. Bunte in Karlsruhe und Karl Lempelius in Berlin. Verlag von R. Oldenbourg in München und Berlin.

Journ. f. prakt. Chem. — Journal für praktische Chemie. Herausgegeben von J. Bredt, Th. Curtius, A. Darapsky, K. Elbs, O. Fischer, F. Foerster, B. Rassow. Verlag von J. A. Barth in Leipzig.

Journ. Frankl. Inst. = Journal of the Franklin Institute. Herausgeber: G.A. Hoadley. Philadelphia, eigener Verlag.

Journ. Inst. Electr. Eng. = The Journal of the Institution of Electrical Engineers. Edited by P. F. Rowell. Verlag: E, and F. N. Spon Ltd. in London und Spon and Chamberlain in New York.

Journ. Math. Phys. = Journal of Mathematics and Physics. Massachusetts Institute of Technology. Herausgeber: Cl. L. E. Moore. Selbstverlag.

Journ. Opt. Soc. Amer. — Journal of the Optical Society of America and Review of Scientific Instruments. Editor: P. D. Foote in Washington. Published Monthly by the Optical Society of America.

Journ. phys. chem. = The Journal of the physical Chemistry. Editor: Wilder D. Bancroft in Ithaca, N. Y.

Journ. scient. instr. = Journal of scientific instruments. A Monthly Publication, produced by the Institute of Physics with the co-operation of the

National Physical Laboratory. Editor: John S. Anderson in Teddington. Selbstverlag des Institute of Physics in London.

Journ. Washington Acad. = Journal of the Washington Academy of Sciences. Herausgeber: E. P. Killip, W. F. Meggers, D. F. Hewett. Verlag: William & Wilkins Comp. in Baltimore.

Keram. Rundsch. = Keramische Rund-Schriftleiter: H. Hecht in Berlin. Verlag: Keramische Rundschau, G. m. b. H. in Berlin.

Kinotechnik, Die. Redaktion: Joh. Rolle in Berlin. Verlag von G. Hacke-

beil, A.-G. in Berlin.

Kolloidchem. Beih. = Kolloidchemische Beihefte (Ergänzungshefte zur Kolloid-Zeitschrift). Monographien zur reinen und angewandten Kolloidchemie. Herausgegeben von Wo. Ostwald in Leipzig. Verlag von Th. Steinkopff in Dresden und Leipzig.

Kolloid-ZS. = Kolloid-Zeitschrift. Herausgegeben von Wo. Ostwald in Leipzig. Verlag von Th. Steinkopff in Dresden und Leipzig.

Krakauer Anzeiger = Anzeiger der Akademie der Wissenschaften in Krakau. Reihe A: Mathem. Wissenschaften.

Kruppsche Monatsh. = Kruppsche Monatshefte. Verlag der Friedr. Krupp Aktiengesellschaft in Essen.

Leipziger Abhandlgn. = Abhandlungen mathematisch - physikalischen Klasse der Sächsischen Gesellschaft der Wissenschaften. Verlag von B. G. Teubner in Leipzig.

Leipziger Ber. = Berichte über die Verhandlungen der Sächsischen Akademie der Wissenschaften zu Leipzig. Mathematisch-physikalische Klasse. Verlag von B. G. Teubner in Leipzig.

Lincei Rend. = Atti della reale accademia dei Lincei, Rendiconti. Classe di scienze fisiche, matematiche e naturali.

Rom.

Lunds Arsskrift = Acta Universitatis Lundensis. Lunds Universitets Års-Lund, C. W. K. Gleerup; Leipzig, O. Harrassowitz.

Machinery = Machinery. The Machinery Publishing Co. London, Chancery

Machinery = Machinery. The Industrial Press, New York.

Maschinenbau. Erscheint in drei Teilen: Gestaltung, Betrieb u. Wirtschaft, Verlag des Vereins deutscher Ingenieure.

Medd. Kopenhagen = Mathemat fysiske Meddelelser, Kgl. Dan Videnskabernes Selskap, Hovedke missionaer: A. F. Høst & Søn, Køh havn.

Mem. and Proc. Manchester Soc. = 1 moirs and Proceedings of the M chester Literary and Philosoph Society (Manchester Memoirs).

Mem. di Bologna = Memorie della Accademia delle Scienze dell'Istit di Bologna. Classe di Scienze Fisio

Mem. Soc. de Bohême = Memoires la Société Royale des Sciences Bohême. Classe des Sciences. Pr Mém. soc. vaud. = Mémoires de la soc

vaudoise des sciences nature

Lausanne.

Metall u. Erz = Metall und Erz. Z schrift für Metallhüttenwesen und l bergbau einschließlich Aufbereitu Schriftleitung: K. Nugel in Berlin.

lag von W. Knapp in Halle a. S. Meteorol. ZS. — Meteorologische Z schrift. Redigiert von F. M. Exne Wien und R. Süring in Potsdam. lag von Friedr. Vieweg & Sohn A Ges. in Braunschweig.

Misc. Publ. = Miscellaneous Publicati Bureau of Standards. Washing

Mitt. a. d. Materialprüfungsamt = teilungen aus dem Materialprüfu amt und dem Kaiser Wilhelm-Inst für Metallforschung. Verlag J. Springer in Berlin.

Mitt. d. Phys. Ges. Zürich = Mitteilur

d. Physikal. Gesellschaft in Zü Mitt. z. Gesch. d. Med. u. Naturw Mitteilungen zur Geschichte der dizin und der Naturwissenscha Herausgegeben von der Deutschen sellschaft für Geschichte der Med und der Naturwissenschaften v Leitung von K. Sudhoff in Lei Verlag von L. Voss in Leipzig.

Month. Not. = Monthly Notices of

Royal Astronomical Society. Publi by the Society and sold by Whe

& Wesley, London.

Motorwagen = Der Motorwagen. schrift für Automobil-Industrie Motorenbau. Redaktion: R. Co und C. Sperling. Verlag von M. K

Münchener Abh. = Abhandlungen Bayerischen Akademie der Wi schaften. Mathematisch-naturwi

schaftliche Abteilung.

Münchener Ber. = Sitzungsbericht mathematisch - physikalischen K er Bayerischen Akademie der Wissen- | Petroleum = Petroleum. Zeitschrift für chaften zu München. Verlag der Bayerischen Akademie der Wissenchaften, in Kommission des G. Franzchen Verlags (J. Roth) in München. Wochenschr. = nch. Med. hener Medizinische Wochenschrift. Schriftleitung: B. Spatz in München. Verlag von J. F. Lehmann in München. Ehr. f. Luftf. = Nachrichten für Luftahrer. Herausgegeben vom Reichserkehrsministerium (Reichsamt für Luft- und Kraftfahrwesen). Verlag von Gebr. Radetzki in Berlin.

Tur = Natur. Illustrierte Halbmonatschrift für Naturfreunde. Herausgeben von B. Schmid in Leipzig. Verlag von Th. Thomas in Leipzig.

Ture = Nature. A weekly illustrated ournal of Science. Editorial and Pubishing Offices: Macmillan and Co.,

Ltd. London W. C.

turwissensch. = Die Naturwissenchaften. Herausgegeben von A. Beriner in Berlin. Verlag von J. Springer n Berlin.

turw. Wochenschr. = Naturwissenchaftliche Wochenschrift. gegeben von H. Miehe in Berlin. Verlag

on G. Fischer in Jena.

tuurk. Tijdschr. Nederl.-Ind. = Nauurkundig Tijdschrift voor Nederandsch-Indië uitgegeven door de Koninklijke Natuurkundige Vereenigung n Ned.-Indië. Redaktion: H. C. Delsnann. Verlag: Visser & Co. in Weltereden und Martinus Nijhoff in 's Gravenhage.

Jahrb. f. Min. = Neues Jahrbuch für Mineralogie, Geologie und Paläontoogie. Herausgegeben von R. Brauns n Bonn, E. Kaiser in München, E. Hennig in Tübingen, J. E. Pompeckj n Berlin. Verlag von E. Schweizerpart (Erwin Nägele) in Stuttgart.

va Acta Upsal. = Nova Acta Regiae Societatis Scientiarum Upsalensis.

ersigt Finska Vetensk.-Soc. Förh. = fversigt af Finska Vetenskaps-Socieetens Förhandlingar. A. Matematik ch Naturvetenskaper. Helsingsfors. nes Comm. sh. Comm. Leiden.

ician = The Optician and Scientific nstrument-Maker. Edited by Chas. lyatt-Woolf, Publishing and Editorial offices 173-175, Fleet-Street, London,

i. C. 4. . Rundsch. = Optische Rundschau. erlag: Berthold Köhn & Co. in

chweidnitz.

die gesamten Interessen der Mineralöl-Verlag für Fachliteratur Industrie.

G. m. b. H. in Berlin.

Phil. Mag. = The London, Edinburgh, and Dublin Philosophical Magazine, and Journal of Science. Conducted by O. J. Lodge, J. J. Thomson, J. Joly, R. T. Francis and W. Francis. Printed by Taylor and Francis, London.

Phil. Trans. = Philosophical Transactions of the Royal Society of London. Photogr. Chron. = Photographische Chronik. Schriftleiter: H. Spörl in München und L. Tiedemann in Berlin. Verlag von W. Knapp in Halle a. S.

Photogr. Korresp. = Photographische

Korrespondenz.

Photogr. Rundsch. = Photographische Rundschau und Mitteilungen. Redaktion: P. Hanneke in Berlin, Luther in Dresden und F. Matthies in Halle. Verlag der Photographischen Verlagsgesellschaft m. b. H. in Halle a. S. Physica = Neederlandsch Tijdschrift voor

Natuurkunde. Monatlich. Redaktion: A. D. Fokker, E. Oosterhuis, B. van

der Pol. Verlag, Eindhoven.

Phys. Rev. = The Physical Review. A Journal of experimental an theoretical physics. Conducted by the American Physical Society. Managing Editor: Gordon S. Fulcher in New York; Published by the American Physical Society, Corning, N. Y. and Menasha, Wis.

Phys. ZS. = Physikalische Zeitschrift, vereinigt mit dem Jahrbuch für Radioaktivität und Elektronik. Herausgeber P. Debye, F. Harms und R. Seeliger. Verlag von S. Hirzel in Leipzig.

Präzision sh. ZS. f. Feinmech. u. Präzision. Proc. Amer. Acad. = Proceedings of the American Academy of Arts and Sciences. Boston. Published by the Academy.

Proc. Amer. Phil. Sec. = Proceedings of the American Philosophical Society held at Philadelphia for promoting usefull knowledge. Philadelphia. Selbstverlag der Gesellschaft.

Proc. Amsterdam = Proceedings d.

Koninklijke Akademie van Wetenschappen te Amsterdam. Selbstverlag.

Proc. Cambridge Phil. Soc. = Proceedings of the Cambridge Philosophical Society. Herausgegeben von H. F. Baker, F. W. Aston, J. Gray in Cambridge (England). At the University Press.

Proc. Dublin Soc. = The Scientific Proceedings of the Royal Dublin

Society.

Proc. Edinburgh = Proceedings of the Royal Society of Edinburgh. Published by Robert Grant & Son in Edinburgh and Williams & Norgate in London.

Proc. Indian Ass. for the Cultiv. of Sc. =
Proceedings of the Indian Association
for the Cultivation of Science. Redaktion: C. W. Raman in Calcutta.
Printed at the Calcutta University
Press and Published by the Indian
Association for the Cultivation of
Science, Calcutta.

Proc. Inst. Radio Eng. = Proceedings of the Institute of Radio Energineers. Edited by Alfred N. Goldsmith. Selbst-

verlag. New York.

Proc. Nat. Acad. Amer. = Proceedings of the National Academy of Sciences of the United States of America. Publication Office: Eschenbach Printing Company, Easton, Pa. Editorial Office: Harvard School of Public Health, Boston. Home Office of the Academy: Washington, D. C.

Proc. Phys. Soc. = The Physical Society

of London. Proceedings.

Proc. Roy. Soc. London = Proceedings of the Royal Society. Series A, Mathematical and Physical Sciences. Printed for the Royal Society and sold by Harrison & Sons, London.

Publ. Astrophys. Obs. Potsdam = Publikationen des Astrophysikalischen Ob-

servatoriums zu Potsdam.

Publ. La Plata = Universidad nacional de la Plata. Publicaciones de la facultad de ciencias físicomatématicas puras y

aplicadas.

Quarterl. Journ. Microsc. Sc. = The Quarterly Journal of Microscopical Science. Editor: Edwin S. Goodrich in Oxford. Verlag der Oxford University Press, Humphrey Milford, in London.

Radio Rev. = The Radio Review.
Editor: G. W. O. Howe und Ph. R.
Coursey, Strand, London. Printed by
the Whitefriars Press, Ltd., London
and Tonbridge, and Published by the
Wireless Press, Ltd., Strand, London,
W. C.

Refr. Eng. = Refrigerating Engineering.
Published monthly by the American
Society of Refrigerating Engineers.

New York.

Rend. di Bologna = Rendiconto delle sessioni della R. Accademia delle

Scienze dell' Istituto di Bolo Classe di Scienze Fisiche.

Res. Electrot. Lab. Tokyo = Resear of the Electrotechnical Laborat Tokyo.

Rev. d'Opt. = Revue d'optique théor et instrumentale. Paris.

Riv. Artigl. Gen. = Rivista di Artigl e Genio. Stabilimento Poligrafico l'amministrazione della guerra. Ro

Schiffbau. Redaktion: Karl Schain Berlin. Verlag Deutsche Ver

werke in Berlin.

Schriften d. Königsb. Ges. = Schr. der Physikalisch-Ökonomischen Ge schaft zu Königsberg i. Pr.

Science. A Weekly Journal devote the Advancement of Science.

York.

Sc. Reports Tôhoku Univ. = The Sci Reports of the Tôhoku Imperial versity. Herausgegeben v. T. Hay in Sendai. Verlag der Tôhoku Imp University, Sendai, Japan.

Scientia. Editor: Eugenio Rignano. lag: Bologna, Nicola Zanichelli; don, Williams & Norgate; P Félix Alcan. (Abhandlungen in e

franz. und ital. Sprache.) Scient. Amer. = Scientific Amer.

Verlag der Scientific American P shing Co., Munn & Co. in New Y Scient. Pap. Bureau of Stand. = Scient. Pap. Scient. Pap. Stand. = Scientific Pap. Scientific

tific Papers of the Bureau of Stands

Washington.

Scient. Proc. Roy. Dubl. Soc. = Scientific Proceedings of the R

Dublin Society.

Scient. Publ. Eastman Kodak Comp Abridged Scientific Publications the Research Laboratory of the I man Kodak Company. Roche New York. Selbstverlag.

Senckenbergiana. Wissenschaftliche teilungen. Herausgegeben von Senckenbergischen Naturforscher Gesellschaft in Frankfurt a. M.

Sill. Journ. = The American Journ Science. Herausgegeben von Ed S. Dana in New Haven, Conn.

Sirius = Sirius. Rundschau der gesa Sternforschung. Herausgegeben H. H. Kritzinger in Berlin. Verlag E. H. Mayer in Leipzig.

Sitzungsber. Heidelb. Akad. = Sitzuberichte der Heidelberger Akad

der Wissenschaften. naturwissenschaftliche Klasse. Abteilung A. Mathematisch-physikalische Wissenschaften. Heidelberg. Winters Universitätsbuchhandlung.

tz.-Ber. phys.-med. Ges. Würzburg = Sitzungsberichte der physikalisch-medizinischen Gesellschaft zu Würzburg. Kommissionsverlag d. Univ.-Druckerei H. Sturtz, A.-G. in Würzburg. krifter Kristiania = Skrifter utgit av

Videnskapsselskapet Kristiania. i Matematisk - naturvidenskabelig Klasse. J. Kommiss, hos Jacob Dyb-

wad, Kristiania.

prechsaal = Sprechsaal. Zeitschrift für die keramischen, Glas- und verwandten Industrien, mit Beiblatt: Glastechnische Berichte, herausgegeben von der Deutschen Glastechnischen Gesellschaft. Redaktion: J. Koerner in Coburg. Verlag von Müller & Schmidt in Coburg.

tahl u. Eisen = Stahl und Eisen. Zeitschrift für das deutsche Eisenhüttenwesen. Geleitet von O. Petersen in Düsseldorf. Verlag Stahleisen m. b. H.

in Diisseldorf.

trahlentherapie Strahlentherapie. -Mitteilungen aus dem Gebiete der Behandlung mit Röntgenstrahlen, Lichtund radioaktiven Substanzen. Herausgegeben von W. Falta in Wien, C. J. Gauss in Würzburg, Hans Meyer in Bremen und R. Werner in Heidelberg. Verlag von Urban & Schwarzenberg in Berlin und Wien.

echnol. Pap. Bur. of Stand. = Technologic Papers of the Bureau of Standards,

Washington.

elefunken-Ztg. = Telefunken-Zeitung. Herausgegeben von der Gesellschaft für drahtlose Telegraphie m. b. H. in Schriftleitung: K. Solff in Berlin. Berlin.

elegr. u. Fernsprechtechn. = Telegraphen- und Fernsprech - Technik. O. Arendt, Berlin-Schriftleitung: Lichterfelde, und K. Strecker, Berlin. Verlag von R. Dietze, Berlin.

esting, a monthly international Journal devoted to the field of testing materials, structures and machinery. Editor: Charles Osgood Reid. Verlag: The Pulman Publishing Co. in New York. hoku Math. Journ. = The Tôhoku Mathematical Journal. Edited by T. Hayashi, M. Fujiwara, T. Kubota. Verlag von The Tôhoku Imperial University, Sendai, Japan.

Mathematisch- | Trans. Cambr. Phil. Soc. = Transactions of the Cambridge Philosophical Society. Cambridge, At the University Press.

Trans. Edinbg. Rov. Soc. = Transactions of the Royal Society of Edin-

Trans. Faraday Soc. = Transactions of the Faraday Society. London. Published by the Faraday Society.

Trans. Opt. Soc. = Transactions of the Optical Society, Editor: John S. Anderson in Teddington; Published by the Optical Society, Imperial College of Science and Technology, South Kensington.

Unterrichtsbl. f. Math. u. Naturw. = Unterrichtsblätter für Mathematik und Naturwissenschaften. Herausgegeben von Georg Wolff in Hannover. Verlag von Otto Salle in Berlin W 57.

Uppsala Univ. Arsskr. Uppsala Universitets Årsskrift. Matematik och

Naturvetenskap. Uppsala. Verh. d. D. Phys. Ges. = Verhandlungen der Deutschen Physikalischen Gesellschaft. Herausgegeben von Karl Scheel in Berlin-Dahlem. Verlag von Friedr. Vieweg & Sohn Akt.-Ges. in Braunschweig.

Verh. d. geol. Bundesanst. = Verhandlungen der geologischen Bundesanstalt

in Wien.

Verh. d. naturf. Ges. Basel = Verhandlungen der naturforschenden Gesellschaft in Basel. Verlag von Georg & Cie. in Basel.

Verh. d. naturf. Ver. Brünn = Verhandlungen des naturforschenden Ver-

eins in Brünn.

Verm.-Nachr. = Allgemeine Vermessungs-Nachrichten. Schriftleiter: Paul Reiss in Liebenwerda. Verlag von R. Reiss in Liebenwerda.

Vierteljschr. d. naturf. Ges. Zürich = Vierteljahrsschrift der naturforschenden Gesellschaft in Zürich. Herausgegeben von H. Schinz in Zürich. Kommissionsverlag bei Beer & Co. in Zürich.

Wärme = Die Wärme. Zeitschrift für Dampfkessel- und Maschinenbetrieb. Schriftleitung: O. Berner in Magdeburg. Verlag von Rudolf Mosse in Berlin.

Wärme- u. Kälte-Techn. = Wärme- und Kälte-Technik. Herausgegeben von R. Stetefeld in Berlin-Pankow. Verlag von Gebr. Richters in Erfurt.

Wasser u. Gas = Wasser und Gas. Zeitschrift für die Gesamtinteressen des Wasser-, Gas- und Elektrizitätsgebiets. Herausgegeben von Thiesing in Berlin u. a. Verlag: Deutscher Kommunal-

Verlag in Berlin-Friedenau.

Werkstattstechn. = Werkstattstechnik.
Zeitschrift für Fabrikbetrieb und Herstellungsverfahren. Herausgegeben von G. Schlesinger in Berlin. Verlag von J. Springer in Berlin.

Wiener Anz. = Anzeiger der Akademie

der Wissenschaften, Wien.

Wiener Ber. = Sitzungsberichte der Akademie der Wissenschaften in Wien. In Kommission bei Alfred Hölder, Wien.

- Wiener Denkschr. = Denkschriften der Akademie der Wissenschaften. Mathematisch-naturwissenschaftliche Klasse. Wien. In Kommission bei Alfred Hölder.
- Wiss. Veröffentl. a. d. Siemens-Konz.

 =WissenschaftlicheVeröffentlichungen
 aus dem Siemens-Konzern. Herausgegeben von C. D. Harries in Charlottenburg. Verlag von Julius Springer
 in 'Berlin.
- ZS. Bayer. Rev.-Ver. = Zeitschrift des Bayerischen Revisions-Vereins. Organ des Verbandes deutscher Dampfkessel-Überwachungsvereine. Verlag des Verbandes. Schriftleiter: A. Rüster in München.
- ZS. d. Ver. d. Ing. = Zeitschrift des Vereins deutscher Ingenieure. Schriftleiter: D. Meyer in Berlin. VDI-Verlag in Berlin.
- ZS. f. angew. Chem. = Zeitschrift für angewandte Chemie. Schriftleitung: B. Rassow and F. Scharf in Leipzig. Verlag für angewandte Chemie G. m. b. H. in Leipzig.

ZS. f. angew. Geophys. = Zeitschrift für angewandte Geophysik. Herausgegeben von R. Ambronn in Göttingen. Verlag von Gebr. Borntraeger in Berlin

von Gebr. Borntraeger in Berlin.

ZS. f. angew. Math. u. Mech. = Zeitschrift für angewandte Mathematik und Mechanik. Herausgeber: R. v. Mises. Verlag des Vereins deutscher Ingenieure.

ZS. I. anorg. Chem. = Zeitschrift für anorganische und allgemeine Chemie. Herausgegeben von G. Tammann in Göttingen und R. Lorenz in Frankfur. A. M. Verlag von L. Vess in Laiprice.

a. M. Verlag von L. Voss in Leipzig.

ZS. f. Beleuchtungsw. = Zeitschrift für
Beleuchtungswesen. Herausgegeben
von H. Lux in Berlin. Verlag von Boll
& Pickardt in Berlin.

ZS. f. Dampfkessel- u. Masch.-Betr. = Zeitschrift für Dampfkessel- und

Maschinenbetrieb. Schriftleitung: Berner in Magdeburg. Eigener Ver

ZS. f. d. ges. Schieß- u. Sprengsto = Zeitschrift für das gesamte Sch und Sprengstoffwesen. Herausgege von R. Escales in München. Verlag J. F. Lehmann in München.

ZS. f. d. ges. Turbinenw. — Zeitsel für das gesamte Turbinenwesen in bindung mit Wasser- und Wärmer schaft. Herausgegeben von E. Jose Charlottenburg. Verlag von R. Olebourg in München und Berlin.

ZS. f. d. ges. Kälte-Ind. = Zeitschrift die gesamte Kälte-Industrie; zugl Zeitschrift des Deutschen Kälteeins. Herausgegeben von Ma Krause in Berlin. Verlag von R. Olbourg in München und Berlin.

ZS. f. drahtl. Telegr. sh. Jahrbuch

ZS. f. Elektrochem. = Zeitschrift Elektrochemie und angewandte j sikalische Chemie. Herausgegeben der Deutschen Bunsengesellsch Schriftleitung: Erich Müller in Dres Verlag: Chemie in Leipzig.

ZS. f. Feinmech. = Zeitschrift für F mechanik und Präzision. Herausge G. Berndt in Dresden. Verlag: G

Richters in Erfurt.

ZS. f. Fernmeldetechn. = Zeitsci für Fernmeldetechnik, Werk- und rätebau. Herausgegeben von Franke in Berlin-Lankwitz. Verlag R. Oldenbourg in München und Be

ZS. f. Flugtechn. = Zeitschrift für F technik und Motorluftschiffe Schriftleitung: G. Krupp in Be Wissenschaftliche Leitung: L. Pra in Göttingen und Wilh. Hoff in Ad hof. Verlag: R. Oldenbourg in Mother und Berlin.

ZS. f. Geophys. = Zeitschrift für physik. Herausgegeben von der Deschen Geophysikalischen Gesellst von O. Hecker in Jena, E. Wieden Göttingen, G. Angenheister Göttingen. Verlag: Friedr. Vie & Sohn Akt.-Ges. in Braunsch

ZS. f. Instrkde. = Zeitschrift für strumentenkunde. Schriftleitung Göpel in Charlottenburg. Verlag

J. Springer in Berlin.

ZS. 1. kompr. u. flüss. Gase = schrift für komprimierte und flü Gase sowie für die Preßluft-Indus Herausgegeben von A. Sander in Dstadt. Verlag von C. Steiner Weimar.

S. f. Krist. = Zeitschrift für Kristallographie (Kristallgeometrie, Kristallphysik, Kristallchemie). Herausgeber und Schriftleiter: Paul Niggli in Zürich. M. v. Laue in Berlin, P. P. Ewald in Stuttgart, K. Fajans in München. Verlag der Akad. Verlagsges. m. b. H. in Leipzig.

S. f. Maschinenb. = Zeitschrift für Maschinenbau. (Früher ZS. f. prakt. Maschinenb., Deutsche Ausgabe des Amer. Mach.) Schriftleitung: R. Koch in Berlin. Verlag: Deutsche Verlags-

anstalt G. m. b. H. in Berlin.

S. f. math. u. naturw. Unterr. = Zeitschrift für mathematischen und naturwissenschaftlichen Unterricht Schulgattungen. Herausgegeben von H. Schotten in Halle, W. Lietzmann in Göttingen und W. Hillers in Hamburg. Verlag von B. G. Teubner in Leipzig und Berlin.

S. f. Metallkde. = Zeitschrift für Metallkunde. Schriftleitung: W. Guert-ler und H. Groeck in Berlin. Verlag von Gebrüder Borntraeger in Berlin.

S. f. ophthalm. Opt. = Zeitschrift für ophthalmolog. Optik. Herausgegeben von H. Erggelet, R. Greef, E. H. Oppenheimer, M. von Rohr. Verlag

von J. Springer in Berlin. S. f. Phys. = Zeitschrift für Physik. Herausgegeben von der Deutschen Physikalischen Gesellschaft als Er-

gänzung zu ihren Verhandlungen. Redaktion: Karl Scheel in Berlin-Dahlem. Verlag von Friedr. Vieweg & Sohn Akt.-Ges. in Braunschweig und Julius

Springer in Berlin.

ZS. f. phys. Chem. = Zeitschrift für physikalische Chemie, Stöchiometrie und Verwandtschaftslehre. Herausgeber: M. Bodenstein in Berlin und C. Drucker in Leipzig. Verlag: Akademische Verlagsgesellschaft m. b. H. in Leipzig.

ZS. f. Sauerst.- u. Stickstoff-Ind. = Zeitschrift für Sauerstoff- und Stickstoff-Industrie. Herausgegeben von

Rudolf Mewes, Berlin. Verlag von Degener & Co., Leipzig.

ZS. f. techn. Phys. = Zeitschrift für technische Physik. Herausgegeben von der Deutschen Gesellschaft für technische Physik unter Mitwirkung von G. Gehlhoff und H. Rukop. Schriftleitung: W. Hort, Charlottenburg, Verlag von J. A. Barth in Leipzig.

ZS. f. Unterr. = Zeitschrift für den physikalischen und chemischen Unterricht. Herausgegeben von F. Poske in Berlin-Dahlem. Verlag von J. Springer

in Berlin.

ZS. f. Verm. = Zeitschrift für Vermessungswesen. Herausgegeben von O. Eggert in Berlin und O. Borgstätte in Dessau. Verlag von Konrad Wittwer in Stuttgart.

ZS. f. wiss. Mikrosk. = Zeitschrift für wissenschaftliche Mikroskopie und für mikroskopische Technik. Heraus-gegeben von E. Küster in Gießen. Verlag von S. Hirzel in Leipzig. ZS. f. wiss. Photogr. = Zeitschrift für

wissenschaftliche Photographie, Photophysik und Photochemie. gegeben von K. Schaum in Gießen. Verlag von J. A. Barth in Leipzig.

Übersicht über den Inhalt der "Physikalischen Berich

1. Allgemeines.

- 1. Lehrbücher der gesamten Physik.
- 2. Geschichtliches und Biographisches.
- 3. Mathemat. Werke und Abhandlungen. 4. Unterricht. Apparate und Methoden für Unterricht und Laboratorium.
- 5. Maß und Messen.

2. Allgemeine Grundlagen der Physik.

- 1. Prinzipien der älteren Physik.
- 2. Relativitätsprinzip.
- 3. Quantenlehre.
- 4. Wahrscheinlichkeit und Statistik.
- 5. Erkenntnistheorie.

3. Mechanik.

- 1. Allgemeines.
- 2. Mechanik idealer Körper (Massenpunkte, starre Körper), Gravitation.
- 3. Mechanik der festen Körper. Elastizität. Festigkeit usw.
- 4. Mechanik der Flüssigkeiten und Gase. Oberflächenspannung. Inn. Reibung. Löslichkeit. Absorption.
- 5. Akustik.
- 6. Mechanik der Himmelskörper.
- 7. Technische Mechanik. Feinmechanik. Apparate.
- 8. Luftfahrwesen.

4. Aufbau der Materie.

- 1. Das Elektron.
- 2. Bau der Atome und Moleküle.
- 3. Bau der festen Körper u. Flüssigkeiten.

5. Elektrizität und Magnetismus.

- 1. Allgemeines.
- 2. Apparate, Meßinstrumente und Methoden.
- 3. Elektrizitätserregung.
- 4. Elektrostatik.
- 5. Wärmewirkung des Stromes. Thermoelektrizität.
- 6. Elektrizitätsleitung in festen Körpern.
- 7. Elektrizitätsleitung in Flüssigkeiten.
- 8. Elektrizitätsleitung in Gasen.

- 9. Elektrische Korpuskularstrahl Kathoden- und Kanalstrahlen. und β -Strahlen. Erzeugung Röntgenstrahlen.
- 10. Magnetismus.
- 11. Elektromagnetische Felder. 1 duktion. Elektrische Schwingun
- 12. Drahtlose Telegraphie.
- 13. Schwachstromtechnik.
- 14. Starkstromtechnik. 15. Hochspannungstechnik.
- 16. Elektromedizin.

6. Optik aller Wellenlängen.

- 1. Allgemeines.
- 2. Geometrische Optik.
- 3. Optische Instrumente. Methode
- 4. Fortpflanzung. Reflexion. Brech Dispersion.
- 5. Interferenz. Beugung.6. Polarisation. Doppelbrechung. hung. Kristalloptik.
- 7. Kontinuierliche Spektren. Wä strahlung.
- 8. Linien- und Bandenspektren, schließlich Röntgen- und y-Stral Seriengesetze.
- 9. Lumineszenz. Fluoreszenz. Phos
- reszenz. Elektrolumineszenz.

 10. Elektro- und Magnetooptik.

 11. Lichtelektrischer Effekt.
- 12. Photochemie. Photographie.
- 13. Spektroskopie. Mikroskopie. 14. Photometrie u. Beleuchtungstech
- 15. Physiologische Optik. Brillenop

7. Wärme.

- 1. Allgemeines.
- 2. Thermodynamik.
- 3. Kinetische Theorie der Wärme.
- 4. Temperaturmessung.
- 5. Kalorimetrie. Spez. u. latente Wä
- 6. Wärmeleitung.7. Thermische Ausdehnung.
- 8. Zustandsgleichung. Anderung Aggregatzustandes.
- 9. Tiefe Temperaturen. Kältemaschi Technik der Gasverflüssigung.
- 10. Hohe Temperaturen. Heizungs-Feuerungstechnik.
- 11. Wärmekraftmaschinen.

Systematisches Register.

1. Allgemeines.

1. Lehrbücher der gesamten Physik.

Hugo Dingler. Grundlagen der Physik

rthur Haas. Naturbild der neuen Physik 865.

J. Krainsky. Energetik der mechanischen Erscheinungen 1113.

lichele Cantone. Corso di fisica sperimentale 481.

Ians Lorenz. Lehrbuch der technischen

Physik 1113. Feorg Gehlhoff. Lehrbuch der technischen Physik 1525.

rgebnisse der exakten Naturwissen-

schaften 1705. Mach. Populär-wissenschaftliche

Vorlesungen 137. Viedemann-Ebert. Physikalisches

Praktikum 1473.

rnold Berliner und Karl Scheel.
Physikalisches Handwörterbuch 1385.
hysikalisch-Technische Reichsanstalt.
Tätigkeit im Jahre 1923 801.

ourth international congress of re-

frigeration 1525.

. Gruner. Relativitätstheorie 1385. eb. Timpanaro. Velocita della luce 1113, 1400.

elix Auerbach. Tonkunst und bildende Kunst vom Standpunkt des Naturforschers 645.

Baensch. Neubau des Leipziger

Röntgeninstitutes 1385.

Teichmüller. Lichttechnisches Institut der Technischen Hochschule in Karlsruhe 1385.

Geschichtliches und Biographisches.

T. Troland. Interrelations of modern physics and modern psychology 1026. or B. Hart. The dynamics of Leonardo da Vinci 209. J. A. Schouten. Relative und absolute Bewegung bei Huygens 1385.

Rudolf Brenneke. Verdienste Leonhard Eulers um den Potentialbegriff 1245.

Sir Charles A. Parsons, Rise of Motive Power and Work of Joule 1026.

H. A. Lorentz et Édouard Herzen. Rapports de l'énergie et de la masse d'après Ernest Solvay 585.

David Baxandall. Circular dividing engine of Edward Troughton 1705.

John L. Haughton and W. T. Griffiths. Uses of the Thread Recorder in the Measurement of Physical Properties 1305.

Eilhard Wiedemann. Geschichte des Kompasses und Inhalt eines Gefäßes in verschiedenen Abständen vom Erdmittelpunkt 1113.

Paul Liesegang. Geschichte des Magnetismus 73.

Léopold de Saussure. Origine de rose des vents et invention de la boussole 74.

L. C. Martin. Surveying and navigational instruments from the historical standpoint 865.

G. Hellmann. Erfinder und Name des Aneroids 1025.

P. v. Groth. Geschichte der Kristallkunde 1385.

Paul Martell. Geschichte des Thermometers 1385.

Florian Cajori. Fahrenheit Scale 73. Hellmann. Geschichte der Wettervorhersage im 16. Jahrhundert 1025.

G. Hellmann. Hundert Jahre meteorologische Gesellschaften 209.

Hans Schmeller. Beiträge zur Geschichte der Technik in der Antike und bei den Arabern 337.

E. Zinner. Mittelalterliches Lehrgerät für Sternkunde zu Regensburg 74.

Friedrich Hauser. Das kitâb al hijal der Benû Mûsâ 337. Eilhard Wiedemann. Zur Alchemie Georg Hermann Quincke 721, 1 bei den Arabern 337.

M. v. Rohr. Zur Geschichte des holländischen Fernrohrs 1.

David Baxandall. Replicas of two Galileo telescopes 1617.

Moritz von Rohr. Zwei Abhandlungen von Thomas Young 481.

 Abbes Stellung in der Lehre von der Strahlenbegrenzung 1305.

Letzte Veröffentlichung von W. Ch. Wells 721.

 Sehvorgang und seine Unterstützung durch Brillengläser nach Maurolycus im Jahre 1554 801.

- Geschichte der Brillenherstellung 801,

1473, 1617.

 History of the spectacle trade from the earliest times to Thomas Young's appearance 1026.

A. Peters. Ältere Urkunden zur Brillengeschichte 1617.

Urkunden zur Brillengeschichte 1473.

R. Greeff. Frühe Sehhilfen 801.

 Zwei frühe niederländische Brillennachweise 1473.

M. v. Rohr. Optische Kenntnisse der Brillenhersteller um das Jahr 1600

- Anschauungen über Brillen nach L. Merz 1473.

Georges Guadet. Le plus ancien portrait connu de personnage portant lunettes 1026.

R. Greeff. Der vergrößernde Kristall des Konrad von Würzburg 481.

Hans Schulz. Das Glas 290.

Martin W. Neufeld. Anschauungen von Stahl und Eisen im Wandel der Zeiten 481.

H. Beckmann. Erste elektrische Glühlampe 417.

J. A. Fleming. Progrès de la télegraphie sans fil depuis vingt ans 1. F. Kiebitz. Paul Drude 645.

Edm. Hoppe. Hans Geitel zum Gedächtnis 337.

Hans Geitel 337, 1025. Robert Pohl. Nachruf auf Hans Geitel 1617, 1705.

Alexander Gleichen 209. Hinrichs. James Weir French. Dr. Alexander Gleichen 337.

Oberländer. Alexander Gleichen 417. Arthur Schuster. Prof. G. H. Quincke

George E. Allan. Reminiscences Prof. G. H. Quincke 1025. Walter König. Georg Hermann Reminiscences of

Quinckes Leben und Schaffen 1526.

 $15\bar{2}6.$

F. Haber. Ernst Beckmann 74.

R. v. Mises. Felix Klein 961. W. Hort. C. v. Linde 481. Walter König. Röntgen-Gedenk

1617. Röntgens letzte Ruhestätte 1617. Walther. Albrecht Böttcher 481.

M. Pflücke. Albert Hesse 1386. K. A. Hofmann. Carl Dietrich Ha 1245.

F. Foerster. Zur Erinnerung an H Goldschmidt 1.

M. Le Blanc. Zur Erinnerung an Ju Wagner 1473. Sir Dugald Clerk. Work and

coveries of Joule 1113.

Sir Norman Lockyer 481. Sir James Crichton-Browne.

James Dewar 1025.

Albin Haller. James Dewar Herbert Mc Leod 1525.

Albert Einstein. Gedenktag von l Kelvins Geburt 1473.

Andrew Gray. Kelvin and Glas 1386.

Alexander Russell. Lord Kelvin 1 Lord Kelvin 1386, 1473, 1617.

Hj. Tallqvist. Lord Kelvins hundr minne 1617. Sarah Frances Whiting. Rem cences of Lord Kelvin 1617.

E. F. Nichols 1386.

G. W. C. Kaye. Dr. J. A. Harker John Allen Harker 74, 1525.

E. T. Whittaker. Cargill Gilston K 1025.

Henry E. Armstrong. Mrs. He Ayrton 209.

T. Mather. Mrs. Hertha Ayrton A. P. Trotter. Mrs. Ayrton's World

the Electric Arc 585.

M. de Haas. Prof. Dr. A. D. Fokker l W. W. Haldane Gee. Henry Wildel Sir James Walker. Alexander S:

J. R. Henderson. C. Michie Smith 1 Duddel Memorial 337.

John R. Hewett. Thomas Alva Ed

721. E. W. Rice, Jr. Charles Proteus S

metz 273, 337. Charles Proteus Steinmetz 273,

481. Zehme. Ch. P. Steinmetz † 481.

Eugen Eichel. Charles Proteus S metz 481.

Ch. Fabry. René Benoît 74. M. Arnaud de Gramont 721.

harles Fabry. Arnaud de Gramont | Adolf Fraenkel. 1385.

lbin Haller. Antoine Alfred Arnaud Xavier Louis de Gramont 645.

Maurice Leblanc 645.

aurice Leblanc 74, 209, 586, 645. Villard. Jules Violle 74.

lbin Haller. Jules Violle 645. mile Picard. Violle, Maurice Leblanc, et De Gramont 586.

drien Bochet 1. avnald Legouëz 1.

rthur Monmerqué I.

Chodat. Ph. A. Guye 1177. erruccio Zambonini. Commemorazione del Giacomo Ciamician 209. lbin Haller. Van der Waals 645. ames Hopwood Jeans. Van der Waals Memorial Lecture 586.

ian Antonio Maggi. Van der Waals

1026.

24

Hort. H. Lorenz 481.

eb. Timpanaro. Nota sul Lorentz

Kamerlingh Onnes. J. E. Verschaffelt 1386.

artin Sjöström. Gustaf Grangvist 721.

lbert Einstein 721.

. M. Hansen. R. A. Millikan 721. iels Bohr 721.

rederick Soddy 721.

rancis William Aston 721. Talther Nernst 721.

odenstein. Walter Nernst zum 60. Geburtstage 1305.

. v. Laue. W. Nernst zum 60. Geburtstage 1525,

. Knoch. G. Hellmann als Forscher 1386.

he Physical Society of London. Jubilee Celebrations 1026.

B. Breton. Installation de recherches et d'expériences électriques de l'Office national des Recherches scientifiques 1. xhibition held by the Physical Society of London and the Optical Society961.

xposition de physique 961. dmund Hoppe. Prioritätsfragen 961. ladimir Njegovan. Biologija genija

1525.

Die Bedeutung der tech-. Lorenz. nischen Physik für den Maschinenbau 585.

Mathematische Werke u. Abhandlungen.

swald Veblen. Geometry and Physics 1245. Méthodes et problèmes mile Borel. de théorie des fonctions 1707.

Einleitung in die Mengenlehre 137.

A. Speiser. Theorie der Gruppen von

endlicher Ordnung 1706.

T. Y. Thomas. Equality of Tensors 1245. A. Buhl. Calcul tensoriel amétrique 1386. Arthur Haas. Vektoranalysis 1706. K. Friedrich. Vektorrechnung 1526. Heinrich Kafka. Richtungsbezeich-

nung in Vektordiagrammen 1706. F. Fiala. Polare und axiale Vektoren

in der Physik 1305.

Physical Inter-Aram Boyajian. pretation of Complex Angles and Their Functions 1305.

d'Ocagne. Reduction de la quatrième dimension à une représentation plane

Equations à quatre variables représentables à la fois par simple et par double alignement 1245.

Einsteins hydromecha-E. Dittrich. nische Ableitung des Theorems von

Jacobi 1707.

J. B. Pomey et John R. Carson. Calcul symbolique d'Heaviside 1.

E. P. Adams. Applications of Heaviside's operational methods 481.

J. J. Smith. Solution of differential equations by a method similar to Heaviside's 1707.

Edwin P. Adams. Mathematical Formulae and Tables of Elliptic Mathematical Formulae Functions.

Ulfilas Meyer und Adalbert Deckert. Tafeln der Hyperbelfunktionen 1617.

Paul Schreiber. Rechentafeln zur Auswertung d. Funktion $w - a^{\alpha}b^{\beta}c^{\gamma}d^{\delta}e^{\varepsilon}...$ 74.

S. P. Owen. Table of Values of the Integral $\int_{0}^{x} K_0(t) dt$ 1026.

Sir G. Greenhill. Orbits in the Field of a Doublet 1707.

Bruto Caldonazzo. Equilibrio di un velo pesante triangolare 1115.

A. Buhl. Origine commune de l'électromagnétisme et de la géométrie différentielle 1526.

Abanibhusan Datta. Application of Bessel Functions to Probability 1026,

Hugh E. H. Wrinch and Dorothy Wrinch. Tables of Bessel Functions

Integrals Oc-Sydney Chapman. curring in the Kinetic Theory of Gases 1114.

Karl Hahn. Mathematische Physik 645.

Cours de physique | S. R. Williams. Extensometer amp J. Boussinesq. mathématique 1705.

Otto Feussner. Graphische harmonische Analyse 482.

Graphische Integrations-C. Runge. methoden 1526.

F. Eisner. Verwendung zeichnerischer Rechenverfahren 137.

R. Neuendorff. Zeichnerische Lösung von Differentialgleichungen 865.

Ernst Pascal. Integraphen für Differentialgleichungen 1246.

Armin Schoklitsch. Graphische Hydraulik 961.

H. Alliaume. Résolution nomographique des systèmes d'équations 1709.

L. Bieberbach. Mathematische Grund-

lagen der Nomographie 1708. Felix Wolf. Nomographisches Verfahren zur Lösung wärmetechnischer Probleme 1.

Karl Riedlinger. Das Freileitungs-Grundnomogramm 2.

A. Haerpfer. Konstanten des Polar-planimeters 1526.

Fritz Emde. Sinusrelief und Tangens-

relief in der Elektrotechnik 646. G. N. Watson. Sum of Series of Cosecants 1114.

M. Pirani. Interpolation von Kurvenscharen 865.

H. S. Uhler. Method of least squares and curve fitting 1114.

M. Pirani und H. Schwerdt. Rechentafeln für Multiplikation und Division 866.

Ch. Lallemand. Avantages comparés des abaques hexagonaux et des abaques à points alignés 1250.

4. Unterricht. Apparate und Methoden für Unterricht und Laboratorium.

Oliver Lodge. Quantum in Atomic Astronomy 656.

Fr. A. Jungbluth. Gesteigerte Selbsttätigkeit des Schülers im mathematischen Unterricht 209.

H. K. de Haas. Twee demonstratie-hulpmiddelen bij het onderricht in zake: aetherwind, aethermedesleping, relativiteit 646.

Ernst von Angerer. Technische Kunst. bei physikalischen Untersuchungen 337.

N. Pfleiderer. Das reibungsfreie Minimeter 588.

L. B. Tuckerman. Optical Strain H. L. Peattie and F. B. Brady. I Gages and Extensometers 962.

818. G. B. Haven. Constant Load

Testing Machine for Textiles A. B. Wood and J. M. Ford. Pl

chronometer 1130.

Adrien Jaquerod. Marche d montre 1131.

R. A. Sampson. Comparative Rat Certain Clocks 1246.

William J. Raymond. Example Motions which Have a Tern Speed 1032.

Bestimmung der Tietze. beschleunigungskonstante g im pl kalischen Arbeitsunterricht 866.

Klaus Zweiling. Anwendung gra scher Methoden bei der B bestimmung d. Himmelskörper 1

J. K. Eriksen. Apparat til Der strering af Praecession og Nuta

F. Harms. Demonstation des Fouc schen Pendelversuchs 801.

O. Küper. Pendelversuch 338.

H. A. Thomas. Relay and its a cation to sustaining pendulum brations 352.

Walter P. White. Electric pendu. and pendulum equations 1618.

T. F. Connolly. Theory of the adment of levels 1632.

Bruno Kolbe. Vereinfachte Zweife wage 1248.

Löwenstein. Sartorius-Mikrowage D. Pekár. Anwendbarkeit der Eöt schen Drehwage im Felde 74.

Emanuel Wagner. Prospecting the Eötvös Balance 138.

Sir Flinders Petrie. Chain balance

H. Keefer. Schulmäßige Gravitat wage 1386.

E. Boehm. Der Stechheber 339. T. H. Taylor. Pipette 646.

Sidney Walter Saunders. Abs tion Pipette for Gas Analysis

P. Rischbieth. Gasvolumetr Unterrichtsversuche mit der C drahtpipette 1248.

H. Löschner. Einstellgenauigkeit Mollenkopfschen Werkstattwa wagen 482, 818.

S. Janss. Ausströmungsgeschwindi aus engen Offnungen 867.

Erich Müller. Ausfließenlassen Flüssigkeit in gleichen Volumt 1115.

meter all in glass 1248.

nberto Puppini. Modelli elettrici | Gustav Schmaltz. per lo studio del moto delle acque filtranti 138.

wis F. Richardson. Theory of the Measurement of Wind by Shooting

Spheres Upward 493.

iguenard, Magnan et A. Planiol. Appareil donnant la direction in-

stantanée du vent 1708.

y Barr. Correction of the density of liquids for the buoyancy of air 1618. Loosli und F. Lauster. Neuerungen an Quecksilberdampfstrahlpumpen

273.

or Backhurst and G. W. C. Kaye. All-metal High-vacuum Pump System

Metal Annular-Jet Vacuum Pump 1026.

Gaede. Entwicklung der Diffusionsluftpumpe 417.

L. Harrington. Multi-stage diffusion

pump 1618.

nold Deutscher. Wohlfeile "Luft-

pumpe" 338.

rman R. Campbell, Bernard P. Dudding, John W. Ryde. Substitute for the McLeod Gauge 273. Krüse. Das Dasymeter als Luftwage

P. Waran. Regenerative Vacuum

Device 417.

Maass. Sulfuric acid concentrator and

vacuum pump 647.

erner Buchloh. Vakuumuntersuchungen 1027.

Preßluftmesser 586. Grossmann. G. Becker. Methods of evaporation in the laboratory 138.

Landesen. Ersatz für Schliffe in der

Vakuumtechnik 417.

rs A. Welo. Wood's Metal as a seal in vacuum apparatus 1026.

nst Brüche. Hilfsapparate für Vakuum- und Gasarbeiten 1027.

red Wenzel. Schwungmaschinenaufsatz zur Bestimmung des mechanischen Wärmeäquivalents 870.

Glogger. Bestimmung des mechanischen Wärmeäquivalents als Schüler-

übung 871.

rl Wildermuth. Wärmewerte der elektrischen Energie 1392.

Hilfsmodell für den Carnot-

lage. schen Kreisprozeß 871.

Reinicke. Schulgemäße Behandlung d. Innenverbrennungsmaschinen 1250. lter F. Zorn. Versuche zur Schwingungs- und Wellenlehre 1386.

Registrierung kleiner Schwingungen 1618.

J. Neuberger. Graphische Darstellung von Schwingungen und Schwebungen

1386.

H. Thorade. Harmonische Schwingungen bei Berücksichtigung Reibung 1247.

T. B. Brown. Wave motion models 1177. Friedrich C. G. Müller. Schwungmaschinenaufsatz zum Bestimmen der Fliehkraft der Luft 1248.

H. Hermann. Selbstblasende Sirenen

1387.

- A. Wendler. Messung der Schallgeschwindigkeit nach stroboskopischer Methode 1387.
- A. Stroman. Klingende Tropfen und Siedegeräusche 868.
- J. Isaac and Irvine Masson. Calibration of capillary tubes 802.
- C. Jakeman. Calibration for single lever testing machines 482.
- Otto Dähne. Prüfgerät für Abwälzfräser, Schnecken und Kammstähle
- A. Steinle. Optische Zahnradprüfungen 802.
- A. S. E. Ackermann. Apparatus for measuring and recording the movements of a pile while subject to the blow of a hammer 483.
- Hermann A. Holz. Portable Apparatus for the Rapid and Precise Investigation of the Accuracy of Calibration of Small Compression Testing Machines 494.

B. C. Anderson. Static and Kinetic

- Wood Testing Machine 494.
 O. C. Rudolph. Type of Microscope for Measuring the Impression Produced in the Ball Hardness Test 483.
- M. v. Schwarz. Fallhärteprüfer 589,647.
- Gebauer. Kugeldruckprüfer für elektrische Isolierstoffe 647.
- R. Müller. Prüfung der Federbleche 647. Slip, Friction and L. C. Morrow. Stretch Tests for Leather Belting 867.
- H. Ritter v. Zahler. Riemenspannungsmesser 962.
- Karl Huber. Ermittlung der Schubund des Schubelastispannungen zitätsmoduls mit Hilfe eines neuen Feinmeßgerätes 144.

A. Steinle. Optische Meßverfahren für den Werkzeug- und Maschinenbau586.

G. Berndt. Die Anwendung der Interferenz des Lichtes im Lehrenbau 588, 1177.

Fritz Requard. Berücksichtigung des Wirkungsgrades bei der Behandlung der Maschinen 1393.

R. Zieting. Sinuslineal 802. Donald A. Hampson. Test Methods for the Shop 722.

Stream-line Filter H. S. Hele-Shaw. 867.

Karl Rosenberg. Ausbreitung von Ölhäuten auf Wasser 867.

Helmuth W. Klever. Schnellviskosi-

meter 1528. -, Robert Bilfingerund Karl Mauch. Beziehung zwischen den Ausflußzeiten des Kleverschen Schnellviskosimeters und des Englerschen Viskosimeters 1528.

Anderson. Measurement of the

Viscosity of Gases 1034.

hard von Dallwitz-Wegner. Method for the Investigation of Lubricating Oils and Bearing Alloys 483.

Hanns Dollinger. Experimente zur Thermionik 868.

Wilhelm Hillers. Dichteänderung und Entmagnetisierung bei der Umlagerung des α -Eisens in β -Eisen 1387.

Korrektionslose Schul-H. Hermann.

magnetometrie 1388.

Arnold Deutscher. Zug- und Druckwirkung im magnetischen Kraftfeld 1389.

Karl Rosenberg. Zum Unterricht in der Elektrizitätslehre 339.

Johannes Wotschke. Darstellung elektrischer Beziehungen im Raumdiagramm 1249.

H. Hermann. Kupfercoulometer für

hohe Genauigkeit 1387.

Ausführung des Holtzschen Versuchs über die dielektrische Durchlässigkeit

L. F. Richardson. Electromagnetic Inductor 339.

Gottfried Spiegler. Demonstration der Spaltwellen eines gekoppelten elektromagnetischen Systems 1387. dwig Bergmann. Demonstration

Ludwig Bergmann. elektrischer Schwingungen 1389.

W. Möller. Demonstration elektrischer Schwingungen mit Anwendung auf den Blitzableiter 869.

Pohl. Ungedämpfte elektrische Schwingungen kleiner Frequenz 963. ired Wenzel. Oszillierende Ent-Alfred Wenzel.

ladung von Funkeninduktoren 1389. Walter F. Zorn. Kondensatoren für elektrische Schwingungskreise aus alten photographischen Platten 1389.

Adolf Kistner. Freihandversuche n der Glimmlampe 1388.

Georg Baark. Forsøg med Glim lampen 1115.

Alfred Wenzel. Stromstärke d Teslaströme 1389.

S. Janss. Versuche mit Wechselstro 1390.

Ernst Magin. Phasenverschiebung be Wechselstrom 1390.

Versuche üb Arnold Deutscher. Wirbelströme 1390.

Radium recording d J. H. Powell. vices 1306.

Th. Wulf. Sichtbarmachung der Bahn von Alphateilchen nach Wilson 86 Bernhard Batscha. Versuch n

Thoriumemanation 1388.

Akustische Bed H. Greinacher. achtung und galvanometrische Re strierung von Elementarstrahlen u Einzelionen 1345.

August Záček. Anwendung der Ele tronenröhren bei den Versuchen n dem sprechenden Lichtbogen und de sprechenden Kondensator 1249.

H. Keefer. Wirksame lineare Thern säule 1249.

Arnold Deutscher. Thermoströme a Kohlenstäben 1388.

Heinrich Grosse Kreul. Erzeugu von Kohlenoxyd mittels des Lic bogens 1388.

Mazo. Pantoscope 1681.

Beleuchtung vereichtung vereic Karl Lüdemann. Meßstellen an geodätischen messungs-Instrumenten 818.

W. Pfeifer. Totalreflexion 1250.

E. Maey. Spiegelungserscheinung planparallelen Glasplatten 1390. Paul Liesegang. Vorlesun

versuche zur Abbeschen Abbildun lehre 1391.

Carl J. Cori. Präparier- und Plankt lupenstativ 802.

Emil Schulze. Vorrichtung zur läuterung des Dopplerschen Prinz 868.

P. Hanck. Vorführung der an die Blättchen auftretenden Interfere erscheinungen 870.

Janss. Interferenzen an dün Blättchen 1391.

F. Paul Liesegang. Beugungsersel nungen beim geradlinig begrenz Schirm und beim Spalt 1391.

- Michelsonsches Verfahren zur stimmung des scheinbaren Sterndu messers als Vorlesungsversuch 13

Hermann. spektrum 1250.

Janss. Umkehrung der Natrium-

linie 1392. C. White and R. C. Tolman. Colorimeter for corrosive gases 339. ink A. Stanley. Ruling 15000 Lines Per Inch 586.

rophotographien 803.

Gentil. Photographische Schülerübungen 1392.

Groot. Het oog als optisch werktuig

1115.

o Dähne. Gerät zur Bestimmung der Längenausdehnungszahl fester Körper 962.

Recording kata-H. J. Schuster.

thermometer 418.

Laboratory and L. Harrington. demonstrating problem of modern physics 1707.

F. C. Pollard. Konstruktion wissenschaftlicher Instrumente 482, 586, 721. Instruments scientifiques 1115.

M. Roberts. Standardization of

laboratory apparatus 801.

Everling. Luftfahrt und Technik 1045.

h. Nerrlich. Exposimeter zur Prüfung photographischer Momentverschlüsse 1528.

rvey B. Lemon. Instructional Value of Certain Types of Motion Pictures

1116. ari Bénard. Dispositifs pour projeter sur un écran les tourbillons cellulaires 1116.

errichtsmaterial über die Dinorm-

Passungen 274.

Göpel. Flankenmeßgerät 1027.

S. Peters and R. S. Johnston. Developments in Electric Telemeters 963.

Pirani und K. Schröter. Elektroytische Formgebung von harten meallischen Gegenständen 1177.

F. Taylor. Drawing metallic filanents and their properties and uses

1249.

v. Dobbeler. Nomographie 1250. rl Oltay. Beneze-Wolfsches Fadenpolarplanimeter 1306.

Registrier-Theodolit nz Hennig. 1527.

rie Lønggaard og J. P. Jacobsen.

En Faldmaskine 866. Rauschenbach. Gezeitenrechen-

maschine 1618.

G. Becker. Constant pressure blowpipe 1707.

Objektives Sonnen- | General Electric Company. Research Laboratories. Spot welder for light experimental work 802.

Russell J. Eddy. Apparatus for the Rapid and Accurate Determination of the Carbon Content of Steels in Open Hearth Steel Works 484.

Frederick Kraissl. Compact distil-

lation apparatus 1708.

Arnold Deutscher. Reinigung von

Quecksilber 1393. G. Ranque. Trompe à mercure d'en-

combrement réduit 586.

Franz Wever und Kurt Apel. wendung der thermischen Analyse 483. A. Snow. Attaching silver thimbles to

the ends of glass tubes 871. H. N. Ridyard. Metal-to-glass joint 964. Robert Fricke. Reiben der Gefäßwand mit dem Glasstabe 1034, 1035.

L. Dede. Reiben der Gefäßwand mit

dem Glasstabe 1034, 1035.

R. Horkheimer. Röhrensummer 1249. Earl B. Smith. Accelerometer for Measuring Impact 963.

L. G. Dresler. Aendringer ved Forsøget med Whitings Rør 870.

5. Maß und Messen.

R. A. Castleman. Logarithmic and semilogarithmic coordinator 1117.

Albert von Brunn. Bedeutung des Bezugssinnes im Vektordiagramm

1246.

Vladimir Karapetoff. Use of the Scalar Product of Vectors in Locus Diagrams of Electrical Machinery 1252.

Evolution de la méthode Marage. graphique 1116.

Graphische Integrations-Runge. methoden 1526.

A. Haerpfer. Konstanten des Polarplanimeters 1526.

Collis H. Holladay. Graphic Method for the Exact Solution of Trans-mission Lines 1252.

Maurice L. Huggins. Graphical method for the utilization of rotation spectra in crystal structure determinations 234, 1252, 1709.

J. Hak. Graphische Methode zur Lösung von Erwärmungsaufgaben 1253.

d'Ocagne. Réduction de la quatrième dimension à une représentation plane 1114.

Equations à quatre variables représentables à la fois par simple et par double alignement 1245.

Norman Campbell. Dimensional Ana- | Karl Hersen. Maßeinheiten für Mil lvsis 1473.

E. Buckingham. Method of Dimensions 418.

W. Margoulis. Théorie générale de la représentation des équations moven d'éléments mobiles 1709.

L. Bieberbach. Mathematische Grundlagen der Nomographie 1708.

Grundlagen der Nomo-P. Luckey. graphie 1709.

Examen comparatif de d'Ocagne. diverses méthodes nomographiques 1117.

Paul Schreiber. Anwendbarkeit der Flächennomographie 1709.

Alliaume. Résolution nomographique des systèmes d'équations 1709.

Maurice d'Ocagne. Nomogrammes à transparent orienté 1117.

Felix Strecker. Perspektive Methoden der Nomographie 1251.

- Erweiterung der perspektivischen Skalen zu Rechentafeln 1250.

E. G. Warner. Induction Motor Nomogram 1117.

Johannes Wotschke. Darstellung elektrischer Beziehungen im Raumdiagramm 1249.

M. Seiliger. Geradlinige Fluchttafeln für Gase und Dampfluftgemische 1709.

H. Langrehr. Fluchtlinientafel zur Berechnung des Leistungsfaktors bei Dreiphasenanlagen u. -apparaten 589.

H. Behr. Fluchtlinientafel für Drehzahlen 1251.

L. Schmitz und J. Reismann. Fluchtlinientafel zur Berechnung des Leistungsfaktors bei Dreiphasenanlagen und -apparaten 589.

R. Gundel. Fluchtlinientafel zur Berechnung des Leistungsfaktors 1252. C. O. Swanson. A Graphical Solution

of Ratios in Temperature-Concentration Diagrams 1252.

Carl Barus. The Hodograph of Newtonian hyperbolic reflection 1251.

Otto v. Gruber. Erkundung für stereophotogrammetrische Aufnahmen 74.

R. Mayer. Physikalische und technische Einheiten 418.

Physikalische und tech-H. Maurer. nische Maßgrößen 418.

Fritz Emde. Einheiten elektrischer und magnetischer Größen 418.

H. Benndorf. Bezeichnungsweise der elektrischen Maßeinheiten 1473.

J. Wallot. Einheiten elektrischer und magnetischer Größen 418.

phone und Fernhörer 250, 1071. Forster. Vergleichende Betra A.

tungen über die Dimensionen elek scher Größen 419. Numerical Relati

S. Allen.

H. between Fundamental Constants 4 Accurate Measuring by the Bureau Standards 139, 275.

Weights and Measures 1619.

M. Schmidt. Kopie der Peru-Toise 16 L. V. Judson and B. L. Page. St dardization of geodetic base

tapes 1619. - Graduation of invar base

tapes 1619. W. Roerdansz. Amtliche Eichung

Meßwerkzeugen 1178. Berndt. Genauigkeit unserer Paral

endmaße 210. G. Berndt. Berührungsfehler 803.

Albert Pérard. Étude de radiati du mercure et du krypton, en vue

leurs applications à la métrologie ? Ch. Lallemand. Avantages compa des abaques hexagonaux et

abaques à points alignés 1250. W. Margoulis. Abaques à transpar

orienté 1117. Société Genevoise Bench Micrometer 2 274, 722.

Large Micrometer 211, 722.

John J. Dowling. Recording Ult micrometer 274.

W. Bearce. Relation Betw Inches and Millimeters 209, 3

C. C. Stutz. Relation Between Inc and Millimeters 587.

G. Hellmann. Millimeter-Millibar 8 H. Maurer. Bar, Bary und absol

Atmosphäre 1028.

O. Mügge. Kristallographische Or tierung beliebiger Schnitte ter gonaler und hexagonaler Krist mit. Hilfe der Auslöschungsricht 1587.

Walter Block und Walter Dziob Prüfung von Kubizierapparaten 14

Bruhns. Verwendung von M gefäßen bei Wärmegraden, die der Normalwärme abweichen Schoorl. Verwendung von M

N. Schoorl. gefäßen bei von der Normaltempera abweichenden Wärmegraden 964.

A. C. Egerton and W. B. Lee. Dens Determinations 871.

Harold H. Potter. Proportionality Mass and Weight 649.

A. E. Conrady. Study of the Bala 1710.

Michels. Einfluß der Rotation auf | die Empfindlichkeit einer absoluten Druckwage 648.

Genauigkeit und Empfindlichkeit

einer Druckwage 1475.

J. Manley. Protection of Brass Weights 1619.

E. Woolley. Electrically Operated Flow Meter 1475.

ford D. Carpenter. Burette and ilter stand 419.

n Timmermans. Dichte von Flüssigkeiten unter 0° 211.

Morse. Reliability of Fluid Meters n Refrigerating Tests 719, 1303. hur Grollman and J. C. W. Frazer. Improvements in the mode of measurements of osmotic pressure

140.

E. Sheppard and F. A. Elliott. Instrument for measuring the swelling of gelatin on rigid supports 1620. rman Campbell. Measurement of time and other Magnitudes 1710.

rvey L. Curtis and Robert C. Duncan. Accurate measurement of

short-time intervals 158.

Lawrence Balls. Apparatus for Approximate Harmonic Analysis and for Periodicity Measurements 1116. E. P. Brooks. Method for the Rapid Determination of Short Periodicities 1180.

G. Ferguson. Clock-Controlled **Funing Fork as a Source of Constant**

Frequency 1247.

Berroth. Kinetic Theory of Gravitation and Some New Experiments

in Gravitation 1029.

A. Giblett. Effect of the Rolling of a Ship on the Readings of a Marine

Mercury Barometer 648. vid F. Smith and Nelson W. Taylor. Pressure-measuring device 1529.

N. G. Filon. Measurement of true

height by aneroid 648.

il Schreiber. Polytropische Zustandsänderungen der Gase 1708. Moles et R. Miravalles.

traction des ballons vides dans les mésures de la densité des gaz 1118. vid A. Keys. Piezoelectric Method of Measuring Explosion Pressures 3. glaube. Hochvakuum-Meßverfahren 1620.

go Stintzing. Hochvakuum-Meß-

instrumente 964.

Hochvakuum - Quecksilber - Dampfstrahlpumpe 1529.

L. T. Jones. Mercury Vapour Pump 75. H. Ebert. Sauggeschwindigkeit einiger Hochvakuumpumpen 273, 1306.

J. J. Manley. Removal of gas-grown skins from a Sprengel pump 1620.

Albert Sprague Coolidge. quartz fiber manometer 964.

Donald L. Hay. Modified McLeod Gauge 965.

Leonhard Heis. Ein Manometer hoher Empfindlichkeit 1475.

H. Simon. Ionisationsmanometer 1306.

S. Dushman and C. G. Found. Studies with the ionization gauge 1568, 1569.

Alfred Charles Egerton and Frank Victor Raleigh. Vapour Pressure of Cadmium and its Alloys with Zinc

W. H. Martin. Transmission Unit and Telephone Transmission Reference

Systems 1774.

W. Smith. Application of the recently adopted transmission unit 1774.

J. C. Karcher. Measurement of sound

intensity 153.

A. Blondel. Abaque pour le calcul des constantes caractéristiques des lignes de transmission aérienne à haute tension 1710.

Johnstone Taylor. Inspection Methods in a Steel-Ball Factory 74.

Joe V. Romig. Measuring the Wear in a Ball Bearing 588.

G. Berndt. Kugellager-Passungen 1253,

1529. Unterrichtsmaterial über die Dinorm-Passungen 274.

A. H. Frauenthal. Factors Governing "Out-of-Roundness" Measurement 211, 275.

P. Biber. Messung von Kegeln 1028. P. G. Agnew. Standardization Resumé

Rudeloff. Werkstoffnormung 809. Maintaining Interchangeability 804.

Taft-Pierce Micrometer Plug Gage 139. G. Berndt und N. Pfleiderer. chanische Prüfung des Gewindeflankendurchmessers 485.

Otto Dähne. Profilbildlupen zum Ausrichten des Gewindestahls auf Dreh-

bänken 275.

American National Machine Screws 139. G. Berndt. Abgußverfahren zur Messung von Innengewinden 340.

Mechanische Prüfung des Gewinde-

flankendurchmessers 1178.

O. Eppenstein. Fortschritte in der optischen Gewindemessung 1118.

G. Berndt. Anwendung der Interferenz | Ernest Wildhaber. des Lichtes im Lehrenbau 588, 1177.

Ernst Schuchardt. Sonderlehren 588. John S. Anderson and Guy Barr. Methods of measuring the internal diameters of transparent tubes 274. Progress in Gear Standardization 210,275. Proposed Standardization of Gearing 485.

Standard Pipe Thread 2.

Ralph E. Flanders. New Screw Thread Standard 2, 3, 74, 139, 210,

340, 722. E. Winter. New Screw Thread Standard 210, 722.

nasa S. Tracy. Effective Screw Thread Gauge 139, 275. Amasa S. Tracy.

Gages for Setting Otto E. Seiffert. Thread Tools 210, 340.

Harry S. Beal. Ground taps and screw thread fits 1476.

Walter Daley. Standardizing Tolerances for Taps 588.

G. Berndt. Richtigkeit, Genauigkeit und Empfindlichkeit 1253, 1474.

Schottländer. Regelmäßige Schätzungsfehler und die sie erzeugenden Faktoren 138.

Norman Campbell. Adjustment of Observations 1393.

F. Y. Edgeworth. Use of Medians for reducing Observations 1179.

E. Dolezal. Reihenumkehrung 1179. Daeves. Lieferungsvorschriften, Normen und Großzahlforschung 275.

Sachs. Großzahlforschung, Zuverlässigkeit technischer Messungen und Streuungsmaße 1474.

Karl Daeves. Großzahlforschung 1474. Oscar R. Wikander. German Standards for Tolerances and Allowances in Machine Fits 139, 210, 274. Berndt. Tolerierung des USSt-

G. Berndt.

Gewindes 485.

Charles C. Winter. Standardizing Tolerances for Taps 964.

C. M. Pond. Standardizing Tolerances for Taps 1028.

Tolerances for Ground Thread Taps 1398.

Tolerierung von Lochentfernungen 139. Earle Buckingham. Unilateral or Bilateral Tolerances? 2.
Millman. Tolerances in the Rolling of

Steel Sheets 803.

A. Steinle. Optische Meßverfahren für den Werkzeug- und Maschinenbau586. Otto Dähne. Mikroskop für Werkstoff-

untersuchungen 1475.

Ernest Wildhaber. Measuring Tooth Thickness of Involute Gears 2.

Measuring ' Tooth Thickness of Helical Invol-Gears 74.

- Measuring Tooth Thickness of

volute Gears 210.

Meßmaschine zur Trautvetter. stimmung des Hinterschliffs Spiralbohrer-Spitzen 138.

Albert A. Dowd and Frank Curtis. Tool Engineering 2, 75, 1

211.

Crain. Stützungsprobleme als Prinzip Werkstattmeßtechnik 723.

Modern Practice in Fitting Studs 7

L. Szabó. Berechnung der kritisch Drehzahl von Wellen 589.

E. Steinhoff und Maria Mell. Po sitätsbestimmungen an feuerfes Steinen 1476.

H. Abraham et R. Planiol. Prés tation d'appareils 1029.

Alan F. C. Pollard. Instrume scientifiques 1115.

O. A. Hougen. Refractory for dustrial Plant Use 1393.

2. Allgemeine Grundlagen der Phys

1. Prinzipien der älteren Physik.

Leo Graetz. Äther und die Relativitä theorie 140.

E. Gehrcke. Gegensätze zwischen Äthertheorie und Relativitätstheo und ihre experimentelle Prüfung 2 Fricke. Zur Klärung des Ath

H. Fricke. problems 341.

Alice Golsen. Messung des Strahlun drucks 1157.

Adalbert Bokowski. Energiekom Hilberts Theorie nenten in Materie 723.

Kurt Becker. Energieströme u Energiewirbel 1253.

Alfred Klose. Ausgezeichnete Energ werte in mechanischen Systemen 6

2. Relativitätsprinzip.

Alfred C. Elsbach. Kant und Einst

J. Petzoldt. Postulat der absolu und relativen Welt 805.

H. Fricke. Postulat der absoluten urelativen Welt 969.

Marcel Brillouin. Questions au su de l'univers d'Einstein 277.

M. v. Laue und Nikhilranjan S Die de Sittersche Welt 1713.

dwik Silberstein. Radial Velocities | Th. Wereide. of Globular Clusters, and de Sitter's

Cosmology 1121,

Curvature of de Sitter's Space-Time derived from Globular Clusters 1712. Darmois. Éléments de géométrie des espaces 1710.

thur Haas. Vektoranalysis 1706. Y. Thomas. Equality of Tensors

Peddie. Quaternionic System as the Algebra of the Relations of Physics and Relativity 1178.

wald Veblen. Geometry and

Physics 1245.

epan Mohorovičić. Die Einsteinsche Relativitätstheorie und mathematischer, physikalischer und philosophischer Charakter 1030.

Gruner. Théorie de la relativité 75.

1398.

Somigliana. Fondamenti della relatività 75.

A. Lorentz. Principio di relatività 1398.

Weyl. theorie 76. Allgemeine Relativitäts-

Massenträgheit und Kosmos 969.

nst Reichenbächer. Eichinvarianz des Wirkungsintegrals und Gestalt der Feldgleichungen in der Weylschen Theorie 1120.

dwik Silberstein. The True Relation of Einstein's to Newton's

Equations of Motion 275.

Zanstra. Relative motion in connection with classical mechanics 1712. Levi-Civita. Fragen der klassischen und relativistischen Mechanik 1533.

Relativity Dynamics

A. M. Dirac. Rel of a Particle 1712.

ich Kretschmann. Das Maxwell-Boltzmannsche Geschwindigkeits- und Energieverteilungsgesetz in der Relativitätstheorie 1126.

A. Lorentz. Considerazioni elementari sul principio di relatività 276. rico Persico. Significato fisico della seconda forma fondamentale in relatività 804.

Interprétation phyde Donder. sique de la relativité générale 485. Basi fisiche della

Spampinato. Relatività 1122.

igi Donati. Appunti didattici sulla teoria della "Relatività" 276. lorad Z. Jovičić. Benerkungen zur Relativitätstheorie 1307.

General principle of relativity applied to the Rutherford-Bohr atom-model 724.

Karl Febrie. Beziehung zwischen der sprungweisen Änderung der Atome und den harmonischen Komponenten ihrer Massenänderung 1638, 1639.

W. Richardson. Generalized

Quantum Conditions 725.

M. v. Laue. G. A. Schotts Form der relativistischen Dynamik und die Quantenbedingungen 807.

Milorad Z. Jovitchitch. Wert der Relativitätstheorie Einsteins 1307.

Franz Selety. Unendlichkeit des Raumes und allgemeine Relativitätstheorie 968.

Vladimir Varicak. Relativitätstheorie im dreidimensionalen Lobatschefskij-

schen Raume 967.

igi Donati. Teoria della relatività N. v. Raschevsky. Interpretation der kovarianten elektromagnetischen Feldgleichungen vom Standpunkte des absoluten Raumes und der universellen Zeit 141.

Die Relativitätstheorie als eine der möglichen mathematischen stellungen der physikalischen Er-

scheinungen 419.

P. W. Bridgman. Suggestion as to the approximate character of the principle of relativity 589.

Paolo Straneo. Trasformazione di Voigt-Lorentz nella fisica classica e nella fisica relativista 76.

G. A. Maggi. Interpretazioni della trasformazione di Lorentz 76.

N. v. Raschevsky. Lorentzkontraktion und Paschskyprinzip 140.

Lorentz- und Galileitransformation 419.

H. M. Dadourian. Simple Derivation of the Lorentz Transformations 486.

Stanko Hondl. Zur Ableitung Lorentz-Einsteinschen der formationsgleichungen 590.

Henry Janne. Méthode pour obtenir

le ds² de Schwarzschild 804.

L. P. Eisenhart. Einstein and Soldner 589.

S. Eddington. Comparison of Whitehead's and Einstein's Formulae 1120.

G. Nordström. Prinzip von Hamilton für materielle Körper in der allgemeinen Relativitätstheorie 75.

M. v. Laue. Bedeutung des Nullkegels in der allgemeinen Relativitätstheorie 1399.

H. H. Turner. Confirmation of the C.

Einstein theory 589.

A. E. Harward. Identical Relations in Einstein's Theory 486.

Michele La Rosa. Concept de temps dans la théorie d'Einstein 420.

J. le Roux. Coordination des mouvements et la notion de temps 1123.

Hans Reichenbach. Relativitätstheorie und absolute Transportzeit 1398.

G. Darmois. Problème intérieur dans le cas d'un espace-temps courbe à symétrie sphérique 1122.

Lémeray. Courbure d'univers 1123. A. Friedmann. Möglichkeit einer Welt mit konstanter negativer Krümmung des Raumes 806.

F. P. Cantelli. Spazio-tempo delle orbite kepleriane 1400.

H. Strasser. Einsteintransformation in der X-T-Ebene 1399.

L. Silberstein. Curvature Invariant of Space-Time 1711.

Arvid Reuterdahl. Space-time potential 649.

 A Synthesis of number, space-time and energy and a physical basis for Planck's and Rydberg's constans 650.

A. Kopff. Courvoisier-Effekt und Einstein-Effekt 969.

Hans Reichenbach. Axiomatik der relativistischen Raum - Zeit - Lehre 1029.

W. Anderson. Kontroverse zwischen Th. Wulf und H. Reichenbach 1030.

H. Reichenbach. Erwiderung auf Andersons Einwände gegen die allgemeine Relativitätstheorie 1030.

Aloys Müller. Probleme der speziellen Relativitätstheorie 212.

Friedrich Wächter. Probleme der speziellen Relativitätstheorie 804.

P. Gruner. Geometrische Darstellungen der speziellen Relativitätstheorie 968.

Ch. de la Vallée Poussin. Temps et la Relativité restreinte 1711.

Heinrich Kleinert. Prüfungsmöglichkeiten der Einsteinschen Relativitätstheorie 967.

A. Kopff. Möglichkeit der Prüfung des speziellen Relativitätsprinzips auf astronomischem Wege 1398.

L. Strum. Die Überlichtgeschwindigkeit in der speziellen Relativitätstheorie 420.

J. T. Combridge. An Einstein Paradox 419.

Enrico Fermi. Fenomeni che avvengono in vicinanza di una linea oraria 1399.

C. Carathéodory. Axiomatik speziellen Relativitätstheorie 968.

K. Vogtherr. Wohin führt die Retivitätstheorie? 1307.

G. v. Gleich. Kritik der Relativitä theorie vom mathematisch-physik schen Standpunkt aus 1529.

E. Gehrcke. Massensuggestion Relativitätstheorie 1530.

F. Selety. Distribution des masses a une densité moyenne nulle, s centre de gravité 75.

Th. de Donder. Gravifique einster

enne 76.

- Formule fondamentale de la nouve Gravifique 804.

G. Darmois. Principes de la théc de la gravitation d'Einstein et ap

cations 1123.

Kornel Lanczos. Stationäre K
mologie im Sinne der Einsteinsch
Gravitationstheorie 805.

A. Schidlof. Solutions cosmologiq des équations du champ de g

vitation 1123.

G. v. Gleich. Gravitation und Met 1128.

E. Anding. Endliche Fortpflanzur geschwindigkeit der Gravitation II

Joseph Larmor. Can Gravitat really be absorbed into the Frame Space and Time? 486.

Th. de Donder. Fonction cara ristique de la gravifique 1710. Giulio Krall. Variabilità della ma

1400.

Van der Waals, jr. Bijzonder pun de Relativiteitstheorie 1119.

Kornel Lanczos. Flächenhafte teilung der Materie in der Einst schen Gravitationstheorie 1713.

Franz Riedinger. Gravitation Trägheit 141.

Adalbert Bokowski. Effekte er und zweiter Ordnung in der Einst schen Gravitationstheorie 142.

A. Berroth. Kinetic Theory of Gratation and Some New Experiment Gravitation 1030.

J. A. Schouten. Symmetrische aff veldtheorie 873.

Erich Kretschmann. Das stati Einkörperproblem in der Einst schen Theorie 486.

Jean Chazy. Champ de gravitation deux masses fixes dans la théori

la relativité 80, 594.

Nikhilranjan Sen, Grenzbedingur des Schwerefeldes an Unstetigk flächen 1119. rice Nuyens. point matériel dans le champ dû à

me sphère matérielle 276.

Dugas. Mouvement d'un point natériel de masse variable avec la Mouvement d'un point orce vive, soumis à une force centrale 1119.

Mouvement d'un point Lecornu. matériel de masse variable avec la orce vive, soumis à une force cenrale 1119.

Lemaître. Motion of a Rigid Solid according to the Relativity Principle 1711.

hur Bramley. Condition that an electron describe a geodesic 1711. Vordström. Kanonische Bewegungsgleichungen des Elektrons in einem beliebigen elektromagnetischen Felde 767.

de Donder. Effets physiques produits par le mouvement et la épartition des ultra-électrons 1710. Tiercy. Equations de l'électro-

nagnétisme 76.

ico Fermi. Correzione di una grave liscrepanza tra la teoria delle masse elettromagnetiche e la teoria della elatività 1399.

Gruner. Constructions relatives à 'Electrodynamique des systèmes en

nouvement 75.

ys Wenzl. Gegen ein Mißverständnis ler Aquivalenzhypothese 76.

Kosmische Refraktion is Kienle.

691, 1712.

ourvoisier. Kosmische Refraktion 712.

is Kienle. Astronomische Prüfungen ler allgemeinen Relativitätstheorie 710.

3. Kimball. Scattering of particles

y an Einstein center 1121.

Anderson. Beweis von R. Emden, aß der "Einsteinsche Effekt" nicht urch Lichtbrechung in den Koronaasen hervorgerufen sein könnte 1030. Veber. Möglichkeit eines Einstein-

Effektes in den Spektren von Doppelternen 1122.

Graetz. Äther und Relativitäts-

heorie 140.

Gegensätze zwischen der ehrcke. thertheorie und Relativitätstheorie nd ihre experimentelle Prüfung 212. Lichtfortpflanzung im Lenard. Limmelsraum 965.

wik Silberstein. Propagation of

ght in rotating systems 78.

Trajectoire d'un A. O. Rankine and L. Silberstein. Propagation of Light in a Gravitational Field 1178.

Seb. Timpanaro. Velocità della luce

1113, 1400.

Stjepan Mohorovičić. Lichtgeschwindigkeit und Gravitation 1621.

Rudolf Tomaschek. Verhalten des Lichtes außerirdischer Lichtquellen 966.

Ch. Fabry. Théorie de la relativité et déplacement des raies spectrales produit par le champ de gravitation 77.

La Rosa. Velocità della luce si compone con quella della sorgente? 78.

Castelnuovo. Sulla comunicazione del

prof. La Rosa 78.

M. La Rosa. Fenomeni delle "stelle variabili" come prova della composizione della velocità della luce con quella della sorgente 420.

Addiert sich die Geschwindigkeit des Lichtes zu derjenigen der Licht-

quelle? 969.

Geschwindigkeit eines M. v. Laue. Lichtstrahles in einem bewegten Körper 1399.

K. Vogtherr. Aberration und Michelson-

versuch 872.

v. Raschevsky. Ergebnis des Michelsonschen Versuches und Relativitätstheorie 1120.

E. Brylinski. Interprétation de l'expéri-

ence de Michelson 1123.

André Metz. Interprétation l'expérience de Michelson 1122, 1711. Augusto Righi. Esperienza di Michel-

son 1400.

E. Brylinski. Expérience de Michelson et la contraction de Lorentz 1711.

F. Hayn. Aberration und Michelsonversuch 872.

R. Tomaschek. Michelsonversuch mit Fixsternlicht 967.

R. Kunizkij. Aberration des Lichtes und die absolute Bewegung 1122.

Zur Frage der Licht-Struve.

ablenkung 1122.

G. F. Dodwell and C. R. Davidson. Deflection of Light by the Sun's Gravitational Field 1121.

Déviation ein-Ernest Esclangon. steinienne des rayons lumineux par le soleil 1123.

J. Wodetzky. Lichtstrahlenkrümmung, Spektrallinienverschiebung u. Krümmungsradius des Universums 873. C. E. St. John. Gravitational Dis-

placement of Solar Lines 590.

L. Grebe. Gravitationsverschiebung der H. C. Burger en L. S. Ornstei Fraunhoferschen Linien 1124.

L. C. Glaser. Gravitationsverschiebung der Fraunhoferschen Linien 1124.

G. M. Shrum. Doublet Separation of the Balmer Lines 1361.

Flessione dei raggi Burali-Forti.

luminosi stellari e spostamento secolare del perielio di Mercurio 78. Kornel Lanczos. Theorie der Merkur-

perihelverschiebung 591.

von Gleich. Die relativistische Perihelstörung 1714.

F. Croze. Observations récentes relatives au déplacement spectral d'Ein-

Rotverschiebung auf dem J. Weber.

Sirius 873.

E. St. John. Bemerkung zur Rotverschiebung 1399.

Raymond T. Birge. The 3883 cyanogen band in the solar spectrum 1088. Josef Hopmann. Deutung der Er-

gebnisse der amerikanischen Einsteinexpedition 487.

E. Freundlich. Beobachtung der Lichtablenkung während der totalen Sonnenfinsternis am 21. Sept. 1922 592.

A. Landé. Wesen der relativistischen

Röntgendubletts 1090. Jurice Lecat. Bibliographie de la Maurice Lecat. relativité 1620.

3. Quantenlehre.

J. C. McLennan. Quantum Theory 218. E. P. Adams. Quantum theory 420.

R. Mecke. Deutung der Quantentheorie

Rudolf Ladenburg. Grundlagen der Quantentheorie und ihre experimentelle Prüfung 656.

O. W. Richardson. Generalized Quan-

tum Conditions 725.

Quantenstatistik der Max Planck. Energieschwankungen 657.

Arthur H. Compton. Quantum theory of uniform rectilinear motion 1532.

Arrigo Mazzucchelli. Dimostrare alcune formule combinatorie della teoria dei quanti 658.

A. Einstein. Bietet die Feldtheorie Möglichkeiten für die Lösung des Quantenproblems? 724.

- und P. Ehrenfest. Quantentheorie des Strahlungsgleichgewichtes 490.

William Duane. Transfer in quanta of radiation momentum to matter 253. Transfer of radiation momentum in

quanta 656.

Stralingsformule en lichtquanta 115 W. Bothe. Räumliche Energieverteilur

in der Hohlraumstrahlung 397.

Jakob Kunz. Derivation of Planck Law of Radiation by means of the Adiabatic Hypothesis 1622.

G. Breit. Are quanta unidirectional

Enrico Fermi. Teoremi di meccanio analitica importanti per la teoria d quanti 653.

Alfred Klose. Ausgezeichnete Energi werte in mechanischen Systemen 65

V. F. Lenzen. Method of Determining the Adiabatic Invariants of Mechan cal Systems 653.

Ehrenfest. Adiabatische Tran formationen in der Quantentheor

Enrico Fermi. Principio delle adi batiche e sistemi che non ammettor coordinate angolari 653.

W. Pauli jr. Thermisches Gleichgewich zwischen Strahlung und freien Ele tronen 489.

E. Gehrcke.

Physikalische Grundlas der Atomstrahlung 733. B. Gudden und R. Pohl. Das Quante

äquivalent bei der lichtelektrische Leitung 58.

Max Born. Quantentheorie Störungsrechnung 655.

L. Nordheim. Zur Behandlung en arteter Systeme in der Störung rechnung 4.

Léon Brillouin. Théorie des quanta

atome de Bohr 4.

R. Minkowski und H. Sponer. Durc gang von Elektronen durch Aton 1714.

N. Bohr. Bau der Atome 431, 65 - Application of the quantum theo

to atomic structure 724.

Max Planck. Bohrsche Atomtheor 651.

G. Hertz. Bohrsche Theorie und Ele tronenstoß 651.

G. v. Hevesy. Bohrsche Theorie w Radioaktivität 420.

Mecke. Quantenatomistik 103

W. G. M. Lewis. Atomic structure as Quantisation 1637.

S. Brackett and R. T. Birg Quantum defect and the Bohr theo of atomic structure 655.

Franz Skaupy. Problem des Ator und der Strahlung 727.

W. Bothe. Wechselwirkung zwisch Strahlung und freien Elektronen 117

C. Slater. Radiation and Atoms 1530. A. H. Bucherer. Planetenbewegung auf Pearse Jenkin. Structure of the Molecule 747.

Born und W. Heisenberg. Quantentheorie der Molekeln 1307.

chard C. Tolman. Duration of Molecules in upper quantum states 1125, 1192.

Nordheim. Quantentheorie des Wasserstoffmoleküls 217, 970.

H. Van Vleck. Normal Helium Atom and its relation to the Quantum Theory 730.

A. Kramers. Modell des Helium-

atoms 731.

lph de Laer Kronig. Model of the helium atom 732.

V. Raman and A. S. Ganesan. Spectrum of neutral helium 705, 1161.

dwik Silberstein. Spectrum of helium 705.

Crossed-orbit model of helium, its ionization potential, and the Lyman series 706.

lther Gerlach und Fritz Gromann. Elektronenaffinitätsspektrum des Jodatoms 122.

Wereide. General principle of relativity applied to the Rutherford-Bohr atom-model 724.

Basu. Perturbations of the orbit of the valency-electron in the generalized hydrogen-unlike atom 602.

Quantum in Atomic ever Lodge.

Astronomy 656.

Tartakowsky. Quantelung des asymmetrischen Oszillators und elastisches Spektrum 654.

Nordheim. Berechnung höherer Näherungen zufällig entarteter Sy-

steme 807.

blf Smekal. Quantelung nicht bedingt periodischer Systeme 652, 1124. S. Vallarta. Quantization of non-

conditioned-periodic systems 1124. Krutkow und V. Fock. Rayleigh-

orches Pendel 654. Velocity Constant of a hes Rice. Inimolecular Reaction 333.

Velocity of a Uni-McKeown. nolecular Reaction 333.

C. M. Lewis. Velocity of a Uninolecular Chemical Reaction 334.

Does an Accelerated R. Milner. lectron necessarily radiate Energy n the Classical Theory? 767.

Does an Accelerated A. Schott. llectron necessarily radiate Energy n the Classical Theory? 767.

Grund der Quantentheorie und Kritik der Einsteinschen Gravitationsgleichungen 223.

E. Császár. Theorie der spezifischen

Wärme 79.

Schrödinger. Erwin Spezifische Wärme fester Körper bei hoher Temperatur und Quantelung von Schwingungen endlicher Amplitude 716.

Richard C. Tolman. Rotational specific heat and half quantum numbers 1696.

J. H. Van Vleck. Specific heat of an elastic gyroscopic model of the hydrogen molecule 1170.

Quirino Majorana. Ricerche sulla

Gravitazione 276.

W. Pauli jr. Zur Frage der Zuordnung der Komplexstrukturterme in starken und in schwachen äußeren Feldern 488.

Paul S. Epstein. Simultaneous action of an electric and a magnetic field on a hydrogen-like atom 655.

Ferromagnetism and quantum theory

656.

S. Ornstein und H. C. Burger. Dimension der Einsteinschen Lichtquanten 491.

H. Bateman. Theory of Light-Quanta

781.

L. S. Ornstein und H. C. Burger. Zusammenwirken von Lichtquanten und Plancksches Gesetz 970.

Louis de Broglie. Ondes et quanta

H. Bateman. Nature of Light-Quanta 781.

L. S. Ornstein und H. C. Burger. Dynamik des Stoßes zwischen einem Lichtquant und einem Elektron 491.

H. S. Allen. Light and Electrons 781.

Louis de Broglie. Quanta de lumière, diffraction et interférences 782. E. Guye. Explosion partielle ou

C. E. Guye. totale d'un électron dans la théorie des quanta 1401.

Quantentheorie der Gase Byk. und Flüssigkeiten 715.

D. Enskog. Quantentheorie des Dampfdruckes und der Dissoziation 716. C. G. Darwin. Wave Theory and the

Quantum Theory 728. Gregor Wentzel. Quantenoptik 970. Interference of light and G. Breit. quantum theory 727.

H. Bateman. Light-Quanta and Inter-

ference 781.

A. Sommerfeld. Deutung verwickelter | Edmond Bauer, Pierre Auger Spektren (Mangan, Chrom usw.) nach der Methode der inneren Quantenzahlen 215.

S. Epstein and P. Ehrenfest. Quantum theory of the Fraunhofer

Diffraction 1125.

Structure des molé-Victor Henri. cules et spectres d'absorption des corps à l'état de vapeur 935.

H. A. Kramers. Korrespondenzprinzip und Schalenbau des Atoms

652.

F. Paschen. Zur Kenntnis des Kombinationsprinzips 1008.

Zur Kenntnis des Kom-C. Runge. binationsprinzips 1008.

C. N. Wall. Selection principle 733. Ilse Jessen. Spektroheliographische Untersuchungen amKohlenlichtbogen im Zusammenhang mit der Atomtheorie 709.

G. Breit. Width of spectral lines due

to collisions and quantum theory 726. G. E. M. Jauncey. Theory of the width of the modified lines in the Compton effect 1714.

Adolf Smekal. Quantentheorie der Dispersion 729:

H. A. Kramers. Law of Dispersion and Bohr's Theory of Spectra 1531. K. F. Herzfeld. Quantenhafte Deutung

der Dispersion 1583.

Absolute Intervalle der Landé. optischen Dubletts und Tripletts 1254. Quantum Theory of Band Spectra 1477.

A. Sommerfeld. Allgemeine spektroskopische Gesetze, insbesondere ein magnetooptischer Zerlegungssatz 214.

Paul D. Foote, A. E. Ruark and F. L. Mohler. D₂ Zeeman pattern for resonance radiation 791.

A. Sommerfeld. Theorie der Multipletts und ihrer Zeemaneffekte 1010.

Walther Gerlach und Andries C. Cilliers. Magnetische Atommomente 1622.

- und Otto Stern. Richtungsquantelung im Magnetfeld 1622.

E. Guye. Inertie d'une couche ólectrique sphérique en mouvement divergent et émission de quanta 1401.

M. Mosharrafa. Half-integral quantum numbers in the theory of the Stark effect 1790.

P. Debye. Zerstreuung von Röntgenstrahlen und Quantentheorie 256.

G. E. M. Jauncey. Corpuscular quantum theory of the scattering of x-rays by light elements 491.

Théorie de Francis Perrin. diffusion des rayons X 1179.

A. P. Wills. Change of wave-length

x-ray scattering 1179.

Arthur H. Compton. Scattering X-rays 1597.

Quantum theory of the wave-length

of scattered x-rays 1714.

A. Sommerfeld. Regularities in the constants of Röntge screening spectra 123.

 u. W. Heisenberg. Relativistisch Röntgendubletts und Linienschär

726.

Frank C. Hoyt. The Relative Intensit of X-Ray Lines 730.

M. Jauncey. Angular distribution recoil electrons produced by polarize x-rays 1031.

Arthur H. Compton and J. C. Hul bard. Recoil of electrons fro

scattered x-rays 1308.

and C. F. Hagenow. The polar zation of secondary x-rays 1091.

Rosseland. Quantentheorie d radioaktiven Zerfallsvorgänge 1125

Alfred Byk. Revidierte Troutonsel Regel der Verdampfungswärmen ur Quantentheorie 1378.

Jean Perrin et Mlle Choucrou Fluorescence, et lois générales relativ aux vitesses de réaction 1365.

A. Eucken. Bildung des Ozons b niedrigen Drucken und tiefen Ten peraturen 712.

Universal and other Enoch Karrer.

constants 218.

J. Duclaux. Règle de Pictet-Troute

4. Wahrscheinlichkeit und Statistik.

E. Czuber. Philosophische Grundlage der Wahrscheinlichkeitsrechnung 7

Stanislas Millot. Solutions simp fiées de problèmes de Laplace sur probabilité des causes 594.

Paul Levy. Lois stables en calcul d

probabilités 970.

Constant Lurquin. Proposition fond mentale de probabilité 1127.

Louis Bachelier. Problème génér de la statistique discontinue 593.

A. Khintchine. Théorème génér relatif aux probabilités dénombrabl 1180.

Emile Borel. Théorème général relati aux probabilités dénombrables 118 oanibhusan Datta. Application of | P. Harzer. Bessel Functions to Probability 1031. iminosuke Ono. General distribution function and mean value of the periodic observation 341.

lwin B. Wilson. Development of a

frequency function 971.

Statistical significance of experimental data 79.

A. Shewhart. Applications of Statistical Methods to the Analysis of Physical and Engineering Data 1180.

ax Planck. Energieschwankungen bei der Superposition periodischer

Schwingungen 657.

Quantenstatistik der Energieschwan-

kungen 657.

C. Kar. Spontane Schwankungen in der Physik 492.

Fürth. Spontane Schwankungen in der Physik 658.

ılesh Chandra Kar. Statistical theory of spontaneous fluctuations in energy, pressure and density 1127. rigo Mazzucchelli. Dimonstrare alcune formule combinatorie della

teoria dei quanti 658. rico Fermi. Probabilità degli stati

quantici 1031.

ich Kretschmann. Das Maxwell-Boltzmannsche Geschwindigkeits- und Energieverteilungsgesetz in der Relativitätstheorie 1126.

win Schrödinger. Spezifische Wärme fester Körper bei hoher Temperatur und Quantelung von Schwingungen endlicher Amplitude 716.

Breit. Are quanta unidirectional?

C. Urey. Distribution of electrons in the various orbits of the hydrogen atom 1533.

K. Syrkin. Kinetische Begründung der chemischen Affinität 4.

Probabilité d'exianislas Millot. stence des lois biologiques 594.

S. Uhler. Method of least squares

and curve fitting 1114.

Reihenumkehrung 1179. Dolezal. A. Fisher. Errors of observation 420. Burnside. Errors of observation 971. rger Meidell. Probabilité des erreurs

471.

rman Campbell. Adjustment of Observations 1393. f. Guldberg. Valeurs moyennes 970.

Y. Edgeworth. Use of Medians for reducing Observations 1179.

Wahrscheinlichkeit voneinander abhängiger Fehler und über ihr Abhängigkeitsmaß 970.

Leo Wenzel Pollak. Die Lamontsche

Korrektur 141.

Émile Borel. Jeux où le hasard se combine avec l'habileté des joueurs

Edward C. Molina. Theory of Probabilities Applied to Telephone Trun-

king Problems 1031.

Walther Kutzner. Wahrscheinlichkeitsgesetz in Anwendung auf die radioaktive Strahlung des Poloniums 821.

A. Haerpfer. Konstanten des Polarplanimeters 1526.

C. E. P. Brooks. Method for the Rapid Determination of Short Periodicities 1180.

Philip Finkle, Hal D. Draper and Joel H. Hildebrand. Theory of emulsification 1181.

5. Erkenntnistheorie.

Dorothy Wrinch and Harold Jeffreys. Fundamental Principles of Scientific Inquiry 492.

Alfred C. Elsbach. Kant und Einstein

658.

Bohuslav Brauner. Einstein and Mach 1715.

Hugo Dingler. Grundgedanken der Machschen Philosophie 1256.

Nernst. Gültigkeitsbereich der Naturgesetze 1031.

Dorothy Wrinch and Harold Jeffreys. Theory of Mensuration 218.

Fritz London. Maßbestimmung in einer physikalischen Mannigfaltigkeit und Prinzip der Ahnlichkeit 1255.

Hugo Dingler. Grundlagen der Physik 341.

Aloys Müller. Sinn der physikalischen Axiomatik 341.

Oswald Veblen. Geometry and Physics 1245.

B. Lévi. Perchè lo spazio fisico ha tre

dimensioni? 1401. ^{*} Norman R. Campbell. Physics and Relativity 1715.

J. Boussinesq. Cours de physique mathématique 1705.

Sakuhei Fujiwhara. Growth and Systems and Decay of Vortical Mechanism of Extratropical Cyclones 1037.

3. Mechanik.

1. Allgemeines.

Lehrbuch der tech-Hans Lorenz. nischen Physik 1113.

Arthur Haas. Vektoranalysis 1706.

- Mechanical E. Eisenmenger. Strength in Its Relation to Absolute Size 1181.
- Friedrich Hund. Grundbegriffe der Mechanik im Schulunterricht 80.
- Heinrich Zlamal. Phänomenalistische und sophistische Auffassung und Bedeutung der Relativitätstheorie 1716.
- H. Hermann. Gleichförmigkeit der Zeit und Uhrprüfung 808.
- O. D. Kellogg. Example in potential
- theory 218.
 William J. Raymond. Examples of Motions which Have a Terminal Speed 1032.
- A. L. Narayan. Coupled Vibrations by means of a Double Pendulum 342.
- F. Häusser und G. M. Strobl. Messung der Tropfengröße bei zerstäubten Flüssigkeiten 1127.
- H. Lorenz. Bedeutung der technischen Physik für den Maschinenbau 585.

2. Mechanik idealer Körper (Massenpunkte, starre Körper), Gravitation.

- Théorème de la moindre Louis Roy. contrainte de Gauss 421.
- Harold H. Potter. Proportionality of Mass and Weight 649.
- C. Popovici. Modification de la loi de Newton-Coulomb 277.
- Franz Riedinger. Gravitation und Trägheit 141.
- H. Osten. Gravitationsgesetze 971.
 A. Berroth. Kinetic Theory of Gravitation and New Experiments in Gravitation 1032.
- O. Majorana. On Gravitation Theoretical and Experimental Researches 1181.
- E. Anding. Endliche Fortpflanzungsgeschwindigkeit der Gravitation 1127.
- G. v. Gleich. Gravitation und Metrik 1128.
- Fr. Schenner. Numerische Entwick-lungen zu Jaumanns Theorie der Gravitation 971.
- E. Lohr. Vergleich der Jaumannschen Gravitationstheorie mit den Beobachtungen 971.

- Das statisch Erich Kretschmann. Einkörperproblem in der Einstein schen Theorie 486.
- Jean Chazy. Champ de gravitation d deux masses fixes dans la théorie d la relativité 80, 594.
- F. H. Murray. Cas particulier d problème des trois corps 277.
- Joseph Larmor. Can Gravitatio really be absorbed into the Frame of Space and Time? 486.
- Adalbert Bokowski. Effekte erste und zweiter Ordnung in der Einsteir schen Gravitationstheorie 142.
- A. H. Bucherer. Planetenbewegung au Grund der Quantentheorie un Kritik der Einsteinschen Gravitation gleichungen 223.
- Marcel Brillouin. Questions au suje de l'univers d'Einstein 277.
- Th. Wulf. Bestimmung der Grav tationskonstante 342.
- Folgerungen aus der Osten. Attraktionsgesetz 971.
- Gegen ein Mißver Aloys Wenzl. ständnis der Aquivalenzhypothese 7
- Enrico Fermi. Teoremi di meccanio analitica importanti per la teoria d quanti 653.
- Alfred Klose. Ausgezeichnete Energie werte in mechanischen Systemen 65 F. Levi-Civita. Fragen der klassische
- und relativistischen Mechanik 153
- P. A. M. Dirac. Relativity Dynamic of a Particle 1712.
- Vranceanu. Stabilità del rote lamento di un disco 1533.
- Otto Baschin. Einfluß der Achse drehung der Erde auf rotierend Räder 595.
- Adolf Smekal. Quantelung nicht b dingt periodischer Systeme 652, 112
- M. S. Vallarta. Quantization of nor conditioned-periodic systems 1124.
- P. Tartakowsky. Quantelung dasymmetrischen Oszillators und el stisches Spektrum 654.
- G. Krutkow und V. Fock. Rayleig. sches Pendel 654.
- D. Pekár. Anwendbarkeit der Eötvö schen Drehwage im Felde 74. Emanuel Wagner. Prospecting wi
- the Eötvös Balance 138.
- Imre Szolnoki. Anwendung d Eötvöseffekts im bewegenden Sonne system 1402.
- H. Thorade. Harmonische Schwi gungen bei Berücksichtigung d Reibung 1247.

erl Barus. Hodograph of Newtonian hyperbolic reflection 1251.

ax Born. Quantentheorie und Stö-

rungsrechnung 655.

F. Lenzen. Method of Determining the Adiabatic Invariants of Mechanical Systems 653.

nrico Fermi. Principio delle adiabatiche ed sistemi che non ammettono coordinate angolari 653.

Ehrenfest. Adiabatische Transformationen in der Quantentheorie

654.

Haalck. Lagerung der Massen im Innern der Erde und deren Elastizitätskonstanten 816.

ilhelm Biltz und Erwin Birk. Dichtemessungen an einigen einfachen und komplexen Nickel- und Kobaltsalzen 81.

ichard Schumann. Apparat zur Erläuterung der Entstehung von Ebbe und Flut 342.

ewis F. Richardson. Theory of the Measurement of Wind by Shooting Spheres Upward 493.

H. G. Dines. Can the Geostrophic Term account for the Angular Momentum of a Cyclone 1309.

E. St. John. Gravitationsverschiebung im Sonnenspektrum 590. v. Mörl. Ablenkung der Lichtstrahlen durch die Sonne 971.

F. Dodwell and C. R. Davidson. Deflection of Light by the Sun's Gravitational Field 1121.

Beobachtung der Freundlich. Lichtablenkung während der totalen Sonnenfinsternis am 21. September 1922 592.

osef Hopmann. Deutung der Ergebnisse der amerikanischen Einstein-

expedition 487.

ornel Lanczos. Theorie der Merkurperihelverschiebung 591.

Die relativistische von Gleich.

Perihelstörung 1714.

Lasareff. Relations entre les anomalies de magnétisme terrestre et celles de gravité 1716.

Fermi. Existenz quasi-ergodischer Systeme 1128.

rwin Schrödinger. Spezifische Wärme fester Körper bei hoher Temperatur und Quantelung von Schwingungen endlicher Amplitude 716.

Messung der Menschen-Imhof. leistung beim Gesteinsbohren 1402.

3. Mechanik der festen Körper. Elastizität, Festigkeit usw.

- R. F. Gwyther. Solutions of the Stress Equations, under Tractions only, expressed in general Orthogonal Coordinates 81.
- Specification of the elements of Stress 1129.
- F. H. van den Dungen. Applications des équations intégrales à une proposition de Lord Rayleigh 1128.

Emil Schulze. Apparat zur Ableitung

der Stoßgesetze 343.

Eugene C. Bingham. Plasticity and elasticity 595.

Pietro Burgatti. Soluzione dell' equilibrio dei solidi elastici 1534.

A. Korn. Secondo problema fondamentale della statica elastica 1129.

E. L. Nicolai. Stabilitätsprobleme der Elastizitätstheorie 875.

Heinrich Hencky. Statisch bestimmte Fälle des Gleichgewichts in plastischen Körpern 876.

Carlo Somigliana. Questioni di elasto-statica. Nota 1 1257.

R. F. Gwyther. Elastic Stress relations and conditions of Stability 1256.

Bruto Caldonazzo. Equilibrio di un velo pesante triangolare 1115.

Wladimir de Belaevsky. Problème d'élasticité à deux dimensions 421.

Mesnager. Problème d'élasticité à deux dimensions 421.

Solution des problèmes d'élasticité

Karl Wolf. Beiträge zur ebenen Elastizitätstheorie 493.

W. Alexandrow. Maxwellscher Satz der technischen Elastizitätstheorie875.

Georg Masing. Zur Heynschen Theorie der Verfestigung der Metalle durch verborgen elastische Spannungen 21.

Karl v. Terzaghi. Beziehungen zwisch. Elastizität u. Innendruck 1258.

Paul Heymans. Property of Rectilinear Lines of Principal Stress 1257.

Wilhelm Gauster. Airysche Spannungsfunktion 1535.

Michel Collinet. Énergie interne d'un corps élastique 1129. Potentiel interne des Jouguet.

corps élastiques 1257. Lorenz Ringelmann. Elastizität von

Gelatinelösungen und Einfluß der Quellung 153.

Werner Goedecke. Schrumpfung von Gelatine und dabei auftretende Kräfte 152.

pseudo-continuous media 1309.

Theodore William Richards. Compressibility, internal pressure and change of atomic volume 1717.

A. S. E. Ackermann. Pressure of Fluidity of Metals 422.

H. I. Coe. Behavior of Metals Under

Compression 976.

Georg Gredt. Materialverschiebung beim Walzen 145.

E. W. Tschudi. Duration of impact of a pair of bars of steel and of copper 1625.

Galerkin. Plaques minces élastiques

1257.

A. A. Griffith. Gebruik van zeepvliezen bij het oplossen van spannings-

problemen 1557.

R. F. Gwyther. Types of Elastic Stress which are peculiarly related to each of the several Curvilinear Orthogonal Coordinate Systems 1256.

L. Hock. Bestimmung von Elastizi-

täten 1623.

G. Welter. Statische und dynamische Elastizitätsgrenze imMaterialprüfungs- u. Konstruktionswesen 972.

Georg Welter. Schlagelastizität von Metallen und Legierungen 1717.

Strength and Related Properties of

Metals and Wood 1478.

T. M. Jasper. Energy Relation in the Testing of Ferrous Metals at Varying Ranges of Stress and at Intermediate and High Temperatures 147.

K. Kets. Spannungen im Material 219. Georg Masing und Carl Haase. Innere Spannungen im Messing und

ihre Beseitigung 1258. S. N. Petrenko. Behavior of quartz under high compression tests 1624.

Theodore W. Richards and Edouard P. R. Saerens. Compressibilities of the chlorides, bromides and iodides of lithium, rubidium and cesium 1310.

John R. Freeman jr. and Paul F. Brandt. Influence of the Ratio of Length to Diameter in the Compression Testing of Babbitt Metals 976.

Hermann A. Holz. Portable Apparatus for the Rapid and Precise Investigation of the Accurary of Calibration of Small Compression Testing Machines 494.

Friedrich Körber und Rudolf H. Vergleichende statische und dynamische Zugversuche 493.

Lecornu. Accouplements élastiques 808.

Paul Heymans. Dynamic stresses in | F. Rinagel. Zugprobestabformen ur Einspannvorrichtungen 1478.

5. Jahr

T. Thompson. Beams with loads irr gularly distributed 1181.

B. C. Anderson. Static and Kinet Wood Testing Machine 494.

Mesnager. Déformations permanent à la traction et à la compression 49

Paul Piketty. Crouissage par étirag 1478.

William Schriever. Rigidity of drawn tungsten wire at incandescer temperatures 735. R. G. Batson. Testing Wires and Wi

Ropes 495.

Gilbert Cook. Stresses in pipes rein

forced by steel rings 817.

F. C. Lea, V. A. Collins und E. A. Der direkte Elastizität Reeve. modul kalt gezogener Metalle a Funktion der Anlaßtemperatur 21

William Hovgaard. Theory of bendir

- Proof of the theory of ordinary bendir and its extension to beams of nor homogeneous materials 659.

R. Stribeck. Dauerfestigkeit von Eise und Stahl bei wechselnder Biegung 14

Längenänd Sieglerschmidt. rungen zugbelasteter Drähte bei Biegerollenversuch 734.

John Case. Bending Stresses in Thir

Walled Tubes 809.

G. B. Haven. Constant Load Ra Testing Machine for Textiles 962.

Karl Huber. Ermittlung der Schuspannungen und des Schubelastiz tätsmoduls mit Hilfe eines neue Feinmeßgerätes 144.

B. Tuckerman. Optical Stra Gages and Extensometers 962.

E. G. Coker. Recherches récentes s la photoélasticimétrie 5.

Engineering problems solved photo-elastic methods 143.

G. F. C. Searle. Focal line method determining the elastic constants glass 849.

Friedrich Späte. Untersuchung von Glas mittels des polarisierten Licht

Iole Terni. Teoria delle distorsio elastiche 809.

Paolo Bonanno. Teoria delle diste sioni elastiche 1534.

G. B. Deodhar. Änderungen des To sionsmoduls Eurekadraht eines durch Ziehen 734.

A. E. H. Tutton. Wave length Tors

Villey, P. Vernotte et F. Fon. M. v. Schwarz. Technische Härtetenay. Amortissement des oscillations de torsion des caoutchoucs 1310. Arrowsmith. Design of rotating discs 219.

arles Platrier. Problème relatif à une étude de la torsion des arbres

de transmission 1310.

Travaux de MM. Blondel et Lecornu sur la torsion des arbres de transmission 1535.

Szabó. Berechnung der kritischen

Drehzahl von Wellen 589.

Blaess. Einwirkung des Fundaments auf das kritische Verhalten rasch umlaufender Wellen 142.

otirmaya Ghosh. Longitudinal Vibrations of a Hollow Cylinder 219. prothy Wrinch. Lateral Vibrations of Bars of Conical Type 972. otirmaya Ghosh. Transverse Vi-

brations of a Thin Rotating Rod and of a Rotating Circular Ring 1128.

Drehschwingungsfestigkeit Föppl. und innere Dämpfungsfähigkeit von

Stahlsorten 661.

C. Krishnaivar. Maintenance of Vibrations under Variable Spring 1402. Sommerfeld. Coupled oscillations of a helical spring 81.

L. Burns. Spring Testing Machine 7, 220.

S. Rowell.

Analysis of Damped Vibrations 660. E. Wright. Damped vibrations 733.

F. Jenkin and W. N. Thomas. Damped Vibrations 733.

R. Watson- Measurement of vibrations in building structures 1624.

H. Stuart. Natural vibration of aeroplane spars 809.

Geiger. Theorie technischer Schwin-

gungsvorgänge 1265.

Thoma. Dämpfung von Maschinen-

schwingungen 1265.

bert B. Grey. Vibration and noise 1032.

einrich Holzer. Gefahrlose Resonanz 142.

H. Barton and H. M. Browning. Triple Pendulums with Mutual Interaction and Analogous Electrical Circuits 808.

L. Narayan. Mechanical Illustration of three Magnetically Coupled Oscil-

lating Circuits 660.

arence A. Beckett. Definitions of Hardness 734.

Wissenschaftliche und C. Plaut. technische Härtemessung 343.

bestimmungsmethoden 494.

Friedrich Körber und Ivan Bull Simonsen. Dynamische Härteprüfung nach der Differentialmethode 494.

M. v. Schwarz. Fallhärteprüfer 589,647.

Testing of Steel for H. M. German. Hardness 220, 343.

Johnstone Taylor. Testing Balls for Hardness 220, 277.

Ivar Bull Simonsen. Dynamische Prüfung des Stahles bei höheren Temperaturen 1623.

P. Ludwik. Was haben wir an der

Kerbschlagprobe? 144.

Paul Fillinger. Notched-Bar Impact Tests 495.

Lieber. Belastungsdauer bei der Härteprüfung weicher Metalle 1717.

H. Schottky. Härte von Eisen-Nickel-Legierungen 734.

A. L. Norbury. Experiments on the hardness and spontaneous annealing of lead 148.

Clara di Capua. Durezze delle leghe di piombo e tallio e di cadmio e tallio 529.

e Maria Arnone. Durezza delle leghe di piombo-bismuto e di cadmiobismuto 975.

Durezza delle leghe di stagno e cadmio e di cadmio e bismuto 1033.

D. J. McAdam, jr. Endurance Properties of Steel 974.

Karl Krug. Härtebestimmung von Schleifmaterialien 876.

Mindt. Härtebestimmung von Schleifmaterialien 876.

G. Sachs. Kerbwirkungen beim Stauchversuch 278.

F. C. Langenberg. Temperature and Charpy Impact Value 145. Richard Mailänder. Einfluß der

Probenbreite auf die Kerbzähigkeit von Flußeisen 811.

M. Moser. Ergebnisse des Kerbschlagversuches 1033.

Herabsetzung der Kerb-H. Kändler. wirkung 972.

Experiments with Leon Guillet. Repeated Shocks 145. H. J. Gough and D. Hanson. Behaviour

of Metals Subjected to Repeated Stresses 812.

W. Norman Thomas. Effect of scratches and of various workshop finishes upon the fatigue strength of steel 147.

- Richard Mailänder. Ermüdungserscheinungen und Dauerversuche 811,
- C. F. Jenkin. Fatigue Failure of Metals 344.
- R. R. Moore. Resistance of Manganese Bronze, Duralumin, and Electron Metal to Alternating Stresses 975.
- E. H. Schulz und W. Püngel. holungspausen, Temperatur, Korngröße und Kraftwirkungslinien bei der Daumschlagprobe 1403.

Festigkeitseigenschaften von Eisen und Stahl in der Kälte

und Wärme 146.

Metallhalbfabrikate H. Obermüller.

E. Grunwald. Mechanische Festigkeit von Handlampengriffen 148.

Monteagle Barlow. Friction between sliding surfaces 1536.

A. Nádai. Unter einer Belastung sich bildende Gleitflächen der festen Körper 1624.

Allen P. Child. Friction and Carrying Capacity of ball and roller bearings 6,

220.

- Gino Bartorelli. Perdita di forza viva delle ruote di un convoglio per effetto della discontinuità delle rotaie 422.
- L. C. Morrow. Slip, Friction and Stretch Tests for Leather Belting 867.
- John Prescott. Buckling of deep beams 662.
- H. Meyer und F. Nehl. Prüfung der Abnutzung von Eisen und Stahl bei rollender Reibung ohne Schmiermittel 660, 974.
- R. Kühnel und G. Marzahn. Ursachen der vorzeitigen Zerstörung von Rippenschwellen 596.
- A. Pazziani et C. E. Guye. Influence du recuit sur le Frottement intérieur des fils de quartz aux températures élevées 1184.

J. H. Shaxby and J. C. Evans. Properties of Powders 82.

E. E. Walker. Properties of powders 82, 1258.

Friedrich Schilling. Böschungsflächen mit Kegelschnitten als Basiskurven 875.

Ernst Schmidt. Entstehung und Dämpfung von Fundamentschwingungen 876.

Gerb. Die Übertragung von Maschinenfundamentschwingungen im Erdboden 143.

Vicente Inglada Ors. Sismologia 81

5. Jahn

Dispersion und E:

B. Gutenberg. Absorption und For pflanzungsgeschwindigkeit von sei mischen Oberflächenwellen 351.

J. H. Jeans. Propagation of Earthqual Waves 82.

B. Gutenberg.

tinktion von seismischen Oberflächer wellen und der Aufbau der oberste Erdschichten 1632. H. Haalck. Lagerung der Massen i

Innern der Erde und deren Elast

zitätskonstanten 816.

Eduard Maurer. Gußeisendiagram 1491.

Prüfung d Richard Moldenke. Gußeisens 6.

Rudeloff. Prüfung des Gußeisens 97 O. Bauer und K. Sipp. Abhängigke der Schwindung und Lunkerung bei Gußeisen von der Gattierung 22.

Die Abnutzung des Gu

eisens 974.

Leslie H. Marshall. Embrittlement malleable cast iron resulting from he treatment 1258.

M. Carrington. Strength properties wrought iron, mild steel and nick steel at high temperatures 496.

H. B. Knowlton. Case Hardening ar Other Heat treatments As Applied

Gray Cast Iron 219, 289.

Friedrich Körber. Mechanische Eige schaften und das Gefüge kritisch g reckten und geglühten Weicheise

Beziehungen zwischen der Zugfestigke Härte und gebundenem Kohlensto

beim Gußeisen 661.

Willard Rother. Strength of cast in and its thickness 1625.

A. Mallock. Effects of Temperatu on the Properties of Metals 1033.

H. Schottky. Verhalten von Flu eisenblechen in der Schweißhitze 59 Emil Schüz. Weichglühen von Gra

guß 527.

A. Nádai. Fließgrenze des Eisens 14 Otto Brezina. Zeitgesetze der y elastischen Deformation bei Zink u Flußeisen 975.

E. Piwowarsky. Titan im Grauguß 2 Karl Sipp. Perlitgußeisen 148.

Karl Emmel. Perlitguß 828.

Fritz Schmitz. Die Abhängigkeit mechanischen Eigenschaften unt Kohlenstoffstähle perlitischer ihrem Kohlenstoffgehalt 810. John Arnott. Monel metal 164.

itz Wüst und Peter Bandenheuer. H. A. Schwartz and W. W. Flagle. Zur Kenntnis des hochwertigenniedrig

gekohlten Gusses 528.

Jaquerod et H. Mügeli. Variation du premier module d'élasticité de l'acier avec la température 975, 1182. B. Langstroth. Heat Treating Low-Carbon Bars for Rivets 975.

org Welter. Eigenschaftsänderungen durch Wärmebehandlung unterhalb

der Umwandlungspunkte 6.

alter Rohland. Elastische Eigenschaften kaltgereckten Stahls 1477. H. Willis. Properties of Electric

Sheet Steel 385.

itz Schmitz. Vergleichende Untersuchungen von basischem und saurem Stahl mit Hilfe der Großzahlforschung 278.

itz Wüst. Vergleichende Untersuchungen an saurem und basischem

Stahl 496.

Oberhoffer. Eigenschaften von

Stahlformguß 810.

C. H. Carpenter. Bessemer Steel 344. B. Waterhouse and L. N. Zavarine. Properties of Steel Containing Tellurium 364.

Oertel und F. Pölzguter. Einfluß von Kobalt und Vanadin auf die Eigenschaften von Schnellarbeitsstahl

1718.

Oberhoffer, E. Piwowarsky, A. Pfeifer-Schiessl und H. Stein. Gas- und Sauerstoffbestimmungen im Eisen, insbesondere Gußeisen 526. Oertel und Ludwig A. Richter. Einfluß der Desoxydation auf die Warmverarbeitbarkeit und die Eigeneines Chromnickel-Bauschaften stables 606.

und R. W. Leveringhaus. Einfluß von Kupfer auf die Eigenschaften eines Nickel-Chrom-Baustahles 662. var and related nickel steels 497.

bert A. Hadfield. Importance of Special Alloy Steels in Industry 496. rbert Vogl. Eignung des Elektroofens zur Herstellung von Stahlwerkskokillen und Temperguß 496.

Tammann und K. Dahl. Sprödigkeit metallischer Verbindungen 5. ul Rütten. Gasdurchlässigkeit, Porosität, Druckfestigkeit und Reduktionsgeschwindigkeit von Eisenerzen

1560.

itz Wüst und Paul Rütten. Gasdurchlässigkeit, Porosität, Druckfestigkeit und Reduktionsgeschwindigkeit von Eisenerzen 1560.

Significance of Tool Temperatures as a Function of the Cutting Resistance of Metals 988.

Regelsberger. Leichtmetalle in

Legierungen 992.

J. Ferdinand Kayser. Heat and acid resisting alloys 166.

Kôtarô Honda and Isami Igarasi. Has pure Aluminium a Transformation Point? 1310.

Albert Portevin et François Le Chatelier. Obtention, par traitement thermique, d'alliages légers d'aluminium à haute résistance ne contenant pas de magnésium 83.

Dreibholz. Binäre und ternäre Mo-

lybdänlegierungen 755.

F. S. Goucher. Strength of Tungsten Single Crystals 1624.

W. Geiss. Elastische Konstanten des Wolframs als Abhängige der Temperatur 1716.

M. v. Schwarz. Vergleich zwischen kalt gerollten und geschnittenen Gewinden, besonders bei schrauben 1478.

Rudeloff. Werkstoffnormung 809.

M. Wächtler. Optische Methoden zur Prüfung v. Materialbeanspruchungen 1623.

L. Treuheit. Formstoff und Formenprüfung 221.

Festigkeitsprüfer für Formen und Kerne, Schlämmvorrichtung f. Formsande, sowie Berechnung einer absoluten Größe für Formsande 220.

Rames C. Ray. Effect of Long Grinding on Quartz (Silver Sand) 287.

Fritz Wüst und Peter Stühler. Einfluß der Anordnung und der Zahl der Eingußtrichter auf die Erstarrung und die Festigkeitseigenschaften eines Gußstückes 526.

K. Kets. Materialprüfung im Fabriksbetrieb 6.

M. v. Schwarz. Zukünftige Werkstoffprüfung 662.

Dauerbruch einer Schraubenspindel 1311.

Richard Baumann. Bemerkenswerte Brucherscheinungen 277.

E. Grüneisen und E. Goens. Messungen an Kristallen aus Zink und Cadmium

Baustoffe der Frei-W. Bucksath. leitungs-Isolatoren und wendung in den verschiedenen Konstruktionen 662.

Eigenschaften des tech- | Tommaso Boggio. R. Rieke. nischen Porzellans 812.

Untersuchungen über Steinhoff.

Silikasteine 1403.

Chas. H. Lees, Jas. P. Andrews and L. S. Shave. Variation of Young's modulus at high temperatures 1716.

Sidney Walter Saunders. sorption Pipette for Gas Analysis 666.

Georg Faber. Beweis, daß unter allen homogenen Membranen von gleicher Fläche und gleicher Spannung die kreisförmige den tiefsten Grundton gibt 1534.

O. S. Peters and R. S. Johnston. Developments in Electric Telemeters

Gustav Eichelberg. Temperaturverlauf und Wärmespannungen in Verbrennungsmotoren 719.

J. Wilip. Emergenzwinkel, Unstetig-

keitsflächen, Laufzeit 1319. O. A. Hougen. Refractory for Industrial Plant Use 1393.

H. Lorenz. Bedeutung der technischen Physik für den Maschinenbau 585.

William Spranagen. Research Achievements of 1923 497.

A. A. Griffith. Breuk-theorie 1556.

4. Mechanik der Flüssigkeiten und Gase. Oberflächenspannung. Innere Reibung. Osmose. Löslichkeit. Absorption.

E. Pistolesi. Equazioni differenziali del

moto dei fluidi 1719.

Riabouchinski. Equations du mouvement d'un fluide rapportées à des axes mobiles 1719.

Mario Pascal. Espressione vettoriale e teoremi generali analoghi a quelli sulla ordinaria circuitazione 1719.

Teorema della forza sostentatrice nel caso di una corrente fluida spaziale 1719.

C. W. Oseen. Hydrodynamisches Problem 1718.

T. H. Havelock. Stability of Fluid Motion 1718.

J. M. Burgers. Geschwindigkeitsglied n der Bernoullischen Gleichung 879.

Umberto Cisotti. Energia cinetica di masse fluide continue 1479; Druckfehlerberichtigung 1616. — Rotazione viscose 1481; Druckfehler-

berichtigung 1616.

- Integrazione dell'equazione delle rotazioni viscose 1481; Druckfehlerberichtigung 1616.

Erroneo calcol numerico relativo alle figure ellisso dali d'equilibrio di masse fluide rotani 1719.

L. Escande et M. Ricaud. Similitud des mouvements hydrauliques 148: C. Camichel et L. Escande. Similitud

A. A. Griffith. Gebruik van zeer vliezen bij het oplossen van spannings problemen 1557.

Gastheoretisch v. Kármán. Deutung der Reynoldsschen Kennzal

881.

S. Lees. Empirical Equation of State for Fluids 877.

Barnett F. Dodge. Simplifying th Solution of Problems of Fluid Flo

A. Byk. Quantentheorie der Gase un Flüssigkeiten 715.

F. Levi-Civita. Fragen der klassische und relativistischen Mechanik 153:

Carl Ramsauer. Massenbewegung de Wassers bei Unterwasserexplosione 150.

R. Winkel. Stauröhren zur Messung de Druckes und der Geschwindigkeit i fließendem Wasser 344.

E. Beyerhaus. Pitotröhre zur Messun der Richtung und Geschwindigke beschleunigter Stromfäden 345.

R. E. Woolley. Electrically Operate Flow Meter 1475.

A. S. Hemmy. Flow of Viscous Liquid through slightly Conical Tubes 42

Clemens Schaefer und Georg Heiser Strömung von Flüssigkeiten in Röhre 423.

Bruto Caldonazzo. Flusso di u liquido naturale in tubi, o cana scoperti, inclinati 597, 981.

B. G. van der Hegge-Zijnen. Metinge omtrent de strooming in de grenslag langs een vlakken wand 976.

Thomas Lonsdale. Flow of water the Annular Space between tv Coaxial Cylindrical Pipes 149.

C. H. Bosanquet. Flow of Liquids in

Capillary Tubes 883.

Nripendra Nath Sen. Higher Ord Tides in Canals of Variable Section 98

Harold Jeffreys. Effect of a Stead Wind on the Sea-level near a Straig Shore 1038.

Kurt Wegener. Beschleunigungen der Hydrosphäre 499.

Kenneth Claude Devereux Hickanan. Filter-pump 1403.

Laboratory Water Motor 1404.

nberto Puppini. Modelli elettrici per lo studio del moto delle acque filtranti 138.

Jakob und S. Erk. Druckabfall in glatten Rohren und die Durchflußziffer von Normaldüsen 1550.

Sparre. Dépressions résultant d'une rupture dans une conduite forcée 424. Winkel. Wasserbewegung in Leitungen mit Ringspalt-Durchflußquerschnitt 880.

Fromm. Strömungswiderstand in

rauhen Rohren 882.

dwig Hopf. Messung der hydraulischen Rauhigkeit 882.

udisch. Wasserräder 1259.

ibert Mawson. Water turbine investigations 1483.

illiam J. Kearton. Use of mercury in binary fluid turbines 584.

Sparre. Coups de bélier dans les conduites de refoulement 151.

kar Tietiens. Turbulenzproblem 981.

Evdoux. Nécessité de l'existence du

vecteur tourbillon dans les mouvements des liquides 1718. azio Lazzarino. Problema fonda-

mentale della teoria dei vortici 422. uno Finzi. Noti di fluidi incompressibili il cui vortice è normale alla velocità 1482: Druckfehlerberichtigung 1616.

fred Ilgner. Erzeugung von Wirbel-

ringen in Wasser 345.

millo Guidi. Prova idraulica delle bombole per gas compressi o lique-

fatti 278.

bodh Chandra Mitra. Steady Translation and Revolution of a liquid sphere with a solide core 596. Riabouchinski. Forme du solide et l'énergie cinétique du fluide qui

l'entoure 1719. M. Burgers. Stationary streaming caused by a body in a fluid with

friction 1719.

I. Taylor. Motion of a Sphere in a Rotating Liquid 978.

Motion of Solid Bodies in Rotating Fluids 980.

F. Grace. Free Motion of a Sphere in a Rotating Liquid parallel to the Axis of Rotation 977.

x Mason and Warren Weaver. Settling of small particles in a fluid

1185.

Kotschin. Über einen Fall der adiabatischen Bewegung 222.

G. I. Taylor. Experiments with Rotating Fluids 1719.

Uller. Theorie der gebundenen Wellen in der reinen Hydro- und Aerodynamik 1625.

Sudhansukumar Banerji. Spherical

Waves of Finite Amplitude 1719. H. Lamb. Waves of Permanent Type on the Interface of two Liquids 1719.

E. A. Barclay-Smith. Wave-Power Transmission 1626.

Armin Schoklitsch. Graphische Hydraulik 961.

D. Brunt. Dynamics of Revolving Fluid

on a Rotating Earth 1719.

W. Hort. Entstehung von Schwingungen durch nichtperiodische Kräfte bei Pumpenventilen und Oszillatorsirenen 1719.

Lauri Lehto. Schwingungen von Flüssigkeiten in U-förmigen Röhren

J. E. P. Wagstaff. Application of Oscillating Valve Circuits to the Precise Measurements of Physical Quantities 772.

Giovanna Mayr. Moti vibratori di

corpi immersi in fluidi 980.

D. Riabouchinski. Mouvements plans des fluides autour de solides avec tourbillons 1718.

- Equations du Mouvement à deux dimensions de solides dans un liquide avec tourbillons 1718.

S. K. Banerji. Effect of Barriers on

Ripple-Mark 597.

Ripple-Mark 597.

Willat. Mouvements plans Henri Villat. tourbillonnaires dans un fluide simplement ou doublement connexe, contenant des parois solides 1719.

Timmermans. Dichte von Flüssigkeiten unter 0° 211.

Paul Carstens. Kompressibilitätsmessungen an wässerigen Lösungen

A. L. Th. Moesveld. Kompressibilität von Alkohol-Wassergemischen 424.

M. Huguenard. Méthode de mesure absolue de la vitesse d'un courant d'air 498.

J. Haag. Etats particuliers d'une masse gazeuse, conformes à la loi de Maxwell 411.

William Cramp. Measurement of air velocities, pressures and volumes 1044.

Osc. V. Johansson. Schnelle und wellenförmige Luftdruckschwankungen 9.

E. Moles et R. Miravalles. Contraction des ballons vides dans les measures de la densité des gaz 1118.

- Ph. A. Guye et T. Batuecas. Compressibilité à 0° et au-dessous de 1 atmosphère et l'écart à la loi d'Avogadro de plusieurs gaz. Oxygène, hydrogène et anhydride carbonique 221.
- E. Moles et J. M. Clavera. Densité normale de l'azote 1129.
- James A. Beattie. Pressure-volumetemperature relation for gaseous ethyl ether 878.
- P. W. Bridgman. Compressibility of five gases to high pressures 878.
- Irvine Masson and L. G. F. Dolley. Pressures of Gaseous Mixtures 1541.
- R. Bousfield and C. Elspeth Bousfield. Vapour Pressure and Density of Sodium Chloride Solutions
- C. N. Riiber. Spezifisches Gewicht des absoluten Äthylalkohols 497.
- P. Laffitte. Propagation de l'onde explosive 1726.
- Sophus Weber. Durch strömende Gase transportierte Energie 1311.
- Hisamitu Nisi and Alfred W. Porter. Eddies in Air 982.
- T. S. Taylor. Air flow through tubes 983.
- S. G. Thomas. Thermal Effect produced by a slow Current of Air flowing past a Series of fine heated Platinum Wires 1537.
- Hans Zickendraht. Luftwiderstand senkrecht getroffener Kreisplatten 424.
- V. Bjerknes. Forces qui portent les aéroplanes 1311.
- R. A. Millikan. Law of fall of a small
- spherical body through a gas 8. Robert G. Lunnon. Resistance of Resistance of Air to Falling Spheres 1185.
- R. Whytlaw-Gray, J. B. Speakman and J. H. P. Campbell. Smokes: Their Behaviour and Method of Determining the Number of Particles
- they Contain 599.

 Method of Determining the Size of the Particles in Smokes 600.
- O. F. T. Roberts. Theoretical Scattering of Smoke in a Turbulent Atmo-
- sphere 1036. Robert Kremann, Franz Angelberger, Franz Bakalarz, Rudolf Röhrich und Camillo Stöger. Fällungsreaktionen von Nickel und Kobaltsulfatlösungen durch Zink bzw. Cadmium 280.
- D. L. Bacon. Langley field wind Tunnel apparatus 423.

- W. H. Dines. Correlation of Upper A Variables 1311.
- Max Wildhagen. Strömungswide stand hochverdichteter Luft in Roh leitungen 878.
- Volume changes of P. W. Bridgman. five Gases under high pressures 346 Muriel Barker.
- riel Barker. Very Small Pitor Tubes for Measuring Wind Velocit 1036.
- J. S. G. Thomas. Hot-wire Anemo meter: its Application to the In vestigation of the Velocity of Gases i Pipes 1260.
- R. H. Fowler and C. N. H. Lock Origin of the Disturbances in th Initial Motion of a Shell 1719.
- Aerodynamics of a Spinning She 1719. H. Hayungs. Experimentelle Behand
- lung des Luftwiderstandes mit Bezu auf die Flugzeugtechnik 346.
- Ch. Maurain, A. Toussaint et R. Pris Résistance de l'air sur le matériel de chemins de fer 151.
- R. Low. Circulation Theory of Lift 1135.
- Nolini Kanto Bose. Doppeldecker problem 1045.
- Lewis F. Richardson. Aerodynami resistance of spheres, shot upward t measure the wind 1036.
- Polarfront 1037 J. W. Sandström. A. Defant. Theorie der Polarfront 1038
- H. v. Ficker. Polarfronttheorie 1106 E. Kidson. Theory of the Polar Fron
- 1374. R. Wenger. Theorie der Berg- un
- Talwinde 1107. Wilhelm Hartmann. Theorie de
- Tromben 1036. F. E. Fournier. Tourbillons cyclonique des cirrus ne se propageant pa
 - jusqu'au niveau terrestre 1535. Albert Defant. Aufbau hoher Zyklone
 - und Antizyklonen 1182.
- Sakuhei Fujiwhara. Growth an Decay of Vortical Systems an Mechanism of Extratropical Cyclone 1037.
- Napier Shaw, Vertical Change Wind and Tropical Cyclones 103'
- A. H. R. Goldie. Cause of Anticyclone 1107.
- S. G. Thomas. Thermometri Anemometer 1035.
- F. J. W. Whipple. Disturbance of the Uniform Temperature of the Strate sphere by the Vertical Displacemen

Hesselberg. Reibung und Dissi-pation in der Atmosphäre 1535. Allan Ferguson. between Paraffin lding Köhler. Kondensation des

Wasserdampfes in der Atmosphäre 1259, 1260.

lhelm Anderson. Ursache der großen Geschwindigkeiten der Protuberanzen 1549.

H. Goddard. High altitude rocket 1035.

Foch. Similitude dynamique d'un tube d'aspiration et de son modèle 597.

L. Curtis, W. H. Wadleigh and A. H. Sellman. Camera for studying projectiles in flight 1727.

red Stock, Ernst Kuss und Karl Somieski. Experimentelle Behandlung flüchtiger Stoffe 664.

A. Fisher. Rates of Evaporation of Water from Wool, Sand and Clay

280.

orge Macdonald Bennett. Interpretation of Surface energy Data 1183.

muel Sugden. Influence of the orientation of surface molecules on the surface tension of pure liquids 1626.

nn Don. Viskosität und Oberflächen-

spannung von Ölen 1537. an Ferguson. Relation between

surface tension and density 499. B. MacLeod. Relation between surface tension and density 985.

muel Sugden. Relation between surface tension, density, and chemical

composition 1626.

nifred L. Rolton and R. Stanley Troop. Effect of a magnetic field on the surface tension of a liquid of high susceptibility 1720.

nuel Sugden. Variation of Surface Tension with Temperature 984.

Rehbinder. Abhängigkeit der Oberflächenaktivität und der Oberflächenspannung der Lösungen von der Temperatur und Konzentration

n Satterly. Oberflächenspannung, Oberflächenenergie und latente Wärme

1023.

E. P. Wagstaff. Shape of the Capillary Curve formed between a Flat Glass Plate and a Uniform Circular Cylinder, Determination of the Surface Tension of Liquids 425. le E. Schumacher. Wetting of glasses by mercury 279.

Angle of Contact between Paraffin Wax and Water

Modification of the Capillary Tube Method for the Measurement of Sur-

face Tensions 1720.

F. G. Donnan. Aspects of the Physical Chemistry of Interfaces 500, 813.

Allan Ferguson. Methods for the Measurement of Interfacial Tensions

1720.

G. Bakker. Theorie der Kapillarschicht einer Flüssigkeit in Berührung mit ihrem gesättigten Dampf 499.

René Dubrisay et Pierre Picard. Phénomènes capillaires qui se manifestent à la surface de séparation de l'eau et de l'huile de vaseline en présence des acides gras et des alcalis 279.

- Tension superficielle à la surface de séparation de l'eau et d'unliquide organique en présence des acides gras

et des alcalis 1130.

J. Palacios und E. Lasala. flächenspannung des Quecksilbers in Berührung mit Sauerstoff 152.

Merle L. Dundon. Surface energy of

salts 812.

Theodore W. Richards, Clarence L. Speyers and Emmett K. Carver. Surface Tensions of Octanes and Xvlenes at Several Temperatures 1312.

P. Lecomte du Noüy. Surface tension of colloidal solutions 1183.

F. Häusser und G. M. Strobl. Messung der Tropfengröße bei zerstäubten

der Tropicos Flüssigkeiten 1127. Variations in the Melvin Mooney. cataphoretic mobilities of oil drops in water 1405.

Shr. S. Joshi. Oberflächenspannung von Öl-in-Wasser- und Wasser-in-Ol-Emulsionen 1536.

E. Sheppard and S. S. Sweet. Interfacial tension between gelatin solutions and toluene 813.

Ad. Lecrenier. Oberflächenspannung

des Glases 1537. nst Rie. Einfluß der Oberflächen-Ernst Rie. spanning auf Schmelzen und Gefrieren 71.

Hugh Medwyn Roberts and Charles R. Bury. Cryoscopic Measurements

with Nitrobenzene 426.

Robert Fricke. Wachsen von freischwebenden Gasblasen in mit demselben Gase übersättigten Flüssigkeiten 10.

Robert Fricke u. W. Blencke. Wachsen | A. von freischwebenden Gasblasen in mit demselben Gase übersättigten Flüssigkeiten 1186.

Samuel Sugden. The Determination of Surface Tension from the Maximum

Pressure in Bubbles 983.

H. Devaux. Contact d'un liquide avec un solide 813.

Hilding Faxén. Bewegung einer starren Kugel längs der Achse eines mit zäher Flüssigkeit gefüllten Rohres

André Marcelin. Application de la loi des gaz aux solutions super-ficielles 1721.

Eugene C. Bingham. Plasticity and

elasticity 595. W. Herz. Innere Reibung und freier Raum 1722.

- und E. Martin. Innere Reibung

flüssiger Systeme 347.

Gunnar Hedestrand. Innere Reibung von Lösungen von amphoteren

Elektrolyten 7.
R. M. Deeley. Viscosity of Liquids 280.
C. V. Raman. Viscosity of Liquids 501.

D. B. MacLeod. Viscosity of liquid mixtures showing maxima 984.

- Relation between the viscosity of a liquid and its coefficient of expansion

Wilhelm Hort. Geschwindigkeitsverteilung im Innern rotierender

zäher Flüssigkeiten 1720.

Umberto Cisotti. Influenza della viscosità sul moto di una massa liquida, la cui superficie libera conserva la forma ellissoidale 422.

W. J. Harrison. Stability of the Steady Motion of viscous liquid contained between two rotating

coaxial circular cylinders 1718. Subodh Chandra Mitra. Motion of a viscous liquid between two nonconcentric circular cylinders 1259.

Orazio Lazzarino. Equazioni del moto

di rotazione 1719.

Arthur Berryl and Lorna M. Swain. On the Steady Motion of a Cylinder through Infinite Viscous Fluid 1479;

Druckfehlerberichtigung 1616.
W. J. Harrison. Pressure in a viscous liquid moving through a channel 1718.
P. Debye und E. Hückel. Katapho-

retische Wanderungsgeschwindigkeit suspendierter Teilchen 1406.

William D. Harkins and Ernest B. Keith. Molecular wedge theory of

emulsions 1627.

Janek. Rhythmisch ge sunderte Niederschlagshäutchen auf Flüssig keitsoberflächen 349.

of a light

E. H. Barton and H. M. Browning Viscosities of Liquids experimentally correlated to Pendt with an safer.

Sauerwald. Mel CONDETENTED innere Reibung von White Velocity gen 1484.

S. Kurnakow, M. Oksmann, Nucleo the In-Μ. S. Perelmutter, I of Gases in Finkel. Innere situd Schmelzbarkeit binäre milles . Finkel.

N. A. Vajnik and Ran Viscosities of soluti mixtures of mercuric, cu cobaltous chlorides v'

Eben Henry Archibal.

Ure. Density and
Acetone et L Acetone at Low Tempe Helmuth W. Klever. Schner. meter 1528.

-, RobertBilfinger und Karı Beziehung zwischen den zeiten des Kleverschen Schue. meters und des Englersche meters 1528.

Winslow H. Herschel. - muel Oil Viscosimeters 7. iffusm

E. C. Bingham and H. A. 363 (1) Combined Viscosimeter as no Same of a meter 984.

L. Gümbel. Theorie der Schmanttelreibung 1185.

V. Vieweg und R. Vieweg.

von Luft- und Lagerreibu. And Robert W. A. Brewer. Robert W. A. Brewer. Robert T. Lubrication 1130.

Richard v. Dallwitz-Weg. er. Method for the Investigation of Lubricating Oiles and Bearing Alloys 483.

P. M. Heldt. Lubrication Value of Oils Is Affected by Properties Other

Than Viscosity 425. ... Jaquerod, L. Defosséz et H Mugeli. Frottement de pivot

T. W. Dann. Power factor and hip of an induction generator 426.

A. Michels. Schmierung von Öllageri 815.

Smering van asbussen 4 ...

W. B. Hardy and Ida Loubleday Boundary Lubrication. Laten Period and Mixtures of Two Lubri cants 1039.

ichind V. Messung der Schmierfähigkeit von Schmierölen 1721.

Universelle Schmierölprüfweise 736. Günther. Innere Reibung der Gase pmperaturen 1539.

> Measurement of the Gases 1034.

TY Coefficients of Viscosity H. Gou a, Nitrogen and Oxygen 1035. Foc:

Coefficient of viscosity of tube d. the coefficients of slip of 597. L. oxygen by the constant A. ethod 1538.

kenstein. Coefficients momentum transfer in gen, helium, air and oxygen

hangerer. Zähigkeit des , Warts I fes 598.

ne und Walter Remi. der inneren Reibung karekoxyd und Propan und deren ungen mit Wasserstoff 1185.

Whith. Viscosity and molecular handions of hydrogen selenide 1539.

Ad Lorenz, A. Magnus, Fritz Less, Eduard Bergheimer und oh Heinrich Hartmann. Trendung von Gasgemischen durch

Di ion 1404.

die

z und G. P. Pamfil. Diffusion olekülen und Ionen in der einer anderen Substanz und vegungshemmende Wirkung die er Lösung 1404.

Diffusion de la vapeur vòn. e, dans l'air, à la température 1722.

Diffusion Theory Mache.

1406.

C. Van Foorhis. Diffusion of helium through several widely different glasses * 486.

orace G. Deming and B. Clifford Hendricks. Diffusion of hydrogen through metals 1186.

eo Spenger. Diffusion of Oxygen 3 Silver 1543.

Her Trennung von Gasgemischen durch fusion in einem strömenden Gase 1186.

Bodenstein. Diffusion ax kathor chem Wasserstoff durch Eisen

und Plasin 11.

aul Rütten. Gasdurchlässigkeit, Porosität, Druckfestigkeit und Reduktionsgeschwindigkeit von Eisenerzen 1560.

Dallwitz - Wegner. | Fritz Wüst und Paul Rütten. Gasdurchlässigkeit, Porosität, Druckfestigkeit und Reduktionsgeschwindigkeit von Eisenerzen 1560.

Fr. Hoeltrenbein. Methode von H. F. Weber zur Bestimmung des Diffusionskoeffizienten von Salzlösungen 813.

Basil W. Clack. Study of diffusion in liquids by an optical method 1627.

Walter Stiles. Determination of Coefficients of Diffusion in Gels 502.

König. Potentialströmung durch Gitter 879.

Henry E. Armstrong. Origin of Osmotic Effects 884.

Karl v. Terzaghi. Berechnung der Durchlässigkeitsziffer des Tones aus dem Verlauf der hydrodynamischen Spannungserscheinungen 152.

G. Preuner und O. Roder. Anormale Osmose durch Kollodiummembranen

84.

F. E. Bartell and D. C. Carpenter. Anomalous osmose of solutions of with collodion electrolytes branes 280, 347.

Arthur Grollman and J. C. W. Frazer. Osmotic pressures of aqueous solutions of phenol at 30° 152.

- Improvements in the mode of measurements of osmotic pressure 140.

J. A. M. v. Liempt. Gleichgewichte von Wolfram und seinen Oxyden mit Wasserstoff u. Wasserdampf; Kohlenoxyd und Kohlensäure und Sauerstoff 12.

A. Colson. Théorie de la solubilité 280.

- Contribution aux lois de la solubilité 814.

Formules de solubilité 1187.

S. C. Bradford. Molecular Theory of Solution 85.

Robert Flatt. Atomvolumen und Löslichkeit 284.

Jean Timmermans. Solubilité mutuelle des liquides sous pression variable 1187.

Alan Taffel. Temperature of maximum density of aqueous solutions 498.

G. Becker and E. F. Pearson. Irregularities in the rate of solution of oxygen by Water 10. and W. E. Abbott.

Gasometric method of estimating dissolved oxygen and nitrogen in Water 1540.

Emil Klarmann. Henrysches Gesetz bei wässerigen Ammoniaklösungen und Hydrolyse der Ammonsalze 886.

Thomas A. Wilson. Properties of Aqua | Otto Haehnel. Löslichkeit der Carbo Total Vapor Pressures Ammonia. 1187.

J. C. Coste and E. R. Andrews. Solubility of atmospheric gases in solutions of ammonium chloride 1188.

Franz Fischer und Georg Pfleiderer. Löslichkeit von Sauerstoff in verschiedenen anorganischen Lösungsmitteln'10.

Solubility of Lowell H. Milligan.

gasoline in water 1190.

L

Arthur E. Hill. Mutual solubility of ethyl ether and water. of water in benzene 736. Solubility

A. Boutaric et Y. Nabot. Influence, sur la miscibilité du phénol et de l'eau, d'une troisième substance 814.

J. J. van Laar. Heats of Mixing of Normal and Associating Liquids 886.

Th. Des Coudres. Beschränkte Mischbarkeit von Materie oberhalb der kritischen Temperatur 1382.

Henry Vincent Aird Briscoe and Walter Matthew Madgin. Freezing-point Curve for Mixtures of Potassium Nitrate and Sodium Nitrate 598.

C. V. Raman. Opalescence Phenomena

in Liquid Mixtures 930.

Hugh Chester Bell. Solubility of Sodium Chlorate 348.

Clarence R. Wise. Solubilities of certain metallic chlorides in selenium oxychloride 502.

Julius Meyer und Walter Friedrich. Löslichkeit des Bariumselenats 85.

Harold Hartley and William Henry Barrett. Densities of Dilute Solutions of Potassium Salts and the Volume Changes Occurring on So-Jution 83.

Karl Jellinek und Johannes Czerwinski. Dissociation von H2S, Na₂ S und Na H S in wässeriger Lösung

86.

Braune und H. Ramstetter. Dissoziation des Joddampfes und chemische Konstante des einatomigen Jods 86.

Ernest Anderson and LeRoy G. Physical properties of

arsenic trioxide in water solution 498. S. M. Levi. Gesättigte Lösungen von Kalium-Magnesiumsulfat 248.

Henry Jermain Maude Creighton and David S. Klauder, jr. Solubility of mannite in mixtures of B. ethyl alcohol and water 348.

nate des Strontiums, des Bariums une der Schwermetalle in Wasser unte hohen Kohlendioxyddrucken 1723

S. M. Levi. Löslichkeitskurven bei de Spaltung von Doppelsalzen 1723.

Ernst Cohen, D. H. Peereboon Voller und A. L. Th. Moesveld Löslichkeitsbestimmung bei hoher Druck 1187.

G. A. Williams and J. B. Ferguson Solubility of helium and hydrogen i heated silica glass and relation this to the permeability 1540.

J. H. Hildebrand, T. R. Hogness an N. W. Taylor. Metallic solutions 42

N. Perrakis. Stabilité en présence d l'eau, d'un certain nombre de me langes binaires 886.

F. G. Tryhorn and S. C. Blacktin Formation of anomalous Liesegan

bands 885.

Robert Fricke, H. Kleebeck un E. Frieling. Theorie der Liesegan schen rhythmischen Fällungen 1188

J. J. P. Valeton. Wachstum und Auf lösung der Kristalle 821, 1333.

R. Fricke und C. Rohmann. Förderun der Ausscheidung von Kristallen un Gasen aus übersättigten Lösunge 349.

Hugo Fricke. Electric capacity

cell suspensions 85.

Carl Barus. Displacements of the capillary electrometer, for progressive dilutions of the electrolyte 815.

H. Lachs und Stephanie Goldber Einfluß der Temperatur auf d Koagulation des kolloiden Goldes 15

Earl C. H. Davies. Effect of light an hydrogen ion concentration on the formation of colloidal gold in silic acid gel. Rhythmic bands of purp of Cassius 885.

Leonard Anderson. Smoluchowski Equation Applied to the Coagulation

of Gold Hydrosol 1312.

Inanendra Nath Mukherjee an Subodh Kumar Majumdar. K netics of the Process of Coagulation of Colloids in the Light of Smoluchow ki's Theory 1313. E. F. Burton and J. E. Currie. D

stribution of Colloidal Particles 131

D. C. Henry. Kinetic Theory of A sorption 1542.

A. Eucken. Theorie der Adsorption vorgänge 12.

Theorie der Sorption erscheinungen 1189.

erhard C. Schmidt und F. Durau. Richard Lorenz und E. Wied-Adsorption 736.

Reichinstein und P. Bernays. Adsorptionsisotherme 1183.

v. Euler und Birger Bucht. Sorptionsgleichgewichte 86.

ichard Lorenz und Erich Wiedbrauck. Bestimmung der Adsorption von Gasen und Gasgemischen 1544.

H. Evans and H. J. George. Adsorption of Gases by Solids and the Thickness of the Adsorbed Layer

1261. H. Lowry and S. O. Morgan. Rate of oxidation of certain charcoals

ichard Lorenz und E. Wiedbrauck. Einfluß der Strömung auf die Adsorption von Gasen 1314.

illiam Walter Hurst and Eric Keightley Rideal. Adsorption of Hydrogen and Carbon Monoxide

ituo Yamada. Occlusion of Hydrogen

in Palladium 1544.

M. Holmes. Thermoelectric properties of sputtered films of gold, platinum, and palladium; and of solid palladium containing occluded hydrogen 240.

obert N. Pease. Adsorption of gases

by copper 1189. Moles u. M. Payá. System Kupfer-

Sauerstoff 606.

H. Bangham and F. P. Burt. Behaviour of Gases in Contact with Glass Surfaces 1543.

B. Firth. Sorptionsaktivität der Kohle 153.

Horton Sheldon. Charcoal activation 662.

E. Bartell and E. J. Miller. Adsorption by activated sugar charcoal 502.

lroy J. Miller. Adsorption by Activated Sugar Charcoal 1188.

itsusaburo Sameshima and Kakichi Hayashi. Adsorption of Air by Various Kinds of Charcoals 1545. . Freundlich und Marie Wreschner. Aufnahme von Uran X, und Thorium durch Kohle 1545.

on B. Richardson and John C. Woodhouse. Adsorption of mixed gases by charcoal. Carbon dioxide and nitrous oxide 1545.

lbert Sprague Coolidge. . Adsorption of vapors by charcoal 1546.

brauck. Umschlag eines Holzkohleabsorbers bei der Adsorption von Kohlendioxyd und Wasserstoff 1544.

H. H. Lowry. Relation between the hydrogen content of certain charcoals

and some other properties 1546.

Arthur B. Lamb and A. Sprague
Coolidge. Heat of absorption of vapors on charcoal 663.

Ernest Alfred Blench and William Edward Garner. Heat of adsorption of oxygen by charcoal 1798.

J. Howard Mathews and Alfred J. Stamm. Adsorption and Surface Tension at Liquid-Liquid Interface

Wm. R. Hainsworth and E. Y. Titus. Absorption of carbon monoxide by cuprous ammonium carbonate solutions 1189.

L. Gurwitsch. Aktivität der Oberflächenschicht von Flüssigkeiten 1484.

Thomas Iredale. Adsorption from the Gas Phase at a Liquid-Gas Interface 427.

A. Frumkin. Phasengrenzkräfte und Adsorption an der Trennungsfläche Luft-Lösung anorganischer Elektrolyte 1313.

G. Ledig and E. R. Weaver. Method for studying the rapid absorption of gases by liquids 1540.

Henry Briggs. Prehensility: a Factor of Gaseous Adsorption 1542.

Ralph Alonzo Beebe and Hugh Stott Taylor. Determination of

heats of adsorption 1183. Julius Obermiller und und Martha Goertz. Einstellung von Luft auf bestimmte Trocknungs- oder Feuchtungsgrade mit Hilfe von Salzen und ähnlichen Stoffen 1314.

Entraîne-Escher-Desrivières. ment du polonium, en solution sodique, par divers corps 1723.

N. R. Dhar and K. C. Sen. Studies in adsorption. Charge reversal of some colloids 280.

A. von Antropoff. Vorlesungsversuch zur Gewinnung von Neon und Helium aus der Luft und zur absorbierenden Wirkung der Kohle 11.

G. Borelius and F. Gunneson. Temperature Periods in the Emission of Occluded Gases from Iron 1186.

J. E. Harris and E. E. Schumacher. Gases Evolved from Glasses of Known Chemical Composition 502.

Kennzeichen der Gasabgabe von pulverförmigen Körpern 1314.

Nicolai Antonovitch Pushin and Elijah Vasiljevich Grebenshchikov. Adiabatic Cooling of Water and Temperature of its Maximum Density 410.

J. N. Brönsted. Individual thermodynamic properties of ions 814.

E. Darmois. Mesure de la concentration

en ions hydrogène 814. Selective Inter-F. A. Lindemann. ruption of Molecular Movements 411.

P. E. Palmer and E. R. Weaver. Thermal-Conductivity method for the analysis of gases 1523.

Der Wärmeaus-Wilhelm Nusselt. tausch am Berieselungskühler 134.

Donald Bratt. The Multiple-Radial System of Cooling Large Turbo-Generators 923.

Ezer Griffiths. Heat Transmission and Wall Insulation 1022.

A. Mallock. Effects of Temperature on the Properties of Metals 1033.

Raphael Ed. Liesegang. Gerbwirkung der violetten und grünen Chromsalzlösungen 280.

R. H. Humphry. Demonstation of the Double Refraction due to Motion of a Vanadium Pentoxide Sol, and Some Applications 852.

Robert Fricke. Reiben der Gefäßwand mit dem Glasstabe 1034, 1035.

L. Dede. Reiben der Gefäßwand mit dem Glasstabe 1034, 1035.

H. Techel. Das Schichtmetazentrum

Günther Kempf. Steuerwirkung bei Schiffen 233.

P. G. Rouse. High-speed forms and curvature of buttocks 424.

Die Bedeutung der tech-H. Lorenz. nischen Physik für den Maschinenbau

5. Akustik.

Theodore Lyman. Acoustic Research 430.

Heinrich Müller. Wellen an Drähten mit Abstandsänderungen 386.

Hort. Entstehung von Schwingungen durch nichtperiodische Kräfte bei Pumpenventilen und Oszillatorsirenen 1719.

C. J. Lapp. Device for recording sound waves 428.

G. Tammann und H. Diekmann. Helmut Sell. Elektrische Tonquell Fre kontinuierlich - veränderlicher quenz und reproduzierbarer Schall energie 1316.

Telephonic excitation of Carl Barus.

acoustic pressure 1041.

W. H. Martin. Transmission Unit and Telephone Transmission Reference Systems 1774.

Application of the re C. W. Smith. cently adopted transmission unit 1774

Robert B. Grey. Vibration and nois 1032.

Arthur Taber Jones. Organ Pipe a a Coupled System 1317.

Source of constant fre Ross Gunn. quency oscillations 1289.

W. N. Bond. Forced Vibrations pro duced by Tuning Forks 1041.

G. Ferguson. Clock-Controlle Tuning Fork as a Source of Constan Frequency 1247.
S. H. Anderson. Vibration of string

excited by impact 430.

Alfred Seiffert. Theorie der Geige au mechanischer Grundlage 600.

C. V. Raman. Mechanical Violin-Playe for Acoustical Experiments 1190.

Partial Tones of Bowed Stringed In struments 1724.

Sushil Krishna Datta. Acoustics the Pianoforte 665.

Carl Barus. Cylindrical distribution (nodal strength around the pip normal 1317.

P. Cermak. Tonbildung bei Metal schläuchen mit eingedrücktem Spira gang 1318. Tonbildung

luftdurchströmte in Röhren 1407.

Arthur L. Foley. Causes of and r medies for the inefficiency of locom tive whistles 1041.

Raymond Dubois. Réalisation d'u oscillographe téléphonique 301.

Ferdinand Trendelenburg. Wi kungsweise und Anwendung d Thermophons 38.

Louis V. King. Continuously tunab hydrophone 986.

A. L. Narayan. Sounds of Splashes 131 Arthur Gordon Webster. Absolu measurements of sound 887.

J. C. Karcher. Measurement of sour intensity 153.

Paul E. Sabine. Acoustical power certain sound sources in absolu units 1628.

Karl Hersen. Maßeinheiten für Mikr phone und Fernhörer 250, 1071.

rwin Gerlach. Messung von Schall- | Chas. T. Knipp and W. B. Worsham. Druckamplituden 13.

ouis V. King. Measurement of the Acoustic Output and Efficiency of Fog-Alarm Apparatus 1317.

elmut Sell. Ausmessung von Schall-

feldern 1316.

. Stefanini. Fonimetro di Zwaardemaker e la misura fisiologica del suono 665.

Küpfmüller. Vergleichende Ge-

räuschmessung 1262.

écile Biéler-Butticaz. Variation d'intensité du son pour différentes conditions atmosphériques 1261.

L. Wells. Audibility of Sounds 1261. tto Lohaus. Der Kondensator als Unterwasserschallempfänger 738.

Rothwell. Multiple Resonance 281. elmut Sell. Resonanzkurven von Membranen 1316.

L. Porter. Acoustic problems of the gramophone 1724.

W. Hewlett. Telephone receiver and transmitter 1003.

ans Riegger. Theorie des Laut-

sprechers 1262. O. Rankine. Reproduction of sound by means of a loud-speaker 1724. C. Pocock. Theory of loud-speaker design 1724.

G. Brown. Improvement in the loud-

speaking telephone 1724.

P. Eckersley. Characteristics of a new type of loud-speaker 1724.

K. Sandeman. Importance of each frequency region in the audible spectrum-measurements on loudspeakers 1724.

rin Tugman. Characteristics of a

hot wire sound detector 738.

L. Fortescue. Sources of distortion

in the amplifier 1724.

aul E. Sabine. Experiments with the pin-hole resonator 738. rthur Schuster. Acoustics of En-

closed Spaces 1318.

R. Watson. Acoustics of auditoriums 1629.

O. Knudsen. Quality of speech in auditoriums 429.

Auditorium Sutherland. acoustics and the loud-speaker 1724. Keiser and E. A. Eckhardt. Position finding in hydrography by a radio acoustic method 1629.

Theory of the G. Richardson.

Singing Flame 350.

Transmission of Speech by Light 428.

Relation of the density of a gas to pitch 737.

H. Fletcher. What is the physical: criterion which determines the pitch

of a musical tone? 430.

Physical criterion for determining the pitch of a musical tone 1041.

Preston Edwards. Apparatus for Testing Pitch Control 1317.

Harvey Fletcher. Experiments on the pitch of musical tones 738.

Karl Ludolf Schaefer. Schwingungszahlengesetz der Galtonpfeife bei hohem und niedrigem Anblasedruck

Franz Wethlo. Genauigkeit bei Tonhöhenmessungen mittels schwingen-

der Flammen 600.

J. T. MacGregor-Morris and E. Mallett. Overtones of the diaphragm of a telephone receiver 1724.

Ferdinand Trendelenburg. Obmittels iektive Klangaufzeichnung Kondensatormikrophons 1262. 1408.

Franz Aigner. Hochfrequenzlichtrelais zur photographischen Aufzeichnung der Akustik bei Sprechfilmen 1315.

G. W. Stewart. Acoustic wave filters

1547, 1548.

V. C. Hall. Acoustic wave filters in solid and liquid media 986.

G. W. Stewart. Acoustic wave filters

in series 986.

.B. Peacock. Predicted mission curves of acoustic wave filters 1549.

Mollie Weinberg and Frank Allen. Critical Frequency of Pulsation of Tones 665.

Karl Willy Wagner. Frequenzbereich von Sprache und Musik 1408.

H. Martin and H. Fletcher. High Quality Transmission and Reproduction of Speech and Music 887.

R. Barss and J. E. Bastille. Effect of humidity on the velocity

of sound in air 985.

E. Grüneisen und E. Merkel. Schallgeschwindigkeit in Luft und Wasserstoff 1040.

und E. Goens. Schallgeschwindigkeit in Stickstofftetroxyd. Untere Grenze seiner Dissoziationsgeschwindigkeit 1040.

J. A. Anderson. Measuring the velocity of sound in metallic vapors at

very high temperatures 223.

Harold B. Dixon and Gilbert Greenwood. On the Velocity of Sound in Gases and Vapors, and the Ratio of Specific Heats 954.

H. G. Green. Velocity of Sound in Liquids contained in Circular Cylinders with slightly Elastic Walls 349.

Hermann Schmidt. Bestimmung von Schallgeschwindigkeiten in festen Körpern mit der Methode der Schall-

richtungsbestimmung 1040. R. B. Abbott and J. W. Cook. Velocity of sound from a moving source 1407.

- Trajectoires des rayons M. Oddone. sonores dans l'air et dans les liquides, zones de silence et d'audibilité anor-
- Illo Peters. Mathematische und physikalische Grundlagen der Musik 664.
- L. E. Dodd. Definite art basis for the physical analysis of the quality of voice tones 430.

Harvey Fletcher. Nature of Speech and Its Interpretation 429.

R. L. Jones. Natur der Sprache 601.

Nature of Language 1041.

- I. B. Crandall and D. MacKenzie. Analysis of the Energy Distribution in Speech 429.
- Sir Richard Paget. Reproduction of vowel sounds 815.
- B. Crandall and C. F. Sacia. Dynamical Study of the Vowel Sounds 1408.
- G. W. Stewart. Demonstration of the variable character of the vowel \bar{e} 430.
- Miss L. Kaiser. Experimental phonetic investigation of the Dutch language 666.
- W. Scripture. Theory of Hearing 1408.
- C. R. G. Cosens and H. Hartridge. Vindication of the resonance hypothesis of audition 1042.
- Hartridge. Vindication of the resonance hypothesis of audition 1043.
- Harvey Fletcher. Physical measurements of audition and their bearing on the theory of hearing 87, 429.
- Otto Frank. Leitung des Schalles im
- R. L. Wegel and C. E. Lane. Auditory masking of one pure tone by another and its probable relation to the dynamics of the inner ear 1042.

Physical Characteristics of Audition and Dynamical Analysis of the External Ear 428.

W. J. Humphreys. Relation of sound R. V. L. Hartley and Thornton C velocity to height 1628. Sounds 429.

Roscoe Conkling Young. Binaura vs. monaural sensibility of the human ear to small differences in frequency 738.

Martha Guernsey. Liminal sound intensities and application of Weber's law to tones of different pitch 154

E. V. Appleton and Mary Taylor Optimum heterodyne reception 1675

Tinnitus and its John P. Minton. relation to nerve deafness 600.

V. O. Knudsen and Geo. E. Sham baugh. Physical characteristics of diplacusis 666.

Bhargava and R. N. Ghosh

Trevelyans rocker 601.

Theory of the G. Richardson. Trevelyan Rocker 664.

Wiechert. Seismische Unter suchungen 1725.

H. Lorenz. Die Bedeutung der tech nischen Physik für den Maschinenbar

6. Mechanik der Himmelskörper.

Heinrich. Prolongement analytiques du problème restreint 888

A. H. Bucherer. Planetenbewegung auf Grund der Quantentheorie und Kritik der Einsteinschen Gravitations gleichungen 223.

Klaus Zweiling. Anwendung graphi Methoden bei der Bahn bestimmung der Himmelskörper 1043

Willem J. Luyten. Form of the di stribution law of stellar velocities 281

Jean Chazy. Mouvement d'une planèt dans un milieu résistant 282.

Alex. Véronnet. Evolution de 1 trajectoire d'un astre dans un milier résistant 888.

ten Bruggencate. Reste eine Spiralstruktur in Sternhaufen 1726

A. Kopff. Absorption im Weltenraum 90 H. Vogt. Massenabnahme der Stern

infolge Strahlung 1485. R. Hess. Statistik der Leuchtkräfte de Sterne 1726.

A. Berroth. Kinetic Theory of Gravi New tation and Experiments 1 Gravitation 1032.

Otto Baschin. Einfluß der Achsen drehung der Erde auf rotierend Räder 595.

K. Vogtherr. Aberration und Michelson versuch 872.

Havn.

versuch 872. Wodetzky. Lichtstrahlenkrümmung, Spektrallinienverschiebung u. Krümmungsradius des Universums 873.

Weber. Rotverschiebung auf dem

Sirius 873.

Sommerfeld. Coupled oscillations

of a helical spring 81.

erry Byerly, Jr. Dispersion and energy distribution in transverse elastic waves 1263.

Wilip. Emergenzwinkel, Unstetig-

keitsflächen, Laufzeit 1319.

ilhelm Anderson. Ursache der großen Geschwindigkeiten der Protuberanzen 1549.

Vegard. Constitution of the Upper Strata of the Atmosphere 200.

Constitution des couches supérieures

de l'atmosphère 1788.

Nordlichtspektrum und Konstitution der oberen Atmosphärenschicht 1224. Oddone. Trajectoires des rayons sonores dans l'air et dans les liquides, zones de silence et d'audibilité

anormale 13. ames B. Macelwane. Progressive change of frequency in elastic waves

224. Relation between the periode of elastic waves and the distance traveled by them 1549.

Somville. Constantes des Pendules

Galitzine 14.

Nölke. Geotektonische Hypothesen

icente Inglada Ors. Sismologia 817. Seismische Wiechert. Unter-

suchungen 1725.

Gutenberg. Theorie der Erdbebenwellen und verwandter Erscheinungen 1630.

Mainka. Physik der Erdbebenwellen

1725.

ina M. Hosali. Seismic waves in a

Visco-Elastic Earth 1631. H. Jeans. Propagation of Earthquake Waves 82.

Movement of the Earth's Joly.

Surface Crust 89.

Seismische Boden-Gutenberg. unruhe 1630.

Absorption und Fortpflanzungsgeschwindigkeit von seismischen Ober-flächenwellen 351.

I. Shaw. Mouvements microsismiques

Somville. Mouvements microsismiques 14.

Aberration und Michelson- | E. Tams. Abschätzung von Erdbebenintensitäten 1725.

Gutenberg. Ergebnisse mikro-

seismischer Forschung 350.

 Dispersion und Extinktion von seismischen Oberflächenwellen und der Aufbau der obersten Erdschichten 1632.

I. I. Shaw. Identité des sismogrammes

de même origine 14.

S. W. Visser. Plaatsbepaling van de Epicentra van Aardbevingen 817.

Hermann Wellmann. Perioden der Nachläufer in Fernbebenregistrierungen 1631.

B. Gutenberg. Brandung und Boden-

unruhe 351.

A. Hodgson. Research into the possibilities of earthquake prediction 1263.

Gutenberg. Theoretisches über Seismometer, über Registriervor richtungen, Bestimmung von Konstanten von Seismometern 1631.

A. Anderson and H. O. Wood. Torsion seismometer 1320.

de Quervain. Pendel Quervain-Picard 352.

E. Wichert. Seismometer 352. Manuel Ma. S. Navarro Neumann. Sismografo "Javier" 1320.

R. P. G. Alfani. Différence des heures entre un seismoscope et les microseismographes 14.

E. Rothé. Radiotélégrammes et télégrammes sismologiques 14.

O. Somville. Code de transmission des télégrammes 15.

H. Labrouste. Enregistrement des tremblements identiques à Strassbourg 15.

A. de Quervain. Erdbeben des Wallis und der Schweiz 987.

Tägliche Perioden in der E. Stoßfrequenz der vogtländischen Erdbebenschwärme 350, 1631.

Listes des observatoires sismologiques en Suède 15.

Seismische Boden-Gutenberg. unruhe in Zi-ka-wei 1725.

Microséismes 1319. R. P. E. Gherzi. F. Errulat. Seismische Registrierungen in Gr.-Raum im Jahre 1922. Mikroseismische Bodenunruhe 15.

A. Sieberg und B. Gutenberg. Erdbeben in der chilenischen Provinz

Atacama 987.

Erdbeben und Vulkanausbrüche des Jahres 1923 986.

- A. de Quervain. Jahresbericht des
- Schweiz. Erdbebendienstes 1922 987. Henry S. Washington. Density of the Earth 666.
- E. D. Williamson and Fr. H. Adams. Density distribution in the Earth 739.
- G. Linck. Aufbau des Erdballs 1263. Vicente Inglada Ors. La corteza terrestre 816.
- G. Angenheister. Das Erdinnere 352.
- H. Haalck. Lagerung der Massen im Innern der Erde und deren Elastizitätskonstanten 816.
- Stjepan Mohorovičić. Konstitution des Erd- und Mondinnern 1318.
- C. G. S. Sandberg. Isostasie und ursächliche Einheit von Gebirgsbildung und Vulkanismus 739.
- H. Reich. Versuch einer Anwendung der Seismometrik auf die Geologie 14.
- B. Gutenberg. Bericht über die Tagung der Deutsch. Seismol. Ges. 351.
- H. H. Poole. Sub-Continental Temperatures 89.
- H. Rauschelbach. Gezeitenrechenmaschine 1618.

7. Technische Mechanik. Feinmechanik. Apparate.

- Hans Lorenz. Lehrbuch der technischen Physik 1113.
- Alan F. C. Pollard. Instruments scientifiques 1115.
- H. Abraham et R. Planiol. Présentation d'appareils 1029.
- Marage. Évolution de la méthode graphique 1116.
- R. A. Castleman. Logarithmic and semilogarithmic coordinator 1117.
- Ernst Pascal. Integraphen für Differentialgleichungen 1246.
- Karl Oltay. Bencze-Wolfsches Fadenpolarplanimeter 1306.
- A. Haerpfer. Konstanten des Polarplanimeters 1526.
- A. F. Zahm. Vector-ruling Protractor 666.
- H. Rauschelbach. Gezeitenrechenmaschine 1618.
- C. V. Boys. General-purpose recording drum 353.
- S. R. Williams. Extensometer amplifier 818.
- L. B. Booth. Bubble sextant 1131. Franz Hennig. Registrier-Theodolit 1527.

- Jahresbericht des Karl Lüdemann. Beleuchtung von dienstes 1922 987. Meßstellen an geodätischen Verton. Density of messungs-Instrumenten 818.
 - Walter Block und Walter Dziobek.
 Prüfung von Kubizierapparaten 1475.
 - Sir Flinders Petrie. Chain balance 352.
 - G. Tierey. Transformation de mouvement circulaire en mouvement rectiligne alternatif 1321.
 - Amplitude du mouvement rectiligne alternatif obtenu par l'emploi d'une came orbiforme régulière 1322.
 - W. Lawrence Balls. Apparatus for Approximate Harmonic Analysis and for Periodicity Measurements 1116.
 - Adrien Jaquerod. Marche d'une montre 1131.
 - Harvey L. Curtis and Robert C. Duncan. Accurate measurement of short-time intervals 158.
 - Paul Ditisheim. Chronomètres observés aux hautes altitudes et dans le gaz hydrogène 1263.
 - le gaz hydrogène 1263. A. B. Wood and J. M. Ford. Phonic chronometer 1130.
 - L. Leroy. Chronographe enregistreur 1131.
 - A. Guillet. Détermination mécanique de la marche relative de deux pendules 503.
 - R. A. Sampson. Comparative Rates of Certain Clocks 1246.
 - H. Bock. Störung der Chronometerunruh durch die Spiralenmasse 818.
 - Paul Ditisheim. Balance for Compensating the Temperature Error of Watches and Chronometers, and Centre-seconds Marine Chronometer 352.
 - L. Thompson. Motion of a falling chronograph projectile 159.
 - W. Hort. Prüfung von Geschwindigkeitsmessern 1726.
 - Joseph Woelk. Meßgerät für Anzugsund Abfallzeiten von Relais 430.
 - W. Lawrence Balls. Determining the Standard Deviation Mechanically 1131.
 - Charles G. Beall and Chester I. Hall.
 Vibration Recorder and Some of Its
 Applications 1191.
 - F. H. van den Dungen. Vibrations propres de torsion 1632.
 - Walter P. White. Electric pendulum and some pendulum equations 1618.
 - J. Geiger. Theorie technischer Schwingungsvorgänge 1265.
 - Gustav Schmaltz. Registrierung kleiner Schwingungen 1618.

Thoma. Dämpfung von Maschinen- \mid H. Zimmermann. Die Größen s und tschwingungen 1265.

A. Thomas. Relay and its application to sustaining pendulum vibrations 352.

Propagation de l'onde Laffitte.

de choc 1485.

24

. Hort. Entstehung von Schwingungen durch nichtperiodische Kräfte bei Pumpenventilen und Oszillatorsirenen 1719.

narles Frémont. Influence de la vitesse d'impact dans le tarage des ressorts dynamométrique 156.

ederick J. Schlink. Life testing of mechanical instruments 353.

Geiger. Spannungsmessungen an laufenden Maschinen 1265.

G. Gilson. Bearing investigations

exander Werner. Vorspannungen in Drahtseilen 156.

Ritter v. Zahler. Riemenspannungsmesser 962.

F. Taylor. Drawing metallic filaments and their properties and uses

org Gredt. Materialverschiebung beim Walzen 145.

lbert Cook. Stresses in pipes rein-

forced by steel rings 817.

Nádai. Theorie der Plattenbiegung

und ihre experimentelle Bestätigung 154. ul Sonier. Plaques minces rect-

angulaires simplement encastrées 1321. G. Galerkin. Formänderungen und Spannungen-bei rechteckigen Platten bei unstetiger Auflast 1190.

Formänderungen und die Nádai. Spannungen von durchlaufenden

Platten 1408.

G. Galerkin. Spannungen in Platten infolge ungleichmäßiger Temperatur-

verteilung 1190.

alter Birnbaum. Optische Untersuchung des Spannungszustandes in Maschinenteilen mit scharfen und abgerundeten Ecken 1044.

dria. Position des flèches dans une

poutre fléchie 156.

Strength of Iliam J. Kearton. forked connecting rods 503.

Formänderungen Zimmermann. gekrümmter Stäbe durch Druck 156. W. Landon and H. Quinney.

Experiments with the Hopkinson Pressure Bar 505.

Fein-Der Schubmesser. meßgerät für Festigkeitsversuche 154. der Knicktheorie 155.

E. Trefftz. Theorie der Knickung des

geraden Stabes 889.

H. Zimmermann. Knickfestigkeit von Stäben mit nicht gerader Achse. Erweiterung der Eulerschen Knicktheorie 155.

Knickfestigkeit offener und

schlossener Stabzüge 1320.

Werner Engler. Untersuchung der Knickfestigkeit und des Einspannungsverhältnisses von Balken auf dynamischem Wege 155.

Heinrich Müller-Breslau. Auf Biegung und Knickung beanspruchte

Flugzeugholme 1321.

R. Grammel. Umstülpen und Umkippen

von elastischen Ringen 892.

S. Timoschenko. Kippsicherheit des gekrümmten Stabes mit kreisförmiger Mittellinie 891. C. Dassen. Verdrehung eines Winkel-

eisens mit ausgerundeter innerer Ecke 890.

F. C. Searle. Experiment illustrating the conservation of angular momentum 156.

Max Schuler. Einwirkung periodischer Momente auf den Kreiselkompaß 817.

M. Paul Schilowsky. Applications of the Gyroscope 892.

Henri Béghin et Paul Monfraix.

Compas gyrostatique 225. Ch. Hummel. Spannungsverteilung in

rotierenden Scheiben 891.

R. Grammel. Berechnung rotierender Scheiben 504.

J. G. Gray. Solution of the Problem of Finding the True Vertical for Types of Marine and Aerial Craft 353.

Karl Luyken. Messungen mit neuen Modellen des Bidlingmaierschen

Doppelkompasses 225.

Jos. Geiger. Torsiograph nebst Anwendung im Dampfmaschinenbetrieb 1131.

V. Vieweg. Messung des Drehmomentes durch Torsionsdynamometer bei mechanischer Kraftübertragung 1044.

F. Schröter und R. Vieweg. wendung der Glimmlampe zu Drehzahl- und Schlüpfungsmessungen 740.

Physikalisches Verfahren Vieweg. zur Bestimmung der Bewegung einer Welle im Lager 740.

Julius Frith and F. Buckingham. Whirling of Shafts 1266.

Kritische Drehzahlen Wilh. Müller. von Turbinenwellen 155.

3. Mechanik.

5. Jahrg

Szabó. Berechnung der kritischen S. Drehzahl von Wellen 589. L. Szabó.

Kritisches Drillungs-Grammel. moment von Wellen 891.

A. L. Kimball, jr. Internal Friction Theory of Shaft Whirling 1266.

- Applications d'une André Blondel. méthode d'inscription des écarts ou torsions angulaires des arbres tournants 1409.
- A. Petot. Automobiles à transmission par arbre longitudinal à cardans 157.

P. Cormack. The Automobile Steering Linkage 90.

A. G. Webster. Steering an automobile

around a corner 156.

G. Sachs. Konstruktion von Reibungstrieben 1056.

Jaquerod, L. Defosséz et H. Mugeli. Frottement de pivotement

Edvin A. Stor-Rank. Zapfenreibung in keilnutenförmigen Lagern 157.

G. W. Koehler. Hertzsche Formeln und Kugellager 1632.

Guy Barr. Capillary tube viscosimeters 504.

W. B. Hardy and Ida Doubleday. Boundary Lubrication. Latent Period and Mixtures of Two Lubricants 1039.

Richard von Dallwitz-Wegner. Universelle Schmierölprüfweise 736.

R. Vieweg. Bestimmung der Schmier-

mittelreibung 1486. V. Vieweg und R. Vieweg. Trennung von Luft- und Lagerreibung 819.

R. R. Danielson and H. P. Reinecker. Wet-Process enamels for cast iron

G. Berndt. Oberflächenbeschaffenheit bei verschiedenen Bearbeitungsmethoden 602.

Otto E. Seiffert. Gages for Setting Thread Tools 210, 340.

Trautvetter. Meßmaschine zur Bestimmung des Hinterschliffs Spiralbohrer-Spitzen 138.

K. Federhofer. Synthese der Getriebe

Proposed Standard Nomenclature for Gearing 225, 740.

H. R. Moyer. Laboratory Tests of Non-Metallic Gears 988.

H. A. Schwartz and W. W. Flagle. Significance of Tool Temperatures as a Function of the Cutting Resistance of Metals 988.

T. F. Connolly. Theory of the adjustment of levels 1632.

Levels and leve G. Starling. bubbles 430.

Einstellgenauigkeit be H. Löschner. Mollenkopfschen Werkstattwasser wagen 482.

C. W. Foulk. Precision hydrometer 504 Total-immersion in Alan Pollard. dicating hydrometer 504, 1130.

Erich Müller. Ausfließenlassen eine Flüssigkeit in gleichen Volumteiler

Leo Stubenrecht. Druckpumpe für zähe Flüssigkeiten 1130.

M. Jakob und S. Erk. Druckabfall in glatten Rohren und die Durchfluß ziffer von Normaldüsen 1550.

E. Altenkirch. Theorie von Pumper und Kompressoren 739.

W. van der Smissen. Theorie der Zentrifugalpumpen 601.

William Cramp. Measurement of air velocities, pressures and volumes 1044

Lewis F. Richardson. Theory of the Measurement of Wind by Shooting Spheres Upward 493.

riel Barker. Very Small Pitot Tubes for Measuring Wind Velocity Muriel Barker.

1036.

J. S. G. Thomas. Thermometric Anemometer 1035.

Übertragung de Hugo Ombeck. Druckes von der Drosselstelle in Dampfrohrleitungen auf Dampf messer 136.

A. Closterhalfen. Bewegungsstörunger der Dampflokomotiven 505.

Laffitte. Formation de l'onde

explosive 506.

Propagation de l'onde explosive 1726 Rudolf Wendlandt. Detonations grenze gasförmiger Gemische 1322

J. E. P. Wagstaff. Determining th Velocity of Detonation of Explo sives 1132.

G. Schweikert. Innere Ballistik 818 E. T. Hanson. Initial Motion of

Projectile 601. Filippo Burzio. Teoria del proiett pennato 282.

De Sparre. Calcul des grandes tra

jectoires des projectiles 1132. H. L. Curtis, W. H. Wadleigh an A. H. Sellman. Camera for studyin projectiles in flight 1727.

Loosli und F. Lauster. Übe Neuerungen an Quecksilberdamp strahlpumpen 273.

W. Gaede. Entwicklung der Diffusion luftpumpe 417.

Drman R. Campbell, Bernard P. K. Thalau. Berechnung freitragender Dudding and John W. Ryde.

Substitute for the McLeod Gauge K. Thalau. Berechnung freitragender Flugzeugflügel in zwei- und dreiholmiger Steifrahmenform 1268.

B. Helmbold. Aerodynamik der Treibschraube 1728.

A. Kraft. Stand der Baustofffrage von Dampfturbinen-Beschaufelungen

Ritter und E. Bollé. Feststellung der Zuverlässigkeit von Zündschnur durch Röntgenstrahlen 1132.

obert Robertson and William Edward Garner. Calorimetry of High

Explosives 158.

dney Walter Saunders. Absorption Pipette for Gas Analysis 666.

Obermiller und Martha Goertz. Gewichtsanalytische Bestimmung der relativen Luftfeuchtigkeit 1191.

anuel Ma. S. Navarro Neumann. Sismografo "Javier" 1320.

A. Anderson and H. O. Wood. Torsion seismometer 1320.

de Quervain. Pendel Quervain-Picard 352.

Wichert. Seismometer 352.

de Quervain. Jahresbericht des Schweiz. Erdbebendienstes 1922 987.

P. Berlage, jr. Waarom de gebergten op aarde geen grootere hoogte dan+ 8000 meter kunnen bezitten

bert W. Buel. Development of the standard design for self-supporting radio towers 1213.

Photometric disk noch Karrer. variable and directly readable while in rotating 1131.

ngel St. John. X-Rays in the Steel

Industry 157.

Enwald. Bestimmung von Restitutionskoeffizienten 155.

illiam G. Houskeeper. Sealing Base Metals Through Glass 119.

8. Luftfahrwesen.

N. G. Filon. Measurement of true

height by aneroid 648.

G. Gray. Solution of the Problem of Finding the True Vertical for Types of Marine and Aerial Craft 353. Birnbaum. Behandlung des ebenen Problems der Tragflügeltheorie 892,

Das ebene Problem des schlagenden

Flügels 1045.

Louis Breguet. Résultante aérodynamique d'un planteur soumis à des pulsations aériennes verticales 1133.

A. R. Low. Units in Aeronautics 1191. H. S. Rowell. Units in Aeronautics 1191.

G. Greenhill. Units in Aeronautics1191. Th. Dreisch. Segelflug der Vögel und Theorien zu seiner Erklärung 283.

Charles Nordmann. Mécanisme du vol des oiseaux roiliers 1134.

Louis Breguet. Rendement de la propulsion des oiseaux par battements de leurs ailes 1634.

E. Huguenard, A. Magnan et A. Planiol. Etude aérodynamique des ailes d'oiseaux et des voilures souples 1134.

Vasilesco Karpen. Emploi des fluctuations horizontales du vent par les oiseaux voiliers 1134, 1633.

Jousset de Bellesme. Différences entre le vol des insectes et celui de l'aéroplane 1269.

Wertung von Segel-Everling. flügen 353.

Mechanik des Segelfluges 353, 893. N. Vasilesco Karpen. Mécanisme du vol à voile 1633.

A. R. Low. Circulation Theory of Lift 1135.

G. Lachmann. Neuere Versuchsergebnisse mit Spaltflügeln 1268, 1635.

A. Pröll. Grundlagen und Aussichten des motorlosen Fluges 1551.

Albert Baldit. Mouvements ondulatoires de l'atmosphère et leur utilisation par l'aviation sans moteur

R. Platz. Segel-Flugzeug 506.

H. B. Helmbold. Sinkgeschwindigkeit

der Segelflugzeuge 1728.

Harald Koschmieder, P. Dubois und Wg. Kämpfert. Arbeiten des Meßtrupps während des Rhönsegelflug-Wettbewerbes 1923 740.

Arturo Crocco. Stabilità intrinseca dell' elicottero 90.

Résultante aéro-Louis Breguet. dynamique moyenne d'un planeur à ailes en M aplati 1267.

Gustav Lachmann. Unterteilte Flächenprofile und ihre Bedeutung für die Flugtechnik 431.

Delanghe. Méthode pour déterminer graphiquement les éléments du vol d'un avion 1552.

A. Baumann. Zusammenhang zwischen Widerstandsverminderung und Gewichtszunahme 507.

Walter Georgii. Aufwind und Einfluß-

höhe 507.

Steigleistungen von Paul Brenner.

Flugzeugen 1267.

Malinikanta Basu. Investigations of the forced oscillations set up in an aeroplane by periodic gusts of wind 1133.

S. R. Parsons. Equation for head resistance of aircraft radiators 893.

Leslie Aitchison. Materials in Aircraft construction 602.

Vibrations tour-André Blondel. nantes et la résonance critique des arbres des moteurs à explosion 1409.

Schlagflügel-Birnbaum. propeller und kleine Schwingungen elastisch befestigter Tragflügel 1550.

Georg König. Längsstabilität der Flugzeuge 1728.

Franklin L. Hunt. Aeronautic instruments 740.

Pierre Idrac. Vol des albatros 1634. Louis Breguet. Qualités aérodynamiques de l'avion utilisé par Pelletier d'Oisy 1635.

A. Wigand und T. Schlomka. Elektrische Selbstaufladung von Luft-

fahrzeug-Motoren 1636.

P. Dumanois. Moteurs d'aviation à tres haute compression 1703. Augmentation de la compression dans

les moteurs d'aviation 1704.

H. B. Helmbold. Aerodynamik der Treibschraube 1728. Georg König. Bedeutung systemati-

scher Luftschraubenversuche 1728. Nolini Kanto Bose. Doppeldecker-

problem 1045.

G. Arturo Crocco. Impiego dell' elio nei dirigibili 1323.

Dehnballon-An-Manlik. ordnung 1046.

H. v. Ficker. Polarfronttheorie 1106. F. E. Fournier. Tourbillons cycloniques des cirrus ne se propageant pas jusqu'au niveau terrestre 1535.

C. J. Stewart. Measurement of air speed in aeroplanes 1046.

Lewis F. Richardson. Theory of the Measurement of Wind by Shooting Spheres Upward 493.

E. Everling. Luftfahrt und Technik

1045.

Die Bedeutung der tech-H. Lorenz. nischen Physik für den Maschinenbau 585.

4. Aufbau der Materie.

1. Das Elektron.

- G. Nordström. Kanonische Bewegungs gleichungen des Elektrons in einen beliebigen elektromagnetischen Feld 767.
- R. A. Millikan. Law of fall of a smal spherical body through a gas
- Richard C. Tolman, Sebastia Karrer and Ernest W. Guernsey Experiments on the mass of the electric carrier in metals 225.
- Harold D. Babcock. Determination of e/m from measurements of the Zeeman effect 240.
- Albert W. Hull und N. H. Williams Determination of "e" from measure ments of the Schrott-effect 1637
- S. R. Milner. Does an Accelerate Electron necessarily radiate Energy on the Classical Theory? 767.
- G. A. Schott. Does an Accelerate Electron necessarily radiate Energy on the Classical Theory? 767.
- H. S. Allen. Light and Electrons 781
- W. Bothe. Wechselwirkung zwischer Strahlung und freien Elektronen 117
- H. Bateman. Nature of Light-Quant 781.
- C. E. Guye. Explosion partielle o totale d'un électron dans la théori des quanta 1401.
- Inertie d'une couche électriqu sphérique en mouvement divergen et l'émission de quanta 1401.
- H. Bateman. Interference 781. Light-Quanta an
- H. B. Wahlin. Behavior of free elec trons toward gas molecules 1522.
- Bergen Davis. Capture of Electron by Swiftly Moving Alpha Particle 355.
- Theodor Sexl. Dichtebestimmunge submikroskopischer Körperchen 1138
- Harold H. Potter. Proportionality Mass and Weight 649.
- Ernest Rutherford. Electrical struc ture of matter 15, 284, 507, 741.
- Vladimir Njegovan. Was ist di Materie? 1553.
- H. G. Grimm und K. F. Herzfeld Die chemische Valenz der Metall als Energiefrage 507, 819.

und

2. Bau der Atome und Moleküle.

iels Bohr. Bau der Atome 431, 651. ax Planck. Bohrsche Atomtheorie 651.

Hertz. Bohrsche Theorie Elektronenstoß 651.

Coster.

24

Röntgenspektren Bohrsche Atomtheorie 853.

Born. Atomtheorie 1637.

. F. G. Swann. Structure of the Atom 893.

fred Stock. Das Atom 741.

Zwicky. Structure des atoms et

équation d'état 1487.

tto Feussner. Bohrsche Atomtheorie und elektrische Leitfähigkeit 1729. r Oliver Lodge. Kinetic Atom 745. P. Worley. Atomic structure and the relationship of the chemical elements 1269.

Greinacher. Bausteine d. Atome 226. A. Catalán. Grundzustand der

Atome 511.

ax Born. Atomtheorie des festen Zustandes 742.

Sommerfeld. Erforschung des Atoms 741.

A. Millikan. Physicist's present

conception of an atom 1410. Cabrera. Weisssche und Bohrsche Magnetonen und die Konstitution des

Atoms 742. R. Williams, Atomic theory from the standpoint of magnetism 1487. tto Hahn. Atomumwandlung und

Elementenforschung 741. Bothe. Durchgang korpuskularer Strahlen durch Materie und Kon-

stitution der Atome 382.

Hamburger. Nitrogen fixation by means of the cyanide-process and atomic structure 227.

Sommerfeld. Model of the neutral

helium atom 90.

Modell des Helium-A. Kramers. atoms 731.

alph de Laer Kronig. Model of the helium atom 732.

B. Lindsay. Atomic models of the alkali metals 1411.

obert Bruce Lindsay. Atomic models of the alkali metals 1729.

heeler P. Davey. Law of periodic relationship of atomic radii 746. Periodic law of atomic radii 1046. iedrich Hund. Rydbergkorrektionen und Radien der Atomrümpfe 1411. Rydbergkorrektion und Größe des Atomrumpfes 1411.

L. Vegard. Anordnung und Größe der Atome in den wasserfreien Nitraten der Erdalkalimetalle 511.

J. F. T. Young. Anwendung der Theorie des Magnetismus zur Berechnung der Atomdurchmesser 667.

Niels Bjerrum. Dissoziationskonstanten von mehrbasischen Säuren und ihre Anwendung zur Berechnung molekularer Dimensionen 160.

P. Lasareff. Relations entre la concentration atomique et des constantes mécaniques thermiques et optiques des éléments 1642.

N. Bohr und D. Coster. Röntgenspektren und periodisches System

der Elemente 512.

P. L. Kapitza and N. N. Ssemenoff. Possibility of an experimental determination of the magnetic moment of an atom 742.

W. C. M. Lewis. Atomic structure and Quantisation 1637.

F. S. Brackett and R. T. Birge. Quantum defect and the Bohr theory of atomic structure 655.

W. Richardson. Generalized Quantum Conditions 725.

Arthur-H. Compton. Quantum theory of uniform rectilinear motion

M. S. Vallarta. Quantization of nonconditioned-periodic systems 1124.

Adolf Smekal. Quantelung nicht bedingt periodischer Systeme 1124. Max Born. Quantentheorie

Störungsrechnung 655.

D. Enskog. Quantentheorie.des Dampfdruckes und der Dissoziation 716.

J. H. Van Vleck. Normal Helium Atom and its relation to the Quantum Theory 730.

L. Nordheim. Quantentheorie des Wasserstoffmoleküls 217, 970.

Paul S. Epstein. Ferromagnetism and quantum theory 656.

Karl Fehrle. Beziehung zwischen der sprungweisen Änderung der Atome und den harmonischen Komponenten ihrer Massenänderung 1638, 1639.

Ida Woodward. Potential Energy for some Atomic Models 1639.

F. W. Aston. Determinations of the Constitution of the Elements by the Method of Accelerated Anode Rays

E. P. Wagstaff. Characteristic Vibration Frequency of an Element 1637.

George R. Harrison. Application of | O. ultra-violet photographic photometry to problems of atomic structure 1792.

William D. Harkins and R. W. Ryan. Atomic stability as tested photo-

graphically 988. E. Gehreke. Physikalische Grundlage

- der Atomstrahlung 733. K. T. Compton. Properties of Resonance Radiation and Excited Atoms
- G. Breit. Width of spectral lines due to collisions and quantum theory 726.
- Spektren des Wasser-Gehrcke. stoffs und neuere Atomtheorie 784.
- J. C. Slater. Radiation and Atoms 1530.
- Franz Skaupy. Problem des Atoms und der Strahlung 727.

Michele Baruzzi. Costituzione del

nocciolo degli atomi 894.

- Serie naturale dei pesi atomici in rapporto alla costituzione del nocciolo degli atomi 894.
- M. v. Laue. Atomaufbau und Atom-
- zertrümmerung 1637. E. v. Angerer und G. Joos. Normalzustand des Eisenatoms 894.
- Th. Wereide. General principle of relativity applied to the Rutherford-Bohr atom-model 724.
- R. D. Kleeman. Values of the electrical moments of the atoms and their connection with other quantities 744.
- Verwandtschaftsverhält-Vegard. nisse der Elemente im Licht moderner Atomtheorie 508.
- Theodore William Richards. Compressibility, internal pressure and change of atomic volume 1717.
- Robert Flatt. Atomvolumen und Löslichkeit 284.
- Gregory Paul Baxter. Report of the committee on atomic weights 893.
- M. Bodenstein, O. Hahn, O. Hönig-schmid, R. J. Meyer. Bericht der Deutschen Atomgewichts-Kommission 1192.
- Eduard Zintl und Alwin Meuwsen. Fundamentale Atomgewichte 1412.
- Wilh. Palmaer. Aufstellung des periodischen Systems 1412.
- Gregory Paul Baxter and Arthur Ferdinand Scott. Atomic weight of boron 92.
- Theodore W. Richards and Paul Putzeys. Atomic weight of lead from the belgian congo 433.
- E. Zintlund R. Mewsen. Atomgewichte T. von Natrium, Silber und Chlor 668.

- E. Zintl un Hönigschmid, A. Linhard. Atomgewicht de Antimons 668, 1413.
- Henry Krepelka. Atomic weight of aluminum 1413.
- Gregory Paul Baxter and Georg Joseph Fertig. Atomic weight of titanium 747.
- Theodore W. Richards and William M. Craig. The atomic weight of gallium 747.

Gregory Paul Baxter and William Charles Cooper. Atomic weight germanium 1413.

Georg von Hevesy. Auffindung de Hafniums und gegenwärtiger Stan unserer Kenntnisse von diesem Ele ment 284.

 ${f Wilhelm\, Prandtl\, und\, Albert\, Grimn}$ Aufsuchung des Elementes Nr. 6

1413.

- Richard Lorenz und E. Bergheimer Gewichtsverhältnisse von Chlor z Silber 1728.
- A. Pearse Jenkin. Structure of the Molecule 747.
- E. C. C. Baly and R. A. Morton Refractivity and the molecular phase hypothesis 1582.
- Lecomte du Noüy. Surfac equilibrium of colloidal solutions an the dimensions of some colloids molecules 1642.
- H. Stanley Allen. Hydrogen Molecul
- J. H. Van Vleck. Specific heat of a elastic gyroscopic model of the hy drogen molecule 1170.
- O. Maass. Molecular attraction an molecular combination 1729.
- Ernest Rutherford. Elektrisch Struktur der Materie 15, 284, 50
- A. Pontremoli. Neutrone del Ruthe ford 666.
- S. Russell. Complexity of th Elements 1553.
- Hermann Decker. Zahl der Atomring im Molekül 1419.
- H. C. Urey. Distribution of electrons the various orbits of the hydroge atom 1533.
- Paul S. Epstein. Simultaneous action of an electric and a magnetic field of a hydrogen-like atom 655.
- Jarl A. Wasastjerna. Radii of Ion 227.
- Martin Lowry. Intramolecula ionisation in organic compounds 90

Born und W. Heisenberg. Einfluß A. Sommerfeld und W. Heisenberg. der Deformierbarkeit der Ionen auf optische und chemische Konstanten 1271.

- Einfluß der Ionendeformation auf physikalische und chemische Kon-

stanten 1272.

 Deformierbarkeit edelgasähnlicher Ionen 1272.

Kornfeld. Eigenschwingungen des

 CO_3^{--} 1556.

Heisenberg. Stabilität und Bildungswärme dreiatomiger Molekeln

und Ionen 1555.

Sommerfeld. Einbeitliche Auffassung des Balmerschen und Deslandresschen Termes 123.

Allgemeine spektroskopische Gesetze, insbesondere ein magnetooptischer

Zerlegungssatz 214.

Bohr. Spektren und Atombau 1409. H. Kurth. Test of the Bohr-Sommerfeld theory of spectral lines 743. ouard Herzen. Façon simple de retrouver les orbites stationnaires de Bohr dans le spectre de l'hydrogène 1135.

A. Kramers. Law of Dispersion and Bohr's Theory of Spectra 1531.

Fues. Spektroskopische Bestätigung der Bohrschen Besetzungszahlen bei Cäsium 1411.

Paschen. Spektroskopische Erforschung des Atombaues 355.

A. Kramers. Korrespondenzprinzip und Schalenbau des Atoms 652. chard Alan Morton and Harry

Barnes. - Absorption Spectra and Molecular Phases 309.

chard Gans. Das Tyndallphänomen in Flüssigkeiten 120.

se Meitner. Folgerung aus dem Comptoneffekt und ihre Bestätigung 1419.

itaka Takahashi. Band Spectra and Molecular Structure 1788.

Tartakowsky. Theorie der Bandenspektra 1513.

Kratzer. Theorie der Banden-

spektra 1514. Lapworth and R. Robinson. Polarisation of Double Bonds 435. J. Thomson. Polarisation of Double Bonds 436.

uis A. Turner. Relation between the spectra and the sizes of the alkali

metal atoms 262,

W. Aston. Mass-spectra of Chemical

Elements 196, 1599.

Mass-spectrum of Copper 356.

Relativistischer 726.
Linienschärfe 726.
Verbreiterung von Relativistische Röntgendubletts und

M. N. Saha and N. K. Sur. A Modification of Nitrogen 1790. Active

Robert S. Mulliken. Excitation of the spectra of the copper halides by active nitrogen 1734.

Walther Gerlach u. Fritz Gromann. Elektronenaffinitätsspektrum des Jodatoms 122.

C. B. Bazzoni and J. T. Lay. 23 volt arc in helium 1757.

Milton Marshall. Metastable states in low voltage mercury arcs 1757.

R. W. Wood. Hydrogen Spectra from Long Vacuum Tubes 561.

Fues. Berechnung wasserstoffunähnlicher Spektren aus Zentralbewegungen der Elektronen 562.

V. Raman and A. S. Ganesan. Spectrum of neutral helium 705, 1161.

Ludwik Silberstein. Spectrum of helium 705.

 Crossed-orbit model of helium, its ionization potential, and the Lyman series 706.

R. C. Williamson. Analysis of resonance curves observed in potassium

vapor 1758.

A. Balandin. Zusammenhang zwischen der chemischen Affinität und den infraroten Spektren der chemischen Verbindungen 1488.

A. Landé. Theorie der Röntgen-

spektren 1012.

W. Friedrich und M. Bender. Azimutale Verteilung der Röntgenstreu-

strahlung 1421.

W. Aston. Critical Search for a Heavier Constituent of the Atmosphere by Means of the Mass-Spectrograph 356.

Frank C. Hoyt. The Relative Intensity of X-Ray Lines 730.

Interpretation of β -ray C. D. Ellis.

and γ -ray spectra 1766. D. Coster. Qualitative und quantitative

chemische Analyse mittels Röntgenstrahlen 820.

Otto Stelling. Zusammenhang zwischen chemischer Konstitution und K-Röntgenabsorptionsspektrum. Phosphorverbindungen 819.

Roger J. Williams. Method of Writing

"Electronic" Formulas 510.

Sir Joseph John Thomson. Electron in chemistry 228, 229, 898.

Thomas Martin Lowry. Electronic | G. Hertz. Anregungs- und Ionisierung Theory of Valency 895, 1417.

- Applications in organic chemistry of the electronic theory of valency 897. B. Flürscheim. Electronic Theory of

Valency 1417. Gilbert N. Lewis. Valence and the electron 894.

R. H. Fowler. Bohr's atom in relation to the problem of covalency 897.

P. Pfeiffer. Lokalisation und spezifische Wirkung der Nebenvalenzkräfte 1554.

Robert Robinson. Conjugation of

Partial Valencies 1415.

Arthur Lapworth. Latent polarities of atoms and mechanism of reaction

Roscoe H. Gerke. Chemical affinity

and electron affinity 1417.

J. J. Thomson. Electron Theory of Changes in chemical Chemistry. properties produced by the substitution of one element or radicle by another, with applications to benzene substitutions 354.

Walter Hückel. Vermeintliche Beziehungen zwischen Atomkonstanten und Valenzzahl der Atome 1416.

K. Basu. Pertubations of the orbit of the valency-electron in the generalized hydrogen-unlike atom 602.

A. Th. van Urk. Normalbahnen des Serienelektrons der Alkalien 563.

H. Sponer. Freie Weglängen langsamer Elektronen in Edelgasen 91.

Friedrich Hund. Deutung der großen Durchlässigkeit einiger Edelgase für sehr langsame Elektronen 432, 1047.

Theoretische Betrachtungen über die Ablenkung von freien langsamen Elek-

tronen in Atomen 432.

R. Minkowski. Freie Weglänge langsamer Elektronen in Hg- und Cd-Dampf 92.

Mean Free Path of Slow Electrons in Neon and Argon 442.

G. E. Gibson. Consequences of the relativity theory of electronic orbits 743. J. A. Gray. Transformation of Elec-

tronic into Electro-Magnetic Energy

P. M. S. Blackett. Angular Momentum and Electron Impact 1486.

Jarl A. Wasastjerna. Refraction Equivalents of Ions and the Structure of Compound Ions 226.

W. Lawrence Bragg, R. W. James and C. H. Bosanquet. Distribution of Electrons around the Nucleus in the Sodium and Chlorine Atoms 262,

spannungen von Neon und Argon 44 H. E. Farnsworth. Electronic bon

bardment of copper 766. A. G. Shenstone. Ionisation Potentia

of Copper and Silver 444.

H. D. Smyth. Method for Studying Ionising Potentials 444.

C. A. Macklay. Measurements of the ionization potentials of multiatom gases 1762.

K. H. Kingdon and Irving Langmui Removal of thorium from the surface of a thoriated tungsten filament b positive ion bombardment 669.

H. D. Smyth. Ionisation of Nitrogen b

Electron Impact 445.

Gustav Mie. Abklingungszeit und Ve weilzeit angeregter Atome 510.

Gerhard Kirsch. Abnorm grof Einzelionisationsstöße 1641.

Otto Blüh. Existenz des Zwitterion 531.

E. Rüchardt. Zusammenhang zwische Kernneutralisierung und Sekundä strahlung bei den α-Strahlen un Kanalstrahlen 616.

Rutherford and J. Chadwic E. Bombardment of Elements by

Particles 1192.

Richard C. Tolman. Duration | molecules in upper quantum stat 1125, 1192.

A. J. Dempster. Determining Facto in the Life of Metastable Helium 141

M. Born. Elektrische Deutung chemischen Kräfte 1554.

Ronald Fraser and J. E. Humphrie Octed Theory of Induced Alterna Polarities 436.

William A. Noyes. Possible R conciliation of the Octet and Positiv Negative Theories of Chemical Corbination 1323.

L. Myssowsky. Zusammenhang zw schen den Energien der a-Teilch und den Atomnummern der Elemen

W. M. Thornton. Curves of the Period Law 356.

Erich Marx und Lothar Wolf. Is lierung radioaktiver Substanzen dur Rückstoß 159.

K. T. Compton. Distribution of ran of recoil atoms 514.

Wendell M. Latimer. Ionization salt vapors 1193.

Edgar Newbery and Hartley Lu ton. Radio-activity and the Co. ration of Minerals 1270.

arl Przibram und Marie Belar. Hans Pettersson. Verfärbungen durch Becquerelstrahlen und die Frage des blauen Steinsalzes 748.

scher. Entraînement du polonium avec l'hydrate de bismuth en solution

sodique 15.

- alther Kutzner. Wahrscheinlichkeitsgesetz in Anwendung auf die radioaktive Strahlung des Poloniums
- erhard Kirsch. Genetischer Zusammenhang zwischen Thor und Uran und über Altersbestimmungen an radioaktiven Mineralien 357.
- lihelm Riss. Zusammensetzung der Bröggerite und der genetische Zusammenhang zwischen Thor und Uran 603.
- . Piccard et E. Kessler. Rapport entre l'activité de l'Actinium et celle du Radium dans les minerais radifères 1047.

Wertenstein et M. H. Dobrowols-Diffusion des éléments radioactifs dans des métaux 668.

arietta Blau. Zerfallskonstante von RaA 603.

'illiam George Guy and Alexander Smith Russell. The Short-lived Radioactive Products of Uranium 285.

S. Russell. Radio-active Disintegration Series and Relation of Acti-

nium to Uranium 357.

rnest Rutherford. Artificial Disintegration of the Elements

erhardKirschandHansPettersson. Experiments on the Artificial Disintegration of Atoms 1270.

— Atomzertrümmerung durch a-Par-

tikeln 747.

- Helium ein Produkt des künstlichen Atomzerfalls 1324.

- Artificial Disintegration of Atoms 1324.

— Zertrümmerung von Atomen 1324. - Atomzertrümmerung durch

Strahlen 1641.

Über die Verwandlung der Elemente durch Atomzertrümmerung

1731.

Atomzertrümmerung durch Strahlen. Methode zur Beobachtung der Atomtrümmer von kurzer Reichweite 1732.

Über Atomzertrümmerung durch a-Strahlen. Abbau von Stickstoff und

Sauerstoff 1732.

Zertrümmerung von Kohlenstoff durch a-Strahlen 1732.

Albert Nodon. Désintégration cellulaire 1325.

Daniel Berthelot. Désintégration cellulaire 1325.

Rosseland. Quantentheorie der radioaktiven Zerfallvorgänge 1125.

William D. Harkins and R. W. Ryan. A Method for photographing the disintegration of an atom, and a new type of rays 1730.

William P. Headden. Deportment of Calcites toward Radium Radiations

A. Miethe. Zerfall des Quecksilberatoms 1730.

F. Haber. Zerfall des Quecksilberatoms

Louis A. Turner. Estimation of the average life of excited mercury atoms 1731.

Alois F. Kovarik. Number of Gamma rays emitted per second from radium B and C in equilibrium with a gram of radium and the number emitted per atom dinsintegrating 1325, 1420.

Dagmar Pettersson. Partikeln großer Reichweite aus radioaktivem Nieder-

schlag 1346. Jessie A. Rodman. Effect of temperature on the luminosity of radium compounds 1366.

John H. Mennie. Period of Prot-

actinium 160.

P. Ludewig. Bestimmung des Radiumgehaltes schwach aktiver Substanzen nach der Gammastrahlenmethode 513.

Becker. Präzisionsmessung der

Radiumemanation 747.
P. Ludewig und E. Lorenser Verwendbarkeit von Radium- und Uran-Emanationsfür normallösungen messungen 748.

Herstellung von Hans Pettersson.

Radium C 748.

Gustav Ortnerund Hans Pettersson. Zur Herstellung von Radium C 1733.

Dagmar Pettersson. Maximale Reichweite der von Radium C schleuderten Partikeln 1733.

Stefan Meyer und Carl Ulrich. Ge-Ionium-Thorium in der halt von Uranpechblende von St. Joachimsthal 1136.

W. P. Widdowson and A. S. Russell. Activities of Radioactive Substances in an Unchanged Primary Uranium Mineral 514.

Alfred Schoep. minéral radioactif 1325.

John Joly. Radioactivity of the Rocks 1136, 1733.

I. Pouget et D. Chouchak. Radioactivité des eaux minérales d'Algérie

Hermann Bongards. Cosmic origin of the radioactive substances in the atmosphere 1136.

P. Ludewig und E. Lorenser. Untersuchung der Grubenluft in den Schneeberger Gruben auf den Gehalt an Radiumemanation 748.

Aug. Becker. Radioaktive Quellen 229. Heinrich Mache. Radioaktivität der

Gasteiner Thermen 514.

P. Ludewig. Emanationsgehalt der radioaktiven Quellen in Brambach und Oberschlema 1271.

Adolphe Lepape. Relations entre la radioactivité, la température et la sulfuration des sources de Bagnèresde-Luchon 15.

O. S. Duffendack and K. T. Compton. Dissociation of hydrogen and nitrogen by excited mercury atoms 1758.

Hermann Bongards. Welche Art korpuskularer Strahlung ist als Ursache des Polarlichtes anzusehen? 1068.

Frederick Soddy. Origins of the conception of Isotopes 1554.

Mme Pierre Curie. L'isotopie et les isotopes 747.

S. Russell. Atomic Weights of Isotopes 514.

William D. Harkins. Isotopes: Relation concerning the periodic system of the atomic species 510.

S. R. Cook. Possible isotopes of the

elements 515.

William D. Harkins. Stability of atom nuclei, the separation of isotopes, and whole number rule 1729. P. Ehrenfest and N. Bohr. Difference

between Series Spectra of Isotopes 434.

J. W. Nicholson. Difference between Series Spectra of Isotopes 434.

Robert S. Mulliken. Isotope Effect in Line and Band Spectra Francis William Aston. Mass-

Spectra and Isotopes 1554.

Hantaro Nagaoka, Yoshikatsu Sugiura and Tadao Mishima. Fine Structure of Mercury Lines and Isotopes 1641.

- Spectroscopic Evidence of Isotopy 1684.

Kasolite, nouveau | Robert S. Mulliken. Separation of isotopes. Application of systematic fractionation to mercury in a highspeed evaporation-diffusion apparatus 285.

William D. Harkins and T. H. Liggett. Discovery and separation of the isotopes of chlorine and the whole number rule 669.

F. W. Aston. Isotopes of Selenium and

other Elements 433.

— Isotopes of Tin 433. - Isotopes of Antimony 434.

A. C. Egerton and W. B. Lee. Separation of Isotopes of Zinc 285. Separation of the Isotopes of Zinc 434.

C. Runge. Isotopes of Mercury and Bismuth and Satellites of their Spectral

Lines 1514.

A. S. Russell. Isotopes of Lead 1193. G. Tammann. Chemisches Verhalten fester Stoffe 434.

Nature of the non-N. V. Sidgwick. polar link 898.

Atomanordnung des Franz Wever. magnetischen und unmagnetischen Nickels 528.

Ludwig Moser und Rudolf Lessing. Trennung des Zirkons und des Hafniums vom Titan, Cer und Thorium 1729.

Alfred Klose. Ausgezeichnete Energiewerte in mechanischen Systemen 658.

Systematik der Max E. Lembert. Hydrate salzartiger Verbindunger 1047.

Fritz Foerster. Elektrochemie wässeriger Lösungen 16.

A. L. Th. Moesveld. Einfluß des Druckes auf die Reaktionsgeschwindigkeit in homogenen flüssigen Systemen 435.

H. von Halban. Natur der nicht dissoziierten Säuren 358.

Otto Hahn und Karl E. Pütter Flüchtigkeit der Tantalsäure mit Flußsäure und einige Tantalverbindungen 285.

Hans Becker. Graphische Dar stellung der Ausbeute und Kon zentration bei Ozonapparaten 29.

E. H. Riesenfeld. Bildung von Ozor und Wasserstoffsuperoxyd in de Knallgasflamme 1609.

Georg-Maria Schwab. Ozon 1615 Charles Moureu. Gaz Rares des Gas Naturels 92.

G. Sherburne Rogers. Helium-bearing natural gas 513.

Franck und P. Knipping. Helium | Eugen Ryschkewitsch und Erich und Parhelium, sowie Auswahlprinzip und Reaktionsgeschwindigkeit 1047. A. Milne. Statistical Equilibrium in relation to the Photo-electric Effect 1367.

D. Cohen. Photo-Catalytic Influence of some Series of Ketones on the light Oxidation of Ethyl Alcohol

Franck. Sensibilisierte Fluoreszenz

von Gasen 466.

L. Kapitza. Loss of Energy of an α Ray Beam in its Passage through

Matter 769.

arl F. Lindman. Von einem asymmetrisch-tetraedrischen und von einem spiralförmigen Molekülmodell erzeugte Drehung der Polarisationsebene der elektromagnetischen Wellen 1588.

Martin Lowry and E. E. Walker. Induced Asymmetry of unsaturated Radicals in optically active Com-

pounds 1418.

lisabeth Kara-Michailova und Hans Pettersson. Messung der relativen Helligkeit von Szintilla-

tionen 1733.

Grüneisen und E. Goens. Schallgeschwindigkeit in Stickstofftetroxyd. Untere Grenze seiner Dissoziationsgeschwindigkeit 1040.

eorg Jacoby. Elektrische Polarisation des Dielektrikums 566.

L. Addenbrooke. Non-Metallic Elements. Connexions between their Dielectric and other Physical Proper-

ties 1418. H. L. Mever. Dielektrizitätskonstante und chemische Konstitution bei organischen Flüssigkeiten 1419.

K. Darrow. Contemporary advances in physics 355, 1637. Die Dekadenz der ie Svedberg.

Arbeit 271.

Bau der festen Körper und Flüssigkeiten.

x Born. Atomtheorie des festen

Zustandes 742.

E. Mendenhall. Developments in the study of the solid state 1048. V. Raman. Molecular Structure of Amorphous Solids 1489.

Complexity of the Solid Smits.

State 1798.

rgadas Banerji. Electron Theory of Solids and Rigidity of Metals 1422. lph W. G. Wyckoff. Nature of the forces between atoms in solids 1327. Köstermann. Dichte des Graphits 670.

J. de Smedt et W. H. Keesom. Structure atomique de l'oxyde azo-

teux solide 1645.

O. Hassel und H. Mark. Struktur der isomorphen Verbindungen (NH4), ZrF2 und (NH₄), HfF, 1738.

R. H. Atkinson. Separation of Common Lead into Fractions of Different

Density 357.

Leonhard Ahlers. Dichte von Quarz, Orthoklas, Albit und Anorthit 989.

J. C. Slater. Compressibility of the

alkali halides 1328.

Theodore W. Richards and Edouard P. R. Saerens, Compressibilities of the chlorides, bromides and iodides of lithium, rubidium and cesium 1310,

H. J. Gough and D. Hanson. Behaviour of Metals Subjected to Repeated

Stresses 812.

Georg Masing. Zur Heynschen Theorie der Verfestigung der Metalle durch verborgen elastische Spannungen 21.

E. Schmid und M, Polanyi. Verfestigung und Entfestigung von

Metalleinzelkristallen 18.

tz Wüst und Peter Stühler. Einfluß der Anordnung und die Zahl der Eingußtrichter auf die Erstarrung und die Festigkeitseigenschaften eines Gußstückes 526.

Rudolf Gross. Atomistische Struktur deformierter Kristalle in ihrer Beziehung zu den Verfestigungsvorgängen 670.

Verfestigung und Rekristallisation

1734.

F. S. Goucher. Strength of Tungsten Single Crystals 1624.

A. Joffe, M. W. Kirpitschewa und M. A. Lewitzki. Festigkeit der Kristalle 1334.

E. Schmid. Plastische Deformation von

Kristallen 1334.

O. Mügge. Scheinbar deformierte Kristalle und ihre Bedeutung für die Erklärung der Schieferung 1049.

E. N. da C. Andrade. Vorgänge bei der Dehnung von Zinkkristallen 1335.

Hans Müller. Zerreißfestigkeit des

Steinsalzes 1326.

F. Zwicky. Reißfestigkeit von Steinsalz 1326.

Gebruik van zeep-A. A. Griffith. vliezen bij het oplossen van spanningsproblemen 1557.

Elastische constanten van W. Geiss. Wolfraam als functie van de temperatuur 364.

P. Oberhoffer und A. Heger. Gefügeänderungen beim Erhitzen und Ab-

kühlen des Eisens 94.

Percy J. Haler. Distortion Produced by Quenching in Case-hardening 239.

- Sauerwald und E. Jaenichen. Festigkeit und Dichte synthetischer Metallkörper und Adhäsionskräfte zwischen metallischen Oberflächen
- Clara di Capua. Durezze delle leghe di piombo e tallio e di cadmio e tallio 529.
- e Maria Arnone. Durezza delle leghe di piombo-bismuto e di cadmiobismuto 975.

- Durezza delle leghe di stagno e cadmio e di cadmio e bismuto 1033.

G. Tammann und Q. A. Mansuri. Härte der Amalgame des Sn, Pb, Zn, Cd und Cu, sowie der ternären Amalgame Ag Sn Hg 904.

H. Schottky. Härte von Eisen-Nickel-Legierungen 734.
A. L. Norbury. Experiments on the

- hardness and spontaneous annealing of lead 148.
- Adolf Fry. Oberflächenhärtungsverfahren 992.
- Fraenkel and E. Scheurer. Researches of the Duralumin Problem
- W. H. Hatfield. Corrosion of industrial metals 165.
- J. H. G. Monypenny. Resistance to corrosion of stainless steel and iron 165.

Alloys resistant to corrosion 164.

- Kurt Thielsch. Stand der Untersuchung von Korrosionserscheinungen an Kondensatorrohren 290.
- F. Orme. Corrosion tests on certain nickel alloys 167.
- Ulick R. Evans. Mechanism of the so-called "dry corrosion" of metals
- R. Kühnel und G. Marzahn. Ursachen der vorzeitigen Zerstörung von Rippenschwellen 596.
- G. Sachs. Konstruktion von Reibungstrieben 1056.
- B. Deodhar. Änderungen des Torsionsmoduls eines Eurekadrahtes durch Ziehen 734.
- M. v. Schwarz. Vergleich zwischen kalt gerollten und geschnittenen Gewinden, besonders bei Kupferschrauben 1478.

W. Geiss und J. A. M. van Liempt Deutung der Kaltbearbeitung au Grund elektrischer Messungen 755. Richard Gans, Z. Weinstock und

A. Eliçabe. Wie werden Metalle von

Säuren angegriffen? 1138.

Schenck, J. Giesen und Fr Säurezerlegung metallo Walter. graphisch definierter Eisenune Mangancarbidlegierungen 675.

Zerstörung von Strom U. Retzow. wandlerzuführungsschienen aus Zinl

992.

Ernst Cohen und H. R. Bruins Metastabilität der Metalle als Folg von Allotropie und ihre Bedeutun für Chemie, Physik und Technik 1053

und A. L. Th. Moesveld. Meta stabilität der Elemente und Ver bindungen als Folge von Enantic tropie oder Monotropie 1053, 1054

und H. R. Bruins. Metastabilita der Elemente und Verbindungen al Folge von Enantiotropie oder Mono

tropie 1053.

und J. Kooy. Metastabilität de Elemente und Verbindungen als Folg von Enantiotropie oder Monotropi 1053.

-, W. D. Helderman und A. L. Th Moesveld. Metastabilität der Elemente und Verbindungen als Folg von Enantiotropie oder Monotropi 1054.

Metastabilität der Elemente und Ver bindungen als Folge von Enantit tropie oder Monotropie 1054.

Friedrich Rinne. Physikalisch chemische Grundlagen der Kristal

konstitution 230.

Wheeler P. Davey. Precision Measure ment of Crystals 230.

O. Mügge. Kristallographische Une tierung beliebiger Schnitte tetr gonaler und hexagonaler Kristalle m Hilfe der Auslöschungsrichtung 158

Maurice L. Huggins. Evidence from crystal structures in regard to atom

structures 234.

T. V. Barker. Molecular and Cryst Symmetry 286.

John W. Evans. Molecular an Crysta Symmetry 361. Shearer and W. T. Astbur

Molecular and Crystal Symmetry 36 W. H. Bragg. X-rays and Crystal Syr

metry 286. Ralph W. G. Wyckoff. Survey

existing crystal structure data 57 1329.

. Vogel. Grenzverschiebung sich be- R. Gross, F. Koref und K. Moers.

rührender Kristalle 287.

. Gross und N. Gross. Atomordnung des Kupfers und Struktur der Berührungsflächen gesetzmäßig wachsender Kristalle 519.

N. Hinshelwood and Harold Hartley. Probability of Spontaneous Crystallization of Super-

cooled Liquids 1490.

oger G. Boussu. Étude des lois de cristallisation et de précipitation dans

le cas de sursaturation 287.

rnst Cohen und A. L. Th. Moesveld. Kristallisationsverzögerung in übersättigten Lösungen 1054.

Gross und H. Möller. Kristallwachstum in röhrenförmigen Hohl-

räumen 1329.

udolf Vogel. Wachstum und Aufzehrung metallischer Kristallite im

Konglomerat 1276.

V. E. Gibbs and W. Clayton, Productions of Large, Clear, Cubical Crystals of Sodium Chloride 1335. . Alterthum. Kinetik der Makro-

kristallbildung in Wolfram durch Sammelkristallisation 1337.

. H. Atkinson. Fractional Crystallisation of Common Lead 1335. eneral Electric Co. Effect of Impurities Recrystallisation and Grain

Growth 238.

Schottky und H. Jungbluth. Rekristallisation des Gamma-Eisens im Vergleich mit der des Kupfers und Nickels 364.

Oberhoffer und W. Oertel. Rekristallisation des Elektrolyteisens

1052. Verner Riede. Rekristallisationserscheinungen an dauerbeanspruchten Stählen 1491.

rnst Köhler. Elektrolytisches Kristallwachstum 517.

. J. P. Valeton. Wachstum und Auflösung der Kristalle 821, 1333. riedrich Rinne. Umgestaltungen und

Verfall von Kristallstrukturen 1330. Chemische Verände-. Tammann. rungen auf Gleit- und Spaltebenen

von Kristallen 902. lituo Yamada. Oberflächenenergie der Kristalle und Kristallformen 1326. ritz Paneth und Wilhelm Thimann.

Adsorption von Farbstoffen an Kristallen 1560.

- und Alexander Radu. Adsorption von Farbstoffen an Diamant, Kohle und Kunstseide 1561.

Beim Anätzen krummflächiger und hohler Metallkristalle auftretende Körperformen 990.

G. I. Taylor and C. F. Elam. Distortion of an Aluminium Crystal

during a Tensile Test 18.

L. Vegard. Konstitution der Mischkristalle und Raumfüllung der Atome

P. Scherrer. Groupements d'atomes dans les cristaux mixtes 518.

A. E. van Arkel. Bouw van meng-

kristallen 1137.

Ernst Sedström. Physikalische Eigenschaften metallischer Mischkristalle 611.

G. Tammann. Atomyerteilung in .

Mischkristallreihen 1648.

- und W. Krings. Unterschiede zwischen Mischkristallen aus Schmelzen und aus Lösungen 437.

H. Braune und H. Hellweg. Diffusion

in Mischkristallen 1422.

G. Borelius. Tammannsche Resistenzgrenzen und Atomverteilung metallischen Mischkristalle 1339.

G. Tammann und H. Bredemeier. Einwirkung von Sauerstoff und Halogenen auf metallische Misch-kristalle, Metalle und binäre Verbindungen 1340.

F. A. Henglein. Gesetzmäßige Raum-

erfüllung in Kristallen 516.

W. Barlow. Partitioning of Space into Enantiomorphous Polyhedra 1337.

Richard Lorenz und W. Herz. Vergleich von Raumerfüllungszahlen 1701,

Beitrag zur Geometrie des F. Haag. kubischen Gitters 232.

Gustav Heckmann. Elastizitätskonstanten und Gittertheorie 1048.

L. Weber. Ausdruck für das Verhältnis der Netzdichten der Bravaisschen Raumgitter 1327.

Berechnung elektro-Kornfeld. statischer Potentiale und der Energie von Dipol- und Quadrupolgittern 1328.

H. Mark, K. Weissenberg und H. W. Gonell. Gitterbestimmungen mit Hilfe der Schichtlinienbeziehung 17.

Kristallinter-Schachenmeier. in spektral zerlegtem ferenzen Röntgenlicht und ihre Verwendung zur Bestimmung des Kristallgitters 460.

Wheeler P. Davey. Precision measurements of the lattice constants of pure

metals 1332.

Präzisionsmessungen Heinrich Ott. von Gitterkonstanten nach der Pulvermethode 670.

K. Spangenberg. Kinetik des Wachstums- und Auflösungsvorganges von einfachen Ionengittern in wässeriger Lösung 1050.

H. Mark und M. Polanyi. struktur, Gleitrichtungen und Gleitebenen des weißen Zinns 235.

G. R. Levi e A. Ferrari. Reticoli cristallini dei carbonati romboedrici di metalli bivalenti 1557.

Sven Holgersson und Ernst Sedström. Gitterstruktur einiger Metalllegierungen 1644.

Heinrich Ott. Gitter des Aluminiumnitrids 1332.

Gustav Heckmann. Gittertheorie des Flußspats 1048.

Rinne, J. Leonhardt und H. Hentschel. Raumgruppe des Olivins 1336.

G. R. Levy ed A. Ferrari. Reticoli cristallini dell' idrato e del carbonato di magnesio 1737.

Heinrich Ott. Raumgitter der Lithiumhalogenide 1328.

Tertsch. Folgerungen aus den Gitterstrukturen für TiO₂ 1327.

Wilhelm Biltz. Schmelzelektrolyte, Bornsche Gitterkräfte und Konstitution der Salze 990.

Karl Becker und H. Rose. Gitter des Triphenylmethans 19.

 Raumgitter d. Triphenylmethans 1050. H. Mark und K. Weissenberg. Raum-

gitter des Triphenylmethans 1336. J. J. Trillat. Structure réticulaire de certains composés organiques moyen des rayons X 1642.

Gustav F. Hüttig. Gitterbestandteile, die im Kristallgitter vagabundieren 1736.

A. Johnsen. Kinematik der eutektischen Kristallisation 516.

John L. Haughton and G. Winifred Systems in which metals Ford. crystallise 363.

Karl Becker. Die Kristallstruktur der Metalle, Mischkristalle und Metallverbindungen 235.

N. K. Adam. Structure of Thin Films A. 361, 362.

H. Kahler. Crystalline structures of sputtered and evaporated metallic

William Blum und H. S. Rawdon. Kristallform elektrolytisch abgeschiedener Metalle 358.

Georg Eger. Gefüge elektrolytisch hergestellter Metallbleche 1736.

V. Kohlschütter und F. Uebersax, Elektrolytische Kristallisation Bleis 749.

A. E. van Arkel. Crystal structure of white tin 1137; Druckfehlerberichtigung 1384.

A. J. Bradley. Crystal Structure of Metallic Arsenic 1275.

Thea Thimme. Kristallstruktur von Zink und Cadmium 990.

E. Grüneisen u. E. Goens. Messungen an Kristallen aus Zink und Cadmium

O. Hassel und H. Mark. Struktur des Wismuts 1336.

Mabel K. Slattery. Crystal structure of metallic selenium and tellurium 524.

J. M. Bijvoet. Kristallstruktur des Lithiums und Lithiumhydrids 1051.

L. W. McKeehan. Crystal structure of iron-nickel alloys 238, 287.

R. A. Patterson. Crystal structure of copper manganese alloys 1275. J. F. T. Young. Crystal Structure of

Heusler Alloys by the Use of X-Rays 1644.

David Stockdale. Polymorphism in an intermetallic compound 164.

Paul Niggli. Kristallisation und Morphologie des rhombischen Schwefels 823.

A. Smits. System Sulphur Trioxide 363. Ch. Mauguin. Arrangement des atomes dans les cristaux de calomel 1643.

Walther Gerlach. Struktur des "schwarzen Diamants" 1643.

K. A. Hofmann und Curt Röchling. Die Glanzkohle, eine besondere Form des kristallinen Kohlenstoffs 19.

Rinaldo Binaghi. Uber Graphit 754. J. Beckenkamp. Feinstruktur des kristallisierten Kohlenstoffs und des Benzols 1558.

Jared Kirtland Morse. Crystal

structure of benzene 604.
Wheeler P. Davey. Crystal structures of Al_2O_3 , Fe_2O_3 and Cr_2O_3 237.

M. L. Huggins. Crystal structure of aluminum carbide, determined without the use of x-rays 237.

Karssen. Kristallstruktur des Natriumbromats und Natriumchlorats 1052.

N. H. Kolkmeijer, J. M. Bijvoet und A. Karssen. Kristallstruktur von Natriumchlorat (NaClO₃) 362.

L. Vegard. Struktur der Kristalle von Na Br O₃ und NaCl O₃ 1329.

ichard M. Bozorth. Crystal structure of potassium hydrogen fluoride 93. W. G. Wyckoff. Symmetry and Crystal Structure of Zinc Bromate Hexahydrate 523.

ichard M. Bozorth. Crystal structures of the cubic forms of arsenious and antimonous oxydes 603.

Vegard. Strukturd. isomorph. Gruppe $Ba(NO_3)_2$, $Sr(NO_3)_2$,

Posnjak. Crystal structures of lithium iodide and rubidium fluoride

B. Wilsey. Crystalline Structures of

Silver Iodide 825, 1330.

heeler P. Davey. Crystal structure and densities of Cu₂Se and Zn Se 237. nus Pauling. Crystal structure of magnesium stannide 826.

oscoe G. Dickinson and Linus Pauling. Crystal structure of molyb-

denite 162.

nus Pauling and Roscoe G. Dickin-Crystal structure of uranyl

nitrate hexahydrate 1490.

illiam Bragg and Gilbert Morgan. Crystal Structure Chemical Constitution of and Basic Beryllium Acetate and Propionate 903. W. McKeehan. Crystal structure of quartz 522.

bert L. Parker. Kristallographie von Anatas und Rutil 824.

L. Bragg. Structure of Aragonite

1049.

iedrich Rinne. Kieselsäureleptyle in Kristallen 826.

alph W. G. Wyckoff. Kristallstruktur der Alaune 523.

Rogers. Crystallisation of Cementite

in Steel 754.

W. G. Wyckoff. Symmetry and Crystal Structure of Sodium Hydrogen

Acetate 524.

Kristallform des Eises Steinmetz.

W. Gonell und H. Mark. Röntgenographische Bestimmung der Strukturformel d. Hexamethylentetramins 524.

H. Martyn. Unusual Crystals 362. uno Saxén. Lichtemission unter der Wirkung molelektrischer Kräfte an der Oberfläche von Kristallen 563. dius Korczyn. Unregelmäßigkeiten in der Strahlung frisch auskristallisierten Uranylnitrates 1766.

Rosický. Symmetrie des a-Schwefels

287.

Paul R. Heyl. Gravitational anisotropy in crystals 1643.

Wilhelm Biltz. Stereochemie kristallisierter Stoffe 603.

Oebbeke und M. v. Schwarz. Gefügebilder gediegener Metalle 289,

Reinhold Kühnel. Das Erstarrungsschaubild und seine Auswertung im Gießereibetrieb 94.

C. J. Brester. Kristallsymmetrie und Reststrahlen 634, 1451.

Symmetrie van kristallen in verband met de reststralen 1159.

Erich Siebel. Kaltverformung kristallin bildsamer Körper 359.

Hans Blücher. Plastische Massen 1738.

W. H. Keesom. Constitution in the liquid and solid states of substances at low temperatures 1646.

D. Vorländer. Chemische Kristallographie der Flüssigkeiten 1337.

Erforschung der molekularen Gestalt mit Hilfe der kristallinischen Flüssigkeiten 673.

Kast. Anisotropie der flüssigen Kristalle bezüglich ihrer Dielektrizitätskonstanten u. ihrer elektrischen

Leitfähigkeit 363. L. S. Ornstein. Anisotropie der flüssigen Kristalle bezüglich ihrer Dielektrizitätskonstanten und ihrer elektrischen Leitfähigkeit 1744.

Mlodziejowski. Bildung von flüssigen Kristallen in den Gemischen von Cholesterin und Cetylalkohol 525.

Franz Simon und Clara v. Simson. Kristallstruktur des Chlorwasserstoffs

- Kristallstruktur des Argons 903.

Schiebold. Röntgenographische Drehspektrogramme 822.

M. Polanyi, E. Schiebold und K. Weissenberg. Entwicklung des Drehkristallverfahrens 1332.

Karl Becker. Entwicklung des Dreh-

kristallverfahrens 1736.

Maurice L. Huggins. Graphical method for the utilization of rotation spectra in crystal structure determination 1252, 1709.

Lage der Atome in den L. Vegard. optisch aktiven Kristallen NaClO3

und NaBrO₃ 1329. J. Czochralski. Verlagerungshypothese und Röntgenforschung 286.

P. P. Ewald. Kristalle und Röntgenstrahlen 93.

Kristalle und Röntgenstrahlen. Zusammenstellung der Strukturen 1052. Kristallbau 1642.

Relation between the W. H. Bragg. X-ray analysis of crystalline structure and conclusions of mathematical crystallography 360.

A. G. Warren. X-ray examination of

materials 161.

M. Polanyi. Strukturbestimmung mit Hilfe von Röntgenstrahlen 437.

N. Uspenski und S. Konobejewski. Untersuchung mikrokristallinischer Strukturen mit Hilfe von Röntgenstrahlen 234.

Maximilian Camillo Neuburger. Kristallblau und Röntgenstrahlen

George L. Clark and William Duane. Method of using X-rays in crystal analysis 520.

H. Bragg. Analysis of cristal

structure by x-rays 1643.

Der Molekülkristall. A. Schleicher. Röntgenspektroskopie u. Konstitution 1325.

Röntgenuntersuchung über R. Gross.

den Kristallbau 518.

Karl Becker. Röntgenstrahlen als Hilfsmittel für die chemische Forschung 669, 1488.

Johannes Leonhardt. Röntgenographische Untersuchungen am Topas

825.

Arthur Schleede und Arno Gruhl. Röntgenographische Beobachtungen an lumineszenzfähigem Zinksilikat 93.

Rudolf Gross. Röntgenographische Untersuchung des kristallisierten

Kautschuks 1559.

Arthur W. Gray. Volume changes accompanying solution, chemical combination, and cristallization in amalgams 605.

Cl. v. Simson. Röntgenuntersuchungen

an Amalgamen 1274.

Walter Soller. X-ray crystal analysis of materials in their natural state, with an improved spectrometer 1332.

K. Weissenberg. Röntgengoniometer 1193.

Walter Soller. Precision x-ray spectrometer 1779.

George L. Clark and William Duane. Reflection by a crystal of its characteristic x-radiation 783.

- Excitation, reflection and utilization in crystal-structure analyses of characteristic secondary x-rays 750.

O. L. Sponsler. X-ray reflection from very thin crystals 1356.

P. P. Ewald. Röntgenstrahlen und der | E. H. Collins. Temperature effect or the regular reflection of x-rays by aluminium foil 751.

Bergen Davis and H. M. Terrill Coefficient of Reflexion of X-Rays for

Calcite and Rock-Salt 360.

George L. Clark and William Duane Abnormal reflection of X-rays by crystals 286, 521, 522.

G. E. M. Jauncey, Carl H. Eckart Is there a Change of wave-lenght or Reflection of X-rays from Crystals? 18

Roscoe G. Dickinson. Anomalou spots on Laue photographs 232.

A. E. Hennings. Appearance of "ghosts" in the general radiation spectrum when x-rays are reflected from calcit crystals 604.

William Lawrence Bragg. Dif fraction of X-rays by Crystals 1559

Ralph W. G. Wyckoff. X-ray Dif fraction Effects from Liquids and Liquid Mixtures 286.

X-ray diffraction E. D. Eastman. patterns from crystalline and liquid benzene 1052.

Hilding Faxén. Bei Interferenz von Röntgenstrahlen infolge der Wärme bewegung entstehende Streustrahlung

W. M. Lehmann. Versuchsanordnung für Debye - Scherrer - Röntgenauf

nahmen 1053.

P. Stoll. Recherches radiographique d'après la méthode Debye et Scherre

George L. Clark and William Duane Secondary valence by x-rays 233

W. T. Astbury and Kathleen Yard ley. Tabulated Data for the Exa mination of the 230 Space-groups by homogeneous X-rays 1737.

J. Brentano. Crystal Powder Analysi

by X-rays 395.

A. Owen and G. D. Preston Modification of the Powder Method o Determining the Structure of Mets Crystals 525.

R. Glocker, R. Berthold und Th Neeff. Röntgenstrahlenuntersuchun Metallstücke durch Ver wendung bewegter Blenden 526.

Ancel St. John. Putting the X-Ra to Work in Everyday Production of

Metals 21.

H. Bragg. X-ray Examination Metal Films 1423.

Alex Müller and George Shearer X-Ray Measurements of Long-chair Compounds 672.

eorge Shearer. X-Ray Investigation | E. Piwowarsky. Einfluß eines Titanof Organic Esters and Other Longchain Compounds 672.

lex Müller. X-Ray Investigation of

Fatty Acids 20.

H. Piper and E. N. Grindley. Fine Structure of Some Sodium Salts of the Fatty Acids in Soap Curds 359, 753.

L. Sponsler. Structural units of starch determined by X-ray crystal

structure method 671.

. Shearer. Relation between Mole-cular and Crystal Symmetry as shown by X-Ray Crystal Analysis 823.

V. Barker. X-Rays and Crystal

Symmetry 823.

arl Becker. Metallographische Unter-

suchungsmethoden 1336.

. C. Glaser. Metallographie im polarisierten Licht 1194.

lugo Freund. Chemische und mikroskopische Prüfung der Metalle 991. B. Pulsifer. Method of Preparing Specimens of Metals 162.

eneficial Effects of Currents on Molten

Metals 238.

. S. Dean and W. E. Hudson. Grain growth in lead containing one per cent of antimony 1647.

ouis Jordan. Gases in Metals 991. ritz Wüst. Verhalten des Stickstoffs

beim Thomasverfahren 528. . Parravano und A. Scortecci. Gas

und Sauerstoff in Stahl 754. Oberhoffer, E. Piwowarsky, A. Pfeifer-Schiessl und H. Stein. Gas- und Sauerstoffbestimmungen im Eisen, insbesondere Gußeisen 526.

tto Dähne. Mikroskop für Werkstoff-

untersuchungen 1475.

Die Eignung des erbert Vogl. Elektroofens zur Herstellung von Stahlwerks-Kokillen und Temperguß

udeloff. Prüfung des Gußeisens 973.

ritz Wüst und Peter Bandenheuer. Kenntnis des hochwertigen niedrig gekohlten Gusses 528.

rank Charles Thompson and Edwin Properties of the Whitehead. α and β forms of the carbide of iron 613.

Sauerwald, H. Allendorf und P. Landschütz. Dichte und Ausdehnung von flüssigem und festem grauen Roheisen 1491.

duard Maurer. Gußeisendiagramm

1491.

zusatzes zum Rohguß auf den metallurgischen Verlauf des prozesses 1277.

Emil Schüz. Weichglühen von Grauguß

527.

Karl Daeves. Eisen-Kohlenstoff-Diagramm 1492.

R. Kühnel und E. Nesemann. Gefüge hochwertigen grauen Gußeisens 1561.

H. B. Knowlton. Case Hardening and Other Heat Treatments As Applied to Gray Cast Iron 219, 289. E. Asch. Wachsen von Grauguß und

seine Verhinderung 527.

H. Schottky. Verhalten von Flußeisenblechen in der Schweißhitze 595.

Friedrich Körber. Mechanische Eigenschaften und das Gefüge kritisch gereckten und geglühten Weicheisens 495.

O. Bauer und K. Sipp. Abhängigkeit der Schwindung und Lunkerung beim Gußeisen von der Gattierung 22.

J. W. Bolton. Graphit im Gußeisen

1139.

Fritz Wüst und Georg Schitz-Einfluß einiger Fremdkowski. körper auf die Schwindung des Eisens 526.

O. Hengstenberg. Dichte von Eisen-

Silicium-Legierungen 1492. Oberhoffer. Eisen-Silicium-Le-

gierungen 1492.

Entkohlen, Stickund A. Heger. stoff- und Siliciumaufnahme beim Glühen von Eisen und Stahl bei 1100 bis 1300° im reinen Stickstoffstrom 240.

Kôtarô Honda and Takejiro Mura-Structural Constitution of kami. Iron-Carbon-Silicon Alloys 1277.

Franz Wever. Zur Kenntnis Eisencarbids 527.

 Natur von Graphit und Temperkohle 522.

Frey und H. Walter. Ferrolegierungen 95.

Kurt Fischbeck. Dreistoff-Schaubild Eisen-Chrom-Kohlenstoff-Legierungen 1277.

Karl Sipp. Perlitgußeisen 148. Karl Emmel. Perlitguß 828.

Hans Th. Meyer, A. Hammermann, Rudolf Stotz und K. Emmel. Perlitguß 1278.

W. Schneider u. H. Eicken. Körniger

Perlit 674.

A. Schrader. Perlit, Troostit und Sorbit 754.

N. H. Aall. Verschiebung des Perlit- | Eduard Maurer. Osmondit 1194. punktes durch Nickel und Chrom 676. John Arnott. Monel metal 164.

Fritz Schmitz. Die Abhängigkeit der mechanischen Eigenschaften unter-Kohlenstoffstähle perlitischer ihrem Kohlenstoffgehalt 810.

E. Piwowarsky. Einfluß verschiedener Legierungselemente auf das Zusammenballen des Zementits 674.

Ferritgefüge in von Vegesack. nadeliger Ausbildung 164.

J. H. Andrew und Robert Higgins. Kornwachstum und Diffusion 232.

Franz Wever. Konstitution des technischen Eisens 1647.

Strength of cast Willard Rother. iron and its thickness 1625.

E. H. Schulz und W. Püngel. Erholungspausen, Temperatur, Korngröße und Kraftwirkungslinien bei der Daumschlagprobe 1403.

W. Eichholz. Kraftwirkungsfiguren in Stahl durch makro-Eisen und skopische Ätzverfahren 1423.

A. Mert. Krankheitserscheinungen beim Vernickeln von Gußstücken 288.

Fritz Schmitz. Vergleichende Untersuchungen von basischem und saurem Stahl mit Hilfe der Großzahlforschung

Fritz Wüst. Vergleichende Untersuchungen an saurem und basischem Stahl 496.

N. Parravano und A. Scortecci. Gas und Sauerstoff in Stahl 1138.

I. Musatti und M. Croce. Einfluß des Stickstoffs stickstoffhaltiger Zemente auf den Vorgang der Brennstahlbereitung 754.

W. Oertel und Ludwig A. Richter. Einfluß der Desoxydation auf die Warmverarbeitbarkeit und die Eigenschaften eines Chromnickel-Baustahles 606.

- und R. W. Leveringhaus. Einfluß von Kupfer auf die Eigenschaften eines Nickel-Chrom-Baustahles 662.

und F. Pölzguter. Einfluß von Kobalt und Vanadin auf die Eigenschaften von Schnellarbeitsstahl 1718.

P. Oberhoffer. Eigenschaften von Stahlformguß 810.

G. B. Waterhouse and L. N. Zavarine. Properties of Steel Containing Tellurium 364.

Invar and related nickel steels 497. W. Schneider. Umwandlungswärmedes Martensits 21.

C. B. Langstroth. Heat Treating Low-Carbon Bars for Rivets 975.

Georg Welter. Eigenschaftsänderungen durch Wärmebehandlung unterhalb der Umwandlungspunkte 6.

Fraenkel und E. Heymann, Kinetik der Anlaßvorgänge im Stahl

Frank Charles Thompson and Ed. win Whitehead. Changes in Iron and Steel at Temperatures below 280°C 112.

E. Pitois. Différentiation des aciers par l'examen des étincelles de meulage dans l'air et dans l'oxygène 1275.

Mesnager. Différentiation des aciers par l'examen des étincelles de meulage

1340.

Technische Strahlen-K. A. Sterzel. diagnostik, insbesondere des Eisens 604, 1273,

Strahlenschwächung bei Durchgang von hochfrequenten Spektrallinien und heterogenen Strahlungen durch das Untersuchungsstück 826.

 Der hochfrequente Strahl im massenerfüllten Raum und die Streu-

strahlungskorona 827.

H. Schottky. Baumannsche Schwefel-

probe 1341. H. Jungbluth. Wie unterscheidet man Zementit bzw. Ledeburit v. Phosphideutektikum? 1341.

F. Rapatz. Einfluß der ledeburitischen Gefügebestandteile bei der Erzeugung und Behandlung von Dreh- und Schnittstählen 1424.

H. J. van Royen. Bestimmung des Kohlenstoffs in Roheisen, Stahl und

Ferrolegierungen 905.

A. Schleicher. Fehlstellen im legierten Stahl 163.

H. Jungbluth. Schwarzbruch im Stahl 288.

A. A. Griffith. Breuk-theorie 1556. F. Rapatz und H. Pollack. Schwarz-

bruch 1739. P. Oberhoffer, K. Daeves und F.

Rapatz. Löslichkeitslinie für Kohlenstoff in Chrom- und Wolframstählen 905.

Eduard Maurer. Einfluß des Verformens und des Anlassens auf die magnetischen Eigenschaften der ferromagnetischen Metalle 384.

Paul Rütten. Gasdurchlässigkeit, Porosität, Druckfestigkeit und Reduktionsgeschwindigkeit von Eisen-

erzen 1560.

itz Wüst und Paul Rütten. Gas- Albert Portevin et François Le durchlässigkeit, Porosität, Druckfestigkeit und Reduktionsgeschwindigkeit von Eisenerzen 1560.

Obermüller. Metallhalbfabrikate 145.

y Jefferies and R. S. Archer. Modern Concept of Solid Solutions

238, 239. A. Owen and G. D. Preston. X-ray

analysis of solid solutions 752. ne Westgreen und Gösta Phragmén. Structure of Solid Solutions 751. alter Rosenhain. Solid Solutions and Inter-Metallic Compounds 365. Solid Solutions H. Hildebrand, T. R. Hogness and N. W. Taylor. Metallic solutions 427.

L. Norbury. Volumes occupied by the Solute Atoms in Certain Metallic Solid Solutions 1339.

kolaus Steno. Feste Körper, die innerhalb anderer fester Körper von Natur aus eingeschlossen sind 437.

Rosenhain. Inner structure of alloys 904.

S. Kurnakow, D. Krotkow, M. Oksmann, N. Beketow, S. Perel-mutter, F. Kanow, J. Finkel. Innere Reibung und Schmelzbarkeit binärer Systeme 1338.

Vogel und E. Trilling. Gold-

Chromlegierungen 437.

Guertler. Molybdän als Legierungs-bestandteil 289, 605.

Geiss und J. A. M. Liempt. näres System Wolfram-Molybdän 288.

eibholz. Binäre und ternäre Molybdänlegierungen 755.

to Ruff. Chrom-Kohlenstoff-System

Moles u. M. Payá. System Kupfer-Sauerstoff 606.

Hastings Smyth and Leason H. Adams. System calcium oxidecarbon dioxide 755.

Zur Konstitution des org Masing. Messings 22.

Fraenkel und H. Becker. Kinetik der Umwandlung abgeschreckten α-β-

Messings 289.

Bauer und O. Vollenbruck. Erstarrungs- und Umwandlungsschaubild der Kupfer-Zinnlegierungen 290, 529.

A. Owen and G. D. Preston. X-ray analysis of zinc-copper Alloys 753.

Chatelier. Obtention, par traitement thermique, d'alliages légers d'aluminium à haute résistance ne contenant pas de magnésium 83.

- Traitement thermique des alliages légers d'aluminium à base de cuivre

1276.

and Pierre Chevenard. The transformation and thermal treatment of light alloys of aluminium 1054.

Regelsberger. Leichtmetalle in

Legierungen 992.

Robert Kremann, Hermann Prammer und Ludwig Helly. Verlauf der Potentialfläche der ternären Legierungen von Cadmium, Quecksilber und Zinn bzw. Blei 287.

P. P. Fedotieff und W. P. Iljinsky. Schmelzbarkeit des ternären Systems: Natriumfluorid, Calciumfluorid, Alu-

miniumfluorid 438.

H. Schack. System Kupfer-Blei-Anti-

mon 529.

W. Guertler und F. Menzel. Kupfer-Nickel-Blei- und Kupfer-Eisen-Bleilegierungen 528.

- Kupfer-Nickel-Bleilegierungen 607. G. Tammann und M. Hansen. Ternäres System Kupfer-Zinn-Zink 1648.

W. Sander u. K. L. Meissner. Gleichgewichtsstudien im Vierstoffsystem Aluminium - Magnesium-Silicium-Zink 607.

G. Tammann und K. F. Grevemeyer. Thermische Effekte auf den Erhitzungskurven von BaO, SrO und Ca O und ihren Carbonaten im Graphitrohr 288.

J. Ferdinand Kayser. Heat and acid resisting alloys 166.

Conductibilité élec-Léon Guillet. trique de l'aluminium commercial 912.

Fritz Stäblein. Einfluß des gebundenen Kohlenstoffs auf den spezifischen Widerstand des Eisens 173, 532, 905.

Rudolf Suhrmann (nach gemeinsam mit Richard Fleischer ausgeführten Versuchen). Beeinflussung des Widerstandes im Vakuum geglühter Platinfolien durch Entgasung und Strukturänderung 103.

Alfredo Cavazzi. Punti termometrici di ritardo e di arresto durante il riscaldamento lento o rapido della

selenite 1492.

Willy Krüger. Atz- und Lösungserscheinungen am Aragonit 232. Hildegard Mielke. Ätz- und Lösungs-

erscheinungen am Magnetit 233.

Hans Schulz. Das Glas 290.

Fused Silica 1560. Richard Paget. Demonstration der Balarew. Tammannschen Theorie des Glas- P. zustandes 1560.

Umwandlung von Richard Grün. Flint in amorphen Quarz 1493.

Rames C. Ray. Effect of Long Grinding on Quartz (Silver Sand) 287.

R. Rieke. Eigenschaften des technischen Porzellans 812.

G. Phragmén. Järn-kisellegeringarnas

bygnad 162.

V. Kohlschütter und Nelly Neuenschwander. Chemisches Verhalten disperser Substanzen. Disperses Aluminiumoxyd 438.

J. Böhm und H. Niclassen. Amorphe Niederschläge und kristallisierte Sole

- G. Tammann und P. Schafmeister. Verteilung eines Metalles zwischen zwei flüssigen metallischen Phasen 1648.
- C. W. Oseen. Theorie der anisotropen Flüssigkeiten 1646.
- C. V. Raman. Structure of Molecules in relation to their Optical Anisotropy 1646.

A. Boutaric et M. Vuillaume. Spectre d'absorption des sols de sulfure

d'arsenic 62.

O. E. Frivold. Osmotische Koeffizienten für Lithiumchlorid in verdünnten alkoholischen Lösungen 1739.

Frankenburger. Spektrale Empfindlichkeit des Bromsilbers und ihre Beeinflussung durch adsorbierte Stoffe 320.

K. F. Herzfeld. Eine elektrostatische Überschlagsrechnung zur Frankenburgerschen Arbeit 321.

J. Estermann und O. Stern. Sichtbarmachung dünner Silberschichten auf Glas 236.

Struktur dünner Silberniederschläge

I. R. Katz. Quellung 1739.

P. Stoll. Coagulation de l'or colloïdal 525.

Harries. · C. Kolloidchemische trachtungen auf dem Gebiet Schellacks und Kautschuks 22.

und Werner Nagel. Modifikationen

des Schellackreinharzes 95.

P. Debye und E. Hückel. Theorie der

Elektrolyte 577.

R. Glocker und E. Kaupp. Faserstruktur elektrolytischer Metallniederschläge 1275.

Ralph E. Hall. Densities and specifi volumes of sodium chloride solution 1137.

Tartakowsky. Quantelung de asymmetrischen Oszillators und elast

sches Spektrum 654.

Erwin Schrödinger. Spezifische Wärm fester Körper bei hoher Temperatu und Quantelung von Schwingunge endlicher Amplitude 716.

John Warren Williams and Farring ton Daniels. Irregularities in th specific heats of organic liquids 1798

C. O. Swanson. A Graphical Solution of Ratios in Temperature Concern tration Diagrams 1252.

P. Mondain Monval. Transformation allotropique à 32º du nitrate d'am

moniaque 287.

Wheeler P. Davey. Radii of the alka and halogen ions and of the atom of inert gases 161.

K. Fajans und O. Hassel. Titration von Silber- und Halogenionen mi organischen Farbstoffindikatoren 438

The Svedberg. Die Dekadenz de Arbeit 271.

5. Elektrizität und Magnetismus.

1. Allgemeines.

Friedrich Zerner. Periodische La sungen der Maxwellschen Gleichunge und die Störung elektromagnetische Wellen 365.

Felix Joachim v. Wiśniewski. Lösun der Maxwellschen Gleichungen 1562

Arthur Haas. Vektoranalysis 1706 G. Nordström. Prinzip von Hamilto für materielle Körper in der al gemeinen Relativitätstheorie 75.

Louis Cohen. Applications of Heavisid

expansion theorem 1740.

N. v. Raschevsky. Lorentzkontraktio

und Paschskyprinzip 140.

Albert C. Crehore. Comparison be tween the Fundamental Equation for the Ponderomotive Force for Point Charges Due to Larmor-Lorent and to Megh Nad Saha 1649.

Satyendra Ray. Pressure of radiation on transparent dielectrics 255.

Van der Waals, jr. Bijzonder punt i

de Relativiteitstheorie 1119.

Albert C. Crehore. Newtonian Law of Gravitation Deduced from the Saha Electromagnetic Theory Applie to the Copernican Atom 1649.

iigi Puccianti. Elementi di elettro- | W. Bucksath. dinamica 1341.

Mayer. Physikalische und technische Einheiten 418.

Maurer. Physikalische und technische Maßgrößen 418.

Forster. Vergleichende Betrachtungen über die Dimensionen elektrischer Größen 419.

Bangert. Maße der Elektrotechnik

439, 1562.

Vieweg. Elektrotechnik 439.

itz Emde. Einheiten elektrischer und magnetischer Größen 418.

Wallot. Einheiten elektrischer und

magnetischer Größen 418.

itz Emde. Sinusrelief und Tangensrelief in der Elektrotechnik 646.

. Wyssling. Graphische Symbole der Elektrotechnik 439.

y. Les trois constantes fondamentales de l'électricité et du magnétisme 22. ylinski. Les trois constantes fonda-

mentales de l'électricité et du magnétisme 22.

énard. Les trois constantes fondamentales de l'électricité et du magnétisme 22.

ich Kretschmann. Metallische Leitfähigkeit, Rayleighsches Strahlungsgesetz und Geschwindigkeitsverteilung der Leitungselektronen 1281.

Lichtenstein. Problem der Stromleitung 1058.

onald M. Simons. Rating of Cables

in Relation to Voltage 631.
In Hering. Electromagnetic Forces 1341.

Brüninghaus. Lois de l'électro-

magnétisme 1341.

Wisniewski. lix - Joachim de Champ électromagnétique d'un électron en mouvement 440, 1773.

Arata et Marcel Brun. Électrodynamique et principe de réaction 22. arold D. Babcock. Determination of e/m from measurements of the Zeeman effect 240.

Zeeman effect for iron chromium and vanadium, and determination of e/m

270.

A. Parlin. Torques and forces between short cylindrical coils carrying alternating currents of radio

frequency 387.

arl Willy Wagner. Physikalischer
Vorgang beim elektrischen Durchschlag von festen Isolatoren 392.

Baustoffe der Freileitungs-Isolatoren und ihre Anwendung in den verschiedenen Konstruktionen 662.

F. Kock. Die Keramik im Dienste der

Elektrotechnik 607.

Fritz Eckert. Physikalische Eigenschaften der Gläser 1154.

Invar and related nickel steels 497.

Hermann Rohmann. Messung der Größe von Schwebeteilchen 1139.

Max Planck. Natur der Wärmestrahlung 1278.

Theorie der spezifischen E. Császár.

Wärme 79.

H. Lorenz. Bedeutung der technischen Physik für den Maschinenbau 585.

2. Apparate, Meßinstrumente u. Methoden.

L. A. Umansky. Mechanical Computation of Root Mean Square Values 910.

Physikalisch - Technische Reichsanstalt. Prüfungen und Beglaubigungen durch die Elektrischen Prüfämter 98, 530, 679, 757, 908, 1061, 1195, 1424.

H. Benndorf. Bezeichnungsweise der elektrischen Maßeinheiten 1473.

B. Brooks. Standardization of Electrical Measuring Instruments 291. Wm. F. Roeser. Adjustable scale for

electrical instruments 906. K. Bangert. Maße der Elektrotechnik

439, 1562.

N. Semenoff und A. Walther. forschung von elektrostatischen Feldern 96.

Heinrich Kafka. Gleichgewichtslagen von elektrischen Meßinstrumenten 25.

H. S. Read. Theory for the Bumstead electroscope 95.

Takeo Shimizu. Sensitive Electroscope 1563.

S. J. Mauchly and H. F. Johnston.

Bifilar electrometer 1493.

F. A. und A. F. Lindemann and T. C. Keeley. A New Form of Electrometer 1562.

Hermann. Erstausschlagsbeobachtung an den Elektrometern von Braun und Haga 1563.

C. W. Lutz. Saitenelektrometer neuer Form 95, 993, 1493.

Lutzsches Saitenelektro-Th. Wulf. meter 96, 1493.

John L. Haughton and W. T. Griffiths. Uses of the Thread Recorder in the Measurement of Physical Properties 1305.

Joseph G. Brown. variations due to leakage currents 1493.

Arthur Steinert. Hitzdraht-Meßgeräte mit Präzisions-Temperatur-

kompensation 1059.

G. Hoffmann. Bedeutung der Labilisierung bei der elektrometrischen Messung kleiner Elektrizitätsmengen

J. F. Peters. Instrument for Accurately Measuring and Recording Voltage

Surges 1060.

Ralph D. Mershon. Scheme for Measuring Voltage Peaks 907.

A. C. Bartlett. Peak voltmeter and an application 1563.

L. E. Ryall. Peak Voltage Measurement by Means of a Neon Glow Lamp 1740.

Donald M. Simons. Rating of Cables

in Relation to Voltage 631. W. Schottky. Röhrenvoltmeter und Geschwindigkeitsver-Maxwellsche teilung 1657.

Absolutes Voltmeter für Palm. 250 000 Volt Effektivspannung 907.

A. Imhof. Elektrostatische Spannungsmesser 676.

Schenkel. Die elektrische Ventil-röhre als Gerät zur Messung von Überspannungen 1195. M. Schenkel.

J. H. Whitehead. High voltage corona

in air 1003.

S. J. Mauchly. Apparatus for recording the electric potential of the air 1058. K. Kähler.

Meßmethoden der atmosphärischen Elektrizität 170.

Meßmethoden der Sonnenund

Himmelsstrahlung 192. Erich Marx und August Karolus. Messung der Kapazität dünndrähtiger Spulen von hoher Windungszahl 677.

Wilhelm Geyer. Kompensationsverfahren zur Untersuchung von Kondensatoren bei niederen und mittleren Frequenzen 677.

- Messung der Kapazität und des dielektrischen Verlüstwinkels von Kondensatoren und Kabeln 757.

Walther Kutzner. Geigersche Zählkammer 1342.

H. Kafka. Frequenzkompensation von Meßinstrumenten 678.

George A. Campbell. Direct Capacity Measurement 1741.

Method of measuring L. Hartshorn. very small capacities 1740.

W. Glitsch. Messung kleiner Kapazitäten nach dem Resonanz-Schwebungsverfahren 677.

Kleine Kapazii Electrometer | H. Hermann. normale 828.

Robert Mechau. Galvanometer Roy Kegerreis. Current-measu

instrument of extreme sensitivity! Methods of vary Morton Masius. the sensitiveness of ballistic galva

Coil-Galvanometer W. J. H. Moll.

Rapid Indication 530.

meters 1494.

E. V. Appleton. Anomalous Behavior of a Vibration Galvanometer 14

General Electric Co., Research St. Device for measuring very sn currents 367.

F. Adcock and E. H. Wells. Tem rature measurement with the Ei

hoven galvanometer 906. H. Hermann. Theorie absoluter V

lesungs-Elektrodynamometer 907. Forbes and David W. Man Revolving mirror for use with string galvanometer 1341.

Douglas C. Gall. Potentiometer 9 Multiple range potent Leo Behr.

meters 291.

W. T. Bovie. Temperature correcti in direct reading potentiometers measuring hydrogen - ion cone trations 992.

J. Schalkhammer. Wattmeter neuen Umschaltevorrichtungen

Strommeßbereiche 1424. Philip Chapin Jones. Three - Ph

Wattmeter Connections 1060. Three-phase W. Stubbings. lanced load wattmeters 1496.

Vladimir Karapetoff. "Heavisidi Kinematic Device for Long Tra mission Lines 1342.

K. A. Sterzel. Statisches Meßgerät sehr hohe Wechselspannungen

Luigi Mazza. Impiego di galvanom come strumenti di zero nei metod

misura con corrente alternata Heinrich Kafka. Elektrische M instrumente für Wechselstrom elektromagnet. Richtmoment 907

L. Cahen. Mesure des grandeurs é triques sous courant alternatif fréquence musicale 291.

et J. Carvallo. Mesures grandeurs électriques sous cour alternatif de fréquence musicale 14

W. Jaeger und H. von Steinwe Kondensator im Wechselstromk

mit Ventil 1652.

Wilhelm Geyer. Die Glimmlichtrö und ihre Verwendung in der Elek technik 168.

Palm. Messung der Scheitelspannung A. Günther-Schulze. Überspannungen mit der Glimmröhre 994.

lhelm Gever. Darstellung von Wechselstromkurven mit der Glimmlichtröhre 168.

Aufnahme und Darstellung von Wechselstromkurven mit Hilfe der

Glimmlichtröhre 169.

Experimentelle Aufnahme und Darstellung elektrischer Stromkurven in Polarkoordinaten 169.

Kompensationsverfahren zur Messung dielektrischer Energieverluste Niederfrequenz 291.

Wechselstromkompensator 1058.

Darmois et G. Ribaud. Étude théorique et expérimentale du flux-

mètre 1495.

Weisglass. Von Wechselstrom durchflossene Drehspule in einem radial homogenen Magnetfeld 1495. R. Watson and L. B. Ham. Acoustical galvanometer 1563.

Casper, K. Hubmann und J. Zenneck. Zur Bestimmung der Kurvenform von Wechselströmen mit Hilfe der Braunschen Röhre 1060.

gory Breit. Method of Measuring Coil Capacities and Standardising Wavemeters 97.

W. Legg. Expansion of Oscilloraphy by the Portable Instrument 908.

A. Crowther. Electrostatic oscillo-

graph 1493.

B. Wood. Cathode Ray Oscillograph 366.

rid A. Keys. Cathode-ray oscilloraph 366.

Webb. Low Voltage Cathode Ray Oscillograph 366.

B. Kouwenhoven and T. L. Berry, Jr. Current and Voltage in Permeameter Circuit 908.

R. Williams. Oscillograms of the Barkhausen effect 676.

is Schneider. Nachweis elektrischer schwingungen und Teilentladungen

69. ter Wuckel. Messung von Drahtsehr schnellen viderständen bei

schwingungen 756. Jouaust. Application des pyro-

nètres aux mesures en haute fréuence 625. derik van Aalst. Aufnahme von

Resonanzkurven mit Detektor und alvanometer 1565.

an Quecksilberdampfgleichrichtern u. ihre Ursache 1061.

Gleichrichter 1062.

Elektrische Ventile und Gleichrichter 777, 1741.

R. S. J. Spilsbury. Instrument for workshop tests of current transformers 1564.

Wilhelm Geyger. Frequenzmeßgeräte

909.

J. Tykocinski-Tykociner. Mandelstam Method of Absolute Measurement of Frequency of Electrical Oscillations 1061.

R. L. Wegel and C. R. Moore. Elec-

trical Frequency Analyzer 1650.
Paul Knipping. Registrierapparat zur automatischen Aufnahme von Ionisierungs- und anderen Kurven 169.

D. W. Dye. Calculation of a Primary Standard of Mutual Inductance of the Campbell Type and Comparison of it with the Similar N. P. L. Standard 440.

Lindley Pyle. Howling telephone and its application to bridge methods 1058.

Frank Wenner and Alva Smith. Measurement of low resistance by means of the Wheatstone bridge 1494.

Robert Jaeger und Willy Hinze. Messung hochohmiger Widerstände 1279.

Ulfilas Meyer. Ableitungsmessungen

F. Wenner and F. M. Soule. Measurement of cyclic changes of resistance 1649.

Irving Wolff. Alternating current bridge for the measurement of the small phase angle of a high resistance 1649.

A. Rosen. Use of the Wien Bridge for the Measurement of the Losses in

Dielectrics at High Voltages 1649. Ferd. Scheminzky. Induktorium für Leitfähigkeitsbestimmungen für Anschluß an Gleichstromnetze 1564.

Carl Hütter. Verschärfung der Nullpunktslage bei Meßbrücken 1494.

Kirkpatrick. Continuously variable rheostat with constant contacts 992.

Georg Klein. Widerstandsmaterialien 910.

H. Greinacher. Messung von Widerstandsänderungen bei nicht-ohmschen Leitern 1494.

Lopp Test for High H. V. Higgitt. Resistance Faults 1279.

O. Naumann. Versuchsfeld der Herms-dorf - Schomburg - Isolatoren - Gesell-lesungsversuche über die Wirkun Staubteilchen, Ionen und Elekt

als Kondensationskerne 1058. W. Gorgas. Meßgeräte für die Pal schaltung von Maschinen 608.

L. Schmitz und J. Reismann. FI Berechnung linientafel zur Dreiph Leistungsfaktors bei

anlagen und -apparaten 589. Fluchtlinientafel H. Langrehr. Berechnung des Leistungsfaktor Dreiphasenanlagen und -appa

E.G. Warner. Induction Motor N gram 1117.

A. C. Longden. Standard cell struction 907.

Warren C. Vosburgh and Ma The effect of pre Eppley. tions of mercurous sulfate on electromotive force and hysteres Weston standard cells 907.

Ernst Cohen und J. J. Wol Temperaturformel des Westons Normalelements und Löslich kurve des $CdSO_4$. 8/3 H_2O

-, W. D. Helderman und A. L. Moesveld. Zur Thermodynami Normalelemente 1651.

-, C. I. Kruisheer und A. L. Moesveld. Temperaturformel Normalelemente spezif und Wärme der in diesen Elementen handenen Salze 1652.

L. Harrington. High pote battery substitute 1741.

Walter Burstyn. Die Quecks lampe als Funkenstrecke und U brecher 1062.

G. Holst en E. Oosterhuis. invloed van de gasatmosfeer werking van een kwikstraal o breker 1062.

Albert Lotz. Selbstherstellung Simon-Unterbrechers 368.

Kuo-Feng Sun. Electrolytic car and resistance of Pt-Rhodamine Cell 1495.

S. Russ. Measurement of X-ray inte 678.

Otto Berg, Werner Schwerdt: und Rudolf Thaller. No Meßgerät für Röntgenstrahlen

P. Lertes. Direkt anzeigender Rör strahlen-Intensitätsmesser 829.

A. Dauvillier. Dosimètre pour r Röntgen pénétrants 1280.

A. Bouwers. Nieuve Röntgenbuis

schaft 700.

J. H. Dellinger and J. L. Preston. Properties of electrical insulating materials of the laminated phenolmethylene type 679.

W. Weicker. Beurteilung von Hängeisolatoren 780.

R. Dieterle. Ermittlung der Durchschlagsspannung von flüssigen und von vergießbaren elektrischen Isolierstoffen 1676.

D. Owen. Null Methods of Measurement of Power Factor and Effective Resistance in Alternate Current Circuits 96.

R. D. Kleeman and D. T. Simonds. Effects obtained with an alternating current sent through a capillary electrometer 96.

Russell M. Otis. Variation of penetrating radiation with altitude 245.

A. Millikan and I. S. Bowen. Penetrating radiation at high altitudes 245.

Russell M. Otis. Penetrating radiation on Mt. Whitney 245.

Werner Kolhörster und Gubert v. Salis. Intensitäts- und Richtungsmessungen der durchdringenden Strahlung 246.

Ludwig Bergmann. Einfaches elektrostatisches Relais für den drahtlosen

Empfang 365.

Joseph Woelk. Meßgerät für Anzugsund Abfallzeiten von Relais 430.

Erich Schulze. Beeinflussung der Schaltzeiten von Relais 1195, 1425, 1426, 1566.

Beeinflussung der Schaltzeiten von Relais durch Kondensatoren 1650.

Howard M. Elsey. Projection electroscope for measurements in radioactivity 96.

Irène Curie. Mesure des fortes ionisations dues aux rayons α 993.

H. B. Gough. Solomon's Ionometer 993.

Hoffmann. Messung schwacher Radioaktivitäten und Radioaktivität der Alkalien und anderer Substanzen 1572.

W. Bothe. Unterscheidung von Radium, Mesother und Radiother durch Gammastrahlenmessung 1196.

H. Greinacher. Akustische Beobachtung und galvanometrische Registrierung von Elementarstrahlen und Einzelionen 1345.

il Günther und Iwan Stranski. L. Jumau. Piles électriques d'après les Röntgenspektrograph für chemisch-

analytische Zwecke 829. xander Marcus. Detecting minute irregularities in curvature of spheres and cylinders and controlling the oscillations of a mass of metal suspended 909.

lmut. Sell. Resonanzkurven von

Membranen 1316.

Elektrische Tonquelle kontinuierlichveränderlicher Frequenz und reproduzierbarer Schallenergie 1316.

Ausmessung von Schallfeldern 1316. rton McCollum and O. S. Peters.

Electrical telemeter 1425.

Frautwein. Meßtechnische Anwendungen von Elektronenröhren 1652. mbert et Andant. Metallisation des surfaces par projection cathodique 1741.

berto Puppini. Modelli elettrici per lo studio del moto delle acque filtranti 138.

Hermann. Theorie der Verstärkungs- und Bindezahl 993.

3. Elektrizitätserregung.

lis H. Holladay. Graphic Method for the Exact Solution of Transmission Lines 1252.

nannes Wotschke. Darstellung elektrischer Beziehungen im Raumdiagramm 1249.

nry E. Armstrong. Origin of Electricity in Thunderstorms 98, 1062.

C. Simpson. Origin of Electricity in Thunderstorms 1062.

Oliver Lodge. Thunderstorms and Globe Lightning 1062.

Perucca. Idee vecchie e nuove sull' effetto Volta 369.

Vasilesco Karpen. Force électromotrice des piles, affinité chimique et attraction moléculaire 369.

C. Longden. Standard cell con-

struction 907.

rren C. Vosburgh and Marion Eppley. Temperature coefficients of unsaturated Weston cells - The effect of preparations of nercurous sulfate on the electronotive force and hysteresis of Weston tandard cells 907.

hard C. Schmidt. Passivität 25. United States rge K. Burgess.

Government specification for dry ells 27.

brevets récents 27.

Artur Koch. Daniellketten bei höheren

Temperaturen 679.

G. Tammann. Spannungen der Daniellketten mit flüssigen Chloriden und Spannungsreihe der Metalle in flüssig. Chloriden 1198.

E. Fournier. Piles à dépolarisation par l'air employées en télégraphie sans fil

Al. Nasarischwily. Galvanische Elemente mit Luftsauerstoffdepolarisation 102.

Friedrich Laube. Die Johnsen. Rahbeck-Anordnung als galvanisches

Element 370.

Rudolf Wegscheider. Größte gewinnbare Arbeit bei endlichem Umsatz, insbesondere in galvanischen Elementen 440.

J. Kasarnowsky. Stellung des Tellurs in der Voltaschen Spannungsreihe 100.

A. Smits. Electromotive Behaviour of

Magnesium 369.

Robert Müller und Werner Knaus. Elektromotorisches Verhalten des Magnesiums, sowie der Magnesiumamalgame 100.

G. Tammann und A. Koch. Elektromotorisches Verhalten der Verbindung

Co Sn 1199.

und C. F. Marais. Temperaturabhängigkeit der Spannungen von Cadmiumamalgamen 1653.

G. Poma. Einfluß der Neutralsalze auf das Potential der Metallelektroden

1428.

I. M. Kolthoff. Einfluß von Salzen auf die Konstante der Silberbromid- und Silberelektrode 911.

Eugenie Siegler und R. Cernatesco. Metalle in reinen Potential der Flüssigkeiten 994.

S. D. Muzaffar. Potentiale der Pb-Sn-

Legierungen 99.

Theodore W. Richards and William T. Richards. Effect of a magnetic field on the potential of hydrogen occluded in iron 1200.

Reinhardt Schuhmann. Free energy of antimony trioxide and reduction potential of antimony 1199.

Richard Lorenz. Gleichgewichte zwischen Metallen und Salzen im Schmelzflusse 1243.

R. D. Kleeman and R. H. Bennett. Electromotive force between a metal plate and a solution on being suddenly brought into contact 1427.

J. Kasarnowsky. mente 101.

Robert Kremann, August Lang-bauer und Hermann Rauch. Galvanische Spannungen der ternären Legierungen von Antimon, Zink und Wismut 98.

- Galvanische Spannungen der ternären Legierungen von Wismut, Cad-

mium und Blei 99.

Sakae Makio. Characteristics Planté type secondary batteries 27.

G. W. Vinal and F. W. Altrup. Effect of Certain Impurities in Storage Battery Electrolytes 1744.

Alfred Speidel. Einfluß des Aufrauhens auf die Lösungstension der

Metalle 1197.

N. Isgarischew und E. Koldaewa. Potentiale vergifteter Elektroden 1197. Emil Baur. Potentialdifferenz zwischen

zwei flüssigen Phasen 100.

Hans Schiller. Thermodynamik und Kinetik der Flüssigkeitsketten 910.

Harold A. Fales and Mortimer J. Stammelman. Collodion Membrane for Liquid Junctions 531.

Paul B. Taylor. Drop electrode in molten salt electrolyte 171.

F. Harms. Elektrische Erscheinungen bei der Reaktion zwischen Chininsulfat und Wasserdampf 911.

Carl W. Miller. Measurement of polarization capacity and phase angle 1429.

R. Beutner. Phasengrenzkräfte 831. A. Frumkin. Phasengrenzkräfte und Adsorption an der Trennungsfläche Luft-Lösung anorganischer Elektrolyte 1313.

M. Knobel. Gas Electrode 171.

Alfred Schmid. Diffusionsgaselektrode 1428.

Henry S. Simms. Water-jacketed hydrogen electrode 832.

Foerster (nach Versuchen von A. Nobis und H. Stötzer†). Wasserstoff-Chlorkette 101.

Jaroslaw Przeborowski (unter Mitwirkung von M. Fleissner und A. Sabrodina). Einfluß der Neutralsalze auf das Potential der Wasserstoffelektrode 831.

Francis Meunier. Surtension électrolytique de l'hydrogène 1428.

W. T. Bovie and Walter S. Hughes. Source of Trouble in Electrometric Measurements of Hydrogen-Ion 170.

W. A. Arkadjev. Einwirkung der Neutralsalze auf das Potential der Wasserstoffelektrode 1200.

Amphotere Ele- | Oliver Lodge. Problems of Hy and Water 1062.

Franz Fischer und Walter Kr Vorgänge bei der Entladung Knallgaskette 1743.

George Scatchard. Electromo force measurements with a satu

potassium chloride bridge 531. N. Vasilesco Karpen. Piles électr contredisant le deuxième princip la thermodynamique 1742.

E. Darmois. Concentration en

hydrogène 1063.

Paul B. Taylor. Free energy of measured by capillary electrode Jaroslav Heyrovsky. Signific

of the Electrode Potential 292. J. A. V. Butler. Significance of

Electrode Potential. 608.

Richard Vieweg. Kontaktpoter differenzen zwischen im Vakuun glühten Metallen 1196. Harold F. Richards. Contact ele

city of solid dielectrics 368.

David A. Keys. Adiabatic and thermal Piezo-Electric Constant Tourmaline 829.

W. G. Cady. Method of testing p from piezoelectric crystals 829.

David A. Keys. Piezoelectric Me of Measuring Explosion Pressur E. Wriothesley Russell. Mus

Piezoelectricity? 368.

Chas. R. Darling and Chas. W. S Production of Electrom Forces by Heating Junction Single Metals 1741.

René Audubert. Actions de la lu sur les électrodes 942, 1197.

G. Rougier. Piles photoélectriques métaux alcalins 1743.

W. W. Coblentz. Photoelectrical thermoelectrical properties of m denite 60.

Allen Garrison. Behavior of iodide in the photo-voltaic cell

G. Tammann und E. Sotter. Ele chemisches Verhalten der Legiert des Eisens mit Chrom, des Eisen Molybdän und des Eisens mit minium 440.

Richard D. Kleeman and Wil Fredrickson. Sign of the el charge assumed by a metal imm

in a liquid 530.

Sven Bodforss. Kapillar-elel effekt 829.

J. J. Nolan and H. V. Gill. E fication by the Pulverization Aqueous Solutions 830.

Gyemant. beim Phasengleichgewicht 832.

rre Girard et Marcel Platard. Phénomène de Becquerel et Hypohèse des électrons libres dans les solutions 832.

Sorrel. Capacités de polarisation en courants alternatifs 833.

zló von Rhorer. Brennstoffelemente 830.

ary E. Armstrong. Luminous Ice 1062.

Pinkus. Ionisation des gaz pendant les réactions chimiques 1429.

nfred Brotherton. Emission of Electrons under the Chemical Action 1566. Influence of

hard Kleeman and Charles R. Pitts. Sign of the electrical layer furthest away from the surface of a solution in contact with air or a metal 1743.

tz Foerster. Elektrochemie wässeriger Lösungen 16.

4. Elektrostatik.

Hillebrand. Analytische Behandung der Fundamentalprobleme der

Elektrostatik 608. Hostinský. Équilibre de l'électricité sur une surface cylindrique 1744. eph G. Brown. Variations certain electrical systems inside a hollow conductor 538.

Gitterdijk. De potentiaal van een omwentelingsellipsoide 171.

le Jans. Evenwichtsverdeeling der electriciteit op een geisoleerde, geleidende ellipsoide 1140.

nando Sanford. Condition known

as electrical neutrality 610.

Electrostriction 996. P. Karbler. Hermann. Theorie der Verstärkungsund Bindezahl 993.

red Coehn und Hans Neumann. Elektrostatische Erscheinungen an elektrolytisch entwickelten Gasblasen. I. Elektrostatische Anziehung und Blasengröße 610; II. Elektrostatische Abstoßung: Die Gasstrahlelektrode

310.

Skala für Drehkonden-Schering. satoren 172.

3. Dempster and E. O. Hulburt. Standards of capacity particularly or radio frequency currents 27.

Kapazitätsmanz Ollendorff.

chinen 1062.

Elektrisches Potential | Alfred W. Simon. Quantitative theory of the influence electrostatic generator 1653.

Franz Ollendorff. Analogie zwischen elektromagnetischen Maschinen und

Influenzmaschinen 1063.

N. Semenoff und A. Walther. forschung von elektrostat. Feldern 96.

H. S. Read. Theory for the Bumstead electroscope 95.

S. J. Mauchly and H. F. Johnston. Bifilar electrometer 1493.

A. and A. F. Lindemann T. C. Keeley. A New Form of Electrometer 1562.

C. W. Lutz. Saitenelektrometer neuer Form 95, 993, 1493.

Th. Wulf. Lutzsches Saitenelektrometer 96, 1493.

K. Kähler. Elektrizität der Gewitter 1747.

G. Hoffmann. Bedeutung der Labilisierung bei der elektrometrischen Messung kleiner Elektrizitätsmengen 993.

Joseph G. Brown. Electrometer variations due to leakage currents 1493.

A. Wigand und T. Schlomka. Messung elektrischer Spannungen vom Motorluftfahrzeug aus 1745.

Wilhelm Peter Radt. Bremsung bewegter Ladungen beim Überfliegen leitender Körper 180.

J. A. Crowther. Electrostatic oscillograph 1493.

S. J. Mauchly. Apparatus for recording the electric potential of the air 1058.

Arnold Deutscher. Gleitfunken 370. R. Fürth. Bestimmung der Dielektri-

zitätskonstanten guter Leiter 1654. S. Gagnebin. Variations des constantes diélectriques du quartz cristallisé aux températures élevées 995.

Burmester. Dielektrizitätskonstante keramischer Massen 1431.

Waldemar Pocher. Messung der Dielektrizitätskonstanten von Flüssigkeiten 679.

Dielektrizitätskonstante Zahn. wässeriger Salzlösungen hoher Konzentration 1654.

Dielektrizitätskonstanten Otto Blüh. von Elektrolytlösungen 1654.

V. Grimm and W. A. Patrick. Dielectric constants of organic liquids at the boiling point 608.

Reinhold Fürth und Rudolf Keller Dielektrizitätskonstante des alkohol artigen Serums 1342.

perties of water for continuous waves 1201.

W. Kast. Anisotropie der flüssigen Kristalle bezüglich ihrer Dielektrizitätskonstanten und ihrer elektrischen Leitfähigkeit 363.

Anisotropie der S. Ornstein. flüssigen Kristalle bezüglich ihrer Dielektrizitätskonstanten und ihrer

elektrischen Leitfähigkeit 1744. Jezewski. Influence du champ magnétique sur les constantes diélectriques des cristaux liquides 1431.

Mary E. Lear. Dielectric constant of germanium tetrachloride 1654.

P. Walden und O. Werner. Dielektrizitätskonstanten gechlorter Paraffine und Olefine 1655.

Errera. Dielektrizitätskonstante kolloider Lösungen 172.

 Pouvoir inducteur spécifique des solutions colloïdales 172, 610.

Louise S. McDowell. Power loss in condensers with liquid dielectrics 1280.

A. B. Bryan. Dielectric losses at radio frequencies in liquid dielectrics 370.

J. Granier. Viscosité diélectrique 1430. H. Zschiesche. Dielektrische Hyste-

resis 1140.

C. T. Zahn. Method for determining the dielectric constant of gases 1655.

Edwin C. Fritts. Dielectric constants

of five gases 1281.

F. Waibel. Druckabhängigkeit der Dielektrizitätskonstanten von Schwefelkohlenstoff, Benzol, Hexan und Luft

T. Compton and C. T. Zahn. Electric moment of gaseous HCl and HBr molecules 1655.

Wilhelm Anderson. Dielektrizitätskonstante der Sonnenphotosphäre 833.

Joseph Valasek. Dielectric fatigue

in Rochelle salt 757.

J. H. Dellinger and J. L. Preston. Measurement of properties of electrical insulating materials 44.

Th. v. Kármán. Thermisch-elektrisches Gleichgewicht in festen Isolatoren

- Viktor Engelhardt. Prüfung der Durchschlagsfestigkeit von Isolierölen
- J. E. P. Wagstaff. Application of Oscillating Valve Circuits to the Precise Measurements of Physical Quantities 772.
- O. Mannel. Elektrische Eigenschaften des Bakelits 1200.

G. C. Southworth. Dielectric pro- Otto Blüh. Existenz des Zwitte 531.

> Hermann Rohmann. Rauch Rauchbekämpfung 1656.

5. Wärmewirkung des Stromes. Thermoelektrizität.

E. W. Lewis. Industrial application the electric furnace 455.

Max Leo Keller. Lösung praktis Elel Erwärmungsfragen $_{
m der}$ technik 1775.

Erwärmung von C. Feldmann. seilten Mehrleiterkabeln mit met

sierten Adern 371.

Karl Willy Wagner. Physikalis Vorgang beim elektrischen Du schlag von festen Isolatoren

F. Stäblein. Zusammenhang zwis-Belastungsstromstärke und Ter ratur an frei ausgespanntem W standsmaterial 1201.

J. E. Shrader. Calorimetric method measuring power factor of insula materials at radio frequencies l

W. T. Bovie. Spark gap with air-ed

electrodes 566.

Rud. Küchler. Stationäre Erwärn des selbstkühlenden Öltransforms 531.

Ernst Sedström. Physikalische E schaften metallischer Mischkris 611.

Wilhelm Heraeus. Abhängigkeit thermoelektrischen Kraft des E von seiner Struktur 1431.

G. Borelius. Abhängigkeit der the elektrischen Kraft des Eisens seiner Struktur 1747.

Zeitliche Änderung Joh. Thiele. Thermokräfte bei Eisen, Nickel Kobalt nach dem Ziehen oder Ma tisieren 441.

R. M. Holmes. Thermoelectric prope of sputtered films of gold, plati and palladium; and of solid palla containing occluded hydrogen 2

G. Churcher. Measuremen temperature in a rotating armatu means of thermocouples 1699.

G. Borelius and F. Gunneson. perature Periods in the Emissi Occluded Gases from Iron 118

Marva Kahanowicz. Prop elettriche dell'argento in rap alla cristallizzazione 103.

Erich Rumpf. Das Verschwinde Benedicks-Effektes im Vakuum

lannes Wotschke. Darstellung elektrischer Beziehungen im Raumdiagramm 1249.

o Feussner. Bohrsche Atomtheorie and elektrische Leitfähigkeit 1729, Γ. Waterman. Equilibrium theory of electrical conduction 241.

ch Kretschmann. Metallische Leitfähigkeit, Rayleighsches Strahlungsgesetz und Geschwindigkeitsverteilung der Leitungselektronen 1281.

win Bidwell Wilson. Electric Conduction: Hall's theory and Per-

kins' phenomenon 759.

Goetz. Glühelektrische Elektronenemission bei Umwandlungs-

Schmelzpunkten 173.

Hoffmann. Elektronenaustritt aus Metallen unter Wirkung hoher Feldstärken 104.

Monteagle Barlow. Friction

between sliding surfaces 1536.

hard C. Tolman and Lewis M. Mott-Smith. Apparatus for determining the mass of the carrier in metals 241.

tz Stäblein. Einfluß des gebundenen Kohlenstoffs auf den spezifischen Widerstand des Eisens 173, 532, 913. Vergleichende Unter-Wüst. suchungen an saurem und basischem Stahl 496.

on Guillet. Conductibilité électrique de l'aluminium commercial 912.

dolf Suhrmann (nach gemeinsam mit Richard Fleischer ausgeführten Versuchen). Beeinflussung Widerstandes im Vakuum geglühter Platinfolien durch Entgasung und Strukturänderung 103.

Mackeown. Hall effect and specific resistance of cathodically deposited films of gold 758.

Tuyn and H. Kamerlingh Onnes. Electrical resistance of indium in the temperature field of liquid helium 759. Pochettino e G. Fulcheris. Proprieta elettriche e termiche dello Jodio 105.

Elektrische Leitfähigkeit Durrer. von Holzkohle und Koks 1141. oheus W. Smith. Thermal conduc-

tivities of alloys 956.

red Schulze. Elektrische Leitfähigkeit von Legierungen 1747.

nzô Ôkubo. Electrical Conductivity of Molybdenite 1432.

llektrizitätsleitung in festen Körpern. Mark Rabinowitsch. Elektrische Leitfähigkeit des festen 2 H. PO. H. O

> Fritzmann. Elektrische fähigkeit komplexer Verbindungen des Platins und Palladiums mit organischen Monoseleniden 1140.

> C. Tubandt und Hermann Reinhold. Wirkung geringer Zusätze auf das elektrische Leitvermögen fester Salze

105.

Wilhelm Biltz und Wilhelm Klemm. Elektrolytische Leitfähigkeit geschmolzenen Scandiumchlorids 106.

Charles Moureu, Charles Dufraisse, Louis Tampier et Paul Gailliot. Pouvoir isolant des "gels d'acroléine" suivant le degré de condensation 1747.

M. Pirani und I. Runge. Elektrizitätsleitung in metallischen Aggregaten

1343.

rl Lichtenecker. Elektrischer Leitungswiderstand künstlicher und natürlicher Aggregate 1343.

Herbert Schönborn. Elektrische Leitfähigkeit Umwandlungsund punkte von Gläsern 1141.

L. L. Holladay. Resistivity of vitreous materials 1202.

Earle E. Schumacher. Correlation between crack development in glass while conducting electricity and the chemical composition of the glass 1657.

Karl Willy Wagner. Physikalischer Vorgang beim elektrischen Durchschlag von festen Isolatoren 392.

Carl Lübben. Dielektrische Eigenschaften der Kabelpapiere 680.

A. Blondel. Abaque pour le calcul des constantes caractéristiques des lignes de transmission aérienne à haute tension 1710.

Carl Lübben. Anomales Verhalten des Dielektrikums von Kondensatoren bei Gleich- und Wechselstrom 680.

G. Breit. Transients of Magnetic Field in Supra-conductors 759.

Threshold current carried by a supraconducting wire 760.

E. Grüneisen und E. Goens. Messungen an Kristallen aus Zink und Cadmium 1110.

Friedrich von Rautenfeld. Elektrizitätsleitung in Kristallen 241.

Bernhard Gudden. Elektrizitätsleitung in kristallisierten Stoffen 1447.

Marya Kahanowicz. Proprietà elettriche dell'argento in rapporto 'alla cristallizzazione 103.

Otto Feussner. Veränderung des Temperaturkoeffizienten von reinem Platin bei mechanischer Beanspruchung 532.

Ernst Sedström. Physikalische Eigenschaften metallischer Mischkristalle

611

W. Kast. Anisotropie der flüssigen Kristalle bezüglich ihrer Dielektrizitätskonstanten u. ihrer elektrischen Leitfähigkeit 363.

Silvio Lussana. Influenza della pressione sulla conducibilita calorifica

ed elettrica dei metalli 69.

P. W. Bridgman. Compressibility and pressure coefficient of resistance of rhodium and iridium 758.

 Effect of tension on the thermal and electrical conductivity of metals 798.

W. Geiss und J. A. M. van Liempt.
Deutung der Kaltbearbeitung auf
Grund elektrischer Messungen 755.

F. C. Lea, V. A. Collins und E. A. F. Reeve. Der direkte Elastizitätsmodul kalt gezogener Metalle als Funktion der Anlaßtemperatur 219.

Charles H. Lees and J. E. Calthrop. Effect of Torsion on the Thermal and Electrical Conductivities of Metals 864.

J. E. Calthrop, Effects of torsion on the thermal and electrical conductivities of metals 1379.

H. A. Perkins. Influence d'une charge électrostatique sur la conductibilité métallique 28.

F. Wenner. Variation of metallic conductivity with electrostatic charge

1343.

E. Rupp. Leitfähigkeitsänderung der Phosphore durch Kathodenstrahlen 405.

L. Grebe. Elektrische Leitfähigkeit fester Dielektrika bei Bestrahlung mit Röntgenstrahlen 104.

A. C. Rankine. Relation between Illumination and Electrical Conductivity in Selenium 1202.

M. Levi. Photoelektrische Leitfähigkeit des Diamants und anderer fluoreszierender Kristalle 791.

B. Gudden und R. Pohl. Lichtelektrische Leitfähigkeit des Zinnobers 316

Arthur L. Schoen. Adaptation of the thalofide cell to the measurement of photographic densities 1235.

photographic densities 1235.
B. D. Saklatwalla and A. N. Anderson. Improvements in Ferro-Alloy Electric Furnaces of High Power Input 455.

Veränderung des Sophus Weber. Durch strömende 0 transportierte Energie 1311.

O. A. Hougen. Refractory for Instrial Plant Use 1393.

7.- Elektrizitätsleitung in Flüssigkei

P. Debye und E. Hückel. Theorie Elektrolyte 577.

E. Hückel. Theorie der Elektrolytel? Fritz Foerster. Elektrochemie wärriger Lösungen 16.

Kurt Peters. Bestätigung des Farad schen Gesetzes am Lithiumhydrid l

P. Debye. Osmotische Zustan gleichung und Aktivität verdünr starker Elektrolyte 1106.

E. Darmois. Concentration en i

hydrogène 1063.

H. Ley mit H. Diekmann. Wan rungsgeschwindigkeiten isomerer Ion 372.

- Hans Schmick. Theorie der anoma Beweglichkeit elektrolytischer Ion 1432.
- I. D. Götz und G. P. Pamfil. Diffus von Molekülen und Ionen in Lösung einer anderen Substanz die bewegungshemmende Wirkt dieser Lösung 1404.
- J. L. de Roos. Aantasting der A minium-Electrode van een elect lytischen gelijkrichter door alk metaal-ionen 996.

A. Gyemant. Theorie der Ion adsorption 1064.

Richard Lorenz und A. Lan Theorie der Ermittlung der Gr werte des molaren Leitvermög starker Elektrolyte 107.

C. Drucker. Grenzwerte des mola Leitvermögens starker Elektrol

835.

P. Walden. Berechnung der Gre werte des Äquivalentleitvermög 1748.

Duncan A. MacInnes and Ed Reynolds Smith. Moving bound method for determining transfere numbers 532.

Henry E. Armstrong. Electrol Conduction 175.

Max Wien. Gültigkeit des Ohmse Gesetzes für Elektrolyte bei a hohen Feldstärken 913, 1063.

Richard Lorenz und Hans Klau Leitfähigkeitsmessung durch l führung des Röhrenverstärkers l dolf Percy. elektrolytischen Zelle und Widerstand des darin befindlichen

Elektrolyten 611.

14

nry C. Parker. Calibration of cells for conductance measurements. Intercomparison of cell constants 174. Livingston R. Morgan and Olive M. Lammert. Design and use of conductance cells for non-aqueous solutions 174.

arles A. Kraus and Walter W. Lucasse. Resistance-temperature coefficient of concentrated solutions Resistance-temperature of potassium in liquid ammonia 834.

A. Yajnik and Bodh Raj Sobti. Molecular Conductivity of Potassium Iodide in Epichlorohydrin 836.

rl Fred Holmboe. Einfluß der CO2-Aufnahme auf die Leitfähigkeit des NaOH-Elektrolyten der offenen Wasserstoff-Sauerstoff-Erzeuger 834. Livingston R. Morgan and Olive M. Lammert. Electrical Conductance of Solutions of the Alkali Halides in Acetophenone 1204.

J. Allmand and L. Nickels. Conductivities of Aqueous Salt So-

lutions 835.

Walden und Herm. Ulich. fähigkeitsmessungen an verdünnten wässerigen Salzlösungen 108.

rt Arndt und Georg Ploetz. Elektrische Leitfähigkeit von geschmolzenem Atznatron 1748.

igo Fricke and Sterne Morse. Electric conductivity of suspensions

nry C. Parker and Elizabeth W. Parker. Specific conductance of certain tapossium chloride solutions 1750.

hn J. Dowling and Katharine M. Preston. On the Resistance of Electrolytes at High Frequencies 1496. Anisotropie der S. Ornstein.

flüssigen Kristalle bezüglich ihrer Dielektrizitätskonstanten und ihrer elektrischen Leitfähigkeit 1744.

thur Voigt und Wilhelm Biltz. Elektrolytisches Leitvermögen geschmolzener Chloride 1203.

art Arndt und Wilhelm Kalass. Leitfähigkeitsmessungen an Kryolith-Tonerde-Schmelzen 913.

Lorenz und Elisabeth Brehmer. Leitfähigkeitseigenschaften der Arsinsäuren 107.

ilhelm Biltz. Temperaturkoeffizient des elektrischen Leitvermögens 1203.

Gesamtwiderstand | G. Aliverti. Stato di contrazione dei depositi elettrolitici metallici 917.

Fritz Thorén. Elektrolytische Ausfällung von Nickel in disperser Form

Emile Cherbuliez. Détermination du degré de dissociation d'un électrolyte binaire par l'étude de sa conductibilité

Frederick H. Getman. Electrolytic dissociation of some salts in furfural

Heinrich Remy. Elektroendosmose und elektrolytische Wasserüberführung 371.

Thomas A. McLaughlin. Cataphoresis of air-bubbles in various

liquids 176.

Alfred Coehn. Haften und Größe elektrolytisch entwickelter Gasblasen

E. Linde. Zur Frage um die elektrolytische Dissoziation des Wassers in Šalzlösungen 374.

Paul B. Taylor. Drop electrode in

molten salt electrolyte 171.

Jaroslav Heyrovsky. Electrolysis with a Dropping Mercury Cathode. Deposition of Alkali and Alkaline Earth Metals 533.

C. Drucker und G. Riethof. Konstitution stark. Elektrolyte. I. Kaliumchlorid, Natriumchlorid, Lithium-chlorid und Chlorwasserstoff 1567.

J. A. V. Butler. Solubility of strong

electrolytes 1468.

O. Schärer. Theorie der Löslichkeitsbeeinflussung bei starken Elektrolyten 1467.

Henry J. S. Sand. Anomaly of Strong Electrolytes 174.

Bohdan Szyszkowski. Dilution law for uni-univalent salts 1064.

J. Precht und W. Eckenberg. Elektrolyse mit Wechselstrom 918.

V. Rothmund. Einfluß der Anionen auf die Passivierbarkeit der Metalle 1433.

C. F. Holmboe. Einfluß des elektrolytischen Kurzschlußeffektes auf die Passivität der Eisenelektroden 835. Liebreich und Wiederholt. Zu-

sammenhang zwischen Passivität und Uberspannung 1434.

Samuel Glasstone. The Influence of Intermittent Current on Overvoltage 175.

Measurement of Overvoltage 1749.

-- Overvoltage Study of the Lead Electrode 1434.

Henry Julius Salomon Sand and Hans Schmick. Over-Edward Joseph Weeks. voltage Measurement 1435.

S. J. Bircher and William D. Har-Effect of pressure on over- G. Grube und F. Pfunder. Elek kins.

voltage 836.

A. Thiel und W. Hammerschmidt. Zusammenhang zwischen der Überspannung des Wasserstoffs an reinen Metallen und gewissen Eigenschaften der Metalle 915.

N. Isgarischew und D. Stepanow. Der Einfluß der Fluoride auf die

Überspannung 1204.

Irving Wolff. Polarization capacity of electrolytes 175.

J. E. Verschaffelt. Polarisation der Elektroden 760.

C. B. Jolliffe. Polarization capacity and resistance at radio frequencies 374.

G. Grube und H. Metzger. Anodisches Verhalten des Mangans in Alkalilauge

P. Debye und E. Hückel. Kataphoretische Wanderungsgeschwindigkeit suspendierter Teilchen 1406.

Melvin Mooney. Variations in the cataphoretic mobilities of oil drops

in water 1405.

Berechnung von Ludwig Ebert. Aktivitäts - Koeffizienten einfacher Ionen 1106.

Ionisation produite par l'hydratation du sulfate de quinine 28.

Robert Kremann, Hugo Ortner und Rudolf Markl. Die Elektrolyse von Sb-Zn-Legierungen 441.

- und Aribert Brodar. Elektrolyse von Blei-Wismut-Legierungen 913.

-, Robert Kienzlund Rudolf Markl. Die Elektrolyse von Blei-Cadmiumbzw. Blei-Natrium-Legierungen 441.

-, Richard Müller und Hubert Kienzl. Die Elektrolyse von Quecksilber-Natrium-Legierungen 442.

- und Hugo Ortner. Die Elektrolyse von Legierungen des Quecksilbers mit Kalium, Calcium und Cadmium 442.

Kotaro Oyabu. Elektrolytische Abscheidung des Chroms 837.

Anton Kleffner. Periodische Erscheinungen bei der Elektrolyse von Chromsäure 837.

J. Erik Liebreich. Periodische Erscheinungen bei der Elektrolyse von Chromsäure 1204.

Otto Haehnel. Löslichkeit des Calciumcarbonats in kohlensäurehaltigem Wasser 1750.

Theorie der Di flüssigkeiten 680.

Kurt Arndt und Hans Prol

Anodeneffekt 914.

lytische Darstellung der Alkalichlor an Anoden aus Eisenoxyduloxyd: Kathoden Günther-Schulze.

der Glimmentladung und die Ablarbeit der Elektronen an Elektro

kathoden 1282.

V. Kohlschütter. Ultramikroskopis Elektrodenvorgänge 1344.

R. D. Kleeman and D. T. Simon Effects obtained with an alternat current sent through a capill electrometer 96.

Ernst Möller. Elektrische Kurzschl

figuren 613.

V. Drysdale. Distribution of Magnetic Field and Return Curr round a Submarine Cable carry Alternating Current 1444.

S. Butterworth. Distribution of Magnetic Field and Return Curr round a Submarine Cable carry

Alternating Current 1444.

8. Elektrizitätsleitung in Gasen.

Elektrizitätsdurchg Seeliger. durch Gase 375.

N. N. Ssemenoffund W. M. Kudrja zewa. Räumliche Potentialverteil beim Stromdurchgang durch Gaset F Elektrodenlose

Mierdel. ladungen 1756.

S. Karrer, C. S. Fazel and B.V. Cass Electrical conductivity of active trogen 1205.

Friedrich August Henglein. K stanz der elektrischen Leitfähigkeit chemischen Vorgängen in Gasen 13

A. Pontremoli. Conducibilità elett delle fiamme contenenti sali alca 1207.

Ernst Albers-Schönberg. Leitfäl keit im stark komprimierten Gase!

W. Hiller und E. Regener. Funk verzögerung 1142.

Irving Langmuir and Katharine Currents limited Blodgett. space charge between concen spheres 1658.

Thornton C. Fry. Potential dis bution between parallel plane e

trodes 379.

Angelika Székély. Art des Elek zitätsüberganges zwischen Metal die sich lose berühren 838.

Schälchlin. Elektrischer Übergangs- Irving Langmuir and H. A. Jones. widerstand von Kontakten 1286.

ax Trautz und Friedrich August Henglein. Die Konstanz der elektrischen Leitfähigkeit bei chemischen Vorgängen in Gasen 1142.

Ll. Hughes. Ionization, Excitation, E. and Dissociation of Gases 1568. ving Langmuir and H. A. Jones.

Mechanism of ionization in gases 1568. W. Dushman and C. G. Found. Studies with the ionization gauge 1568. G. Found and S. Dushman. H. D. Smyth. Ionisation of Nitrogen by Studies with ionization gauge 1569. rhard C. Schmidt und Roland Walter. Elektrizitätsleitung von Salzdämpfen 242.

ving Langmuir. Pressure Effect and Other Phenomena in Gaseous Di-

charges 615.

hn J. Dowling and J. T. Harris. Vibrating-flame rectifier for hightension currents 631.

Gutton, S. K. Nitra et V. Ylostalö. Décharge à haute fréquence dans les gaz raréfiés 375.

Scarica nei gas Pontremoli.

rarefatti 996.

Günther-Schulze. Normalgradient von Gasen und Gasgemischen bei der selbständigen Entladung 760.

Rudy. Potentiel disruptif et la loi de

Paschen 242.

E. Guye. Rôle du champ moléculaire dans la décharge disruptive 379. Dubois. Potentiel disruptif dans les

gaz raréfiés 535.

Hammershaimb et P. Mercier. Influence de la forme des électrodes et de la pression du gaz sur le potentiel disruptif 108.

Influence des rayons X dans l'étude de la décharge disruptive 380.

E. Guye et R. Rudy. Rotation de la décharge électrique dans un champ magnétique et la détermination des diamètres moléculaires 178.

Entraînement du gaz dans la rotation électromagnétique de la décharge

électrique 1286.

Röhrenvoltmeter und Schottky. Geschwindigkeitsver-Maxwellsche teilung 1657.

Semenoff. Messungen von Resonanz- und Ionisationsspannungen

arles B. Bazzoni. Ionization and

resonance phenomena 680.

Albert Noyes, jr. Ionization and resonance Potentials 243.

Method for quantitative studies of ionization phenomena in gases 1283.

Immanuel Strohhäcker. ladungsspannungen in Wasserdampf

1660.

Schweidler. Charakteristik des Stromes in schwach ionisierten Gasen

Schlenck. Charakteristik des Stromes in schwach ionisierten Gasen

Electron Impact 445.

A. Ross. Critical potentials of thorium M series lines 309, 401.

O. Gossmann. Emission von positiven Ionen durch heiße Salze 838.

Kondratjeff und N. Semenoff. Ionisation von Salzdämpfen 838.

Henry A. Erikson. Isolation of the initial and final positive air ions 765. H. D. Smyth. Method for Studying

Ionising Potentials 444.

Lydia Inge und Alexander Walther. Methodik der Messungen der kritischen

Spannungen 1753. Erich Rumpf. Ionisation in der Geissler-

entladung 446.

C. A. Mackay. Ionizing Potentials of Helium and some Multiatomic Gases

G. Hertz. Anregungs- und Ionisierungsspannungen von Neon und Argon und ihr Zusammenhang mit den Spektren dieser Gase 177.

A. G. Shenstone. Ionisation Potentials of Copper and Silver 444.

W. Albert Noyes, jr. Luminous discharge in bromine. Determination of the ionization potential of bromine

M. A. Tuve. Impact ionization by low

speed positive ions 766. Ll. Hughes and Elias Klein. Ionizing efficiency of electrons at different energies of impact

H. D. Smyth. Ionization of hydrogen by electron impact 999.

J. S. Townsend. Ionization by Collision 446.

- and T. L. R. Ayres. Ionization by Collision in Helium 997.

Wm. M. Young. Mobility of the ions in the corona discharge 765.

Energieverbrauch bei der L. Grebe. Ionisation der Luft durch Röntgenstrahlen verschiedener Wellenlängen 1365.

versalen Magnetfelde 1344.

A. Pontremoli. Effetto del campo magnetico sulla scarica dei gas rarefatti 1751.

Influenza della Lavoro Amaduzzi. variazione di temperatura nel processo di scarica in gas rarefatto 1752.

Ernst Zachmann. Elektrische Leitfähigkeit metalldampfhaltiger Flammen 1752.

F. W. Aston. On the Velocity of the Positive Ions in the Crookes Dark Space 683.

H. P. Waran. Disintegration in Dis-

charge Tubes 683. Henry A. Erikson. Mobility in air of ions produced in carbon dioxide 1206.

K. Brewer und Farrington Daniels. Bildung von Gasionen bei der Oxydation von Stickoxyd 448.

A. J. Saxton. Impact Ionization by Low-Speed Positive H-Ions in hydrogen 766.

John T. Tate. Spectroscopic evidence of impact ionization by positive ions

in mercury vapor 998. H. W. J. Dik and P. Zeeman. Relation between the Spectra of Ionized Potassium and Argon 708.

Kegerreis. Measurement of ionization currents 1065.

Paul Knipping. Registrierapparat zur automatischen Aufnahme von Ioni-

sierungs- und anderen Kurven 169. Leonard B. Loeb. Effect of the Gauze in the Franck modification of the Rutherford alternating current method for measuring ionic mobilities 680.

H. B. Gough. Solomon's Ionometer 993. C. B. Bazzoni and J. T. Lay. Intensity relations in the helium arc in the neighborhood of the ionization point 1284.

Fabian M. Kannenstine. Life of Metastable Helium 1284.

Melander. Origine commune de toutes les décharges électriques dans l'atmosphère 1437.

Fr. Kaftan. Elektrodynamik der Vorgänge in der Atmosphäre 1065.

James F. Mackell. Influence of the earth's potential-gradient upon measurements of the mean ionic density of the atmosphere by the Ebert ioncounter 1067.

W. F. G. Swann. Theory of the action of the earth's potential-gradient in measurements with the Ebert ioncounter 1067.

M. Wehrli. Funkenpotentiale im trans- | C. W. Lutz. Messung des luftelektrisch Potentialgefälles 534.

S. J. Mauchly. Apparatus for record the electric potential of the air 10 Diurnal variation of the poten

gradient of atmospheric electricity Fernando Sanford. Simultane

diurnal variation of the elect potential of the earth and the air 12 G. Angenheister. Wirkung des Rege

auf die Registrierung des Potent gefälles der Atmosphäre 1438.

K. Kähler. Schwankung der elektrisch Raumladung in der Atmosphäre 10 Meßmethoden der atmosphärisch

Elektrizität 170.

Louis A. Bauer. Solar Activity a Atmospheric Electricity 30.

C. Chree. Solar Activity and Atr spheric Electricity 31.

Louis A. Bauer. Relation between Solar Activity and Atmospheric El tricity 179.

Constitution of the Up L. Vegard. Strata of the Atmosphere 200.

Nordlichtspektrum und Konstitut der oberen Atmosphärenschicht 12

Light emitted from solid Nitrog when bombarded with Cathode Ra and its bearing on the Auroral Sp trum 1663.

Constitution des couches supérieu de l'atmosphère 1788.

Ionisation unserer Atr A. Gockel. sphäre und Sonnentätigkeit 1066.

Walter Schlenck. Elektrische L fähigkeit der Luft in einem Kel raume 1067.

C. Chree and R. E. Watson. Atr spheric Pollution and Potential G dient at Kew Observatory 12

G. Angenheister. Luftelektrische Be achtungen am Samoa-Observatori 1437.

D. Coster. Botsingen van de twe soort 1143.

G. Holst en E. Oosterhuis. La spanningsboog 1143.

F. Sundell. Elektriska gnist ledningsmotstånd 380.

M. F. Skinker and J. V. Whi Motion of Electrons in Carl Monoxide, Nitrous Oxide, and Ni

Oxide 1758. Williamson. Analysis of sonance curves observed in potassi vapor 1758.

O. S. Duffendack and K. T. Compt Dissociation of hydrogen and nitro by excited mercury atoms 1758.

Miethe. atoms 1730.

Haber. Zerfall des Quecksilberatoms 1731.

T. Compton. Motions of electrons in gases 1759.

ank Horton and Ann Catherine Davies. Production of Radiation and Ionization by Electron Bombardment in Pure and in Impure Helium 1759.

T. Compton. Properties of Resonance Radiation and Excited Atoms 1789.

onard B. Loeb. Effect of variable electron mobilities on the formation of negative ions in air 1760.

onhard Heis. Theorie des Elektronenstromes bei der Stoßionisation

Greinacher. Ionen und Elektronen 1761.

B. Loeb and F. M. Ashley. Mobility of gas ions in mixtures of NH₃ and air 1761.

Gas Ion Mobilities and their Independence of the Nature of the Ion

J. Nolan. Constitution of gaseous ions 1762.

A. Macklay. Measurements of the ionization potentials of multiatomic gases 1762.

S. Townsend. Ionization by Collision in Helium 1762.

A. Wilson. Theory of thermionics 1762.

W. Richardson. Thermionic emission from systems with multiple thresholds 1763.

v. Laue. Theorie der von glühenden Metallen ausgesandten positiven Ionen und Elektronen 1497.

u. Nikhilranjan Sen. Berechnung Potentialabfalles in den von glühenden ausgesandten Metallen Ionen und Elektronengasen 1763.

Law and resh Chandra Roy. Mechanism of the Emission of Electrons from Hot Bodies 762.

Thermodynamics of Davisson. Thermionic Emission 761, 762.

Relation between thermionic emission and contact difference of potential 762.

ul Dushman. Electron emission from metals as a function of temperature 764.

Zerfall des Quecksilber- O. W. Richardson. Electron emission from metals as a function of temperature 763.

A. T. Waterman. Variation of thermionic emission with temperature and the concentration of the free electrons within conductors 764.

A. Pontremoli. Emissione termoionica 1436.

Hans von Helms. Einfluß der Elektronenemission auf die Temperaturverteilung in glühenden Wolframdrähten 685.

Robert W. King. Thermionic vacuum tubes and their applications 1436.

Harold H. Potter. Distribution of Velocities among the Electrons emitted by Hot Platinum in an Atmosphere of Hydrogen 447.

Thornton C. Fry. Thermionic current between parallel plane electrodes; velocities of emission distributed according to Maxwell's law 377.

W. A. Jenkins. Emission of Positive Ions from Hot Tungsten 1660.

Effect of space Irving Langmuir. charge and initial velocities on the potential distribution and thermionic current between parallel plane electrodes 378.

J. F. Congdon. Kinetic Energy of Electrons emitted from a Hot Tungsten Filament in an Atmosphere of Argon and Hydrogen 765.

R. N. Chaudhuri. Motion of Electrons in Hydrogen under the action of Crossed Electric and Magnetic Fields

Transformation of Elec-J. A. Gray. tronic into Electro-Magnetic Fnergy

Ragnar Holm. Theorie des Glimmstromes 28.

Heinrich Rudolph. Erzeugung zeitlich gleichmäßig sich verändernder Spannungen mit der Neon-Glimmröhre 1572.

William P. Jesse. Relative ionization in different gases for slow-moving

electrons 765.

Positive ion Langmuir. currents from the positive column of mercury arcs 380. John A. Eldridge.

Probability of inelastic collision of electrons in mercury vapor 1436.

Irving Langmuir. Electron emission from thoriated tungsten filaments 1661.

Eugen Badareu. Durch Kationen- A. stöße aus Platin ausgelöste Elektronenströme im Hochvakuum 1662.

E. W. B. Gill. Emission of Secondary Electrons from Metals under Elec-

tronic Bombardment 178.

Effect of Angle of John T. Tate. Incidence on the Reflection and Secondary Emission of Slow Moving Electrons from Platinum 685.

A. L. Klein. Effect of caesium vapor on the secondary emission from a

nickel surface 1663.

I. Garnett Barber. Secondary electron emission from copper surfaces 684.

K. H. Kingdon and Irving Langmuir. Electron emission from caesiumcovered filaments 764.

John S. Townsend. Velocity of

Electrons in Gases 445.

Frank Horton and Ann Catherine Davies. Critical Electron Energies in Hydrogen 681.

O. S. Duffendack and D. C. Duncan. Excitation of the spectra of nitrogen by electron impacts 999.

Leonard B. Loeb. Mobilities of electrons in air 379.

- Absolute mobilities of negative ions in air 379.

K. H. Kingdon. Method for the neutralization of electron space charge by positive ionization at very low gas pressures 1570.

J. S. Townsend and V. A. Bailey. Motion of Electrons in Argon and

in Hydrogen 445.

 Motion of Electrons in Helium 177. G. Hertz. Mean Free Path of Slow Electrons in Neon and Argon 442.

Anregungs- und Ionisierungsspannung

von Neon und Argon 443.

R. Minkowski. Freie Weglänge langsamer Elektronen in Hg- und Cd-Dampf 92.

M. F. Skinker. Motion of Electrons in

Carbon Dioxide 1757.

H. Sponer. Freie Weglängen langsamer Elektronen in Edelgasen 91.

Friedrich Hund. Deutung der großen Durchlässigkeit einiger Edelgase für sehr langsame Elektronen 432, 1047.

Lewis Simons. Low-velocity X-ray Electrons 109.

Albert W. Hull. Paths of electrons in the magnetron 1285.

Friedrich Hund. Theoretische Betrachtungen über die Ablenkung von freien langsamen Elektronen Atomen 432.

Stromdiel Günther-Schulze. des normalen Kathodenfalles 375.

S. Pienkowski. Gradient of Potent near Electrodes 110.

J. W. Ryde. Theory of the Abnorn Cathode Fall 684.

A. Günther-Schulze. Berechnung d normalen Kathodenfalles in Ga gemischen 534.

Physikalische Vorgänge im Quec silberdampfgleichrichter 534, 577.

 Kathodenfall, Ionisierungsspannus und Atomgewicht 918.

C. J. Lapp. Trace left by a helical bea of electrons on a plane perpendicul to its axis 1283.

Irving Langmuir. Positive 1 Currents in the Positive Column the Mercury Arc 1206.

R. Seeliger und J. Schmekel. No male kathodische Stromdichte o Glimmentladung 683.

A. Günther-Schulze. Energiev teilung an der Kathode der Glim entladung 1065.

R. Seeliger. Energieverteilung an o Kathode der Glimmentladung 1'

A. Günther-Schulze. Kathodenf der Glimmentladung und die A lösearbeit der Elektronen an Elekt lytkathoden 1282.

Normaler Kathodenfall der Glim entladung und Ablösearbeit der Ele

tronen 1205.

Wirkung eines transversalen Magne feldes an der Kathode der Glim entladung 1205. Research Staff of the General Electric (

Theory of the abnormal cathode f

1752.

E. Goldstein. Dunkelraum an d Kathode induzierter Entladungen 9:

W. Schottky. Diffusionsvorgänge der positiven Säule 1754.

Wandströme und Theorie der po tiven Säule 1754.

Hanns Jung. E entladung 1755. Elektrodenlose Rir

E. Podszus. Der positive Krater I

A. Rüttenauer. Kathodentemperat in der Glimmentladung der Edelge 292.

Enoch Karrer and A. Poritsk Distribution of luminosity through a potential cycle for a neon gl discharge lamp 1284.

Robert J. Piersol. Pressure between cathode and anode in discharge to

1206.

T. Compton and T. E. Foulke. Georges Déjardin. Origin of Ions in the Unsustained Glow Discharge 1206.

Seeliger und G. Sommer. Hy- L. Dunoyer. Excitation des spectres steresis der Glimmentladungs-

charakteristik 1207.

artin Rössiger. Austrittsgeschwindigkeiten von Glühelektronen aus Erdalkalioxyden 242. inther-Schulze. Chemische Reaktionen in der Glimmentladung 1498. Schottky und J. von Issendorff. Wärmewirkung kathodischer Gehäuseströme in Quecksilberentladungen 1499.

Glimmlichter 379.

Günther-Schulze. Gesetze der

Glimmentladung 376.

V. Appleton and A. G. D. West. Ionic Oscillations in the Striated Glow Discharge 536.

erner Braunbek. Kraft und Feld an der Kathode einer elektrischen

Glimmentladung 613.

Normaler Ka-Günther-Schulze. thodenfall an Graphit in Gasgemischen 176.

alter Kramer. Gleichrichtwirkung des elektrostatischen Relais 1663.

inther-Schulze. Elektrische Ventile und Gleichrichter 777, 1741.

dolf Lindemann. Verwendung der Glimmlampe im Unterricht 111.

ig. Hagenbach. Der elektrische Lichtbogen 685.

C. Duffield. Mechanism of the

Electric Arc 536.

ul S. Epstein. Theory of the electric arc 1756.

Hertz. Lichtopwekking door elec-

tronenbotsing 292.

Stoßleuchten, Wieder-Seeliger. vereinigungsleuchten und Anregungsfunktion 1229.

D. Power. Resonance radiation from cadmium vapor 999.

Hertz. Anregung von Spektrallinien durch Elektronenstoß 997.

Udden and J. C. Jacobsen. Excitation of the helium spectrum by electronic bombardment 1455.

hn A. Eldridge. Excitation function of the mercury spectrum 998.

Webb arold W. and Lucy J. Metastable state in mer-Hayner. cury vapor 998.

Seeliger und M. Wendt. Anregung der Wasserstoffspektren durch Elektronenstoß 1229.

Excitation des spectres de l'argon, du krypton et du xénon 1455.

du mercure et de l'hélium par des électrons de faible vitesse 195.

Verteilung der H. Kopfermann. Sensibilisierte Fluoreszenz von Blei- und Wismutdampf 999.

> Irving Langmuir. Mechanism of the positive column of the mercury arc

> Sellerio. Esperienze sull' arco elettrico a mercurio con un catodo forato 381.

Seeliger und G. Mierdel. Mehrfache Lucy J. Hayner. Mercury are lines after removal of the exciting potential 997.

> Milton Marshall. Metastable states in low voltage mercury arcs 1757.

> M. Scott. Striking potential in the low-voltage mercury arc 536.

> R. Bär, M. v. Laue und Edgar Meyer. Niedervoltiger Lichtbogen in Helium

> L. L. Lockrow. Low voltage arc in oxygen 1285.

> K. T. Compton and Carl Eckart. Theory of normal and abnormal low voltage arcs 1438.

B. Bazzoni and J. T. Lay. 23 Volt arc in Helium 1757.

Carl H. Eckart and K. T. Compton. Oscillations in the low voltage helium arc 1571.

- Abnormal low voltage arc 1659.

Karl T. Compton and Carl H. Eckart. Explanation of Abnormal Low Voltage Arcs 1660.

Tungsten arc under G. P. Luckey. pressure 29.

K. T. Compton and O. S. Duffendack. Dissociation of hydrogen and nitrogen by mercury atoms excited in an arc 1284.

F. H. Newman. Potential Gradient in the Sodium-Potassium Vapour Arc Lamp 1285.

Rare Gas Discharge W. Ryde. Lamps 537.

Hagenbach und M. Wehrli. Sondenmessungen am Lichtbogen mit Hochfrequenzströmen 1497.

Existenz des Licht-Helge Stolt. bogens bei nicht glühender Kathode 1757.

Henry Cardot et Henri Laugier. Eclairage des lampes à vide par friction 1285. •

A. Salb. Demonstration der Ladungen von Metalldämpfen im Lichtbogen Determination of "e" from me 111.

Hagenbach und M. Wehrli. Wechselstrommessungen am Licht-

bogen 381.

L. Hamburger. Centres of Luminescence and Variations of the Gas Pressure in Spectrum Tubes at Electrical Discharges 465.

Farrington Daniels, Paul Keene und P. D. V. Manning. Wärmeverluste und chemische Wirkung bei Hochspannungs-Hochfrequenzentladungen in Luft 448.

R. W. Wood. Spontaneous Incandescence of Substances in Atomic

Hydrogen Gas 535.

R. Jaeger. Röntgen-Dosisuhr (Dosis-

zähler) 117, 702.

Lord Rayleigh. Spectrum of Active Nitrogen as Affected by Admixture of the Inert Gases. Origin of the Cyanogen 536.

P. Zeeman und H. W. J. Dik. Beziehung zwischen den Spektren des ionisierten Kaliums und des Argons

- P. Ehrenfest and N. Bohr. Difference between Series Spectra of Isotopes
- M. A. Catalán. Grundzustand der Atome 511.

Gustav Mie. Abklingungszeit und Verweilzeit angeregter Atome 510.

A. R. Olson and George Glockler. Critical and dissociation potentials of hydrogen 681.

P. S. Olmstead and K. T. Compton. Radiation potentials of atomic hy-

drogen 682.

B. Bazzoni and A. T. Waldie. Impact effects in nitrogen and nitric oxide 682.

N. R. Campbell. Disappearance of Gas in the Electric Discharge 684.

and J. W. H. Ryde. Disappearance of Gas in the Electric Discharge 1570.

and E. G. New. Disappearance of Gas in the Electric Discharge 1753.

Hubert Thein. Gasreinigung durch Elektrizität 1208.

Hans Becker. Graphische Darstellung der Ausbeute und Konzentration bei Ozonapparaten 29.

J. S. Townsend and S. P. McCallum. Electrical Properties of Helium 1435.

R. Minkowski und H. Sponer. Durchgang von Elektronen durch Atome 1751.

- surements of the Schrott-effect 163
- D. B. Deodhar. Leuchten der Vakuur röhren in der Nähe eines Funke induktors 1756.

Lavoro Amaduzzi. Particolare mar festazione di scintille continua 175

Helge Stolt. Rotation des elektrisch Lichtbogens bei Atmosphärendru 1208.

9. Elektrische Korpuskularstrahlun Kathoden- und Kanalstrahlen. α - und β -Strahlen.

Erzeugung von Röntgenstrahlen.

G. Nordström. Kanonische Bewegung gleichungen des Elektrons in eine beliebigen elektromagnetischen Fel 767.

Arthur Gebbert. Untersuchung ein Elektronenrelais auf Grund elektr statischer Ablenkung des Elektrone bündels durch ein Querfeld 29

Mlle St. Maracineanu. Méthode mesure pour un fort rayonnement 68

- Akustische Beo Greinacher. achtung und galvanometrische R gistrierung von Elementarstrahlen Einzelionen 1345.
- Werner Kolhörster und Gubert Salis. Intensitäts- und Richtung der durchdringend messungen Strahlung 246.

Anton Kailan. Chemische Wirkung durchdringenden Radiu Abhängigkeit vom a strahlung. sorbierten Strahlenanteil 383.

Russell M. Otis. Variation of per trating radiation with altitude 24

A. Millikan and I. S. Bowe Penetrating radiation at high altitud

Russell M. Otis. Penetrating radiati on Mt. Whitney 245.

Joseph G. Brown. Electromet variations and penetrating radiati

Russell M. Otis and R. A. Millika Source of the penetrating radiati found in the earth's atmosphere 16

S. R. Milner. Does an Accelerat Electron necessarily radiate Ener on the Classical Theory? 767.

A. Schott. Does an Accelerat Electron necessarily radiate Ener on the Classical Theory? 767.

J. F. Fruth. Variation with pressure E. Rupp. Leitfähigkeitsänderung der of the residual ionization of gases 293. nst Albers-Schönberg. Leitfähigkeit im stark komprimierten Gase Hans Gerdien und Hans Riegger. 996.

H. Kingdon. Method for studying the ionization of the less volatile metals 1440.

rhard Kirsch. Abnorm große Einzelionisationsstöße 1641.

Kähler. Meßmethoden der atmosphärischen Elektrizität 170.

uis A. Bauer. Relation between Molar Activity and Atmospheric Electricity 179.

Struktur des Nordlichtes Vegard. und die Art der kosmischen Strahlen

111.

Constitution of the Upper Strata of

the Atmosphere 200.

Nordlysets spektrum og atmosfaerens høieste lag 383.

Nordlichtspektrum und Konstitution der oberen Atmosphärenschicht 1224. Constitution des couches supérieures de l'atmosphère 1788.

rold D. Babcock. Study of the green auroral line with the inter-

ferometer 243.

rmann Bongards. Welche Art korpuskularer Strahlung ist als Ursache des Polarlichtes anzusehen? 1068. Chapman. Auroral Observations 1345.

Gockel. Ionisation unserer Atmosphäre und Sonnentätigkeit 1066.

tz Kirchner. Direkte Messung der Geschwindigkeit von Kathodenstrahlen 1665.

B. Wood. Cathode Ray Oscillograph

366.

Webb. Low Voltage Cathode Ray Oscillograph 366.

no Kolbe. Beobachtungen an der Crookesschen Schattenkreuz - Röhre

1440. Aulenkamp. Normaler Kathodenfall and lichtelektrische Empfindlichkeit einiger Metallsulfide und Metalloxyde 316.

Schaufelberger. Normales Ka-

thodengefälle in Luft 448.

Janss. Versuche mit der einfachen Kathodenstrahlenröhre 383.

Loss of velocity of M. Terrill.

eathode rays in matter 243. Durchgang korpuskularer Bothe. Strahlen durch Materie und Kontitution der Atome 382.

Phosphore durch Kathodenstrahlen

Kathodenstrahlofen 72.

W. F. G. Swann. Absence of Ionization by Electrons with Speeds comparable with that of Light 1764.

P. M. S. Blackett. Angular Momentum and Electron Impact 1486.

Hertz. Bohrsche Theorie und Elektronenstoß 651.

G. v. Hevesy. Bohrsche Theorie und

Radioaktivität 420.

Worth H. Rodebush. Application of the third law of thermodynamics to electron emission 1439.

H. E. Farnsworth. Electronic bom-

bardment of metals 1765.

Electronic bombardment of copper 766.

F. Horton and A. C. Davies. Emission of Secondary Electrons from Metals under Electronic Bombardment 1000.

K. H. Kingdon. Electron emission from composite surfaces 1439.

W. Seitz. Asymmetrie der Elektronenemission an sehr dünnen Metallschichten unter der Einwirkung von Röntgenstrahlen 1211.

Otto Stuhlman, jr. Minimum velocity of impact to produce secondary electron emission from tungsten 1000.

Robert B. Brode. Mean free path of slow electrons in nitrogen, methane, helium, and argon 1209.

Joseph A. Becker. Velocity distribution of secondary electrons 1210.

Ernest Rutherford. Capture and loss of electrons by α particles 295.

Bergen Davis. Capture of Electrons by Swiftly Moving Alpha Particles 355. Wilhelm Peter Radt. Bremsung

bewegter Ladungen beim Überfliegen leitender Körper 180.

Davisson and C. H. Kunsman. Scattering of low speed electrons by platinum and magnesium 243.

A. Goetz. Glühelektrische Elektronen-Umwandlungs und emission bei

Schmelzpunkten 173.

Franz Rother und Karl Lauch. Herstellung reinster, undurchsichtiger Metallschichten durch Kathodenzerstäubung und deren optische Konstanten 927.

P. Kapitza. A Particle Tracks in a

Magnetic Field 294.

C. Davisson. Scattering of electrons by a positive nucleus of limited field 768.

Motion of a neutral S. Chapman. ionised stream in the earth's magnetic field 1068.

Robert A. Millikan and Carl F. Ey-Pulling of electrons out of ring. metals by intense electrical fields 1210.

F. W. Aston. Determinations of the Constitution of the Elements by the Method of Accelerated Anode Rays 159.

W. Wien. Kanalstrahlen 449.

Goldstein. Magnetkanalstrahlen und Isolator-Entladungen 180.

H. Baerwald. Umladungsmechanismus im Kanalstrahl 1209.

A. J. Dempster. Duration of light emission by hydrogen canal rays 201.

Jakobson. Photographische Wirkung der Kanalstrahlen 769.

H. Rausch von Traubenberg. larisationserscheinungen von Kanal- Ernest Rutherford. The Life Histostrahlenlicht im Magnetfelde 790. of an α-Particle 31.

R. v. Hirsch. Einwirkung des Magnet- S. feldes auf die Polarisation des Kanalstrahlenlichtes 1499.

Hermann Krefft. Dopplereffekt an Kanalstrahlen von Wasserstoff, Sauerstoff und Stickstoff 1664.

- Dopplereffekt von Bogen- u. Funkenlinien 1665.

Max Morand. Phénomène d'émission de rayons positifs 1143.

L. Myssowsky. Zusammenhang zwischen den Energien der a-Teilchen und den Atomnummern der Elemente

Rolle der Sekundär-Salinger. strahlung in Elektronenröhren 919.

Becker. Präzisionsmessung der Radiumemanation 747.

Frank E. E. Germann. method for radium 1211.

Irène Curie. Distribution de longueur des rayons α 1345.

Gerhard Kirsch und Hans Petters-Long-range Particles from

Radium-active Deposit 33, 244.
L. F. Bates and J. Stanley Rogers.
Long-range Particles from Radiumactive Deposit 33.

Hans Pettersson. Long-range Particles from Radium-active Deposit243.

L. F. Bates and J. Stanley Rogers. Long Range a-Particles 537.

- Particles of Long Range Emitted C. by the Active Deposits of Radium, Thorium and Actinium 1346.

Dagmar Pettersson. Partikeln großer Reichweite aus radioaktivem Niederschlag 1346.

Erich Marx und Lothar Wolf. Is lierung radioaktiver Substanzendur Rückstoß 159.

L. B. Loeb. Recoil of Alpha Partic from Light Atoms 1766.

Karl Przibram und Elisabeth Kar Michailova. Radiolumineszenz u Radio-Photolumineszenz 771.

R. H. Fowler. Theory of the Motion a-particles through matter 295.

P. M. S. Blackett. Natural Curvatu of a-Ray Tracks 294.

P. L. Kapitza. Loss of Energy of α Ray Beam in its Passage throu Matter 769.

Bremsung der a-Strahl K. Philipp. in Flüssigkeiten und Dämpfen

E. S. Bieler. Effect of deviations from the inverse square law on the scat ring of a-particles 1345.

C. Lind and D. C. Bardwe Determination by a chemical meth of the mean effective path of alp particles in small spheres 1000.

D. C. Bardwell and H. A. Doern Characteristics of the alpha-ray by 10

as a source of ionization 10 D. M. Bose and S. K. Ghosh. Trac of a-Particles in Helium 383. H. Geiger und A. Werner. Zählu

von a-Strahlen 1210.

Victor F. Hess und Robert W. La Zahl der von Radium a gesendeten a-Teilchen 1287.

Number of Alpha-Particles emit by Radium 1499.

Irène Curie. Mesure des fortes io

sations dues aux rayons a 9 Emanation E. Rüchardt. Zusammenhang zwisch Kernneutralisierung und Sekund strahlung bei den a-Strahlen v Kanalstrahlen 616.

Jessie A. Rodman. Effect of tempe ture on the luminosity of radi

compounds 1366.

Elisabeth Kara - Michailova Hans Pettersson. Helligkeit Szintillationen von H- und a-Partikeln 1346.

V. Douglas. Absorption uneffektiver Weg von β -Strahlen Radium E 686.

T. R. Wilson. Investigation β -Rays by the Cloud Method 770, 8

D. R. Hartree. Correction for N Uniformity of Field in Experime on the Magnetic Deflection of β R 770.

A. Grav. B-Strahlen 686.

rre Auger. Rayons & secondaires produits dans un gaz par des rayons X

296, 1347, 1665.

R. Clarke. Fluorescence and Coloration of Glass produced by β-rays

e Meitner. β-Strahlenspektrum von

UX₁ und seine Deutung 450. Mögliche Deutung des kontinuierlichen β -Strahlenspektrums 450.

D. Ellis and H. W. B. Skinner. Absolute Energies of the Groups in Magnetic β-Ray Spectra 1441.

- Re-investigation of the β-Ray Spectrum of Radium B and Radium C

1441.

- The Interpretation of Spectra 1442.

Interpretation of β -ray and γ -ray spectra 1766.

W. Bubb. Direction of β -rays Produced by Polarised X-rays 921. e Meitner. Folgerung aus dem Comptoneffekt und ihre Bestätigung

Zusammenhang zwischen β- und γ-

Strahlen 1766.

gmar Pettersson. Maximale Reichweite der von Radium C ausgeschleuderten Partikeln 1733.

wis Simons. Emission of β - and δ-rays from a Metallic Film and Relation to the Quantum Theory of

Scattering of X-rays 1766. Furie et G. Fournier. Rayonnement y du radium-D et du radium E 32. de Broglie et J. Cabrera. Etude des rayons v au moyen de leur effet photoélectrique 296.

Skobelzyn. Sekundärstrahlung der

y-Strahlen 1440.

stav Ortnerund Hans Pettersson. Zur Herstellung von Radium C 1733. Lius Korczyn. Unregelmäßigkeiten in der Strahlung frisch auskristallisierten Uranylnitrates 1766.

rhard Kirsch und Hans Petters-

a-Partikeln 769.

 Atomzertrümmerung durch

Strahlen 1641.

- Zertrümmerung von Atomen 1324. - Atomzertrümmerung durch α-Strahlen. Methode zur Beobachtung der Atomtrümmer von kurzer Reichweite 1732.

ns Pettersson. Zertrümmerung von Kohlenstoff durch a-Strahlen 1732.

Physikalische Berichte. 1924.

Primäre und sekundäre | Gerhard Kirsch, Atomzertrümmerung durch a-Strahlen. Abbau von Stick-

stoff und Sauerstoff 1732.

Alois F. Kovarik. Number of Gamma rays emitted per second from radium B and C in equilibrium with a gram of radium and the number emitted per atom disintegrating 1325, 1420.

William D. Harkins and R. W. Ryan. Method for photographing the disintegration of an atom, and a new type of rays 1730.

Atomic stability as tested photographically 988.

Gerhard Kirsch, Hans Pettersson. Helium ein Produkt des künstlichen Atomzerfalls 1324.

O. Mügge. Radioaktive Höfe in Flußspat, Spinell, Granat und Ainigmatit 1069.

Rosseland. Quantentheorie der radioaktiven Zerfallsvorgänge 1125.

W. P. Widdowson and A. S. Russell. Activities of Radioactive Substances in an Unchanged Primary Uranium Mineral 514.

Stefan Meyer und Carl Ulrich. halt von Ionium-Thorium in Uranpechblende von St. Joachimsthal 1136.

H. Freundlich und Marie Wreschner. Aufnahme von Uran X, und Thorium durch Kohle 1545.

Radioaktivität der Hoffmann.

Alkalien 1000.

Messung schwacher Radioaktivitäten und Radioaktivität der Alkalien und anderer Substanzen 1572.

Maracineanu. Constante du polonium 33.

Walther Kutzner. Das Wahrscheinlichkeitsgesetz in Anwendung auf die radioaktive Strahlung des Poloniums 821.

L.F. Bates and J. S. Rogers. Particles of Long Range from Polonium 1346.

Escher-Desrivières. Entraînement du polonium, en solution sodique, par divers corps 1723.

Atomzertrümmerung durch P. Ludewig und F. Reuther. Untersuchung der durch Radiumstrahlen hervorgebrachten Farbänderung von Kristallen mit Hilfe des Ostwaldschen Farbmeßverfahrens 111, 1211, 1499. rl Przibram. Verfärbung und

Karl Przibram. Lumineszenz durch Becquerelstrahlen

616.

und Maria Belar. Verfärbungen durch Becquerelstrahlen und die Frage des blauen Steinsalzes 771. Maria Belår. Untersuchung der Verfärbungserscheinungen durch Becquerelstrahlen 384.

S. C. Lind and D. C. Bardwell. Coloring of the diamond by radium radiation 244.

Elisabeth Kara - Michailova und Hans Pettersson. Über Messung der relativen Helligkeit von Szintillationen 1733.

A. Jaubert de Beaujeu. Luminescence par les rayons de Röntgen 269.

W. Bothe. Neue Sekundärstrahlung der Röntgenstrahlen 919.

C. G. Barkla and Miss A. E. M. M. Dallas. Corpuscular Radiation exited by X-Rays 919.

H. Robinson. Secondary Corpuscular Rays produced by Homogeneous

X-rays 1069.

Arthur H. Compton and C. F. Hagenow. The polarization of secondary x-rays 1091.

Frank W. Bubb. Direction of ejection of photo-electrons by polarized Xrays 1095.

Joseph A. Becker. Magnetic beta ray analysis of soft x-rays 1069.

S. Russ. Release of Electrons by X-rays

Arthur H. Compton. Recoil of Electrons from Scattered X-Rays 537. and J. C. Hubbard. Recoil of

electrons from scattered x-rays 1308. G. Hammershaimb. Influence des rayons X dans l'étude de la décharge

disruptive 380. Robert Schwarz und Max Klingenfuss. Wesen der Röntgenstrahlen-

wirkung auf Kontaktplatin 297. A. Bouwers. Nieuve Röntgenbuis 1565. J. A. Gray. Weicherwerden sekundär

ausgesandter X-Strahlen 686. P. Lukirsky. Weiche Röntgenstrahlen

1228. F. J. Harlow and E. J. Evans. Quality

of x-rays produced by various hightension generators and an incandescent cathode tube 687.

Joseph A. Becker. Effect of a magnetic field on the absorption of x-rays 920.

C. T. R. Wilson. Recoil of Electrons from Scattered X-Rays 537.

R. Glocker, R. Berthold und Th. Neeff. Röntgenstrahlenuntersuchung Metallstücke durch Verwendung bewegter Blenden **526.**

Gerhard Krohn Kollefson. Spectral series in the soft x-ray region 1227.

Spektrophotometrische | G. E. M. Jauncey. Photoelectrons a Corpuscular Quantum Theory the Scattering of X-rays 1461.

H. Kahler. Photo-electrical proper

of the phosphors 315.

A. G. Warren. X-ray examination materials 161.

Ancel St. John. X-Rays in the S Industry 157.

Manne Siegbahn. Röntgenographis chemische Untersuchungen 1666. Hugo Stintzing. Röntgenographis

chemische Untersuchungen 1667. Rud. Berthold. Wirkung von Rönts

schutzstoffen 112.

Franke. Meßdifferenz bei Prüfung von Röntgenschutzsto 450.

Marius Latour and H. Chire Efficiency of three-electrode to used for the production of continu

waves in radio telegraphy 388.

Albert W. Hull and N. H. Willià
Determination of "e" from meas
ments of the Schrott-effect 1

M. de Broglie. Spectres corpuscula des éléments 839.

F. W. Aston. Mass-spectra of Chem Elements. Accelerated Anode R 1599.

Max Morand. Spectre de la lum émise par l'arrêt des rayons pos de lithium 1511.

William D. Harkins. Stability atom nuclei, the separation of topes, and the whole number rule!

J. W. Nicholson. Difference betw Series Spectra of Isotopes 434.

F. W. Aston. Isotopes of Tin Alfred C. Egerton. Separation of Isotopes of Zinc 434.

F. W. Aston. Isotopes of Antimony Isotopes of Selenium and o Elements 433.

H. Hermann. Erstausschlagsbeobe tung an den Elektrometern Braun und Haga 1563.

Takeo Shimizu. Sensitive Elec scope 1563.

Mituo Yamada. Occlusion of Hydro in Palladium 1544.

10. Magnetismus.

O. E. Frivold. Theorie des Ferro-Paramagnetismus 1443.

P. Weiss. Die elementaren magnetisch Momente 181.

B. Cabrera. Weisssche und B sche Magnetonen und die Kor tution des Atoms 742.

lther Gerlach und Andries C. Ch. Lapp. Cilliers. Magnetische Atomnomente 1622.

I S. Epstein. Ferromagnetism and

quantum theory 656.

lther Gerlach und Otto Stern. Richtungsquantelung im Magnetfeld 622.

'oëx. Liaison entre moment atomique

t champ moléculaire 181.

Barnett and L. J. H. Barnett. Experiments on the Nature of the

Magnetic Molecule 1442.

R. Williams. Atomic theory from he standpoint of magnetism 1487. ert Perrier et A. J. Staring. Expériences sur la dissymétrie élecrique des molécules du fer 182, 619. Liénard. Calcul de l'attraction nagnétique lorsque la loi Maxwell levient insuffisante 34.

Alexandrow. Zur Langevinschen Formel für die Suszeptibilität para-

nagnetischer Körper 1443.

Würschmidt. Abhängigkeit der Eduard Maurer Koerzitivkraft und der Remanenz von der Magnetisierungsfeldstärke 34, 772. ardo Gans. Permeabilidad reversible 182.

ert Perrier. Polarisations magtétiques ou électriques que peuvent provoquer des champs électriques ou nagnétiques par voie réversible et rréversible 182.

dimir Karapetoff. Magnetization

curve, names for its parts 1767. A. Ahmed. Magnetic potential along he core surface of a cylindrical field

nagnet 1767.

Fortrat et P. Dejean. Essai d'une pobine sans fer donnant des champs nagnétiques intenses 618.

as Boas und Th. Pederzani.

Elektromagnet 620.

. Kapitza. Method of producing

trong magnetic fields 1767. hard Gans. Magnetisierung durch Rotation 1442.

R. Ashworth. Intrinsic Field of a

Magnet 1768.

hur Müller. Analytische Unteruchung magnetischer Kreise 1144. A. Fleming. Determination of

nagnetometer constants 1145. Kelsall. Permeameter for alternating current measurements at small

nagnetizing forces 1145.

Sucksmith and L. F. Bates. Null Method of Measuring the Gyro-Magnetic Ratio 1145.

Viscosité magnétique 841. K. Uller. Theorie der statischen Hysterese 1144.

Brylinski. Hystérésis magnétique 617.

W. Kaufmann und E. Pokar. Magnetische Hysteresis bei hoher Frequenz 623.

Robert Cochran Gray. Control Field

in Magnetic Hysteresis 1770.

C. W. Waggoner and F. Molby. Anhysteretic Curves of n-Carbon Alloys 1444.

seph Würschmidt. nagneti-sierungsfaktoren kreisz drischer Joseph Würschmidt.

Stäbe 618.

S. K. Mitra. Désaimantation de erpardes oscillations électromagnétiques 1770.

E. A. Watson. Permanent magnets, and the relation of their properties to the constitution of magnet steels 621.

S. R. Williams. Magnetic-mechanical analysis of the ferromagnetic substances, its bearing on theories of

magnetization 182.

und Friedrich Meissner. Stabform für die Bestimmung der magnetischen Eigenschaften mittels der ballistischen Methode 538.

A. Lang. Wirbelströme im massiven Eisen 183.

Adolf Karlsson. Magnetic waves in iron rods and iron rings 617.

F. Vachet. Courants sinusoidaux et leur application à l'essai magnétique des fers 842.

H. Schunck. Wechselfluß einer Eisen-kernspule mit überlagerter Gleich-

strommagnetisierung 842.

R. Forrer. Variation de l'aimantation spontanée en fonction de la température; appareil de démonstration 182.

Pierre Weiss et R. Forrer. mène magnétocalorique et lois de l'aimantation 182.

A. A. Dee. Effect of Quenching upon the

Magnetism of Steel 771.

Hector Pécheux. Magnétisme des aciers 182.

Ferromagnetism L. W. McKeehan. and its Dependence upon Chemical, Thermal and Mechanical Conditions 1769.

L. Fraichet. Essai magnétique des aciers à la traction. Limites élastiques

183.

Berücksichtigung Leo Truxa. ungleichmäßigen Permeabilität bei Berechnung des Wechselstromwiderstandes massiver Eisenleitungen 248.

Herbert Krüzner. mechanischer Härtung durch Torsion auf die magnetischen Eigenschaften von Eisen und Stahl 183.

Eduard Maurer. Einfluß des Verformens und des Anlassens auf die magnetischen Eigenschaften ferromagnetischen Metalle 384.

S. R. Williams. Hardness of steel and nickel as related to their magnetic

proper 1147. H. W. s. Pr Shee eel 385. Properties of Electric

G. Breit. Transients of Magnetic Field in Jara-conductors 759.

Threst old current carried by a supra-

conducting wire 760.

Lewi Tonks. Characteristics of iron H. R. Woltjer. Magnetisation at in high frequency rotating magnetic fields 622, 1147.

Frank Charles Thompson and Edwin Whitehead. Changes in Iron and Steel at Temperatures below 280°C 112.

Bianca Nannei. Variazione della capacita calorifica di sostanze in un campo magnetico 186.

S. R. Williams. Hardness of steel balls by means of magnetic tests 248.

Fritz Wüst. Vergleichende Untersuchungen an saurem und basischem Stahl 496.

Arthur W. Smith, Edward D. Campbell and William L. Fink. Effect changes in total carbon and in the condition of carbides on the magnetic properties of steel 1146.

Russell J. Eddy. Apparatus for the Rapid and Accurate Determination of the Carbon Content of Steels in Open Hearth Steel Works 484.

Schleicher. Magnetisches Verhalten von Messing mit Eisengehalt 840.

G. A. Kelsall. Furnace Permeameter for alternating current measurements at small magnetizing forces 1769.

Ernest Wilson. Susceptibility of Feebly Magnetic Bodies as Affected by Compression 622.

Carl Benedicks. Magnetischer Schutzpanzer aus spiralgewickeltem Eisenblech 182.

Hector Pécheux. Magnétisme du nickel 185.

Pierre Weiss et R. Forrer. Isothermes magnétiques du nickel 1770.

T. D. Yensen. Magnetic and Electrical Properties of the Ternary Alloys Fe-Si-C 1500, 1771.

Einflüsse von H. D. Arnold and G. W. El Permalloy, an alloy of remain magnetic properties 247.

- Permalloy, A New Magnetic terial of Very High Permeability

G. Ricard. Alliages magnétiques malloy 1148.

W. McKeehan and P. P. C Magnetic hysteresis loops in malloy 1148.

L. C. Jackson and H. Kamerl Onnes. Investigations on the magnetic Sulphates at Low Te ratures 185.

 Propriétés magnétiques de l'é sulfate de gadolinium aux b

températures 249.

low temperatures and suscepti of gadolinium sulphate in the r temperatures obtainable liquid hydrogen 623, 772.

and H. Kamerlingh Onnes. netisation of gadolinium sulpha temperatures obtainable with l helium 623, 772.

G. Breit and H. Kamerlingh Or Magnetic Permeabilities of Chro Chloride and Gadolinium Sul at the Boiling Point of I Hydrogen 839.

L. C. Jackson and H. Kamerl Onnes. Magnetic Propertie Paramagnetic Double Sulphat Low Temperatures 840.

Paramagnetism at Low Tempera

840.

B. Cabrera und S. Piña. Einfluß d Komplex versteckten Anioner die Magnetisierungskonstante Kationen Cr" und (Cr2O)IV 624

der magneti Veränderung Konstanten des CrO-Kations die Wirkung von Schwefelsäure

M. Chatillon. Paramagnétism sulfate de cobalt en solution aq

Paul Pascal. Propriétés magnét des dérivés cyaniques et cyanu 186.

L. Mercanton. Magnétism terres cuites 186.

A. E. Oxley. Magnetic properties

hydrogen-palladium system 17 Karl Steitz. Differenz der Sus bilitäten von Gelatinezylinder künstlicher Anisotropie 625.

Paul McCorkle. Magnetostrictio magnetoelectric effects in iron, and cobalt 184.

R. Williams. Correlation between P. Lasareff. Anomalies du magnétisme the mechanical hardness and the magnetostrictive effects in ferromagnetic substances 248.

V. Heaps. Effect of crystal structure

on magnetostriction 617.

Magnetostriction of a

crystal 1769.

Calculating the ris Worohoff. Ampere-Turns for Driving a Magnetic Flux Through Wedged-Shaped Teeth

W. McLachlan. Application of a revolting magnetic drum to electric

relays 390.

seph G. Brown. Variations in certain electrical systems inside a

hollow conductor 538.

E. P. Wagstaff. Application of Oscillating Valve Circuits to the Precise Measurements of Physical Quantities 772.

Schükarew. Magnetochemische Er-

scheinungen 249.

org Joos. Diamagnetismus der Edelgaskonfigurationen 450.

Cabrera. Variation thermique de la constante diamagnétique de l'eau 185.

und A. Duperier. Änderung der diamagnetischen Konstante des Wassers mit der Temperatur 1347. Verhalten diamagnetischer Glaser. Gase bei tiefen Drucken 1667.

R. Williams. Method of determining the components of the earth's

magnetic field 538.

boru Watanabe and Toshio Kawamura. Measurement of the Horizontal Intensity of the Earth Magnetic Field with Portable Electric Magnetometers 1573.

Chree. The 27-Day Period in Terre-

strial Magnetism 34.

Erdmagnetische Angenheister.

Störungen 1667.

Abklingungsgesetz erdmagnetischer

Störungen 1669. Gockel. Ionisation unserer Atmosphäre und Sonnentätigkeit 1066.

rnando Sanford. Electric induction of the sun upon the earth 1772. Cosmic effects in uis A. Bauer. terrestrial magnetism and atmospheric electricity 1002.

Berroth. Kinetic Theory of Gravitation and Some New Experiments in A. Salb. Magnetisches Feld der ver-

Gravitation 1071.

Lasareff. Relations entre les ano- H. Lamb. Magnetic Field of a Helix 921. malies de magnétisme terrestre et celles de gravité 1773.

terrestre et de la gravité dans le gouvernement de Koursk 1772.

C. Chree. Magnetic Phenomena in the Region of the South Magnetic Pole

1002.

magnetite J. A. Fleming. Work at the observatories of the department of terrestrial magnetism of the Carnegie Institution 1002.
L. Vegard. Constitution of the Upper

Strata of the Atmosphere 200.

Nordlichtspektrum und Konstitution der oberen Atmosphärenschicht1224. Constitution des couches supérieures

de l'atmosphère 1788.

Fernando Sanford. Theoretical considerations 1772.

Albert W. Hull. Measurement of magnetic fields of medium strength Measurement of , by means of a magnetron 247.

11. Elektromagnetische Felder. Induktion. Elektrische Schwingungen.

Fritz Lüschen und Karl Küpfmüller. Ausbildung von dauernden Sinusschwingungen in einem langen homogenen Kabel 35.

Hans Riegger. Kettenleiter 35.

H. Hermann. Darstellung des Elektromagnetismus und der Induktion 386.

P. Charpentier. Détermination des actions électromagnétiques 249.

R. E. Doherty. Method of Analyzing Short-Circuit Problems 386.

G. P. Thomson. Test of a Theory of Radiation 252.

W. Cramp and Nora I. Calderwood. Calculation of air-space flux 843.

Hague. Leakage flux between parallel pole-cores of circular crosssection 843.

Vincent Pagliarulo. Theory of oscillating electric circuit 773.

Wilhelm Geyger. Wellenfaktor 186. Gregory Breit. Method of Measuring Coil Capacities and Standardising Wavemeters 97.

Effective Capacity of a Pancake Coil

451.

Electron tube oscillations 773, 1575. H. Schunck. Wechselfluß einer Eisen-

kernspule mit überlagerter Gleichstrommagnetisierung 842.

schiedenen Spulenformen 625.

A. Press. Stationary waves on free wires and solenoids 688.

Fritz Reinhardt. Eigenschwinge

von Spulen 1670.

Leon Chaffee. Regeneratio coupled circuits 1671.

Karl Willy Wagner. Die ele magnetische Welle in der Ted 1773.

A. L. Narayan. Mechanical illustr of three Magnetically Coupled cillating Circuits 660.

H. Rukop. Reißdiagramme von Se röhren 1501.

Charles W. Carter. Characterist the thermionic vacuum tube, c drical type 1575.

John R. Carson. Equivalent ci of the vacuum tube modulator I

H. Morecroft. Resistance capacity of coils at radio freque 187.

A. Parlin. Torques and fe between short cylindrical coils rying alternating currents of a frequency 387.

E. F. Nichols and J. D. Tear. electric waves 387.

Francis W. Dunmore and Franci Engel. Method of measuring short radio wave lengths and use in frequency standardization

M. Lewitsky. Versuch, von den ku elektrischen zu den langen Wä wellen überzugehen 1212.

G. J. Elias. Het elektromagnet veld van een zender 187.

Ludwig Bergmann. Versuche mi Thomsonspule 386.

Hans Korisko. Abstimmungsers nungen bei Erdschlußlösch-Vor tungen 386, 1501.

R. Willheim. Abstimmungsers nungen bei Erdschlußlösch - Vo tungen 1501.

Erich Marx und August Kar Messung der Kapazität dünndräl Spulen von hoher Windungszah

W. Glitsch. Messung kleiner Ka täten nach dem Resonanz-Schweb verfahren 677.

E. Mathy. Induction mutuelle de solénoides à axes parallèles 921

D. W. Dye. Calculation of a Pri Standard of Mutual Inductance Campbell Type and Comparison with the Similar N. P. L. Star

Walter Kopp. magnetische Wellen mit ungedämpfter Erregung 688.

George A. Campbell. Mutual Impedances of Grounded Circuits 842.

E. H. Barton and H. M. Browning. Triple Pendulums with Mutual Interaction and Analogous Electrical Circuits 808.

Ungedämpfte elektrische Pohl. Schwingungen kleiner Frequenz 963.

Meisser. Einfunkenmethode für Messungen mit Kondensatorschwingungen 689.

A. Dufour, Enregistrement des oscillations électromagnétiques grande fréquence 1348.

Glagolewa-Arkadiewa. Strahlungsquelle der kurzen elektromagnetischen Wellen von ultrahertzscher Frequenz 1444.

G. Kuprijanow und Paul Schmakow. Berechnung kombinierter Schwin-

gungskreise 1071.

A. L. Narayan. Coupled Vibrations by means of a Double Pendulum 342. Vacuum tube detector of G. Breit.

Hertzian waves 1071.

W. Grix. Polaraufnahmen einfacher und kombinierter Wechselstromschwingungen 539.

J. D. Tear. Optical constants of liquids for short electric waves 396.

Heinrich Müller. Wellen an Drähten mit Abstandsänderungen 386.

Harold P. Donle. Applications of the sodion detector 1446.

Alois Schneider. Nachweiselektrischer Schwingungen u. Teilentladungen 169. Meisser. Dekrementbestimmung

mittels Stoßerregung und Einfunkenmethode 689.

Kurt Heegner. Auftreten von Schwebungen bei rückgekoppelten Schwingungen 297, 1288. ss Gunn. Souce of constant fre-

Ross Gunn. quency oscillations 1289.

Balth. van der Pol, jun. Oscillation Hysteresis in a Triode Generator with Two Degrees of Freedom 298.

H. Chireix. Latour and Efficiency of three-electrode tubes used for the production of continuous waves in radio telegraphy 388.

J. R. Tolmie. Characteristic surface of the triode 1446.

Karl Willy Wagner. Allgemeiner Kettenleiter 1669.

J. B. Collo. Sender elektrischer Wellen im Innern einer metallischen Hülle 1669. L. Fortescue. Design of induc- Lindley Pyle. tances for high-frequency circuits 451. Überbrückung Emde. Zwischenraums beim Induktionsvorgang 687.

Bartorelli. Fattore di potenza e

circuito 1500.

ederick W. Grover. Significance of formulas for the inductance of a A. Gockel. Ionisation unserer Atmoportion of a circuit 1669.

Formulas and tables for the calculation of the inductance of coils of

polygonal form 688.

N. Hickman. Alternating-current resistance and inductance of singlelayer coils 539.

hn R. Carson and J. J. Gilbert. Transmission Characteristics of the Submarine Cable 1073.

Proximity Effect in B. Dwight. Wires and Thin Tubes 1148.

Dielektrische Hyste-Zschiesche. resis 1140.

V. Drysdale. Distribution of the Magnetic Field and Return Current round a Submarine Cable carrying Alternating Current 1444.

Butterworth. Distribution of the Magnetic Field and Return Current round a Submarine Cable carrying Alternating Current 1444.

lo Jones. Period and Decrement of an Oscillatory Electrical Circuit provided with a Short-circuited Secondary 625.

lix Strecker. Abhängigkeit der Frequenz des Röhrensenders von der Heizung der Röhre und der Anoden-

spannung 545.

D. Saklatwalla and A. N. Anderson. Improvements in Ferro-Alloy Electric Furnaces of High Power Input 455.

Elektrische Absorp-Potapenko. tions- und Dispersionsspektren von Methyl- und Athylalkohol im Bereiche von 30 bis 90 cm Wellenlänge

Whiddington. Short electric waves

obtained by valves 772.

Application of Os-E. Wagstaff. cillating Valve Circuits to the Precise Measurements of Physical Quantities 772.

Piezoelectric W. Pierce. orge crystal resonators and crystal oscillators applied to the precision calibration of wavemeters 772.

Howling telephone and its application to bridge methods 1058.

Chapman. Motion of a neutral ionised stream in the earth's magnetic

field 1068.

coefficiente di auto-induzione di un Richard Hamer. Earth currents due to asymmetric heating of the earth by solar radiation 1001.

sphäre und Sonnentätigkeit 1066.

Lionel Fleischmann. Graphical Treatment of Circuits Containing Iron Core Reactances and Capacity 1348.

Ronald M. Foster. Reactance Theorem 1501.

K. Zickler. Wechselströme in massiven Eisenleitern 1500.

Fritz Grünewald. Verhalten der Freileitungs-Isolatoren unter der Einwirkung hochfrequenter Spannungen

631.

John J. Dowling. Recording Ultramicrometer 274.

G. Leithäuser und Looslie. Lichtbogengenerator 1671.

Karl K. Darrow. Contemporary advances in physics 355, 1637.

Albert W. Hull. Axially Controlled

Magnetron 188.

R. D. Kleeman. Values of the electrical moments of the atoms and their connection with other quantities 744. lix Joachim de Wisniewski.

Felix Joachim de Champ électromagnétique d'un électron en mouvement 440, 1773.

Karl F. Lindman. Von einem asymmetrisch-tetraedrischen und von einem spiralförmigen Molekülmodell erzeugte Drehung der Polarisationsebene der elektromagnetischen Wellen 1588.

12. Drahtlose Telegraphie.

E. A. Crellin. 202-Mile Carrier-Current Telephone 922.

Erich Habann. - Hochfrequenztelephonie auf Starkstromleitungen 922.

John A. Koontz. Carrier-Current Telephony on the High-Voltage Transmission Lines 1077.

René Mesny. Compensation des cadres

radiogoniométriques 36.

Theorie der Beverage-Hans Busch. Antenne 389.

Harold H. Beverage, Chester W. Rice and Edward W. Kellogg. Type of Highly Directive Antenna 1502.

A. Esau. Braunsche Rahmenantenne 1071.

L. W. Austin. ments with coil antennas in radiotelegraphy 113.

Calculation of antenna capacity 113.

W. W. Brown. Radio frequency tests on antenna insulators 388.

Drahtloses W. Kollatz. sprechen 390.

Franz Kiebitz. Drahtlose Telegraphie und Telephonie 1773.

P. P. Eckersly. Duplex Wireless Telephony 690.

N. Koomans. Hoogfrequentie-telefonie

E. O. Hulburt. Super-regeneration 452. P. Lertes. Der Radio-Amateur 189.

Francis W. Dunmore. Continuouswave radio transmission special type of antenna 1003.

D. Roschansky. Resonanzkurven bei verschiedenen Dämpfungstypen 1350.

N. Wells. Effect of Various Factors on Valve Design 1576.

G. Stead. Design of Soft Thermionic Valves 1576.

O. B. Moorhead and F. C. Lange. Specifications and characteristics of Moorhead vacuum valves 1673.

F. Rossmann und J. Zenneck. Einfluß einer leitenden Verbindung von zwei gekoppelten Kreisen 1349.

Verhältnis von induktiver und direkter Kopplung 1349.

J. Elias. Het elektromagnetische

veld van een zender 187. W. Hull and N. H. Willi Characteristics of pliotrons Williams. taining screen-grids 774.

Schmidt. · Hochfrequenzmaschinensender für drahtlose Telegraphie 300.

I. F. Byrnes. Low-power Radio Telephone and Telegraph Transmitter 36.

Charles S. Demarest, Milton L. Almquist and Lewis M. Clement. Radio Telephone Signaling Low-Frequency System 1148.

Charles A. Culver. Improved system of modulation in radio telephony 389.

R. A. Heising. Improved system of modulation in radio telephony 1290.

Ralph Bown. Measurements of transatlantic radio transmission 1214.

F. Rossmann und J. Zenneck. Er. zwungene Schwingungen in gekoppelten Elektronenröhrenkreisen 1348.

Wilhelm Runge. Ziehvorgänge in induktiv gekoppelten Zwischenkreisröhrensendern 1577.

Quantitative experi- | E. Alberti und G. Zickner. Leist und Wellenlänge des Röhrensen mit innerer Rückkopplung 1578. Gruschke und B. Pohlma

Verstärkerrohr 1579.

Abhängigkeit Felix Strecker. Frequenz des Röhrensenders von Heizung der Röhre und der Anoc spannung 545.

Sender ungedämp Scheller.

Schwingungen 1071.

Frequenz-Mu Eugen Nesper. plikationsanordnung 1213.

Walter Hey. Rückkopplung beim V röhren-Hochfrequenzverstärker 13 H. T. Friis and A. G. Jensen. H

Frequency Amplifiers 1350.
W. H. Eccles and F. W. Jord Method of Amplifying Electrical V ations of Low Frequency 690.

R. V. Hartley. Vacuum tube amplif

in parallel 775.

A. Meissner und K. W. Wagn Über die Beseitigung der Ol schwingungen bei Maschinensend 1071.

E. V. Appleton and W. M. H. Greav Solution of the Representative J ferential Equation of the Tri Oscillator 298.

R. D. Duncan. Theoretical and Pr tical Aspects of Low Voltage Recti Design when employing the Threlectrode Vacuum Tube 298.

John M. Miller. Dependence of amplification constant and inter plate circuit resistance of a thi electrode vacuum tube upon structural dimensions 774.

Heinrich Wigge. Typisierung 1 Dreielektrodenröhrensendern 1773

H. de A. Donisthorpe, Marconi fo electrode tube 1674.

John Scott-Taggert. Vacuum Tr in Radio-Telephony 691.

Iwao Fukushima. Effect of magne field on the electronic emission vacuum tubes 774.

J. W. Horton. Vacuum tube oscillat

H. Barkhausen. Elektronen-Röh 1672.

C. W. Kollatz. Die Kathodenröhre der drahtlosen Telegraphie 188.

Adolf Scheibe. Erzeugung sehr klei Wellen mit Glühkathodenröhren 12

H. M. Dowsett. Carborundum and Rectification Effect 1574.

F. S. Goucher. Strength of Tungs Single Crystals 1624.

W. Austin. Method of using contact | M. Bäumler. detectors in radio measurements 113. Joos und J. Zenneck. Empfang von Hochfrequenzschwingungen mit Niederfrequenzmodulation 299.

Breit. Vacuum tube detector of

Hertzian waves 1071.

ilhelm Schmitz. Demonstration der Detektorwirkung einer Verstärkerröhre 1673.

C. Jensen. Nogle forsøgs- og

maaleapparater 1773.

V. Appleton and F. S. Thompson. E. Periodic trigger reception 1213.
W. Austin and W. F. Grimes.

Beat reception 1351.

eenleaf W. Pickard. Short period variations in radio reception 1446. B. Turner. Relations between and damping and speed in wireless reception 1212.

T. MacGregor-Morris and E. Mallett. Overtones of the diaphragm

of a telephone receiver 1724.

dwig Bergmann. Einfaches elektrostatisches Relais für den drahtlosen Empfang 365.

W. McLachlan. Application of a W. revolving magnetic drum to electric

relays 390.

H. Dellinger and L. E. Whittemore. Radio-signal fading phenomena 300.

and S. Kruse. Radio signal

fading 1149.

Kiebitz. Ausbreitungsvorgänge und Empfangsstörungen in der Funkentelegraphie 540.

Ursachen der Schwankungen Iliin.

in der Empfangsintensität 541. L. Fortescue. Sources of distortion

in the amplifier 1724.

Beeinflussung von Fernmeldeleitungen durch Hochspannungs-

anlagen 1292.

Mallett. Determination of Resonant frequencies and decay factors 1672.

arius Latour. Signal-to-static interference ratio in radio telephony 1672. Beeinflussung des Funkverkehrs durch die Gleitflächen in der

Atmosphäre 843.

A. Watson Watt and E. V. Apple-Nature of Atmospherics 1149. Bäumler. Gleichzeitiges Auftreten atmosphärischer Störungen 37, 541. Koerts. Atmosphärische Störungen in der drahtlosen Nachrichtenübermittlung 1674.

Atmosphärische Störungen in der drahtlosen Telegraphie und Telephonie 1214.

F. Schindelhauer. Richtung atmo-

sphärischer Störungen 452.

E. Rothé. Radiotélégrammes et télégrammes sismologiques 14.

O. Somville. Code de transmission des télégrammes 15.

K. A. Eckhardt and J. G. Karcher. Chronographic recorder of radio time signals 301.

Alberti und G. Leithäuser. Wellenlängenmessung am Empfänger

Jouaust. Application des pyromètres aux mesures en haute fréquence 625.

Albert W. Buel. Development of the standard design for self-supporting

radio towers 1213.

Leithäuser und W. Claussen. Empfangsanlage der Hauptfunkstelle Norddeich 452.

W. R. G. Baker. General Electric Company's broadcasting station at Schenectady 36.

H. Martin and H. Fletcher. High Quality Transmission and Reproduction of Speech and Music 887.

A. O. Rankine. Reproduction of sound by means of a loud-speaker 1724.

E. K. Sandeman. Importance of each frequency region in the audible spectrum-measurements loudspeakers 1724.

A. Sutherland. Auditorium acoustics and the loud-speaker 1724.

S. G. Brown. Improvement in the loudspeaking telephone 1724.

P. Eckersley. Characteristics of a new type of loud-speaker 1724.

Theory of loud-speaker L. C. Pocock. design 1724.

H. L. Porter. Acoustic problems of the gramophone 1724.

Hochfrequenzlicht-Franz Aigner. relais zur photographischen Aufzeichnung der Akustik bei Sprechfilmen 1315.

H. Engel and F. W. Dunmore. Directive Type of radio beacon 1671.

F. Kock. Die Keramik im Dienste der Elektrotechnik 607.

W. Weicker. Beurteilung von Hängeisolatoren 780.

Felix Strecker. Perspektive Methoden der Nomographie 1251.

13. Schwachstromtechnik.

J. A. Fleming. Problems in telefony, solved and unsolved 116.

Edward C. Molina. Theory of Probabilities Applied to Telephone Trunking Problems 1031.

K. Schild. Berechnung der elektrischen Konstanten von Fernsprechleitungen aus ihren Scheinwiderständen für Charles S. Demarest.

Leerlauf und Kurzschluß 1214. Raymond Dubois. Réalisation d'un oscillographe téléphonique 301.

H. Nyquist. Certain Factors Affecting Telegraph Speed 921.

Irving Langmuir and Katharine B. Blodgett. Currents limited by space charge between coaxial cylinders

R. Legouez. Câbles téléphoniques 38. F. H. Best. Measuring Methods for Maintaining the Transmission Efficiency of Telephone Circuits 1072.

John R. Carson and J. J. Gilbert. Transmission Characteristics of the Submarine Cable 1073.

H. Nukiyama and K. Okabe. Consideration of T- and Pi-Type Artificial Electric Lines 38.

Schulz. Hochfrequenzfernsprechen auf Drähten 453.

K. Küpfmüller. Einschwingvorgänge, Echoeffekt und Temperatureinflüsse beim Fernsprechen über lange Pupinkabel 626.

Karl Hersen. Maßeinheiten für Mikrophone und Fernhörer 250, 1071.

Eugen Nather. Elektrostatische Beeinflussung der Schwächstromleitungen durch erdfehlerfreie Drehstromleitungen 694.

Erich Habann. Hochfrequenztelephonie auf Starkstromleitungen 922.

A. Blondel. Abaque pour le calcul des constantes caracteristiques des lignes de transmission aérienne à haute tension 1710.

W. H. Martin. Transmission unit and telephone transmission reference systems 1774.

C. W. Smith. Application of the recently adopted transmission unit 1774.

Oliver Lodge. Broadcasting Transmitter 390.

W. Hewlett. Telephone receiver and transmitter 1003.

E. K. Sandemann. Electrostatic Transmitter 1150.

H. S. Osborne. Telephone Transmission Over Long Distances 391.

B. Pohlma K. Höpfner und Sprachübertragung in langen Fe kabelleitungen 922.

Reichspostministerium. Fernsprechen Weitverkehr 249.

K. W. Wagner. Fernsprechen auf wo Entfernung 249, 542. A. B. Clark. Telephone Transmiss

Over Long Cable Circuits 390. Teleph

Equipment for Long Cable Circu 390.

Long Dista W. Hitchcock. Telephony on the Pacific Coast 10

E. B. Craft, L. F. Morehouse and H Charlesworth. Machine Switch Telephone System for Large Met politan Areas 391.

Arthur F. Rose. Application of Car. Telephone and Telegraph in the l

System 626.

E. A. Crellin. 202-Mile Carrier-Curr Telephone 922.

N. H. Slaughter and W. V. Wol Carrier Telephony on Power Li

E. H. Colpitts and O. B. Blackw Carrier current telephony and t graphy 1290.

Jäger und Klewe. Knackgeräusche Fernhörers 1215.

K. Küpfmüller. Vergleichende räuschmessung 1262.

Ferdinand Trendelenburg. jektive Klangaufzeichnung mit des Kondensatormikrophons 1262

H. Schait. Spannungsverteilung Temperatur im Dielektrikum Einleiterkabeln 113, 629, 694, 11

P. Andronescu. Spannungsverteil und Temperatur im Dielektrikum Einleiterkabeln 694, 1502.

R. Dieterle. Einfluß der Unterl bei der Messung des Oberfläch widerstandes von Isolierplatten

K. Dohmen. Bauart und technis Eigenschaften der Fernkabel 249, '

Elektrische Isol Bültemann. stoffe, insbesondere Bakelitmate 700.

Wilh. Christiani. Röhrenförmige latoren 696.

Georg J. Meyer. Vereinfachte elek sche Prüfung von Isoliermateria

J. H. Dellinger and J. L. Prest Properties of electrical insula materials of the laminated phe methylene type 679.

Höpp. Betriebssicherheit Schmelzstöpsel 696.

rl Lübben. Dielektrische Eigenschaften der Kabelpapiere 680.

Anomales Verhalten des Dielektrikums von Kondensatoren bei Gleichund Wechselstrom 680.

Koomans. Hoogfrequentietelefonie

erdinand Trendelenburg. Wirkungsweise und Anwendung Thermophons 38.

Gehrts. Verstärker für kleinere

Fernsprechbetriebsstellen 116.

T. Paris. Doubly-Resonated Hot-Wire Microphones 626.

Semm. Parallelschaltung von Röhren-

sendern 188.

. Wilson. High Power Vacuum Tube

Scheppmann. Lorenz-Zweirohr-Zweidraht-Zwischenverstärker 1073. amm. Röhrenkompensator 190, 693. rthur Hamm. Telephonie mit Doppelgitterröhren 1072.

L. Casper. Telephone Trans-

formers 1072.

Conrad. Sperrketten 1292.

ermann Backhaus. Siebketten und deren Anschluß an Leitungen 1292. A. Heising. Audion oscillator 1293. . Trappe. Physikalische Grundlagen der Elektronenröhren 693.

Gruschke und B. Pohlmann.

Das Verstärkerrohr 250, 1579.

H. Dellinger. Notation for Electron

Tube Circuits 627.

Selinger. Rolle der Sekundärstrahlung in Elektronenröhren 919. M. Hvatt. Modification of the thermionic current in vacuum tubes when potassium deposited on the inside walls or grid of the tube is illuminated 1447.

D. Arnold. Phenomena in Oxydecoated Filament Electron-Tubes 692. Feustner. Messungen an Elektronen-

röhren 190.

Entwicklung der Pupin-Hörning.

spulen 250, 694.

Robinson. Dämpfungsmessungen an Fernleitungen mit eingebauten

Zwischenverstärkern 190.

Vierdrahtverstärkeruno Fischer. schaltung mit "natürlicher Leitungsnachbildung" 250, 922.

V. Appleton and Mary Taylor. Optimum heterodyne reception 1675. L. Bowman. Method of producing a square wave of radio frequency 1675.

der Günther-Schulze, Physikalische Vorgänge im Quecksilberdampfgleichrichter 534, 777.

Überspannungen Quecksilberan dampfgleichrichtern und ihre Ursache

1061.

Gleichrichter 1062.

Elektrische Ventile und Gleichrichter 777, 1741.

Gustav W. Müller. Wirkungsgrad der Glas-Gleichrichter 1502.

N. W. McLaehlan. Application of a revolting magnetic drum to electric relays 390.

S. P. Shackleton and H. W. Purcell. Relays in the Bell System 1073.

J. Waszik. Erklärung der elektrischen Anziehung, die als Johnsen-Rahbek-Phänomen bezeichnet wird 626.

Joseph Woelk. Meßgerät für Anzugsund Abfallzeiten von Relais 430.

C. L. Fortescue. Sources of distortion in the amplifier 1724.

T. MacGregor-Morris and E. Mallett. Overtones of the diaphragm of a telephone receiver 1724.

Theorie des Laut-Hans Riegger.

sprechers 1262.

A. Nyman. Electrical Loud Speakers 116. E. K. Sandeman. Importance of each frequency region in the spectrum-measurements on speakers 1724.

A. O. Rankine. Reproduction of sound by means of a loud-speaker 1724. L. C. Pocock. Theory of loud-speaker

design 1724.

A. Sutherland. Auditorium acoustics and the loud-speaker 1724.

S. G. Brown. Improvement in the loudspeaking telephone 1724.

P. P. Eckersley. Characteristics of a new

type of loud-speaker 1724. W. Green and J. P. Maxfield. Public Address Systems 391.

W. H. Martin and A. B. Clark. Public Address System with Telephone Lines 391.

H. L. Porter. Acoustic problems of the gramophone 1724.

C. W. Heaps. Application of electric currents in the Bunsen flame 693.

Schaltungen zur Span-H. Salinger. nungsübersetzung 1072.

Jäger. Beeinflussung von Fernmeldedurch Hochspannungsleitungen anlagen 1292.

Dohmen und K. Küpfmüller. Abgleichverfahren zur Beseitigung der Induktionsstörungen 250, 1215.

in Application to Telephone Apparatus 857.

W. O. Schumann. Moderne elektrische Takashi Ohtsuki. Effect of shear

Schaltanlagen 1293.

Vosburgh and Marion Warren C. Eppley. of unsaturated Weston cells 291.

J. Tykocinski-Tykociner and Jacob Karl Küpfmüller. Umwandlungss. Kunz. Photo-electric cells with hot zur Theorie der linearen Netze Kunz. Photo-electric cells with hot filaments 317.

T. S. Taylor. Surface transfer of heat

580. Vladimir Karapetoff. Use of the Scalar Product of Vectors in Locus Diagrams of Electrical Machinery $125\bar{2}.$

14. Starkstromtechnik.

Heinrich Kafka. nung in Vektordiagrammen 1706.

Albert von Brunn. Bedeutung des C. Bezugssinnes im Vektordiagramm

Johannes Wotschke. elektrischer Beziehungen im Raumdiagramm 1249.

R. Gundel. Fluchtlinientafel zur Berechnung des Leistungsfaktors 1252. Fritz Emde. Sinusrelief und Tangens-

relief in der Elektrotechnik 646. Collis H. Holladay. Graphic Method for the Exact Solution of Transmission Lines 1252.

Karl Riedlinger. Freileitungs-Grund-

nomogramm 2.

C. F. Weiland. 1152.

A. Blondel. Abaque pour le calcul des F. S. Dellenbaugh. Artificial Tra constantes caracteristiques des lignes de transmission aérienne à haute tension 1710.

V. Bush. Transmission Line Transients

Donald M. Simons. Cable Geometry and the Calculation of Current-

Carrying Capacity 1775.

Huldreich Schait, Spannungsverteilung und Temperatur im Dielektrikum von Einleiterkabeln 113, 629, 694, 1502.

L. Fortescue. Transmission Line Stability 1352.

Hans Vogt. Querschnittsverstärkung O. durch Zusatzblindleistung 1215.

Percy H. Thomas. Transmission Economies 844.

E. B. Shand. Limitations of Output of a Power System Involving Long Transmission Lines 1351.

R. T. Fleming. Properties and characteristics of insulating materials 16

Francis F. Lucas. Photomicrography R. D. Evans and R. C. Bergva Experimental Analysis of Stabil and Power Limitations 1352.

stress on the span calculations of

suspended cable 392.

Temperature coefficients | L. J. Collet. Magnetisches Feld in Nähe einer Dreiphasenleitung 6

> Lösung der Ne Ad. Thomälen.

gleichungen 1352.

G. Schendell. Aufteilung ausgedehn Mittelspannungsnetze 695.

Alexander Walther und Lydia In Elektrostatische Felder von Netz und Diaphragmen 778.

E. Cramer. Spannungsresonanzersch nungen in ungeerdeten Netzen 6

Richtungsbezeich- J. F. Peters and J. Slepian. Voltag Induced by Arcing Grounds 40.

Propriétés générales Ravut. réseaux parcourus par les coura alternatifs en régime permanent

Darstellung H. M. Trueblood. Relation of Petersen System of Grounding Pov Networks to Inductive Effects Neighboring Communication Circu 696.

Johann Grabscheid. Unsymmetr spannungen in Freileitungen v gegenseitige Beeinflussung von Fr

leitungssystemen 117.

D. Owen. Null Methods of Measurement of Power Factor and Effective Re stance in Alternate Current Circuits

Leitungsberechnung Leo Truxa. Wechselstromübertragu in ungleichschenkligen Leitungen

mission Lines With Distributed Co stants 1351.

E. W. Marchant and T. H. Turne Method of improving the volta wave shape of an alternator external circuits 543.

R. Mayer. Wechselstromwiderstand

Nutenleitern 1075.

Janzen. Ausgleich von Lastschwa kungen in Drehstromnetzen 250.

Eugen Nather. Elektrostatische einflussung der Schwachstro leitungen durch erdfehlerfreie Dr stromleitungen 694.

Strand. Berechnung von Sta aluminiumleitungen 1447.

Superpower Léon Legros. Câbles en aluminium en aluminium armé pour les lignes transmission aériennes 117.

ristics of insulating materials 16

Bültemann, Elektrische Isolierstoffe. insbesondere Bakelitmaterial 700.

ilh. Christiani. Röhrenförmige Isolatoren 696.

dronescu. Spannungsverteilung und Temperatur im Dielektrikum von Einleiterkabeln 694, 1502.

nald M. Simons. Rating of Cables

in Relation to Voltage 631.

itz Grünewald. Verhalten der Freileitungs-Isolatoren unter der Einwirkung hochfrequenter Spannungen

rl Lübben. Anomales Verhalten des Dielektrikums von Kondensatoren bei

Gleich- und Wechselstrom 680.

arl Willy Wagner. Physikalischer Vorgang beim elektrischen Durchschlag von festen Isolatoren 392. Ermittlung der Durch-Dieterle. sehlagsspannung von flüssigen und von vergießbaren elektrischen Isolierstoffen 1676.

Einfluß der Unterlage bei der Messung des Oberflächenwiderstandes von Iso-

lierplatten 780.

org J. Meyer. Vereinfachte elektrische Prüfung v. Isoliermaterialien 302. Weicker. Beurteilung von Hänge-isolatoren 780.

Kock. Die Keramik im Dienste der

Elektrotechnik 607.

Crussard. Laboratoire d'essais de

porcelaine 44.

Naumann. Versuchsfeld der Hermsdorf - Schomburg - Isolatoren - Gesellschaft 700.

Betriebssicherheit Höpp. der

Schmelzstöpsel 696.

rl Lübben. Dielektrische Eigenschaften der Kabelpapiere 680.

H. Dellinger and J. L. Preston. Properties of electrical insulating materials of the laminated phenolmethylene type 679.

Insulating properties of G. Allen.

erenoid 632.

wrence E. Widmark. Design Constants and Measuring Units 543.

Roche. Détermination ampères-tours nécessaires à l'alimentation des dents 43.

Estragnat. Ampères-tours nécessaires à l'aimantation des dents dans les machines électriques 251. Spooner. Tooth Pulsation in Ro-

tating Machines 1579.

dolf Richter. Das Ankerfeld in der Pollücke und die in einer Ankerwindung induzierte EMK 1580.

- W. Gorgas. Meßgeräte für die Parallelschaltung von Maschinen 608.
- E. G. Warner, Induction Motor Nomogram 1117.
- Operation of induction Cotton. motors at different frequencies 42.
- A. Press. Theorie der Phasenkompensation des Induktionsmotors
- T. Schmitz. Drehmoment eines Phasenkompensators mit Kommutierungsnuten 1074.
- Seiz. Regelung der Drehzahl von Induktionsmotoren 1151.
- Werner Taeger. Regelung der Drehzahl von Gleichstrommotoren mittels Glühkathodenröhren 1151.
- S. R. Bergman. Continuous-Current Generator for High Voltage 391.
- Th. Panzerbieter. Kurzschlußstrom bei Doppelerdschluß 1579.

Mandl. Kurzschlußstrom Wechselstromgenerators 250.

- H. G. Möller und E. Schrader. stellung kleiner Wechselspannungen von bekannter Amplitude 778.
- Semenoff und Anton Walther. Erforschung von elektrischen Wechselfeldern-777.
- J. Hak. Berechnung der in Reaktanzspulen auftretenden mechanischen Beanspruchungen 777, 1504.
- Rud. Küchler, Ht. Krüzner. rechnung der in Reaktanzspulen auftretenden mechanischen spruchungen 1504.

D. C. Prince. Direct-current reactor design 1352.

- John Auchineloss. Measuring the Reactive Component 1352.
- J. L. R. Hayden and W. N. Eddy. Dielectric Strength Ratio Between Alternating and Direct Voltages 1353.

R. D. Archibald. Characteristics of

series machine 1353.

- L. Alger and H. W. Samson. Shaft Currents in Electric Machines, 778, 1504.
- Einstellung Wilhelm Geyger. liebiger Phasenverschiebungen Wechselstrommessungen 923.
- L. Casper, K. Hubmann und J. Zenneck. Bestimmung der Kurvenform von Wechselströmen mit Hilfe der Braunschen Röhre 1060.

Norman B. Hill. Damping effect of

solid rotors 1353.

R. E. Gilman. Eddy Current Losses in Armature Conductors 1351.

Walter Trautmann. Elementare Verlag. H. V. Putman. suche mit Wechselstrom 391.

R. E. Doherty and F. H. Kierstead. Short-Circuit Forces on Reactor Supports 40.

Theodor Kopczynski. Ortskurven u. Zustandsdiagramme eines Wechselstromkreises, angewandt auf die Fahrtregulierung bei Wechselstrom-Lokomotiven 42.

Reinhold Rüdenberg. Vorausbestimmung des Dauerkurzschlußstromes von Wechselstromgeneratoren

1293.

- B. Koetzold. Strom- und Spannungsverhältnisse in vermaschten Drehstromnetzen beim Dauerkurzschluß 1579.
- Robert Pohl. Einfluß des Stromreglers auf Abklingen des Kurzschlußstromes von Turbogeneratoren 1579.
- J. Teichmüller. Induktivität, Leistungsfaktor und Wirkwiderstand der Wechselstromleitungen 694.
- L. Dreyfus. Ausbau der Kommutierungstheorie 1074.
- S. R. Bergman. Type of Singlephase Motor 1504.
- K. L. Hansen. Modification of Polyphase Induction Motor 1353.
- Grau. Erregermaschinen bei Drehstromgeneratoren mit Hauptstromregler 251.
- C. Breitfeld. Volt-Amperezähler für Dreiphasenstrom 116.
- L. Schmitz und J. Reismann. Fluchtlinientafel zur Berechnung des Leistungsfaktors bei Dreiphasenanlagen- und -apparaten 589.
- anlagen- und -apparaten 589.

 H. Langrehr. Fluchtlinientafel zur Berechnung des Leistungsfaktors bei Dreiphasenanlagen und -apparaten 589.
- Philip Chapin Jones. Three-Phase Wattmeter Connections 1060.
- R. Brüderlin. Messung von Anlaufmomenten 542.
- Rudolf Mayer. Selbstanlassen von Kurzschlußmotoren durch Stromverdrängung 1151.
- verdrängung 1151. Fr. Kade. Einfluß der Dämpferwicklung auf einachsig kurzgeschlossene Synchronmaschinen 1150.
- L. G. Stokvis. Théorie générale des machines synchrones à courant alternatif 43.
- J. K. Kostko. Polyphase Reaction Synchronous Motors 542.

- H. V. Putman. Oscillations at resonance in systems of paraconnected synchronous machines 150.
- H. Cotton. Synchronous motor of ration 1353.
- Laurence H. A. Carr. Pulling in step of an induction-type synchronomotor 41.
- Reinhold Rüdenberg. Zusätzlie Verluste in Synchronmaschinen u ihre Messung 191, 1074.

J. Terrenoire. Réglage de la vites des moteurs asynchrones 1352.

Otto Böhm. Intrittwerfen asynchr anlaufender Synchronmaschin durch Einschalten der Gleichstro erregung 1074.

S. V. Ganapati and R. G. Parik Induction motors used as synchrone

machines 40.

B. Salomon. Analogies gyroscopiques machines électriques synchronet asynchrones 191.
 Friedrich Natalis. Vektor-analy

sche Berechnung von Transformator und Asynchronmotoren 42. Kade. Die Theorie und Wirkungswe

der kompensierten Asynchronmotor 1504.

T. Schmitz. Kreisdiagramm Asynchronmotors mit Phasenschiel 1074.

Heinrich Kafka. Berücksichtigung Sättigung in den Ortsdiagrammen Mehrphasen-Asynchronmaschinen

Claudius Schenfer. Anlaufschaltu nach Görges für asynchrone Motor 1151.

O. Burger. Berechnung von Drestrom-Kraftübertragungen 544.

Louis G. Stokvis. Décomposition systèmes triphasés 1504.

L. Binder. Drehmoment und Schlifung des Drehstrommotors 116.

Karl Baudisch. Leistungsfaktor Drehstromnetzen 1504.

Robert Moser †. Diagrammkreis
Drehstrommotors 778.

- F. J. Teago. Nature of the magnefield produced by the stator of three-phase induction motor 778.
 - Windred. Polyphase induct motors 1353.
- Erwin Marx. Lage des Erdpotentials
 Drehstromanlagen. Isolationswid
 stände von Hochspannungsanlag
 während des Betriebes 631.
 Einar Zachnissen Drivitie

Einar Zachrisson. Definition Begriffes Unsymmetrie eines Dr

stromsystems 250.

Brüderlin. Drehfeldmaschinen mit | P. Spies. veränderlicher Reaktanz 1580.

onard A. Doggett. Floating Neutral n-Phase Systems 116.

F. Wall. Squirrel-cage induction motor with high starting torque and low-starting current in the line 41. njamin F. Bailey. Starting of Polyphase Squirrel-Cage Motors 542. Andronescu. Verlauf des Drehmomentes bei asynchronen Drehfeld-

udius Schenfer. Kommutierung in Gleichstrommaschinen bei sehr kleinen Umfangsgeschwindigkeiten

motoren mit Käfiganker 1151.

1503.

S. Moody. Large Power Trans-

formers 43.

bert Marchand. Construction des transformateurs de grandes puissances 44.

ritz Schenkel. Beteiligung des metallenen Gehäuses an den Entladungsvorgängen in Großgleich-

richtern 191.

an J. Dowling and J. T. Harris. Vibrating-flame rectifier for hightension currents 631.

tz Emde. Überbrückung des Zwischenraumes beim Induktionsvor-

gang 687, 1505.

Überbrückung des hard Hiecke. Zwischenraumes beim Induktionsvorgang 1505.

stav Benischke. Induzierung der EMK in einem eisengeschlossenen

Transformator 1505.

Patzelt. Hochspannungssicherungen nit Dampfwiderständen für Spannungswandler 700.

hard Kornfeld. Transformatoren

n Sparschaltung 629.

Einphasiger Spar-Andronescu. transformator 696.

rl Metzler. Wechselspannungen an Einankerumformern 43.

utius Andronescu. Berechnung von

Kerntransformatoren 1776.

Berücksichtigung I Kuhlmann. der Eisenverluste im Kreisdiagramm les Transformators 1776.

do Grassi. Modo di variare della corrente primaria in un trasformatore

1776.

H. Ingram. Auto-Transformer and

impedance as a Tensor 1505. Iini, jr., L. J. Moore and R. Wilins. Performance of Auto Transormers with Tertiaries under Short-Circuit Conditions 1354.

Transformatoren für Projektionsglühlampen 391.

Heinrich Kaden. Theorie des Gleichrichters 38.

Hermann Pflieger-Haertel. Theorie des Gleichrichters 39.

H. Nielsen. Theorieder Gleichrichter 628.

R. L. Morrison. High-Power Mercury arc Rectifiers 628.

Günther-Schulze. Elektrische Ventile und Gleichrichter 777, 1741. Physikalische Vorgänge im Queck-

silberdampf-Gleichrichter 534, 777.

Werner Taeger. Einfluß der Gleichstrom-Drosselspule auf den Leistungs-Wechselstromes beim faktor des Quecksilberdampf-Gleichrichter 1503.

Fritz Kleeberg. Quecksilberdampf-Gleichrichter der Glastype 628.

Odermatt. Gleichrichter und Gleichrichteranlagen 844.

W. Höpp. Fortschritte im Bau von Quecksilberdampf-Gleichrichtern 628.

Gustav W. Müller. Leistungsfaktor der Quecksilberdampf-Gleichrichter 1294.

Quecksilberdampf-Glasgleichrichter für elektrische Bahnen 454.

M. Kohler. Funkenüberschlagserscheinung an Transformatoren mit reiner Luftisolation 779.

Hans Kneser. Untersuchungen an einem Glimmlicht-Gleichrichter für Wechselstrom 301.

E. Siegel. Zusatztransformatoren 251. Dessauer. Transformatoren mit gesteuerter Beanspruchung des Isoliermaterials 302.

Herbert Bristol Dwight. Calculation of Skin Effect in Isolated Tubes 40.

Philip Chapin Jones. Brush Mounting as a Factor of Satisfactory Operation 778.

Leon Lichtenstein. Erdstromfragen in Theorie und Praxis 778.

R. Bauch. Polerdung mittels Erdungsdrosseln als Schutz gegen Erdschlußstrom und durch ihn verursachte Überspannungen 779.

W. McLachlan. Energy in the Magnetic Circuit of a Magneto 694.

Elwyn Jones. Energy Relations in the High-Tension Magneto 695.

Schröter. Eisenverluste durch gleichzeitige Magnetisierung bei zwei verschiedenen Frequenzen 1580.

R. Scheld. Blindleistungs- und Blindverbrauchsmessungen 1581.

Max Leo Keller. Lösung praktischer Erwärmungsfragen der Elektrotechnik 1775.

Graphische Methode zur Lösung | d'Arson val. J. Hak. von Erwärmungsaufgaben 1253.

L. Lehrs. Kalorimetrische Messung von Wirbelstromverlusten 1075.

Measurement of G. Churcher. temperature in a rotating armature by

means of thermocouples 1699. Franz Ratkovszky. Érwärmung elektrischer Maschinen 1353.

Donald Bratt. Multiple-Radial System of Cooling Large Turbo-Generators 923.

Robert Pohl. Wärmeberechnung elektrischer Maschinen, insbesondere der im Kreisprozeß gekühlten Turbogeneratoren 956.

Feldmann. Erwärmung von verseilten Mehrleiterkabeln mit metalli-

sierten Adern 371.

Herczeg. Erwärmungskurve bei beliebiger zeitlicher Belastung 134.

J. Goldstein. Extrapolationsverfahren zur Ermittlung des Anfangswertes von Abkühlungskurven 42.

T. S. Taylor. Surface transfer of heat

H. H. Poole. Convection of heat in vertical water columns 923.

Theorie des Kühl-Benno Schwarz. Seine Bedeutung für den blechs. Trockentransformator 69.

Walter P. White. Electric furnace very uniform temperatures

1701.

E. W. Lewis. Industrial applications of

the electric furnace 455.

B. D. Saklatwalla and A. N. Anderson. Improvements in Ferro-Alloy Electric Furnaces of High Power Input 455.

L. Szabó. Berechnung der kritischen

Drehzahl von Wellen 589.

H. Lorenz. Die Bedeutung der technischen Physik für den Maschinenbau

E. Rosenberg. Massive Eisenleiter und Wirbelstrombremsen 454, 777.

15. Hochspannungstechnik.

A. Schwaiger. Elektrische Festigkeitslehre 779.

Francis B. Silsbee. Mathematical theory of induced voltage in the hightension magneto 1676.

A. B. Hendricks. Million volt Testing

Set 252.

F. W. Peek, jr. Tests at 1000000 Volts Support Calculated Sparkover and Corona Data 847.

Laboratoire Amp d'essais à 1000000 de volts 13 Schleicher. Ermittlung der güns sten Wirk- und Blindlastverteil

in Hochspannungsnetzen 393.

C. L. Fortescue. Design of inductan for high-frequency circuits 451.

F. W. Peek, Jr. High-Voltage Phe

mena 697.

Percy H. Thomas. Type of Hi Tension Network 1508.

Carrier Current Co Austin. munication Over High-voltage Tra mission Lines 45.

G. B. Shanklin. High Tension Und ground Transmission Practice &

Walther Koch und Walter Maur Kurvenblätter für schnelle und gen Hochspannur Berechnung von Fernleitungen 699.

J. Teichmüller. Induktivität, Leistur Wirkwiderstand faktor und

Wechselstromleitungen 694.

F. W. Peek, jr. Lightning and ot transients on transmission lines 17

Karl B. McEachron. Photograp Methods of Studying High-Volt Discharges 393.

A. W. Copley. High-Voltage Circ Breakers 548.

S. Jenks.

High-voltage circ breakers 1777. Wilhelm Prehm.

Uberspannur schutz in Theorie und Praxis 6

A. Roth. Schutz gegen Überspannun und Überströme in Hochspannun anlagen 1507.

A. S. Fitzgerald. Apparatus for. protection of alternating-current

cuits 1776.

J. Jonas. Schutz von Hochspannur netzen gegen die Folgen von E schlüssen 846.

F. W. Peek, Jr. Applying the Res of High-voltage Research to Prac

44.

R. Bauch. Polerdung mittels Erdu drosseln als Schutz gegen Erdschl strom und durch ihn verursac Überspannungen 779.

E. Neumann. Erdung der Neutra

in Kabelnetzen 1676.

A. Roth. Schutz von Wechselstr anlagen gegen Überspannungen 18

Duval. Observation relative givre sur une ligne à 120000 volts Walter Kehse. Überschlagswege

Kugelfunkenstrecken in Luft neue Durchführung 845.

H. Marvin. Pressure Correction Chart for the

Sphere Gap 845.

Dällenbach. Zusammenhang zwischen der Glimmspannung in Luft und der Verteilung des elektrischen Feldes 1506.

H. Dellinger and J. L. Preston. Measurement of properties of electrical insulating materials 44.

org J. Meyer. Vereinfachte elektrische Prüfung von Isoliermaterialien 302.

B. Whitehead.

Measurement of High Values of Insulation stance 456.

tor Engelhardt. Messung der dielektrischen Festigkeit von Isolier-

ölen 1581.

win Marx. Prüfung von Isolatoren

mit Spannungsstößen 1507.

E. Shrader. Calorimetric method for measuring power factor of insulating materials at radio frequencies 1153.

L. R. Hayden and Charles P. Steinmetz. High-Voltage Insu-

lation 845.

tz Grünewald. Verhalten der Freileitungs-Isolatoren unter der Einwirkung hochfrequenter Spannungen 631.

lter Demuth. Hochspannungs-Isolationen aus Hartpapier 1507. x Donath. Theorie der Kugel-

funkenstrecken 1354.

gust Klemm. Anfangsspannung und Durchbruchfeldstärke von Kugelelektroden bei Gleichspannung 1076.

Minimum der 0. Schumann. Durchbruchfeldstärke bei Kugel-

elektroden 1152.

dwig Dreyfuss. Gesetzmäßiger Zusammenhang zwischen der Glimm-spannung in Luft und der Verteilung des elektrischen Feldes bei beliebig geformten Elektroden 545.

x Wellauer. Streifenentladungen

1507.

3. Whitehead. High voltage corona

in air 1003.

Salessky. Spannungsverteilung an Ketten von Hängeisolatoren 1581. Zipp. Elektrische Festigkeit der Luft zwischen plattenförmigen Elektroden 1075, 1076.

O. Schumann. Elektrische Festig-keit der Luft zwischen plattenförmigen Elektroden 1075, 1076.

Temperature and K. Humburg. Berechnung von Kondensatordurchführungen 1076.

Carl Lübben. Anomales Verhalten des Dielektrikums von Kondensatoren bei Gleich- und Wechselstrom 680.

J. E. Shrader. Corona in Air Spaces in a Dielectric 1003.

J. B. Whitehead. Gaseous Ionization in Built-up Insulation 547.

Wilh. Christiani. Röhrenförmige Iso-

latoren 696.

Karl Willy Wagner. Physikalischer Vorgang beim elektrischen Durchschlag von festen Isolatoren 392, 699.

A. Mandl. Durchschlag fester Isolier-

materialien 779. Dieterle. Ermittlung der Durch-R. Dieterle. schlagsspannung von flüssigen und von vergießbaren elektrischen Isolierstoffen 1676.

Viktor Engelhardt. Prüfung der Durschlagsfestigkeit von Isolierölen

Donald M. Simons. Rating of Cables in Relation to Voltage 631.

W. I. Middleton, C. L. Dawes, E. W. Davis. Potential Gradient in Cables 632.

J. C. van Staveren. Prüfung von Hochspannungskabeln 698.

Carl Lübben. Dielektrische Eigenschaften der Kabelpapiere 680.

W. Birnbaum. Dielektrische Verluste von Kabeltränkmassen 1004.

Dieterle. Einfluß der Unterlage bei der Messung des Oberflächen-widerstandes von Isolierplatten 780.

W. Weicker. Beurteilung von Hänge-isolatoren 780.

Harold B. Smith. Suspension-type insulator 1677.

R.T. Fleming. Properties and characteristics of insulating materials 1677.

W. S. Flight, Effect of heat on the electric strength of insulating materials 252.

F. Kock. Die Keramik im Dienste der Elektrotechnik 607.

Rob. M. Friese. Hartfeuerporzellan und die Hochspannungsisolatoren 847.

Elektrische Bucksath. prüfung von Porzellan-Isolatoren 303.

Felix Singer. Steinzeug als Konstruktionsmaterial f. Hochspannungsisolatoren 1076.

O. Naumann. Versuchsfeld der Hermsdorf - Schomburg - Isolatoren - Gesellschaft 700.

R. G. Allen. Insulating properties of erenoid 632.

Properties of electrical insulating materials of the laminated phenolmethylene type 679.

Bültemann. Elektrische Isolierstoffe, insbesondere Bakelitmaterial

Million volt Royal W. Sorensen. transformer 845.

A. W. Copley. Transformers for High-Voltage Systems 846.

John J. Dowling and J. T. Harris. Vibrating-flame rectifier for hightension currents 631.

Transformatoren mit Fischer. gesteuerter Beanspruchung des Isoliermaterials 1506.

Rudolf Küchler. Streuspannung von Transformatorwicklungen 1152.

Insulation Tests of Fred J. Vogel. Transformers as Influenced by Time and Frequency 1506.

V. M. Montsinger. Effects of Time and Frequency on Insulation Test of

Transformers 846.

M. Kohler. Funkenüberschlagserscheinung an Transformatoren mit reiner Luftisolation 779.

G. Probst. Theorie des Kapazitäts-

transformators 1505.

Milan Vidmar. Trockentransformator und Öltransformator 630.

Rud. Küchler. Stationäre Erwärmung des selbstkühlenden Öltransformators

Überlastungen von öl-Sieber. gekühlten Transformatoren 1505.

Walter Spath. Durchschlagseigen-Transformatorenölen schaften von 1152.

A. B. Hendricks, jr. Testing Transformers for Central Stations 544.

Francis B. Silsbee. Methods for Testing Current Transformers 846.

Erich Klein. Magnetische Flußverteilung im fünfschenkligen Transformatorenkern 630.

F. Patzelt. Hochspannungssicherungen mit Dampfwiderständen für Spannungswandler 700.

Benno Schwarz. Theorie des Künlblechs. Seine Bedeutung für den Trockentransformator 69.

S. S. Mackeown. High-voltage direct-

current generator 1215.

Erwin Marx. Lage des Erdpotentials in Drehstromanlagen. Isolationswiderstände von Hochspannungsanlagen während des Betriebes 631.

J. H. Dellinger and J. L. Preston. Francis W. Dunmore and Francis Engel. A Method of measuring v short radio wave lengths and tuse in frequency standardization

John A. Koontz. Carrier-Curr High-Volt on the Telephony

Transmission Lines 1077.

Spannungsabfall R. Ettenreich. Elektronenröhren $\bar{1}215$.

H. C. Rentschler and J. W. Mard High temperature high vacu furnace 71.

Felix Strecker. Perspektive Metho der Nomographie 1251.

16. Elektromedizin.

Max Brenzinger. Aufladevorricht für Elektroskope, Iontoquantim und ähnliche Apparate 117.

Dessauer. Erklärung der bi gischen Strahlenwirkungen 456. Biologische Strah

Fr. Dessauer. wirkung 1680.

Wirkungen von Strahlen 701.

Irma Bleibaum. Klärung der pl kalischen Grundlagen der Lich strahlung 1679.

Kurt Finkenrath. Quantita Strahlenmessung in der Li

behandlung 456. Dorno. Technik der Strahlu Dorno. messungen 1679.

José Puga. Streuungsrinne 456. F. Vierheller. Streustrahlenverteil außerhalb des direkt vom Rönt

licht durchstrahlten Raumes 703 Fr. Dessauer. Streustrahlenvertei außerhalb des direkt vom Rönt licht durchstrahlten Raumes 703

Altmann. Messung der re Streustrahlen inner- und außer

der Strahlenpyramide 1447. Hans Lewin. Verbesserung der W schen Funkenstrecke des Diather apparates 1004.

Fritz Gassmann. Kurzzeitige Ma aufnahmen mit der Glühkatho

röhre 548.

Serienblende für 6 Aufnahmen eine Platte 548.

Ledoux-Lebard, A. Lepap Emploi des A. Dauvillier. lourds en radiodiagnostic 548.

R. Thaller. Mediaröhre und Do

fokusröhre 1678.

Erich Schempp. Aufnahmen mit Glühkathodenröhre 1678.

Joseph Ziegler. Rotationsblende Abschirmung d. Sekundärstrahlen ttfried Spiegler und Rosner. Messungen beim Betrieb des Coolidge-Therapierohres 1678.

Notwendigkeit eines Heizstromamperemeters bei Coolidgeröhrenbe-

trieb 1677.

tor F. Hess. Apparatus for Purification of Radium Emanation 1215. o Glasser. Eichung des Iontoquantimeters mit Radium 1678. stav

Fortschritte Loose.

Röntgentherapie 548.

edrich Dessauer. Die Röntgentiefentherapie vom physikalischen

Standpunkt 118.

ast Pohle und Hans Jarre. Röntgentiefentherapie thodik der vom physikalischen Standpunkt 191. lther Drügg. Verteilung Röntgenenergie 1004.

Seemann. Qualität der Röntgenstrahlen und ihre spektrographische

Messung in der Therapie und Röntgentechnik 1294.

Vicente Garcia Donato. Streukörper beim Verfahren in der Röntgentiefentherapie 1447.

Russ. Measurement of X-ray inten-

sitv 678.

Lertes. Direkt anzeigender Röntgenstrahlen-Intensitätsmesser 829.

rmann Holthusen. Beziehungen zwischen physikalischer und biologischer Dosimetrie 1448.

arles Gottlieb. Isodosenkurven in der Röntgentherapie 118.

Standardisierung der Küstner. Röntgendosismessung 1153. Hess. Messung und Dosierung von

Röntgenstrahlen 1679. Röntgendosiszähler bert Jaeger.

117, 702. gen Szegö. Röntgenstrahlengemisch bei Änderung einiger Betriebs-bedingungen beim Transformatoren-

betrieb 548.

Holzknecht. Der Sicherheitswert der direkten Messung der Ober-Der Sicherheitswert flächendosis in der Röntgentherapie

Lorenz und B. Rajewsky. Bedeutung des Compton-Effektes für die Wirkung der Röntgenstrahlen

1679.

Röntgenstrahleninrich Martius. messung im Tiefentherapiebetrieb 456. ns Holfelder, Oskar Bornhauser und Evanghelos Yaloussis. Intensitätsverteilung der Röntgenstrahlen in der Körpertiefe 703.

Josef | Vladimir Altmann, Günstige Strahlenverteilung in der Röntgentiefentherapie, 1680.

Evan. Yaloussis. Tubus für Röntgen-

Tiefentherapie 1004.

A. Gvemant. Absorptionsverhältnisse im Verstärkerschirm 1294.

R. Manul. Verbesserung von Röntgen-

bildern 1294.

E. Lorenz und B. Rajewsky. schwächungskoeffizient von Wasser und Aluminium bei harten Röntgenstrahlen 703.

Alexander Janitzky. Abbau der Röntgenstrahlenenergie in Flüssig-

keiten 701.

Franke. Meßdifferenz bei der Prüfung von Röntgenschutzstoffen 450.

R. Berthold und R. Glocker, Strahlenschutzwirkung von Baustoffen 702.

Hans Küstner. Filterschutz gegen Verbrennungen in der Röntgendiagnostik 1678.

R. Glocker. Strahlenschutz in Röntgen-

betrieben 848.

Puthomme. Étude des rayons X secondaires 394.

John J. Dowling and J. T. Harris. Vibrating-flame rectifier for hightension currents 631.

Egon Lorenz und Boris Rajewsky. Rolle der Streuung für die Strahlenwirkung unter Berücksichtigung des Compton-Effektes 1680.

6. Optik aller Wellenlängen.

1. Allgemeines.

H. A. Lorentz. The Radiation of Light 1508.

G. P. Thomson. Test of a Theory of Radiation 252.

M. v. Laue. Geschwindigkeit eines Lichtstrahles in einem bewegten Körper 1399.

Ludwik Silberstein. Propagation of Light in rotating systems 78.

La Rosa. Velocità della luce si compone con quella della sorgente? 78.

Fenomeni delle "stelle variabili" come prova della composizione della velocità della luce con quella della sorgente 420.

Castelnuovo. Sulla comunicazione del prof. La Rosa 78.

J. C. Slater. Radiation and Atoms 1530.

Erich Kretschmann. Leitfähigkeit, Rayleighsches Strahlungsgesetz und Geschwindigkeitsverteilung der Leitungselektronen 1281.

Electromagnetic W. F. G. Swann. theory of radiation pressure 1680.

Arthur H. Compton. Quantum theory of uniform rectilinear motion 1532. Gregor Wentzel. Quantenoptik 970.

H. C. Burger en L. S. Ornstein. Stralingsformule en lichtquanta 1153.

S. Epstein and P. Ehrenfest. Quantum theory of the Fraunhofer diffraction 1125.

W. Bothe. Elektronenrückstoß bei der Zerstreuung der Röntgenstrahlen und Lichtquantenhypothese 848.

Alice Golsen. Messung des Strahlungsdrucks 1157.

H. A. Kramers. Law of Dispersion and Bohr's Theory of Spectra 1531.

P. Zeeman. Optical Effects of Motion

Charles L. R. E. Menges. Coefficient de Fresnel 1154.

E. Brylinski. Expérience de Michelson 549.

Sur les équations aux Nils Zeilon. dérivées partielles à quatre dimensions et le problème optique des milieux biréfringents 923.

S. Lees. Superposing of Two Cross-line Screens at Small Angles 1295.

A. D. Fokker. Anomale physeverloop bij een brandpunt 457.

A. Sommerfeld. Note on Brewster's law 118, 304.

Karl Lüdemann. Ablesefehler bei Theodoliten mit Skalenmikroskopen 1154.

Lionel Laurance and H. Oscar Wood. Questions in General and Practical Optics 1508.

Hans Schulz. Das Glas 290.

Fritz Eckert. Physikalische Eigenschaften der Gläser 1154.

William G. Houskeeper. Sealing Base Metals Through Glass 119.

2. Geometrische Optik.

Anzahl der Bilder in Winkel-Harms. spiegeln 458.

Totalreflektierende Prismen H. Cranz. 1154

F. E. Wright. Tracing rays of light through a reflecting prism with the aid of a meridian projection plot 1778.

Metallische | C. Hoffmann. Hohlspiegelbilder plankonvexen Linsen 394.

Frank Benford. Projection of Li 1005, 1519, 1608, 1693. James P. C. Southall.

Huyge Contributions to Dioptries 457.

Form of the wa Whitwell. surface of refraction 924.

M. Labussière. Existence géométrie d'un invariant général des faisces de rayons se réfractant suivant la de Descartes 1777. H. Boegehold. Zum Kosinussatze 12

G. Bruhat. Prismes à déviation c

stante 1295.

H. S. Uhler. Fundamental proper of oblique deviation by prisms 9

G. Laville. Réfraction dans un pris hors de la section principale. Lois

Bravais 1217.

Berechnung der Kardin M. Berek. daten eines optischen Systems Grenzwertes der Isoplano bedingung aus der Durchrechn eines beliebigen Paraxialstrahls 12

Siegfried Czapski † und Otto Epp Theorie der optischen stein.

strumente nach Abbe 1004. A. Köhler. Objektähnliche Abbildu der optischen Instrumente 1355.

C. W. Woodworth. Method of trac rays through an optical system 17

Éléments qui dé R. Boulouch. minent un système centré formé un nombre quelconque de surfa 1778.

M. Berek. Ist die Unterscheidung selbstleuchtenden und nichtsell leuchtenden Objekten für die A wirkungen im Abbildungsvorg wesentlich? 1355.

Abbildung von 8 M. Sundqvist. gedehnten, achsensenkrechten Ebe durch eine brechende Kugelflä mittels dünner, genau normal fallender Büschel 1354.

Staeble. Durchrechnungsforn für windschiefe Strahlen 1680.

J. A. Tomkins. Measurement of Principal Curvatures of a Surfacel

T. Townsend Smith. Spherical erration in Thin Lenses 1216.

Irwin Roman. Longitudinal aberra in aspherical optical systems 115 Karl Strehl. Zonenfehler 1295.

Marcel Dufour. Relation entre l erration et l'astigmatisme 1777.

H. Cranz. Elementargeometrische K struktionen zur astigmatisc Brechung 1216.

lens 1778.

ino Kolbe. Grimsehls Fokusmesser 395.

Woodworth. Methods for machine calculation of rays through a lens system 549.

Boulouch. Problème de l'achro-

matisme 1778.

Wilfred Taylor. Primary and secondary image curves formed by a thin achromatic object glass with the object plane at infinity 848. Levi-Civita. Fragen der klassischen und relativistischen Mechanik 1533. Berek. I. Rationelle Beleuchtungsanordnungen für Mikrophotographie und Mikroprojektion. II. Mikrophotographischer Apparat 1079.

Lanner. Entstehung der Brennpunkte im Kugelschatten 119.

ce Everett. Unit Magnification Surfaces of a Glass Ball 848.

T. Beatty. Monochromator for the ultra-violet, visible, and near infra-red spectrum 395.

l. Optische Instrumente. Methoden.

gfried Czapski † und Otto Eppen-Theorie der optischen Instein.

strumente nach Abbe 1004.
Dennis Taylor. Optica Optical desig-

ning as an art 120.

Kähler. Meßmethoden der Sonnenund Himmelsstrahlung 192.

anz Linke. Universalaktinometer 1158.

J. H. Moll. Thermopile for Measuring

Radiation 1084. Szilard. Actinomètre destiné à la mesure de l'ultraviolet solaire 1295. chard Hamer. Suggested solar motor or thermal radiation recorder 1155.

Radiometer construction D. Tear.

1158, 1360.

alther Gerlach und E. Madelung. Radiometertheorie von E. Einstein 1109.

ison Pettit. Focal changes in

mirrors 458.

Neue Form der rianus Czerny. Rubensschen Reststrahlenmethode

Projection of Light ank Benford.

1005, 1519, 1608, 1693.

uis Lumière. Projection à grande distance de phototypes de grand format 1779.

eodore Chaundy. Thin astigmatic Fritz Goos und Peter Paul Koch. Blinkprojektor 550.

Henri Bénard. Dispositifs pour pro-jeter sur un écran les tourbillons cellulaires hétérogénéités d'indice de réfraction 1116.

M. Berek. I. Rationelle Beleuchtungsanordnungen für Mikrophotographie und Mikroprojektion. II. Mikrophotographischer Apparat 1078.

Charles W. Gamble. Projection

screens 328.

— Glanz und Glanzmessungen 1155. G. A. Shook. Portable glarimeter 1681. C. F. Smith. Refractograph 458.

W. Perry and C. C. Roberts. Butyro and immersion refractometers 551.

G. Haenzel. Meßbereich der Refrakto-

meter 1077.

M. Lowry and R. G. Parker. Temperature control for the Pulfrich refractometer 925.

Schoorl. Benutzung des Heliumlichtes für refraktometrische Unter-

suchungen 46.

J. Barot. Mesure des indices des grands disques de verre 550.

Aubertin. Essai d'un prisme

pentagonal 459.

J. W. Nicholson and F. J. Cheshire. Theory and Testing of Right-Angled Prisms 924.

G. W. Moffitt. Instrument for the

testing of prisms 550. Claude Clayton Kiplinger. Method for Determining the Approximate Index of Refraction of Liquids with a Common Microscope 1217.

Chr. v. Hofe. Brennweitenmessungen 848. F. Staeger. Messung der Brenn- und Schnittweiten optischer Systeme 924.

David Baxandall. Early telescopes in the science museum 848.

Alexander Gleichen. Path of rays in periscopes 1778.

Otto v. Gruber. Stereoplanigraph der Firma Carl Zeiss 47.

Henry Lutigneaux. Représentation des objets dans l'espace à trois dimensions 1355.

Hermann Kellner. Apparatus for testing the perception of depth 924. Otto v. Gruber. Erkundung für stereo-

photogrammetrische Aufnahmen 74. Strahlenteilung für Heimstädt.

stereoskopische Mikroskope 1078. Franz Hennig. Registrier-Theodolit 1527.

Georges Perrier. Théodolite à micro- | F. E. Wright. scopes 1779.

T. F. Connolly. Balloon theodolite 849. Theodolitgoniometer E. A. Wülfing. 1779.

Carl Leiss. Neues Theodolit-Mikroskop in vereinfachter Form 924.

H. Erhard. Hensoldts Jagddialyt als Lupe 848.

Hermann Kellner. Ocular micrometer 191.

Y. Väisälä. Untersuchung der Objektive nebst Bemerkungen über die Beurteilung ihrer Güte 46.

C. Dévé. Étude cinématique du travail des surfaces optiques 1355.

Henri Chrétien. Objectifs de Clairaut-Mossotti 1217.

Louis Bell. Ghosts and oculars 1778. F. Ian G. Rawlins. Relationship between the Focal Length of Microscope Objectives, and the number of Fringes seen in Convergent Polarized Light 457.

Mikroskop für Werk-Otto Dähne. stoffuntersuchungen 1475.

E. H. Tutton. Universal Interferometer 850.

F. Twyman. Hilger microscope inter-

ferometer 46, 924. Interferometer for testing optical sy-

stems 192. A. E. H. Tutton. Wave length Torso-

meter 809. Vasco Ronchi. Superficie e sistemi

ottici mediante i reticoli 849. -Studio delle superficie e dei sistemi ottici colle frangie tra reticoli scentrati 1005.

Charles F. Meyer and Detlev W. Bronk. Interference bands produced by mica and the use of mica windows in infra-red spectroscopy 781,

A. W. Marke. Astons Massespektrograf

G. W. Moffitt. Camera lenses of large relative aperture for stellar spectrographs 1077.

John Stuart Foster. Six-prism glass spectrograph 1077.

W. Kraemer. Lichtstarke Spektral-

apparate 1156. A. Jobin et G. Yvon. Spectromètre 925.

Frank Allen. Tri-color mixing spectrometer 1078.

Walter Soller. Precision x-ray spectrometer 1779.

K. Weissenberg. Röntgengoniometer 1193.

Autocollimator 17 Carl Leiss. Autokollimations-Mo chromator 850.

Irwin G. Priest. Determination color in terms of dominant wa lenght, purity and brightness 10

R. E. Lofton. Measure of the co characteristics of white papers 13

Deane B. Judd. Spectral energy stributions produced by rotary mix

of complementary papers 1681. Albert Hofmann. Apparate zur forschung der Himmelspolarisat 253.

Lithium flame Harold Hunter. polarimetric use 1779.

L. C. Glaser. Metallographie im pole sierten Licht 1194.

J. Brentano. Crystal Powder Analy by X-rays 395.

Walther Straub. Kinematographis Re Reproduktion graphischer strierungen 304.

A. Klughardt. Optischer Ausgleich der Zeitlupe 303.

André Debrie. L'Horociné Debrie 8 Francis E. Lloyd. Fluorescence certain Lower Plants 405.

René Baillaud. Instrument pho graphique des hauteurs égales 10

John A. C. Warner. Optical altitude indicator for night landing 10 Mazo. Pantoscope 1681.

Loyd A. Jones. Instrument for measurement of high photograp densities 406.

E. G. Coker. Engineering proble solved by photo-elastic methods 1

B. K. Johnson, Optical revoluti counter 1005.

G. F. C. Searle. Focal line method determining the elastic constants glass 849.

Samuel E. Pond. Apparatus optically recording the propagat velocity of muscle contraction wa 1080.

G. W. Moffitt and Paul B. Tayl Measurement of Transmission in struments 1154.

Edmond Bayle et Henry Geor Application des méthodes optique à l'examen des oeuvres d'art 12

F. W. Preston. Properties of pi used in working optical glass 120 W. Thorner. Fernpunktsucher 303

C. F. Smith. Lateral Enlargement Reduction 119.

Hans Deser. Theorie von Petz verkittetem Dialyt 1077.

Fortpflanzung. Reflexion. Brechung. A. G. Worthing. Physical properties of Dispersion.

S. Allen. Light and Electrons 781. inz Skaupy. Problem des Atoms und der Strahlung 727.

G. Darwin. Wave Theory and the

Quantum Theory 728.

lis de Broglie. Ondes et quanta 782. Bateman. Theory of Light-Quanta

Nature of Light-Quanta 781.

Light-Quanta and Interference 781. uis de Broglie. Quanta de lumière, diffraction et interférences 782.

lliam Duane. Transfer in quanta of radiation momentum to matter 253,

656.

dolf Tomaschek. Verhalten des Lichtes außerirdischer Lichtquellen 966.

Lenard. Lichtfortpflanzung im Himmelsraum 965.

dislas Gorczynski. Fraction de l'intensité du rayonnement solaire transmise, par le verre rouge d'Iéna

1082. Spijkerboer. Verstrooiing van Licht in de aardsche atmosfeer 193.

dwik Silberstein. Propagation of

light in rotating systems 78. Breit. Propagation of a Fan-shaped Group of Waves in a Dis-persing Medium 120.

rlow Shapley. Relative velocity

of blue and yellow light 304. tyendra Ray. Pressure of radiation

on transparent dielectrics 255. Vogtherr. Aberration und Michelson-

versuch 872.

Aberration und Michelson-Hayn. versuch 872.

Tomaschek. Michelsonversuch mit Fixsternlicht 967.

Bestimmung des Re-F. Little. flexionsvermögens v. Oberflächen 193. Schulz und H. Hanemann. Optisches Verhalten von Metalloberflächen

929. Die Bestimmung der optischen Kon-

stanten von Metallen 929. ank Benford. Reflection and transmission by parallel plates 850.

Schulz. Glanz und Glanzmessung 1155.

Sommerfeld. Note on Brewster's

Law 118, 304.

P. Woronkoff u. G. J. Pokrowski. Selektive Reflexion des Lichtes an diffus reflektierend. Körpern 552, 1355. molybdenum, tantalum, nickel, and platinum at incandescent temperatures 797.

J. B. Nathanson. Optical constants of

caesium 1007.

R. F. Miller. Optical constants of crystals of selenium and tellurium

J. D. Tear. Optical constants of liquids for short electric waves 396.

John Q. Stewart. Opacity of an ionized gas 459.

Problem of gas-opacity 1780.

Franz Rother und Karl Lauch. Herstellung reinster, undurchsichtiger Metallschichten durch Kathodenzerstäubung und deren optische Konstanten 927.

P. Villard. Couleur propre des nuages

255.

R. E. Lofton. Measure of the color characteristics of white papers 1355.

H. Cranz. Totalreflektierende Prismen 1154.

Paul Kirkpatrick. Optical theory of x-ray reflection 632.

F. Wolfers. Deviation des rayons X à la surface des corps 929.

Nello Carrara. Riflessione totale dei raggi X 1681.

Arthur H. Compton. Total Reflexion of X-Rays 1584.

B. Walter. Reflexion der charakteristischen Röntgenstrahlen der chemischen Elemente eines Kristalles durch diesen 555.

Carl Schmidt. Lichtbrechung Kreiszylindern oder Kugeln 255.

Astronomische Strahlen-R. Emden. brechung in polytropen Atmosphären 1082.

Bilfried Quarder. Lichtbrechung in Gasen 1156.

V. Posejpal. Variation de la réfraction spécifique des gaz avec la pression audessous d'une atmosphère 1218.

Franz Schacherl. Einfluß des Druckes auf das Brechungsvermögen- des Wasserstoffs 704.

Eadie und John Satterly. Änderung des Brechungsindex von Sauerstoff mit dem Druck und die Absorption von Licht durch Sauerstoff bei hohen Drucken 703.

Kosmische Refraktion Hans Kienle. 591, 1712.

L. Courvoisier. Kosmische Refraktion

Hans Kienle. Absorption des Lichtes G. Potapenko. und die Grenze des Sternsystems 926. Absorption des Lichtes im inter-

stellaren Raume 926.

Strahlenbrechung und M. Näbauer. Farbenzerstreuung genügend steiler Sichten durch die Luft 704.

Artur Zwetsch. Abhängigkeit des Brechungsexponenten der Luft vom Druck unterhalb einer Atmosphäre

K. Spangenberg. Dichte und Lichtbrechung der Alkalihalogenide 304.

E. C. C. Baly and R. A. Morton. Refractivity and the molecular phase hypothesis 1582.

J. E. Calthrop. Relation between the Refractivities and Sizes of the Atoms

C. V. Raman. Molecular Structure of Amorphous Solids 1489.

Prismes à déviation con-G. Bruhat. stante 1295.

N. Schoorl. Benutzung des Heliumlichtes für refraktometrische Untersuchungen 46.

J. W. Gifford and T. M. Lowry. Refractive Indices of Benzene and

Cyclohexane 552.

Gartha Thompson. Temperature Coefficient of the Refractive Index of American Turpentine 850.

J. Toivonen. Chemisches und optisches Verhalten einiger Bicyclopentan- und Cyclopentenderivate 255.

O. A. Hougen. Refractory for Indu-

strial Plant Use 1393.

Bergen Davis and Robert von Nardroff. Refraction of x-rays in pyrites 928, 1357.

G. E. M. Jauncey. Scattering of x-rays

and Bragg's law 927.

P. Debye. Zerstreuung von Röntgenstrahlen und Quantentheorie 256.

L. Counson. Contraction de volume et pouvoir réf liquides 459. réfringent de mélanges

Adolf Smekal. Quantentheorie der Dispersion 729.

K. F. Herzfeld. Quantenhafte Deutung der Dispersion 1583.

J. Spijkerboer. Dispersion of Light by Irregular Refraction and by

Molecular Scattering 1219. John Koch. Dispersion des Lichtes in gasförmigen Körpern innerhalb des ultravioletten Spektrums 1583.

Ehringhaus und R. Wintgen. Lichtabsorption von fein in geschmolz. Borax verteiltem Gold 1156.

Elektrische Absor tions- und Dispersionsspektren vo Methyl- und Äthylalkohol im Bereich von 30 bis 90 cm Wellenlänge 69

S. Epstein and P. Ehrenfes Quantum theory of the Fraunhofe

diffraction 1125.

Louis V. King. Complex Anisotrop Molecule in Relation to the Dispersion and Scattering of Light 553.

A. H. Borgesius. Proeven van Hoek e Dr. de Haas 927.

Louis Longchambon. Lames cr stallines à retard constant 1218.

C. E. St. John. Gravitationsverschie bung im Sonnenspektrum 590.

L. Grebe. Gravitationsverschiebung de Fraunhoferschen Linien 1124.

L. C. Glaser. Gravitationsverschiebur der Fraunhoferschen Linien 1124.

J. Wodetzky. Lichtstrahlenkrümmun Spektrallinienverschiebung u. Krün mungsradius des Universums 873.

R. A. Houston. Scattering of X-Ray 1082.

- Absorption of X-Rays 1082.

Arthur H. Compton. Absorption Me surements of the Change of Wav Length accompanying the Scatterir of X-Rays 553.

G. A. Schott. Scattering of x-rays

hydrogen 1080.

G. E. M. Jauncey and H. L. May Intensity of the x-rays scattered from rocksalt 1081.

Arthur H. Compton. Spectrum scattered x-rays 633.

Gustav Mie. Echte optische Resonar bei Röntgenstrahlen 928.

George L. Clark. Excitation, reflection and utilization in crystal-structu analyses of characteristic secondar

W. C. Kaye and E. A. Owe Protecting Substances for X-Ray

1585.

G. Lievens. Schmelzpunkt der Este die ein C₅-Radikal enthalten 161

5. Interferenz. Beugung.

Kurt Leistner. Stehende Lichtwelle in großer Entfernung von reflektiere den Flächen 1448. F. Richardson. Lewis Speckle

Wave Front of Light 121.

Vasco Ronchi. Sistemi ottici o biprisma e gli specchi di Fresnel 168 D. Fokker. Hyperbolische zones van | Carl Barus. Fresnel bij golfoppervlakken met dubbele kromming en bij platte golven in dubbelbrekende media 1585. illiam Duane. Transfer of radiation momentum in quanta 656.

Breit. Interference of light and

quantum theory 727.

Bateman. Light-Quanta and Interference 781.

uis de Broglie. Quanta de lumière, diffraction et interférences 782.

emens Schaefer. Neue Interferenzerscheinung: Kurven gleicher Neigung an anisotropen planparallelen Platten

arles F. Meyer and Detlev W. Bronk. Interference bands produced by mica and use of mica windows in infra-red spectroscopy 781, Twyman. Hilger microscope interferometer 46, 924.

E. H. Tutton. Universal Inter-

ferometer 850.

Janss. Demonstration von Interferenzen an dünnen Blättchen durch das Taschenspektroskop 396.

N. Birchby. White light interferometer fringes 1781.

hal Karan Sethi. Effect of a retarding plate on white light interferometer fringes 1082.

igustus Trowbridge. Photography of moving interference fringes 47. aurice Hamy. Mesure interférentielle

de faibles diamètres 305.

Détermination des faibles diamètres par la méthode interférentielle 305. Berndt. Anwendung der Interferenz des Lichtes im Lehrenbau 588, 1177. Doi. Scattering and Dispersion of Light 462.

Rubinowicz. Kirchhoffsche

Beugungstheorie 1083.

Diffraction E. Mourashkinsky. Pattern in a case of two very close

Point Light Sources 460.

Two Close Diffraction Image of Luminous Lines of Finite Width 1586. Marshall. Unnoticed Point in the Theory of Newton's Rings 1219. S. Epstein and P. Ehrenfest.

Quantum theory of the Fraunhofer

diffraction 1125.

H. Compton. Quantum thur integral and diffraction by a crystal

hannes Fischer. Beugungserscheinungen bei sphärischer Aberration 1219.

Achromatic and superchromatic fringes with a calcite rhomb 305.

Ian G. Rawlins. Relationship between the Focal Length of Microscope Objectives, and the number of Fringes seen in Convergent Polarized Light 457.

F. E. Wright. Phenomena exhibited by transparent inactive crystal plates in convergent polarized light 1007.

Karl Noack Beugungsinterferenz 705. E. Maey. Beugungsinterferenz 705.

A. S. Ganesan. Oblique scattering of Light in gases and liquids 850.

J. Cabannes. Diffusion de la lumière par les gaz transparents 1219.

et J. Granier. Diffusion de la lumière par les gaz transparents. Polarisation de la lumière diffusée latéralement 1220.

K. R. Ramanathan. Molecular Scattering of Light in Vapours and in Liquids and its Relation to the Opalescence observed in the Critical State 461.

C. V. Raman and K. R. Ramanathan. Molecular Scattering of Light Liquid Mixtures 462.

Antonio Carrelli. Fenomeno di Tyndal 1356.

Richard Gans. Das Tyndallphänomen in Flüssigkeiten 120.

Wilder D. Bancroft. Tyndall blue in solids 556.

K. Seshagiri Rao. Colours of Mixed Plates 1508.

Bidhubhusan Ray. Colurs of Colloids in relation to the size of the dispersed particles 1508.

Was. Shoulejkin. Color of the sea 1220. Enoch Karrer. Effect of the diffusion and absorption by the atmosphere on signal lights and projectors 556.
A. Wigand und K. Genthe. Projectors 556.

sierung der Sichtmessung 1449.

- Messung der vertikalen Sicht 1449. Margarete Weiler. Sicht- und Sehweiten in schwach getrübten Medien

Eugénie Bellemin. Sondage optique

de l'atmosphère 1450.

J. Spijkerboer. Dispersion of Light by Irregular Refraction and by Molecular Scattering 1219. C. V. Raman and K. R. Ramanathan.

Molecular Scattering of Light in Dense Vapours and Gases 47.

Molecular Scattering of Light in Carbon Dioxide at High Pressures 929.

The Molecular Scattering of Light in n-Pentane 306.

Louis V. King. Complex Anisotropic Molecule in Relation to the Dispersion and Scattering of Light 553.

Lord Rayleigh. Polarisation of the Light Scattered by Mercury Vapour near the Resonance Periodicity 1222.

O. L. Sponsler. X-ray reflection from very thin crystals 1356.

Ivor Backhurst. Variation of the

Intensity of Reflected X-Radiation with the Temperature of the Crystal 558. George L. Clark and William Duane. Reflection by a crystal of its characteristic x-radiation 783.

- - Abnormal reflection of X-rays by

crystals 286, 521, 522.

Mituo Yamada. Reflection of X Ray from the Fluorite Crystal 258.

Ralph W. G. Wyckoff. Anomalous Reflection of X-rays in Laue Photographs of Crystals 557.

Bergen Davis and Robert von Nardroff. Refraction of x-rays in pyrites

928, 1357. C. Hatley and Bergen Davis. Refraction of x-rays in calcite 1357.

Ivar Waller. Einwirkung der Wärmebewegung auf die Interferenz von Röntgenstrahlen 1355.

G. E. M. Jauncey. Scattering of

X-rays by crystals 1356.

B. Walter. Beugungsfransen an Spaltaufnahmen mit Röntgenstrahlen 929,

1687. C. V. Raman and K. R. Ramanathan. Diffraction of X-rays in Liquids, Liquid Mixtures, Solutions, Fluid Crystals and Amorphous Solids 1357.

W. Friedrich und M. Bender. azimutale Verteilung der Röntgenstreustrahlung 1421.

W. McKeehan. Extraordinary

diffraction of x-rays 556.

Schachenmeier. Kristallinterferenzen in spektral zerlegtem Röntgenlicht und ihre Verwendung zur Bestimmung des Kristallgitters 460.

George L. Clark and William Duane. Method of using X-rays in crystal

analysis 520.

A. Owen and G. D. Preston. Modification of the Powder Method of Determining the Structure of Metal Crystals 525.

Walter Soller. X-ray crystal analysis of materials in their natural state, with an improved spectrometer 1332.

Ramavenkatasubba Venkateswa- | S. J. M. Allen. Absorption coefficient betwee of homogeneous x-rays wave-lengths 0,1 A and 0,71 A 135

Polanyi, E. Schiebold und E Weissenberg. Entwicklung de

Drehkristallverfahrens 1332.

Corpuscula G. E. M. Jauncey. quantum theory of the scattering of x-rays by light elements 491.

Karl Strehl. Zonenfehler 1295. Richard C. Tolman, Sebastia Karrer and Ernest W. Guernsey

Experiments on the mass of the electric carrier in metals 225.

6. Polarisation. Doppelbrechung. Drehung. Kristalloptik.

H. Chipart. Théories des ondes lum neuses et principe de Carnot 1450

A. Sommerfeld. Note on Brewster

Law 118, 304.

R. de Mallemann. Théorie de l polarisation rotatoire 121.

Longchambon. Zirkularpolar sation kristallisierter Körper 1008.

C. A. Skinner. Polarimeter and it practical applications 851.

Durchlässigkeit der A A. Gockel. mosphäre für Licht- und Wärme strahlung 1085.

N. N. Kalitin. Durchsichtigkeit un Polarisation der Atmosphäre 122.
J. J. Tichanovsky. Farbe der Polar

sationskomponenten des Himmel lichtes 1451.

Aurino. Osservazioni dei pun neutri della polarizzazione atm sferica eseguite a Napoli 258.

L. C. Glaser. Metallographie im polar sierten Licht 1194.

H. Schulz. Bestimmung der optische Konstanten von Metallen 929.

und H. Hanemann. Optisches Ve halten von Metalloberflächen 929.

Karl Lauch. Optische Konstante chemisch reiner, undurchsichtig Kathodenzerstäubung he gestellter Metallschichten 1083.

Czerny. Strahlungsemission d

Platins 1682.

P. Gaubert. Propriétés optiques d graphite et de l'oxyde graphitique 1223.

D. B. Deodhar and G. B. Deodha Polarization effects shown by film of certain fused salts 306.

T. Littleton, Jr. J. Method f measuring the tensile strength glass 559.

24

iedrich Späte. Untersuchung von Alfred Ramspeck. Anomalien der Glas mittels des polarisierten Lichtes

L. Bragg. Refractive Indices of Calcite and Aragonite 1586.

Darmois. Observations polarimétriques sur l'émétique, le tartrate et

le malate d'uranyle 193.

Ian G. Rawlins. Relationship between the Focal Length of Microscope Objectives, and the number of Fringes seen in Convergent Polarized Light 457.

Observations on the Relation between the Focal Length of Microscope Objectives and the Number of Fringes seen in Convergent Polarized Light

V. Raman. Opalescence Phenomena

in Liquid Mixtures 930.

org Joos. Einfluß eines Magnetfeldes auf die Polarisation des Resonanzlichts 1157, 1509.

S. Ornstein und H. C. Burger. Polarisation des Resonanzlichts 1509. to Oldenberg. Einwirkung des Magnetfeldes und des elektrischen Feldes auf die ultraviolette Jodfluoreszenz 1603.

Polarization of ul Kirkpatrick. X-rays as a function of wave-length

397.

enst Krueger. Doppelbrechung in strömenden Flüssigkeiten 1509.

Berek. Bestimmung der Lage und Größe des wahren Winkels der optischen Achsen und des Charakters der Doppelbreehung aus zwei löschungswinkeln 1296.

alter Köhler. Messung der Dispersion

der Doppelbrechung 1682.

Gaudefroy. Dispersion de biréfringence dans les cristaux 852.

Variations de la dispersion de biréfringence dans un même cristal 1007. Ehringhaus. Abhängigkeit der

relativen Dispersion der Doppelbrechung von der Richtung der Lichtfortpflanzung im Kristall und von Temperaturänderungen 1222.

Abhängigkeit der und H. Rose. relativen Dispersion der Doppelbrechung vom Atomgewicht 560.

iloslav Hampl. Potiersche Relation im Falle der totalen Reflexion an den doppelbrechenden Kristallen 1682. Friedel. Biréfringence du diamant 1509.

Versuche zur künstlichen Gentil. Doppelbrechung von Glas 397.

accidentellen Doppelbrechung beim Celluloid 1587.

R. H. Humphry. Demonstration of the Double Refraction due to Motion of a Vanadium Pentoxide Sol, and Some Applications 852.

Hermann Rohmann, Doppelbrechung des Lanolins 1223.

L. Rover. Etats mésomorphes et la biréfringence magnétique 1510.

R. de Mallemann. Recherches sur la biréfringence électromagnétique des corps activs 1781. Stéfan Procopiu. Biréfringence élec-

trique et magnétique des suspensions

1602.

Martin Lowry, E. E. Walker. Induced Asymmetry of unsaturated Radicals in optically active Compounds 1418.

C. V. Raman. Structure of Molecules in relation to their Optical Aniso-

tropy 1646.

S. Hudson and K. P. Monroe. Relations between rotatory power and structure in the sugar group 1452.

E. Darmois. Action de l'acide molybdique sur le pouvoir rotatoire des éthers tartriques et maliques 462.

G. Dupont et L. Desalbres, Séparation d'inverses optiques par distillation et par cristallisation 930. Friedrich Bürki. Formel zur Dar-

stellung der Rotationsdispersion 634. Louis Longchambon. Dispersion

rotatoire de l'acide tartrique 1358. Friedrich Bürki. Rotationsdispersion

des Camphers 1451. Anomalien der Rotationsdispersion

1587. Marshall Holmes. New Phenomenon

469. E. O. Hulburt. Magnetic and Natural Rotatory Dispersion in Absorbing Media 569, 1231.

Manne Siegbahn. Degré d'exactitude de la loi de Bragg pour les rayons X

L. W. Taylor. Method of utilizing polarized light in crystallographic analysis 930.

Leonhard Weber. Auslöschungsrichtungen und Winkel der optischen Achsen monokliner Kristalle 1297.

- Ist durch die Auslöschungsschiefe von vier Kristallplatten der Winkel der optischen Achsen eindeutig bestimmt? 1297.

Kristallographische Orien-O. Mügge. beliebiger Schnitte tetragonaler und hexagonaler Kristalle mit Hilfe der Auslöschungsrichtung 1587.

Karl F. Lindman. Von einem asymmetrisch-tetraedrischen und von einem spiralförmigen Molekülmodell zeugte Drehung der Polarisationsebene der elektromagnetischen Wellen 1588.

Dispersion der optischen M. Berek. Symmetrieachsen monokliner Kristalle im ultraroten Gebiet 1296.

Dispersion der optischen Symmetrieachsen monokliner Kristalle 1296.

C. V. Raman. Effect of Dispersion on the Interference Figures of Crystals 852.

M. H. Chipart. Activité optique dans les cristaux 1452.

Maurice L. Huggins. Graphical method for the utilization of rotation spectra in crystal structure deter-

mination 1252, 1709. C. J. Brester. Kristallsymmetrie und

Reststrahlen 634, 1451.

 Symmetrie van kristallen in verband met de reststralen 1159.

Nalini Kanta Sur. Scattering of Light by Smoky Quartz 1452.

Alfredo Pochettino. Proprieta ottiche dei cristalli di platinocianuri 1682.

Felix Machatschki. Kristallform und optisches Verhalten einiger organischer Verbindungen 560.

S. Ornstein. Anisotropie der flüssigen Kristalle bezüglich ihrer Dielektrizitätskonstanten und ihrer elektrischen Leitfähigkeit 1744.

Paul Heymans and W. P. Allis. Photoelastic constants of celluloid,

glass and fused quartz 851.

Franz Aigner. Hochfrequenzlichtrelais zur photographischen Aufzeichnung der Akustik bei Sprechfilmen 1315.

Erwin Lohr. Kontinuitätstheorie der Röntgenstrahlausbreitung in

stallen 1510.

7. Kontinuierliche Spektren. Wärmestrahlung.

Max Planck. Energieschwankungen bei der Superposition periodischer Schwingungen 657.

Quantenstatistik der Energieschwan-

kungen 657.

Einstein und P. Ehrenfest. Quantentheorie des Strahlungsgleichgewichtes 490.

William Duane. Transfer of radiatio momentum in quanta 656.

G. Breit. Are quanta unidirectional

E. Fermi ed A. Pontremoli. Mass della radiazione in uno spazio vuot

W. Bothe. Räumliche Energieverteilun in der Hohlraumstrahlung 397.

W. Pauli, jr. Thermisches Gleichgewich zwischen Strahlung und freien Elek tronen 489.

Bothe. Wechselwirkung zwische Strahlung und freien Elektronen 1178

A. G. Worthing. Radiation Equil brium in an Opaque Uniforml Heated Solid and Duane's Hypo thesis as to its Origin 259.

M. Lewitsky. Versuch, von den kurze elektrischen zu den langen Wärme

wellen überzugehen 1212.

Glagolewa-Arkadiewa. Stral elektro lungsquelle der kurzen magnetischen Wellen von ultrahert scher Frequenz 1444.

Wilhelm Nusselt. Wärmeübergang i der Verbrennungskraftmaschine 7: 720.

T. S. Taylor. Surface transfer of hea 580.

Walter Wessel. Feld inhomogene Strahlung 1453.

W. T. David. Radiation in Explosion of Hydrogen and Air 260.

Hermann Schmidt. Anmerkung zu Strahlungspyrometrie 1360.

Henry. Actinomètre thermoélectrique enregistreur 1157.

Ladislas Gorczynski. Pyrhéliomèt thermo-électrique 1359.

W. J. H. Moll. Thermopile for Me suring Radiation 1084.

H. Hermann. Lichtmühle und Therm säule als Strahlungsmesser 398.

Franz Linke. Universalaktinomet 1158.

J. D. Tear. Radiometer construction 1158, 1360.

Alice Golsen. Messung des Strahle drucks 1157.

A. Milne. Relation between the Spectral Energy Curve of a Star ar the Law of Darkening of the Di towards the Limb 121.

Ragnar Lundblad. Radiation ar temperature of the external phot

spheric layers 121.

Bertil Lindblad. Radiative equi brium and solar temperature 12 G. Abbot. Variations of the sun's visible features associated with variations of solar radiation 259.

lessandro Amerio. Variazione diurna della distribuzione dell'energia

sul disco solare 1084.

anz Linke. Angebliche Schwankungen der Solarkonstanten 1084. Schwankungen der Solarkonstanten

1359.

24

dward Stenz. Radiation solaire à

Jungfraujoch 1158.

. E. Forsythe. Colour Temperature and Brightness of Moonlight 308. A. Sampson. Estimation of the Continuous Spectrum of Stars 307. Brill. Strahlung der Sterne 1782. Podszus. Strahlung des Auerstrumpfes 306.

arl Teucke. Strahlung von Oxyden, hervorgerufen durch intensive Ka-

thodenstrahlen 1223.

Henning und W. Heuse. Strahlungseigenschaften von Aluminium-

und Magnesiumoxyd 561.

. W. Coblentz and C. W. Hughes. Emissive tests of paints for decreasing or increasing heat radiation 1384. oljer Witt. Strahlungsmessungen im fernen Ultrarot und Absorptionsspektrum des Wasserdampfes 1782. Gockel. Durchlässigkeit der Atmosphäre für Licht- und Wärmestrahlung 1085.

Dietzius. Ozon in den obersten Luftschichten als Schirm gegen die ultraviolette Sonnenstrahlung 1085. Absorption of

A. Lindemann.

Radiation inside a Star 259. Michel und A. Kussmann. Absorptionsvermög. geschwärzt. Flächen bei Zimmertemperatur 193.

eth B. Nicholson and Edison Pettit. Absorption curves for alum, Iceland spar, quartz, and thin glass

alter F. Colby and Charles F. Meyer. Absorption Spectrum of HCl

1783.

narles F. Meyer and Detlev W. Bronk. Structure of the absorption bands of certain organic gases and vapors in the near infra-red 1783. eorges Kimpflin. Perméabilité de la résine synthétique aux radiations

infrarouges 1682.

ilder D. Bancroft. Recognition of

blue 852. Observations on the ord Rayleigh. Spectrum of the Night Sky 398.

R. D. Kleeman. Theory of the continuous spectrum 1084.

Jules Baillaud. Distribution l'énergie dans les spectres de quelques étoiles des types \tilde{B} et A 1086.

A. March. Gesetze des kontinuierlichen

Röntgenspektrums 1297.

Paul Kirkpatrick. Continuous spectral energy distribution within the X-ray tube 854.

Maurice Curie. Spectres d'étincelles dans les métalloides à l'état liquide 784.

Walter Gerlach und F. Gromann. Elektronenaffinitätsspektrum Jodatoms 122.

A. G. Worthing. Spektrales Emissionsvermögen und Schmelzpunkt

Wolframs 1361.

O. A. Hougen. Refractory for Industrial Plant Use 1393.

8. Linien- und Bandenspektren, einschließlich Röntgen- und γ-Strahlen. Seriengesetze.

H. Kayser und H. Konen. Handbuch

der Spektroskopie 471.

W. F. Meggers, C. C. Kies, Keivin Burns. Redetermination of secondary standards of wave length from the new international iron arc 1361.

Harold D. Babcock. Secondary standards of wave-length 1784.

P. Wallerath. Erweiterung des Sy-Wellenlängenstems sekundärer normalen 1783.

H. C. Offerhaus. Golflengtemetingen bij helium in het zichtbare spectrum en de daarbij gebruikte interferentieverschijnselen 933.

R. W. Wood. Vacuum Grating Spectrograph and the Zine Spectrum 1793.

H. Fowler. Origin of Optical Spectra 265.

B. E. Shackelford. Temperature and blackening effects in helical tungsten filaments 53.

G. Worthing. True temperature scale of tungsten and its emissive powers at incandescent temperatures 51.

E. P. Hyde, F. E. Cady and W. E. Forsythe. Color temperature scales

for tungsten and carbon 52.

Temperature scale adopted by the General Electric Company and the radiating properties of tungsten with reference to this scale 52.

Hertz. Anregung von Spektral-linien durch Elektronenstoß 997.

- A. Udden and J. C. Jacobsen. Exci- | Lord Rayleigh. Spectrum of Activ tation of the helium spectrum by electronic bombardment 1455.
- O. S. Duffendack and D. C. Duncan. Excitation of the spectra of nitrogen by electron impacts 999.
- G. Hertz. Anregungs- und Ionisierungsspannungen von Neon und Argon 443.
- Anregungs- und Ionisierungsspannungen von Neon und Argon und ihr Zusammenhang mit den Spektren dieser Gase 177.
- Excitation des Georges Déjardin. spectres de l'argon, du krypton et du xénon 1455.
- Robert S. Mulliken. Excitation of the spectra of the copper halides by active nitrogen 1734.
- B. E. Moore. Excitation stages in the open arc-light spectra. III. Lead, mercury, thallium, magnesium 265.

- IV. Hydrogen, air, water-vapor, pressure effect, mixed electrodes 266.

- L. Dunoyer. Excitation des spectres du mercure et de l'hélium par des électrons de faible vitesse 195.
- Bruno Saxén. Lichtemission unter der Wirkung molelektrischer Kräfte an der Oberfläche von Kristallen 563.

Thomas R. Merton. Problems in the Variability of Spectra 309.

- Holtsmark. Verbreiterung von Spektrallinien 931.
- M. de Broglie. Changement de longueur d'onde par diffusion 708.
- P. A. Ross. Experiments on Compton's change in wave-length on scattering 937.
- G. E. M. Jauncey. Theory of the width of the modified lines in the Compton effect 1714.
- H. Julius and M. Minnaert. Relation between the widening and the mutual influence of dispersion lines in the spectrum of the sun's limb 399.
- Masamichi Kimura and Gisaburo Nakamura. Broadening of Spectral Lines Caused by Increased Current Density and Their Stark Effects 1596.
- .W. T. Bovie. Spark gap with air-cooled electrodes 566.
- L. Dunoyer. Spectres d'induction et spectres d'étincelle 463.
- Léon et Eugène Bloch. Spectres d'étincelle d'ordre supérieur 463.
- Spectres d'étincelle d'ordre supérieur du mercure 635.

- Nitrogen as Affected by Admixture of the Inert Gases, Origin of the Cyanogen 536. A. G. Worthing and R. Rudy. Lir
- Spectra of W and Ni in the afterglo of a discharge through a mixture N₂ and A 1686.
- A. L. L. Hughes and P. Lowe. L tensities in the hydrogen spectru
- Intensitäten im Heliumspektru 706.
- Ludwik Silberstein. Spectrum helium 705.
- V. Raman and A. S. Ganesa Spectrum of neutral helium 70
- Crossed-orb Ludwik Silberstein. model of helium, its ionization petential, and the Lyman series 70
- H. B. Dorgelo. Intensität mehrfach Spektrallinien 1163.
- Intensities of the components multiple spectral lines 1165.
- S. Ornstein und H. C. Burge Strahlungsgesetz und Intensität von Mehrfachlinien 1165.
- H. C. Burger und H. B. Dorgel Beziehung zwischen inneren Quanter zahlen und Intensitäten von Mehrfac linien 1164.
- E. F. Barker. Me half-quanta 569. Molecular spectra ar
- G. Breit. Width of spectral lines de to collisions and quantum theory 72
- Richard C. Tolman. Duration molecules in upper quantum stat 1125, 1192.
- W. Wien. Leuchtdauer der Atome un Dämpfung der Spektrallinien 116
- H. M. Hansen und S. Werner. He niums optiske spektrum 400.
- Optical spectrum of hafnium 26
- 1512.
- A. Dauvillier. Recherches spectr graphiques de haute fréquence da le groupe des terres rares 402.
 - Otto Oldenberg. Elementarvorgän bei Ausstrahlung der Jodbanden 136
 - A. D. Power. Resonance radiation fro cadmium vapor 999. A. Sterzel. Technische Strahle
 - K. A. Sterzel. diagnostik, insbesondere des Eise 604.
- A. Pontremoli. Effetto del cam magnetico sulla scarica dei gas raz fatti 1751.

on et Eugène Bloch. Extension | Arthur S. King. des spectres d'étincelle de l'étain et du zinc dans la région de Schumann 786. saburo Nakamura. Spectra of S. Mercury Emitted from Various Parts of a Discharge Tube 1596.

hn A. Eldridge. Low voltage spectrum of mercury 786.

24

Spectrum of mercury below the ionization potential 1786.

cy J. Hayner. Mercury arc lines after removal of the exciting potential 997.

A. Anderson. Vacuum spark spectrum of calcium 708, 1159. Evidence of a spark L. Mohler.

line in the lithium spectrum 638, 786. Schüler. Spektrum des einfach

ionisierten Lithiums 1590.

x Morand. Spectres du lithium 1785. Spectre de la lumière émise par l'arrêt des rayons positifs de lithium 1511.

enry G. Gale and George S. Monk.

Spectrum of fluorine 1159.

orge Spencer Monk. Pole-effects pressure-shifts, and measurements of wave-lengths in the spectrum of

manganese 1087.

scoe Everett Harris. Pole-effects and pressure-shifts in the lines of the spectra of zinc and calcium 1596. Procopiu. Spectres d'arc des métaux, dans divers milieux et dans le vide 1454, 1595.

shio Takamine and Mitsuharu Spectra of Constricted

Fukuda. Arc of Metals 1595.

Verwandtschaft des Bogen-Fues. spektrums von Natrium mit dem ersten Funkenspektrum von Magnesium und dem zweiten Funkenspektrum von Aluminium 562. A. Millikan. Spectra of the Lighter

Elements 932.

Wave-lengths of ul W. Merrill. lines in the spectra of stars of class Me

C. McLennan. The Spectra of the

Lighter Elements 932.

Fowler. The Spectra of the Lighter

Elements 932.

Spectra of the Lighter els Bohr.

Elements 932.

bert Pérard. Étude de radiations du mercure et du krypton, en vue de leurs applications à la métrologie 339. C. Bleeker und I. A. Bongers. Intensitätsmessungen in Flammenspektra 1786.

Electric Furnace Spectrum of Titanium in the Ultra-Violet 1594.

Pina de Rubies. Strahlen des Scandiums im Bogenspektrum in Luft 1087.

M. O. Saltmarsh. Arc Spectrum of Phosphorus 1454.

Hilde Gieseler. Bogenspektrum des

Chroms 1011.

Percy Löwe and D. C. Rose. Intensities in the argon spectrum 1784. W. Gerlach u. F. Gromann. Elek-

tronenaffinitätsspektrum des Jodatoms 122.

S. Goudsmit. Spectrum of Manganese 1009.

Fowler. Spectra of Silicon at Successive Stages of Ionisation 1593.

Harvey B. Lemon. Spectrum of Nebulium 1513, 1685.

C. B. Bazzoni and J. T. Lay. 23 volt arc in helium 1757.

A. de Gramont. Recherches quanti-tatives sur le spectre de lignes du vanadium dans les sels en fusion 565.

F. W. Aston. Mass-spectra of Chemical Elements 196, 1599.

Mass-spectra of Copper 356.

 Mass-spectra of Isotopes 1554. Erik Hulthén. Over Bandenspectra 194.

G. H. Dieke. Bandenspectra 1787. Quantum Theory of Band Spectra 1477. P. Tartakowsky. Theorie der Banden-

spektra 1513.

Kratzer, Theorie dec Banden-

A. Kratzer. spektra 1514.

Struktur- und In-Mia Toussaint. tensitätsänderungen imspektrum durch molekulare wirkung 564.

H. Kornfeld. Eigenschwingungen des CO_3^{--} 1556.

Yutaka Takahashi. Band Spectra and Molecular Structure 1788.

William W. Watson. Band spectrum

of water-vapor 1787.

K. T. Compton and Louis A. Turner. Band Spectrum of Mercury and Dissociation of Hydrogen Molecules by Excited Mercury Atoms 1787. Raymond T. Birge. Band spectrum

of nitrogen, and its theoretical inter-

pretation 931.

M. Duffieux. Origine du premier et du second groupe positif du spectre de bandes de l'azote 1784.

Walter Steubing und Mia Toussaint. Veränderlichkeit des Stickstoffbandenspektrums durch Edelgase 635. Walther Gerlach. Jodspektrum und Bandenspektrum des Quecksilbers 1160.

Angel del Campo und J. Estalella. Neue Banden im Siliciumspektrum

464.

Robert S. Mulliken. Band spectrum of silicon nitride, and isotopes of silicon 1363.

R. Frerichs. Das Bandenspektrum des Kupfers 636.

Robert S. Mulliken. Band of unusual probably due to a highly unstable calcium hydride molecule 1787.

F. Horton and A. C. Davies. Continuous Spectrum of Hydrogen 1086.

Harvey B. Lemon. Continuous Spectrum of Hydrogen 1456.

E. Gehrcke. Spektren des Wasserstoffs und neuere Atomtheorie 784.

 und E. Lau. Viellinienspektrum des Wasserstoffs 785.

L. Citron. Verhalten des Viellinienspektrums des Wasserstoffs bei tiefen Temperaturen 932.

R. W. Wood. Hydrogen Spectra from

Long Vacuum Tubes 561.

Masamichi Kimura and Gisaburo Nakamura. Self-Reversal of the Lines H_{α} and H_{β} of Hydrogen 1594.

O. S. Duffendack. Secondary spectrum of hydrogen 785.

Édouard Herzen. Façon simple de retrouver les orbites stationnaires de Bohr dans le spectre de l'hydrogène 1135.

Duffieux. Masse des particules qui émettent le spectre secondaire de

l'hydrogène 399.

S. Barratt. Influence of Foreign Gases on the Secondary Spectrum of Hydrogen 400.

E. O. Hulburt. Breadth of the Hydrogen Lines in Stellar Spectra 1363.

Theodore Lyman. The Spectrum of Helium in the Extreme Ultra-violet 1298, 1512, 1682.

C. C. Trowbridge. Spectra of meteor trains 788.

F. E. Baxandall, Lines of Unknown Origin in Various Celestial Spectra 309.

Harvey B. Lemon. Spectrum associated with spectra of unknown origin in the tails of certain comets 1686.

L. Vegard. Spectre de l'aurore boréale et couches supérieures de l'atmosphère 53.

Jodspektrum und des Quecksilbers L. Vegard. Auroral Spectrum and t Upper Strata of the Atmosphere i

Constitution of the Upper Strata

the Atmosphere 200.

 Nordlysets spektrum og atm sfærens hieste lag 399.

 Nordlichtspektrum und Konstituti der oberen Atmosphärenschicht 122
 Constitution des couches supérieur

de l'atmosphère 1788.

Harold D. Babcock. Study of t green auroral line with the inte ferometer 243.

Hermann Bongards. Welche A korpuskularer Strahlung ist als U sache des Polarlichtes anzusehe 1068.

Carl Störmer. Ultraviolette Nordliel strahlen 465.

Höhe und Lage des Nordlichtes a

22. März 1920 465.

— Résultats des mesures photogra métriques de l'aurore boréale 22—23 mars 1920 465.

H. H. Plaskett. Possible Origin of t

Nebular Lines 399.

Rayleigh. Spectrum of the Night 8

V. P. Lubovich, E. M. Pearen u J. C. McLennan. Infrarote Spekt skopie 795. K. W. Meissner. Lyman-Geister in C

K. W. Meissner. Lyman-Geister in Wellenlängenmessungen des ult roten Neonspektrums 1086.

A. Balandin. Zusammenhang zwisch der chemischen Affinität und d infraroten Spektren der chemisch Verbindungen 1488.

H. M. Randall. Infra-red Spectra 15 G. Laski. Ultrarotforschung 1787.

Holjer Witt. Strahlungsmessungen fernen Ultrarot und Absorptio spektrum des Wasserdampfes 17

Charles F. Meyer and Detlev
Bronk. Interference bands p
duced by mica and the use of m
windows in infra-red spectroscopy 7

R. A. Millikan and I. S. Bow Extreme Ultra-violet spectra

786.

H. M. Randall and W. N. St. Pet Infra-red line spectra of zinc a cadmium 1686.

W. F. Meggers and C. C. Kie Interferometer measurements of longer waves in the iron arc spectr 1362.

P. Lambert, G. Déjardin et D. Cl longe. Limitation du spectre sole ultra-violet 708. Dietzius †. Das ultraviolette Ende | Snehamoy Datta. Absorption Specdes Sonnenspektrums als Folge der Absorptionswirkung des atmosphärischen Ozons 261.

Ozon in den obersten Luftschichten als Schirm gegen die ultraviolette

Sonnenstrahlung 1085.

ymond T. Birge. The 3883 cyanogen band in the solar spectrum 1088. vin Freundlich und Ernst Hoch-Ursprung der sogenannten

Cyanbande bei 3883 A 1512.

W. Shaver. Außerstes ultraviolettes Spektrum des Kohlenstoffbogens 1362. Simeon. Carbon Arc Spectrum in the Extreme Ultra-Violet 1453, 1454. v. Angerer. Ultraviolettes Linienspektrum von Chlor 635.

J. Hopfield. Chlorine spectrum in the extreme ultraviolet 1685.

O. Hutchinson. Arc and spark

spectra of aluminum, zinc, and carbon in the extreme ultra-violet 707.

A. Sawyer and E. J. Martin. Vacuum spark spectrum of zinc in the region $\lambda 2100-4000$ 1685.

Luckiesh. Ultra-violet spectrum of the tungsten are 49.

L. L. Holladay and A. H. Taylor. Short-wave radiation from tungsten filaments 264.

D. Hulburt. Emissive power of tungsten for short wave-lengths 51. ederick Russell Lankshear. Ultra-

violett Photometer 1457. ances G. Wick. Effect of pressure

upon optical absorption 53.

chard Alan Morton and Harry Barnes. Absorption Spectra and Molecular Phases 309.

ederick Russell Lankshear. Chemical significance of absorption spectra and the methods of examining them 1457.

tor Henri. Structure des molécules et spectres d'absorption des corps à

l'état de vapeur 935. Production de bandes étroites et de bandes larges dans le spectre d'absorption des corps en solution et à

l'état de vapeur 934. nn Q. Stewart. Width of absorption

lines in a rarefied gas 1086.

F. Colby. Formulation of absorption bands in the near infrared 709. Barratt. Absorption Spectra of Mixed Metallic Vapours 1456.

lter Grotrian. Absorptionsspektren

einiger Metalldämpfe 195.

Physikalische Berichte. 1924.

trum of Potassium Vapour 463.

Hilde Gieseler und Walter Grotrian. Absorptionsspektren von Chrom- und Eisendampf 1011.

A. L. Narayan and D. Gunnayya. Absorption of potassium vapor at

high temperatures 1163. v. Angerer und G. Joos. sorptionsspektren der Elemente der Eisengruppe 1686.

N. K. Sur und R. K. Sharma. sorptionsspektren von Blei und Zinn-

dampf 1687.

J. C. McLennan and D. S. Ainslie. Fluorescence and Channelled Absorption Spectra of Caesium and other Alkali Elements 710.

H. Gieseler und W. Grotrian. sorptionsspektren von Vanadium, Ti-

tan und Scandium 1593.

H. J. Schlesinger and Mark W. Tap-Preparation of the double ley. fluorides of the metals of the platinum group and absorption spectra of the halogeno platinates 933.

L. A. Ramdas. Colours of Chlorate of

Potash 1458.

W. Gerlach und Fr. Gromann. Nachweis einer Absorptionslinie des Jodatoms 1687.

Bovis. Spectre d'absorption du

brome 1785.

Walter F. Colby and Charles F. Meyer. Absorption Spectrum of HCl 1783.

E. O. Hulburt. Ultra-violet absorption spectra of the spark in water between metallic electrodes 787.

Absorption lines in the spectrum of the metallic spark in water 1685.

J. E. Purvis. Absorption spectra of organic and inorganic salts of didymium 464.

Absorption Spectra of the Vapours and Solutions of Various Ketones

and Aldehydes 266.

Absorption spectra of solutions of benzene and some of its derivatives at various temperatures 464.

Joseph W. Ellis. Near infra-red absorption spectra of some organic liquids 787.

Harmonic frequency relations in the infrared absorption spectra of liquids

and solids 932.

Charles F. Meyer and Detlev W. Bronk. Structure of the absorption bands of organic gases and vapors in the near infra-red 1783.

L. Marchlewski und A. Moroz. Ab- W. Heisenberg und M. Born. sorption des ultravioletten Lichtes durch organische Verbindungen 1458.

des extraits tannants dans l'ultra-

violet 936.

John Edward Purvis. Absorption Spectra of Derivatives of Phenol and other Substances 1089.

Walter C. Holmes. Absorption spectra of derivatives of para-cymene 1090.

Absorptionsspektra im Lüthy. Ultravioletten von ungesättigten Ver-Dampfspektra bindungen. Acrolein, Crotonaldehyd und Glyoxal 1364.

Frederick H. Getman. Ultra-violet absorption spectrum of furfural 1465.

J. C. Ghosh und S. C. Bisvas. tinktionskoeffizienten einiger Säuren und ihrer Salze im Ultraviolett 1088.

Wallace R. Brode. Absorption spectra

of certain indicators 1224.

Robert S. Mulliken. Isotope Effect as a Means of identifying the Emitters of Band Spectra 1161.

Isotope Effects in the Band Spectra of Boron Monoxide and Silicon Ni-

tride 1160.

- Isotope Effect in Line and Band Spectra 1514.

H. Nagaoka, Y. Sugiura and T. Mishima. Isotopes of Mercury and Bismuth revealed in the Satellites of their Spectral Lines 1160.

A. Sommerfeld. Allgemeine spektroskopische Gesetze, insbesondere ein magnetooptischer Zerlegungssatz 214.

- Deutung verwickelter Spektren (Mangan, Chrom usw.) nach der Methode der inneren Quantenzahlen 215.

 Spektroskop. Magnetonenzahlen 261. - Theorie der Multipletts und ihrer

Zeemaneffekte 1010.

Spektroskopische Er-Paschen. forschung des Atombaues 355.

Spektroheliographische Ilse Jessen. Untersuchungen am Kohlenlichtbogen im Zusammenhang mit der Atomtheorie 709.

N. Bohr. Spektren und Atombau 1409. E. H. Kurth. Test of the Bohr-Sommer-

feld theory of spectral lines 743.

E. Gehrcke. Gruppenspektra 784. M. Born und W. Heisenberg. Einfluß der Deformierbarkeit der Ionen auf optische u. chemische Konstanten 1271.

 Einfluß der Ionendeformation auf physikalische und chemische Konstanten 1272.

I formierbarkeit edelgasähnlicher Ion 1272.

A. de la Bruère. Spectres d'absorption H. Gieseler und W. Grotrian. Norm zustand der Atome Vanadium, Tit

und Scandium 1593.

F. Croze. Rapports des raies ultimes des raies de résonance dans spectres qui comprennent plusieu systèmes de séries 1011.

Gregor Wentzel. Serienspektren, deren Emission mehr als ein Elektr

beteiligt ist 1360.

K. A. Wing ardh. Wert von C in d Beziehung $\mu | \varrho = C \cdot \lambda^3 + k$ 1598. Sven Werner. Seriespektre 260.

Henry Norris Russell. Exclusion principle in optical spectra 151 Runge. Zur Kenntnis des Kon

binationsprinzips 1008. F. Paschen. Zur Kenntnis des Kon

binationsprinzips 1008.

Ernst Bengtsson. Kombination beziehungen bei den Bandenspektr der Kupferflamme 564.

M. A. Catalán. Methode zur Au findung der relativen Termwerte einem Spektrum und seine Anwendu

auf das neutrale Vanadinatom 136 A. Landé. Absolute Intervalle d optischen Dubletts und Tripletts 125

und W. Heisenberg. Termstrukt der Multipletts höherer Stufe 158 Gestrichene und verschobene Spe

tralterme 1682.

Sommerfeld. Einheitliche Au fassung des Balmerschen und De landresschen Termes 123.

R. Whiddington. Method of extendi the Balmer Series of Hydrogen in

Vacuum Tube 561.

G. M. Shrum. Doublet Separation of t Balmer Lines 1361.

E. O. Hulburt. Balmer lines from

hydrogen in gases 1162. Extension of the Balmer absorption series of hydrogen 1163.

Gregor Wentzel. Rydbergsche Terr formel und ein von ihr abweichend

Serientypus 123. K. Basu. Grouping of the Lines of t

Secondary Spectrum of Hydrogen 40 L. B. Ham. Theory of the fine structu

of H and He⁺ lines 786.

John Stuart Foster. Combinati series in the helium spectrum 116

H. M. Hansen und J. C. Jacobse Magnetische Zerlegung der Fei strukturkomponenten der Linien d Heliumfunkenspektrums 50.

S. Ornstein und H. C. Burger, A. Catalán. Relation between Pressure Feinstruktur der gelben Heliumlinie

J. Hopfield. Series spectra in oxygen F. M. Walters, Jr. Regularities in and sulphur 48, 1297.

Series spectra in oxygen in the region $\lambda 900 - \lambda 1400 1297$.

Bande $\lambda = 3064 \,\text{Å}$

Fortrat. Bal'oxygène 1512.

24

J. Hopfield and R. T. Birge. Spectral Series in the Oxygen Group 564.

Kratzer. Terme der (C + H)-

Banden 1088.

S. Bowen and R. A. Millikan. Fine Structure of the Nitrogen, Oxygen, and Fluorine Lines in the

Extreme Ultraviolet 1784.

Lindau. Bau der zweiten positiven Gruppe der Stickstoffbanden 1511. Mecke und P. Lindau. Bau der zweiten positiven Gruppe der Stickstoffbanden 1363.

Seriengesetzmäßigkeiten im Resonanzspektrum des Jods 1162.

Lawrence Bragg, R. W. James and C. H. Bosenquet. Distribution of Electrons around the Nucleus in the Sodium and Chlorine Atoms 262. uis A. Turner. Relation between the spectra and the sizes of the alkali metal atoms 262.

Th. van Urk. Normalbahnen des Serienelektrons der Alkalien 563.

W. J. Dik and P. Zeeman. Relation between the Spectra of Ionized Potassium and Argon 708.

Zeeman und H. W. J. Dik. Beziehung zwischen den Spektren des ionisierten Kaliums und des Argons

A. Saunders and H. N. Russell. Regularities in the spectra of the

alkaline earths 262.

S. Bowen and R. A. Millikan. Series spectra of the stripped boron atom 1590.

Porlezza. Regelmäßigkeit im Banden-

spektrum des Siliciums 464.

Fowler. Series Spectrum of Trebly-

Ionised Silicon 49. A. Sawyer and R. F. Paton. New members in the series spectrum of trebly-ionized silicon 1009.

Porlezza. Regolarita nello spettro del tetrafluoruro di silicio 1457.

Struktur des Eisen-Sommerfeld. spektrums 1591.

lde Gieseler und Walter Grotrian. Struktur des Eisenspektrums 1592. Shift, Temperature Glass, and Spectral Terms of the Iron Lines 1592.

the arc spectrum of iron 1009.

Otto Laporte. Struktur des Eisen-

spektrums 1591, 1592.

Hantaro Nagaoka and Yoshikatsu Sugiura. Regularity in the distribution of spectral lines of iron and intra-atomic magnetic field 1513.

Henry Norris Russell. Singlet Series in the Spark Spectrum of Aluminium

1009.

V. Thorsen. Seriefremstilling af Guld og Blys Liniespektre 401.

C. C. Kiess. Series in the arc spectrum

of molybdenum 1008.

Harriet Knudsen Kiess. and Analysis of the arc spectrum of titanium 1593.

A. Catalán. Structure des spectres d'arc des éléments des colonnes 6 et 7 de la Table périodique 1594.

Ernst Lau. Feinstruktur ausgewählter

Spektrallinien 1166.

R. Merton and R. C. Johnson. Spectra associated with Carbon 50.

Joachim v. Wisniewski. Cäsiumdubletts 1009.

Struktur des Miguel A. Catalán.

Scandium-Spektrums 637.

System von Quartetten im Spektrum des neutralen Scandiumatoms und Klassifikation nach dem periodischen System 707.

W. F. Meggers. Regularities in the arc

spectrum of vanadium 195.

Otto Laporte. Anordnung der Vanadiumlinien in Multipletts 565.

W. Pauli jr. Zur Frage der Zuordnung der Komplexstrukturterme in starken und in schwachen äußeren Feldern

Georg Jacoby. Elektrische Polarisation des Dielektrikums 566.

R. v. Hirsch. Einwirkung des Magnetfeldes auf die Polarisation des Kanalstrahlenlichtes 1499.

Paul S. Epstein. Simultaneous action of an electric and a magnetic field on

a hydrogen-like atom 655. M. Hansen, T. Takamine and Sven Werner. Effect of magnetic and electric fields on the mercury spectrum 58.

Paul D. Foote, A. E. Ruark and F. L. Mohler. D_2 Zeeman pattern

for resonance radiation 791.

effekt der Multipletts 308.

Einfluß eines Magnet-Georg Joos. feldes auf die Polarisation des Resonanzlichts 1157, 1509.

John Stuart Foster. Stark effect in helium which corresponds to that observed in the Balmer series 1162.

Tschulanowsky. Einfluß des elektrischen Feldes auf das Serienspektrum des Heliums 194.

W. F. Meggers. Vanadium multiplets

and Zeeman Effect 1163.

C. D. Ellis. Interpretation of β -ray and y-ray spectra 1766.

Maria Bělár. Spektrophotometrische Untersuchung der Verfärbungserscheinungen durch Becquerelstrahlen 401.

E. Fues. Berechnung wasserstoffunähnlicher Spektren aus Zentralbewegungen der Elektronen 562.

George L. Clark. Excitation, reflection, and utilization in crystal-structure analyses of characteristic secondary x-rays 750.

A. Landé. Theorie der Röntgenspektren

1012.

Stintzing. Die Röntgen-Hugo methodik 403.

H. Kennard. Art der Röntgenimpulse 1227.

Energieverbrauch bei der L. Grebe. Ionisation der Luft durch Röntgenstrahlen verschied. Wellenlängen 1365.

F. J. Harlow and E. J. Evans. Quality of x-rays produced by various high-tension generators and an incandescent cathode tube 687.

Louis de Broglie et A. Dauvillier. Système spectral des rayons Röntgen et structure de l'atome 1227.

Hugo Stintzing. Röntgenspektra und

periodisches System 403. N. Bohr und D. Coster. Röntgenspektren und periodisches System der Elemente 512.

D. Coster. Röntgenspektren und Bohrsche Atomtheorie 853.

P. Lukirsky. Weiche Röntgenstrahlen 1228.

Elis Hjalmar. Röntgenspektroskopische Messungen 198.

Manne Siegbahn. Spektroskopie der Röntgenstrahlen 789.

D. Coster. Qualitative und quantitative chemische Analyse mittels Röntgenstrahlen 820.

Hugo Stintzing. Quantitative chemische Analyse durch Röntgenstrahlen 1091.

A. Landé. Termstruktur und Zeeman- | Friedrich Dessauer. Stoffanalyse mi Röntgenstrahlen 1228.

J. Holtsmark. Charakteristisch Röntgenstrahlung der ersten Element 311.

George L. Clark and William Duane Evidence as to the mechanism of charateristic radiation 1688.

Frank Horton, Ursula Andrewes and Ann Catherine Davies. Exci tation of Characteristic X-rays from certain Metals 1598.

Kontinuierliches Röntgen A. March.

spektrum 311.

A. Karolus. Kontinuierliches Röntgenspektrum bei verschiedenen Ent ladungsfrequenzen 266.

Frank C. Hoyt. The Relative Intensity

of X-Ray Lines 730.

Gustav Kettmann. Intensität vor Röntgenspektrallinien bei höherer Spannungen 853.

Elis Hjalmar. Recherches sur la série des rayons X 311.

Gerhard Krohn Rollefson. Spectra series in the soft x-ray region 1227

Manne Siegbahn und August Záček Relative Intensität der K-Linien in Röntgenspektren 402.

Felix Joachim v. Wisniewski. K Anregungsgrenze d. leichten Elemente

1688.

Erik Bäcklin. Erregung der Funken linien in der K-Reihe der Röntgen die Theorie spektren und VOI Wentzel 1789.

Pierre Auger et Dauvillier Α. Existence de nouvelles lignes, dans le série L des éléments lourds 1225

P. A. Ross. Critical potentials o thorium M series lines 309, 401

V. Dolejšek. N-Serie der X-Spektre 1601, 1688.

D. Coster. X-Ray Spectra of Hafnium and Thulium 566.

A. Kramers. Theory of X-Ray Absorption and of the Continuou X-Ray Spectrum 1458.

D. Coster. Absorptionsspektren in

Röntgengebiet 1788.

F. K. Richtmyer and F. W. War burton. X-ray absorption coeffi cients of cobalt and nickel 310.

D. Coster, Y. Nishina und S. Werner Absorptionsspektren in der L-Seri der Elemente La (57) bis Hf (72) 936

F. W. Warburton and F. K. Richt myer. X-ray absorption coefficient in the neighborhood of K-limits 1600 continuité K d'absorption du krypton et du xénon 1225.

K. Richtmyer and R. C. Spencer. Width of the K absorption disconti-

nuity in silver 1688.

de Broglie et J. Cabrera. Spectre d'absorption de l'élément

(celtium) 1514.

tto Stelling. Zusammenhang zwischen chemischer Konstitution und Röntgenabsorptionsspektrum. Phosphorverbindungen 819.

alter F. Colby. Use of half quantum numbers in interpretation of hydrogen

chloride absorption bands 931. Sommerfeld. Regularities in the

screening Röntgen constants of spectra 123.

B. Green. Relativistic Röntgen L-doublets and screening constant 267, 1365.

indsav. Limites d'absorption L des

éléments Ba-Sb 566.

K. Richtmyer and F. W. War-Absorption of x-rays by burton. iron, cobalt, nickel and copper 1598. harles B. Crofutt. K and Labsorption

and emission spectra of tungsten 790. M. Cork. Characteristic L absorption of x-rays for elements of atomic numbers 62 to 77 197.

Landé. Wesen der relativistischen

Röntgendubletts 1090.

Sommerfeld und W. Heisenberg. Relativistische Röntgendubletts und Linienschärfe 726.

Landé. Wesen der relativistischen Dubletts bei d. Röntgenspektren 1226. Kossel. Ergiebigkeit der Röntgen-

fluoreszenz und Intensitätsvergleich Röntgenstrahlen verschiedener

Wellenlänge 788.

E. Hennings. Appearance of "ghosts" in the general radiation spectrum when x-rays are reflected from calcite crystals 604.

"J" Phenomena and G. Barkla.

X-ray Scattering 1514.

Physikalische Grund-Stintzing. lagen der quantitativen chemischen durch Analyse Röntgenemissionsspektren 1228.

anne Siegbahn. Röntgenographischchemische Untersuchungen 1666. ugo Stintzing. Röntgenographisch-

chemische Untersuchungen 1667. Apparence de réflexion Wolfers. des rayons X à la surface des corps 1226.

de Broglie et A. Lepape. Dis- S. K. Allison and William Duane. Reflection of characteristic bromine x-radiation by a crystal of potassium bromide 1687.

Duncan A. MacInnes and Theodore Shedlovsky. Intensities of reflection of the characteristics rays of palladium from fluorite 1598.

E. O. Hulburt. Theory of the refraction

of x-rays 1226.

F. Holweck. Propriétés optiques des rayons x mous, Diffraction, Réflexion 268.

Ralph W. G. Wyckoff. X-ray Diffraction Effects from Liquids and Liquid Mixtures 286.

Edmond Bauer, Pierre Auger et Francis Perrin. Théorie de la diffusion des rayons X 1179.

Helmuth Kulenkampff. Wellenlänge gestreuter Röntgenstrahlen 123.

J. A. Gray. Scattering of X-rays 1091.

G. E. M. Jauncey and H. L. May. Scattering of x-rays from crystal at small angles 266.

Arthur H. Compton. Scattering of X-rays 1597.

Wave-length measurements of scattered x-rays 310.

Scattering of X-ray Quanta and the J Phenomena 853.

G. E. M. Jauncey. Corpuscular quantum theory of the scattering of polarized x-rays 1298.

Arthur H. Compton. Quantum theory of the wave-length of scattered x-rays 1714.

B. Walter. Beugungsfransen an Spaltaufnahmen mit Röntgenstrahlen 929, 1687.

P. A. Ross. Wave-length and intensity of scattered x-rays 1091.

A. P. Wills. Change of wave-length in x-rays scattering 1179.

P. A. Ross. X-ray spectrograph for scattered radiation 1365.

George L. Clark and William Duane. Wave-lengths of secondary x-rays 1460.

Gerhard K. Rollefson. Very Soft X-Rays — the M-series for iron 268.

Emory Carl Unnewehr. Energy of the characteristic K-radiation from certain metals 1600.

F. K. Richtmyer. Relative number of K and L electrons expelled by x-rays 1600.

George L. Clark and William Duane. Tertiary x-radiation 789.

William Duane and George L. Clark. Character of tertiary rays at different angles from the primary rays 1453.

Arthur Schleede und Hans Gantz-Röntgenapparat mit Hochckow.

vakuumkamera 196.

- Hermann Behnken, Georg Jaeckel und Walther Kutzner. Der Geigersche Spitzenzähler als hochempfindliches Reagens auf Röntgenstrahlen
- H. Nagaoka and Y. Sugiura. Spectroscopic Evidence of Isotopic Elements 1786.
- and Tadao Mishima. Structure of Mercury Lines and Isotopes 1641.
- Isotopes of Mercury and Runge. Bismuth and Satellites of their Spectral Lines 1514.
- A. L. Narayan. Spectra of Isotopes 265. Arthur H. Compton and C. F. Hage-Polarization of secondary x-rays 1091.
- C. J. Brester. Symmetrie van kristallen in verband met de rest-stralen 1159.
- Kristall-Symmetrie und Reststrahlen 634, 1451. P. A. Ross.
- Crystal reflection and change of wave-length 1091.
- Rosseland. Quantentheorie der radioaktiven Zerfallsvorgänge 1125.
- H. Compton. Degradation of Gamma-
- Ray Energy 568.
 de Broglie und J. Cabrera.
 Photoelektronen der γ-Strahlen 639.
- Jakob Kunz. Photo-electric effect of Röntgen rays 1226.
- B. Kazda. Energy content of extreme ultraviolet mercury lines and photoelectric long wave-length limit of a clean surface of mercury 707. H. C. Rentschler and J. W. Marden.
- temperature high vacuum furnace 71.
- Herbert Bell. Halogen Hydrides 1456. J. A. Bearden. Test for Possible X-ray Phosphorescence 1597.

9. Lumineszenz. Fluoreszenz. Phosphoreszenz. Elektrolumineszenz.

- Rudolf Ladenburg und Hermann Senftleben. Leuchten der Flammen
- Elisabeth Kara-Michailova Hans Pettersson. Über die Messung der relativen Helligkeit von Szintillationen 1733.

- Georg Joos. Nachweis einer etwaige einseitigen Intensitätsverteilung beir Emissionsprozeß 568.
- E. Rupp. Zentren der Lichtemission de Alkalien 790, 1689.
- L. Hamburger. On Centres of Lumines cence and Variations of the Ga Pressure in Spectrum Tubes at Elec trical Discharges 465.

R. W. Wood. Spontaneous Incandes cence of Substances in Atomic Hy drogen Gas 535.

H. Kahler. Photo-electrical propertie of heated oxides 315.

Hanns Jung. Elektrodenlose Ring entladung 1755.

Erich Tiede und Arthur Schleede Lumineszenzerregung durch aktiver Stickstoff 55.

M. N. Saha and N. K. Sur. Modification of Nitrogen 1790. Activ

J. Ewles. Cathode-Luminescence and its Relation to States of Molecula Aggregation 466.

K. T. Compton and T. E. Foulke Origin of Ions in the Unsustaine

Glow Discharge 1206. Properties of Resonance Radiation and Excited Atoms 1789.

R. W. Wood and Alexander Ellett Influence of Magnetic Fields on th Polarisation of Resonance Radiation 57

Fritz Weigert. Polarisationszustan der Resonanzstrahlung und seine Be einflussung durch schwache magnet sche Felder 638.

R. Ladenburg. Elektrische Beeir flussung der Resonanzlinien des Na Dampfes 1299.

W. Wien. Leuchtdauer der Atome un Dämpfung der Spektrallinien 1161. Harold W. Webb. Duration of th

4,9-volt resonance radiation in me

eury vapor 56.
A. J. Dempster. Duration of ligh emission by hydrogen canal rays 20

Georges Déjardin. Excitation de spectres de l'argon du krypton et d xénon 1455.

Bruno Saxén. Lichtemission unter d Wirkung molelektrischer Kräfte a der Oberfläche von Kristallen 56

H. Hertz. Lichtopwekking door ele tronenbotsing 292.

R. Seeliger und M. Wendt. Anregut der Wasserstoffspektren durch Ele tronenstoß 1229.

A. Udden and J. C. Jacobson. Exc tation of the Helium spectrum l Electron bombardement 1455.

Davisson. A note on the thermo- | Karl Przibram. dynamics of thermionic emission 761, 762.

Seeliger. Stoßleuchten, Wiedervereinigungsleuchten und Anregungsfunktion 1229.

irl Teucke. Strahlung von Oxyden, hervorgerufen durch intensive Ka-

thodenstrahlen 1223.

Vegard. Light emitted from solid Nitrogen when bombarded with Cathode Rays, and its bearing on the Auroral Spectrum 1663.

ances G. Wick. Spectroscopic study of the cathodo-luminescence of

fluorite 1092.

Probability of hn A. Eldridge. inelastic collision of electrons in

mercury vapor 1436.

Tanaka. Cathodo luminescence of solid solutions of forty-two metals

Minkowski und H. Sponer. Durchgang von Elektronen durch Atome 1789.

Tanaka. Active agents in luminescent

zinc sulphides, willemites, and kunzites 1515. L. Nichols. Luminescence of titanium

oxide 709. T. Dufford, S. Calvert and Dorothy Nightingale. Luminescence of organo-magnesium halides 314.

tto Oldenberg. Elementarvorgänge bei Ausstrahlung der Jodbanden 1364. thur Schleede und Hans Gantz-Röntgenographische Unterckow. suchung lumineszenzfähiger Systeme

und Arno Gruhl. Röntgenographi sche Beobachtungen an lumineszenz-

fähigem Zinksilikat 93.

Jaubert de Beaujeu. Luminescence par les rayons de Röntgen 269. L. Bayley. Effect of x-rays on halite and sylvite 269.

arl Przibram und Elisabeth Kara-Michailova. Radiolumineszenz und

Radiophotolumineszenz 790.

essie A. Rodman. Effect of temperature on the luminosity of radium

compounds 1366.

rthur Schleede (nach gemeinsamen Versuchen mit M. Herter und W. Kordatzki). Schwärzung des Zinksulfids durch Licht 318.

und Max Herter. Schwärzung des Zinksulfids durch Licht 319.

Schwärzungsprozeß der B. Loeb. Zinksulfidphosphore 1515.

- Verfärbung und Lumineszenz durch Becquerelstrahlen
- und Maria Belar. Verfärbungen durch Becquerelstrahlen und die Frage des blauen Steinsalzes 790.

L. A. Ramdas. Colours of Chlorate of Potash 1458.

A. Petrikaln. Chemilumineszenz des Jodids der Millonschen Base 1601.

- André Job et Guy Emschwiller. Réduction photochimique du sulfure de zinc 1230.
- E. Newton Harvey. Animal luminescence 269.
- L. Nichols and H. L. Howes. Photoluminescence of flames 712,
- J. Tröger und O. Grünthal. Fluoreszenz 313.
- Maurice Curie. Action des radiations rouges et infra-rouges sur les sub-stances photoluminescentes 312, 940. Photoluminescence des solutions so-

lides 1461.

- Antonio Carrelli und Peter Pringsheim. Photolumineszenz von Farbstoffen in zähen Lösungsmitteln 312.
- Jean Perrin. Observations sur la fluorescence 404.
- Franck P. Pringsheim. und
- Fluoreszenz von Gasen 56. G. Cario und J. Franck. sierte Fluoreszenz von Gasen 56.
 - J. Franck. Sensibilisierte Fluoreszenz von Gasen 466.
 - Sensibilisieter Flu-H. Kopfermann. oreszenz von Blei-u. Wismutdampf 999.
 - F. H. Newman. Absorption produced by Electrically Luminescent Sodium Vapour 467.
 - A. Poritsky. Optical properties of fluorescent rhodamin B 1461.
 - J. Wawilow. Fluoreszenzausbeute von Farbstofflösungen 941.
 - W. L. Lewschin. Polarisiertes Fluoreszenzlicht von Farbstofflösungen 1601.
- N. C. Krishnaiyar. Fluorescence of Didymium in Glass 1461.
- J. R. Clarke. Fluorescence and Coloration of Glass produced by β -rays
- Francis E. Lloyd. Ultramicroscopically observable fluorescence 124.
- A. Gyemant. Messung des Fluoreszenzlichtes fester Körper 1515.
- Joseph Kenneth Marsh. Fluorescence Spectra 938.
- Fluorescence Spectra of Phenol and Phenolic Ether Vapours 1094.

W. De Groot. Lijnenfluorescentie bij | S. C. Lind. Phosphorescence of americ fluorietkristallen 1092.

J. C. Mc Lennan and D. S. Ainslie. Fluorescence and Channelled Absorption Spectra of Caesium and other Alkali Elements 710.

Luce polarizzata Antonio Carrelli. di fluorescenza 1033.

Fritz Weigert und Gerhard Käppler. Polarisierte Fluoreszenz in Farbstofflösungen 1601.

A. Petrikaln. Chemilumineszenz und Energieumwandlungen bei der Oxy-

dation des Phosphors 943. ilip F. Gottling. Time between Philip F. Gottling. excitation and emission for certain fluorescent solids 937.

Otto Oldenberg. Einwirkung des Magnetfeldes und des elektrischen Feldes auf die ultraviolette Jodfluoreszenz 1603.

R. Levaillant. Fluorescence et photo-

chimie 313.

Jean Perrin. Radiochimie de la fluorescence 467, 469.

- et Mlle Choucroun. Fluorescence, et lois générales relatives aux vitesses de réaction 1365.

C. McLennan and F. M. Cale.

Fluorescence of Aesculin 467. Francis E. Lloyd. Fluorescence of

certain Lower Plants 405. E. Q. Adams. Luminous efficiency of phosphorus glow 1602.

Hans Kuppenheim. Beständigkeit der Phosphoreszenzzentren 313.

B. Gudden. Gültigkeit der Stokesschen

Regel bei Phosphoren 466. P. Zeeman. Phosphorescentie bij zeer

lage temperaturen 315.

Antonio Carrelli und Peter Prings-Polarisierte Phosphoreszenz heim. 57.

Lord Rayleigh. Glow of Phosphorus, and its Extinction by Moist Oxygen 1460.

R. E. Nyswander and S. C. Lind. Measurements of thermo-phosphorescence of glass produced by radium radiation 937.

William Eric Downey. Relation between Glow of Phosphorus and Formation of Ozone 1093.

E. B. Ludlam and W. West. Phosphorescence of Fused Transparent Silica 1093.

Frances G. Wick and Josephine M. Gleason. Effect of heat treatment upon the cathode-phosphorescence of fluorite 1230.

iceland spar after radium radiati, 1366.

D. L. Chapman and L. J. Davi-Phosphorescence of Fused Trai parent Silica 1093.

10. Elektro- und Magnetooptik.

A. Sommerfeld. Allgemeine spektr skopische Gesetze, insbesondere e magnetooptischer Zerlegungssatz 21

E. F. Barker. Molecular spectra and

half-quanta 569.

R. W. Wood and Alexander Ellet Influence of Magnetic Fields on the Polarisation of Resonance Radiation 57.

Peter Pringsheim. Polarisierte R

sonanzfluoreszenz 1516.

Polarisation der Resonanzstrahlung von Dämpfen 1516.

E. Gaviola und Peter Pringshein Polarisation der Natrium-Resonan strahlung in magnetischen Felde 1516.

H. Rausch von Traubenberg. P larisationserscheinungen von Kan strahlenlicht im Magnetfelde 790.

E. Back. Zeemaneffekt 1791.

H. M. Hansen, T. Takamine a Sven Werner. Effect of magnet and electric fields on the mercu spectrum 58.

Harold D. Babcock. Zeeman effe for iron chromium and vanadium, as

determination of e/m 270.

Determination of e/m from measur ments of the Zeeman effect 240. A. Sommerfeld. Theorie der Mul

pletts und ihrer Zeemaneffekte 103

A. Landé. Termstruktur und Zeems effekt der Multipletts 308.

M. A. Catalán. Zeemaneffekt bei d Multipletts des Molybdäns 790.

W. F. Meggers. Vanadium multiple and Zeeman Effect 1163.

Fortrat. Bande $\lambda = 3064 \, \text{Å}$ l'oxygène 1512.

Paul D. Foote, A. E. Ruark a F. L. Mohler. D₂ Zeeman patte for resonance radiation 791.

M. Mosharrafa. Half-integ quantum numbers in the theory the Stark effect 1790.

H. O. Newboult. Stark Effect : Strong Electric Fields 569.

Paul S. Epstein. Stark Effect Strong Magnetic Fields 1791.

M. Mosharrafa. Stark Effect for Strong Fields 1791.

hn Stuart Foster. Analysis of the Stark effect in Balmer's series by Lo Surdo's method 125.

Fine analysis of the Stark effect for H_{β} and He $\lambda 4686$ 1690.

Stark effect in hydrogen and helium 1690.

Ladenburg. Unsymmetrischer elektrischer Effekt an den D-Linien 942.

aul S. Epstein. Simultaneous action of an electric and a magnetic field an a hydrogen-like atom 655.

an Becquerel. Absorption de la lumière et phénomènes magnétooptiques dans les composés de terres rares aux très basses températures 315.

Szivessy. Dispersion der magnetischen Doppelbrechung 125.

éfan Procopiu. Biréfringence électrique et magnétique des suspensions 1602.

H. Havelock. Magnetic Rotary Dispersion in Gases 1603.

O. Hulburt. Magnetic and natural rotatory dispersion in absorbing media 569, 1231.

Sende und G. Wiarda. Drehung der Polarisationsebene des Lichtes Flüssigkeiten durch ein magnetisches Feld 1367.

arshall Holmes. New Phenomenon

R. Ingersoll. Magnetic rotation in sputtered cobalt films 791, 1167.

Tieri. Grandezza dei granuli di una soluzione birifrangente di ferro colloidale e costante di Avogadro 854.

de Mallemann. Polarisation rotatoire et orientation moléculaire 569. uno Saxén. Lichtemission unter der

Wirkung molelektrischer Kräfte an der Oberfläche von Kristallen 563. alther Gerlach. Beobachtung von

Marshall Holmes am Faraday-Effekt 1689.

Szivessy. Elektrooptischer Kerreffekt bei Gasen 1690.

Walch. Bepaling van het electrooptisch Kerr-effect in vloeibare gassen met een toepassing of zuurstof 1690. de Forest Palmer. Optical effect of electrostatic charge 1690.

nne Siegbahn. Röntgenstrålarnas

totalreflexion 405.

11. Lichtelektrischer Effekt.

B. Gudden und R. Pohl. Das Quantenäquivalent bei der lichtelektrischen Leitung 58.

Fritz Kirchner. Theorie des lichtelektrischen Effekts 1516.

R. Dümpelmann und W. Hein. Zur Kenntnis d. lichtelektr. Effektes 855.

E. A. Milne. Statistical Equilibrium in relation to the Photo-electric Effect 1367.

Herbert E. Ives. Velocities of emission of photo-electrons in the normal and selective photo-electric effects 60.

Irving Langmuir. Reflection of elec-

trons induced by light 570. Reflection of electrons caused by

light 791. Frank W. Bubb. Direction of ejection

of photo-electrons by polarized Xrays 1095.

Quantum theory of the direction of ejection of photo-electrons 1096.

Rudolf Suhrmann. Abhängigkeit der Elektronenemission von der beladung der Metalle 1098.

G. E. M. Jauncey. Photoelectrons and a Corpuscular Quantum Theory of the Scattering of X-rays 1461.

R. J. Piersol. Symmetry of incident and emergent photo-electronic velocities

Incident and emergent Chien Cha. velocities of photo-electrons emitted from thin platinum films 1097.

Otto Klemperer. Lichtelektrische Geschwindigkeitsverteilung 59.

Photoelektrische Rudolf Störmer. Ströme 793.

Becquereleffekt an Emmi Deneke. Wismutoxydelektroden 792.

René Audubert. Action de la lumière sur les électrodes de métaux à faible tension de dissolution 942, 1197.

Ernest Merrit. Effect of light on the behavior of selenium contact rectifiers 1231.

Jakob Kunz and E. H. Williams. Photoelectric effect of caesium vapor and determination of Planck's universal constant h 60.

- Photo-electric effect of caesium vapor 571.

Normaler und selektiver K. Farwig. Photoeffekt der Alkalimetalle 792.

Paul H. Geiger. Spectro-photoelectrical effects in argentite: production of an electromotive force by illumination 792.

Theodore W. Case. effect in audion bulbs of the oxide-

coated filament type 639.

Energy content of ex-C. B. Kazda. treme ultraviolet mercury lines and photoelectric long wave-length limit of a clean surface of mercury 707.

W. Coblentz. Various photoelectrical investigations 60.

Seb. Timpanaro. Esperienze di foto-

elettricità 61. W. Gerlach. Photoaktivität und ähn-

liche Erscheinungen 270. J. Tykocinski-Tykociner and Jacob Kunz. Photo-electric cells with hot

filaments 317. J. Rud. Nielsen. Effect of temperature and surface impurities on photo-

currents with aluminium surfaces 791. Ll. Hughes and Elias Klein. Ionization of gases as a function of the energy of electron impacts 1518.

Albert E. Woodruff. Photo-electric emission from platinum as affected by

heat treatment 1097.

F. G. Tucker. Effect of heat treatment on the photoelectric emission from platinum 1098.

Tykocinski-Tykociner and Kunz. Photo-electric cell 1097, 1517.

A. Grumbach. Piles à liquide fluorescent 1516.

Theodore W. Case. Strontium and Barium Photo-electric Cells 639.

M. Levi. Photoelektrische Leitfähigkeit des Diamants und anderer fluoreszierender Kristalle 791.

Vola Price Barton. Light sensitivity of cuprous oxide and of selenium 1517.

Empfindlichkeit der Hans Küstner. Selenzelle auf Röntgenstrahlen verschiedener Wellenlänge 1691. H. Kahler. Photo-electrical properties

of heated oxides 315.

- Photo-electrical properties of the phosphors 315.

B. Aulenkamp. Normaler Kathodenfall und lichtelektrische Empfindlichkeit einiger Metallsulfide und Metalloxyde

Allen D. Garrison. Behavior of cuprous oxide photo-voltaic cells 317. B. Gudden und R. Pohl. Lichtelektri-

sche Leitfähigkeit des Zinnobers 316.

W. W. Coblentz. Photoelectrical and thermoelectrical properties of molybdenite 60.

J. Bingel. Lichtelektrische Wirkung in Steinsalzkristallen 1098.

Photo-electric | G. Ferrié, R. Jouaust et R. Mesn Amplification du courant des cellu photo-électriques et ses applicatio 571.

M. L. Dey. Phototropic Compounds

Mercury 61.

G. Rougier. Piles photoélectriques leur application à la photométrie 57 Arthur L. Schoen. Adaptation of t

thalofide cell to the measurement photographic densities 1235.

K. Kähler. Meßmethoden der Sonne und Himmelsstrahlung 192.

L. Vegard. Constitution of the Upp Strata of the Atmosphere 200.

 Nordlichtspektrum und Konstituti der oberen Atmosphärenschicht 122

Constitution des couches supérieur de l'atmosphère 1788.

M. de Broglie et J. Cabrera. Étu des rayons γ au moyen de leur eff

photoélectrique 296. - Photoelektronen der γ-Strahl

639. Leitfähigkeitsänderung d E. Rupp. Phosphore durch Kathodenstrahl

B. Gudden und R. Pohl. Elektrisc Leitfähigkeit bei Anregung und Lich emission von Phosphoren 570.

T. R. Wilson. Investigations X-Rays and β -Rays by the Clo Method 770, 839.

P. I. Lukirsky. Soft X-Rays fro

Carbon 1368.

J. M. Hyatt. Modification of t thermionic current in vacuum tul when potassium deposited on t inside walls or grid of the tube illuminated 1447.

G. Athanasiu. Action calorifique rayonnement sur des métaux plons dans des solutions de leurs sels 15

G. Grube und L. Baumeister. Einfl von Licht und Röntgenstrahlen e anodisch polarisierte Platinelektrod 1518.

O. v. Baeyer und W. Kutzner. Glim lampe als Zählkammer 1604.

12. Photochemie. Photographie.

- M. Kundt. Makrophotographie 6 Walter Thiem. Farbenphotograp. 641.
- A. Köhler. Chemische oder aktinisch Flächenhelle einiger Lichtquellen u deren Anderung durch eingeschalt Mattscheiben 270.

P. Clerc. Perspective photographique Loyd A. Jones. Instrument for the 857.

rtrud Kornfeld. Experimenteller Beitrag zur Theorie der Strahlungsumformungen 945.

Eggert und W. Noddack. Untersuchungen an photographischen Svstemen 1792.

b. Richter. Methode, die Wirkung afokaler Vorsatzplatten auf die Einstellung photographischer Kameras zu vermindern 1792.

lter Stoess. Messen mit dem Martensschen Photometer und Veränderlichkeit photographischer Schwärzungen 1792.

né Wurmser. Mécanisme de la

photosynthèse 326.

en Bergstrand. Einfluß der Fokussierung auf die photographisch wirksamen Wellenlängen 1102.

A. Mallet. On the failure of the reciprocity law in photography 406. Theorie der photo-Steigmann. Lichtempfindlichkeit graphischen 1102.

E. Sheppard and E. P. Wightman. Theory of photographic sensitivity 945.

A. P. H. Trivelli and E. P. Wightman. Exposure theories 573.

A. Jones and E. Huse. Relation between time and intensity in photographic exposures 857.

Der Schwarzschildsche Exauss.

ponent 1232. V. Wells c Wells and J. F. Heineken. Effect of humidity upon photographic speed 1692.

né Wurmser. Rendement éner-gétique de l'assimilation chloro-

phyllienne 1605. J. I. Crabtree. A. Jones and Sensitometer for the determination of exposure in positive printing 1370. H. George. Photographic Records 948.

lmut Scheffers. Studien über die

Solarisation 469.

E. Ross. Mensurational characteristics of photographic film 1013.

E. Sheppard, E. P. Wightman and A. P. H. Trivelli. Topochemistry of development and sensitizing nuclei 1013.

I. Crabtree, H. A. Hartt and G. E. Matthews. The effect of electrolysis on the rate of corrosion of metals in photographic solutions 857.

measurement of high photographic densities 406.

George R. Harrison. Simple densitometer for accurate work 406.

H. Buisson et Ch. Fabry. Lois du noircissement des plaques photographiques 793.

S. E. Sheppard. Gelatin in the Photographic Process 1234.

C. A. Schleussner. Diffusionsvorgänge in Gelatine 1607.

George R. Harrison and Cedric E. Hesthal. Panchromatic film characteristics in the ultra-violet 1300.

C. E. K. Mees and G. O. Gutekunst. Sensitizers for the Deep Red 1233.

Osamu Masaki. Sensitizing Action of Heat on Photographic Plates for the Infra-Red Ray 1791.

A. Terenin. Photographische Methode

im Ultrarot 1233.

Arthur L. Schoen. Adaptation of the thalofide cell to the measurement of photographic densities 1235.

Adolf Hnatek. Anwendung strenger Selektivfilter bei spektralphotometrischen Untersuchungen 641.

R. Levaillant, Fluorescence et photo-

chimie 313. C. Toy. Mechanism of the latent F. C. Toy.

L. Lumière, A. Lumière et A. Seve-Développement de l'image latente après fixage 1691.

— Image latente photographique

1692.

C. Davidson. Amount of the displacement in gelatine films shown by precise measurements of stellar photographs 572.

Vitesse des réactions Lasareff. photochimiques sous l'action d'une lumière dont l'intensité est périodique 1099, 1464.

Richard C. Tolman. Temperature coefficient of photochemical reaction

rate 470.

Padoa. Ausbeute bei einigen photochemischen Reaktionen 712.

Fritz von Konek und Alois Loczka. Demonstrierung der chemischen Lichtwirkung 1791.

A. K. Sanyal und N. R. Dhar. Photo-

chemische Katalyse 713.

S. E. Sheppard, Felix A. Elliott and S. S. Sweet. Photographic chemistry of gelatin 574.

E. P. Wightman, A. P. H. Trivelli Frank E. E. Germann and Malco and S. E. Sheppard. Structure of the photographic emulsion 573.

Erich Stenger und Alfred Herz. Photographische Bilderzeugung durch bildmäßige Abstufung geeigneter chemischer Agenzien 640.

Pro-Ch. Fabry et H. Buisson. priétés des plaques photographiques

1370.

Plotnikow. Stand der photo-

chemischen Versuchstechnik 1300. L. A. Jones. Gloss characteristics of

photographic papers 1300. and M. F. Fillius. Gloss characteristics of photographic papers 1300. S. E. Sheppard and A. P. H. Trivelli.

Svedberg's Method of Grain Analysis of Photographic Emulsions 1103.

W. Kuhn. Décomposition de l'ammoniaque par les rayons ultraviolets et loi d'équivalence photochimique 944. Volmar. Photolyse et la loi d'équi-

valence photochimique 1368. Fritz Weigert. Photochemie der photographischen Trockenplatte 126.

Heinrich Tramm. Einfluß der Trocknung auf photochemische Reaktionen 321.

J. Eggert und W. Noddack. Prüfung photochemischen Äquivalentgesetzes an Trockenplatten 856.

- Prüfung des photochemischen Äquivalentgesetzes an Halogensilberemul-

sionen 855.

Arthur Schleede (nach gemeinsamen Versuchen mit M. Herter und W. Kordatzki). Schwärzung des Zinksulfids durch Licht 318.

und Max Herter. Schwärz Zinksulfids durch Licht 319. Schwärzung des

Allen Garrison. Photo-chemical properties of cuprous oxide 1231.

J. Eggert. Cyanometrisches Verfahren zur quantitativen Silberbestimmung in photographischen Präparaten 641.

E. Sheppard. Silver N. Theory of Development 1102. Silver Nucleus

P. S. Helmick. Quantity of light energy required to render developable a grain of silver bromide 1234.

A. P. H. Trivelli, F. L. Righter and S. E. Sheppard. Mutual Infection of Contiguous Silver Halide Grains in Photographic Emulsions 1233.

E. P. Wightman, A. P. H. Trivelli, S. E. Sheppard. Dispersity of silver halides in relation to their photographic behavior 714.

C. Hylan. Dispersity of silhalides in relation to their pho graphic behavior 1370.

Dispersity of 1 E. Sheppard. Silver Halides in Relation to the Photographic Properties 1519.

J. Eggert und G. Archenhold. tisches Streuvermögen photographis entwickelter Silberschichten 1464. K. Fajans und W. Frankenburge

Besetzungsdichte bei der Adsorpti von Silberionen durch Bromsilber 3

Einwirkung d Ragnar Strömberg. Lichtes auf Bromsilber 61.

W. Frankenburger. Spektrale Em findlichkeit des Bromsilbers und il Beeinflussung durch adsorbierte Sto 320.

K. F. Herzfeld. Eine elektrostatisch Überschlagsrechnung zur Arbeit v W. Frankenburger, Spektrale Em findlichkeit usw. 321.

T. Slater Price. Desentising of Silv Bromide-Gelatin Plates 406.

Walter Clark. Sensitivity of a silv bromide emulsion 573.

Schwarz und Heinri Stock. Photochemische Zersetzu des Bromsilbers 322.

S. E. Sheppard and A. P. H. Trivel Influence of crystal habit on the phochemical decomposition in silv bromide crystals 1099.

A. P. H. Trivelli. Einfluß des Silb jodids auf die Empfindlichkeit (Silberbromids gegen Licht 471.

Robert Schwarz und Peter Gro Photochemische Zersetzung des Chle silbers 1369.

Frank E. E. Germann and Malco C. Hylan. The Photographic sens

veness of silver iodide 470. K. C. Sen und N. R. Dhar. Verhalt von Silberchromat in Gelatine u eine Erklärung für Liesegang-Rir 1606.

S. C. Lind. Gas kinetics 945.

Fritz Weigert und Karl Kellermar Photochemie des Chlors 323.

Karl Schaum. Aktivierung des Chl 62.

Fritz Weigert. Die photochemisch Chlorreaktionen 317.

Muriel Catherine Canning Cha Photochemical Interaction man. Chlorine and Hydrogen 943.

A. Berthoud. Cinétique de la pho synthèse de l'acide chlorhydrique 11

Kiss. chlorids 202.

John Bowen. mund Photochemical Decomposition of Chlorine Monoxide 321.

red Coehn und Gerhard Jung. Einfluß des Wasserdampfdruckes und der Wellenlänge auf die photochemische Chlorwasserstoffbildung 1462.

Stobbe. Phototropieerschei-

nungen 125.

r. Winther. Oxydation des Jodwasserstoffs im Dunkeln und im Lichte 1100.

Berthoud et H. Bellenot, Réaction photochimique du brome ou de l'iode avec l'oxalate de potassium 1100.

Kuhn. Décomposition de l'ammoniaque par les rayons ultraviolets 1369.

K. Rideal and R. G. W. Norrish. Photochemistry of Potassium Per-manganate 471, 1231.

Book und J. Eggert. Photochlorierung des Toluols 319.

W. Porter, H. C. Ramsperger and Carolyn Steel. Action of ultraviolet light upon diketones 202.

Austin Taylor and W. C. M. Anthracene
dianthracene reactions photochemical and

thermal 1606.

Eggert und W. Borinski. Photochemische Sensibilisation der Maleinesterumlagerung durch Brom 713. Thunberg. Neuer Weg von der zum Formaldehvd. Kohlensäure

Theorie der Kohlensäureassimilation 325. to Warburg und Erwin Negelein.

Photochemische Bemerkungen zur Thunbergschen Theorie der Assimila-

tion der Kohlensäure 944. Einfluß der Wellenlänge auf den Energieumsatz bei der Kohlensäureassimilation 324.

Photochemische Beitz Weigert. merkungen zur Thunbergschen Theorie der Assimilation der Kohlensäure 325. Reduction of carbon A. Spoehr. dioxide by ultraviolet light 944. tz Weigert. Geschichte der Assimilation der Kohlensäure 1606.

bert Owen Griffith and William James Shutt. The Photochemical Reactivity of Ozone in Presence of Other Gases 942.

Lichtzerfall des Nitrosyl- | Robert Owen Griffith and Jane Mac Willie. The Photochemical Reactivity of Ozone in Presence of Other Gases 942.

Clark S. Robinson. Calculation of degree of photolysis of potassium nitrate 1691.

Paul F. Büchi. Quantenempfindlichkeit der Uranyloxalatphotolyse 1604.

Emil Baur. Chemismus der Photolyse

von Uranyloxalat 1604.

J. Livingston R. Morgan, Olive M. Lammert and Ray H. Crist. Photochemical Reactions in Solutions of the Alkali Halides in Acetophenone 1605.

E. R. Bullock. On Convection Effects in Photographic Bathing Operations in the Absence of Agitation 1103.

John H. Smith. Bleach-out process of colour photography 1370.

William Theodore Anderson, ir. Photolysis of potassium nitrate solutions 1463.

Erik Rudberg. Photochemische Spaltung von Monochlor- und Monobromessigsäure und das Einsteinsche Gesetz 1463.

G. Bredig und A. v. Goldberger. Beispiel photochemischer Reaktionskopplung und photochemische Zersetzung des Formaldehyds 1462.

William Theodore Anderson and Hugh Stott Taylor. Inhibition of the photochemical decomposition of hydrogen peroxide solutions 944. R. C. Banerji und N. R. Dhar. Tem-

peraturkoeffizienten einiger Dunkelreaktionen und Lichtreaktionen 1232.

Hans v. Euler und Erik Rudberg. Reaktionsvermittelnde Moleküle bei einer Licht- und Dunkelreaktion 1463.

George R. Harrison. Application of ultra-violet photographic photometry to problems of atomic structure 1792.

H. Ley und F. Volbert. Absorptionsmessung im Ultraviolett mit Hilfe photographischer Photometrie 1795.

Bildung des Ozons bei A. Eucken. niedrigen Drucken und tiefen Temperaturen 712.

Photographic re-Loyd A. Jones. production of tone 127.

A. Targonski. Künstliches Licht im Kinoaufnahmeatelier 127.

A. C. Hardy and L. A. Jones. Graininess in Motion picture negatives and positives 1233.

- W. W. Coblentz. Corrosion of polished | L. P. Sieg and C. R. Smith. Effect metal surfaces by ultra violet radiation 1605.
- A. Petrikaln. Chemilumineszenz und Energieumwandlungen bei der Oxydation des Phosphors 943.

Die Dekadenz der The Svedberg. Arbeit 271.

13. Spektroskopie. Mikroskopie.

H. Kayser und H. Konen. Handbuch der Spektroskopie 471.

F. A. Saunders. Modern spectroscopy 948.

A. Sommerfeld. Allgemeine spektroskopische Gesetze, insbesondere ein magnetooptischer Zerlegungssatz 214.

Ch. Fabry. Théorie de la relativité et déplacement des raies spectrales produit par le champ de gravitation 77.

Keivin Burns. Measurement of stan-

dard wave lengths 793. V. P. Lubovich, E. M. Pearen und J. C. McLennan. Infrarote Spektroskopie 795.

H. M. Randall. Infra-red Spectra 1513.

- Charles F. Meyer and Detlev W. Bronk. Interference bands produced by mica and use of mica windows in infra-red spectroscopy 781, 1449.
- J. Duclaux et P. Jeantet. Spectrographie pour l'ultra-violet 642.
- Kirschmann. Das umgekehrte Spektrum und die Spektralanalyse
- John Stuart Foster. Six-prism glass spectrograph 1077.
- J. S. Plaskett. Optical parts of the victoria spectrograph 1465.

Sinclair Smith. Spectrograph 1793.

Theodore Lyman. Vacuum grating spectrograph 1371.

R. W. Wood. Vacuum Grating Spectrograph and the Zine Spectrum 1793.

W. C. van Geel. Théorie du spectroscope à échelons 642.

Ernst Lau. Verbesserung der Lummer-Gehrcke-Platte für Interferenzspektroskopie 795.

Frank Allen. Tri-color mixing spectrometer 1078.

Clarence R. Smith. Effect of the material composing the sides of deep slits on the intrinsic intensity of light transmitted through the slits 574.

the material composing the sides deep slits on the intrinsic intensi of light transmitted by the slits 101

Adolf Hnatek. Beleuchtung ein Fläche durch einen Spektroskopspa

Jacques Errera. Supports colloida pour l'obtention de spectres d'émissie de solutions 574.

J. J. Manley. Production of Coloure Flames for use with Spectromete

and Polarimeters 472.

W. Hughes and T. R. Merton. Bh Flame produced by Common Sa on a Coal Fire 1692.

Lord Rayleigh. Iridescent Beetles 47 G. P. Woronkoff. Spektrophot metrische Untersuchung von Far

stoffen an Fasern 1014.

W. J. Schmidt. Untersuchung tier scher Hartsubstanzen mittels Opakilluminators 1015.

cazione dell'analisi spettrografica al ricerca di elementi racione C. Porlezza e A. Donati. italiani 1465.

E. v. Angerer. Erzeugung der Funke spektren von Lithium 202.

Carl Leiss. Universal-Funkenappar 1103.

F. H. Newman. A Sodium-Potassiu Vapour Arc Lamp 472.

A. Sellerio. Esperienze sull' arco ele trico a mercurio con un cato forato 381.

E. F. Nichols and J. D. Tear. Lor wave-radiation from the quartz me cury are and from cored carbon ar 1793.

Heber D. Curtis. Laboratory Ar 1693.

Hantaro Nagaoka and Yoshikats Sugiura. Spectroscopic Evidence Isotopy 1684.

LeRoy W. McCay. Light filter 130 P. P. Fedotieff und A. Lebede Absorptionsspektra von gefärbt

Gläsern 1167. R. T. Beatty. Monochromator for t ultra-violet, visible, and near infi red spectrum 395.

W. Schütz. Nachweis schwacher A sorptionslinien 472.

A. Boutaric et M. Vuillaume. Spe tre d'absorption des sols de sulfu d'arsenic 62.

W. Gross. Photographische Aufnahr von Absorptionsspektren im Ultr violett 1013.

ederick H. Getman. Ultra-violet V. Kohlschütter. Ultramikroskopische absorption spectrum of furfural 1465. Elektrodenvorgänge 1344. Stintzing. Die Röntgenmethodik 403.

nne Siegbahn. Spektroskopie der

Röntgenstrahlen 789.

igo Stintzing. Röntgenspektra und periodisches System 162, 403. Puccianti. Lunghezza d'onda dei

raggi Röntgen 857.

Coster, Y. Nishina und S. Werner. Absorptionsspektren in der L-Serie der Elemente La (57) bis Hf (72) 936. ul Günther. Tabellen zur Röntgenspektralanalyse 1794.

Herzog. Universalokular 1103. Mallock. Ruling Test Plates for

Microscopic Objectives 1301.

Berek. Abbildungsvorgang Mikroskop und Auflösungsvermögen im Hellfeld und Dunkelfeld 1607.

I. Rationelle Beleuchtungsanordnungen für Mikrophotographie und Mikroprojektion. II. Mikrophotographischer Apparat 1079.

rl Benedicks und Erik Walldow. Prüfung des Reichertschen Metallmikroskops. Beleuchtungsoptik des

Metallmikroskops 1014.

erius Peterfi. Doppelseitige Untersuchung mikroskopisch kleiner Objekte 1015.

Universalmikrod. Scheminzky.

skopierlampe 1103.

rad Beck. Microscope illumination. High power dark ground illumination 1234.

Mallock. Test-plates for Microscopes and Microscopic Definition 1301.

Bezeichnen bestimmter Castrén. Stellen in mikroskopischen Präparaten 1103.

Herzog. Markieren mikroskopischer Objekte 1103.

nhold Fürth. Anschlag für Mikroskopstative 1015.

ar Heimstädt. Stereoskopischer Aufsatz für Mikroskope 1016.

lwig Kofler. Verwendbarkeit eines Stereoaufsatzes für Mikro-

kope 1016. Heimstädt. Strahlenteilung für tereoskopische Mikroskope 1078.

ncis F. Lucas. Photomicrography n Application to Telephone Appaatus 857.

Theorie der Spiegelkondenoren für Dunkelfeldbeleuchtung und Itramikroskopie 1104.

J. W. Ryde and R. Huddart. Analysis of Bubbles in Glass 857.

P. R. Kögel. Herstellung von Klar-Mattscheiben auf photochemischem Wege 1015.

A. Cotton. Argenture du verre par le

procédé au formol 1371.

J. J. Manley. Modified Vacuum Tubes 1793.

H. von Halban, A. Machert und W. Ott. Zur Kenntnis der Trithiokohlensäuren und der Perthiokohlen-

14. Photometrie und Beleuchtungstechnik.

Carl Michalke. Der Zeitbegriff in der Photometrie 62.

Arthur P. Harrison. Geometric progression in optically prepared standards 327.

C. Crittenden. Measurement of

light 1168.

säure 327

Johann Sahulka. Ermittlung der räumlichen Lichtstärken beliebiger Lampen 128.

Bloch. Verwertung von Licht-

verteilungsmessungen 714.

S. E. Doane. Significance of Data on Illumination and Production 1373.

Guild. Photometry of optical instruments 1372.

E. P. Hyde and F. E. Cady. principle and its application to the Lummer-Brodhun Photometer 948.

L. C. Martin. Photometric Matching

Field 407.

R. Mecke und H. Ley. Gültigkeit des Beerschen Gesetzes bei Kupfersulfatlösungen 1794.

E. B. Rosa and A. H. Taylor. Theory, construction, and use of the photo-

metric integrating sphere 1016. G. W. Moffitt and Paul B. Taylor. Measurement of Transmission in Instruments 1154.

G. A. Shook. Combined illuminometer and reflectometer 1373.

Eugene M. Berry. Reflection of light from a sphere 1373.

Marsat. Combinaison de réflecteurs 1466. Non-polarising spectro-A. J. Bull.

photometer 1372.

F. E. Wright. Measurement of the Intensity of Transmitted and Reflected Light by Polarization Photometers

Polarization Photometer Prisms 1372.

Edison, Pettit and Seth B. Nichol- L. T. Troland. Influence of brightness son. Registering microphotometer of the mount Wilson observatory 1016.

M. Berek. I. Rationelle Beleuchtungsanordnungen für Mikrophotographie und Mikroprojektion. II. Mikrophotographischer Apparat 1079.

Wolframbogenlampe für Georgi.

Mikrographie 714.

Walter Stoess. Messen mit dem Martensschen Photometer und Veränderlichkeit photograph. Schwärzungen 1792.

Deane B. Judd. Spectral energy distributions produced by rotary mixing of complementary papers 1681.

Herbert E. Ives. Variable aperture rotating sectored disc 796.

Photometric disk Karrer. variable and directly readable while in rotation 1131.

V. Vouk. Bestimmung der chemischen Lichtintensität für biologische Zwecke 131.

H. Hartinger. Photometrie der Gullstrandschen Spaltlampe 202.

Arthur L. Schoen. Adaptation of the thalofide cell to the measurement of photographic densities 1235.

George R. Harrison. Application of ultraviolet photographic photometry to problems of atomic structure 1792.

M. Vuillaume et A. Boutaric. Photométrie de sources lumineuses constituées par des corps noirs 328. Enoch Karrer and U. M. Smith.

Diffusion of light from a search-light beam 575.

Luckiesh. Measurement of reflection- and transmission-factors 63. - Ultraviolet transmission of clear and

cobalt-blue glasses 64. K. Kähler. Meßmethoden der Sonnen-

und Himmelsstrahlung 192. C. Le Roy Meisinger. Sky brightness and daylight illumination 1373.

W. E. Forsythe. Colour Temperature and Brightness of Moonlight 308.

A. Burchard. Tageslichttechnisches 270. A. Wigand und K. Genthe. Messung

der vertikalen Sicht 1449.

— Präzisierung der Sichtmessung

Margarete Weiler. Sicht- und Sehweiten in schwach getrübten Medien 1450.

C. O. Fairchild. Disappearing Filament Optical Pyrometer Free from Diffraction Effects at the Filament 797.

and color upon flicker-photomet frequency 64.

Arnt Kohlrausch. Theoretisches u Praktisches zur heterochromen Phot

metrie 1017.

Helligkeitsvergleich verschieden Farben 1017.

K. S. Gibson. Spectral characterist: of test solutions used in heter chromatic photometry 1694.

Herbert E. Ives. Color-match phot meter for illuminants 1017.

M. Luckiesh. A Spectrophotograph filter 64.

J. Kunz. Law of photo-electric phot metry 64.

Charles W. Gamble. Projecti screens 328.

Frank Benford. Studies in the Projection of Light 1005, 1519, 1608, 1693.

Hans Gerdien und Albert Lot Lichtquelle von sehr hoher Fläche helligkeit 128.

L. J. Buttolph. Mercury arc in quart glass 948.

F. H. Newman. Potential Gradient the Sodium-Potassium Vapour Lamp 1285.

B. Schäfer. Wechselstrom-Projektion lampe mit erhöhter Lichtausbeute 13

E. Podszus. Der positive Krater 17 M. Gallois. Lampe asciatique 169

H. J. Denham. Pilot Lamps in Lab ratories 130.

J. W. Ryde. Rare Gas Dischar Lamps 537.

Henry Cardot et Henri Laugie Éclairage des lampes à vide p friction 1285.

J. Hein. Flimmern von Glühlampen Abhängigkeit vom Ungleichförm

keitsgrad 129.

Hans Michalke. Unterschied o Gleich- und Wechselbetrieb 129. Boutaric et M. Vuill-

A. Boutaric et M. Vuillaume. Pr priétés des sources lumineuses rayonnement intégral 407.

Karl Teucke. Strahlung von Oxyde hervorgerufen durch intensive K

thodenstrahlen 1223.

H. Ley und F. Volbert. Absorption messung im Ultraviolett mit Hi photographischer Photometrie 179

F. H. Newman. Absorption of Lig by Sodium Vapour 328.

P. H. van Cittert. Monochromate de grande luminosité et avec peu lumière diffuse 406.

tto Meissner. Kolorimetrische Unter- O. Henker. Zusatzrefraktometer zum suchungen 327.

von Kries. Aufgaben der Farben-

lehre 1695

124

B. Harvey. Growth in plants under artificial light 1104.

lugh Findlay. Response of plants to artificial light 1105.

ean Rev. Probabilité d'éclairer un avion à l'aide d'un faisceau de projecteur électrique balavant le ciel

nare d'aviation le plus puissant du

monde 1466.

eorg Gehlhoff und Helmuth Schering. Blendung, insbesondere durch Automobilscheinwerfer 130.

skar David. Technik d. medizinischen

Lichtwirkungen 131.

G. H. Lewis. Automatic Voltage Regulator 1374.

5. Physiologische Optik. Brillenoptik.

elmholtz's Treatise on Physiological Optics 1694.

ans Schulz. Neuere Arbeiten auf dem Gebiete der physiologischen Optik 131,

Théorie ionique de la Lasareff. vision périphérique 1169.

P. Hyde, W. E. Forsythe, F. E. Cady. Visibility of radiation 63.

A. Houstoun and Eric W. M. Heddle. Statistical Investigation of the Visibility of Red Light 132. W. Hartman. Visibility of radiation in the blue end of the visible spectrum 63.

S. Gibson and E. P. T. Tyndall. Visibility of radiant energy 1236. Optics of the nervous T. Troland. system 1237.

Das Auge als Meßans Schulz.

instrument 859.

Schottländer. Regelmäßige Schätzungsfehler und sie erzeugende Faktoren 138.

Diffraction E. Mourashkinsky. Pattern in a case of two very close

Point Light Sources 460.

Psychologisch-physiolo-Labitzke. gische Bisektionsfehler 1168.

Technique photographique Bull. pour la mise en évidence de faibles déformations dans les objets rectilignes 1695.

Y. Baker. Visual Acuity 473. C. Martin. Photometric Matching Field 407.

großen vereinfachten Gullstrandschen Ophthalmoskop 331.

Parallaxen-Refraktometer 331.

A. Kühl. Anwendung der Kontrasttheorie auf das Fadenmikrometer 859.

L. P. Clerc. Sur une question de perspective photographique 857.

William E. Hardy. Visual angle of lenses 949.

Lionel Laurance and H. Oscar Wood. Powers of Ophthalmic Lenses 202.

H. Boegehold. Bildgröße und Sehschärfe beim brillenbewaffneten Auge 331.

H. Hartinger. Brille und Raum-

wahrnehmung 331. M. von Rohr. Ältere Versuche zur Anpassung von Brillen an beide Augen 332.

E. Weiss. Prismatische Fehler der Brillengläser 331.

A. Brückner. Graphisches Rechnen bei der Brillenverordnung 332.

P. Cermak und Koffka. Bewegungsund Verschmelzungsphänomene 575.

Adolf Basler. Der Einfluß der Helligkeit auf das Erkennen kleiner Bewegungen 409.

Friedrich W. Fröhlich. Messung der Empfindungszeit 408.

Ll. Hopwood. Experiment Demonstrating Time-lag in Vision 473.

André Blondel et Jean Rey. Vérification de la loi de perception des lumières brèves à la limite de leur portée 1169.

André Broca et Turchini.

ments des yeux 1521.

Ondulation de fatigue Émile Haas. dans différentes régions du spectre 859.

Léon Fredericq. Temps perdu dans l'ordre d'apparition des images consécutives négatives 408.

Einfluß der Heinrich Rothschild. Gestalt auf das negative Nachbild ruhender visueller Figuren 409.

Frank Allen. Reflex visual sensations

M. S. Hollenberg. Verification of the principle of reflex visual sensations 1520.

W. A. Anderson. Reflex visual sensations and anomalous trichromatism 1520.

K. Krüger und J. Zenneck. merungssehen mit Ferngläsern 1236. Émile Haas. États d'adaptation régionale et relative de la rétine 329. Chas. Sheard. cular Fusion Comparisons 329.

C. H. Bryant. Third dimension in monocular vision 409.

James Weir French. Stereoscopy re-stated 473.

Wilder D. Bancroft and R. P. Allen. Metallic Luster 1609.

A. Polack. Form de l'expérience sur le chromatisme de l'oeil par obturation partielle de la pupille 330.

Arnt Kohlrausch. Theoretisches und Praktisches zur heterochromen Photometrie 1017.

verschiedener Helligkeitsvergleich

Farben 1017.

J. von Kries. Aufgaben der Farbenlehre

Franz Exner. Theorie des Farbensehens 408.

Frank Allen. Colour Vision and Colour Vision Theories 1019.

F. W. Edridge-Green. Colour Vision and Colour Vision Theories 330, 1019.

W. Peddie. Colour Vision and Colour Vision Theory 330, 408, 1019.

— The Physics of Colour Vision 1019.

Oliver Lodge and W. Peddie. Colour Vision and Colour Vision Theories 1019.

A. Houstoun and Eric Dow. Evaluation of the Colours of the Spectrum in Terms of the Three Primary Colours 1019. Irwin G. Priest. Det

Determination of color in terms of dominant wavelength, purity and brightness 1006.

Otto Meissner. Ostwaldsche Farbdoppelkegel 1021.

W. Peddie. Trichre Colour Vision 330. Trichromatic Theory of

Pikler. Julius Neue Psychologie, Physiologie und Psychophysik der Farbentöne 331.

Coulor Vision Nomenclature: Defatigue and Enhancement 1018.

Herbert E. Ives. Transformation of color mixture equations from one system to another 329.

M. Luckiesh. Demonstrating colormixture 1021.

Émile Haas. Sensation de jaune obtenu par mélange spectral 1374.

Frank Allen. Reflex visual sensations and color contrast 1018.

R. H. Sinden. Subjective Saturation of Spectral Hues. Individual Variations of the Normal Color-Sense 1020.

Uniocular and Bino- | R. A. Houstoun and W. H. Manson Method of investigating Colour Blindness 1020.

> Oskar Schneider. Einfluß der Lichtfarbe auf die Leistung des Sehorgans

> und seine Ermüdung 1521. Wilder D. Bancroft. Recognition of blue 852.

Irwin G. Priest. Frequencies of complementary Hues 1795.

E. L. Chaffée and Alice Hampson Effects of varying the wave length of the stimulating light upon the electrical response of the retina 1694

Oskar David. Technik der medizini

schen Lichtwirkungen 131.

7. Wärme.

1. Allgemeines.

The Svedberg. Die Dekadenz der Arbeit 271.

Raoul Pictet. Définitions des mots chaleur et température 1169.

Invar and related nickel steels 497 H. P. Waran. Design for the Friction Cones of Searle's Apparatus for the Mechanical Equivalent of Heat 410

W. T. David. Radiation in Explosions of Hydrogen and Air 260.

Hans Schulz. Das Glas 290.

Fritz Eckert. Physikalische Eigen schaften der Gläser 1154.

W. Bucksath. Baustoffe der Freileitungs-Isolatoren und ihre Anwendung in den verschiedenen Konstruktionen 662.

Karl Willy Wagner. Physikalischer Vorgang beim elektrischen Durch schlag von festen Isolatoren 392

E. Deiss. Konstanten des Chloräthyls 410.

H. Lorenz. Bedeutung der technischer Physik für den Maschinenbau 585

2. Thermodynamik.

L. Décombe. Théorie analytique de l'irréversibilité. Transformations élé mentaires isocinétiques 65.

Erwin Lohr. Entropieprinzip der Kon tinuitätstheorie 1609.

Bernard A. M. Cavanagh. Molecula Thermodynamics 860, 861.

Joseph S. Ames. Imaginary thermo dynamic process 1301.

nos E. Witmer. Supposed Limitation | E. H. Riesenfeld. Bildung von Ozon of the Second Law of Thermodynamics 1301.

d'E. Atkinson. Gas Pressures and Second Law of Thermodynamics 579. thur Fairbourne. Gas Pressures and the Second Law of Thermo-

dynamics 579.

Vasilesco Karpen. Piles électriques contredisant le deuxième principe de la thermodynamique 1742. D. Eastman. Statement of the third law of thermodynamics 576,

chard von Dallwitz-Wegner. Vorgänge in der Natur, die als solche eines Perpetuum mobile zweiter Art angesprochen werden können 576.

Bvk. Quantentheorie der Gase und

Flüssigkeiten 715.

D. Kleeman. Nature of the con-

stant of mass-action 1021.

colai Antonovitch Pushin and Elijah Vasiljevich Grebenshchikov. Adiabatic Cooling of Water and Temperature of its Maximum Density 410.

G. Bruhat. La réfraction des adiabatiques. Basses Températures 203.

adimir Njegovan. Absoluter Wert der Entropie realer Gase 1238. Polytropische Zuul Schreiber. standsänderungen der Gase 1708. ederick G. Keves. Association in

carbon dioxide from the Thomson effect 1795.

gh Nad Saha. Physical Properties of Elements at High Temperatures 949.

Urey. Heat capacities and entropies of diatomic and polyatomic

gases 861.

stav Tammann. Lehrbuch der heterogenen Gleichgewichte 957.

A. H. Schreinemakers. In-, monoand plurivariant equilibria 1105. T. Larson and R. L. Dodge. Ammonia equilibrium 474.

oles of thermodynamic properties of

ammonia 576.

lliam A. Bone, Dudley M. Newitt and Donald T. A. Townend. Influences of Water Vapour and Hydrogen upon the Explosion of Carbon Monoxide-Air Mixtures at High Pressures 133.

Berl und H. Fischer. Explosible Gas- und Dampf-Luft-Gemische 951.

Riesenfeld und M. Beja. Thermische Bildung von Ozon 949. und Wasserstoffsuperoxyd in der Knallgasflamme 1609.

Bordoni. Trasformazioni tropiche dei vapori saturi 949.

Osc. Knoblauch und H. Hausen. Erwärmung der Luft beim Thomson-Joule-Effekt bei tiefen Temperaturen 715.

G. Kull. Tiefe Temperaturen 576.

R. Emden. Astronomische Strahlenbrechung in polytropen Atmosphären 1082.

J. W. Sandström. Polarfront 1037. H. v. Ficker. Polarfronttheorie 1106. E. Kidson. Theory of the Polar Front 1374.

K. Kotschin. Theorie der Polarfront 1796.

Franz Baur. Polarfront und Äquatorialfront 1106.

E. G. Mariolopoulos. Formation des dépressions locales méditerranéennes et théorie norvégienne du "polar front" 204.

W. Peppler. Bjerknessches Schema der Kälte- und Wärmefront 1796.

F. J. W. Whipple. Disturbance of the Uniform Temperature of the Stratosphere by the Vertical Displacement 1239.

R. Wenger. Theorie der Berg- und Talwinde 1107.

Rodolphe Soreau. Lois de variation des caractéristiques le l'air standard avec l'altitude 65.

Osc. V. Johansson. Schnelle und wellenförmige Luftdruckschwankun-

gen 9.

F. A. Lindemann and G. M. B. Dob-Temperature of the Air at son. Great Heights 577.

W. H. Dines. Cause of Anticyclones 66.

Napier Shaw. Vertical Change of Wind and Tropical Cyclones 1037.

A. H. R. Goldie. Cause of Anticyclones 1107.

P. Debye und E. Hückel. Theorie der Elektrolyte 577. O. Schärer. Theorie der Löslichkeits-

beeinflussung bei starken Elektrolyten 1467.

J. A. V. Butler. Solubility of strong electrolytes 1468.

Osmotische Zustands-Debve. gleichung und Aktivität verdünnter starker Elektrolyte 1106.

Richard Lorenz. Theorie der Dampf-

spannungskurve 1786.

Manuel M. Green. Heat of vapori- | Farrington Daniels and Elmer zation, a function of the temperature

Richard Lorenz und W. Herz. Siedepunkte und Verdampfungswärmen bei Salzen 1467.

Thermal emission and evaporation from water 1800.

Robert J. Piersol. Vapor pressure constant for silver 1799.

Mayor F. Fogler and Worth H. Rodebush. Heats of vaporization of mercury and cadmium 334.

Roscoe H. Gerke. Free energy of mercurides 1105.

T. J. Webb. Free energy and heat of formation of zine iodide 862.

F. Russell Bichowsky. Free energy of the thiosulfate ion 862.

Niels Bjerrum. Thermodynamik des Aktivitätskoeffizienten und des osmotischen Koeffizienten 862.

W. K. Lewis and E. V. Murphree. Relation between vapor pressure and vapor composition in binary mixture of volatile liquids 1239.

Albert Colson. Contribution aux lois

de la solubilité 814.

hdan Szyszkowan. for uni-univalent salts 1064. Bohdan Szyszkowski.

P. Mondain-Monval. bilité des sels 1467.

Kurt Wohl. Dissoziation des Wasserstoffs 1238.

Dissoziation des Chlors 950.

J. K. Syrkin. Kinetische Begründung der chemischen Affinität 332.

Shizuwo Sano. Application of Thermo-dynamical Principles to the Time Rates of Chemical Changes and Vaporization 1696.

Herbert S. Harned. Radiation and

chemical reaction 271.

McKeown. Velocity of a Unimolecular Reaction 333.

W. C. M. Lewis. Velocity of a Unimolecular Chemical Reaction 334. James Rice. Velocity Constant of a

Unimolecular Reaction 333.

Chemische Konstanten Kurt Wohl. von Chlor, Brom und Jod im einund zweiatomigen Zustand 1374.

H. C. Urey. Distribution of electrons in the various orbits of the hydrogen atom 1533.

Ludwig Ebert. Berechnung von Aktivitätskoeffizienten einfacher Ionen 1106.

A. Gyemant. Theorie der Ionenadsorption 1064.

Johnston. Thermal decomposition of gaseous nitrogen pentoxide 27 William J. Kearton. Use of mercu

in binary fluid turbines 584. H. Lorenz. Bedeutung der technisch

Physik für den Maschinenbau 58

3. Kinetische Theorie der Wärme.

Sydney Chapman. Integrals Occurring in the Kinetic Theory of Gases 111

A. Byk. Quantentheorie der Gase un Flüssigkeiten 715.

G. Breit. Are quanta unidirectiona 656.

P. Tartakowsky. Quantelung d asymmetrischen Oszillators w elastisches Spektrum 654.

Walter Gerlach. Atomstrahlen 179 Max Planck. Energieschwankungen b periodisch Superposition Schwingungen 657.

 Quantenstatistik der Energi

schwankungen 657.

E. Császár. Theorie der spezifische Wärme 79.

Erwin Schrödinger. Spezifisch Wärme fester Körper bei hoh Temperatur und Quantelung von Schwingungen endlicher Amplitue 716.

Richard C. Tolman. Rotation specific heat of hydrogen 952.

Rotational specific heat and he quantum numbers 1696.

- and Richard M. Badger. Entrop of diatomic gases and rotation specific heat 1697.

J. H. Van Vleck: Specific heat of a elastic gyroscopic model of the h

drogen molecule 1170.

Formula for the J. R. Ashworth. Specific Heat of Ferromagnetic Su stances and its Discontinuity at the Critical Temperature 953.

F. H. MacDougall. Molecular heat

hydrogen 1697.

D. Enskog. Quantentheorie des Dami druckes und der Dissoziation 71

J. Haag. États particuliers d'une mas gazeuse, conformes a la loi de Ma well 411.

S. P. Owen. Ableitung der van d Waalsschen Dampfdruckformel w Notiz über Moleküldurchmesser 79

R. H. Fowler. Sutherland's constant and van der Waals' a and the relations to the intermolecular fie 579.

Theorie en de L. s. Ter Heerdt.

toepassingen van gassen 334.

A. Lindemann. Selective Interruption of Molecular Movements 411. thur Fairbourne. Limit of Applicability of the Second Law of Thermodynamics 579.

B. Pidduck. Kinetic Theory of a Special Type of Rigid Molecule 1522. win Schrödinger. Ge und freie Weglänge 1107. orth H. Rodebush. H Gasentartung

Problem of

gas degeneration 1170.

Bennewitz. Theorie der Gasentartung und der Nullpunktsenergie

Heis. Thermodynamique du gaz en mouvement 1522.

anz Simon. Chemische Konstante des Quecksilbers 474.

R. Partington. Chemical Constants

of Diatomic Gases 580.

Whytlaw-Gray, J. B. Speakman and J. H. P. Campbell. Smokes: Their Behaviour and a Method of Determining the Number of Particles they Contain 599.

- A Method of Determining the Size of the Particles in Smokes 600. ax Mason and Warren Weaver. Settling of small particles in a fluid

1185.

J. J. Thomson. Recombination of Gaseous Ions 951.

chard v. Dallwitz-Wegner. Zustand der oberen Schichten der Atmosphäre 1240.

Atmosphärische Temperaturabnahme nach oben; Sama-Zustand der Materie

Jäger. Atmosphärische Temperaturabnahme nach oben; Sama-Zustand

der Materie 1240.

Weickmann. Atmosphärische Temperaturabnahme nach oben; Sama-Zustand der Materie 1240. Ehrenfest. Alter Trugschluß be-

treffs des Wärmegleichgewichtes eines Gases im Schwerefeld 1240.

Sama-Zustand lhelm Anderson. der Atmosphäre 1240.

Gehrcke. Sama-Zustand 1240.

ank Maurice Cray and William Edward Garner. Rapid Admixture of Hot Combustible Gases with Air 1797.

B. Wahlin. Behavior of free electrons toward gas molecules 1522. Herz. Schwingungszahlen bei Salzen

1522.

S. Ornstein. Anisotropie der flüssigen Kristalle bezüglich ihrer Dielektrizitätskonstanten und ihrer elektrischen Leitfähigkeit 1744.

4. Temperaturmessung.

P. Nicholls. Temperature Measurements 1022.

Karl Hencky. Technik der Temperaturmessungen 1375.

I. O. Griffith. Measurement of Very

High Temperature 1376.

W. H. Keesom et H. Kamerlingh Onnes. Échelle de température internationale pour les basses températures 1697.

F. Henning und W. Heuse. Henning und W. Heuse. Temperaturskale zwischen 0 und - 1930 durch das Platinwiderstandsthermo-

meter 1170.

Jean Timmermans. Température de congélation de substances organiques capables de servir de repères pour l'échelle des basses températures 1698.

W. E. Forsythe. Intercomparison of the high temperature scales in use in America with those in use in England

797. A. G. Worthing. True temperature scale of tungsten and its emissive powers at incandescent temperatures 51.

E. P. Hyde, F. E. Cady and W. E. Forsythe. Color temperature scales for tungsten and carbon 52.

Temperature scale adopted by the General Electric Company and the radiating properties of tungsten with reference to this scale 52.

B. E. Shackelford. Temperature and blackening effects in helical tungsten

filaments 53.

W. E. Forsythe. A Morse optical pyrometer adapted to a wide range of laboratory uses 66.

A. G. Worthing. Spektrales Emissionsvermögen und Schmelzpunkt des

Wolframs 1361.

Anwendung strenger Adolf Hnatek. Selektivfilter bei spektralphotometrischen Untersuchungen 641.

C. O. Fairshild. Disappearing Filament Optical Pyrometer Free from Diffraction Effects at the Filament 797.

H. Hausen. Messung von Lufttemperaturen in geschlossenen Räumen mit nicht strahlungsgeschützten Thermometern 1469.

B. G. Churcher. Measurement of temperature in a rotating armature by means of thermocouples 1699.

H. v. Wartenberg und H. Kannenberg. Entflammungstemperatur von

Wasserstoffknallgas 411.

Walter Mason. The Speed of the Uniform Movement of Flame in Mixtures of the Paraffins with Air 133.

H. C. Rentschler and J. W. Marden. High temperature high vacuum

furnace 71.

- C. A. Crommelin. Purification du néon et température critique du néon 1376.
- B. Eckardt. Kontaktthermometer 1301. Alfred Stock. Dampfdruck-Thermo-

meter 580.

- A. Imhof. Formel zur Berechnung der Temperatur von elektrischen Heizdrähten 416.
- A. Schumacher. Hilfstafeln für die Umkippthermometer nach Richter und Beiträge zur thermometrischen Tiefenmessung 334.

Carl Popp. Abstich- und Vergieß-

temperaturen 1797.

M. Pirani und K. Conrad. Bestimmung der wahren Temperatur undurchsichtiger diffus reflektierender Körper 1302.

Alfred Schack. Messung von Wärmemengen in turbulenten Gasströmen

133.

F. Henning und W. Heuse. Normale Siedepunkte von Sauerstoff, Stickstoff

und Wasserstoff 1171.

A. G. Worthing. Physical properties of molybdenum, tantalum, nickel, and platinum at incandescent temperatures 797.

T. S. Taylor. Surface transfer of heat

580.

5. Kalorimetrie. Spezifische und latente Wärme.

Charles Moureu, Charles Dufraisse et Ph. Landrieu. Méthode pour déterminer la capacité calorifique des solides et des liquides 1171.

Frederick G. Keyes and James A. Beattie. Calorimeter for measuring specific heats and heats of vaporization of liquids. Specific heat and heat of vaporization of liquid ethyl ether 1699.

Robert Robertson and William Edward Garner. Calorimetry of

High Explosives 158.

Measurement of Burt H. Carroll and J. Howar Mathews. Calorimeter for heats concouples 1699.

A. Perrier et Mlle H. Roux. Calor métrie adiabatique par voie électrique aux températures élevées es son application au quartz cristallis 204.

Ernst Cohen und A. L. Th. Moesveld Elektrisches, adiabatisches Kalor meter und Bestimmung der spezif schen Wärme von Cadmiumsulfalösungen 1109

lösungen 1109. Walter P. White. Electric heating o

calorimeters 1172.

W. A. Roth. Eichung von Verbrennungs kalorimetern und die international Festsetzung der Eichwerte 1699.

A. G. Worthing. Atomic heats of tungsten and of carbon at incander

cent temperatures 67.

P. Schläpfer und P. Debrunne Spezifische Wärme des graphitische Kohlenstoffes und des Kokses 47-

E. D. Eastman, A. M. Williams an T. F. Young. Specific heats of magnesium, calcium, zinc, aluminium and silver at high temperatures 1100

J. R. Ashworth. Formula for the Specific Heat of Ferromagnetic Substances and its Discontinuity at the Critical Temperature 953.

Worth H. Rodebush. Atomic hear of cadmium and tin at low temper

ratures 798.

Harold B. Dixon and Gilbert Green wood. On the Velocity of Sound i Gases and Vapors, and the Ratio Specific Heats 954.

Max Jakob. Spezifische Wärme de Luft im Bereich von 0 bis 200a

und von - 80 bis 250° 643.

Schmolke. Folgerungen aus de Münchener Untersuchungen der sp zifischen Wärme des Wasserdampfe 67.

Richard C. Tolman. Rotations specific heat of hydrogen 952.

J. H. van Vleck. Specific heat of a elastic gyroscopic model of the hy drogen molecule 1170.

J. R. Partington and A. B. How Ratio of the Specific Heats of Nitro

gen and of Oxygen 954.

E. Mathias, C. A. Crommelin H. Kamerlingh Onnes. Chalet de vaporisation et différence de chaleurs spécifiques à l'état de saturation pour l'argon, l'oxygène, l'azor et l'hydrogène 1377.

T. S. Sligh, Jr. and C. S. Cragoe. Specific Heat of Superheated Ammonia Vapor 271.

bles of thermodynamic properties of

ammonia 576.

24

M. Prentiss. Specific heat and thermal diffusivities of explosives

eorge W. Todd. Variation of the Specific Heat of a Gas With Tem-

perature 1797.

nst Cohen, W. D. Helderman und A. L. Th. Moesveld. Spezifische Wärme von Salzlösungen (Cadmiumjodid, Ammoniumnitrat und Zinksulfat) 1610.

Perrakis. Chaleur spécifique et la chaleur de mélange, dans le voisinage de l'état critique de mis-

cibilité 1700.

Brandt. Differenz der spezifischen Wärmen bei konstantem Volumen einer Flüssigkeit und ihres Dampfes 1382.

hn W. Williams and Farrington Daniels. The specific heats of organic liquids at elevated temperatures 953.

- Irregularities in the specific heats

of organic liquids 1798.

itz Lange. Spezifische Wärme bei

tiefen Temperaturen 1302.

A. Taylor and Wm. H. Rinken-Specific heats of trinitrobach. toluene, tetryl, picric acid and their molecular complexes 1108.

fred Schack. Messung von Wärmemengen in turbulenten Gasströmen

133.

Karrer und W. Fioroni. brennungswärmen der Kohlenhydrate 412.

Copaux et Ch. Philips. Chaleur d'oxydation du glucinium 413.

inrich Mache und A. Nägel. Änderung der Verbrennungsgeschwindigkeit von Wasserstoff-Luftgemischen mit Druck und Temperatur 580.

Schläpfer und W. Fioroni. brennungswärmen von Benzoesäure, Naphthalin und Rohrzucker 67.

nst Cohen und H. R. Bruins. Metastabilität der Metalle als Folge von Allotropie und ihre Bedeutung für Chemie, Physik und Technik 1053. und A. L. Th. Moesveld. Metastabilität der Elemente und Verbindungen als Folge von Enantiotropie oder Monotropie 1053, 1054.

Osborne, H. F. Stimson, | Ernst Cohen und H. R. Bruins. Metastabilität der Elemente und Verbindungen als Folge von Enantiotropie oder Monotropie 1053.

und J. Kooy. Metastabilität der Elemente und Verbindungen als Folge von Enantiotropie oder Monotropie

1053.

-, W. D. Helderman und A. L. Th. Moesveld. Metastabilität der Elemente und Verbindungen als Folge von Enantiotropie oder Monotropie 1054.

Metastabilität der Elemente und Verbindungen als Folge von Enantiotropie oder Monotropie 1054,

Alfred Byk. Revidierte Troutonsche Regel der Verdampfungswärmen und Quantentheorie 1378.

R. Mollier. Diagramm für Dampf-

Luftgemische 207,

Mayor F. Fogler and Worth H. Rodebush. Heats of vaporization of mercury and cadmium 334.

William J. Kearton. Use of mercury in binary fluid turbines 584.

Wl. Kistiakowsky. Verdampfungswärme und Gleichungen, welche die Eigenschaften der unassoziierten Flüssigkeiten bestimmen 1241.

Theodore W. Richards and Charles P. Smyth. Heat of solution of thallium in dilute thallium amalgams

205.

A. Bouzat et E. Chauvenet. Chaleurs de dissolution et de formation des chlorures doubles et des sels anhydres correspondants 798.

N. Pearce and A. R. Fortsch. Free energy of dilution and activity of the ions of hydrogen iodide in

aqueous solution 1241.

E. D. Eastman, A. M. Williams and T. F. Young. The Thermal Energy of Electrons in Metals 1376. Rames Chandra Ray. Heat of Cry-

stallisation of Quartz 411.

Wilhelm Biltz. Schmelzelektrolyte, Bornsche Gitterkräfte und Konstitution der Salze 990.

Calorific Value Dimitri Konovalov. of Carbon Compounds 863.

Ernest Alfred Blench and William

Edward Garner. Heat of adsorption of oxygen by charcoal 1798.

R. D. Kleeman. Values of the electrical moments of the atoms and their connection with other quantities 744.

R. de Forcrand. Hydrates de krypton et d'argon 67.

Franz Simon. Chemische Konstante | Ernst Oelschläger. Wärmewanderun des Quecksilbers 474.

Worth H. Rodebush. Problem of gas degeneration 1170.

A. Mallock. Effects of Temperature on the Properties of Metals 1033.

O. A. Hougen. Refractory for Industrial Plant Use 1393.

H. Kohn und M. Guckel. Sublimationswärme des Kohlenstoffs 863.

6. Wärmeleitung.

Felix Wolf. Nomographisches Verfahren zur Lösung wärmetechnischer Probleme 1.

Iris Runge. Integration der Wärmeleitungsgleichung für stromgeheizte strahlende Drähte 1172.

Laws of heat transfer 717.

Joseph Würschmidt. Bestimmung der Wärmeleitfähigkeit 955.

Marcus D. O'Day. Application of the bar method for the measurement of thermal conductivity 1378.

Ezer Griffiths and G. W. C. Kaye. Measurement of Thermal Conductivity

Thermal con-W. Byron Brown. ductivities of metals in the solid and liquid states 956.

Alpheus W. Smith. Thermal con-

ductivities of alloys 956.

Walther Gerlach und E. Madelung. Radiometertheorie von E. Einstein

Wärmeübergangsfrage 1022, Nusselt. C. W. C. Kaye and J. Keith Roberts. Thermal Conductivities of Metal Crystals. I. Bismuth 1379.

Silvio Lussana. Influenza della pressione sulla conducibilita calorifica

ed elettrica dei metalli 69.

P. W. Bridgman. Effect of tension on the thermal and electrical conductivity of metals 798.

Thermal Conductivity and Compressibility of Rocks under High Pressures

- Charles H. Lees and J. E. Calthrop. Effect of Torsion on the Thermal and Electrical Conductivities of Metals
- J. E. Calthrop. Effects of torsion on the thermal and electrical conductivities of metals 1379.
- Herczeg. Erwärmungskurve bei beliebiger zeitlicher Belastung 134.
- T. S. Taylor. Surface transfer of heat 580.

in Zylindern aus homogenen Wärme leitern 69.

J. S. G. Thomas. Forced Convection of Heat from a Pair of fine heate

Wires 475.

Benno Schwarz. Theorie des Kühl Seine Bedeutung für de blechs. Trockentransformator 69. Wärmeaustause

Wilhelm Nusselt.

am Berieselungskühler 134. O. Tesche. Wärmeleitfähigkeit tech

nischer Materialien 1242.

Mayo D. Hersey and Edward W Thermal conductivity Butzler. refractories 1173.

M. Jakob. Wärmeleitvermögen feuer

fester Steine 1242.

O. A. Hougen. Refractory for Indu

strial Plant Use 1393.

R. Ingersoll and O. A. Koepp Thermal diffusivity and conductivity of soil materials 1700.

Gilbert A. Young and E. F. Burton

Insulation 1242.

J. Geiger. Temperaturverlauf in ge heizten Wandungen 205.

Heat Transmission Ezer Griffiths. and Wall Insulation 1022.

Max Jakob. Prüfung und Bewertun von Isolierflaschen 1610.

Report of Insulation Committee 1242 P. W. Bridgman. Thermal conductivity of liquids 413.

Roy A. Nelson. Free convection of

heat in liquids 799.

Chester W. Rice. Free and force convection of heat in gases and liquids 1380.

Convective Cooling i A. H. Davis.

Liquids 1380.

W. Bridgman. Thermal conduction

tivity of liquids under pressure 799
W. H. McAdams and T. H. Frost
Heat Transfer for Water Flowin Inside Pipes 1109.

Grahl. Wärmedurchgang durc Röhren bei veränderlichen Flüssig

keitstemperaturen 476.

E. Palmer and E. R. Weaver Thermal-Conductivity method for the analysis of gases 1523.

A. H. Gibson. Heat Dissipation from the Surfaces of Pipes and Cylinders i

an Air Current 799.

M. Prentiss. Specific heat an thermal diffusivities of explosive

Wilhelm Nusselt. Wärmeübergang i d. Verbrennungskraftmaschine 72, 72

ustav Eichelberg. verlauf und Wärmespannungen in Verbrennungsmotoren 719.

urt Neumann. Thermodynamischer Kreisprozeß und Arbeitsverluste an der Dieselmaschine 1024.

H. Gibson. Heat Transmission from the Working Fluid in an Internal Combustion Engine 1112.

obert Pohl. Wärmeberechnung elektrischer Maschinen, insbesondere der im Kreisprozeß gekühlten Turbogeneratoren 956.

ax Leo Keller. Lösung praktischer Erwärmungsfragen der Elektrotechnik

1775.

24

arl Willy Wagner. Physikalischer Vorgang beim elektrischen Durchschlag von festen Isolatoren 392.

7. Thermische Ausdehnung.

. Herz. Dichte und Temperatur 718. tto Dähne. Gerät zur Bestimmung der Längenausdehnungszahl fester Körper 962,

ohn L. Haughton and W. T. Griffiths. Uses of the Thread Recorder in the Measurement of Physical

Properties 1305.

Borelius und C. H. Johansson. Ausdehnungsmessungen bei tiefen Temperaturen mit Doppelspiegeldilatometer 1524.

eorge E. Merritt. Application of the interferometer to measurements of the thermal dilatation of ceramic mate-

rials 1469.

Steinle. Optische Meßverfahren für den Werkzeug- und Maschinenbau 586. E. Ripley. Apparat zur Bestimmung des Ausdehnungskoeffizienten Luft 413.

Keith Roberts. Thermal Expansion

of Bismuth Crystals 1110.

Grüneisen und E. Goens. Messungen an Kristallen aus Zink und Cadmium 1110.

itz Wüst und Georg Schitzkowski. Einfluß einiger Fremdkörper auf die Schwindung des Eisens 526.

Sauerwald, H. Allendorf und P. Landschütz. Dichte und Ausdehnung von flüssigem und festem Dichte und Ausgrauen Roheisen 1491.

Werner. Thermische Ausdehnung von weichem und gehärtetem Stahl 1470.

Temperatur- | A. G. Worthing. Thermal expansion of tungsten at incandescent temperatures 69.

> P. G. Cath. Uitzetting van metalen draden - die in glas kunnen worden

ingesmolten 69.

A. Mallock. Effects of Temperature on the Properties of Metals 1033.

Timmermans. Dichte von

Flüssigkeiten unter 0° 211.

- Eben Henry Archibald and William Ure. Density and Viscosity of Acetone at Low Temperatures 1484.
- Nicolai Antonovitch Pushin and Elijah Vasiljevich Grebenshchikov. Adiabatic Cooling of Water and Temperature of its Maximum Density 410.

G. Lievens. Schmelzpunkt der Ester, die ein C5-Radikal enthalten 1614. Georg-Maria Schwab. Ozon 1615.

O. A. Hougen. Refractory for Industrial Plant Use 1393.

8. Zustandsgleichung. Anderung des Aggregatzustandes.

Gustav Tammann. Lehrbuch der heterogenen Gleichgewichte 957.

Zustandsänderungen der Materie in Abhängigkeit von Druck und Temperatur 957.

J. H. Jeans. Equation of van der Waals 335.

W. Herz. Das b der van der Waalsschen Gleichung 335.

J. J. van Laar. Die Zustandsgleichung von Gasen und Flüssigkeiten 800.

Prüfung des Theorems der übereinstimmenden Zustände 957.

- L. Bochet. Loi des états correspondants de van der Waals 1173.
- M. Centnerszwer. Folgerungen der Gleichung von van der Waals 70, 335.
- A. Leduc. Amélioration de l'équation d'état des gaz 336.
- E. A. Holm. Prüfung der berichtigten der Waalsschen Zustandsgleichung an den Wasserstoffisothermen von Kohnstamm und Walstra 581.
- P. Owen. Ableitung der van der Waalsschen Dampfdruckformel und eine Notiz über Moleküldurchmesser 797.
- A. Brandt. Beziehung zwischen der Gleichung von van der Waals und der Formel von Trouton 1381.

7. Wärme.

- Daniel Berthelot. correspondants de Van der Waals 1243.
- Loi des états correspondants 1611.
- S. Lees. Empirical Equation of State for Fluids 877.
- K. K. Järvinen. Zustandsgleichung und Kompressibilität des Quecksilbers 1613.
- Leighton B. Smith and Robert S. Taylor. Equation of state for pure nitrogen, gas phase 1610.
- F. Zwicky. Structure des atoms et équation d'état 1524.
- A. Smits. Complexity of the Solid State 1798.
- Mathias, C. A. Crommelin et H. Kamerlingh Onnes. Diamètre rectiligne du néon 800.
- Kurt Nesselmann. Wohlsche Zustandsgleichung; thermische Größen des Wasserdampfes 1111.
- Veränderung von Zu-Fischer. standskurven zwischen beliebigen Grenzkurven nebst Anwendungen auf Wasser, Kohlensäure und Luft 1173.
- H. Kamerlingh Onnes. Gleichgewicht von flüssiger und gasförmiger Phase des Heliums bei geringen Drucken 1174.
- Ernst Cohen und H. R. Bruins. Metastabilität der Metalle als Folge von Allotropie und ihre Bedeutung für Chemie, Physik und Technik 1053.
- und A. L. Th. Moesveld. Meta-stabilität der Elemente und Ver-bindungen als Folge von Enantiotropie oder Monotropie 1053, 1054.
- und H. R. Bruins. Metastabilität der Elemente und Verbindungen als Folge von Enantiotropie oder Monotropie 1053.
- und J. Kooy. Metastabilität der Elemente und Verbindungen als Folge Metastabilität der von Enantiotropie oder Monotropie 1053.
- -, W. D. Helderman und A. L. Th. Moesveld. Metastabilität der Elemente und Verbindungen als Folge von Enantiotropie oder Monotropie 1054.
- Metastabilität der Elemente und Verbindungen als Folge von Enanthiotropie oder Monotropie 1054.
- Ettore Cardoso et Augusto Acquaviva Coppola. Densités des phases coexistantes de l'oxyde de méthyle 336.

- Loi des états Ettore Cardoso et Alfredo Bruno. Éléments critiques et tensions de vapeur de l'oxyde de méthyle 414.
 - und Gabriele Battista. Phänomen der Molekularassoziation 476.
 - James A. Beattie. Pressure-volumetemperature relation for gaseous ethyl ether 878.
 - Karpen. Equilibre du Vasilesco système liquide-vapeur saturée, chaleur de vaporisation, loi du diamètre rectiligne et attraction moléculaire 1175.
 - Seiliger. Geradliniges Wasser-M. dampf-Diagramm für Normal- und Hochdruckgebiet 1023.
 - A, Kuypers et H. Kamerlingh Onnes. Isothern à 0° et 20° C 1612. Isothermes de l'oxygène
 - H. Kamerlingh Onnes et F. M. Penning. Isothermes de l'hydrogène entre -104°C et -244°C 1612. F. M. Penning et H. Kamerlingh
 - Onnes. Isothermes de l'hélium entre 205°C et 258°C 1612. Isochores de l'air et de quelques
 - autres gaz 1612.
 - J. Palacios Martinez et H. Kamerlingh Onnes. Isothermes de l'hydrogène et de l'hélium à basse température 1613.
 - Jean Timmermans. Dichte von Flüssigkeiten unter 0° 211.
 - John Satterly. Oberflächenspannung, Oberflächenenergie und latenteWärme
 - S. F. Pickering. Critical constants of various gases 1611.
 - N. Kotschin. Ein Fall der adiabatischen Bewegung 222.
 - Osc. Knoblauch und H. Hausen. Erwärmung der Luft beim Thomson-Joule-Effekt bei tiefen Temperaturen 715.
 - E. S. Burnett. Joule-Thomson effect in carbon dioxide 1303.
 - Frederick G. Keyes. Association in carbon dioxide from the Joule-Thomson effect 1795.
 - J. R. Ashworth. A Formula for the Specific Heat of Ferromagnetic Substances and its Discontinuity at the Critical Temperature 953.
 - J. E. Verschaffelt. E. Verschaffelt. Propriétés des fluides à l'état de saturation au voisinage du point critique 336.
 - A. Brandt. Thermodynamische Fläche des Wassers 1382.
 - A. Byk. Quantentheorie der Gase und Flüssigkeiten 715.

chard Lorenz. Gleichgewichte zwi- H. Kamerlingh Onnes und J. Palaschen Metallen und Salzen im Schmelzflusse 1243.

und W. Herz. Versuch, Umwandlungstemperaturen in die Regeln der übereinstimmenden Zustände zubeziehen 1470.

aul Schreiber. Polytropische Zustandsänderungen der Gase 1708.

ichard Lorenz und W. Herz. Raumerfüllung im flüssigen und gasförmigen Zustande 413.

- Dielektrizitätskonstante und

Raumerfüllung 1381.

- Vergleich von Raumerfüllungs-

zahlen 1381, 1701.

- Kritische Dichten von Salzen 1701.

élix-Joachim de Wisniewski. Définition Mécanique des états liquide et gazeux 336.

Herz und Eberhard Neukirch. Zur Kenntnis kritischer Größen 70. Porlezza. Regola dei quattro volumi

Regola delle tre temperature 644. vril H. Meyers. Vapour Pressure

Equation 414.

eorge W. Todd and S. P. Owen. Vapour Pressure Equation 1800. ilhelm Volkmann. Sieden bei verschiedenem Druck 135.

M. Martin. Supersaturation limit 135. Wertenstein. État sursaturé des vapeurs très raréfiées 206, 1244.

eter Kirchhoff. Methodisches zur Bestimmung der Dampfdruckkurven von festen und flüssigen Stoffen mit sehr niedrigen Dampfdrucken 1614. vine Masson and L. G. F. Dolley. Pressures of Gaseous Mixtures 1541.

Diagramm für Dampf-Mollier. Luftgemische 207.

ussell W. Müller. Vapor pressure of monatomic elements 415.

ertenstein et Jedrzejewski. Évaporation du carbone 414.

Thiel und F. Ritter. Dampfdruck von Kohlenstoff 582.

F. Lovelace, W. H. Bahlke and J. C. W. Frazer. Vapor pressures of lithium chloride solutions at 200 1304. H. Riesenfeld und M. Beja. Dampfdruckmessungen an reinem Ozon 582.

Volume changes of W. Bridgman. five Gases under high pressures 346. Fischer. Dampfspannungsgleichung bei tiefen Temperaturen 1383.

cios Martinez. Dampfdrucke des Wasserstoffs und neue Bestimmungen in dem Gebiete des flüssigen Wasserstoffs 134.

Heinrich Goldschmidt. Dampfdruck

des Stickoxyds 1383.

A. C. Egerton. Vapour Pressure of Lead 644.

and Frank Victor Raleigh. Vapour Pressure of Cadmium and its Alloys with Zinc 649.

Vapor pressure Robert J. Piersol.

constant for silver 1799.

Shinkichi Horiba. Dampfdruck von metallischem Arsen 416.

P. Smellie. Dampfdruck von Arsenoxyd 478.

N. I. Nikitin. Dampfdruck des Phosgens

Otto Ruff und Hellmuth Hartmann. Dampfdrucke der Erdalkalimetalle 1175.

Max Trautz und Wilhelm Gerwig. Dampfdruck flüssigen Chlors 1174.

- Dampfdruck des flüssigen Nitrosylchlorids 1174.

N. Yannakis. Tensions de vapeur des mélanges d'acide chlorhydrique et d'eau 478.

Christopher Kelk Ingold. Form of the Vapour Pressure Curve at High Temperatures. II. Curve for Sodium

Cyanide 134. Alfred W. Porter. Vapour pressures

of ternary mixtures 207. A. Bouzat et G. Leluan. Température d'ébullition du brome 958.

C. A. Crommelin. Purification du néon et température critique du néon 1376.

Jean Barbaudy. Entraînement du toluène à la vapeur 958.

Th. Des Coudres. Beschränkte Mischbarkeit von Materie oberhalb der kritischen Temperatur 1382.

F. Pollitzer. Temperatur des aus einer Lösung sich entwickelnden Dampfes

Oscar Knoblauch und H. Reiher. Temperatur des aus einer Lösung sich entwickelnden Dampfes 583.

Schreber. Temperatur des aus einer Lösung entstehenden Dampfes

Zustand des aus einer Lösung entstehenden Dampfes 583.

Zustand des aus einer Chr. Mezger. Lösung entstehenden Dampfes 583.

Deinlein. Temperatur des aus einer Lösung entstehenden Dampfes 206.

M. Allen. evaporation from water 1800.

Duffield. Reaction upon the evaporation of a liquid and upon the emission of vapours from small orifices 416.

Schreber. Beim Eindampfen zu beachtende Eigenschaften d. Lösungen

H. G. Becker. Prevention of Bumping during Vacuum Distillation 1471.

C. S. Cragoe, E. C. McKelvy and G. F. O'Connor. Specific volume of saturated ammonia vapor 479.

E. C. McKelvy and C. S. Taylor. Composition, Purification, and certain

constants of ammonia 479.

Mathias, C. A. Crommelin et H. Kamerlingh Onnes. Chaleur de vaporisation et différence des chaleurs spécifiques à l'état de saturation pour l'argon, l'oxygène, l'azote et l'hydrogène 1377.

A. Brandt. Verdampfungswärme und Druck gesättigter Dämpfe bei sehr niedrigen Temperaturen 1381.

G. H. West. Condensation Bands formed during the Explosion of Hydrogen and Air 1524.

J. E. Mills and P. K. Smith. Relations concerning the internal heat of vapo-

rization 414.

Genelin. Berücksichtigung der Dampftension beim Ablesen der Volumina feuchter Gase 478.

Ludwig Heuser. Vorgang im Spritzvergaser 959.

Thermodynamik . des Merkel.

Trocknens 207.

W. G. Duffield. Reaction consequent upon the Evaporation of a Liquid and upon the Emission of Vapours from Small Orifices 1243.

L. Holborn und J. Otto. Isothermen einiger Gase bis 400° und ihre Bedeutung für das Gasthermometer

1174.

Walter Mund et Pierre Herrent. Liquéfaction du système gazeux binaire: anhydride sulfureux-éthane 1175.

Kazimierz Jabłczyński and Stanislaw Kon. Determination of Elevation of Boiling Point 1470.

C. W. Foulk and Marion Hollings-Composition of the constant-boiling mixture of hydrogen chloride and water 1471.

G. G. Longinescu. Beziehung zwischen Schmelz- und Siedetemperatur 1700.

Thermal emission and Ernst Rie. Einfluß der Oberflächen from water 1800. Enst Rie. Einfluß der Oberflächen gemannung auf Schmelzen und Ge frieren 71.

George W. Morey. Comparison of th heating-curve and quenching method of melting-point determinations 71

Leighton B. Smith and Robert S Taylor. Melting point of ice on th absolute temperature scale 70.

Freezing of water is E. A. Fisher.

capillary systems 1383.

Eustace J. Cuy. Form der Schmelz kurven binärer Mischkristallreiher und Gitterparameter ihrer Kompo nenten 205.

Henry Vincent Aird Briscoe and Walter Matthew Madgin. Free zing-point Curve for Mixtures of Potassium Nitrate and Sodium Ni trate 598.

K. Fajans und E. Ryschkewitsch Schmelzpunkt des Graphits 1799.

W. Herz. Zur Kenntnis geschmolzene Salze 477.

G. Lievens. Schmelzpunkt der Ester die ein C₅-Radikal enthalten 1614

Hugh Medwyn Roberts and Charle R. Bury. Cryoscopic Measurement with Nitrobenzene 426.

A. Thiel und F. Ritter. Schmelzbar keit des Kohlenstoffs in der Hitze de elektrischen Lichtbogens 644.

A. Brandt. Kohäsionsdruck 1382.

John Mead Adams. Growth snow flakes 1701.

A. Q. Tool and C. G. Eichlin. Effect produced by chilling glass 1243.

A. Brandt. Differenz der spezifische Wärmen bei konstantem Volume einer Flüssigkeit und ihres Dampfe 1382.

H. T. Tizard and D. R. Pye. Ignition of Gases by Sudden Compression 1701.

Marcus Brutzkus. Théorie des mo teurs à combustion interne 72.

v. Wartenberg. Verbrennungs vorgänge im Dieselmotor 1384.

R. Whytlaw-Gray, J. B. Speakma and J. H. P. Campbell. Smokes Their Behaviour and Method of Deter mining the Number of Particles the Contain 599.

A Method of Determining th Size of the Particles in Smokes 600

A. R. Sheen and W. E. S. Turner Effect of titania on the properties verlust des Kaolins und sein Verhalten im festen Zustande zu den Carbonaten und Oxyden der Erdalkalien 477. illiam J. Kearton. Use of mercury in binary fluid turbines 584.

A. Hougen. Refractory for Industrial Plant Use 1393.

org-Maria Schwab. Ozon 1615.

Tiefe Temperaturen. Kältemaschinen. Technik der Gasverflüssigung.

H. Motz. Compression Refrigerating Cycle 719.

C. Goosmann. Safety Automatic Refrigerating Equipment 719.

alther Meissner. Einfluß von Anfangsdruck und Vorkühltemperatur bei der Verflüssigung des Wasserstoffs 208.

J. Macintire. Oscillating Ammonia Compressor 480.

H. H. Voss. Heat Waste in the Ammonia Compression Refrigerating Machine 480.

car A. Anderson. Ammonia Con-

denser Design 584.

J. Macintire and Earl Beling. Performance Tests on a Flooded Atmospheric Type Ammonia Condenser 719.

orge A. Horne. Performance of Single Acting Simple Ammonia Compressor, and Tubular Condensers 719. omas A. Wilson. Properties of Aqua Ammonia. Total Vapor Pressures 1187.

oles of thermodynamic properties of

ammonia 576.

P. Robinson. Preparing Water to be Frozen 584.

etor Fischer. Berechnung der Luftverflüssigungs- und Trennungsappa-

rate 1471.

E. Hill. Non-Condensable Gases 1384. nneth Claude Devereux Hick-man. Thermostat Refrigerator 1471. Henning und W. Heuse. Temperaturskale zwischen 0 und - 1930 durch das Platinwiderstandsthermometer 1170.

- Normale Siedepunkte von Sauerstoff, Stickstoff und Wasserstoff 1171.

Purification du A. Crommelin. néon et température critique du néon 1376.

Tammann und W. Pape. Wasser- | Osc. Knoblauch und H. Hausen. Erwärmung der Luft beim Thomson-Joule-Effekt bei tiefen Temperaturen 715.

> J. H. Woss. Determining Refrigerating Efficiency by Temperature and Pressure Readings 718.

L. S. Morse. Reliability of Fluid Meters in Refrigerating Tests 719, 1303.

W. W. Coblentz and C. W. Hughes. Emissive tests of paints for decreasing or increasing heat radiation 1384.

Wilhelm Nusselt. Wärmeaustausch am Berieselungskühler 134.

Henry Briggs and John Mallinson. Tests upon Dewar Flasks intended to hold Liquid 959.

P. Nicholls. Economic Thickness of Insulation in the Refrigerating Field 480.

J. H. Bracken. Insulation of Roof Structures 584.

Report of Insulation Committee 1242. Worth H. Rodebush. Problem of gas degeneration 1170.

Sherburne Rogers.

bearing natural gas 513.

Hohe Temperaturen. Heizungsund Feuerungstechnik.

W. E. Forsythe. Intercomparison of the high temperature scales in use in America with those in use in England 797.

H. C. Rentschler and J. W. Marden. High temperature high vacuum furnace 71.

Walter P. White. Electric furnace giving very uniform temperatures 1701.

B. D. Saklatwalla and A. N. Anderson. Improvements in Ferro-Alloy Electric Furnaces of High Power Input 455.

E. W. Lewis. Industrial applications of

the electric furnace 455. Hans Gerdien und Hans Riegger. Kathodenstrahlofen 72.

William J. Kearton. Usé of mercury in binary fluid turbines 584.

Hugo Ombeck. Ubertragung des Druckes von der Drosselstelle in Dampfrohrleitungen auf Dampf-

messer 136.
F. Henning. Bestimmung hoher Temperaturen 1384.

A. Imhof. Formel zur Berechnung der Temperatur von elektrischen Heizdrähten 416.

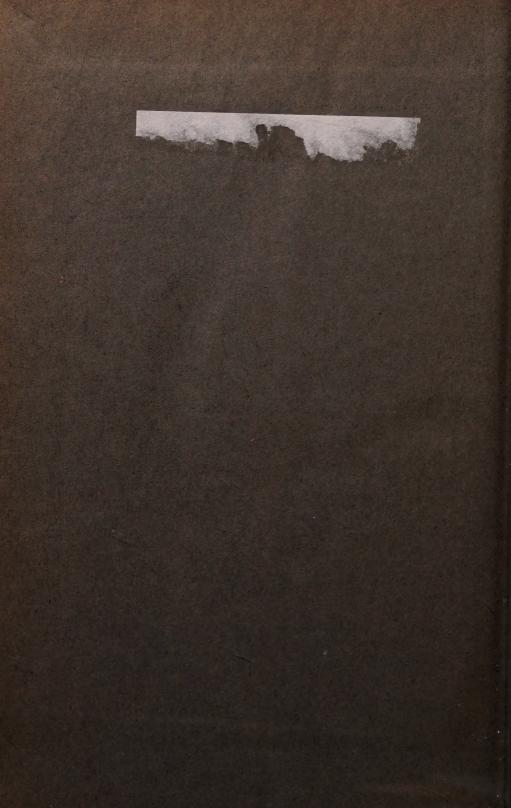
- T. S. Taylor. Surface transfer of heat J. H. Bracken. Insulation of Rocket.
- W. H. McAdams and T. H. Frost. Heat Transfer for Water Flowing Inside Pipes 1109.
- Wärmedurchgang durch de Grahl. Röhren bei veränderlichen Flüssigkeitstemperaturen 476.
- Wilhelm Franckenstein. Chemische Grundlagen der Brennstoffverwertung
- G. Gehlhoff, O. Ricklefs und W. Schreiber. Wärmefluß im Siemens-Braunkohlen-Generator mit Treppenrost 1703.
- Wilhelm Nusselt. Verbrennungsvorgang in der Kohlenstaubfeuerung
- W. Manchot und E. Bauer. Ozon in den Flammen 1023.
- Haber. Die Entmischung in Flammen 1800.
- Explosionsgrenzen von Gas-E. Asch. gemischen 1472.
- H. T. Tizard and D. R. Pye. Ignition of Gases by Sudden Compression 1701.
- Wilhelm Nusselt. Wärmeübergang in der Verbrennungskraftmaschine 72,
- H. v. Wartenberg. Verbrennungsvorgänge im Dieselmotor 1384.
- A. G. Worthing. Spektrales Emissions-vermögen und Schmelzpunkt des Wolframs 1361.
- W. W. Coblentz and C. W. Hughes. Emissive tests of paints for decreasing or increasing heat radiation
- H. v. Wartenberg. Chemie der hohen Temperaturen 1524.
- Otto Ruff. Oxyde, Metalle und Carbide im Gebiet hoher Temperaturen 1524.
- W. Eitel. Silikate 1524.
- Richard Lorenz. Schmelzelektrolyte 1524.
- Walter Murray. Gas-heated Thermostats 1471.
- A. Bigot. Action de la chaleur sur les kaolins, les argiles 1524.
- Camille Matignon. Action des températures élevées sur quelques substances réfractaires 1304.

- Structures 584.
- Report of Insulation Committee 1245 Merkel. Thermodynamik de Trocknens 207.

11. Wärmekraftmaschinen.

- W. J. Walker. Polytropic Curve an Its Relation to Thermodynamic Effi ciency 1175.
- Estensione de Enrico Pistolesi. metodo di Wittenbauer per il calcol del grado di irregolarità di un motrice 208.
- Marcus Brutzkus. Théorie des mo teurs à combustion interne 72.
- Wilhelm Nusselt. Wärmeübergang in der Verbrennungskraftmaschine 72 720.
- Gustav Eichelberg. Temperatur verlauf und Wärmespannungen is Verbrennungsmotoren 719.
- A. H. Gibson. Heat Transmission from the Working Fluid in an Interna Combustion Engine 1112.
- v. Wartenberg. Verbrennungs vorgänge im Dieselmotor 1384.
- Kurt Neumann. Thermodynamische Kreisprozeß und Arbeitsverluste an der Dieselmaschine 1024.
- J. Tauss und F. Schulte. Zündpunk unter Druck 1702.
- P. Dumanois. Moteurs d'aviation très haute compression 1703.
- Augmentation de la compression dans les moteurs d'aviation 1704.
- Ludwig Heuser. Vorgang im Spritz vergaser 959.
- H. M. Martin. Supersaturation limit 135
- M. Seiliger. Geradliniges Wasserdampf Diagramm für Normal- und Hoch druckgebiet 1023.
- William J. Kearton. Use of mercury in binary fluid turbines 584.
- J. Geiger. Temperaturverlauf in geheizten Wandungen 205.
 M. Seiliger. Geradlinige Fluchttafel
- für Gase u. Dampf-Luftgemische 1709
- Eskil Berg. Pressure, superheat, steam extraction and reheating as affecting power plant economy 1616.
- H. Lorenz. Bedeutung der technischer Physik für den Maschinenbau 585









THIS BOOK IS FOR USE ONLY IN THE LIBRARY IT DOES NOT CIRCULATE

